



№5-2025

ISSN 1999-9429

ИЗВЕСТИЯ ЮФУ

ТЕХНИЧЕСКИЕ НАУКИ

- Алгоритмы обработки информации
- Анализ данных, моделирование и управление
- Электроника, нанотехнологии и приборостроение
- Машинное обучение и нейронные сети

ИЗВЕСТИЯ ЮФУ. ТЕХНИЧЕСКИЕ НАУКИ IZVESTIYA SFedU. ENGINEERING SCIENCES

Свидетельство о регистрации средства массовой информации
ПИ № ФС77-28889 от 12.07.2007

Федеральная служба по надзору в сфере массовых коммуникаций, связи
и охраны культурного наследия

Научно-технический и прикладной журнал

Издается с 1995 года, до середины 2007 года под названием «Известия ТРТУ»

Подписной индекс ПС704

№ 5 (247). 2025 г.

Журнал включен в «Перечень рецензируемых научных изданий, в которых должны быть опубликованы основные научные результаты диссертаций на соискание ученой степени кандидата наук, на соискание ученой степени доктора наук».

Редакционный совет

Курейчик В.В. (гл. редактор); Кравченко Ю.А. (зам. гл. редактора); Бородянский И.М. (ученый секретарь); Абрамов С.М.; Агеев О.А.; Бабенко Л.К.; Боженюк А.В.; Борисов В.В.; Веселов Г.Е.; Гайдук А.Р.; Горбанёва О.И.; Еремеев А.П.; Зинченко Л.А.; Каляев И.А.; Касьянов А.О.; Коноплев Б.Г.; Коробейников А.Г.; Куповых Г.В.; Левин И.И.; Массель Л.В.; Медведев М.Ю.; Мельник Э.В.; Никитов С.А.; Обуховец В.А.; Панич А.Е.; Петров В.В.; Пшихопов В.Х.; Редько В.Г.; Румянцев К.Е.; Сергеев Н.Е.; Середин Б.М.; Сидоркина И.Г.; Стемповский А.Л.; Сухинов А.И.; Турулин И.И.; Тютиков В.В.; Угольницкий Г.А.; Целых А.Н.; Юханов Ю.В.

Учредитель Южный федеральный университет.

Издатель Южный федеральный университет.

Ответственный за выпуск Кравченко Ю.А.

Технический редактор Ярошевич Н.В.

Оригинал-макет выполнен Ярошевич Н.В.

Дата выхода в свет 31.10. 2025 г. Формат 70×108 $\frac{1}{16}$. Бумага офсетная.

Офсетная печать. Усл. печ. л. – 25,3. Уч.-изд. л. – 17,9.

Заказ № 10193. Тираж 250 экз.

Адрес издателя: 344090, г. Ростов-на-Дону, пр. Стачки, 200/1, тел. 8(863)243-41-66.

Адрес типографии: Отпечатано в отделе полиграфической, корпоративной и сувенирной продукции Издательско-полиграфического комплекса КИБИ МЕДИА ЦЕНТРА ЮФУ. 344090, г. Ростов-на-Дону, пр. Стачки, 200/1, тел. 8(863)243-41-66.

Адрес редакции: 347922, г. Таганрог, ул. Чехова, 22, ЮФУ, тел. +7 (928) 909-57-82, e-mail: iborodyanskiy@sfedu.ru, <http://izv-tn.tti.sfedu.ru/>.

16+

Цена свободная

ISSN 1999-9429 (Print)

ISSN 2311-3103 (Online)

© Южный федеральный университет, 2025

СОДЕРЖАНИЕ

РАЗДЕЛ I. АЛГОРИТМЫ ОБРАБОТКИ ИНФОРМАЦИИ

Ш.М. Альзубайри, А.А. Петунин, С.С. Уколов ПЛАНИРОВАНИЕ ПУТИ РОБОТА ДЛЯ НЕСКОЛЬКИХ ЦЕЛЕЙ НА ОСНОВЕ ГИБРИДНОГО АЛГОРИТМА PRM И AGA	6
Ал.В. Козачок, С.С. Матовых, Ан.В. Козачок КАСКАДНЫЙ АЛГОРИТМ КЛАССИФИКАЦИИ ДЛЯ ОБНАРУЖЕНИЯ ВРЕДНОСНОГО ПРОГРАММНОГО ОБЕСПЕЧЕНИЯ МЕТОДОМ СТАТИЧЕСКОГО АНАЛИЗА	18
И.В. Калиберда МЕТОД ВЫЧИСЛЕНИЯ КРИПТОГРАФИЧЕСКИХ КЛЮЧЕЙ ИЗ БИОМЕТРИЧЕСКИХ ДАННЫХ ЛИЦА НА ОСНОВЕ УСТОЙЧИВЫХ ПРЕОБРАЗОВАНИЙ	36

РАЗДЕЛ II. АНАЛИЗ ДАННЫХ, МОДЕЛИРОВАНИЕ И УПРАВЛЕНИЕ

А.А. Магазёв, А.Ю. Никифорова О ВЫЧИСЛЕНИИ СРЕДНЕГО ВРЕМЕНИ ИНФИЦИРОВАНИЯ В РАМКАХ ДИСКРЕТНОЙ МАРКОВСКОЙ ЭПИДЕМИОЛОГИЧЕСКОЙ МОДЕЛИ В ОТСУТСТВИИ ЛЕЧЕНИЯ	53
А.О. Толоконский, Д.С. Менюк МЕТОД ЭКСПРЕСС-ОЦЕНКИ ПАРАМЕТРОВ ПИ-РЕГУЛЯТОРОВ ДЛЯ АПЕРИОДИЧЕСКИХ ПЕРЕХОДНЫХ ПРОЦЕССОВ В СИСТЕМАХ АВТОМАТИЧЕСКОГО УПРАВЛЕНИЯ ЭНЕРГОБЛОКОВ АЭС	64
А. Нанданвар, Л.А. Рыбак, Д.А. Дьяконов УПРАВЛЕНИЕ МУЛЬТИРОБОТИЗИРОВАННЫМИ СИСТЕМАМИ НА ОСНОВЕ СКОЛЬЗЯЩИХ РЕЖИМОВ ВЫСОКОГО ПОРЯДКА	72
Д.Г. Макоева, И.Р. Глупов, А.О. Шогенов ЕСТЕСТВЕННО-ЯЗЫКОВОЕ УПРАВЛЕНИЕ СТРОИТЕЛЬНЫМИ РОБОТЕХНИЧЕСКИМИ СИСТЕМАМИ	83
В.И. Шлаев МОДУЛЬ ПРОГНОЗИРОВАНИЯ ПАРАМЕТРОВ ПРЕОБРАЗОВАТЕЛЕЙ ПО ЗАДАНЫМ АМПЛИТУДНО-ЧАСТОТНЫМ ХАРАКТЕРИСТИКАМ.....	93
Е.А. Титенко ПРЕОБРАЗОВАТЕЛИ УНИТАРНЫХ КОДОВ ДЛЯ ОДНОРОДНЫХ ВЫЧИСЛИТЕЛЬНЫХ СИСТЕМ.....	104

РАЗДЕЛ III. ЭЛЕКТРОНИКА, НАНОТЕХНОЛОГИИ И ПРИБОРОСТРОЕНИЕ

З.Е. Вакулов, Р.В. Томинов, Д.А. Дзюба, В.А. Смирнов ФОРМИРОВАНИЕ И ИССЛЕДОВАНИЕ МЕМРИСТИВНЫХ ПЛЕНОК ЛЕГИРОВАННОГО ОКСИДА ЦИНКА ДЛЯ СИСТЕМ МАШИННОГО ЗРЕНИЯ РОБОТОТЕХНИЧЕСКИХ КОМПЛЕКСОВ	116
Н.М. Богатов, В.С. Володин, Л.Р. Григорьян, М.С. Коваленко МОДЕЛИРОВАНИЕ ЭЛЕКТРИЧЕСКОГО ПОЛЯ КРЕМНИЕВОЙ N-I-P НАНОСТРУКТУРЫ.....	123
М. Пленингер, С.В. Балакирев, М.С. Солодовник ИССЛЕДОВАНИЕ ЗАКОНОМЕРНОСТЕЙ РАСПРОСТРАНЕНИЯ ИЗЛУЧЕНИЯ С ДЛИНОЙ ВОЛНЫ 1,3 МКМ В ДВУМЕРНЫХ ФОТОННЫХ КРИСТАЛЛАХ НА ОСНОВЕ GaAs С КОНФИГУРАЦИЕЙ ВОЛНОВОД-МИКРОРЕЗОНАТОР	133
А.А. Жук, Д.В. Клейменкин, Н.Н. Прокопенко SIGE VISMOS ВЫХОДНЫЕ КАСКАДЫ ВЫСОКОТЕМПЕРАТУРНЫХ ОПЕРАЦИОННЫХ УСИЛИТЕЛЕЙ	143

С.П. Малюков, В.Д. Мишнев ЧИСЛЕННОЕ МОДЕЛИРОВАНИЕ И АНАЛИЗ НАПРЯЖЁННО- ДЕФОРМИРОВАННОГО СОСТОЯНИЯ УПРУГОЙ МЕМБРАНЫ ДАТЧИКА ДАВЛЕНИЯ НА ОСНОВЕ СТРУКТУРЫ «КРЕМНИЙ НА САПФИРЕ».....	159
Д.А. Сорокин, И.И. Левин СУММАТОР С ПЛАВАЮЩЕЙ ЗАПЯТОЙ В ЦИФРОВЫХ ФОТОННЫХ ВЫЧИСЛИТЕЛЬНЫХ УСТРОЙСТВАХ.....	168
Д.Ю. Денисенко, Н.Н. Прокопенко, Ю.И. Иванов, Д.В. Кузнецов ДИСКРЕТНО-АНАЛОГОВЫЙ ФИЛЬТР ВТОРОГО ПОРЯДКА НА ПЕРЕКЛЮЧАЕМЫХ КОНДЕНСАТОРАХ С ПЕРЕСТРОЙКОЙ ЧАСТОТЫ ПОЛЮСА ЦИФРОВЫМ ПОТЕНЦИОМЕТРОМ	179
Ю.Е. Зинченко, Т.А. Зинченко РАСПОЗНАВАНИЕ И АДАПТИВНАЯ ГЕНЕРАЦИЯ ПСЕВДОСЛУЧАЙНЫХ ТЕСТОВ ПОСЛЕДОВАТЕЛЬНОСТНЫХ ЦИФРОВЫХ УСТРОЙСТВ.....	189

РАЗДЕЛ IV. МАШИННОЕ ОБУЧЕНИЕ И НЕЙРОННЫЕ СЕТИ

В.И. Авилов, Л.А. Душина, Н.В. Полупанов, В.А. Смирнов АППАРАТНАЯ НЕЙРОННАЯ СЕТЬ НА ОСНОВЕ МЕМРИСТИВНЫХ СТРУКТУР ОКСИДА ТИТАНА.....	205
Э.В. Мельник, Д.Е. Блох, А.И. Безмельцев, В.С. Панищев, С.Н. Полторацкий ПРОЕКТИРОВАНИЕ МОДУЛЕЙ НЕЙРОСЕТЕЙ MLP И CNN НА ПЛИС ДЛЯ ЗАДАЧ КЛАССИФИКАЦИИ ИЗОБРАЖЕНИЙ.....	214
В.А. Частикова, К.В. Козачёк, Е.С. Коробская, В.П. Кравцов ОБНАРУЖЕНИЕ КИБЕРВТОРЖЕНИЙ НА ОСНОВЕ СЕТЕВОГО ТРАФИКА И ПОВЕДЕНИЯ ПОЛЬЗОВАТЕЛЯ С ИСПОЛЬЗОВАНИЕМ ДАТАСЕТА UNSW-NB15	229
А.С. Коваленко, Я.М. Демяненко МЕТОД ГЕНЕРАЦИИ ШУМА ПО НАБОРУ ЗАШУМЛЕННЫХ ИЗОБРАЖЕНИЙ БЕЗ ЧИСТЫХ ПРИМЕРОВ	243
О.Б. Лебедев, Р.И. Черкасов ПРИМЕНЕНИЕ ТЕХНОЛОГИЙ КОМПЬЮТЕРНОГО ЗРЕНИЯ В СИСТЕМАХ ОБРАБОТКИ ВИЗУАЛЬНОЙ ИНФОРМАЦИИ	254
Ю.А. Кораблёв ПРОГНОЗИРОВАНИЕ ОСТАТОЧНОГО СРОКА ПОЛЕЗНОГО ИСПОЛЬЗОВАНИЯ ТЕХНОЛОГИЧЕСКОГО ОБОРУДОВАНИЯ МЕТОДОМ ГЛУБОКОГО ОБУЧЕНИЯ LSTM	277

CONTENT

SECTION I. INFORMATION PROCESSING ALGORITHMS

S.M. Alzubairi, A.A. Petunin, S.S. Ukolov ROBOT PATH PLANNING FOR MULTI-TARGETS BASED ON A HYBRID OF PRM AND AGA ALGORITHM	6
Al.V. Kozachok, S.S. Matovykh, An.V. Kozachok CASCADE CLASSIFICATION ALGORITHM FOR DETECTING MALICIOUS SOFTWARE BY STATIC ANALYSIS	18
I.V. Kaliberda A METHOD FOR CALCULATING CRYPTOGRAPHIC KEYS FROM A PERSON'S BIOMETRIC DATA BASED ON STABLE TRANSFORMATIONS	36

SECTION II. DATA ANALYSIS, MODELING AND CONTROL

A.A. Magazev, A.Yu. Nikiforova ON CALCULATING THE MEAN INFECTED TIME USING A DISCRETE MARKOV EPIDEMIOLOGICAL MODEL WITHOUT TREATMENT.....	53
A.O. Tolokonsky, D.S. Menyuk A METHOD FOR EXPRESS ASSESSMENT OF PI-REGULATOR PARAMETERS FOR APERIODIC TRANSIENT PROCESSES IN AUTOMATIC CONTROL SYSTEMS OF NUCLEAR POWER PLANT UNITS	64
A. Nandanwar, L.A. Rybak, D.A. Dyakonov CONTROL OF A MULTI-ROBOT SYSTEM BASED ON HIGHER-ORDER SLIDING MODES	72
D.G. Makoeva, I.R. Tlupov, A.O. Shogenov NATURAL LANGUAGE CONTROL OF CONSTRUCTION ROBOTIC SYSTEMS	83
V.I. Shlaev THE MODULE FOR PREDICTING CONVERTER PARAMETERS BASED ON SPECIFIED AMPLITUDE-FREQUENCY CHARACTERISTICS.....	93
E.A. Titenko UNITARY CODE CONVERTERS FOR HOMOGENEOUS COMPUTING SYSTEMS	104

SECTION III. ELECTRONICS, NANOTECHNOLOGY AND INSTRUMENTATION

Z.E. Vakulov, R.V. Tominov, D.A. Dzyuba, V.A. Smirnov FORMATION AND INVESTIGATION OF DOPED ZINC OXIDE MEMRISTIVE FILMS FOR MACHINE VISION SYSTEMS OF ROBOTIC COMPLEXES	116
N.M. Bogatov, V.S. Volodin, L.R. Grigoryan, M.S. Kovalenko MODELING THE ELECTRIC FIELD OF A SILICON <i>N-I-P</i> NANOSTRUCTURE ...	124
M. Pleninger, S.V. Balakirev, M.S. Solodovnik STUDY OF THE PROPAGATION OF LIGHT WITH A WAVELENGTH OF 1.3 MM IN TWO-DIMENSIONAL GaAs-BASED PHOTONIC CRYSTALS WITH A WAVEGUIDE-MICRORESONATOR CONFIGURATION	134
A.A. Zhuk, D.V. Kleimenkin, N.N. Prokopenko SIGE BICMOS OUTPUT STAGES OF HIGH-TEMPERATURE OPERATIONAL AMPLIFIERS	143
S.P. Malyukov, V.D. Mishnev SIMULATION AND ANALYSIS OF THE STRESS-STRAIN STATE OF A PRESSURE SENSOR'S ELASTIC MEMBRANE BASED ON "SILICON ON SAPPHIRE" STRUCTURE	160
D.A. Sorokin, I.I. Levin FLOATING-POINT ADDER IN DIGITAL PHOTONIC COMPUTING SYSTEMS ...	168

D.Yu. Denisenko, N.N. Prokopenko, Y.I. Ivanov, D.V. Kuznetsov DISCRETE-ANALOGUE FILTER OF THE SECOND ORDER ON SWITCHED CAPACITORS WITH TUNING OF POLE FREQUENCY BY DIGITAL POTENTIOMETER.....	179
Y.E. Zinchenko, T.A. Zinchenko RECOGNITION AND ADAPTIVE GENERATION OF PSEUDO-RANDOM TESTS OF SEQUENTIAL DIGITAL DEVICES.....	190
SECTION IV. MACHINE LEARNING AND NEURAL NETWORKS	
V.I. Avilov, L.A. Dushina, N.V. Polupanov, V.A. Smirnov HARDWARE NEURAL NETWORK BASED MEMRISTIVE TITANIUM OXIDE STRUCTURES	205
E.V. Melnik, D.E. Blokh, A.I. Bezmeltsev, V.S. Panishchev, S.N. Poltoratsky DESIGNING MLP AND CNN NEURAL NETWORK MODULES ON FPGA FOR IMAGE CLASSIFICATION TASKS	215
V.A. Chastikova, K.V. Kozachek, E.S. Korobskaya, V.P. Kravtsov DETECTION OF CYBER INTRUSIONS BASED ON NETWORK TRAFFIC AND USER BEHAVIOR USING THE UNSW-NB15 DATASET	230
A.S. Kovalenko, Ya.M. Demyanenko NOISE GENERATION METHOD BASED ON A SET OF NOISY IMAGES WITHOUT CLEAN EXAMPLES	244
O.B. Lebedev, R.I. Cherkasov APPLICATION OF COMPUTER VISION TECHNOLOGIES IN VISUAL INFORMATION PROCESSING SYSTEMS	255
J.A. Korablev PREDICTION OF THE REMAINING USEFUL LIFE OF TECHNOLOGICAL EQUIPMENT USING THE DEEP LEARNING METHOD LSTM.....	277

Раздел I. Алгоритмы обработки информации

УДК 004.021

DOI 10.18522/2311-3103-2025-5-6-18

Ш.М. Альзубайри, А.А. Петунин, С.С. Уколов

ПЛАНИРОВАНИЕ ПУТИ РОБОТА ДЛЯ НЕСКОЛЬКИХ ЦЕЛЕЙ НА ОСНОВЕ ГИБРИДНОГО АЛГОРИТМА PRM И AGA

Задачи планирования оптимального пути мобильных роботов особенно активно исследуются в последнее десятилетие. Цель состоит в том, чтобы найти оптимальный или близкий к оптимальному путь от начального терминала до одного или нескольких терминалов в среде с различными препятствиями. С точки зрения минимизации времени перемещения роботов, пройденного расстояния, энергетических затрат или других оптимизационных критериев. В данной работе предлагается гибридный алгоритм, сочетающий алгоритм вероятностной дорожной карты (PRM) и адаптированный генетический алгоритм (AGA) для решения задачи планирования пути с одной или несколькими независимыми целями. В качестве оптимизационного критерия используется длина пути робота. По сравнению с существующими подходами, используемыми в генетических алгоритмах (GA), предлагаемый подход имеет два основных различия. Первое – это представление среды, которое опирается на обработку изображений и морфологические операции, что оказалось более эффективным методом, чем методы на основе клеточного представления. В частности, предложенный способ устраняет необходимость поиска компромисса между точностью и скоростью обработки геометрической информации. Второе – это новая тактика создания начальной популяции генетического алгоритма для ускорения сходимости при наличии нескольких целей. За счёт использования возможностей вероятностного алгоритма дорожной карты. Еще одна особенность реализации алгоритма связана с адекватным (для исследуемой предметной области) выбором числовых параметров, определяющих особенности всех этапов эволюционной стратегии, включая временные затраты на выполнение каждого этапа. В частности, это касается параметров оператора мутации и элитной стратегии. Предложенный алгоритм был протестирован на двух реальных картах с разной степенью сложности. Эффективность алгоритма подтверждена сравнением с результатами планирования пути для тестовых карт, полученными с помощью стандартного генетического алгоритма и алгоритма оптимизации муравьиной колонии. Экспериментальные результаты показывают, что гибридный алгоритм расширяет возможности обычного генетического алгоритма и находит рациональные варианты пути с лучшим значением целевой функции для одной и нескольких целей за гораздо меньшее время, чем другие традиционные реализации GA.

Планирование пути; генетический алгоритм; PRM; мобильные роботы; путь с несколькими целями.

S.M. Alzubairi, A.A. Petunin, S.S. Ukolov

ROBOT PATH PLANNING FOR MULTI-TARGETS BASED ON A HYBRID OF PRM AND AGA ALGORITHM

Optimal path planning problems for mobile robots have been particularly actively studied in the last decade. The goal is to find an optimal or near-optimal path from a starting terminal to one or more terminals in an environment with various obstacles, in terms of minimizing robot travel time, distance traveled, energy costs, or other optimization criteria. In this paper, we propose a hybrid algorithm combining a probabilistic roadmap algorithm (PRM) and an adapted genetic algorithm (AGA) to solve a path planning problem with one or more independent objectives. The robot's path length is used as an optimization criterion. Compared with existing approaches used in genetic algorithms (GAs), the proposed approach has two main differences. The first is the environment representation, which relies on image processing and morphological operations, which has proven to be a more efficient method than methods based on cellular

representation. In particular, the proposed method eliminates the need to find a trade-off between accuracy and speed of processing geometric information. The second is a new tactic for creating an initial population of the genetic algorithm to accelerate convergence in the presence of multiple objectives. By leveraging the capabilities of a probabilistic roadmap algorithm. Another key feature of the algorithm's implementation is the appropriate (for the domain under study) selection of numerical parameters that determine the characteristics of all stages of the evolutionary strategy, including the time required to complete each stage. This applies in particular to the parameters of the mutation operator and the elite strategy. The proposed algorithm was tested on two real-world maps with varying levels of complexity. Its effectiveness was confirmed by comparison with path planning results for test maps obtained using a standard genetic algorithm and an ant colony optimization algorithm. Experimental results demonstrate that the hybrid algorithm expands the capabilities of a conventional genetic algorithm and finds rational path variants with the best objective function value for single and multiple objectives in significantly less time than other traditional GA implementations.

Path planning; genetic algorithm; PRM; mobile robots; multi-goal path.

Введение. В мобильной робототехнике планирование пути роботов является важной задачей, особенно в средах, содержащих препятствия [1]. Поиск подходящего, свободного от столкновений пути для перемещения робота из начальной точки к одной или нескольким целям, которые могут быть независимыми, зависимыми или представлять собой их комбинацию, является основной целью задачи, известной как задача планирования пути роботов. Проблема оптимизации пути предполагает поиск допустимого варианта пути, оптимального или близкого к оптимальному с точки зрения минимизации времени перемещения роботов, пройденного расстояния или других оптимизационных критериев [2]. Общепринятым критерием является длина пройденного пути.

В последнее время для решения задач планирования траектории движения роботов используются как подходы, основанные на известных алгоритмах, так и разрабатываются новые методы. В частности, в [3] предложен метод, основанный на геометрическом описании структуры окружающей среды, который обеспечивает эффективный поиск в пространстве конфигураций и рациональное планирование пути при условии сбалансированности точности и скорости перемещения. В [4] исследователи разработали альтернативный подход к повышению эффективности планирования пути робота и обхода препятствий. Он добавляет температурную составляющую к функции потенциального поля, но его чувствительность к настройке параметров остаётся недостатком. В [5] проектирование пути осуществляется с помощью разработанной модели нейронной сети. Модель формирует веса для каждого соседа в зависимости от препятствия, искомого пути и случайного геометрического графа, что помогает планировать путь и избегать препятствий. Однако этот метод увеличивает вычислительную сложность и приводит к необходимости переобучения. Как известно, эффективность используемых подходов во многом определяется конкретными особенностями и параметрами решаемых задач. Как и в большинстве задач дискретной оптимизации, задачи планирования пути робота обычно связаны с тремя основными трудностями: вычислительная сложность задачи, быстрое схождение алгоритма к нерациональному решению, являющемуся локальным оптимумом, и адаптивность алгоритма.

Генетические алгоритмы (GA) эффективно применяются для решения многочисленных задач оптимизации с момента их появления в 1975 году. Как известно, генетический алгоритм не является жестким детерминированным алгоритмом, а представляет собой множество стохастических стратегий поиска, основанных на эмуляции процессов естественной эволюции и зависящих от конкретной реализации. То же самое касается и других метаэвристик. В частности, в [6–8] описаны примеры реализации метаэвристических алгоритмов и выбор их числовых параметров применительно к решению некоторых прикладных задач. Успех GA во многих приложениях можно объяснить возможностью применения функций параллельного поиска и быстрым нахождением множеств допустимых решений, содержащих рациональные и близкие к оптимальным решения [9]. Неудивительно, что генетические алгоритмы используются так же для планирования маршрутов мобильных роботов. В частности, в [10] был предложен усовершенствованный генетический алгоритм. Новая модель использует оценку приспособленности каждой

клетки в среде для непосредственного управления процессом инициализации популяции, что сокращает количество непрактичных путей. Однако подход, основанный на клетках, оставляет (не в полной мере решённой) проблему необходимости поддержки баланса между точностью и скоростью обработки информации. В [11] был представлен новый генетический метод, основанный на знаниях, для построения пути, избегающего столкновений в сложной среде. Он использует пять операторов, специфичных для конкретной ситуации, в дополнение к методу локального поиска; однако это преимущество достигается за счёт увеличения временных затрат. Модифицированный алгоритм оптимизации колонии муравьёв и генетический алгоритм (MACOGA), новый метод оптимизации, представленный в [12], предназначен для эффективной навигации в пространстве сетки, но не подходит для больших карт. Кроме того, АСО по-прежнему требует корректировки параметров. Ниже описаны две важные особенности в традиционных подходах GA к планированию движения роботов:

1) Используя подходы, основанные на ячейках, среда делится на двумерную матрицу, где каждая ячейка окрашивается в чёрный цвет, если присутствует препятствие, или в белый цвет, если она пуста. При таком разделении должен быть компромисс между скоростью и точностью обработки информации. Если мы хотим иметь быстрый планировщик, то использование крупнозернистых ячеек приведет к неправильному распознаванию свободных и занятых ячеек, что приведет к нерациональному варианту пути. Для эффективного проектирования близкого к оптимальному пути, необходимо использовать мелкозернистые ячейки, чтобы точно находить свободные и занятые ячейки. Это касается широко используемой методологии композитно-пространственной карты [13,14].

2) Существующие подходы сначала генерируют начальную популяцию некоторых путей, независимо от того, являются ли они осуществимыми или нет. Эта случайная популяция может замедлить скорость сходимости, что может привести к нахождению подходящего пути в более высоких поколениях [15].

В данной статье предлагается гибридный вероятностный метод дорожной карты и алгоритма адаптивного GA для планирования пути с одной или несколькими независимыми целями. Подход основан на обработке изображений и морфологических операциях для определения объектов вместо обычных подходов на основе клеток, что устраняет необходимость компромисса между точностью и скоростью при отображении окружающей среды.

Кроме того, метод предлагает новый способ создания начальной популяции традиционного алгоритма GA, который находит путь без столкновений приемлемого качества с использованием метода вероятностной дорожной карты (PRM) [16, 17], который ускоряет сходимость и находит рациональный (или почти оптимальный) путь за меньшее количество поколений.

Остальная часть статьи организована следующим образом: Раздел 1 содержит описание решаемой задачи. Раздел 2 описывает предлагаемую методологию. В разделе 3 представлен анализ экспериментальных результатов. В разделе 4 приводятся выводы и рекомендации по дальнейшей работе.

1. Постановка задачи. В данной статье рассматриваются два типа задач. Первый тип – это планирование пути с одной целью, где каждый возможный путь состоит из начального узла, целевого узла и нескольких промежуточных узлов. Второй тип – это планирование пути для нескольких независимых целей, где возможный путь включает как минимум один начальный узел, несколько независимых целей и несколько промежуточных узлов между начальным узлом и первым целевым узлом, а также между любыми двумя целевыми узлами.

1.1. В работе используются следующие предположения

1. Целью является нахождение оптимального, близкого к оптимальному или рационального пути с учетом пройденного роботом расстояния в качестве критерия оптимизации. В случае, когда оценка близости полученного решения к оптимальному невозможна, рациональность полученного решения определяется исходя из других критериев (сравнение со значениями, полученными другими алгоритмами, технологичности пути, адекватностью времени получения решения и др.)

2. Все среды статичны.
3. Предполагается, что вся информация об окружающей среде известна заранее.
4. Мобильный робот рассматривался как точка, граница препятствия состоит из его фактических геометрических границ плюс минимальное расстояние, которое необходимо роботу для обеспечения безопасности [18].

1.2. Математическая постановка задачи планирования пути для одной и/или нескольких целей. В качестве математической модели, с помощью которой можно сформулировать задачу планирования пути как задачу оптимизации, направленную на поиск кратчайшего пути, можно, например, использовать модель МІР (Mixed Integer Program):

Пусть x_{ij} – двоичная переменная ($x_{ij} \in \{0,1\}$) принимающая значение 1, если путь робота содержит перемещение от цели i до цели j , и 0 в противном случае. Пусть также d_{ij} – расстояние между целями i и j .

Целевая функция:

Минимизировать функцию $\sum_i \sum_j d_{ij} * x_{ij}$

при условии:

$\sum_i x_{ij} = 1$ (для каждой цели j), $\sum_j x_{ij} = 1$ (для каждой цели i)

2. Предлагаемая методология: гибридная вероятностная дорожная карта и адаптированный генетический алгоритм. 2.1. Представление окружающей среды (построение карты). В работе для чтения реалистичных карт и описания данных о среде перемещения робота использовался метод обработки изображений на основе морфологических операций. На первом этапе метода обрабатываются данные двумерного изображения карты в формате jpg. Далее полученная информация о цвете пикселей преобразуется в оттенки серого, а затем в двоичное черно-белое изображение. При необходимости степень затемнения увеличивается. На третьем этапе на изображении определяется форма и размеры препятствий. Специальный алгоритм определяет их границы посредством морфологических операций, и заполняется области препятствий черным цветом [19].

Этапы метода:

1. Чтение карты в формате JPG.
2. Преобразование изображение в оттенки серого, а затем – в двоичное изображение.
3. Определение структурных элементов.
4. Применение функции эрозию (морфологическая операция).
5. Инвертирование бинарного изображения.
6. Определение внешних границ препятствий в бинарном изображении.
7. Определение внутренних границ препятствия, внутри которых также могут быть другие объекты.
8. Формирование новой бинарной карты.
9. Отображение карты.

2.2. Представление пути (представление хромосомы). В предлагаемом алгоритме проектирования пути робота путь может содержать начало и одну цель, или начало и несколько (n) целей $\{T_1, T_2, \dots, T_n\}$, которые могут появляться в любом порядке. Пути рассматриваются как хромосомы разной длины, а гены представляли собой узлы путей (декартовы точки на плоскости). Хромосома в общем виде представляется в виде списка пар $(x_0, y_0), (x_1, y_1), \dots, (x_n, y_n)$, где (x_0, y_0) – начальная точка, а (x_n, y_n) – конечная точка. Мы также предполагаем, что (x_i, y_i) и (x_{i+1}, y_{i+1}) соединены отрезком прямой.

2.3. Начальная популяция. Как уже отмечалось выше, предлагаемый в работе алгоритм имеет различие с другими существующими генетическими алгоритмами в способе генерации начальной популяции.

Обычные генетические алгоритмы генерируют пути от начальной точки до цели, не принимая во внимание, могут ли пути сталкиваться с препятствиями, что увеличивает количество генераций и время, необходимое для достижения наилучшего решения (пути). Предлагаемый подход генерирует только возможные (допустимые) пути: во-первых, он использует алгоритм PRM для построения возможных путей (основная функция PRM – поиск пути без столкновений и с приемлемым качеством). Три основных шага PRM [20] следующие: (1) создание случайных контрольных точек в свободном пространстве конфигураций; (2) соединение этих точек для формирования единого графа путем соединения ребер, пересекающих свободное пространство; и (3) нахождения кратчайшего пути между начальной и целевой вершинами.

Шаги предлагаемого алгоритма:

1. Инициализировать пустой граф G .
2. В пространстве конфигураций сгенерировать случайные узлы и найти недопустимые случаи, когда узлы размещены внутри границ препятствий.
3. Добавить допустимые узлы в граф G .
4. Соединить соседние узлы в G с помощью локальных планировщиков и проверить наличие столкновений.
5. Добавить свободные от столкновений ребра в граф G .
6. Повторить шаги 2–5, пока в G не будет добавлено достаточное количество узлов и соединений.
7. Использовать метод планирования пути (например, алгоритм Дейкстры или A^*), чтобы определить маршрут от начальной точки до цели.

PRM генерирует путь с начальной и целевой точкой, если присутствует только одна цель. Однако, если присутствует несколько целей, необходимо использовать другую тактику. PRM следует применять между начальной точкой и каждой целью, а также между каждой целью и оставшимися целями, по крайней мере, три раза. В результате будут созданы три сегментные линии между каждой целью и начальной точкой, а также между каждой целью и другой целью. Затем эти линии необходимо соединить таким образом, чтобы создать возможные пути с начальной точкой и всеми целями в случайной последовательности. Цели не должны повторяться более одного раза в любом пути, что создает популяцию GA. Несмотря на отсутствие столкновений, пути, созданные PRM, могут иметь крутые повороты и не являются допустимыми путями. Чтобы найти путь, который допустим, мы должны теперь уточнить их, используя некоторые генетические операторы в нескольких поколениях, чтобы достичь оптимального или почти оптимально-рационального пути среди множества допустимых.

2.4. Целевая функция. Качество путей оценивается и определяется с помощью функции пригодности. Поскольку каждый путь является допустимым, то единственным оптимизационным критерием остается длина пути f .

$$f = 1 / \sum_{i=1}^n d_i,$$

где d_i , – эвклидова длина пути [21]:

$$d_i = \sqrt{(x_{(i+1)} - x_i)^2 + (y_{(i+1)} - y_i)^2},$$

здесь x_i и x_{i+1} – X-координаты i -ой и $(i+1)$ -ой точки пути P соответственно. Аналогично, y_i и y_{i+1} – Y-координаты i -ой и $(i+1)$ -ой точки пути P .

2.5. Схема алгоритма. Схема алгоритма представлена на рис. 1.

2.5.1 Оператор отбора. Известно, что идея «выживания наиболее приспособленных» особей служит основой для операторов отбора в GA [22]. Особи, имеющие более высокое значение приспособленности, имеют высокую вероятность быть отобранными для следующего поколения этим оператором. Существует несколько методов отбора. В этой работе был применен метод отбора на основе «колеса рулетки».

2.5.2. *Оператор кроссовера.* Две родительские хромосомы обмениваются информацией друг с другом через оператор кроссовера, чтобы произвести двух потомков для следующего поколения. Каждый путь может иметь множество целевых узлов, расположенных в случайном порядке в дополнение к начальному узлу. В этом случае путь необходимо разделить на сегменты, равные количеству его целей, прежде чем можно будет выполнить операцию кроссовера. Затем, как указано в [23], выполняется одноточечный кроссинговер между сегментами пути выбранных путей, если они принадлежат либо к первому, либо ко второму случаю. Затем вновь созданные сегменты пути объединяются и перестраиваются в соответствии с исходным порядком путей. С другой стороны, одноточечное скрещивание выполняется немедленно без необходимости деления и слияния, когда путь имеет одну цель.



Рис. 1. Схема предлагаемого гибридного алгоритма

2.5.3. *Оператор мутации.* Чтобы исследовать пространство решений и избежать попадания в ловушку локальных оптимумов, оператор мутации добавляет некоторое генетическое разнообразие в популяцию [24]. В этой работе оператор мутации будет выбирать узел из пути случайным образом (но не начальную или целевую точки), и генерировать несколько точек вокруг выбранного узла. Затем оператор выбирает один из сгенерированных узлов на основе значения функции приспособленности для пути.

2.6. *Элитная стратегия.* При кроссинговере или мутации хромосомы могут быть изменены; лучшая хромосома из предыдущего поколения может быть потеряна; поэтому цель элитной стратегии – сохранить ее в текущем поколении [25]. Предлагаемый алгоритм сохраняет 10% лучших хромосом.

2.7. *Условие завершения.* Поскольку для GA нет общих стандартов остановки процесса поиска оптимального решения [26], то условие завершения определяется разработчиком исходя из особенностей решаемой задачи. В данной реализации алгоритма условием завершения является превышение предельного числа поколений, а именно, 100.

3. Эксперименты и результаты. Проведено два вычислительных эксперимента (один – для планирования пути робота с одной целью), и второй – с несколькими целями. Результаты эксперимента для одной цели приведены в разделе 3.1 вместе со сравнением производительности предлагаемого подхода с традиционным GA и оптимизацией по алгоритму муравьиной колонии (ACO). Раздел 3.2 содержит результаты расчета для нескольких целей. Для проведения всех экспериментов использовался ноутбук, оснащенный процессором Core (TM) i7-11800H и 16 ГБ оперативной памяти.

3.1. Экспериментальные результаты пути робота с одной целью. Чтобы продемонстрировать осуществимость и эффективность предлагаемого подхода, проведены имитационные эксперименты на двух реальных картах с разной степенью сложности. Две реальные карты первоначально были спроектированы как векторные 2D изображения с помощью программы AutoCAD, затем они были преобразованы в растровый формат JPG. Результат обработки изображений по описанному в разделе 2.1 алгоритму приведен на рис. 2,а–в и 3,а–в. Затем алгоритм PRM был использован для генерации возможных путей; после этого адаптированный GA использовал эти пути как популяцию и использовал их для создания наилучшего рационального варианта пути. На рис. 4,а и 5,а на обеих картах показаны пути, полученные с помощью описанного в статье алгоритма,

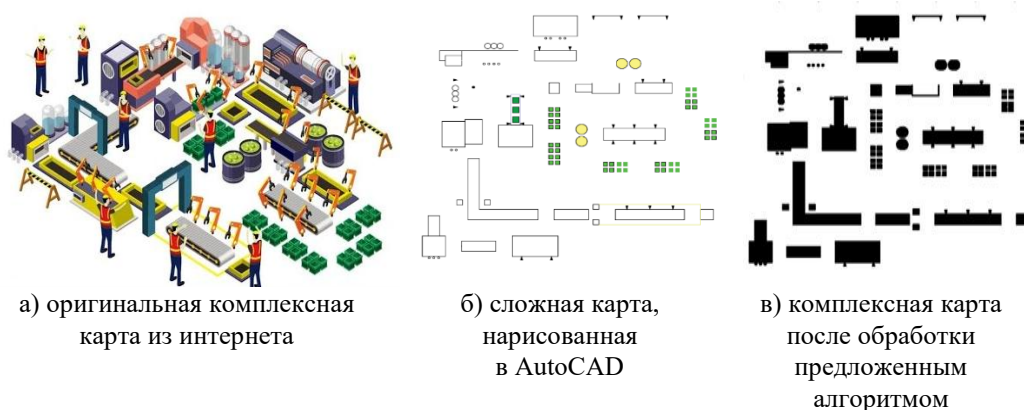


Рис. 2. Представления сложной карты

Алгоритм PRM сгенерировал 1000 узлов для всех экспериментов моделирования на обеих картах. Разумеется, число узлов существенно влияет на время вычислений. Данное число было выбрано для обеспечения необходимого качества расчета и получения рационального варианта пути.

Параметры управления для адаптированного GA:

- ◆ Количество поколений: 100.
- ◆ Размер популяций: 10.
- ◆ Вероятность кроссовера: 0,85.
- ◆ Вероятность мутации: 0,01.

Размер обеих карт составляет (10 м на 10 м). Большой круг представляет начальную точку, а маленький круг представляет целевую точку. Прямые линии представляют возможные пути, сгенерированные алгоритмом PRM, а пунктирная линия представляет наилучшее решение (путь), полученное AGA. Как показано на рис. 4,а и 5,а, разработанный гибридный алгоритм формирует рациональные варианты пути без столкновений. Более того, как показано на рис. 4,б и 5,б, процесс моделирования с использованием алгоритма PRM AGA обеспечил получение рациональных вариантов путей за 23 итерации, вместо максимального установленного количества итераций, равным 100.



Рис. 3. Представления простой карты

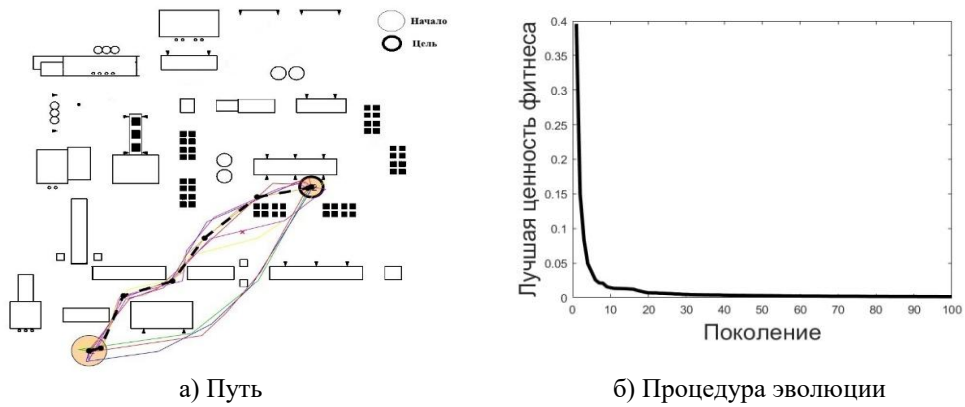


Рис. 4. Результаты расчёта для сложной карты

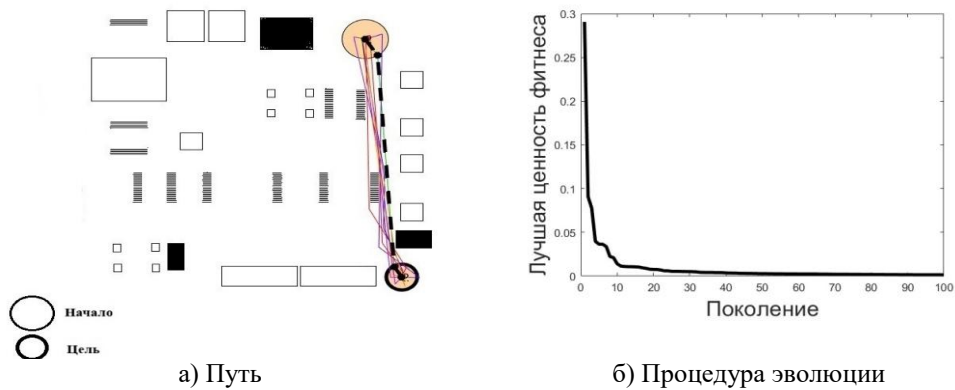


Рис. 5. Результаты расчёта для простой карты

Эффективность предлагаемого подхода иллюстрирует табл. 1, в которой показаны результаты расчета в сравнении с традиционным GA [27] и ACO [28] в сложной среде (табл. 1).

Таблица 1

Сравнение производительности

	PRM AGA	GA	ACO
Время/сек.	105	265	981
Значение приспособленности	0,0037	0,0026	0,0035

Как видно из табл. 1, PRMAGA на выбранных картах работает быстрее традиционных GA и ACO; время выполнения уменьшилось на 60,38% по сравнению с GA и на 89,3% – по сравнению с алгоритмом ACO. Предложенный гибридный алгоритм также обеспечил лучшее значение приспособленности, чем два других: 42,31% и 5,71% по сравнению с алгоритмами GA и ACO соответственно.

3.2. Экспериментальные результаты пути робота, содержащего несколько целей. Предложенный подход применен также к сложным и простым картам в случае планирования пути с несколькими независимыми целями. Экспериментальные результаты показаны на рис. 6, а, б и 7, а, б, которые представляют сложную среду и простую среду соответственно. На рис. 6 и 7 показаны пути, спроектированные с помощью предложенного подхода в обеих средах и с различным количеством целей. Значения различных видов вероятности для всех операторов считаются одинаковыми, как указано в разделе 3.1.

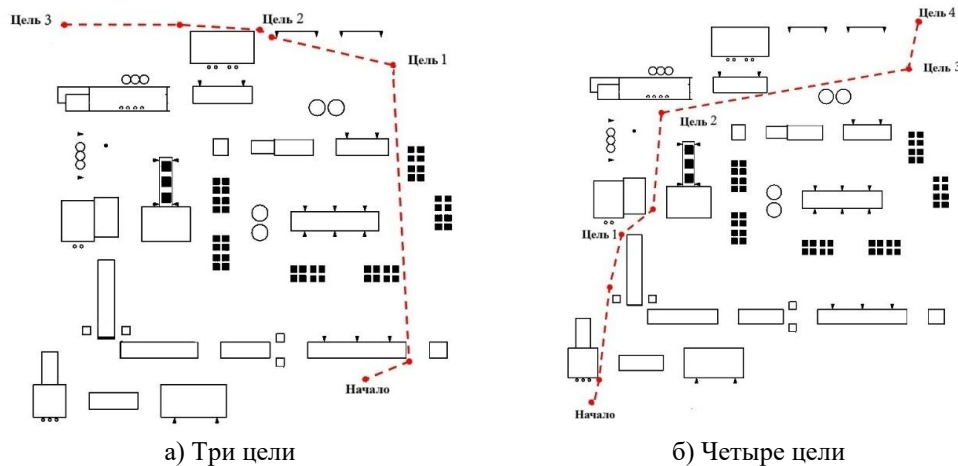


Рис. 6. Путь по сложной карте с одним стартом

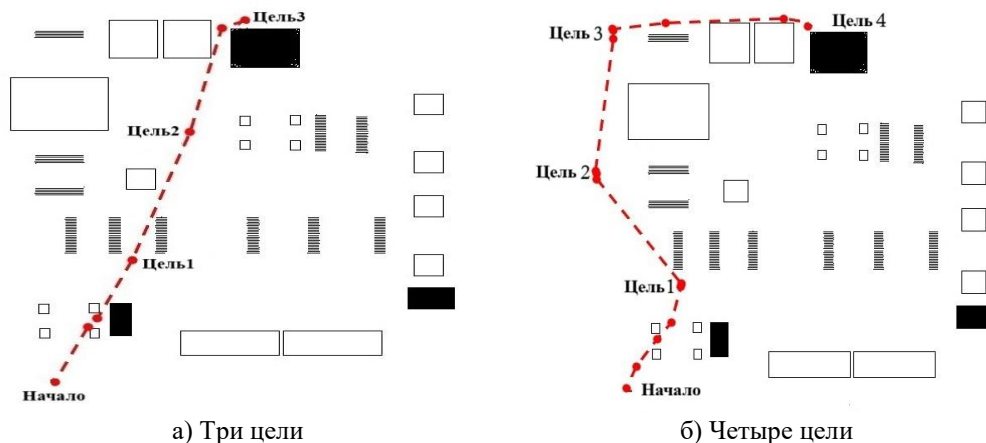


Рис. 7. Путь по простой карте с одним стартом

Экспериментальные результаты демонстрируют адекватность разработанного подхода как в простых, так и в сложных средах с различным количеством независимых целей. Этот факт доказывает, что предлагаемая стратегия масштабируется в зависимости от количества независимых целей, размера среды и ее сложности.

Заключение. В статье предложен новый подход и гибридный алгоритма PRM и AGA для планирования пути мобильных роботов, имеющих одну или несколько независимых целей. Как показывает вычислительный эксперимент, предлагаемый алгоритм, удваивает на выбранных тестах эффективность традиционных существующих методов на основе GA. При обработке информации о картах предлагаемый подход опирается на морфологические процедуры. Предложен новый алгоритм формирования начальной популяции, состоящей полностью из путей без столкновений, что ускоряет эволюционный процесс и позволяет проектировать рациональные пути с одной или несколькими целями за меньшее время. В дальнейшем необходимо провести более расширенный вычислительный эксперимент. Предложенный подход также может быть реализован в будущем для использования в неизвестной среде и с динамическими препятствиями или целями.

БИБЛИОГРАФИЧЕСКИЙ СПИСОК

1. *Pshikhopov V., Medvedev M., Kostjukov V., Houssein F., and Kadhim A.* Trajectory planning algorithms in two-dimensional environment with obstacles // Информатика и автоматизация. – 2022. – Vol. 21, No. 3. – P. 459-492.
2. *Cui J., Wu L., Huang X., Xu D., Liu C., and Xiao W.* Multi-strategy adaptable ant colony optimization algorithm and its application in robot path planning // Knowledge-Based Syst. – 2024. – Vol. 288. – P. 111459.
3. *Lacevic B. and Osmankovic D.* Improved C-space exploration and path planning for robotic manipulators using distance information // in 2020 IEEE International Conference on Robotics and Automation (ICRA), IEEE, 2020. – P. 1176-1182.
4. *Fan X., Guo Y., Liu H., Wei B., and Lyu W.* Improved artificial potential field method applied for AUV path planning // Math. Probl. Eng. – 2020. – Vol. 2020, No. 1. – P. 6523158.
5. *Diao X., Chi W., and Wang J.* Graph Neural Network Based Method for Robot Path Planning // Biomimetic Intelligence and Robotics. – 2024. – Vol. 4, No. 1, article no. 100147.
6. *Цыганков В.А., Шабалина О.А., Катаев А.В.* Исследование воздействия размера популяции на производительность генетического алгоритма // Известия ЮФУ. Технические науки. – 2024. – № 3.
7. *Гладков Л.А., Кравченко Ю.А., Курейчик В.В., Родзин С.И.* Интеллектуальные системы: модели и методы метаэвристической оптимизации: монография. – Чебоксары: Среда, 2024. – 228 с.
8. *Кравченко Д.Ю., Кулиева Н.В., Новикова Ю.С., Анчиков М.И.* Структуризация информации на основе комбинации генетического, роевого и обезьяньего алгоритмов // Известия КБНЦ РАН. – 2019. – № 5 (91). – URL: <https://cyberleninka.ru/article/n/strukturalizatsiya-informatsii-na-osnove-kombinatsii-geneticheskogo-roevogo-i-obezyaniyego-algoritmov> (дата обращения: 26.10.2025).
9. *Liu L., Wang X., Yang X., Liu H., Li J., and Wang P.* Path planning techniques for mobile robots: Review and prospect // Expert Syst. Appl. – 2023. – Vol. 227. – P. 120254.
10. *Ab Wahab M.N., Nazir A., Khalil A., Ho W.J., Akbar M.F., M. Noor M.H.M., et al.* Improved Genetic Algorithm for Mobile Robot Path Planning in Static Environments // Expert Systems with Applications. – 2024. – Vol. 249, Part C, article no. 123762.
11. *Li J., Hu Y., and Yang S.X.* A Novel Knowledge-Based Genetic Algorithm for Robot Path Planning in Complex Environments // IEEE Transactions on Evolutionary Computation. – 2025. – Vol. 29, No. 2. – P. 375-389.
12. *Heng H. and Rahiman W.* ACO-GA-Based Optimization to Enhance Global Path Planning for Autonomous Navigation in Grid Environments // IEEE Transactions on Evolutionary Computation. – 2025. – P. 1-15.
13. *Sarkar R., Barman D., and Chowdhury N.* Domain knowledge based genetic algorithms for mobile robot path planning having single and multiple targets // J. King Saud Univ. Comput. Inf. Sci. – 2022. – Vol. 34, No. 7. – P. 4269-4283. – doi: 10.1016/j.jksuci.2020.10.010.
14. *Bandi S. and Thalmann D.* Space discretization for efficient human navigation // in Computer Graphics Forum, Wiley Online Library. – 1998. – P. 195-206.
15. *Mahjoubi H., Bahrami F., and Lucas C.* Path planning in an environment with static and dynamic obstacles using genetic algorithm: a simplified search space approach // in 2006 IEEE International Conference on Evolutionary Computation, IEEE, 2006. – P. 2483-2489.

16. Van Truc T. and Korikov A.M. Path planning for mobile objects based on modification of the probabilistic roadmap method // Vestn. Tomsk. Gos. Univ. - Upr. Vychislitel'naya Tekhnika i Inform. – 2024. – No. 67. – P. 106-115. – doi: 10.17223/19988605/67/11.
17. Li Q., Xu Y., Bu S., and Yang J. Smart vehicle path planning based on modified PRM algorithm // Sensors. – 2022. – Vol. 22, No. 17. – P. 6581.
18. Hu Y. and Yang S.X. A knowledge based genetic algorithm for path planning of a mobile robot // in IEEE International Conference on Robotics and Automation, 2004. Proceedings. ICRA'04. 2004, IEEE, 2004. – P. 4350-4355.
19. Azabairi S., Petunin A., Alwan H.L., Msallam M.M., and Humaidi A. Dynamic Processing 2D Maps Method for Robot's Trajectory Planning // Proc. Eng. Technol. Innov. – 2025. – Vol. 30. – P. 79-89.
20. Huang Y., Wang H., Han L., and Xu Y. Robot path planning in narrow passages based on improved PRM method // Intell. Serv. Robot. – 2024. – P. 1-12.
21. Liu J., Fu M., Liu A., Zhang W., and Chen B. A Homotopy Invariant Based on Convex Dissection Topology and a Distance Optimal Path Planning Algorithm // IEEE Robot. Autom. Lett. – 2023.
22. Sarkar R., Barman D., and Chowdhury N. A cooperative co-evolutionary genetic algorithm for multi-robot path planning having multiple targets // in Computational Intelligence in Pattern Recognition: Proceedings of CIPR 2019. – Springer, 2020. – P. 727-740.
23. Tuncer A. and Yildirim M. Dynamic path planning of mobile robots with improved genetic algorithm // Comput. Electr. Eng. – 2012. – Vol. 38, No. 6. – P. 1564-1572.
24. Alabbadi A. and Kanan A. Genetic Algorithm-Based Path Planning for Autonomous Mobile Robots // in 2023 IEEE Jordan International Joint Conference on Electrical Engineering and Information Technology (JEEIT), IEEE, 2023. – P. 177-180.
25. Yao Z. and Xu Y. An improved genetic algorithm for robot path planning // J. Comput. Methods Sci. Eng. – 2024. – Vol. 24, No. 3. – P. 1331-1340.
26. Murthy C.A. and Chowdhury N. In search of optimal clusters using genetic algorithms // Pattern Recognit. Lett. – 1996. – Vol. 17, No. 8. – P. 825-832.
27. Qu H., Xing K., and Alexander T. An improved genetic algorithm with co-evolutionary strategy for global path planning of multiple mobile robots // Neurocomputing. – 2013. – Vol. 120. – P. 509-517. – doi: 10.1016/j.neucom.2013.04.020.
28. Dorigo M., Maniezzo V., and Colomi A. Ant system: optimization by a colony of cooperating agents // IEEE Trans. Syst. man, Cybern. – 1996. – Part b. – Vol. 26, No. 1. – P. 29-41.

REFERENCES

1. Pshikhopov V., Medvedev M., Kostjukov V., Houssein F., and Kadhim A. Trajectory planning algorithms in two-dimensional environment with obstacles, *Informatika i avtomatizatsiya* [Computer Science and Automation], 2022, Vol. 21, No. 3, pp. 459-492.
2. Cui J., Wu L., Huang X., Xu D., Liu C., and Xiao W. Multi-strategy adaptable ant colony optimization algorithm and its application in robot path planning, *Knowledge-Based Syst.*, 2024, Vol. 288, pp. 111459.
3. Lacevic B. and Osmankovic D. Improved C-space exploration and path planning for robotic manipulators using distance information, in *2020 IEEE International Conference on Robotics and Automation (ICRA)*, IEEE, 2020, pp. 1176-1182.
4. Fan X., Guo Y., Liu H., Wei B., and Lyu W. Improved artificial potential field method applied for AUV path planning, *Math. Probl. Eng.*, 2020, Vol. 2020, No. 1, pp. 6523158.
5. Diao X., Chi W., and Wang J. Graph Neural Network Based Method for Robot Path Planning, *Biomimetic Intelligence and Robotics*, 2024, Vol. 4, No. 1, article no. 100147.
6. Tsygankov V.A., SHabalina O.A., Kataev A.V. Issledovanie vozdeystviya razmera populyatsii na bystrodeystvie geneticheskogo algoritma [Study of the impact of population size on the performance of a genetic algorithm], *Izvestiya YuFU. Tekhnicheskie nauki* [Izvestiya SFedU. Engineering Sciences], 2024, No. 3.
7. Gladkov L.A., Kravchenko Yu.A., Kureychik V.V., Rodzin S.I. Intellektual'nye sistemy: modeli i metody metaevristicheskoy optimizatsii: monografiya [Intelligent systems: models and methods of metaheuristic optimization: monograph]. Cheboksary: Sreda, 2024, 228 p.
8. Kravchenko D.Yu., Kulieva N.V., Novikova Yu.S., Anchekov M.I. Strukturizatsiya informatsii na osnove kombinatsii geneticheskogo, roevogo i obez'yan'ego algoritmov [Information structuring based on a combination of genetic, swarm and monkey algorithm], *Izvestiya KBNTS RAN* [Bulletin of the KBSC RAS], 2019, No. 5 (91). Available at: <https://cyberleninka.ru/article/n/strukturizatsiya-informatsii-na-osnove-kombinatsii-geneticheskogo-roevogo-i-obezyaniyego-algoritmov> (accessed 26 October 2025).

9. Liu L., Wang X., Yang X., Liu H., Li J., and Wang P. Path planning techniques for mobile robots: Review and prospect, *Expert Syst. Appl.*, 2023, Vol. 227, pp. 120254.
10. Ab Wahab M.N., Nazir A., Khalil A., Ho W.J., Akbar M.F., M. Noor M.H.M., et al. Improved Genetic Algorithm for Mobile Robot Path Planning in Static Environments, *Expert Systems with Applications*, 2024, Vol. 249, Part C, article no. 123762.
11. Li J., Hu Y., and Yang S.X. A Novel Knowledge-Based Genetic Algorithm for Robot Path Planning in Complex Environments, *IEEE Transactions on Evolutionary Computation*, 2025, Vol. 29, No. 2, pp. 375-389.
12. Heng H. and Rahiman W. ACO-GA-Based Optimization to Enhance Global Path Planning for Autonomous Navigation in Grid Environments, *IEEE Transactions on Evolutionary Computation*, 2025, pp. 1-15.
13. Sarkar R., Barman D., and Chowdhury N. Domain knowledge based genetic algorithms for mobile robot path planning having single and multiple targets, *J. King Saud Univ. Comput. Inf. Sci.*, 2022, Vol. 34, No. 7, pp. 4269-4283. doi: 10.1016/j.jksuci.2020.10.010.
14. Bandi S. and Thalmann D. Space discretization for efficient human navigation, in *Computer Graphics Forum*, Wiley Online Library, 1998, pp. 195-206.
15. Mahjoubi H., Bahrami F., and Lucas C. Path planning in an environment with static and dynamic obstacles using genetic algorithm: a simplified search space approach, in *2006 IEEE International Conference on Evolutionary Computation, IEEE, 2006*, pp. 2483-2489.
16. Van Truc T. and Korikov A.M. Path planning for mobile objects based on modification of the probabilistic roadmap method, *Vestn. Tomsk. Gos. Univ. Upr. Vychislitel'naya Tekhnika i Inform.*, 2024, No. 67, pp. 106-115. doi: 10.17223/19988605/67/11.
17. Li Q., Xu Y., Bu S., and Yang J. Smart vehicle path planning based on modified PRM algorithm, *Sensors*, 2022, Vol. 22, No. 17, pp. 6581.
18. Hu Y. and Yang S.X. A knowledge based genetic algorithm for path planning of a mobile robot, in *IEEE International Conference on Robotics and Automation, 2004. Proceedings. ICRA'04. 2004, IEEE, 2004*, pp. 4350-4355.
19. Azubairi S., Petunin A., Alwan H.L., Msallam M.M., and Humaidi A. Dynamic Processing 2D Maps Method for Robot's Trajectory Planning, *Proc. Eng. Technol. Innov.*, 2025, Vol. 30, pp. 79-89.
20. Huang Y., Wang H., Han L., and Xu Y. Robot path planning in narrow passages based on improved PRM method, *Intell. Serv. Robot.*, 2024, pp. 1-12.
21. Liu J., Fu M., Liu A., Zhang W., and Chen B. A Homotopy Invariant Based on Convex Dissection Topology and a Distance Optimal Path Planning Algorithm, *IEEE Robot. Autom. Lett.*, 2023.
22. Sarkar R., Barman D., and Chowdhury N. A cooperative co-evolutionary genetic algorithm for multi-robot path planning having multiple targets, in *Computational Intelligence in Pattern Recognition: Proceedings of CIPR 2019*. Springer, 2020, pp. 727-740.
23. Tuncer A. and Yildirim M. Dynamic path planning of mobile robots with improved genetic algorithm, *Comput. Electr. Eng.*, 2012, Vol. 38, No. 6, pp. 1564-1572.
24. Alabbadi A. and Kanan A. Genetic Algorithm-Based Path Planning for Autonomous Mobile Robots, in *2023 IEEE Jordan International Joint Conference on Electrical Engineering and Information Technology (JEEIT), IEEE, 2023*, pp. 177-180.
25. Yao Z. and Xu Y. An improved genetic algorithm for robot path planning, *J. Comput. Methods Sci. Eng.*, 2024, Vol. 24, No. 3, pp. 1331-1340.
26. Murthy C.A. and Chowdhury N. In search of optimal clusters using genetic algorithms, *Pattern Recognit. Lett.*, 1996, Vol. 17, No. 8, pp. 825-832.
27. Qu H., Xing K., and Alexander T. An improved genetic algorithm with co-evolutionary strategy for global path planning of multiple mobile robots, *Neurocomputing*, 2013, Vol. 120, pp. 509-517. doi: 10.1016/j.neucom.2013.04.020.
28. Dorigo M., Maniezzo V., and Colomi A. Ant system: optimization by a colony of cooperating agents, *IEEE Trans. Syst. man, Cybern.*, 1996, Part b, Vol. 26, No. 1, pp. 29-41.

Альзубайри Шаймаа М. Джавад Кадим – Уральский федеральный университет; e-mail: Shaymaaalzubairi77@gmail.com; г. Екатеринбург, Россия; инженер-исследователь.

Петунин Александр Александрович – Уральский федеральный университет; e-mail: a.a.petunin@urfu.ru; г. Екатеринбург, Россия; д.т.н., доцент; профессор, в.н.с. Института математики и механики им. Н.Н. Красовского УрО РАН.

Уколов Станислав Сергеевич – Уральский федеральный университет; e-mail: s.s.ukolov@urfu.ru; г. Екатеринбург, Россия; к.т.н.; с.н.с.

Alzubairi Shaymaa M. Jawad Kadhim – Ural Federal University; e-mail: Shaymaaalzubairi77@gmail.com; Yekaterinburg, Russia; research engineer.

Petunin Alexander Alexandrovich – Ural Federal University; e-mail: a.a.petunin@urfu.ru; Yekaterinburg, Russia; dr. of eng. sc., associate professor; professor, leading researcher of the N.N. Krasovskii Institute of Mathematics and Mechanics.

Ukolov Stanislav Sergeevich – Ural Federal University; e-mail: s.s.ukolov@urfu.ru; Yekaterinburg, Russia; cand. of eng. sc.; senior researcher.

УДК 004.056.5+004.492

DOI 10.18522/2311-3103-2025-5-18-35

Ал.В. Козачок, С.С. Матовых, Ан.В. Козачок

КАСКАДНЫЙ АЛГОРИТМ КЛАССИФИКАЦИИ ДЛЯ ОБНАРУЖЕНИЯ ВРЕДНОСНОГО ПРОГРАММНОГО ОБЕСПЕЧЕНИЯ МЕТОДОМ СТАТИЧЕСКОГО АНАЛИЗА

Представлено исследование, посвященное разработке и экспериментальной валидации двух-уровневой каскадной архитектуры статической классификации исполняемых файлов формата Portable Executable (PE). Целью работы является разработка и экспериментальная оценка каскадного алгоритма статической классификации, направленного на снижение вычислительных затрат при сохранении качества обнаружения вредоносного программного обеспечения. На первом уровне каскада применяется модель дерева решений, обученная на десяти наиболее информативных признаках, обеспечивающая высокую полноту обнаружения Recall 0,990 при приемлемой ошибке 1 рода. Второй уровень реализован моделью случайный лес на сорока признаках и предназначен для уточняющей классификации, достигая метрик Precision 0,988 и Recall 0,987 при F1-мере 0,988. Порог классификации на первом уровне был установлен эмпирически с учётом минимизации ошибок второго рода, тогда как на втором уровне оптимальное значение порога определялось по индексу Юдена, обеспечивающему сбалансированное соотношение чувствительности и специфичности. Эксперименты на репрезентативной выборке показали, что при доле вредоносного трафика $\leq 20\%$ предложенный каскад сокращает среднее время анализа одного объекта на 5–12% по сравнению с моделью на 40 признаках при сохранении сопоставимого качества классификации. Аналитически выведена граница применимости каскада по времени $P_M = 20,6\%$, подтвержденная эмпирическими данными. Практическая значимость работы заключается в возможности интеграции предложенного алгоритма в антивирусные шлюзы и средства защиты конечных точек, где требуются быстрый отклик и высокая полнота обнаружения при массовом сканировании преимущественно легитимного кода.

Вредоносное программное обеспечение; статический анализ; файлы формата Portable Executable; каскадный классификатор; машинное обучение; индекс Юдена.

Al.V. Kozachok, S.S. Matovykh, An.V. Kozachok

CASCADE CLASSIFICATION ALGORITHM FOR DETECTING MALICIOUS SOFTWARE BY STATIC ANALYSIS

A study is presented on the development and experimental validation of a two-level cascading architecture for static classification of Portable Executable (PE) format executable files. The aim of the work is to reduce computing costs without compromising the quality of malware detection. At the first level of the cascade, a decision tree model is used, trained on the ten most informative features, providing a high completeness of Recall 0.990 detection with an acceptable error of 1 kind. The second level is implemented by the random forest model on forty features and is intended for clarifying classification, reaching the metrics Precision 0.988 and Recall 0.987 with an F1 measure of 0.988. The classification threshold at the first level was established empirically, taking into account the minimization of errors of the second kind, while at the second level the optimal threshold value was determined by the Juden index, which provides a balanced ratio of sensitivity and specificity. Experiments on a representative sample have shown that with a malicious traffic fraction of $< 20\%$, the proposed cascade reduces the average analysis time of one object by 5–12% compared to the 40-feature model while maintaining comparable classification quality. The time limit of the cascade, $P_M = 20.6\%$, is analytically derived, confirmed by empirical data. The prac-

tical significance of the work lies in the possibility of integrating the proposed algorithm into antivirus gateways and endpoint protection tools, where fast response and high completeness of detection are required during mass scanning of mostly legitimate code.

Malicious software; static analysis; Portable Executable files; cascade classifier; machine learning; Yuden index.

Введение. Уже в ранних исследованиях по применению методов машинного обучения к задаче классификации исполняемых файлов формата Portable Executable (PE) была продемонстрирована принципиальная возможность автоматического выявления вредоносных объектов с использованием байтовых n-грамм в качестве признаков. Однако высокая вычислительная сложность таких моделей и необходимость обработки больших объемов входных данных существенно ограничивали их практическую применимость в реальных системах анализа [1].

С развитием глубоких нейронных сетей удалось добиться значительного повышения точности детектирования при одновременном снижении уровня ложноположительных классификаций. Тем не менее, как отмечается в ряде работ, такие методы остаются чувствительными к временным затратам и вычислительной нагрузке, особенно в условиях потоковой обработки многомиллионных массивов PE-файлов [2].

Более поздние исследования показали, что использование структурных и семантических признаков, извлекаемых из заголовков, секций, таблиц импорта и других полей формата PE, позволяет построить более эффективные модели. В частности, комбинирование различных статических признаков (например, DLL- и API-импорты, характеристики секций, размеры ресурсов и т.п.) обеспечивает высокую устойчивость классификаторов к вариантам вредоносных программ «нуля дня», при сохранении приемлемого уровня точности и низкой чувствительности к обфускации [3]. Эти результаты подтверждают, что статический анализ остается фундаментально значимым подходом в архитектуре современных систем обнаружения вредоносного ПО.

Ключевым фактором надежного статического анализа является корректное моделирование внутренней структуры формата Portable Executable, регламентированной спецификацией Microsoft PE/COFF [4]. Использование структурных полей (размеры секций, флаги загрузчика, адреса экспортов и импортов) обеспечивает интерпретируемость признаков и минимизирует риск обхода за счет поверхностных изменений. Тем не менее, модели, опирающиеся на сотни признаков, демонстрируют линейный рост времени обработки с объемом данных, что неприемлемо для систем превентивной фильтрации почтового и веб-трафика, работающих в режиме реального времени.

Настоящая работа продолжает исследования, изложенные в статье «Структурная модель файлов формата Portable Executable, содержащих вредоносный код» [5]. В ней была предложена структурная модель, включающая исходно 333 бинарных признака, а также описан подход оптимизации признакового пространства, позволивший существенно уменьшить число признаков до 40 наиболее информативных без потери точности классификации (F1-мера 0,982). Было установлено, что сокращение числа признаков до 10 обеспечивает приемлемый уровень точности (F1-мера 0,918), существенно сокращая время обработки файлов и обеспечивая возможность быстрого первичного анализа.

Целью данного исследования является разработка и экспериментальная оценка каскадного алгоритма классификации на основе указанных наборов признаков. Предлагаемый алгоритм предусматривает двухуровневую схему обработки файлов, где первый уровень выполняет первичную быструю фильтрацию с минимальным набором из 10 признаков, быстро отсеивая очевидно легитимные или явно вредоносные объекты. А второй уровень, состоящий из 40 признаков предназначен для детальной и точной классификации, обеспечивая высокую точность финального решения с оптимальным выбором адаптивных порогов, определенных по индексу Юдена. Таким образом, достигается экономия ресурсов, где каждый файл обрабатывается ровно до того уровня детализации, который необходим для вынесения решения с заданной достоверностью.

Обзор литературы. Методы статического анализа PE-файлов являются надежной основой для классификации вредоносных программ. Ранние исследования показывают, что использование признаков из заголовков, секций и таблиц импорта позволяет достичь точности свыше 98–99%. Работа [6] рассматривает детекторы на базе PE Header, а также анализирует эффективность классификаторов, построенных на ограниченном числе признаков. Авторы приходят к выводу, что чрезмерное увеличение размерности признакового пространства не всегда приводит к повышению точности, но существенно влияет на производительность.

В то же время возникает необходимость балансировки между качеством классификации и временем обработки. Исследование [7] демонстрирует подход, при котором используется фильтрация на основе простых эвристик, за которой следуют более точные, но ресурсоемкие модели. Концептуально близкой является идея каскадной классификации, впервые предложенная в контексте обработки изображений Виолой и Джонсом [8]. В их работе применялась цепочка классификаторов с возрастающей сложностью для ускоренного обнаружения объектов.

Ближайшим прямым аналогом разработанной каскадной архитектуры является работа [9], в которой предложена многоступенчатая схема классификации на основе ансамблей моделей (Random Forest, Bagging, Gradient Boosting) с мягким голосованием и регуляризацией. В отличие от большинства традиционных решений, признаки в данной работе формируются на уровне байтов и опкодов по схеме TF-IDF с учётом межклассовой вариативности, что позволяет повысить обобщающую способность моделей. Экспериментальная валидация выполнена на репрезентативном наборе Microsoft Big2015. По результатам испытаний получены следующие показатели на полной выборке Accuracy 98,97 %, Precision 98,59 %, Sensitivity 98,94 %, Specificity 98,87 %, F1-мера 98,18 %.

В области информационной безопасности концепции каскадных моделей получили развитие в работах [10]. Авторы разработали архитектуры, включающие несколько уровней фильтрации PE-файлов с использованием кластеризации и нейросетей. Отдельного внимания заслуживает система PROUD-MAL [11], демонстрирующая преимущества каскада для задач анализа исполняемых файлов. Такие архитектуры позволяют перераспределять ресурсы анализа: быстрые модели обрабатывают большинство образцов, а тяжелые применяются лишь к неоднозначным случаям.

Одной из актуальных задач при построении классификаторов для выявления вредоносного программного обеспечения является выбор порогового значения, разделяющего положительный (вредоносный) и отрицательный (легитимный) классы. При этом оптимизация порога оказывает непосредственное влияние на соотношение между ошибками первого и второго рода, особенно в условиях классовой несбалансированности и асимметричной стоимости ошибок. В ряде работ [12, 13] в качестве рационального критерия выбора порога предлагается использовать индекс Юдена (Youden's J-statistic), который учитывает одновременно чувствительность (Recall) и специфичность (Specificity), максимизируя разницу между истинноположительной и ложноположительной классификацией.

Анализ эффективности различных метрик качества в задачах бинарной классификации представлен в [14], где рассмотрены F1-мера, точность (Precision), полнота (Recall), а также ROC-кривая, площадь под ROC-кривой (AUC) и показатель осведомленности (Informedness).

С учетом анализа современного состояния исследований в данной области можно сформулировать следующие положения:

- ◆ статический анализ PE-файлов остается надежным источником признаков, применимых для машинной классификации;
- ◆ избыточное увеличение признакового пространства приводит к существенному росту времени анализа, без гарантированного повышения качества классификации;
- ◆ многоуровневые (каскадные) архитектуры позволяют реализовать обработку, при которой вычислительно простые модели отсеивают очевидные случаи, снижая общую нагрузку на систему;
- ◆ индекс Юдена и аналогичные пороговые критерии представляют собой эффективный инструмент для калибровки классификаторов.

Методы исследования. Проведенное исследование включает совокупность взаимосвязанных этапов, направленных на реализацию поставленной цели – разработку и экспериментальную верификацию каскадного алгоритма статической классификации PE-файлов [15]. Общая структура методики представлена на рис. 1 и включает следующие этапы.

На 1 этапе для проведения анализа была собрана репрезентативная выборка из 34 026 исполняемых файлов формата PE, включающая как вредоносные, так и легитимные [16]. При разделении на обучающую и тестовую выборки соблюдался классовый баланс, обеспечивающий достоверность оценки обобщающей способности моделей.

2 этап заключался в выборе оптимальных наборов признаков для каскадного классификатора. В качестве признаков использовались характеристики, извлекаемые средствами статического анализа. На основании результатов предварительного анализа важности признаков, выполненного с применением метода Extra Trees, были выделены два подмножества, 10 признаков для начального уровня каскада и расширенное 40 признаков для уточняющей классификации [17].

На 3 этапе был проведен сравнительный анализ времени обработки объектов при использовании моделей, обученных на различных объемах признаков [18]. Измерялись как средние, так и медианные значения времени анализа для вредоносных и легитимных файлов. Особое внимание уделялось выявлению взаимосвязи между размером признакового пространства и вычислительной нагрузкой.

4 этап включал настройку порогов классификации, где на первом уровне каскада порог классификации подбирался эмпирически с учетом минимизации ошибки второго рода (FNR) при допустимом уровне ложноположительных срабатываний [19]. На втором уровне порог определялся по индексу Юдена, обеспечивающему оптимальный баланс между чувствительностью и специфичностью. Дополнительно сравнивались модели, реализующие различные алгоритмы машинного обучения.

Заключительный 5 этап состоял из комплексной верификации разработанной архитектуры по совокупности метрик качества (Precision, Recall, F1), а также по временным характеристикам. Анализ включал расчет относительной экономии вычислительных ресурсов.



Рис. 1. Порядок проводимых исследований

В настоящем исследовании рассматривается построение двухуровневого каскадного алгоритма классификации исполняемых файлов формата Portable Executable (PE), основанного исключительно на признаках, извлекаемых методами статического анализа. Для проведения экспериментальной оценки была использована репрезентативная выборка, сформированная в рамках ранее выполненной работы, включающая 34 026 PE-файлов, из которых 17 992 являются вредоносными, предоставленные ресурсом Virusshare.com [20], а 16 034 – легитимными. Статистические характеристики выборки обеспечивали достаточную полноту и разнообразие наблюдений, что позволило гарантировать корректность как качественной, так и количественной интерпретации результатов.

Формирование признакового пространства основывалось на результатах предварительного этапа оптимизации, в рамках которого исходный массив из 333 признаков, полученных в ходе статического анализа, был подвергнут процедуре снижения размерности с использованием метода главных компонент (PCA) и алгоритма изолирующего леса (Isolation Forest). По итогам оценки информативности и вычислительной стоимости извлечения признаков были выделены два подмножества – из 10 и 40 признаков соответственно, обеспечивающих оптимальное соотношение между точностью классификации и временем анализа.

Первый уровень каскада модели на 10 признаков предназначен для первичной фильтрации и выявления заведомо вредоносных объектов при минимальной ошибке второго рода (False Negative Rate, FNR), что значимо с точки зрения обеспечения надежности системы. Второй уровень модели на 40 признаков осуществляет классификацию файлов, не распознанных на первом уровне, обеспечивая максимально возможную точность при ограниченном увеличении временных затрат.

Каждому уровню каскада соответствовала отдельная модель машинного обучения. Для первого уровня использовался алгоритм Decision Tree Classifier, обладающий высокой скоростью и интерпретируемостью. На втором уровне применялся Random Forest, обеспечивающий устойчивость к шуму и стабильные результаты на расширенном множестве признаков. Обучение моделей проводилось на соответствующих подвыборках, сформированных по стратифицированной схеме. Для второго уровня дополнительно осуществлялась оптимизация порога классификации на основе индекса Юдена, что обеспечивало сбалансированное соотношение между ошибкой первого рода (False Positive Rate, FPR) и второго рода (FNR). На первом уровне порог классификации был зафиксирован эмпирически на уровне 0.16 на основании предварительного анализа ошибки второго рода.

Для оценки вычислительной эффективности были проведены замеры среднего времени обработки одного файла при различной размерности признакового пространства [21]. Отдельно анализировались временные характеристики для легитимных и вредоносных объектов, а также зависимость времени обработки от размера PE-файла. Полученные результаты позволили наглядно продемонстрировать, что предлагаемая каскадная архитектура обеспечивает значительное сокращение времени анализа по сравнению со структурной моделью, использующей полный набор признаков.

Результаты исследования

Анализ вычислительных затрат при классификации PE-файлов

Одним из ключевых аспектов разработки эффективной архитектуры классификации PE-файлов является анализ временных характеристик, возникающих при использовании признаков различной размерности. Поскольку методы статического анализа не предполагают запуск исполняемого кода, они представляют собой приоритетный подход в системах превентивной фильтрации вредоносных объектов. Однако даже в таких условиях критически важным остается параметр времени отклика – особенно в системах, функционирующих в режиме приближенного к реальному времени.

С целью получения воспроизводимых и репрезентативных результатов был разработан специализированный скрипт на языке Python, реализующий многопоточную обработку с точным измерением времени выполнения анализа. Для каждого испытуемого файла выполнялось $N = 5$ независимых измерений, на основе которых вычислялись такие статистики, как среднее значение, медиана и дисперсия времени обработки. Результаты сохранялись в форматах JSON и CSV, обеспечивая прозрачность и последующую возможность визуализации. Такая экспериментальная процедура позволяет оценить устойчивость временных характеристик и их зависимость от архитектуры классификатора.

Экспериментальные измерения проводились на пяти моделях, обученных на множествах признаков размерностью 10, 20, 30, 40 и 333 признака (полный набор). Тестирование выполнялось отдельно для двух классов: легитимных и вредоносных PE-файлов. Для повышения точности анализа выборка в каждой из двух групп была дополнительно стратифицирована по шести диапазонам объема файлов меньше 16 КБ, от 16 до 64 КБ, от 64 до 256 КБ, от 256 КБ до 1 МБ, от 1 до 4 МБ, от 4 до 16 МБ.

В каждом интервале рассчитывалось среднее время анализа одного файла соответствующей моделью. Полученные значения легли в основу количественной оценки временной эффективности и были использованы для обоснования выбора каскадной архитектуры.

Результаты, представленные на рис. 2, демонстрируют отчетливую зависимость времени обработки от размерности признакового пространства. В интервале от 10 до 40 признаков наблюдается близкая к линейной динамика роста вычислительных затрат. На-

пример, для крупных файлов объемом 4–16 МБ среднее время анализа составляет 2.29 с при использовании модели на 10 признаках и увеличивается до 5.62 с при переходе к модели на 40 признаках. Существенный рост времени наблюдается при применении модели, содержащей все 333 признака: в данном случае среднее время обработки объектов среднего размера достигает 179.94 с, что делает такую модель непригодной для использования в системах, требующих высокой скорости реагирования.

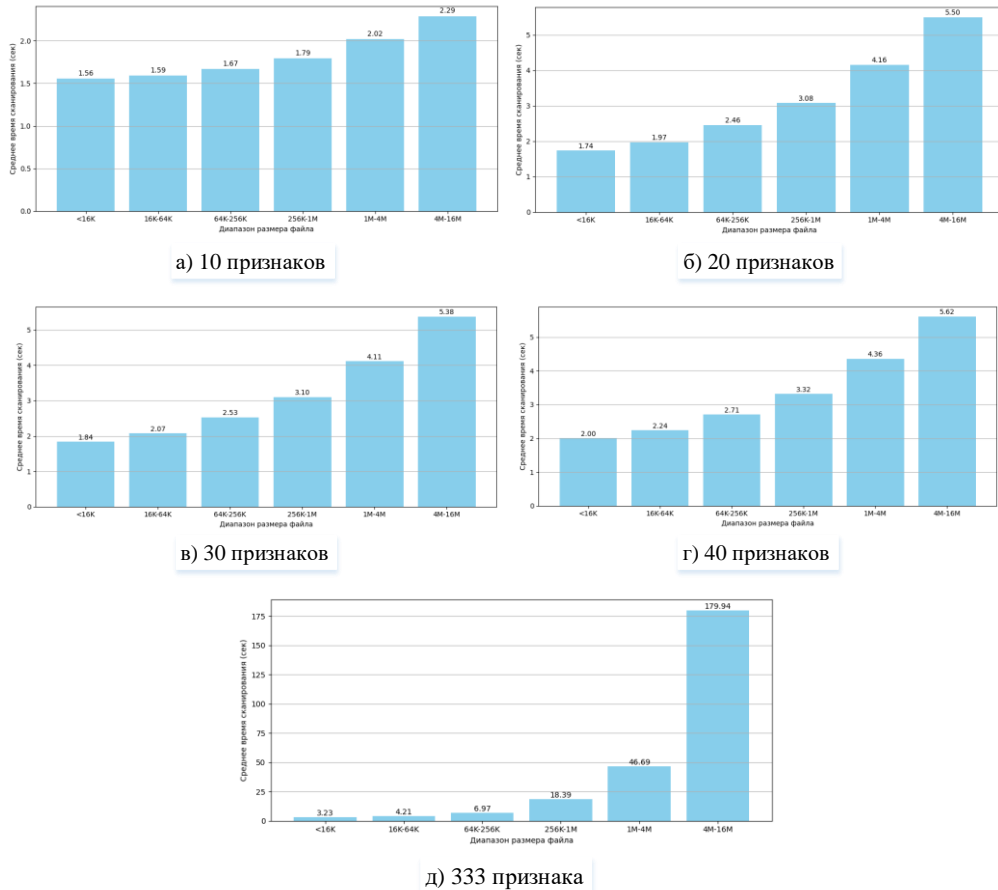


Рис. 2. Среднее время анализа легитимных PE-файлов по диапазонам размера при использовании модели размером 10 признаков а), размером 20 признаков б), размером 30 признаков в), размером 40 признаков г), размером 333 признака д)

Таблица 1

Среднее время сканирования легитимных PE-файлов

Признаки	Объем файлов					
	<16К	16К-64К	64К-256К	256К-1М	1М-4М	4М-16М
10 признаков	1.56 с	1.59 с	1.67 с	1.79 с	2.02 с	2.29 с
20 признаков	1.74 с	1.97 с	2.46 с	3.08 с	4.16 с	5.5 с
30 признаков	1.84 с	2.07 с	2.53 с	3.1 с	4.11 с	5.38 с
40 признаков	2.0 с	2.24 с	2.71 с	3.32 с	4.36 с	5.62 с
333 признака	3.23 с	4.21 с	6.97 с	18.39 с	46.69 с	179.94 с

Анализ временных затрат при классификации вредоносных PE-файлов выявил закономерности, сходные с результатами, полученными для легитимных объектов, однако с более выраженной зависимостью времени анализа от как количества признаков, так и размера файла. Визуализация результатов, представленных на рис. 3, демонстрирует, что даже при использовании моделей с ограниченным признаковым пространством (10–40 признаков) наблюдается существенный рост времени обработки по мере увеличения объема входных данных.

Так, при применении модели на 40 признаках среднее время анализа PE-файлов в интервале размера 4–16 МБ достигает 12.18 с, что почти в 3.5 раза превышает аналогичный показатель для легитимных объектов аналогичного объема. При этом модели на 10, 20 и 30 признаках также демонстрируют постепенное увеличение затрат времени: от 1.90 с при размере <16 КБ до 11.62 с при размере 4–16 МБ (табл. 2).

Наиболее выраженный рост наблюдается при использовании модели, включающей все 333 признака. В этом случае среднее время анализа вредоносного файла объемом 4–16 МБ составляет 607.57 с, что указывает на экспоненциальный рост вычислительной нагрузки при увеличении объема данных и сложности признакового пространства. Этот результат согласуется с известными особенностями вредоносных объектов: применение упаковки, шифрования, полиморфизма и иных методов обфускации, а также высокая энтропия и структурная сложность, существенно увеличивают затраты на статический анализ.

Полученные данные подчеркивают критическую важность выбора эффективной структуры классификатора и обоснованного подмножества признаков для обеспечения практической применимости моделей в условиях ограниченных вычислительных ресурсов.

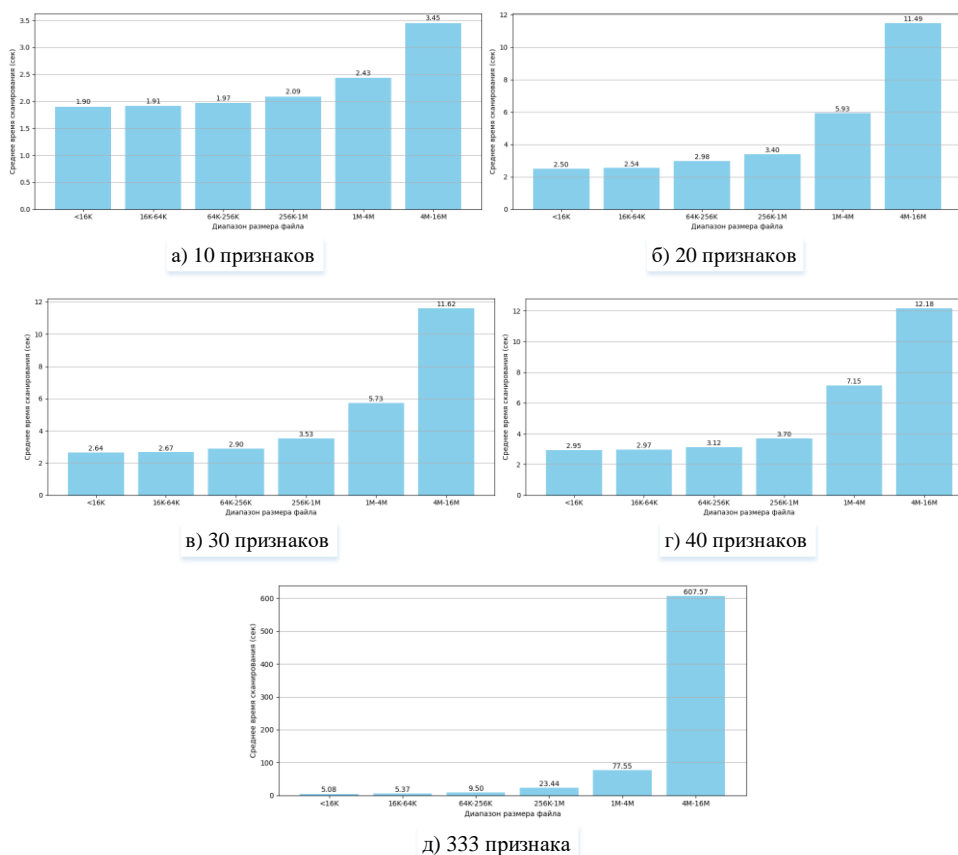


Рис. 3. Среднее время анализа вредоносных PE-файлов по диапазонам размера при использовании модели размером 10 признаков а), размером 20 признаков б), размером 30 признаков в), размером 40 признаков г), размером 333 признака д)

Таблица 2

Среднее время сканирования вредоносных PE-файлов

Признаки	Объем файлов					
	<16K	16K-64K	64K-256K	256K-1M	1M-4M	4M-16M
10 признаков	1.90 с	1.91 с	1.97 с	2.09 с	2.43 с	3.45 с
20 признаков	2.50 с	2.54 с	2.98 с	3.40 с	5.93 с	11.49 с
30 признаков	2.64 с	2.67 с	2.90 с	3.53 с	5.73 с	11.62 с
40 признаков	2.95 с	2.97 с	3.12 с	3.70 с	7.15 с	12.18 с
333 признака	5.08 с	5.37 с	9.50 с	23.44 с	77.55 с	607.57 с

Для комплексного анализа вычислительных затрат при классификации объектов различной природы была выполнена визуализация распределения времени обработки с использованием диаграмм размаха (boxplot), представленных на рис. 4. Такой подход позволил выявить различия в характеристиках времени анализа между легитимными и вредоносными PE-файлами при различной размерности признакового пространства [22].

Анализ показал, что медианные значения времени обработки вредоносных файлов систематически превышают соответствующие значения для легитимных объектов во всем диапазоне моделей. Например, при использовании модели на 10 признаках медианное время обработки составляет 1.93 с для вредоносных файлов и 1.61 с для легитимных (разница +19.88%). Для структурной модели на полном наборе признаков (333 признака) соответствующие значения составляют 6.60 с и 3.84 с, что эквивалентно росту на 72.02% (табл. 3).

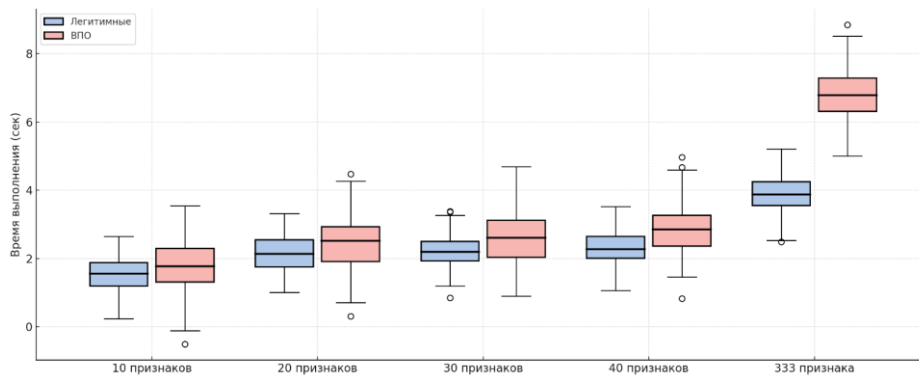


Рис. 4. Распределение времени обработки легитимных и вредоносных PE-файлов в зависимости от количества признаков (визуализировано с помощью диаграмм размаха, boxplot)

Таблица 3

Сравнение медианных времен для легитимных файлов и ВПО

Признаки	Медиана (Легитимные)	Медиана (ВПО)	Медиана по обоим классам	Относительное превышение
10 признаков	1.61	1.93	1.77	+19.88
20 признаков	2.12	2.57	2.35	+21.23
30 признаков	2.23	2.69	2.46	+20.63
40 признаков	2.39	2.90	2.65	+21.34
333 признака	3.84	6.60	5.22	+71.88

Кроме того, вредоносные файлы демонстрируют значительно больший интерквартильный размах, а также увеличенное количество выбросов, что указывает на высокую вариативность времени анализа. Такая дисперсия, как правило, обусловлена различиями в степени обфускации, наличии упаковщиков, нестандартных структурных сегментов и других усложняющих факторов, характерных для ВПО [23].

Анализ распределения временных затрат, представленный на рис. 4, позволяет зафиксировать устойчивое расхождение между легитимными и вредоносными объектами при одинаковых параметрах классификационной модели. Установлено, что вредоносные PE-файлы характеризуются не только более высокими медианными значениями времени анализа, но и значительно большим интерквартильным размахом, что указывает на высокую неоднородность сложности их обработки. Это связано с применением техник обфускации, упаковки и шифрования, а также со структурной сложностью вредоносных исполняемых файлов, приводящей к увеличению времени извлечения и обработки признаков.

Для оценки общей вычислительной нагрузки, связанной с применением моделей различной сложности, была проанализирована зависимость среднего времени анализа от числа признаков и класса объекта. Агрегированные результаты представлены на рис. 5 и в табл. 4.

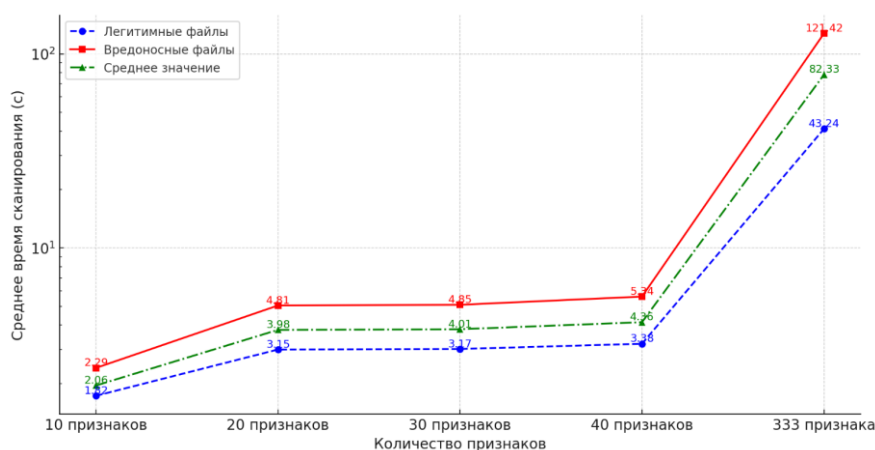


Рис. 5. Зависимость среднего времени анализа легитимных и вредоносных файлов PE-файлов от количества признаков

Таблица 4

Зависимость среднего времени анализа

Признаки	Легитимные файлы (с)	Вредоносные файлы (с)	Среднее значение (с)
10 признаков	1.82	2.29	2.06
20 признаков	3.15	4.81	3.98
30 признаков	3.17	4.85	4.01
40 признаков	3.38	5.34	4.36
333 признака	43.24	121.42	82.33

Анализ зависимости времени обработки от размерности признакового пространства показал, что в диапазоне от 10 до 40 признаков рост вычислительных затрат носит умеренный характер. Так, среднее время анализа легитимных файлов увеличивается с 1.82 до 3.38 с, а вредоносных с 2.29 до 5.34 с. Совокупное среднее значение по обоим классам возрастает с 2.06 до 4.36 с. Такие значения являются приемлемыми для задач первичного анализа в условиях ограниченных ресурсов. В этом диапазоне наблюдается почти линейная зависимость времени от числа признаков, с наибольшим приростом при переходе с

10 на 20 признаков. Увеличение признакового пространства до 30 и 40 признаков приводит к дальнейшему, но более плавному нарастанию затрат, что делает модель на 40 признаках оптимальной по соотношению между качеством классификации и вычислительной нагрузкой [24].

В противоположность этому, использование полной модели на 333 признаках вызывает экспоненциальный рост времени анализа до 43.24 с для легитимных и 121.42 с для вредоносных объектов, при среднем значении 82.33 с. Такая нагрузка делает модель непригодной для применения в реальном времени или в сценариях массовой проверки PE-файлов. Резкое увеличение затрат подтверждает чувствительность процесса статического анализа к размерности признакового пространства и подчёркивает необходимость предварительной фильтрации объектов с целью оптимального распределения ресурсов.

На этом фоне эффективным представляется каскадный подход, объединяющий модели на 10 и 40 признаках. Первая обеспечивает минимальные задержки и используется для быстрого анализа однозначных случаев, в то время как вторая обеспечивает углублённую проверку «сложных» файлов. Подобное распределение нагрузки позволяет достичь баланса между точностью и производительностью, снижая общее время анализа без ущерба для качества классификации.

Настройка порогов классификации каскада

На этапе построения каскадной классификационной архитектуры ключевое значение приобретает задача оптимального выбора пороговых значений (thresholds), определяющих поведение каждого уровня классификатора (рис. 6). В отличие от традиционного подхода, где порог выбирается по максимуму общей точности или F1-меры, в условиях каскадной архитектуры необходимо обеспечить строгий баланс между ошибками первого (ложноположительные) и второго рода (ложноотрицательные) на каждом уровне. Особенно значимой является ошибка второго рода (FNR) на начальном уровне каскада, так как пропущенные вредоносные объекты не будут проверены на последующих стадиях, нарушая надёжность всей системы.



Рис. 6. Структура каскадного классификатора

Ввиду принципиальной значимости контроля ошибок второго рода в каскадной структуре, настройка пороговых значений была начата с анализа параметров второго уровня – модели, построенной на подмножестве из 40 признаков. Эта модель обладает более высокой дискриминационной способностью по сравнению с первым уровнем, что позволяет рассматривать ее в качестве опорной при определении максимально допустимого уровня FNR [25]. Фактически, рассчитанное на втором уровне значение FNR служит порогом, который не должен быть превышен на предыдущих, менее точных этапах, поскольку это приводит к необратимому пропуску вредоносных объектов и подрывает надёжность всей системы.

Второй уровень выполняет функцию уточняющей классификации и требует обеспечения сбалансированного соотношения между полнотой (Recall) и точностью (Precision), что необходимо для стабильного функционирования каскада при переходе от грубой фильтрации к более строгому анализу. Для выбора оптимального порогового значения на данном уровне использовался индекс Юдена (Youden’s J-statistic), определяемый формулой:

$$J = TPR + TNR - 1 = Recall + (1 - FPR) - 1, \quad (1)$$

где TPR – истинно положительная классификация (Recall), а TNR – истинно отрицательная классификация ($1 - FPR$). Максимизация данного критерия позволяет учитывать одновременно оба класса и минимизировать влияние дисбаланса.

В результате анализа зависимости метрик от порога (табл. 5, рис. 7), оптимальным для модели на 40 признаках признано значение порога 0.54. При данном значении достигаются следующие метрики: Precision = 0.988, Recall = 0.986, FPR = 0.012, FNR = 0.013, при максимальном значении Youden_J = 0.973. Таким образом, модель демонстрирует высокую селективность и низкий уровень обоих типов ошибок, что делает ее надежной основой для принятия решений на втором этапе.

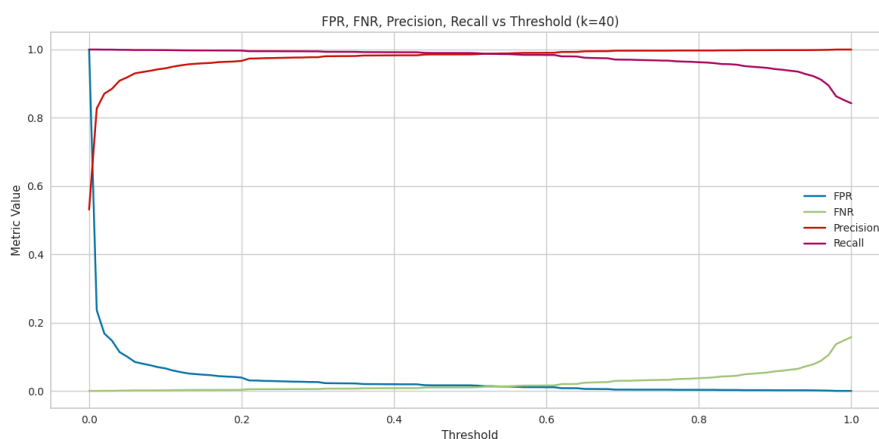


Рис. 7. Графики зависимости метрик от порогового значения для 40 признаков

Таблица 5

Метрики порогов классификации для 40 признаков

№ п/п	Threshold	FPR	FNR	Precision	Recall	Youden_J
1	0.5	0.016	0.010	0.985	0.989	0.973
2	0.51	0.015	0.010	0.986	0.989	0.973
3	0.52	0.013	0.012	0.987	0.987	0.973
4	0.53	0.013	0.012	0.987	0.987	0.973
5	0.54	0.012	0.013	0.988	0.986	0.973
6	0.55	0.012	0.013	0.988	0.986	0.973
7	0.56	0.011	0.014	0.989	0.985	0.973
8	0.57	0.011	0.015	0.990	0.984	0.973
9	0.58	0.010	0.015	0.990	0.984	0.973
10	0.59	0.010	0.015	0.990	0.984	0.973

После фиксации оптимального порогового значения для модели второго уровня, основанной на 40 признаках, следующим этапом стала калибровка первого уровня каскада, использующего модель с 10 признаками. Ключевым требованием при выборе порога на этом этапе являлось обеспечение полноты выявления вредоносных объектов (Recall) не ниже, чем на втором уровне, то есть сохранение ошибки второго рода (FNR) в пределах, допустимых по результатам более точной модели. Это критически важно, поскольку файлы, ошибочно классифицированные как легитимные на первом уровне, не поступают

на дальнейшую проверку, что может привести к пропуску угроз. Таким образом, первый уровень должен гарантировать максимально полное обнаружение, даже ценой увеличения числа ложноположительных срабатываний.

Дополнительно учитывался показатель FPR, поскольку чрезмерно высокий уровень ложных срабатываний приводит к росту нагрузки на модель второго уровня, что снижает эффективность всей каскадной структуры. На основе анализа кривых зависимости показателей Recall, FNR и FPR от порогового значения (табл. 6, рис. 8), было установлено, что оптимальным является порог 0.16. В этой точке достигается следующее соотношение метрик Recall = 0.990, FNR = 0.009, FPR = 0.407, Precision = 0.733, Youden J = 0.583.

Несмотря на умеренное значение точности, такой режим функционирования полностью соответствует функциональному назначению первого уровня каскада – осуществлять первичную фильтрацию с приоритетом на максимальную полноту выявления. Благодаря этому обеспечивается, что общее качество распознавания, с точки зрения недопущения пропуска вредоносных объектов, не будет ниже, чем на более глубоком уровне каскада, что является критически важным требованием.

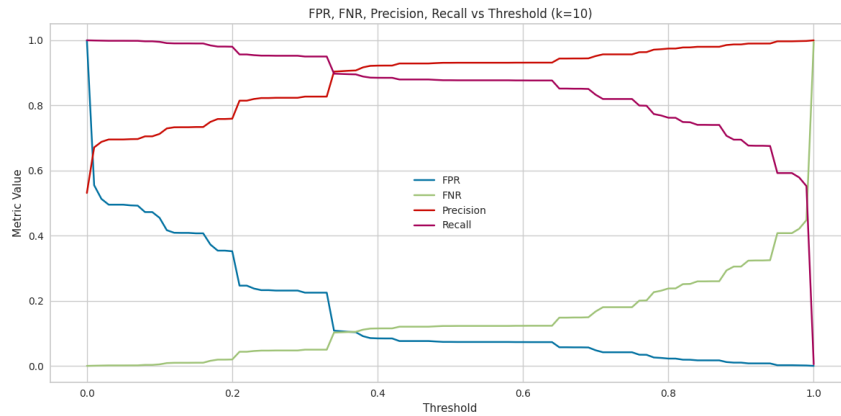


Рис. 8. Графики зависимости метрик от порогового значения для 10 признаков

Таблица 6

Метрики порогов классификации для 10 признаков

№ п/п	Threshold	FPR	FNR	Precision	Recall
1	0.12	0.409	0.009	0.732	0.990
2	0.13	0.408	0.009	0.733	0.990
3	0.14	0.408	0.009	0.733	0.990
4	0.15	0.407	0.009	0.733	0.990
5	0.16	0.407	0.009	0.733	0.990
6	0.17	0.372	0.015	0.749	0.984
7	0.18	0.354	0.019	0.758	0.980
8	0.19	0.354	0.019	0.758	0.980
9	0.2	0.352	0.019	0.759	0.980
10	0.21	0.246	0.043	0.814	0.956

Таким образом, итоговая схема порогов определяется как:

- ◆ Уровень 1 (10 признаков) порог = 0.16 высокий Recall, допустимый FPR.
- ◆ Уровень 2 (40 признаков) порог = 0.54 сбалансированная точность и полнота.

Для реализации каждого уровня были выбраны соответствующие модели на основе анализа их производительности. На первом уровне применен Decision Tree Classifier, обеспечивающий минимальные вычислительные затраты и высокую интерпретируемость. На втором уровне – Random Forest Classifier, демонстрирующий высокую устойчивость и стабильные показатели качества. Сводные характеристики моделей представлены в табл. 7.

Таблица 7

Результаты классификации моделей

Признаки	Модель	Threshold	Accuracy	Precision	Recall	F1-мера	Ошибка I рода (α)	Ошибка II рода (β)
10	DecisionTreeClassifier	0.16	0.803	0.733	0.990	0.842	0.407	0.009
40	RandomForestClassifier	0.54	0.986	0.988	0.986	0.987	0.012	0.013

Выбор порогов и моделей был подтвержден дополнительными экспериментами и визуализацией зависимости метрик от значения порога (рис. 7, 8). Такая архитектура позволяет реализовать адаптивную стратегию анализа, в которой легковесная модель, использующая 10 признаков быстро фильтрует очевидные случаи, а более точная модель на 40 признаках уточняет классификацию для спорных объектов.

Подобный подход обеспечивает не только высокое качество классификации, но и рациональное распределение вычислительной нагрузки, позволяя эффективно обрабатывать большие объемы PE-файлов в системах статического анализа. Полученные результаты формируют обоснование для перехода к следующему этапу – оценке интегральной временной эффективности и анализу распределения нагрузки между уровнями каскада.

Расчет временной эффективности и границы применимости каскадного классификатора

Для объективной количественной оценки эффективности предложенной каскадной архитектуры был проведен анализ временных затрат на обработку PE-файлов при прохождении через различные уровни классификации. Основная цель расчета заключалась в сравнении предложенного каскадного подхода с моделью, использующей расширенный набор из 40 признаков, при сохранении сопоставимого уровня качества классификации.

В качестве исходных параметров были приняты следующие экспериментальные значения среднее время анализа одного файла на первом уровне каскада составляет $T_{\text{ср}}^{10}$ 2.06 сек, на втором уровне $T_{\text{ср}}^{40}$ 4.36 сек. На первом уровне классификации установлены значения ошибок первого и второго рода FPR_{10} 0.407 и FNR_{10} 0.0097 соответственно. Это означает, что 40.7% легитимных файлов ошибочно классифицируются как вредоносные и направляются на второй уровень каскада. Далее на втором уровне, использующем более ресурсоемкую модель с 40 признаками, они будут повторно классифицированы.

Для обоснования применимости каскадной архитектуры с точки зрения временной эффективности был разработан аналитический подход, учитывающий не только характеристики ошибок, но и априорные вероятности принадлежности объекта к тому или иному классу. Обозначив долю вредоносных файлов во входном потоке как P_M , а долю легитимных как $P_L = 1 - P_M$ можно выразить ожидаемое среднее время анализа одного файла через взвешенные доли объектов, проходящих каждый уровень:

$$T_{\text{каскад}} = T_{\text{ср}}^{10} + T_{\text{ср}}^{40} \cdot (P_M \cdot TPR + P_L \cdot FPR), \quad (2)$$

где $T_{\text{каскад}}$ – время анализа одного файла каскадным классификатором,

TPR – доля корректно распознанных вредоносных объектов ($1 - FPR$).

Сравнение приведенного значения $T_{\text{каскад}}$ с временем анализа $T_{\text{ср}}^{40}$, соответствующим модели на 40 признаках, позволяет определить границу применимости каскадного подхода. Необходимым условием его эффективности является выполнение неравенства, $T_{\text{каскад}} < T_{\text{ср}}^{40}$ подставляя численные значения в выражение:

$$T_{\text{каскад}} = 2.06 + 4.36 \cdot (0.991P_M + 0.407 \cdot (1 - P_M)) = 3.85 + 2.53P_M, \quad (3)$$

решая уравнение $T_{\text{каскад}} = T_{\text{ср}}^{40}$, получаем $P_M = 0,206$, что соответствует критической доле вредоносных объектов во входном потоке, равной 20,6%. Таким образом, при $P_M < 20,6\%$ каскадная архитектура обеспечивает выигрыш по времени в сравнении с моделью на 40 признаках. При превышении данного порога каскад становится менее эффективным с точки зрения временных затрат.

Относительный выигрыш по времени определим формуле:

$$G(P_M) = \left(1 - \frac{T_{\text{каскад}}}{T_{\text{ср}}^{40}}\right) \cdot 100\%, \quad (4)$$

Ниже приведены конкретные значения, полученные при различных соотношениях классов. График сравнения времени сканирования каскадной модели и модели с 40 признаками в зависимости от доли ВПО (рис. 9, табл. 8):

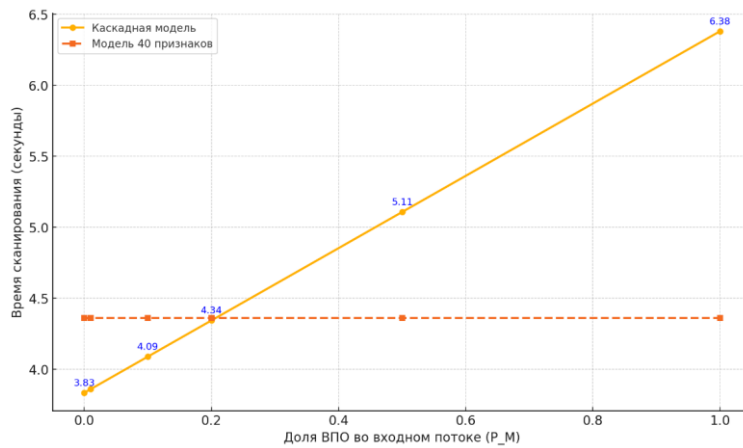


Рис. 9. График зависимость времени сканирования от доли ВПО

Таблица 8

Результаты эффективности каскадной архитектуры

Доля ВПО, P_M	Доля легитимных файлов, P_L	Время каскада, $T_{\text{каскад}}$ секунд	Выигрыш по времени, (%)
0.00	1.00	3.834	12.05
0.01	0.99	3.860	11.47
0.10	0.90	4.089	6.21
0.20	0.80	4.344	0.37
0.50	0.50	5.108	-17.15
1.00	0.00	6.381	-46.35

Проведённый анализ показал, что временная эффективность каскадной архитектуры определяется соотношением классов в анализируемом потоке. При доле вредоносных объектов менее 20.6% каскад демонстрирует выигрыш по времени, достигающий до 12% по сравнению с моделью, использующей 40 признаков, при этом сохраняя сопоставимые значения основных метрик качества [26]. С увеличением доли вредоносных файлов нагрузка на второй уровень возрастает, что снижает эффективность каскада и в предельном случае может привести к превышению временных затрат по сравнению с моделью на 40 признаках [27]. Таким образом, значение $P_M = 0,206$ может рассматриваться как эмпирически обоснованная граница применимости каскадной схемы с точки зрения её временной рациональности.

На основании полученных результатов можно утверждать, что каскадная архитектура целесообразна для использования в системах статического анализа, ориентированных на обработку потоков с преобладанием легитимного трафика. В таких условиях она обеспечивает снижение вычислительных затрат за счёт ранней фильтрации простых случаев при сохранении требуемого уровня точности. При превышении доли вредоносных объектов рациональность использования каскада должна определяться дополнительными факторами, включая специфику системы, допустимую задержку и критичность ошибок классификации. Таким образом, предложенная модель наиболее эффективна в сценариях массового предварительного анализа с преобладанием доверенного содержимого.

Обсуждение. Разработанная двухуровневая каскадная архитектура статической классификации PE-файлов продемонстрировала устойчивую результативность как по качественным, так и по вычислительным показателям. На первом уровне каскада применяется дерево решений, обученное на десяти наиболее информативных признаках; его основная задача максимально быстрое отсечение потенциально вредоносных объектов при минимальном риске пропуска. При эмпирически подобранном пороге 0,16 модель обеспечивает высокую полноту 0,990 при умеренной точности 0,734, что допустимо для каскадной структуры, в которой все сомнительные экземпляры перенаправляются на второй уровень анализа.

Второй уровень реализован на ансамбле, выполняющем уточняющую классификацию с порогом 0,54. Данная комбинация обеспечивает итоговую F1-меру 0,987 при среднем времени анализа одного PE-файла около 4 с. В совокупности каскадная схема демонстрирует оптимальный баланс между скоростью и достоверностью классификации в условиях преобладания легитимного трафика.

В сравнении с одноуровневыми моделями каскадный подход обеспечивает эквивалентное качество распознавания при снижении среднего времени обработки на 5–12 % в диапазоне долей вредоносных объектов до 20 %. Таким образом, при сохранении высокой F1-меры достигается существенное повышение производительности без ухудшения качества детекции. Это подтверждает целесообразность использования двухуровневой организации классификатора в условиях ограниченных вычислительных ресурсов и высокой интенсивности потоков PE-файлов.

Ближайшим архитектурным аналогом предложенного решения является каскадная модель MDCML, ранее рассмотренная в обзоре литературы. В отличие от PE-Cascade, где используются структурные PE-индикаторы и бинарная классификация с калиброванными порогами решений, MDCML опирается на TF-IDF-признаки, извлекаемые из последовательностей байтов и опкодов и реализует мультиклассовую постановку на датасете Microsoft BIG-2015. Различия в исходных данных, целевой функции и системе метрик не позволяют выполнять прямое сопоставление по времени анализа и ошибкам I/II рода в рамках текущего датасета. Поэтому обсуждение ограничено сравнением архитектурных принципов и уровня достигаемых показателей по порядку величин, без воспроизведения конкретных числовых значений. Для корректного сравнения требуется единый протокол испытаний, включающий идентичный набор данных, унифицированные метрики такие как FPR, FNR и согласованную методику измерения задержки при проверке файлов.

Заключение. В настоящем исследовании, относящемся к области информационной безопасности и машинного обучения для статического обнаружения ВПО, разработан двухуровневый каскадный классификатор PE-файлов. Его конструкция основана на рациональном разграничении признакового пространства, где первичное решение принимает модель на 10 статических признаках, тогда как углубленная верификация выполняется моделью на 40 признаках. Такой подход дополняется формализованной процедурой настройки порогов по индексу Юдена, что обеспечивает требуемое соотношение ошибок первого и второго рода.

Практический эффект выразился в ускорении обработки без заметного ухудшения обнаружения при характерной для прикладных систем доле вредоносного трафика. Каскад сокращает среднее время анализа одного файла на 5–12 %, одновременно сохраняя значения F1-меры на уровне 0,987. Тем самым подтверждена возможность сочетать высокую полноту выявления с приемлемым временем анализа, что важно для шлюзовых и конечных средств защиты.

Полученный подход подтвердил, что каскадный классификатор позволяет выиграть в ресурсах при адаптации его параметров и масштабировать статическое сканирование под реальные нагрузки. Перспективами дальнейших работ можно выделить автоматическую корректировку порогов под изменяющееся соотношение классов и использование динамических признаков, что позволит еще более повысить надежность обнаружения при сохранении достигнутой производительности.

БИБЛИОГРАФИЧЕСКИЙ СПИСОК

1. *Schultz M.G., Eskin E., Zadok E., Stolfo S.J.* Data mining methods for detection of new malicious executables // Proc. IEEE Symp. Security and Privacy (S&P). – 2001. – P. 38-49.
2. *Kuang H., Wang J., Li R., Feng C., & Zhang X.* Automated Data-Processing Function Identification Using Deep Neural Network // IEEE Access. – 2020. – Vol. 8. – P. 55411-55423. – doi: 10.1109/ACCESS.2020.2981537.
3. *Ghanem K., Kherbache Z., Ourdighi O.* Enhancing Adversarial Examples for Evading Malware Detection Systems: A Memetic Algorithm Approach // IJCNIS. – 2025. – Vol. 17, No. 1. – P. 1-16. – DOI: 10.5815/ijcnis.2025.01.01.
4. Microsoft. Microsoft Portable Executable and Common Object File Format Specification. – Режим доступа: <https://learn.microsoft.com/ru-ru/windows/win32/debug/pe-format> (дата обращения: 26.05.2025).
5. *Козачок А.В., Матовых С.С.* Структурная модель файлов формата Portable Executable содержащих вредоносный код // Проблемы информационной безопасности. Компьютерные системы. – 2025. – № 2. – С. 41-59. – DOI: 10.48612/jisp/pdu2-fvzx-g5d3.
6. *Rúa E.A., Bulut I.* Machine Learning-Based Secure Malware Detection Using Features from Binary Executable Headers // European Symposium on Research in Computer Security. – Springer, 2025. – P. 204-216. – DOI: 10.1007/978-3-031-82362-6_12.
7. *Al Balawi M., Alnabhan M.* Generative AI for Advanced Malware Detection // 4th Intelligent Systems Conference (IntelliSys). – IEEE, 2024. – P. 204-216. – DOI: 10.1109/ICSC63108.2024.10895965.
8. *Petrea D.E., Potolea R., Oprisa C.* Packed Code Detection Using Shannon Entropy and Homomorphic Encrypted Executables // Proceedings of the 20th International Conference on Intelligent Computer Communication and Processing. – IEEE, 2024. – P. 01-08. – DOI: 10.1109/ICCP63557.2024.10793050.
9. *Mahato A., Majumdar R., Ghosh S.K.* Feature-Driven Malware Detection using Cascade Machine Learning Models // SN Computer Science. – 2025. – Vol. 6, No. 7. – P. 794. – <https://doi.org/10.1007/s42979-025-04342-1>.
10. *Alizada Adil and Ragab Hassen Hani.* Pextract: A Light-Weight Static Feature Extractor for Windows Portable Executable Files // SSRN. – 2025. – Режим доступа: <https://ssrn.com/abstract=5165659> (дата обращения: 26.05.2025).
11. *Kumar S.S., Shetty J.* Malicious PE File Detection Using Machine Learning: An Analysis of Header Features // COSMIC. – IEEE, 2024. – P. 66-71. – DOI: 10.1109/COSMIC63293.2024.10871898.
12. *Rizwan M., Ali E., Batoool N.* Assessing Concept Drift in Malware: A Comprehensive Review and Analysis // IBCAST. – IEEE, 2024. – P. 564-569 – DOI: 10.1109/IBCAST61650.2024.10876901.
13. *Schubert Kabban C.M., Graham S.R.* Malware Classification through Abstract Syntax Trees and L-moments // Computers & Security. – 2025. – Vol. 133. – Article ID: 104082. – DOI: 10.1016/j.cose.2024.104082.
14. *Canbek G., Temizel T.T., Sagioglu S.* PToPI: A comprehensive review, analysis, and knowledge representation of binary classification performance measures/metrics // SN Computer Science. – 2022. – Vol. 4, Article No. 13. – DOI: 10.1007/s42979-022-01409-1.
15. A survey of machine learning methods and challenges for Windows malware classification. – Режим доступа: <https://arxiv.org/abs/2006.09271> (дата обращения: 28.05.2025).
16. *Jusoh R., Firdaus A., Anwar S., Osman M.Z.* Malware detection using static analysis in Android: a review of FeCO (features, classification, and obfuscation) // PeerJ Computer Science. – 2021. – Vol. 7. – Article ID: e522. – DOI 10.7717/peerj-cs.522.
17. *Kumar S., Janet B., Neelakantan S.* Identification of malware families using stacking of textural features and machine learning // Expert Systems with Applications. – 2022. – Vol. 204. – Article ID: 117635. – <https://doi.org/10.1016/j.eswa.2022.118073>.
18. *Lad S.S., Adamuthe A.C.* Improved deep learning model for static PE files malware detection and classification // International Journal of Computer Network and Information Security. – 2022. – Vol. 14, No. 2. – P. 14-26.
19. *Ravindra Babu S., Leisha R., Meadows K.J.* Unveiling Powerful Machine Learning Strategies for Detecting Malware in Modern Digital Environment // Lecture Notes on Intelligent Computing and Data Science. – Springer, 2024. – Vol. 874. – P. 277-286. – ISBN978-3-031-50886-8. – DOI: 10.1007/978-3-031-50887-5_28.

20. VirusShare.com. A collection of malware samples for research purposes. – Режим доступа: <https://virusshare.com/> (дата обращения: 26.05.2025).
21. Cohen A., Nissim N., Rokach L., Elovici Y. SFEM: Structural feature extraction methodology for the detection of malicious office documents using machine learning methods // *Expert Systems with Applications*. – 2016. – Vol. 64. – P. 324-338. – <https://doi.org/10.1016/j.eswa.2016.07.010>.
22. Damaševičius R., Venčkauskas A., Toldinas J. Ensemble-based classification using neural networks and machine learning models for Windows PE malware detection // *Electronics*. – 2021. – Vol. 10, No. 4. – Art. 485. – <https://doi.org/10.3390/electronics10040485>.
23. Muralidharan T., Cohen A., Gerson N., Alazab M. File packing from the malware perspective: Techniques, analysis approaches, and directions for enhancements // *ACM Computing Surveys*. – Vol. 55, No. 5. – Article 108. – <https://doi.org/10.1145/3530810>.
24. Nie S., Zhu X., Xiong F., Zhang N. Network learning and propagation dynamics analysis // *Frontiers in Physics*. – 2025. – Vol. 13. – Article ID: 1609957. – DOI: 10.3389/fphy.2025.1609957.
25. Saxe J., Berlin K. Deep neural network-based malware detection using two-dimensional binary program features // 10th International Conference on Malicious and Unwanted Software (MALWARE). – IEEE, 2015. – P. 11-20. – DOI: 10.1109/MALWARE.2015.7413680.
26. Sahs J., Khan L. A machine learning approach to Android malware detection // Published in 2012 European Intelligence and Security Informatics Conference. – IEEE, 2012. – P. 141-147. – DOI: 10.1109/EISIC.2012.34.
27. Ucci D., Aniello L., Baldoni R. Survey of machine learning techniques for malware analysis // *Computers & Security*. – 2019. – Vol. 81. – P. 123-147. – doi.org/10.1016/j.cose.2018.11.001.

REFERENCES

1. Schultz M.G., Eskin E., Zadok E., Stolfo S.J. Data mining methods for detection of new malicious executables, *Proc. IEEE Symp. Security and Privacy (S&P)*, 2001, pp. 38-49.
2. Kuang H., Wang J., Li R., Feng C., & Zhang X. Automated Data-Processing Function Identification Using Deep Neural Network, *IEEE Access*, 2020, Vol. 8, pp. 55411-55423. doi: 10.1109/ACCESS.2020.2981537.
3. Ghanem K., Kherbache Z., Ourdighi O. Enhancing Adversarial Examples for Evading Malware Detection Systems: A Memetic Algorithm Approach, *IJCNIS*, 2025, Vol. 17, No. 1, pp. 1-16. DOI: 10.5815/ijcnis.2025.01.01.
4. Microsoft. Microsoft Portable Executable and Common Object File Format Specification. Available at: <https://learn.microsoft.com/ru-ru/windows/win32/debug/pe-format> (accessed 26 May 2025).
5. Kozachok A.V., Matovykh S.S. Strukturnaya model' faylov formata Portable Executable soderzhashchikh vredonosnyy kod [Structural model of Portable Executable files containing malicious code], *Problemy informatsionnoy bezopasnosti. Komp'yuternye sistemy* [Problems of information security. Computer systems], 2025, No. 2, pp. 41-59. DOI: 10.48612/jisp/pdu2-fvxz-g5d3.
6. Rúa E.A., Bulut I. Machine Learning-Based Secure Malware Detection Using Features from Binary Executable Headers, *European Symposium on Research in Computer Security*. Springer, 2025, pp. 204-216. DOI: 10.1007/978-3-031-82362-6_12.
7. Al Balawi M., Alnabhan M. Generative AI for Advanced Malware Detection, *4th Intelligent Systems Conference (IntelliSys)*. IEEE, 2024, pp. 204-216. DOI: 10.1109/ICSC63108.2024.10895965.
8. Petrean D.E., Potolea R., Oprisa C. Packed Code Detection Using Shannon Entropy and Homomorphic Encrypted Executables, *Proceedings of the 20th International Conference on Intelligent Computer Communication and Processing*. IEEE, 2024, pp. 01-08. DOI: 10.1109/ICCP63557.2024.10793050.
9. Mahato A., Majumdar R., Ghosh S.K. Feature-Driven Malware Detection using Cascade Machine Learning Models, *SN Computer Science*, 2025, Vol. 6, No. 7, pp. 794. Available at: <https://doi.org/10.1007/s42979-025-04342-1>.
10. Alizada Adil and Ragab Hassen Hani. Pextract: A Light-Weight Static Feature Extractor for Windows Portable Executable Files, *SSRN*, 2025. Available at: <https://ssrn.com/abstract=5165659> (accessed 26 May 2025).
11. Kumar S.S., Shetty J. Malicious PE File Detection Using Machine Learning: An Analysis of Header Features, *COSMIC*. IEEE, 2024, pp. 66-71. DOI: 10.1109/COSMIC63293.2024.10871898.
12. Rizwan M., Ali E., Batool N. Assessing Concept Drift in Malware: A Comprehensive Review and Analysis, *IBCAST*. IEEE, 2024, pp. 564-569. DOI: 10.1109/IBCAST61650.2024.10876901.
13. Schubert Kabban C.M., Graham S.R. Malware Classification through Abstract Syntax Trees and L-moments, *Computers & Security*, 2025, Vol. 133, Article ID: 104082. DOI: 10.1016/j.cose.2024.104082.
14. Canbek G., Temizel T.T., Sagioglu S. PToPI: A comprehensive review, analysis, and knowledge representation of binary classification performance measures/metrics, *SN Computer Science*, 2022, Vol. 4, Article No. 13. DOI: 10.1007/s42979-022-01409-1.

15. A survey of machine learning methods and challenges for Windows malware classification. Available at: <https://arxiv.org/abs/2006.09271> (accessed 28 May 2025).
16. Jusoh R., Firdaus A., Anwar S., Osman M.Z. Malware detection using static analysis in Android: a review of FeCO (features, classification, and obfuscation), *PeerJ Computer Science*, 2021, Vol. 7, Article ID: e522. DOI 10.7717/peerj-cs.522.
17. Kumar S., Janet B., Neelakantan S. Identification of malware families using stacking of textural features and machine learning, *Expert Systems with Applications*, 2022, Vol. 204, Article ID: 117635. Available at: <https://doi.org/10.1016/j.eswa.2022.118073>.
18. Lad S.S., Adamuthe A.C. Improved deep learning model for static PE files malware detection and classification, *International Journal of Computer Network and Information Security*, 2022, Vol. 14, No. 2, pp. 14-26.
19. Ravindra Babu S., Leisha R., Medows K.J. Unveiling Powerful Machine Learning Strategies for Detecting Malware in Modern Digital Environment, *Lecture Notes on Intelligent Computing and Data Science*. Springer, 2024, Vol. 874, pp. 277-286. ISBN978-3-031-50886-8. DOI: 10.1007/978-3-031-50887-5_28.
20. VirusShare.com. A collection of malware samples for research purposes. Available at: <https://virusshare.com/> (accessed 26 May 2025).
21. Cohen A., Nissim N., Rokach L., Elovici Y. SFEM: Structural feature extraction methodology for the detection of malicious office documents using machine learning methods, *Expert Systems with Applications*, 2016, Vol. 64, pp. 324-338. Available at: <https://doi.org/10.1016/j.eswa.2016.07.010>.
22. Damaševičius R., Venčkauskas A., Toldinas J. Ensemble-based classification using neural networks and machine learning models for Windows PE malware detection, *Electronics*, 2021, Vol. 10, No. 4, Art. 485. Available at: <https://doi.org/10.3390/electronics10040485>.
23. Muralidharan T., Cohen A., Gerson N., Alazab M. File packing from the malware perspective: Techniques, analysis approaches, and directions for enhancements, *ACM Computing Surveys*, Vol. 55, No. 5, Article 108. Available at: <https://doi.org/10.1145/3530810>.
24. Nie S., Zhu X., Xiong F., Zhang N. Network learning and propagation dynamics analysis, *Frontiers in Physics*, 2025, Vol. 13, Article ID: 1609957. DOI: 10.3389/fphy.2025.1609957.
25. Saxe J., Berlin K. Deep neural network-based malware detection using two-dimensional binary program features, *10th International Conference on Malicious and Unwanted Software (MALWARE)*. IEEE, 2015, pp. 11-20. DOI: 10.1109/MALWARE.2015.7413680.
26. Sahs J., Khan L. A machine learning approach to Android malware detection, *Published in 2012 European Intelligence and Security Informatics Conference*. IEEE, 2012, pp. 141-147. DOI: 10.1109/EISIC.2012.34.
27. Ucci D., Aniello L., Baldoni R. Survey of machine learning techniques for malware analysis, *Computers & Security*, 2019, Vol. 81, pp. 123-147. doi.org/10.1016/j.cose.2018.11.001.

Козачок Александр Васильевич – МИРЭА – Российский технологический университет; e-mail: tottrin@mail.ru; г. Москва, Россия; д.т.н.; доцент; <https://orcid.org/0000-0002-6501-2008>.

Козачок Андрей Васильевич – МИРЭА – Российский технологический университет; e-mail: kozachok@mirea.ru; г. Москва, Россия; к.т.н.

Матовых Сергей Сергеевич – Академия Федеральной службы охраны Российской Федерации; e-mail: coolt88@gmail.com; г. Орёл, Россия; сотрудник; <https://orcid.org/0009-0005-9693-3861>.

Kozachok Alexander Vasilevich – MIREA – Russian Technological University; e-mail: tottrin@mail.ru; Moscow, Russia; dr. of eng. sc.; associate professor; <https://orcid.org/0000-0002-6501-2008>.

Kozachok Andrey Vasilevich – MIREA – Russian Technological University; e-mail: kozachok@mirea.ru; Moscow, Russia; cand. of eng. sc.

Matovykh Sergei Sergeevich – The Academy of Federal Security Guard Service of the Russian Federation; e-mail: coolt88@gmail.com; Oryol, Russia; employee; <https://orcid.org/0009-0005-9693-3861>.

И.В. Калиберда

**МЕТОД ВЫЧИСЛЕНИЯ КРИПТОГРАФИЧЕСКИХ КЛЮЧЕЙ
ИЗ БИОМЕТРИЧЕСКИХ ДАННЫХ ЛИЦА НА ОСНОВЕ УСТОЙЧИВЫХ
ПРЕОБРАЗОВАНИЙ**

Рассматривается задача преобразования биометрических данных лица в криптографические ключи, обеспечивающие высокий уровень защищённости. Биометрические данные, хотя и уникальные, не обладают достаточной случайностью для создания сильных криптографических ключей. Кроме того, возникают вопросы хранения ключей: злоумышленник может похитить их шаблон, а при малейшем изменении входных данных (другое освещение, мимика) создаётся риск несоответствия, что приводит к высокому уровню частоты ложных отбраковок. В качестве решения предлагается метод генерации криптографических ключей, объединяющий несколько ключевых технологий для обеспечения эффективности и безопасности процесса создания ключей. Дано описание основных этапов метода, включающих получение изображения лица, обработку изображения, анализ изображения с извлечением необходимых признаков с помощью сверточной нейронной сети, преобразование изображения (вектора признаков) в двоичную строку, устойчивые преобразования. Устойчивые преобразования призваны в качестве методик, направленных на защиту биометрических данных: использование корректирующих кодов Reed-Solomon, генерацию биометрически зависимого ключа, с последующим распределением его на части по классической схеме Шамира, шифрование. Проведено теоретическое обоснование преимущества такого подхода в контексте уменьшения вероятности ложных допусков и ложных отклонений. Представлены результаты экспериментов на базе публичных наборов данных. Показано, что по сравнению с классическими методами и некоторыми существующими схемами без коррекции ошибок предлагаемое решение даёт более высокую точность. Представленный метод даёт существенные преимущества в области безопасности, делая криптографические системы более подходящими для приложений с высоким уровнем безопасности.

Биометрические системы; генерация ключей; устойчивые преобразования; корректирующие коды; хеш-функции; схема Шамира; распознавание лиц.

I. V. Kaliberda

**A METHOD FOR CALCULATING CRYPTOGRAPHIC KEYS FROM A PERSON'S
BIOMETRIC DATA BASED ON STABLE TRANSFORMATIONS**

This article discusses the task of converting a person's biometric data into cryptographic keys that provide a high level of security. Biometric data, although unique, does not have sufficient randomness to create strong cryptographic keys. In addition, key storage issues arise: an attacker can steal the template, and the slightest change in the input data (different lighting, facial expressions) creates a risk of inconsistency, which leads to a high frequency of false rejections. As a solution, a cryptographic key generation method is proposed that combines several key technologies to ensure the efficiency and security of the key creation process. The main stages of the method are described, including obtaining a face image, image processing, image analysis with the extraction of necessary features using a convolutional neural network, image transformation (feature vector) into a binary string, and stable transformations. Sustainable transformations are called upon as techniques that are aimed at protecting biometric data: the use of Reed-Solomon correction codes, the generation of a biometrically dependent key, followed by its distribution into parts according to the classical Shamir scheme, encryption. The advantages of this approach have been theoretically justified in the context of reducing the likelihood of false tolerances and false deviations. The results of experiments based on public datasets are presented. It is shown that compared with classical methods simple sampling and some existing schemes (Bio-Hashing without error correction), the proposed solution provides higher accuracy. The presented method provides significant security advantages, making cryptographic systems more suitable for high-security applications.

Biometric systems; key generation; tokenized conversion; sustainable transformations; hash functions; Shamir scheme; facial recognition.

Введение. В современном цифровом мире вопрос безопасного хранения и передачи конфиденциальных данных стал одним из важнейших приоритетов. С ростом числа онлайн-сервисов, таких как банковские приложения, электронная коммерция и социальные сети, увеличилось и количество кибератак, направленных на кражу личных данных и идентификационной информации, что вызвало необходимость в надежной защите идентификационных данных пользователей. Развитие технологий, таких как биометрия и многофакторная аутентификация, открывает новые возможности для повышения безопасности удаленной идентификации. Требования о защите информации с использованием криптографических средств для таких случаев указаны в нормативной документации [1].

Защита от атак на инфраструктуру системы удаленной идентификации может быть эффективно осуществлена с помощью шифрования. Предлагается решение, в котором биометрические данные лица пользователя (биометрический шаблон), предназначенные для передачи на сервер аутентификации в зашифрованном виде, используются и для генерации криптографического ключа этой же системы шифрования.

Для обеспечения возможности успешного применения биометрических данных для генерации криптографического ключа, необходимо учитывать их особенности, а также преимущества и недостатки. При формировании идентифицирующего изображения лица принимается во внимание шумность данных (качество сенсоров, освещение, вариации позы головы и выражения лица), необходимое качество изображения как на этапе создания эталона для базы лиц, так и на этапе аутентификации пользователя [2]. На эффективность работы системы существенно будут влиять настройки параметров алгоритма распознавания лиц и ошибки трансформации непрерывно значимых собственных проекций лица в строки битов. Длина и сложность криптографического ключа напрямую влияют на его стойкость к атакам. С учетом обеспечения необходимого уровня безопасности, сопоставимого с AES-256, и при этом адаптированного под российские стандарты и сертификации ФСТЭК и ФСБ, решено использовать шифрование дескриптора с помощью симметричного алгоритма блочного шифрования ГОСТ "Кузнечик" [3]. В алгоритме (128-битный блок, 256-битный ключ) предлагается использовать режим CBC, с IV (инициализирующим вектором). Процесс генерации ключа не должен замедлять работу системы, особенно в реальных приложениях, таких как мобильные устройства или сетевые сервисы. Для гарантии безопасности стоит учитывать фактор секретности ключа, заключающийся в том, что ключ должен оставаться скрытым от неавторизованных лиц. Генерация и управление криптографическими ключами должны быть частью стратегии безопасности, включая механизмы хранения, передачи и распределения ключей.

При генерации криптографических ключей на основе биометрических признаков остаются несколько нерешенных задач, которые могут затруднить использование таких методов в реальных системах. Вот основные из них:

- ◆ обеспечение необратимости биометрических данных, то есть исключают возможность восстановления оригинального изображения из ключа;
- ◆ безопасность передачи биометрических данных, отсутствие которой при использовании небезопасных каналов, может привести к её утечке;
- ◆ проблемы с производительностью: алгоритмы для извлечения и обработки биометрических признаков могут требовать значительных вычислительных ресурсов, что может затруднить их использование в реальном времени, особенно на устройствах с ограниченными ресурсами.

В качестве решения необходим метод, объединяющий несколько ключевых технологий для обеспечения эффективности и безопасности процесса создания ключей по биометрическим параметрам лица. Новизна предложенного метода заключается в интеграции современных нейросетевых технологий и криптографии для создания биометрически зависимого ключа с высокой степенью безопасности.

Постановка решаемой задачи. Задача вычисления криптографических ключей из биометрических данных лица обладает высокой важностью как для науки, так и для общества, и практической деятельности. Этот подход позволит объединить биометрические

данные (изображение лица) с классическими криптографическими алгоритмами. Генерация биометрически зависимого ключа позволит решить проблемы, связанные с уязвимостью традиционных методов аутентификации. Научные исследования в этой области в дальнейшем, могут способствовать разработке новых методов обработки биометрических данных, улучшению алгоритмов распознавания и повышению стойкости криптографических ключей к атакам. Биометрически зависимые ключи могут быть внедрены в современные системы безопасности, такие как мобильные платежи, системы контроля доступа, медицинские системы и государственные учреждения. Эти системы требуют высокой степени защиты и удобства, что делает использование биометрии эффективным решением.

Главная цель исследования заключается в разработке метода, реализующего процесс извлечения биометрических признаков, подходящих для криптографической защиты данных при передаче по не защищенным каналам связи. Под подходящими для криптографической защиты признаками следует понимать такие биометрические данные, которые:

- ◆ обладают достаточной энтропией (случайностью), сравнимой с криптографическими ключами длиной 256 бит;
- ◆ устойчивы к малым вариациям входных данных (освещение, мимика, поворот головы);
- ◆ необратимы, то есть исключают возможность восстановления оригинального изображения из ключа;
- ◆ совместимы с криптографическими протоколами хранения, шифрования и передачи;
- ◆ допускают отзыв и регенерацию ключа в случае компрометации вспомогательных параметров (токенов, масок и т. д.).

Такие признаки позволяют интегрировать биометрию в защищённые системы с гарантированной стойкостью к анализу и подделке.

Анализ известных решений. В области биометрических криптосистем имеются несколько направлений исследований. Ниже дана краткая характеристика основных известных решений, их особенности и где требуются дополнения.

Первоначально возникла идея «прямого» использования биометрии в качестве ключа, известная как классический Biometric Encryption [4,5]. Однако если без преобразований записать биометрические данные (проекция лица) прямо в ключ, возникает несколько проблем:

- ◆ прямое хранение шаблона: злоумышленник может похитить шаблон, а пользователь не может «отозвать» собственное лицо.
- ◆ при малейшем изменении входных данных (другое освещение, мимика) создаётся риск несоответствия, что приводит к высокому уровню FRR.

Следующие разработчики Bio-Hashing и FaceHashing [6,7] предлагают идею «необратимого» преобразования биометрии. Суть заключается в следующем, биометрические данные смешиваются с псевдослучайной информацией (токен). Получается выход, из которого нельзя получить исходный шаблон. Если токен скомпрометирован, его меняют и формируют новый биометрический хэш. Преимущество данного метода – гибкость и «обратимость» в смысле обновления схемы. Недостаток заключается в обеспечении реальной необратимости (при определённых условиях злоумышленник может попытаться вычислить разницу между исходной биометрией и зашумлённой версией).

Существуют решения, предлагающие использование кодов коррекции ошибок:

- ◆ в работе [8] биометрический вектор связывается (commitment) с некоторым случайным ключом, зашифрованным кодом (например, Рид-Соломона). Если при проверке биометрия достаточно близка к исходной, систему удаётся «раскрыть» и восстановить ключ;
- ◆ в работе [9] похожая идея, но используется создание множества точек (поддельных и настоящих), из которых только владелец биометрии может выделить истинную кривую.

Плюсы: высокая точность в отсутствии сильного шума, формальное описание через коды коррекции. Минусы: потенциально сложная реализация, нужны аккуратные схемы распределения ключа.

В исследовании, приведенном в работе [10] предлагается метод извлечения признаков с использованием вейвлетов, где дискретное вейвлет-преобразование используется для создания изображений признаков из отдельных вейвлет-полос, а сокращённый вектор признаков используется для дальнейшей классификации с помощью классификатора евклидова расстояния и классификатора нейронных сетей:

- ◆ анализ главных компонент (PCA) сокращает размерность, выделяя наиболее значимые характеристики лиц;
- ◆ дискретное косинусное преобразование (DCT) выделяет блоки основных частот в изображении, устойчив к небольшим вариациям;
- ◆ вейвлет-преобразование: многомасштабное разложение сигнала, позволяет эффективно представлять данные с минимумом потерь;
- ◆ CNN-эмбединги (FaceNet, ArcFace, MobileNet+ArcFace, InsightFace): эффективно извлекают признаки из данных (края, текстуры и формы в изображениях). На сегодняшний день самые точные, устойчивые к значительным вариациям.

Недостаток классических методов (PCA, DCT) в том, что они не столь хорошо работают при сильных изменениях ракурса, освещения; CNN-методы обеспечивают более высокую точность, но сложнее в реализации (требуют обучения на большом датасете).

Ниже представлена сводная табл. 1, отражающая ключевые плюсы и минусы рассмотренных решений.

Таблица 1

Преимущества и недостатки основных подходов биометрических криптосистем

Подход	Преимущества	Недостатки
Biometric Encryption	Простое понятие, прямое использование биометрии	Хранение шаблона небезопасно, сложность «отзыва»
Cancelable Biometrics	Возможность «перегенерации» в случае компрометации	Нужно доказать необратимость, сложная настройка параметров
Fuzzy Commitment/Vault	Строгая математическая модель с кодами коррекции	Ресурсоёмко, требует аккуратной реализации, может быть сложен в эксплуатации
PCA/DCT/Wavelet	Простые и быстрые вычисления, многолетние исследования	Не всегда достаточно точно при сильных вариациях (под разными углами)
CNN-эмбединги	Высокая точность, хорошая устойчивость к шумам	Необходима мощная модель, сложность развертывания, обучение на большом датасете

Прямое сохранение биометрических данных небезопасно и непрактично. Нужно разработать метод, позволяющий учесть шумность биометрии (наличие посторонних шумов) в виде коррекции ошибок; исключить возможность восстановления исходных биометрических признаков (необратимое преобразование); обеспечить отзыв ключа при компрометации вспомогательных параметров.

Разработка метода. Метод генерирования защищенного криптографического ключа на основе биометрии лица (назовем его SBC-KG (Secure Biometric Crypto Key Generation)), представляет собой улучшенный вариант схемы, объединяющей идеи Bio-Hashing, коррекции ошибок (BCH/RS) и разделения ключа (Шамира). Реализация метода достигается выполнением последующих операций:

1. Получение изображения лица человека.
2. Предобработка изображения (масштабирование, фильтрация, выравнивание гистограммы).
3. Анализ изображения с извлечением необходимых идентификационных признаков (обнаружение лица на изображении, определение 68 ключевых точек лица, преобразование ключевых точек в вектор эмбедингов).

4. Устойчивые преобразования (дискретизация, коррекция ошибок, генерирование криптографического ключа, распределение ключа на части).

Рассмотрим этапы метода SBC-KG более подробно.

Захват изображения с видеокамеры

Вначале необходимо получить изображение идентифицируемого лица. Для этого в составе системы идентификации используется потоковый сервер (WCS) с разработанным и установленным ПО и IP-видеокамера, поддерживающая протокол потоковой передачи в реальном времени (RTSP). Для того, чтобы захватить видеопоток с IP-видеокамеры организовано Ethernet-соединение источника видеосигнала с WCS. Для возможности воспроизведения в программе видеопоток камеры передается в поддерживаемых кодеках (рис. 1).

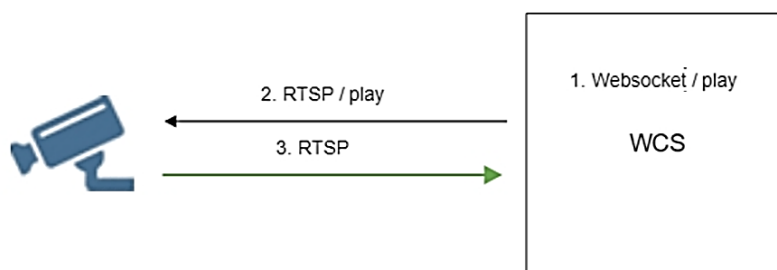


Рис. 1. Схема захвата изображения с IP-видеокамеры

Схема содержит следующие шаги:

1. ПО соединяется с сервером по протоколу Websocket и отправляет команду «playStream».

2. Сервер соединяется с RTSP-источником и отправляет команду «PLAY».

3. RTSP-источник передает на сервер RTSP-поток. Сервер отдает поток ПО. По умолчанию, RTSP потоки захватываются по TCP.

Предобработка изображения

На этапе предобработки изображения используется фильтрация Гаусса. Данное размытие удаляет шум, не затрагивая крупных деталей. Аддитивный гауссов шум характеризуется добавлением к каждому пикселю изображения значений с нормальным распределением и с нулевым средним значением. Формула (1) Гауссова фильтра для плоского изображения имеет вид:

$$I_{filtered}(x, y) = \frac{1}{2\pi\sigma^2} \sum_{i=-k}^k \sum_{j=-k}^k I(x+i, y+j) \cdot e^{-\frac{x^2+y^2}{2\sigma^2}}, \quad (1)$$

где

$I(x, y)$ – интенсивность пикселя в точке с координатами (x, y) ;

σ – стандартное отклонение;

$k = \lfloor 3\sigma \rfloor$ – радиус ядра, в пределах которого происходит фильтрация;

$\frac{1}{2\pi\sigma^2}$ – нормализующий коэффициент, который обеспечивает, чтобы сумма всех значений ядра равнялась 1.

Ядро Гаусса $e^{-\frac{x^2+y^2}{2\sigma^2}}$ задаёт вес для каждого пикселя, при этом чем дальше пиксель от центра, тем меньший вес он имеет.

Внешние суммы $\sum_{i=-k}^k \sum_{j=-k}^k$ означают, что фильтрация учитывает все пиксели в области вокруг точки (x, y) , которая имеет размер $(2k+1) \times (2k+1)$, где k зависит от значения σ .

Значение стандартного отклонения (σ) выбирается в зависимости от размера изображения и желаемой степени размытия. Для изображения размером 240×192 пикселей, выбор значения σ лежит в диапазоне от 1 до 3 пикселей [13]:

- ◆ при $\sigma = 1$ – ядро имеет размер 5×5 пикселей;
- ◆ при $\sigma = 1.5$ – ядро увеличивается, и более агрессивно размывает изображение, сохраняя менее выраженные детали.

В нашем случае выбрано значение $\sigma = 1$, достаточное для умеренного размыва (рис. 2). Ядро размером 5×5 выглядит как матрица (G):

$$G = \begin{bmatrix} 0.003 & 0.013 & 0.021 & 0.013 & 0.003 \\ 0.013 & 0.059 & 0.096 & 0.059 & 0.013 \\ 0.021 & 0.096 & 0.159 & 0.096 & 0.021 \\ 0.013 & 0.059 & 0.096 & 0.059 & 0.013 \\ 0.003 & 0.013 & 0.021 & 0.013 & 0.003 \end{bmatrix}$$

Это ядро применяется к изображению, где каждому пикселю присвоено весовое значение из представленной матрицы.

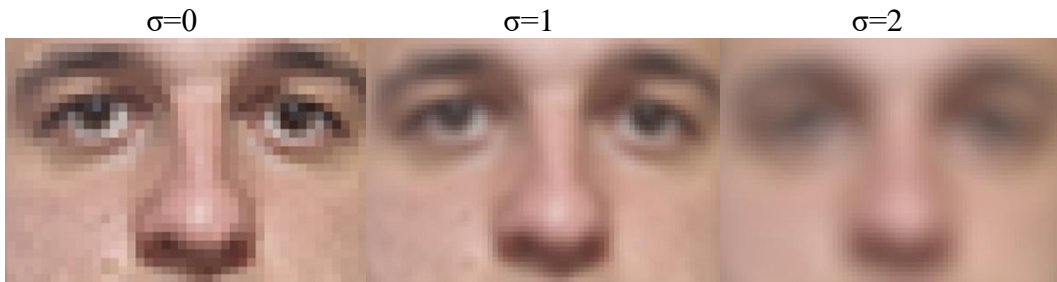


Рис. 2. Результат обработки изображения с различными значениями σ

Гауссов фильтр является удобным инструментом на этапе предобработки изображения лица. Он эффективно удаляет шум и оставляет глобальные черты лица нетронутыми.

Обнаружение лица

Для обнаружения изображения лица с видеокамеры используется сверточная нейронная сеть (CNN), которая использует алгоритм TinyFaceDetector [11]. Это одно из удачных решений, используемых в задачах обнаружения лиц в условиях сложных фонов и разнообразных углов зрения. Алгоритм TinyFaceDetector улучшает точность распознавания, минимизируя ошибку классификации, при этом обеспечивая максимальное разделение между лицами и фоном. В результате, на выходе алгоритм TinyFaceDetector выдает координаты прямоугольной области, в которой находится лицо. Эти координаты определяют верхний левый угол прямоугольника, а также его ширину и высоту.

Изображение лица представляется как массив с использованием ndarray из библиотеки NumPy, где каждый элемент этого массива является кортежем, содержащим три значения: красный (R), зелёный (G) и синий (B) компоненты цвета пикселя. Каждый кортеж представляет собой цвет пикселя на изображении.

Приведение изображения лица к стандартному размеру

После того как алгоритм TinyFaceDetector успешно обнаружил лицо, следующим шагом является приведение изображения лица к стандартному размеру [12], включающий шаги:

- ◆ извлечение области лица: изображение лица извлекается из полного кадра, используя координаты, полученные на этапе обнаружения лица. Эта область будет прямоугольной и ограничена размерами, указанными в выходных данных MMOD;
- ◆ масштабирование изображения лица до нужного размера — 320×240 пикселей. Масштабирование выполняется через изменение размера изображения, при этом важно сохранить пропорции и качество изображения, чтобы минимизировать искажения.
- ◆ определение внутренней области для изображения лица с горизонтальным размером 240 пикселей: высота области определяется пропорциями лица. Чтобы сохранить стандартизированный размер изображения, примем значение высоты в 192 пикселя.

Внутренняя область изображения лица всегда должна содержать важные элементы лица (глаза, нос, рот). Это достигнуто с использованием алгоритмов компьютерного зрения.

Извлечение признаков (CNN)

Для изображения лица, представляющего собой 2D-матрицу пикселей, с последующим анализом с использованием нейронной сети, создается массив, где каждая точка представляет координаты одной из 68 ключевых точек, полученных с использованием модели FaceLandmark68TinyNet. Эти точки описывают важные характеристики лица, такие как глаза, нос, рот и контуры лица [14]. Наглядное представление работы метода выделения лица человека и ключевых точек после обработки входного изображения для задачи распознавания ключевых точек лица представлено на рис. 3.

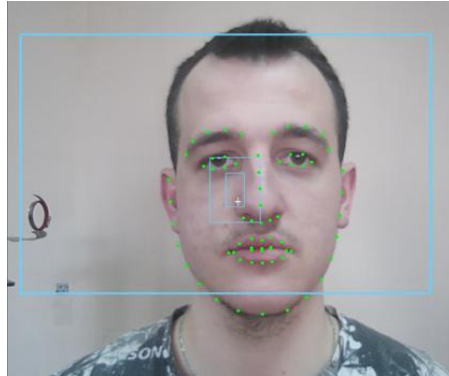


Рис. 3. Размещение ключевых точек на оптическом изображении лица пользователя

Нейронная сеть генерирует массив из 68-и ключевых точек. Массив (P) из 68 точек с координатами x и y представляется следующим образом:

$$P = [(x_1, y_1), (x_2, y_2), \dots, (x_{68}, y_{68})], \quad (2)$$

где

x_i – это горизонтальная координата i -й ключевой точки;

y_i – координата вертикальной i -й ключевой точки.

Пример массива из 68 ключевых точек лица, координаты которых варьируются в пределах размера 240x192, показан на рис. 4.

```

Позиции лицевых точек:
[{"_x":112.73252106583368,"_y":112.33436777356994}, {"_x":113.4645
7085883867,"_y":119.5592535949124}, {"_x":114.79015515125047,"_y":
126.63003250125777}, {"_x":116.17014513290178,"_y":133.16832467082
87}, {"_x":118.6357192633177,"_y":140.11767848495376}, {"_x":122.91
331791258108,"_y":144.53519865039718}, {"_x":127.09912388897192,"_
y":147.10619791511428}, {"_x":132.66619788980734,"_y":149.02155800
823104}, {"_x":141.63867616033804,"_y":150.26584132675063}, {"_x":1
50.2685839471842,"_y":148.9533154583348}, {"_x":156.15358167267095
,"_y":146.89166112903487}, {"_x":160.4742169318224,"_y":144.218790
37383925}, {"_x":164.6597901520754,"_y":138.9609180307759}, {"_x":1
67.0543852982546,"_y":132.08887322906386}, {"_x":168.0916185913111
,"_y":125.5599604463948}, {"_x":169.40535348034155,"_y":118.297978
48228347}, {"_x":170.14501863098394,"_y":111.16128101114165}, {"_x"
:118.99019310748827,"_y":101.25738798741233}, {"_x":122.0114555892
9693,"_y":97.59233622912299}, {"_x":126.28311895704519,"_y":95.813
49148515594}, {"_x":130.4846486685301,"_y":95.23921161059272}, {"_x"
":134.2985061047102,"_y":96.04203059438598}, {"_x":148.26024972772
848,"_y":95.41064201954734}, {"_x":151.9637003479029,"_y":94.54156
129721534}, {"_x":156.17632406330358,"_y":94.48006122473609}, {"_x"
:160.52889346456777,"_y":96.17365493539702}, {"_x":164.02352374172
46,"_y":99.61163102749717}, {"_x":140.99308680868398,"_y":103.5149
9035123717}, {"_x":141.01071279621374,"_y":107.54655166629684}, {"_
x":140.7070929942156,"_y":111.158262333907}, {"_x":140.58521764850
866,"_y":114.8789729094876}, {"_x":135.84305679178487,"_y":120.471
91842559707}, {"_x":138.1226534781481,"_y":120.70861025813949}, {"_
x":140.75865905857336,"_y":121.05303569797408}, {"_x":143.69111555
195104,"_y":120.64522012237441}, {"_x":146.02656947946798,"_y":120
.43915941480529}, {"_x":124.47305487966787,"_y":106.54029323820006

```

Рис. 4. Пример массива из 68-и ключевых точек с координатами (x, y)

Ключевые точки лица, полученные нейросетью при распознавании лица, содержат не только координаты точек (x, y) , но и дополнительные признаки, такие как:

- ◆ значение яркости пикселя;
- ◆ среднее значение в окрестности пикселя.

Параметр яркости пикселя необходим для улучшения распознавания в условиях различного освещения. Использование параметра среднего значения пикселей в окрестности ключевой точки помогает улучшить точность распознавания в тех случаях, когда изображение может быть шумным или размытым. Это позволяет нейросети учитывать не только положение самой точки, но и информацию о ближайших пикселях, что делает систему более устойчивой к шуму и вариациям изображения.

Формирование эмбединга

Для распознавания лиц и анализа изображений используется модель ResNet. Она преобразовывает лицевые точки в вектор признаков (эмбединг), отражающего уникальные характеристики структуры лица. В разных версиях ResNet используется разное количество свёрточных слоёв: в ResNet-18 – их 18, в ResNet-34 – 34, в ResNet-50 – 50 слоёв, в ResNet-101 – 101 слоёв, в ResNet-152 – 152 слоёв. В конечном итоге это отражается на выходном размере признаков. Выбор размерности эмбединга обусловлен необходимостью соблюдения баланса между несколькими факторами:

- ◆ точность биометрической идентификации;
- ◆ вычислительная эффективность при обработке и сравнении шаблонов;
- ◆ объём передаваемой и хранимой информации.

Модель ResNet-18 оптимальна с учетом точности идентификации и скорости обработки шаблонов. Изображения, содержащие выровненные лица, подаются на вход модели ResNet-18. Сеть проходит через 18 свёрточных слоёв, которые извлекают признаки. На выходе модели ResNet получается эмбединг фиксированной длины (128 элементов), который представляет лицо. Каждый элемент вектора кодирует абстрактную особенность изображения, извлечённую внутренними представлениями нейросети. Эти признаки не поддаются прямой интерпретации человеком, однако в совокупности формируют устойчивое и воспроизводимое описание биометрического объекта. Размерность в 128 признаков рекомендуется как промышленный стандарт в задачах идентификации по лицу. Эта конфигурация подтверждена экспериментально в ряде исследований, включая работу FaceNet (Google) [16], и демонстрирует высокую точность при умеренных требованиях к вычислительным ресурсам.

С математической точки зрения, полученный эмбединг может быть представлен как точка на поверхности 128-мерной гиперсферы. Похожие лица формируют плотные кластеры, в то время как векторы, соответствующие разным людям, стремятся к равномерному распределению на поверхности сферы. Пусть $z \in R^{128}$ – эмбединг, полученный от модели ResNet-18.

Нормализуем его по L2-расстоянию (евклидово расстояние):

$$\hat{z} = \frac{z}{\|z\|_2}, \text{ где } \|z\|_2 = \sqrt{\sum_{i=1}^{128} z_i^2}, \quad (3)$$

После нормализации:

$$\|\hat{z}\|_2 = 1.$$

Это означает, что \hat{z} лежит на единичной 128-мерной гиперсфере:

$$S^{127} = \{x \in R^{128} \mid \|x\|_2 = 1\}, \quad (4)$$

3D проекция 100 эмбедингов на гиперсфере (PCA) показана на рис. 5.

На рис. 5 показаны:

- ◆ PCA1 (первая главная компонента) – это направление в исходном 128-мерном пространстве, по которому максимальная дисперсия данных. PCA1 указывает ось, вдоль которой векторы эмбедингов различаются наиболее сильно;

◆ PCA2 (вторая главная компонента) – ортогональна PCA1 и указывает второе по значимости направление дисперсии. PCA2 фиксирует второстепенные различия между эмбедингами, которые не объясняются первой компонентой;

◆ PCA3 (третья главная компонента) – ортогональна как PCA1, так и PCA2. PCA3 охватывает дополнительную вариативность, менее значимую, но важную для пространственного разделения точек.

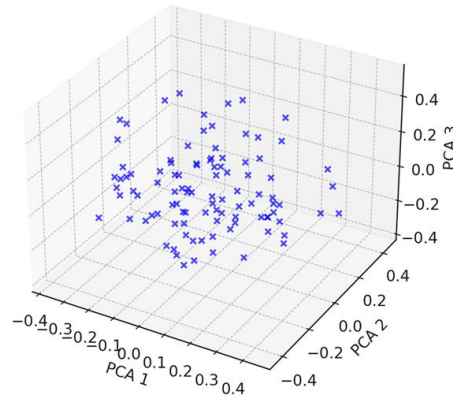


Рис. 5. 3D проекция 100 эмбедингов на гиперсфере (PCA)

Компоненты PCA1, PCA2 и PCA3 формируют новое ортонормированное базисное пространство, в котором 128-мерные эмбединги отображаются как 3D-векторы. Это позволяет визуально оценить степень различия и группировку векторов для идентификации.

Идентификация личности

Эмбединги, полученные для разных лиц, располагаются в многомерном признаковом пространстве таким образом, что векторы, соответствующие одному и тому же лицу или похожим лицам, находятся на малом расстоянии друг от друга. Для измерения степени близости применяется метрика косинусного расстояния, позволяющая эффективно сравнивать ориентацию векторов на единичной гиперсфере. Для оценки степени сходства между биометрическими векторами-эмбедингами применяем метрику косинусного расстояния (cosine distance). Пусть заданы два вектора эмбедингов:

$$z_1, z_2 \in R^d,$$

где d – размерность признакового пространства ($d=128$).

Косинусное сходство вычисляется по формуле:

$$\cos(\theta) = \frac{\langle z_1, z_2 \rangle}{\|z_1\| \cdot \|z_2\|}, \quad (5)$$

где

$\langle \cdot, \cdot \rangle$ – скалярное произведение,

$\|\cdot\|$ – евклидова норма (длина вектора),

θ – угол между векторами.

Результат принимает значения от -1 до 1 , где:

1 – полное совпадение направления (векторы идентичны),

0 – ортогональные (несвязанные),

-1 – противоположные (в реальной биометрии почти не встречается).

Косинусное расстояние интерпретируется как мера расхождения:

$$\text{dist}_{\cos}(z_1, z_2) = 1 - \cos(\theta), \quad (6)$$

Значения ближе к нулю указывают на высокую степень схожести. При регистрации: эмбединг нормализуется и сохраняется как эталон. При идентификации: сравниваются текущий и эталонный векторы по косинусной метрике. При превышении установленного порога схожести, $\cos(\theta) > 0,75$, считается, что пользователь успешно распознан.

Адаптивная бинаризация

Процедура адаптивной бинаризации необходима для преобразования вектора признаков в двоичную строку. В отличие от обычной бинаризации, при которой используется один фиксированный порог для всех пикселей, адаптивная бинаризация учитывает локальные характеристики. В нашем случае имеется вектор признаков $f = [f_1, f_2, f_3, \dots, f_n]$, полученный из изображения лица. Адаптивная бинаризация осуществляется следующим образом:

1. Для каждого элемента f_i вектора признаков вычисляется локальный порог t_i , который зависит от ближайших значений признаков.
2. Сравнивается значение каждого элемента f_i с локальным порогом для присвоения ему значения 0 или 1. Таким образом, для вектора признаков f получаем двоичный вектор b :

$$b = [b_1, b_2, b_3, \dots, b_{128}], \quad (7)$$

где $b_i = \begin{cases} 1, & \text{если } f_i > t_i \\ 0, & \text{иначе} \end{cases}$

Кодирование ошибок (RS)

Блочные коды Рида-Соломона (Reed-Solomon (RS)) обеспечивают коррекцию ошибок с помощью добавления избыточности в исходные данные. Эта функция поможет в восстановлении исходной информации при её потере.

Разберем принцип работы кодов RS. Двоичный вектор (7), состоящий из 128 бит, можно представить как полином:

$$P(x) = b_1 + b_2x + b_3x^2 + \dots + b_{128}x^{127}, \quad (8)$$

где

b_i – это коэффициенты полинома, которые соответствуют битам двоичного вектора b ;
 x – переменная для определения значений полинома в разных точках.

В кодировании полином используется для определенных значений x при восстановления исходных данных. Например, для значений двоичного вектора b , полученных в выражении (3) – это биты данных, полином $P(x)$ используется для создания закодированных данных, и x представляет переменную, через которую эти данные могут быть восстановлены в дальнейшем.

Структура кодов RS следующая: если у нас есть исходное сообщение длиной k символов, код Рида-Соломона может добавить $n - k$ символов избыточности. В результате длина закодированного сообщения будет равна n , где n – это максимальная длина закодированного сообщения [17].

Так как у нас есть закодированный вектор b_{RS} , и получен вектор b'_{RS} , который отличается от b_{RS} в пределах допустимой погрешности (порог t), то декодер сможет восстановить исходный вектор b с помощью алгоритма Рида-Соломона:

$$P(x) = Interp(b'_{RS}, t), \quad (9)$$

где *Interp* – это процесс интерполяции, который восстанавливает полином, исходя из исправленных значений вектора b'_{RS} .

Если количество ошибок в b'_{RS} не превышает порога t , то процесс интерполяции позволяет восстановить исходный вектор b_{RS} следующим образом:

$$b_{RS} = Decod(b'_{RS}, t), \quad (10)$$

где *Decode* – это процесс восстановления исходного вектора, который использует методы коррекции ошибок, такие как полиномы Рида-Соломона.

Таким образом, коды Рида-Соломона обеспечивают надежность, позволяя исправлять ошибки в полученных данных.

Преимущества использования кодов RS:

- ♦ устойчивость к ошибкам: кодирование с помощью Рида-Соломона позволяет восстановить данные, если число ошибок не превышает порога.

♦ гибкость: возможность выбора уровня избыточности в зависимости от желаемой степени защиты от ошибок.

♦ широкое применение: эти коды используются в различных областях, от хранения данных на оптических носителях до передачи данных по сети.

Генерация признаков заключается в следующем, двоичный вектор b , полученный посредством адаптивной бинаризации и закодированный с помощью RS, подается в нейросетевой блок, который, в свою очередь, генерирует закрытый ключ, что позволяет создавать уникальные приватные ключи для легитимных пользователей в процессе аутентификации без возможности компрометации сжатого устойчивого вектора биометрических признаков.

Генерирование криптографического ключа

В рамках предлагаемого метода криптографический ключ формируется на основе вектора признаков (эмбединга), извлеченного из лицевого изображения нейросетевой моделью с применением хеш-функции SHA-256.

Этот хеш представляет собой уникальное значение, которое не может быть преобразовано обратно в исходное изображение. Хеш-функции, как правило, необратимы, и таким образом, извлечение изображения из хеша невозможно.

Хеш-функция H применяется к данным b_{RS} , чтобы получить результат K – 256-битный хеш (криптографический ключ). Это можно записать как:

$$K = H(b_{RS}), \quad (11)$$

где

H – хеш-функция (SHA-256);

b_{RS} – входные данные (кодированный вектор, который необходимо захешировать);

K – итоговый 256-битный хеш, представляющий собой криптографический ключ.

Таким образом осуществляется вычисление криптографического хеша данных b_{RS} , который используется для создания криптографических операций [18].

Распределенное хранение криптографического ключа (схема Шамира)

Чтобы обеспечить высокую устойчивость, безопасность и отказоустойчивость при работе с криптографическими ключами применяется распределенное хранение секрета. Существует несколько решений данного вопроса, каждое из которых имеет свои особенности и области применения (табл. 2).

Таблица 2

Схемы для распределённого хранения криптографического ключа

Название	Описание	Особенности
Blakley's Secret Sharing	Геометрическая схема на основе гиперплоскостей	Простая алгебра, менее распространена
Verifiable Secret Sharing (VSS)	Проверка корректности долей при восстановлении	Устойчива к нечестным участникам
Pedersen VSS	Схема с гомоморфными коммитментами	Применяется в протоколах с нулевым разглашением
Asymmetric Secret Sharing (ASS)	Участники имеют разные уровни доступа	Гибкая модель доверия
Proactive Secret Sharing (PSS)	Регулярное обновление долей без изменения секрета	Устойчивость при длительном хранении
Ramp Secret Sharing	Допускает частичную утечку, но снижает размер долей	Экономия объёма хранения
CRT Secret Sharing	Использует китайскую теорему об остатках	Иная математическая база, альтернатива Шамиру
Information Dispersal Algorithms (IDA)	Разделение с избыточностью без криптостойкости	Быстрая реконструкция, не защищает секрет

На практике наиболее широко применяется классическая схема разделения секрета, предложенная А. Шамиром (Shamir's Secret Sharing, SSS). Её популярность обусловлена сочетанием математической строгости, простоты реализации и высокой криптографической стойкости. Алгоритм основывается на интерполяции многочлена над конечным полем, что обеспечивает информационную безопасность: знание менее чем t долей не даёт никакой информации о секрете.

Ключевым преимуществом схемы Шамира является её широкая поддержка в современных криптографических библиотеках, таких как PyCryptodome, Charm или TSS-Lib, а также в программно-аппаратных средствах защиты информации (например, HSM и HashiCorp Vault). Этот метод активно используется в индустрии для управления ключами, реализации распределённых цифровых подписей и защиты криптовалютных кошельков.

Несмотря на существование более сложных модификаций, таких как схемы с верификацией долей (Pedersen VSS) или проактивным обновлением (PSS), именно классическая схема Шамира остаётся стандартом де-факто благодаря своей универсальности, эффективности и минимальным требованиям к вычислительным ресурсам.

Предлагается практическое применение схемы Шамира с порогом восстановления секретов. Существует решение, предложенное в статье Hall J. [19], которое представляет собой современную и безопасную реализацию распределённой генерации ключей на основе эллиптических кривых с вложенной схемой Шамира. Однако, есть направления для улучшения и расширения подхода – как с теоретической, так и с практической стороны:

- ◆ оптимизация вычислений с использованием кривых Montgomery/Edwards. Вместо Ed25519 предлагается использовать более производительные модификации Curve25519 в представлении Montgomery, что ускоряет вычисления при меньших затратах на защиту;
- ◆ замена вложенной схемы Шамира на более эффективную структуру PVSS, что позволит проверять подлинность каждой доли без полного восстановления секрета;
- ◆ использование асинхронного порогового протокола без предварительной координации. В работе предполагается синхронное взаимодействие. Однако предлагается интегрировать асинхронный протокол (FROST), который позволяет сторонам участвовать в распределённой подписи независимо;
- ◆ устойчивость к подмене долей. Предлагается внедрить проверку корректности долей через zero-knowledge доказательства, чтобы исключить возможность саботажа со стороны одного из участников схемы.

Перейдем к описанию предлагаемого улучшения схемы Шамира для распределённой генерации приватного ключа EdDSA/Ed25519, включающему несколько математических и криптографических модификаций.

1. Пусть секретный ключ $sk \in F_q$ – элемент конечного поля порядка q . На первом уровне строится многочлен $f(x)$ степени $t - 1$:

$$f(x) = sk + a_1x + a_2x^2 + \dots + a_{t-1}x^{t-1}, a_i \in F_q, \quad (12)$$

Каждому участнику выдается доля $s_i = f(x_i)$, $x_i \in F_q$.

2. Каждая доля s_i дополнительно разделяется вложенной схемой через многочлен $g_i(x)$ степени $(m-1)$:

$$g_i(x) = s_i + b_1x + b_2x^2 + \dots + b_{m-1}x^{m-1}, b_j \in F_q \quad (13)$$

и создаются вложенные поддоли: $s_{i,j} = g_i(x_j)$, $j = 1, \dots, m$.

3. Для верифицируемости вводится система обязательных хэш-коммитментов: каждому $f(x)$ и $g_i(x)$ сопоставляется хэш-образ $H(f(x))$ и $H(g_i(x))$, публикуемый публично (например, через Merkle root).

4. Для обеспечения асинхронности протокол адаптируется под схему FROST (Flexible Round-Optimized Schnorr Threshold), где каждая доля используется для локальной генерации частей подписи без раскрытия ключа.

5. Для защиты от компрометации в незащищённой среде каждая поддоля $s_{i,j}$ хранится в средствах HSM. Ключ доступа к доле управляется политиками доступа и мультисиг-натурным контролем.

6. Для применения в криптографическом алгоритме, основанном на эллиптических кривых в форме Эдвардса (Ed25519) ключ используется в виде:

$$pk = sk \cdot G, \quad (14)$$

где G – базовая точка эллиптической кривой. Формирование цифровой подписи осуществляется порогово, а проверка подписи возможна централизованно или децентрализованно.

Таким образом, предложенное расширение схемы Шамира сочетает стойкость (разделение ключей), надёжность (вложенность), верифицируемость (хэш-коммитменты), а также защищённое выполнение (TEE/HSM) и поддержку асинхронных вычислений (FROST).

Результаты исследования. В рамках исследования была проведена *программная реализация* предложенного метода формирования криптографических ключей на основе биометрических признаков, включая следующие ключевые этапы:

- ◆ детектирование лица на изображении с помощью алгоритма TinyFaceDetector;
- ◆ извлечение 68 лицевых ориентиров с использованием модели FaceLandmark68TinyNet;
- ◆ преобразование лицевых точек в вектор признаков размерности 128 с помощью сверточной нейросети на архитектуре ResNet;
- ◆ бинаризация эмбединга и генерация хэша ключа длиной 256 бит с использованием SHA-256;
- ◆ применение кодов Рида-Соломона для защиты от ошибок;
- ◆ разделение ключа по улучшенной схеме Шамира на несколько долей и передача части данных на удалённый сервер;
- ◆ шифрование изображения с использованием алгоритма Кузнечик;
- ◆ передача зашифрованного сообщения и получение отклика об успешной идентификации.

Алгоритм реализован на языке Python с использованием библиотек: face-recognition, dlib, numpy, hashlib, PyCryptodome, geedsolo, multiprocessing и других. Результаты тестирования производительности вычислительных этапов отражены в табл. 3 ниже.

Таблица 3

Время выполнения ключевых этапов обработки (средние значения)

Этап	Время (мс)
Обнаружение лица (TinyFaceDetector)	45
Извлечение 68 точек (FaceLandmark68TinyNet)	30
Эмбединг (ResNet)	40
Бинаризация и SHA-256	12
Коды Рида-Соломона	18
Секрет Шамира (3 из 5)	25
Шифрование Кузнечиком	17
Суммарное время	187

Время выполнения полной процедуры от захвата лица до получения отклика сервера составляет в среднем около 300–350 миллисекунд на стандартном ПК (без GPU-ускорения). Из них около 105 мс тратится на обнаружение лица и извлечение признаков, остальные – на генерацию ключа, шифрование и сетевое взаимодействие.

Оценка энтропии биометрических ключей

Чтобы обосновать, что криптографические ключи, полученные из биометрических признаков, обладают достаточной энтропией, сравнимой с ключами длиной 256 бит, нужно рассмотреть три ключевых аспекта: источник энтропии, обработку (усиление) и фактическую оценку. Источником случайности является биометрический вектор. Энтропия такого распределения в реальных БС (biometric systems) оценивается в диапазоне 100–140 бит (по данным NIST, IEEE) [22–25]. IEEE P2410 рекомендует использовать хэш-функции для усиления биометрических ключей.

Для обоснования криптографической стойкости ключей, полученных на основе биометрических признаков, была проведена численная симуляция, оценивающая энтропию бинарных эмбедингов. Методика включает следующие этапы:

1. Генерация 10 000 случайных эмбедингов размерностью 128, распределённых по нормальному закону.
2. Нормализация каждого эмбединга до единичной гиперболы.
3. Преобразование эмбедингов в бинарные дескрипторы путём пороговой бинаризации (значения > 0 приравниваются к 1, иначе 0).
4. Вычисление вероятности появления единицы в каждом из 128 битов.
5. Расчёт энтропии каждого бита по формуле:

$$H(p) = -p \cdot \log_2(p) - (1 - p) \cdot \log_2(1 - p), \quad (15)$$

где p – вероятность появления единицы в бите.

6. Суммирование энтропии по всем битам. Полученное значение энтропии составило 127.99 бит из 128 возможных, что говорит о высокой степени случайности и достаточной криптографической стойкости получаемых ключей.

Таким образом, бинаризованные эмбединги можно использовать в качестве источника при генерации криптографических ключей, например, с помощью SHA-256.

Необратимость биометрических признаков

Использование однонаправленной хэш-функции (SHA-256) поверх бинаризованного эмбединга, полученного из глубокого нейросетевого представления изображения, гарантирует криптографическую необратимость ключа. Это означает, что по полученному ключу невозможно восстановить ни биометрический шаблон, ни тем более оригинальное изображение пользователя.

Ключевые положения:

- ◆ хэш-функция SHA-256 необратима и обладает аваланш-эффектом;
- ◆ эмбединг лица, полученный с помощью ResNet, – это нелинейное, сжатое представление, не поддающееся обратному преобразованию;
- ◆ дополнительная бинаризация шаблона уничтожает амплитудную информацию;
- ◆ даже при наличии вектора признаков невозможно восстановить исходное изображение без генеративной модели, обученной отдельно.

Таким образом, криптографические ключи, полученные на основе биометрии, безопасны с точки зрения утечки приватной информации и соответствуют требованиям стандартов ISO/IEC 24745 и NIST SP 800-63B.

Заключение. Генерация биометрически зависящего ключа дает существенные преимущества в области безопасности, делая криптографические системы более подходящими для приложений с высоким уровнем безопасности. Любой субъект, зарегистрированный в BCS, может сгенерировать криптографические ключи при предъявлении биометрических характеристик. Затем ключи, зависящие от биометрии, передаются применяемому криптографическому алгоритму для шифрования обычных данных. Впоследствии зашифрованные данные передаются по любому ненадежному каналу. Чтобы снова расшифровать зашифрованный текст, предъявляются биометрические данные для получения ключей дешифрования.

Создание ключей шифрования на основе биометрических характеристик лица представляет собой сложную задачу, требующую учета множества факторов, связанных с получением идентификационных признаков, точностью и сложностью реализации.

Практическая ценность работы достигается путем выбора и обоснования из комплекса известных технологий тех решений, которые в своей совокупности и последовательности формируют метод, заявленный в названии статьи.

Криптографическое вычисление ключей из биометрических данных на основе устойчивой к ошибкам трансформации непрерывно значимых собственных проекций лица в строки битов с нулевой ошибкой подходит для криптографической защиты. Результирующая идентификация пользователя в терминах небольшого набора строк битов надежно сводится к одному криптографическому ключу, защищенного с помощью секретного обмена Шамира.

Были решены следующие задачи:

1. Разработан алгоритм SBC-KG, объединяющий идеи Cancelable Biometrics и коррекции ошибок. За счёт использования CNN + RS добились лучшего компромисса между ложными допусками и ложными отказами.

2. Ключи, полученные из биометрии:

◆ обладают достаточной энтропией (случайностью), сравнимой с криптографическими ключами длиной 256 бит;

◆ необратимы, то есть исключают возможность восстановления оригинального изображения из ключа, обладают достаточной энтропией (случайностью), сравнимой с криптографическими ключами длиной 256 бит;

◆ совместимы с криптографическими протоколами, поскольку: имеют корректный формат и длину (через хэш), могут быть встроены в стандартные схемы (AES, GOST, HMAS).

3. Разделение секрета (Шамира) даёт механизм распределённого хранения ключа. При утере или компрометации одного места (например, смарт-карты), злоумышленник не может восстановить ключ без других долей.

Таким образом, предложенный метод устойчив к шумам, позволяет обновлять (revocation) ключи и даёт улучшенные показатели точности, что делает его потенциально интересным для применения в банковских, государственных и корпоративных системах. Предложенный метод генерации 256-битных криптографических ключей, сгенерированных на основе биометрических признаков, позволит повысить надёжность системы идентификации и аутентификации, а пользователей избавит от необходимости носить с собой физические ключи, что сделает процесс аутентификации более удобным и быстрым.

БИБЛИОГРАФИЧЕСКИЙ СПИСОК

1. Приказ от 24 октября 2022 г. № 524 «Об утверждении требований о защите информации, содержащейся в государственных информационных системах, с использованием шифровальных (криптографических) средств».
2. *Волхонский В.В.* Системы телевизионного наблюдения: основы проектирования и применения: учеб. пособие. – М.: Горячая линия – Телеком, 2022. – 390 с.
3. ГОСТ Р 34.12-2015. «Информационная технология. Криптографическая защита информации. Блочные шифры».
4. *Soutar C., Roberge D., Stoianov A., Gilroy R., Kumar B. V. K.* Biometric Encryption™.
5. *Brown T. et al.* Large-scale Fingerprint Data Breach: Analysis and Consequences // Proc. Security Conf. – 2019.
6. *Goh A., Ngo D.C.L.* Computation of Cryptographic Keys from Face Biometrics // Proc. CMS 2003. – LNCS 2828.
7. *Ratha S., Connell J., Bolle R.* Enhancing Security and Privacy in Biometrics-Based Authentication Systems // IBM Systems Journal. – 2001.
8. *Yasuda M., Shimoyama T., Abe N., Yamada S., Shinzaki T., Koshihara T.* Privacy-Preserving Fuzzy Commitment for Biometrics via Layered Error-Correcting Codes / Garcia-Alfaro J., Kranakis E., Bonfante G. (ed.). FPS 2015. – LNCS, Vol. 9482. – Springer, Cham, 2016.
9. *Juels A., Sudan M.* A Fuzzy Vault Scheme // Designs, Codes and Cryptography. – 2002. – Vol. 38. – P. 237-257.
10. *Chitaliya N., Trivedi A.I.* Feature Extraction Using Wavelet-PCA and Neural Network for Application of Object Classification & Face Recognition // 2nd Int. Conf. on Computer Engineering and Applications. – 2010. – Vol. 1. – P. 510-514.
11. *King D.E.* Max-Margin Object Detection // ArXiv:1502.00046. – 2015.
12. ГОСТ Р ИСО/МЭК 19794-5-2013 «Информационные технологии. Биометрия. Форматы обмена биометрическими данными. Ч. 5. Данные изображения лица» (утв. приказом Росстандарта от 6 сентября 2013 г. № 987-ст) (с изм. и доп.).
13. *Кольцов П.П.* Оценка размытия изображения // Компьютерная оптика. – 2011. – № 1.
14. *Лазарев К.В., Калиберда И.В., Костоглотов А.А., Сарыев М.М.* Метод биометрической двухфакторной аутентификации с использованием определения жизнеспособности // AISMA-2024: Конспект лекций. – Т. 863. – Springer, 2024.

15. Кононыхин И.А., Ежов Ф.В., Мартынюк Р.А. и др. Реализация системы распознавания и отслеживания лиц // Молодой ученый. – 2020. – № 28 (318). – С. 8-12. – URL: <https://moluch.ru/archive/318/72492/>.
16. Schroff, F., Kalenichenko, D., & Philbin, J. FaceNet: A Unified Embedding for Face Recognition and Clustering // arXiv.org. – 2015. – URL: <https://arxiv.org/abs/1503.03832> (дата обращения: 30.06.2025).
17. Дружинин В.И., Кузьмин О.В. Коды Рида-Соломона в системах обнаружения и исправления ошибок при передаче данных // Современные технологии. Системный анализ. Моделирование. – 2015. – № 1 (45).
18. Дремов И.С., Гирина А.Н. Использование алгоритма SHA-256 для хеширования данных // Тенденции развития науки и образования. – 2022. – № 86-1. – С. 57-61. – DOI 10.18411/trmio-06-2022-19. – EDN ZIKXGD.
19. Hall J. L., Hertzog Y., Loewy M. et al. Manifesting Unobtainable Secrets: Threshold Elliptic Curve Key Generation using Nested Shamir Secret Sharing // arXiv preprint. – 2023. – URL: <https://arxiv.org/abs/2309.00915> (дата обращения: 20.06.2025).
20. Spacek L. Faces94 Database. University of Essex [Электронный ресурс].
21. Huang G.B., Ramesh M., Berg T., Learned-Miller E. Labeled Faces in the Wild: A Database for Studying Face Recognition in Unconstrained Environments. – 2007.
22. NIST Special Publication 800-63B. Digital Identity Guidelines: Authentication and Lifecycle Management. – National Institute of Standards and Technology, Gaithersburg, MD, USA, 2017. – Режим доступа: <https://pages.nist.gov/800-63-3/sp800-63b.html>.
23. ISO/IEC 19792:2009. Information technology – Security techniques – Security evaluation of biometrics. – International Organization for Standardization, Geneva, 2009. – 37 p. – Режим доступа: <https://www.iso.org/standard/42136.html>.
24. IEEE P2410. Standard for Biometric Open Protocol Standard (BOPS). – IEEE Standards Association, 2023. – Режим доступа: <https://standards.ieee.org/ieee/2410/6314/>.
25. Dodis Y., Ostrovsky R., Reyzin L., Smith A. Fuzzy extractors: How to generate strong keys from biometrics and other noisy data // SIAM Journal on Computing. – 2008. – Vol. 38, No. 1. – P. 97-139.

REFERENCES

1. Prikaz ot 24 oktyabrya 2022 g. № 524 «Ob utverzhdenii trebovaniy o zashchite informatsii, sodержashcheysya v gosudarstvennykh informatsionnykh sistemakh, s ispol'zovaniem shifroval'nykh (kriptograficheskikh) sredstv» [Order No. 524 of October 24, 2022, "On Approval of Requirements for the Protection of Information Contained in State Information Systems Using Encryption (Cryptographic) Means"].
2. Volkhonskiy V.V. Sistemy televizionnogo nablyudeniya: osnovy proektirovaniya i primeneniya: ucheb. posobie [Television surveillance systems: design and application fundamentals: a tutorial]. Moscow: Goryachaya liniya – Telekom, 2022, 390 p.
3. GOST R 34.12-2015. «Informatsionnaya tekhnologiya. Kriptograficheskaya zashchita informatsii. Blochnye shifry» [GOST R 34.12-2015 «Information technology. Cryptographic data security. Block ciphers»].
4. Soutar C., Roberge D., Stoianov A., Gilroy R., Kumar B. V. K. Biometric Encryption™.
5. Brown T. et al. Large-scale Fingerprint Data Breach: Analysis and Consequences, *Proc. Security Conf.*, 2019.
6. Goh A., Ngo D.C.L. Computation of Cryptographic Keys from Face Biometrics, *Proc. CMS 2003*, LNCS 2828.
7. Ratha S., Connell J., Bolle R. Enhancing Security and Privacy in Biometrics-Based Authentication Systems, *IBM Systems Journal*, 2001.
8. Yasuda M., Shimoyama T., Abe N., Yamada S., Shinzaki T., Koshiba T. Privacy-Preserving Fuzzy Commitment for Biometrics via Layered Error-Correcting Codes, Garcia-Alfaro J., Kranakis E., Bonfante G. (ed.). FPS 2015. LNCS, Vol. 9482. Springer, Cham, 2016.
9. Juels A., Sudan M. A Fuzzy Vault Scheme, *Designs, Codes and Cryptography*, 2002, Vol. 38, pp. 237-257.
10. Chitaliya N., Trivedi A.I. Feature Extraction Using Wavelet-PCA and Neural Network for Application of Object Classification & Face Recognition, *2nd Int. Conf. on Computer Engineering and Applications*, 2010, Vol. 1, pp. 510-514.
11. King D.E. Max-Margin Object Detection, *ArXiv:1502.00046*, 2015.
12. GOST R ISO/MEK 19794-5-2013 «Informatsionnye tekhnologii. Biometriya. Formaty obmena biometricheskimi dannymi. Ch. 5. Dannye izobrazheniya litsa» (utv. prikazom Rosstandarta ot 6 sentyabrya 2013 g. № 987-st) (s izm. i dop.) [GOST R ISO/IEC 19794-5-2013 "Information technology. Biometrics. Biometric data exchange formats. Part 5. Facial image data" (approved by order of Rosstandart dated September 6, 2013 No. 987-st) (as amended and supplemented)].

13. Kol'tsov P.P. Otsenka razmytiya izobrazheniya [Image blur assessment], *Komp'yuternaya optika* [Computer Optics], 2011, No. 1.
14. Lazarev K.V., Kaliberda I.V., Kostoglotov A.A., Saryev M.M. Metod biometricheskoy dvukhfaktornoy autentifikatsii s ispol'zovaniem opredeleniya zhiznesposobnosti [A Method of Biometric Two-Factor Authentication Using Liveness Determination], *AISMA-2024: Konspekt lektsiy* [AISMA-2024: Lecture notes], Vol. 863. Springer, 2024.
15. Kononykhin I.A., Ezhov F.V., Martynyuk R.A. i dr. Realizatsiya sistemy raspoznavaniya i otslezhivaniya lits [Implementation of a face recognition and tracking system], *Molodoy uchenyy* [Young Scientist], 2020, No. 28 (318), pp. 8-12. Available at: <https://moluch.ru/archive/318/72492/>.
16. Schroff, F., Kalenichenko, D., & Philbin, J. FaceNet: A Unified Embedding for Face Recognition and Clustering, *arXiv.org*, 2015. Available at: <https://arxiv.org/abs/1503.03832> (accessed 30 June 2025).
17. Druzhinin V.I., Kuz'min O.V. Kody Rida-Solomona v sistemakh obnaruzheniya i ispravleniya oshibok pri peredache dannykh [Reed-Solomon codes in error detection and correction systems for data transmission], *Sovremennye tekhnologii. Sistemnyy analiz. Modelirovanie* [Modern technologies. Systems analysis. Modeling], 2015, No. 1 (45).
18. Dremov I.S., Girina A.N. Ispol'zovanie algoritma SHA-256 dlya kheshirovaniya dannykh [Using the SHA-256 algorithm for data hashing], *Tendentsii razvitiya nauki i obrazovaniya* [Trends in the Development of Science and Education], 2022, No. 86-1, pp. 57-61. DOI 10.18411/trnio-06-2022-19. EDN ZIKXGD.
19. Hall J. L., Hertzog Y., Loewy M. et al. Manifesting Unobtainable Secrets: Threshold Elliptic Curve Key Generation using Nested Shamir Secret Sharing, *arXiv preprint*, 2023. Available at: <https://arxiv.org/abs/2309.00915> (accessed 20 June 2025).
20. Spacek L. Faces94 Database. University of Essex [Electronic resource].
21. Huang G.B., Ramesh M., Berg T., Learned-Miller E. Labeled Faces in the Wild: A Database for Studying Face Recognition in Unconstrained Environments, 2007.
22. NIST Special Publication 800-63B. Digital Identity Guidelines: Authentication and Lifecycle Management. National Institute of Standards and Technology, Gaithersburg, MD, USA, 2017. Available at: <https://pages.nist.gov/800-63-3/sp800-63b.html>.
23. ISO/IEC 19792:2009. Information technology – Security techniques – Security evaluation of biometrics. International Organization for Standardization, Geneva, 2009, 37 p. Available at: <https://www.iso.org/standard/42136.html>.
24. IEEE P2410. Standard for Biometric Open Protocol Standard (BOPS). – IEEE Standards Association, 2023. Available at: <https://standards.ieee.org/ieee/2410/6314/>.
25. Dodis Y., Ostrovsky R., Reyzin L., Smith A. Fuzzy extractors: How to generate strong keys from biometrics and other noisy data, *SIAM Journal on Computing*, 2008, Vol. 38, No. 1, pp. 97-139.

Калиберда Игорь Владимирович – Пятигорский институт (филиал) Северо-Кавказского федерального университета; e-mail: kaliberda-igor@yandex.ru; г. Пятигорск, Россия; тел.: +79283632214; кафедра систем управления и информационных технологий; старший преподаватель.

Kaliberda Igor Vladimirovich – Pyatigorsk Institute (Branch of NCFU); e-mail: kaliberda-igor@yandex.ru; Pyatigorsk, Russia; phone: +79283632214; the Department of Management Systems and Information Technologies; senior lecturer.

Раздел II. Анализ данных, моделирование и управление

УДК 004.942, 004.056

DOI 10.18522/2311-3103-2025-5-53-63

А.А. Магазёв, А.Ю. Никифорова

О ВЫЧИСЛЕНИИ СРЕДНЕГО ВРЕМЕНИ ИНФИЦИРОВАНИЯ В РАМКАХ ДИСКРЕТНОЙ МАРКОВСКОЙ ЭПИДЕМИОЛОГИЧЕСКОЙ МОДЕЛИ В ОТСУТСТВИИ ЛЕЧЕНИЯ

Моделирование распространения вирусов является актуальной областью исследований. Существует множество «непрерывных» эпидемических моделей, основанных на использовании систем дифференциальных уравнений. Недостатком таких моделей является то, что они имеют погрешность при описании начальной стадии распространения вируса и не учитывают особенности связей между индивидуумами. «Дискретные» модели, в которых время и количество инфицированных и восприимчивых узлов являются дискретными величинами, дают более точную картину эпидемического процесса. В этой работе мы изучаем некоторую дискретную марковскую модель в случае, когда лечение отсутствует. Это важный случай, поскольку его можно рассматривать либо как приближение к начальной фазе эпидемии, либо как модель эпидемий вирусов, которые трудно поддаются лечению. В первом разделе мы подробно описываем свойства исследуемой марковской модели. Во втором разделе, используя марковский подход, мы определяем среднее время заражения, то есть количество временных шагов, затраченных на заражение всех особей в популяции. Однако расчет среднего времени заражения в популяциях с большим количеством особей (или в сетях с большим количеством узлов) является сложной вычислительной задачей, поэтому в третьем разделе мы предлагаем соответствующую приближенную формулу для этого параметра при условии, что связность сети и вероятность распространения вируса малы. В четвертом разделе мы используем метод имитационного моделирования для расчета среднего времени заражения, а затем сравниваем результаты, полученные различными методами. Для проведения вычислительного эксперимента нами было разработано консольное приложение, написанное на языке программирования C++. Анализ значений среднего времени инфицирования, определенных тремя методами: методом точного вычисления фундаментальной матрицы M , вычислением с применением приближенной формулы и методом имитационного моделирования, показал, что методы хорошо согласуются между собой при заданных нами условиях. Полученная приближенная формула для среднего времени заражения является более простым в использовании вариантом расчета данного параметра.

Эпидемиологическая модель; компьютерный вирус; марковская цепь; случайный граф; среднее время инфицирования.

А.А. Magazev, A.Yu. Nikiforova

ON CALCULATING THE MEAN INFECTED TIME USING A DISCRETE MARKOV EPIDEMIOLOGICAL MODEL WITHOUT TREATMENT

Modeling of the spread of viruses is a relevant research field. There are a lot of «continuous» epidemic models based on the use of systems of differential equations. The disadvantage of such models lies in their error in describing the initial stage of virus propagation and in the fact that they ignore the specific features of inter-individual connections. «Discrete» models, in which the time and the number of infected and susceptible nodes are discrete values, provide a more accurate picture of the epidemic process. In this work, we study a discrete Markov model in the case when there is no treatment. This is an important case, since it can be viewed as either an approximation to the initial phase of an epidemic or as a model for epidemics of viruses that are difficult to treat. The first section provides a detailed description of the

properties of the Markov model used in this study. In the second section, using Markov approach, we define the mean infected time, i.e. the number of time steps taken to infect all individuals in the population. However, calculating the mean infected time in populations with a large number of individuals (or in networks with a large number of nodes) is computationally difficult problem, so in the third section we propose the corresponding approximate formula for this parameter. This approximation is designed for conditions of low network connectivity and a low probability of virus spread. In the fourth section, to validate our approximate formula, we compare its results against both exact calculations (using the fundamental matrix M) and data from simulation modeling. For the simulations, we developed a custom C++ console application. Our analysis demonstrates that all three methods yield consistent results under the specified conditions, confirming the practical utility of the simpler approximate formula.

Epidemic model; computer virus; Markov chain; random graph; mean infected time.

Введение. Различные типы вирусов, как компьютерных, так и биологических, продолжают оставаться серьезной угрозой для деятельности как больших корпораций, так и отдельных индивидуумов. Не смотря на усилия специалистов в разных областях, создающих новые вакцины для защиты от биологических вирусов и актуализирующих противовирусное программное обеспечение, ранее неизвестные модификации за время до создания «противоядия» часто успевают нанести большой ущерб. В связи с этим моделирование процессов распространения вирусов продолжает оставаться актуальным направлением исследований.

Математический подход к описанию эпидемий инфекционных заболеваний начал активно применяться в начале 20-ого века. Отметим, что в 1927 году А. Кермак и У. Маккендрик сформулировали качественно новый подход к описанию эпидемий с применением систем дифференциальных уравнений [1], который сразу стал широко использоваться и до сих пор является основой при построении «непрерывных» моделей эпидемий [2–4]. Примерно в то же время математиком Л. Ридом и врачом У.Х. Фростом из Университета Дж. Хопкинса была разработана модель биномиальной цепочки распространения болезней, которую они использовали на своих занятиях по биостатистике и эпидемиологии. Модель не была опубликована авторами, но другие специалисты подробно описывали её, указывая авторами Л. Рида и У. Фроста (см., например, статьи [5, 6] или монографию [7]).

В конце 80-х годов прошлого века, когда компьютеры и ИТ-технологии стали все шире и шире применяться во всех отраслях промышленности, а затем стали играть значительную роль и в личной жизни людей, возникла новая угроза – повсеместно стали распространяться вредоносные компьютерные программы, получившие название «компьютерных вирусов» из-за схожего с биологическими вирусами механизма распространения. Поэтому специалисты сразу же стали адаптировать модели распространения биологических вирусов и применять их для анализа эпидемий компьютерных вирусов. В 1987 году Ф. Коэном [8], а затем в 1990-х Дж. Кефартом и С. Уайтом [9, 10] были описаны первые математические модели распространения компьютерных вирусов. В данных моделях с успехом были применены ранее известные подходы и методы математической эпидемиологии.

Обширный перечень существующих математических моделей вирусных эпидемий делится на два класса: непрерывные и дискретные [11].

Непрерывные модели используют для описания эпидемий аппарат дифференциальных уравнений и допущение, что время и количество инфицированных и здоровых индивидов являются непрерывными переменными. С помощью таких моделей можно достаточно точно составить долгосрочный прогноз эпидемического процесса, а также оценить условия смены эпидемических режимов [12, 13]. Однако при описании начального этапа распространения вируса у таких моделей обнаруживается существенная погрешность по сравнению с экспериментальными данными. К тому же в них никак не учитывается особенность связей между индивидами в популяции.

Используя так называемые «дискретные» модели, можно получить более детальную картину, что особенно важно на начальной стадии эпидемии [14, 15]. Как следует из названия метода, время и количество инфицированных и здоровых индивидов являются в

данных моделях дискретными величинами, а популяция (компьютерная сеть) представляется в виде некоторого графа. Распространение вируса в таких моделях представляется как некоторый случайный процесс, ассоциированный с рассматриваемым графом.

В работе [14] представлена одна из дискретных марковских моделей, предназначенная для описания эпидемий компьютерных вирусов в связных сетях. Ранее мы уже проводили анализ некоторых аспектов данной модели [16–19]. Далее будем называть эту модель по первым буквам фамилий авторов – BSS-моделью.

Целью настоящей статьи является исследование BSS-модели в предельном режиме, когда лечение отсутствует, и получение приближенной формулы среднего времени инфицирования.

Структура настоящей статьи следующая. В первом разделе приводится подробное описание BSS-модели, после чего во втором разделе эта модель рассматривается при отсутствии лечения. Третий раздел будет посвящен вычислению среднего времени инфицирования сети. В четвертом – приведено описание проведенного вычислительного эксперимента. Заключение будет посвящено обобщению полученных результатов.

Описание BSS-модели. BSS-модель описывает процесс распространения вируса в компьютерных сетях, ассоциированных со связными графами. В её основу была положена модель Рида-Фроста, упомянутая нами выше [5–7], которая ранее применялась только для описания эпидемий биологических вирусов.

Далее приведем детальное описание BSS-модели.

Компьютерная сеть представляется в виде связного графа с N узлами. Узлами (вершинами) графа являются компьютеры, а возможные связи между ними – это ребра графа. Среди всех параметров, характеризующих данный граф, важным с точки зрения данной модели является связность сети, вычисляемая как $c = \langle k \rangle / N$, где $\langle k \rangle$ – средняя степень вершины:

$$\langle k \rangle = \frac{1}{N} \sum_{i=1}^N \frac{de g(i)}{N}.$$

Каждый из узлов сети может быть в одном из двух состояний: либо *восприимчивый* (**S**), либо *инфицированный* (**I**). Время предполагается дискретным, то есть изменения состояний узлов сети происходят в заданные моменты времени: $t = 0, 1, 2, \dots$. Таким образом, в каждый следующий момент времени восприимчивый узел может остаться восприимчивым или заразиться, а инфицированный – вылечиться или остаться инфицированным. Вероятность этих переходов задается следующими характеристиками:

δ – вероятность перехода **I** → **S** (вероятность лечения), которая является постоянной величиной, отражающей эффективность антивирусного программного обеспечения;

μ – вероятность перехода **S** → **I** (вероятность заражения), которая зависит от числа заражённых узлов.

Схема переходов между состояниями показана на рис. 1.

Количество инфицированных узлов I в каждый момент времени t объявляется состоянием сети. Поскольку число узлов S в восприимчивом состоянии в любой момент времени равно $N - I$, это число определяется состоянием сети однозначно. Таким образом, всего имеется $N + 1$ различных состояний сети: $I = 0, 1, \dots, N$.

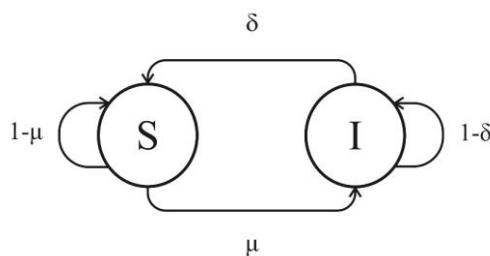


Рис. 1. Схема переходов между состояниями отдельного узла сети

В основу BSS-модели закладывается предположение о том, что каждое последующее состояние сети определяется только лишь предыдущим состоянием (свойство марковости). Тем самым динамика переходов между состояниями представляет собой некоторую *марковскую цепь* $\{X_t\}_{t \geq 0}$, для описания которой необходимо вычислить вероятности $\pi_{I,I'} = \Pr(X_{t+1} = I' | X_t = I)$ переходов между всевозможными парами состояний (I, I') . В работе [14] приводится явная формула для этой вероятности, которая имеет вид

$$\pi_{I,I'} = \sum_{x=\max\{0, I-I'\}}^{\min\{I, N-I'\}} C_I^x (\delta^x) (1 - \delta)^{I-x} C_{N-I}^{I'-I+x} \mu^{I'-I+x} (1 - \mu)^{N-I'-x}. \quad (1)$$

Здесь C_I^x – биномиальный коэффициент, $\mu(I)$ – вероятность восприимчивому узлу стать инфицированным, которая зависит от числа I инфицированных узлов и вычисляется как

$$\mu(I) = 1 - (1 - \beta c)^I, \quad (2)$$

где β – вероятность того, что инфицированный узел передаст инфекцию соседнему восприимчивому узлу. Как показывает данная формула, вероятность $\mu(I)$ зависит от β и c только через их произведение, поэтому вместо двух параметров β и c мы введём один параметр $a = \beta c$.

Вероятность $p_I(t)$ любого состояния I в произвольный момент времени t может быть найдена с помощью выражения

$$p_I(t) = \sum_{I'=0}^N p_{I'}(0) \pi_{I',I}^{(t)}, \quad (3)$$

где $\pi_{I',I}^{(t)}$ – вероятность перехода из состояния I' в состояние I ровно за t шагов, а $p_{I'}(0)$ – вероятность состояния I' в начальный момент времени. Как следствие, среднее число заражённых узлов в момент времени t будет равно

$$\langle I \rangle(t) = \sum_{I=0}^N p_{I'}(t) I.$$

В работе [14] авторы BSS-модели рассмотрели так же ее «непрерывную» версию, после чего они провели сравнение результатов этих двух моделей с результатами имитационного эксперимента. В итоге ими были получены условия, при которых данные всех трёх подходов хорошо согласуются друг с другом, а также условия, когда между ними имеется расхождение, в частности, вблизи так называемого *эпидемического порога*.

BSS-модель в отсутствии лечения. Описанная выше BSS-модель позволяет в принципе осуществить количественный анализ эпидемии, однако вычисление вероятностей состояний $p_I(t)$ с помощью равенства (3) вызывает значительные вычислительные трудности для графов с большим количеством узлов N . С другой стороны, исследование динамики эпидемий как раз и представляет особый интерес на больших графах с числом узлов $N \gtrsim 10^5$. В этой связи в данном разделе мы рассмотрим частный, но важный случай этой модели, когда в ней отсутствует переход $\mathbf{I} \rightarrow \mathbf{S}$, то есть $\delta = 0$. Данная ситуация может быть рассмотрена как приближение к начальной фазе эпидемии, либо как модель, описывающая эпидемии вирусов, плохо поддающихся лечению.

В случае, когда $\delta = 0$, формула (1) для переходных вероятностей состояний сети упрощается:

$$\pi_{I,I'} = \begin{cases} C_{N-I}^{I'-I} \mu(I)^{I'-I} (1 - \mu(I))^{N-I'}, & I' \geq I, \\ 0, & I' < I. \end{cases} \quad (4)$$

Здесь вероятность $\mu(I)$, как и ранее, определяется формулой (2). То, что $\pi_{I,I'} = 0$ при $I > I'$, согласуется с тем фактом, что в отсутствии лечения число инфицированных узлов в сети не может уменьшаться. Поскольку $\pi_{0,I'} = \delta_{0,I'}$, далее нет смысла рассматривать состояние $I = 0$, поэтому с этого момента мы будем считать, что возможные значения I и I' лежат в диапазоне от 1 до N .

Отметим, что формулу (4) можно также записать следующим образом:

$$\pi_{I,I+\Delta I} = \begin{cases} C_{N-I}^{\Delta I} \mu(I)^{\Delta I} (1 - \mu(I))^{N-I-\Delta I}, & \Delta I \geq 0, \\ 0, & \Delta I < 0, \end{cases}$$

где $\Delta I = I' - I$. Отсюда видно, что при фиксированном I величина $\Delta I = I' - I$, представляющая собой приращение заражённых узлов за единицу времени, распределена по биномиальному закону $\mathcal{B}(p, n)$ с параметрами $n = N - I$ и $p = \mu(I)$. Тем самым, матрица переходных вероятностей $\Pi = (\pi_{I,I'})$ в случае $\delta = 0$ является верхней треугольной матрицей, каждая строка которой представляет собой полный ряд вероятностей биномиального распределения в соответствии с формулой (4).

Заметим что, в отсутствии лечения, стартуя из некоторого состояния $X_0 = I_0$, где $0 < I_0 < N$, марковская цепь $\{X_t\}$ рано или поздно попадёт в состояние $I = N$, в котором все узлы сети будут заражены. Таким образом, данная цепь имеет поглощающее состояние $I = N$. Наличие такого состояния позволяет ввести важную количественную характеристику вирусной эпидемии – время инфицирования. По определению, временем инфицирования называется количество переходов T в соответствующей марковской цепи с момента $t = 0$ до момента $t = T$ попадания в поглощающее состояние $I = N$. Очевидно, что определённое таким образом время инфицирования является случайной величиной, имеющей некоторое распределение вероятностей. Для практических целей разумно рассматривать среднее время инфицирования τ , представляющее собой математическое ожидание случайной величины T . Ясно, что среднее время инфицирования является функцией параметров модели N , $\alpha = \beta c$ и I_0 :

$$\tau = \tau(\alpha, N, I_0). \quad (5)$$

Общий алгоритм вычисления величины τ хорошо известен [20]. Напомним его.

Состояние марковской цепи называется переходным, если с единичной вероятностью цепь посетит его только конечное число раз. Очевидно, что состояния $I = 1, \dots, N - 1$ в нашей марковской цепи $\{X_t\}$ являются переходными. Обозначим через Q подматрицу матрицы Π , включающую в себя только те строки и столбцы из Π , которые отвечают переходным состояниям. Ясно, что Q – это $(N - 1) \times (N - 1)$ -матрица, получающаяся из Π вычёркиванием N -ой строки и N -го столбца.

Так как все состояния, представляемые матрицей Q , переходные, $Q_n \rightarrow 0$ при $n \rightarrow \infty$. Это значит, что собственные значения матрицы Q по абсолютной величине строго меньше единицы, что влечёт обратимость матрицы $E - Q$. Рассмотрим матрицу

$$M = (E - Q)^{-1} = E + Q + Q^2 + Q^3 + \dots,$$

называемую фундаментальной матрицей марковской цепи. Смысл элементов этой матрицы следующий: (I, I') -элемент матрицы M равен среднему числу визитов состояния I , если стартовым является состояние I' . Таким образом, если мы стартуем из состояния I_0 , среднее время инфицирования будет равно сумме элементов строки I_0 фундаментальной матрицы M :

$$\tau = \sum_{I=1}^{N-1} M_{I_0, I}.$$

Данная формула позволяет нам вычислить среднее время инфицирования τ , однако при её применении могут возникать некоторые сложности.

Во-первых, как уже упоминалось выше, наиболее интересным с практической точки зрения является вычисление τ на графах с большим числом узлов $N \gtrsim 10^5$. Вычисление же обратных матриц в таких случаях затруднительно, в силу больших размеров соответствующих матриц. Во-вторых, элементы матрицы Q включают в себя биномиальные коэффициенты, расчет которых для больших N также имеет определенные вычислительные сложности, связанные с факториалами очень больших чисел. Кроме того, в выражениях для элементов матрицы Q также могут появляться очень большие степени очень маленьких величин, выходящие за пределы разрешенного диапазона представимых на ЭВМ чисел, что в итоге будет приводить к ошибкам вычисления.

Перечисленные трудности приводят к необходимости разработки более удобных алгоритмов вычисления среднего времени инфицирования. При этом вывод явного и точного выражения для функции $\tau(\alpha, N, I_0)$ вряд ли возможен, поэтому более перспективным является получение приближённой аналитической формулы для τ , при дополнительном предположении о малости параметра α , что обычно и имеет место на практике.

Среднее время инфицирования при малых α . В настоящем разделе мы рассмотрим BSS-модель в отсутствие лечения при $\alpha \ll 1$. Кроме того, мы будем считать, что эпидемия начинается с одного единственного заражённого узла: $I_0 = 1$.

Из формулы (4) нетрудно видеть, что при малых значениях α с точностью до слагаемых третьего и выше порядков мы получаем:

$$\begin{aligned} \pi_{I,I} &\approx 1 - I(N - I)\alpha + \frac{1}{2}I(N - I)(NI - I^2 - 1)\alpha^2, \\ \pi_{I,I+1} &\approx I(N - I)\alpha + \frac{1}{2}I(N - I)(I + 1 - 2I(N - I))\alpha^2, \\ \pi_{I,I+2} &\approx \frac{1}{2}I^2(N - I)(N - I - 1)\alpha^2. \end{aligned}$$

Остальные матричные элементы имеют третий и выше порядок малости по α , поэтому мы их игнорируем. Таким образом, с точностью до членов порядка α^2 для матричных элементов $\pi_{I,I'}$ при $I' \geq I$ мы можем записать:

$$\begin{aligned} \pi_{I,I'} &\approx \delta_{I,I'} + I(N - I)(\delta_{I+1,I'} - \delta_{I,I'})\alpha + \\ &+ \frac{1}{2}I(N - I)[(NI - I^2 - 1)\delta_{I,I'} + (I + 1 - 2NI + 2I^2)\delta_{I+1,I'} + I(N - I - 1)]\alpha^2, \end{aligned} \quad (7)$$

где $\delta_{I,I'}$ – символ Кронекера. Из полученной формулы (7) следует, что матрицу Q мы можем приближённо записать как

$$Q \approx E + \alpha Q_1 + \alpha^2 Q_2,$$

где E – единичная матрица порядка N_1 , а независящие от α матрицы Q_1 и Q_2 имеют ленточный вид. В частности, матрица Q_1 имеет следующий явный вид

$$Q_1 = \begin{pmatrix} -(N - 1) & N - 1 & 0 & 0 & \dots & 0 \\ 0 & -2(N - 2) & 2(N - 2) & 0 & \dots & 0 \\ 0 & 0 & -3(N - 3) & 3(N - 3) & \dots & 0 \\ \vdots & \vdots & \vdots & \vdots & \ddots & \vdots \\ 0 & 0 & 0 & 0 & \dots & -(N - 1) \end{pmatrix}.$$

В то же время матрицу Q_2 мы здесь не приводим из-за её достаточно громоздкого вида. Далее, будем искать фундаментальную матрицу M , обратную к матрице $E - Q$, в виде $M \approx \alpha^{-1}M_{-1} + M_0$, где M_{-1} и M_0 – не зависящие от α неизвестные пока матрицы порядка $N - 1$. Подобная приближённая форма матрицы M связана с особым характером матрицы $E - Q$ при $\alpha = 0$.

По определению обратной матрицы должно быть $(E - Q)M \approx E$, или в явном виде

$$(-\alpha Q_1 - \alpha^2 Q_2)(\alpha^{-1}M_{-1} + M_0) = E.$$

Раскрывая скобки и приравнивая подобные слагаемые при степенях α^0 и α^1 получаем:

$$-Q_1 M_{-1} = E, \quad Q_1 M_0 + Q_2 M_{-1} = 0.$$

Таким образом, для фундаментальной матрицы M мы получаем следующее приближённое равенство:

$$M \approx -\frac{1}{\alpha} Q_1^{-1} + Q_1^{-1} Q_2 Q_1^{-1}. \quad (8)$$

Обратная матрица Q_1^{-1} легко вычисляется и имеет вид:

$$Q_1^{-1} = - \begin{pmatrix} \frac{1}{N - 1} & \frac{1}{2(N - 2)} & \frac{1}{3(N - 3)} & \dots & \frac{1}{N - 1} \\ 0 & \frac{1}{2(N - 2)} & \frac{1}{3(N - 3)} & \dots & 0 \\ 0 & 0 & \frac{1}{3(N - 3)} & \dots & 0 \\ \vdots & \vdots & \vdots & \ddots & \vdots \\ 0 & 0 & 0 & \dots & \frac{1}{N - 1} \end{pmatrix}.$$

Отметим теперь, что в соответствии с формулой (7):

$$(Q_2)_{I,I} = \frac{1}{2}I(N-I)(NI - I^2 - 1), \quad (Q_2)_{I,I+1} = \frac{1}{2}I(N-I)(I+1 - 2NI + 2I^2),$$

$$(Q_2)_{I,I+2} = \frac{1}{2}I(N-I)I(N-I-1),$$

а все остальные элементы матрицы Q_2 равны нулю. С другой стороны, нетрудно видеть, что первая строка матрицы $Q_1^{-1} Q_2 Q_1^{-1}$ будет иметь следующие элементы:

$$(Q_1^{-1} Q_2 Q_1^{-1})_{1,1} = \frac{(Q_2)_{1,1}}{(N-1)^2},$$

$$(Q_1^{-1} Q_2 Q_1^{-1})_{1,2} = \frac{(Q_2)_{1,1} + (Q_2)_{1,2}}{2(N-1)(N-2)} + \frac{(Q_2)_{2,2}}{4(N-2)^2},$$

$$(Q_1^{-1} Q_2 Q_1^{-1})_{1,3} = \frac{(Q_2)_{1,1} + (Q_2)_{1,2} + (Q_2)_{1,3}}{3(N-1)(N-3)} + \frac{(Q_2)_{2,2} + (Q_2)_{2,3}}{6(N-2)(N-3)} + \frac{(Q_2)_{3,3}}{9(N-3)^2},$$

...

Замечая теперь, что

$$(Q_2)_{I,I} + (Q_2)_{I,I+1} + (Q_2)_{I,I+2} = 0, \quad I = 1, 2, 3, \dots, N-3,$$

можно выписать общую формулу для элемента $(Q_1^{-1} Q_2 Q_1^{-1})_{1,I}$:

$$(Q_1^{-1} Q_2 Q_1^{-1})_{1,I} = \frac{(Q_2)_{I-1,I-1} + (Q_2)_{I-1,I}}{I(I-1)(N-I)(N-I+1)} + \frac{(Q_2)_{I,I}}{I^2(N-I)^2}, \quad I = 2, 3, \dots, N-1.$$

Подставляя сюда явные выражения для элементов матрицы Q_2 , после упрощения в итоге получаем:

$$(M_0)_{1,I} = (Q_1^{-1} Q_2 Q_1^{-1})_{1,I} = \frac{1}{2I} \left(1 - \frac{1}{N-I} \right).$$

Отметим, что эта формула верна для всех $I = 1, 2, \dots, N-1$.

Используя полученный результат для элементов первой строки фундаментальной матрицы M в соответствии с формулой (8) мы получаем следующее приближённое выражение:

$$M_{1,I} \approx \frac{1}{\alpha I(N-I)} + \frac{1}{2I} \left(1 - \frac{1}{N-I} \right), \quad I = 1, 2, 3, \dots, N-1.$$

Как мы уже отмечали в предыдущем разделе, среднее время инфицирования τ равно сумме элементов I_0 -ой строки фундаментальной матрицы M . Учитывая, что в нашем случае $I_0 = 1$ и применив полезную формулу

$$\sum_{k=1}^{n-1} \frac{1}{k(n-k)} = \frac{2H_{n-1}}{n},$$

где H_n – n -ое гармоническое число, для среднего времени инфицирования получаем следующую приближённую формулу:

$$\tau \approx \left(\frac{1}{\alpha N} + \frac{1}{2} - \frac{1}{N} \right) H_{N-1}. \quad (9)$$

В этой формуле мы игнорируем все слагаемые, имеющие второй и высшие порядки по α . Формула (9) – основной результат настоящего раздела.

Обсудим полученную формулу (9). Во-первых, из неё видно, что если $\alpha \rightarrow 0$, то $\tau \rightarrow \infty$, что отражает следующий очевидный факт: при малых α и/или β инфекция распространится на всю сеть через очень большой промежуток времени. Во-вторых, из этой формулы также следует, что с ростом α среднее время инфицирования τ уменьшается, что тоже понятно из общих соображений.

Гораздо интереснее поведение τ в зависимости от параметра N , т.е. от размера графа. С одной стороны, выражение в круглых скобках справа в формуле (9) уменьшается с ростом N , стремясь к значению $\frac{1}{2}$. С другой стороны, второй множитель в этой формуле

– гармоническое число H_{N-1} – медленно увеличивается с ростом N по логарифмическому закону. В результате этого их произведение, то есть среднее время инфицирования τ , ведет себя не монотонным образом: сначала возрастает, достигая некоторого максимума, потом убывает, а затем снова начинает медленно расти по логарифмическому закону.

Вычислительный эксперимент. Полученная нами формула (9) для среднего времени инфицирования является приближенной, причём это приближение тем лучше, чем меньше значение α . С другой стороны, неясно насколько данное приближение близко к истинному значению τ при различных значениях N . В данном разделе мы исследуем как согласуются между собой результаты, полученные тремя разными способами:

- 1) точным вычислением фундаментальной матрицы M и применением формулы (6);
- 2) с помощью приближенной формулы (9);
- 3) методом имитационного моделирования.

Предварительно, опишем подробнее метод имитационного моделирования, используемый нами для вычисления среднего времени инфицирования.

В начале мы генерируем случайный граф с заданным количеством узлов N и заданной связностью c . В нашем исследовании мы используем случайные графы класса Эрдёша-Реньи, поскольку методы генерации этих графов известны, а их свойства хорошо изучены [21]. На первом шаге мы заражаем один случайный узел (напомним, что $I_0 = 1$). На втором шаге этот узел заражает соседние узлы с заданной вероятностью передачи вируса β . В свою очередь, на третьем шаге уже зараженные узлы инфицируют связанные с ними узлы также с вероятностью β и т.д. Описанные шаги повторяются до тех пор, пока инфекция не распространится на все узлы графа. После этого подсчитывается количество временных шагов от момента $t = 0$ до момента $t = T$ заражения последних восприимчивых узлов. Таким образом мы получили время инфицирования T , то есть время попадания в поглощающее состояние $I = N$. Далее мы генерируем новый граф с теми же параметрами N и c , и повторяем описанные выше шаги до момента заражения всех узлов. В результате получаем новое значение времени инфицирования T . Эксперимент повторяется заданное количество раз (в нашем случае – 1000), после чего полученный массив T усредняется, то есть вычисляется среднее время инфицирования τ при заданных параметрах N и $\alpha = \beta c$. Затем процесс повторяется для других значений N и α . Данный алгоритм был реализован в виде консольного приложения, написанного на языке программирования C++ (на эту программу нами получено свидетельство о регистрации [17]).

С использованием разработанной нами программы проведено две серии вычислительных экспериментов при различных значениях параметра α : $\alpha = 0,001$ и $\alpha = 0,00325$, в каждой из которых количество узлов графа изменялось от $N_1 = 100$ до $N_{35} = 3500$ с шагом $\Delta N = 100$.

В каждом эксперименте оценивалось среднее время инфицирования τ . Эта же величина при тех же входных значениях N и α вычислялась нами и двумя другими методами: с помощью применения прямого марковского подхода (формула (6)) и в соответствии с приближенным результатом (9). Результаты сравнения всех трех методов представлены на рис. 2 и 3. На этих рисунках приведены графики зависимости среднего времени инфицирования τ от числа узлов в графе N при фиксированном значении α . На графиках синяя сплошная линия получена по формуле (6), пунктирная серая — по приближенной формуле (9), а треугольниками обозначены значения τ , полученные имитационным моделированием.

Как видно из обоих рисунков, среднее время инфицирования τ , вычисленное прямым способом с помощью формулы (6), довольно неплохо согласуется с результатами имитационного эксперимента, откуда можно сделать вывод, что случайные графы Эрдёша-Реньи хорошо воспроизводят результаты BSS-модели, построенной на основе марковских цепей. С другой стороны, приближенная формула (9) достаточно близко воспроизводит результаты прямого подхода в случае $\alpha = 0,001$, в то время как при $\alpha = 0,00325$ приближенные значения τ начинают немного расходиться с соответствующими точными значениями, особенно, при больших N . Этого и следовало ожидать, так как приближен-

ная формула (9) получена нами при условии, что α достаточно близко к нулю. Тем не менее надо отметить, что величина соответствующей погрешности $\Delta\tau$ стабильна и практически не увеличивается с ростом N .

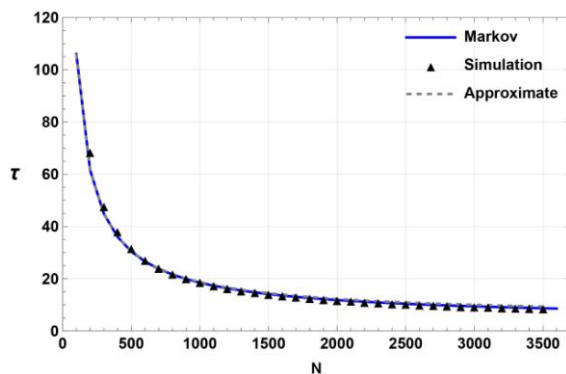


Рис. 2: Зависимость среднего времени инфицирования τ от N при $\alpha = 0,001$

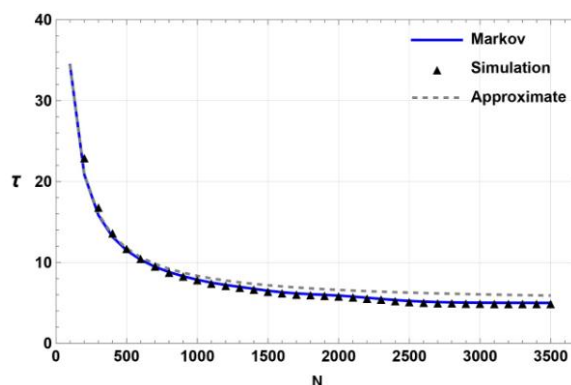


Рис. 3: Зависимость среднего времени инфицирования τ от N при $\alpha = 0,00325$

Заключение. В данной статье нами была рассмотрена одна из дискретных марковских моделей [14] в предельном случае, когда процесс распространения вируса происходит в отсутствии лечения. Основным результатом является полученная приближенная формула для расчета среднего времени инфицирования τ , то есть длительности эпидемии. Данная формула является приближенной аналитической оценкой длительности эпидемии и представляет собой удобную альтернативу прямому способу получения данного параметра, связанного с вычислением фундаментальной матрицы M соответствующей марковской цепи (6). Отметим, что вычисление данной матрицы сопряжено с большими вычислительными трудностями особенно при больших размерах сети (популяции). В последнем разделе статьи мы сравнили три подхода к определению среднего времени инфицирования: метод точного вычисления фундаментальной матрицы M , вычисление с применением приближенной формулы и метод имитационного моделирования. Результаты сравнения показали, что все три метода хорошо согласуются при достаточно малых значениях α .

БИБЛИОГРАФИЧЕСКИЙ СПИСОК

1. *Kermack W. O., McKendrick A. G.* A contribution to the mathematical theory of epidemics // Proceedings of the Royal Society of London. Series A, Containing papers of a mathematical and physical character. – 1927. – Vol. 115, No. 772. – P. 700-721.
2. *Persoons R., Van Mieghem P.* Finding patient zero in susceptible-infectious-susceptible epidemic processes // Physical Review E. – 2024. – Vol. 110, No. 4. – P. 044308.

3. *Achterberg M. A., Van Mieghem P.* Moment closure approximations of susceptible-infected-susceptible epidemics on adaptive networks // *Physical Review E*. – 2022. – Vol. 106, No. 1. – P. 014308.
4. *Notarmuzi D. et al.* Critical avalanches of susceptible-infected-susceptible dynamics in finite networks // *Physical Review E*. – 2023. – Vol. 107, No. 2. – P. 024310.
5. *Abbey H.* An examination of the Reed-Frost theory of epidemics // *Human biology*. – 1952. – Vol. 24, No. 3. – P. 201.
6. *Fine P.E.M.* A commentary on the mechanical analogue to the Reed-Frost epidemic model // *American journal of epidemiology*. – 1977. – Vol. 106, No. 2. – P. 87-100.
7. *Hoppensteadt F.C.* *Mathematical methods of population biology*. – Cambridge University Press, 1982. – No. 4.
8. *Cohen F.* Computer viruses: theory and experiments // *Computers & security*. – 1987. – Vol. 6, No. 1. – P. 22-35. – DOI: 10.1016/0167-4048(87)90122-2.
9. *Kephart J.O., White S.R.* Directed-graph epidemiological models of computer viruses // *Computation: the micro and the macro view*. – 1992. – P. 71-102.
10. *Kephart J.O., White S.R.* Measuring and modeling computer virus prevalence // *Proceedings 1993 IEEE Computer Society Symposium on Research in Security and Privacy*. – IEEE, 1993. – P. 2-15. – DOI: 10.1109/RISP.1993.287647.
11. *Pastor-Satorras R. et al.* Epidemic processes in complex networks // *Reviews of modern physics*. – 2015. – Vol. 87, No. 3. – P. 925-979.
12. *Granger T. et al.* Stochastic compartment model with mortality and its application to epidemic spreading in complex networks // *Entropy*. – 2024. – Vol. 26, No. 5. – P. 362. – DOI: 10.3390/e26050362.
13. *Singh P., Gupta A.* Generalized SIR (GSIR) epidemic model: An improved framework for the predictive monitoring of COVID-19 pandemic // *ISA transactions*. – 2022. – Vol. 124. – P. 31-40.
14. *Billings L., Spears W.M., Schwartz I.B.* A unified prediction of computer virus spread in connected networks // *Physics Letters A*. – 2002. – Vol. 297, No. 3-4. – P. 261-266.
15. *Далингер Я.М., Бабанин Д.В., Бурков С.М.* Математические модели распространения вирусов в компьютерных сетях различной структуры // *Информатика и системы управления*. – 2011. – № 4. – С. 3-11.
16. *Бельченко А.О., Магазев А.А., Никифорова А.Ю.* Приближённая оценка среднего числа заражённых узлов в марковской модели распространения компьютерных вирусов // *Математические структуры и моделирование*. – 2022. – № 1 (61). – С. 92-104.
17. *Магазев А.А., Никифорова А.Ю.* Программа для оценки среднего времени распространения компьютерного вируса в сетях, ассоциированных со случайными графами: свидетельство о регистрации электронного ресурса. – М.: ФИПС, 2023. № 2023614819 от 06.03.2023.
18. *Никифорова А.Ю.* Приближённая оценка условий прекращения эпидемии компьютерного вируса в связных сетях, ассоциированных со случайными графами // *Моделирование, оптимизация и информационные технологии*. – 2023. – Т. 11, № 4 (43). – DOI: 10.26102/2310-6018/2023.43.4.034.
19. *Magazev A.A., Nikiforova A.Y.* On the Applicability of a Markov Virus Spread Model to E-mail Graphs // *2023 Dynamics of Systems, Mechanisms and Machines (Dynamics)*. – IEEE, 2023. – P. 1-4. – DOI: 10.26102/2310-6018/2023.43.4.034.
20. *Lawler G. F.* *Introduction to stochastic processes*. – Chapman and Hall/CRC, 2018. – 234 p.
21. *Erdos P., Renyi A.* On Random Graphs // *Publicationes Mathematicae (Debrecen)*. – 1959. – Vol. 6. – P. 290-297.

REFERENCES

1. *Kermack W. O., McKendrick A. G.* A contribution to the mathematical theory of epidemics, *Proceedings of the Royal Society of London. Series A, Containing papers of a mathematical and physical character*, 1927, Vol. 115, No. 772, pp. 700-721.
2. *Persoons R., Van Mieghem P.* Finding patient zero in susceptible-infectious-susceptible epidemic processes, *Physical Review E*, 2024, Vol. 110, No. 4, pp. 044308.
3. *Achterberg M. A., Van Mieghem P.* Moment closure approximations of susceptible-infected-susceptible epidemics on adaptive networks, *Physical Review E*, 2022, Vol. 106, No. 1, pp. 014308.
4. *Notarmuzi D. et al.* Critical avalanches of susceptible-infected-susceptible dynamics in finite networks, *Physical Review E*, 2023, Vol. 107, No. 2, pp. 024310.
5. *Abbey H.* An examination of the Reed-Frost theory of epidemics, *Human biology*, 1952, Vol. 24, No. 3, pp. 201.
6. *Fine P.E.M.* A commentary on the mechanical analogue to the Reed-Frost epidemic model, *American journal of epidemiology*, 1977, Vol. 106, No. 2, pp. 87-100.
7. *Hoppensteadt F.C.* *Mathematical methods of population biology*. Cambridge University Press, 1982. – No. 4.

8. Cohen F. Computer viruses: theory and experiments, *Computers & security*, 1987, Vol. 6, No. 1, pp. 22-35. DOI: 10.1016/0167-4048(87)90122-2.
9. Kephart J.O., White S.R. Directed-graph epidemiological models of computer viruses, *Computation: the micro and the macro view*, 1992, pp. 71-102.
10. Kephart J.O., White S.R. Measuring and modeling computer virus prevalence, *Proceedings 1993 IEEE Computer Society Symposium on Research in Security and Privacy*. IEEE, 1993, pp. 2-15. DOI: 10.1109/RISP.1993.287647.
11. Pastor-Satorras R. et al. Epidemic processes in complex networks, *Reviews of modern physics*, 2015, Vol. 87, No. 3, pp. 925-979.
12. Granger T. et al. Stochastic compartment model with mortality and its application to epidemic spreading in complex networks, *Entropy*, 2024, Vol. 26, No. 5, pp. 362. DOI: 10.3390/e26050362.
13. Singh P., Gupta A. Generalized SIR (GSIR) epidemic model: An improved framework for the predictive monitoring of COVID-19 pandemic, *ISA transactions*, 2022, Vol. 124, pp. 31-40.
14. Billings L., Spears W.M., Schwartz I.B. A unified prediction of computer virus spread in connected networks, *Physics Letters A*, 2002, Vol. 297, No. 3-4, pp. 261-266.
15. Dalingер YA.M., Babanin D.V., Burkov S.M. Matematicheskie modeli rasprostraneniya virusov v komp'yuternykh setyakh razlichnoy struktury [The mathematical models of the spreading of viruses in computer networks with the diferent structures], *Informatika i sistemy upravleniya* [Computer science and control systems], 2011, No. 4, pp. 3-11.
16. Bel'chenko A.O., Magazev A.A., Nikiforova A.Yu. Priblizhennaya otsenka srednego chisla zarazhennykh uzlov v markovskoy modeli rasprostraneniya komp'yuternykh virusov [An approximate evaluation of the infected nodes number for a Markov model of viruses spreading], *Matematicheskie struktury i modelirovanie* [Mathematical Structures and Modeling], 2022, No. 1 (61), pp. 92-104.
17. Magazev A.A., Nikiforova A.Yu. Programma dlya otsenki srednego vremeni rasprostraneniya komp'yuternogo virusa v setyakh, assotsiirovannykh so sluchaynymi grafami: svidetel'stvo o registratsii elektronnoho resursa [A program for estimating the average spread time of a computer virus in networks associated with random graphs]. Moscow: FIPS, 2023. Patent RF № 2023614819 from 06.03.2023.
18. Nikiforova A.Yu. Priblizhennaya otsenka usloviy prekrashcheniya epidemii komp'yuternogo virusa v svyaznykh setyakh, assotsiirovannykh so sluchaynymi grafami [An approximate evaluation of the conditions for the termination of a computer virus epidemic in connected networks associated with random graphs], *Modelirovanie, optimizatsiya i informatsionnye tekhnologii* [The scientific journal Modeling, Optimization and Information Technology], 2023, Vol. 11, No. 4 (43). DOI: 10.26102/2310-6018/2023.43.4.034.
19. Magazev A.A., Nikiforova A.Y. On the Applicability of a Markov Virus Spread Model to E-mail Graphs, *2023 Dynamics of Systems, Mechanisms and Machines (Dynamics)*. IEEE, 2023, pp. 1-4. DOI: 10.26102/2310-6018/2023.43.4.034.
20. Lawler G. F. Introduction to stochastic processes. Chapman and Hall/CRC, 2018, 234 p.
21. Erdos P., Renyi A. On Random Graphs, *Publicationes Mathematicae (Debrecen)*, 1959, Vol. 6, pp. 290-297.

Магазев Алексей Анатольевич – Омский государственный технический университет; e-mail: magazev@mail.ru; г. Омск, Россия; кафедра «Комплексная защита информации»; профессор; ORCID 0000-0002-8725-9183; Scopus Author ID 6507004666.

Никифорова Ангелина Юрьевна – Омский государственный технический университет; e-mail: skt-omgtu@mail.ru; г. Омск, Россия; кафедра «Комплексная защита информации»; старший преподаватель; ORCID: 0000-0002-0981-7127.

Magazev Alexey Anatolyevich – Omsk State Technical University, e-mail: magazev@mail.ru; Omsk, Russia; the Department of Comprehensive Information Security; professor, ORCID 0000-0002-8725-9183; Scopus Author ID 6507004666.

Nikiforova Angelina Yurevna – Omsk State Technical University; e-mail: skt-omgtu@mail.ru; Omsk, Russia; the Department of Comprehensive Information Security; Senior lecturer; ORCID 0000-0002-0981-7127.

А.О. Толоконский, Д.С. Менюк

**МЕТОД ЭКСПРЕСС-ОЦЕНКИ ПАРАМЕТРОВ ПИ-РЕГУЛЯТОРОВ
ДЛЯ АПЕРИОДИЧЕСКИХ ПЕРЕХОДНЫХ ПРОЦЕССОВ В СИСТЕМАХ
АВТОМАТИЧЕСКОГО УПРАВЛЕНИЯ ЭНЕРГООБЛОКОВ АЭС**

Рассматриваются ключевые аспекты настройки параметров автоматических регуляторов, которые используются в системах управления технологическими процессами, в частности на атомных электростанциях (АЭС). Подчеркивается необходимость точной настройки регуляторов для обеспечения стабильности, эффективности и безопасности работы систем. Описываются традиционные методы настройки, такие как метод Зиглера-Николса и частотный анализ, которые, несмотря на свою надежность, требуют значительных временных затрат и точной математической модели объекта управления. В условиях современного производства, где важна оперативность, актуальны экспресс-методы, позволяющие сократить время настройки, однако их точность и универсальность остаются под вопросом. Особое внимание уделяется проблемам, возникающим при использовании реальных регуляторов, таким как интегральное насыщение и периодический вызов алгоритма регулирования. Интегральное насыщение может привести к ухудшению динамических характеристик системы и даже к срабатыванию технологических защит, а неправильный выбор периода вызова регулятора может вызвать потерю устойчивости системы. **Метод.** Предложен метод настройки ПИ-регуляторов, учитывающий динамические характеристики объектов управления и результаты экспериментальных исследований. Приведены рекомендации по выбору коэффициентов пропорциональности и постоянной времени интегрирования, которые позволяют достичь аperiodического переходного процесса, минимизировать риск насыщения и обеспечить высокое качество управления. **Результат.** Результаты моделирования, проведенного в программно-техническом комплексе «ЭНИКАД», подтвердили эффективность предложенного подхода. **Вывод.** Разработанные правила экспресс-оценки параметров регуляторов позволяют упростить процесс наладки, сократить время настройки и повысить надежность работы систем автоматического регулирования на АЭС. Это особенно важно для обеспечения безопасности и стабильности работы таких ответственных объектов, как атомные электростанции.

Автоматические регуляторы; настройка параметров; интегральное насыщение; периодический вызов регулятора; ПИ-регуляторы; аperiodический переходный; процесс; АСУ ТП АЭС; экспресс-методы настройки.

A.O. Tolokonsky, D.S. Menyuk

**A METHOD FOR EXPRESS ASSESSMENT OF PI-REGULATOR PARAMETERS
FOR APERIODIC TRANSIENT PROCESSES IN AUTOMATIC CONTROL SYSTEMS
OF NUCLEAR POWER PLANT UNITS**

This article discusses the key aspects of setting the parameters of automatic regulators that are used in process control systems, in particular at nuclear power plants (NPP). The need for fine-tuning regulators is emphasized to ensure the stability, efficiency and safety of the systems. Traditional tuning methods such as the Ziegler-Nichols method and frequency analysis are described, which, despite their reliability, require significant time and an accurate mathematical model of the control object. In modern production conditions, where efficiency is important, express methods are relevant to reduce setup time, but their accuracy and versatility remain questionable. Special attention is paid to the problems that arise when using real regulators, such as integral saturation and periodic invocation of the control algorithm. Integral saturation can lead to a deterioration in the dynamic characteristics of the system and even to the activation of technological protections, and an incorrect choice of the period for calling the regulator can cause a loss of stability of the system. **Methods** A method for tuning PI controllers is proposed that takes into account the dynamic characteristics of control objects and the results of experimental studies. Recommendations are given on the choice of proportionality coefficients and the integration time constant, which make it possible to achieve an aperiodic transition process, minimize the risk of saturation and ensure high quality control. **Results** The results of experiments conducted on the UMICON software and hardware complex confirmed the effectiveness of the proposed approach. **Conclusion.** The developed

rules for rapid evaluation of regulator parameters make it possible to simplify the setup process, reduce setup time, and improve the reliability of automatic control systems at nuclear power plants. This is especially important to ensure the safety and stability of such critical facilities as nuclear power plants.

Automatic regulators; parameter setting; integral saturation; periodic regulator call; PI controllers; aperiodic transient; process; NPP automated process control system; express adjustment methods.

Введение. Автоматические регуляторы играют важную роль в обеспечении стабильной и эффективной работы современных технологических систем. Настройка параметров регуляторов является одним из важнейших этапов при введении сложного технологического объекта в эксплуатацию, который оказывает существенное влияние на качество переходных процессов, точность регулирования и устойчивость системы. Классические методы настройки, которые распространены на сегодняшний день, такие как метод Зиглера-Николса, частотный анализ или использование моделей объекта управления, зарекомендовали себя как надежные и проверенные временем подходы. Но, и они имеют недостатки, часто они требуют значительных временных затрат, глубоких знаний от специалистов и создания точной математической модели объекта, что не всегда возможно и целесообразно на реальном производстве.

Бурный рост технологий вызвал увеличение требований к скорости настройки регуляторов, что стало причиной создания экспресс-методов, которые дают возможность существенно снизить затраты времени на процедуру настройки за счет использования упрощенных алгоритмов и автоматизации процесса. Такие методы особенно актуальны в условиях ограниченного времени или при недостатке детальной информации об объекте управления. Но в свою очередь применение данных методов в реальных задачах вызывает вопросы, которые связаны с точностью и универсальностью их использования.

Несмотря на то, что настройку автоматических регуляторов АСУ ТП АЭС и синтез их характеристик можно проводить, применяя классические методы теории управления, которые используются для настройки непрерывных систем, следует при этом учитывать две особенности реальных регуляторов: интегральное насыщение и период вызова алгоритма регулирования. Ниже упомянутые особенности будут рассмотрены более подробно.

Основная часть. Существующие системы управления, которые используются в промышленности и реальных технологических процессах, имеют ряд ограничений, связанных с диапазоном управляющих воздействий, эти ограничения могут формироваться регулятором. Они обусловлены физическими и техническими характеристиками исполнительных механизмов и органов регулирования, которые имеют конечный ресурс управления. Например, в контуре регулирования температуры среды в тепловых системах верхним ограничением является максимальная мощность нагревательных элементов. Это означает, что регулятор не сможет выдавать управляющие сигналы, величина которых больше этого предела, даже если этого требует алгоритм управления. Таким образом, выход реальных регуляторов всегда ограничивается нелинейностью, известной как «зона насыщения».

Согласно данным в исследованиях, которые описаны в [1], проблема интегрального насыщения заключается в следующем: когда происходит достижение величиной управляющего воздействия зоны насыщения, а сигнал рассогласования на входе ПИ (ПИД)-регулятора остается ненулевым, интегральная составляющая регулятора накапливает ошибку [2]. При этом накопленное значение не оказывает реального воздействия на объект управления, так как выход регулятора уже достиг своего предела. Как результат система управления фактически переходит в режим, «разомкнутой системы», и это приводит к ухудшению ее динамических характеристик [3]. Эффект интегрального насыщения не только замедляет переходные процессы, но и может стать причиной срабатывания технологических защит, что негативно сказывается на стабильности и безопасности системы [4].

Второй особенностью реальных систем управления является периодический вызов регулятора. В цифровых системах управляющее воздействие формируется не непрерывно, а дискретно, в определенные моменты времени [5]. Это означает, что регулятор выполняет свои вычисления и выдает управляющий сигнал только в течение ограниченного

периода времени, после чего наступает ожидание следующего вызова. Период вызова алгоритма регулирования является критическим параметром, который требует особенно тщательного подбора [6]. При слишком коротком периоде возникнет чрезмерная вычислительная нагрузка на микропроцессор, а это в свою очередь станет причиной задержки в обработке данных и как следствие приведет к снижению производительности системы [7]. С другой стороны, слишком длинный период вызова может привести к расходящимся колебаниям в системе, что будет эквивалентно потере устойчивости. Это происходит по причине того, что система не успевает своевременно среагировать на изменения регулируемой величины, а это особенно критично в динамически изменяющихся условиях [8].

Учитывая описанные выше особенности, становится очевидной необходимость тщательного подбора параметров регулятора [9]. Важно найти такие значения коэффициентов пропорциональной и интегральной составляющих, при которых максимальное управляющее воздействие не будет превышать допустимый диапазон и не приведет к попаданию в зону насыщения. Кроме того, управляющее воздействие должно формироваться в течение периода вызова алгоритма регулирования, чтобы система оставалась устойчивой и эффективной [10]. Наглядной иллюстрацией этого утверждения служит рис. 1, на котором представлены графики выходных сигналов двух регуляторов: один из них работает с эффектом интегрального насыщения (кривая 1), а другой без него (кривая 2).

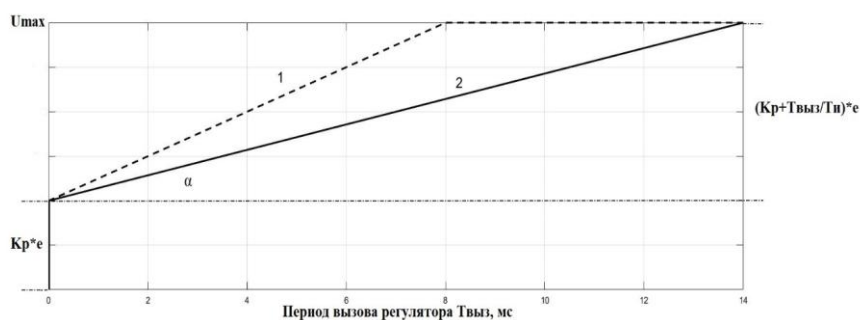


Рис. 1. Выходные сигналы регуляторов: с интегральным насыщением и без

Анализ рис. 1. позволяет сделать вывод, что величина управляющего воздействия, а следовательно, и вероятность возникновения интегрального насыщения, зависит от двух основных факторов. Первый фактор – это скачок управляющего сигнала, который определяется значением коэффициента пропорциональной составляющей. Этот параметр напрямую влияет на устойчивость переходного процесса. Второй фактор – это наклон прямой, который задается постоянной времени интегрирования ($\operatorname{tg} \alpha = 1/T_{\text{И}}$). Этот параметр отвечает за точность работы системы управления. Чем меньше постоянная времени интегрирования, тем быстрее система реагирует на изменения, но при этом возрастает риск возникновения насыщения [11].

Помимо параметров регулятора, важную роль играет максимальное возможное рассогласование на его входе [12]. Это значение зависит от диапазонов допустимых значений уставки и регулируемой величины. Максимальное рассогласование (e_{max}) делается как разность между максимальным значением регулируемой величины и минимальным значением уставки, или наоборот. Обычно границы этих диапазонов задаются одинаковыми, поэтому разности оказываются равными. Однако даже при максимальном рассогласовании регулятор не должен автоматически попадать в зону насыщения [13]. Этого удастся избежать благодаря нормировке сигнала рассогласования, которая выполняется модулями низовой автоматики в составе ПТК (программно-технического комплекса). Нормировка позволяет привести сигнал к стандартному диапазону, что исключает возможность некорректной работы регулятора даже при экстремальных значениях входных данных.

Таким образом, параметры ПИ-регулятора должны удовлетворять следующему условию:

$$K_{II} \times e_{\max} + \int_0^{T_{\text{ВВЗ}}} \frac{1}{T_{II}} \times e_{\max} dx \leq 100\% \quad (1)$$

После некоторых преобразований получаем:

$$K_{II} \times \frac{1}{T_{II}} \times T_{\text{ВВЗ}} \leq \frac{100\%}{e_{\max}} \quad (2)$$

При настройке параметров ПИ-регуляторов в автоматизированных системах управления технологическими процессами (АСУ ТП) атомных электростанций (АЭС) важно учитывать динамические характеристики объектов управления [14]. На начальном этапе настройки целесообразно устанавливать значения параметров регулятора, не превышающие эти характеристики. Это позволит избежать ситуации, при которой система управления будет фильтровать или игнорировать часть возможных значений уставок регулируемых параметров, что может привести к снижению эффективности управления. Особенно это актуально для АСУ ТП АЭС, где приоритетной задачей является отработка возмущений – внешних воздействий, которые могут нарушить стабильность работы системы [15].

Для объектов с самовыравниванием, которые составляют подавляющее большинство технологических объектов управления энергоблока АЭС, такой подход позволяет приблизиться к апериодическому переходному процессу. Апериодический процесс более удобен в случаях, когда регулирование величины должно происходить без колебаний т.к. характеризуется плавным изменением регулируемой. Также он является желательным и с точки зрения устойчивости и качества управления. Это особенно важно в управлении системами, где даже незначительные колебания могут привести к срабатыванию технологических защит и остановке оборудования [16].

В качестве начального приближения при настройке ПИ-регулятора можно использовать следующие рекомендации:

- ◆ Коэффициент пропорциональности (K_p) рекомендуется устанавливать равным коэффициенту усиления объекта управления. Это позволяет обеспечить пропорциональное реагирование регулятора на изменения регулируемой величины.
- ◆ Постоянная времени интегрирования (T_{II}) для объектов первого порядка может быть принята равной постоянной времени объекта управления. Для объектов второго порядка, которые характеризуются двумя постоянными времени, постоянная времени интегрирования должна быть установлена равной их сумме [17]. Это отражает динамические свойства таких объектов и позволяет учесть их инерционность.

При этом возможным запаздыванием в системе можно пренебречь, особенно если речь идет о длинных трубопроводах. Согласно исследованиям, такие объекты при отработке возмущений ведут себя как апериодические звенья, что упрощает их моделирование и настройку регуляторов.

Для проверки и уточнения параметров регуляторов были проведены эксперименты на программно-техническом комплексе (ПТК) УМИКОН [18], который может моделировать работу системы АСУ ТП сложных технологических объектов, таких как АЭС, ТЭС, в режиме реального времени. Результаты экспериментов, позволили сформулировать правила экспресс-оценки параметров ПИ-регуляторов. Эти правила представлены в табл. 1. и включают следующие рекомендации:

Таблица 1

Правила экспресс оценки параметров ПИ-регуляторов

Порядок объекта	K_p	T_{II}
Первый порядок	K_{ov}	$\frac{T_o}{K_p}$
Второй порядок	K_{ov}	$\frac{T_{o1}+T_{o2}}{K_p}$

♦ Постоянные времени интегрирования (T_{II}) следует делить на величину коэффициента усиления объекта управления. Это позволяет достичь приблизительно 80% положения органа регулирования, что исключает использование всего доступного ресурса и снижает риск насыщения.

♦ Такая настройка обеспечивает апериодический переходный процесс, который соответствует требованиям к качеству работы систем управления, указанным в [19]. В частности, степень затухания должна быть не ниже 0,83, а перерегулирование не должно вызывать срабатывание технологических защит

Основными преимуществами использования предложенных правил экспресс-оценки параметров ПИ-регуляторов являются:

- ♦ упрощение процесса наладки систем автоматического регулирования на энергоблоках АЭС.
- ♦ сокращение времени, необходимого для настройки;
- ♦ такой подход обеспечивает высокое качество управления, минимизируя риск возникновения колебаний и перерегулирования;
- ♦ снижение нагрузки на исполнительные механизмы органов регулирования, что увеличивает их срок службы и снижает вероятность поломок.

Практическое применение методики экспресс-настройки ПИ-регуляторов на примере водоподготовительной установки энергоблока №1 Белорусской АЭС

В ходе пусконаладочных работ 7 сентября 2019 года на энергоблоке №1 Белорусской АЭС была успешно применена разработанная методика экспресс-настройки ПИ-регуляторов для системы водоподготовки. Одним из объектов на котором методика была успешно реализована стал контур регулирования давления в напорном коллекторе насосов подачи исходной воды, который играет ключевую роль в обеспечении стабильной работы всего технологического комплекса, включающего механическую фильтрацию с ультрафильтрацией, двухступенчатое обессоливание методом обратного осмоса и ионообменную очистку пермеата.

Первоначальные параметры, представленные на рис. 2, ведомого регулятора частоты вращения вала насоса, предложенные проектной организацией, как видно из представленных трендов, не обеспечивали устойчивой работы контура регулирования, вызывая автоколебания и нестабильность технологического процесса.

Для стабилизации технологических процессов и оперативной наладки регуляторов использовались описанные выше правила экспресс-настройки. Эти правила были применены для коррекции коэффициента пропорциональности (с его уменьшением) и оптимизации постоянной времени интегрирования в соответствии с динамическими характеристиками объекта.

Проведенное моделирование в системе "ЭНИКАД"[20] дало возможность воспроизвести физические процессы в контуре регулирования и провести виртуальную настройку параметров, позволяя при этом избежать рисков, которые сопутствуют при натурных испытаниях. Поэтапная проверка устойчивости включала анализ переходных характеристик, проверку на отсутствие автоколебаний и оценку качества регулирования. В результате применения методики удалось полностью устранить автоколебания, обеспечить апериодический характер переходных процессов с требуемой степенью затухания ($\geq 0,83$), сохранив при этом высокое быстродействие системы.

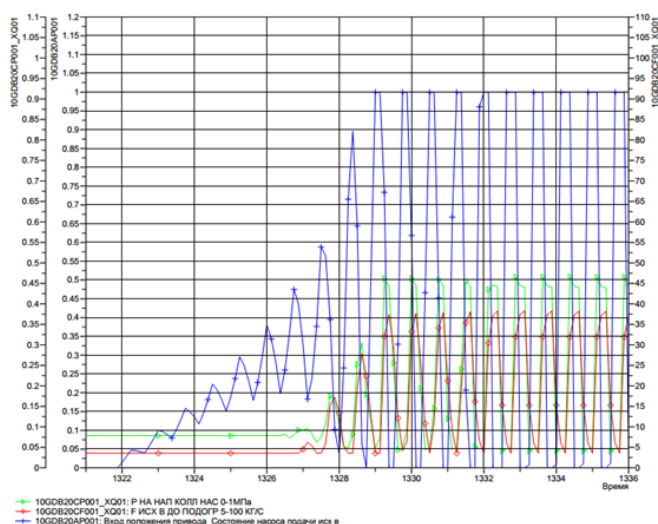


Рис. 2. Тренды работы модели контура регулирования давления в напорном коллекторе насосов подачи исходной воды в интегрированной среде «ЭНИКАД»

Полученные тренды работы регулятора в процессе моделирования выглядят более плавными и устойчивыми. Тренды работы модели контура регулирования с подстроенным регулятором частоты вращения вала насоса представлены на рис. 3. При этом подчеркивается важность учета реальных динамических характеристик объектов. А также дается наглядное представление преимуществ использования современных инструментов моделирования. Разработанная методика показала свою универсальность и может быть рекомендована для применения при наладке аналогичных систем на других энергоблоках АЭС, особенно учитывая возможность предварительной отработки параметров на тренажерных комплексах, что значительно снижает риски при проведении реальных пусконаладочных работ.

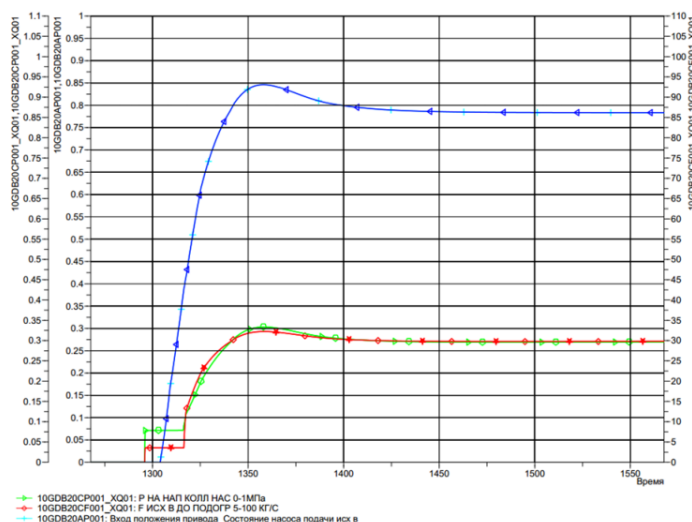


Рис. 3. Тренды работы модели контура регулирования давления в напорном коллекторе насосов подачи исходной воды в интегрированной среде «ЭНИКАД» после подстройки регулятора частоты вращения вала насоса

Выводы. Исходя из результатов, полученных в процессе решения реальной практической задачи можно сделать вывод, что, предложенный метод настройки ПИ-регуляторов, может эффективно применяться для обеспечения стабильной и качественной работы систем автоматического регулирования на атомных электростанциях. Этот метод позволяет не только упростить процесс наладки, но при этом повысить надежность и безопасность работы энергоблоков, что является одним из критически важных параметров для таких технологически сложных объектов, как АЭС.

Данные правила экспресс-оценки параметров регуляторов позволяют получить аperiodический переходный процесс, удовлетворяющий требованиям к качеству работы систем управления, указанным в [10]: степень затухания не ниже 0,83, возможное перерегулирование не должно вызывать срабатывание технологических защит. Значения рассчитываемых по предлагаемым правилам коэффициентов позволяют получить первое приближение для этапа наладки систем автоматического регулирования энергоблоков АЭС.

БИБЛИОГРАФИЧЕСКИЙ СПИСОК:

1. *Squassoni S.* The incredible shrinking nuclear offset to climate change // *Bulletin of the atomic scientists.* – 2017. – Vol. 73, No. 1. – P. 17-26.
2. *Сааков Э.С., Рясный С.И.* Ввод в эксплуатацию энергоблоков АЭС. – М.: Энергоатомиздат, 2007. – 496 с.
3. *Ротач В.Я.* Расчёт настройки реальных ПИД-регуляторов // *Теплоэнергетика.* – 1993. – № 10. – С. 31-35.
4. *Ротач В.Я., Кузицин В.Ф., Ключев А.С. и др.* Автоматизация настройки систем управления. – М.: Энергоатомиздат, 1984. – 272 с.
5. *Денисенко В.В.* Компьютерное управление технологическим процессом, экспериментом, оборудованием. – М.: Горячая линия – Телеком, 2014. – 606 с.
6. *Густав Олссон, Джангуидо Пиани.* Цифровые системы автоматизации и управления. – СПб.: Невский Диалект, 2001. – 557 с.
7. *Гудвин Г.К., Гребе С.Ф., Сальгадо М.Э.* Проектирование систем управления. – М.: БИНОМ. Лаборатория знаний, 2004. – 911 с.
8. *Åström, K.J., and Hägglund, T.* PID Controllers: Theory, Design, and Tuning. – 2nd ed. NC, Instrument Society of America. 1995.
9. *Åström, K.J., and Hägglund, T.* Automatic Tuning of Simple Regulators with Specifications on Phase and Amplitude Margins // *Automatica.* – 1984. – 20 (5). – P. 645-651.
10. *Weng Khuen Ho, Chang Chieh Hang, and Lishens S. Cao.* Tuning of PID Controllers Based on Gain and Phase Margin Specification // *Automatica.* – 1995. – 31 (3). – P. 497-502.
11. *Ротач В.Я.* Расчёт настройки реальных ПИД-регуляторов // *Теплоэнергетика.* – 1993. – № 10. – С. 31-35.
12. *Стефани Е.П.* Основы расчёта настройки регуляторов теплоэнергетических процессов. – 2-е изд., перераб. – М.: Энергия, 1972. – 376 с.
13. *Sanchis R., Romero J.A. and Balaguer P.* PI and PID auto-tuning procedure based on simplified single parameter optimization // *Journal of process control.* – 2011. – Vol. 21. – P. 840-851.
14. *Garpinger O., Hägglund T. and Åström K.J.* Performance and robustness trade-offs in PID control // *Journal of Process Control.* – 2014. – Vol. 24. – P. 568-577.
15. *O'Dwyer Aidan.* Handbook of PI and PID controllers tuning rules. – 3rd ed. – London, Imperial College Press, 2009.
16. *Vilanova Ramon, and Visioli Antonio.* PID Control in the Third Millenium // *Lessons Learned and New Approaches.* – London, Springer-Verlag, 2012.
17. *Skogestad S.* Simple analytic rules for model reduction and PID controller tuning // *Journal of Process Control.* – 2003. – Vol. 13. – P. 291-309.
18. *Прохоров А.Н., Лысачев М.Н.* Цифровой двойник. Анализ, тренды, мировой опыт. – 1-е изд., испр. и доп. – М.: ООО «АльянсПринт», 2020. – 401 с.
19. Программно-технический комплекс «Виртуально-цифровая АЭС с ВВЭР». Институт проблем безопасного развития атомной энергетики Российской академии наук [сайт]. – URL: <http://www.ibrae.ac.ru/contents/362>.
20. МУ-УЖЦАСУ.09.06 Методические указания «Анализ устойчивости контуров автоматического регулирования». Ревизия 1. АО «РАСУ».

REFERENCES

1. Squassoni S. The incredible shrinking nuclear offset to climate change, *Bulletin of the atomic scientists*, 2017, Vol. 73, No. 1, pp. 17-26.
2. Saakov E.S., Rysany S.I. Vvod v ekspluatatsiyu energoblokov AES [Commissioning of NPP power units]. Moscow: Energoatomizdat, 2007, 496 p.
3. Rotach V.Ya. Raschet nastroyki real'nykh PID-regulyatorov [Calculation of real PID controller tuning], *Teploenergetika* [Thermal Engineering], 1993, No. 10, pp. 31-35.
4. Rotach V.Ya., Kuzishchin V.F., Klyuev A.S. i dr. Avtomatizatsiya nastoyki sistem upravleniya [Automation of control system tuning]. Moscow: Energoatomizdat, 1984, 272 p.
5. Denisenko V.V. Komp'yuternoe upravlenie tekhnologicheskimi protsessami, eksperimentami, oborudovaniem [Computer control of technological processes, experiments and equipment]. Moscow: Goryachaya liniya – Telekom, 2014, 606 p.
6. Gustav Olsson, Dzhanguido Piani. Tsifrovye sistemy avtomatizatsii i upravleniya [Digital automation and control systems]. Saint Petersburg: Nevskiy Dialekt, 2001, 557 p.
7. Gudvin G.K., Grebe S.F., Sal'gado M.E. Proektirovanie sistem upravleniya [Control system design]. Moscow: BINOM. Laboratoriya znaniy, 2004, 911 p.
8. Åström, K.J., and Hägglund, T. PID Controllers: Theory, Design, and Tuning. 2nd ed. NC, Instrument Society of America. 1995.
9. Åström, K.J., and Hägglund, T. Automatic Tuning of Simple Regulators with Specifications on Phase and Amplitude Margins, *Automatica*, 1984, 20 (5), pp. 645-651.
10. Weng Khuen Ho, Chang Chieh Hang, and Lishens S. Cao. Tuning of PID Controllers Based on Gain and Phase Margin Specification, *Automatica*, 1995, 31 (3), pp. 497-502.
11. Rotach V.Ya. Raschet nastroyki real'nykh PID-regulyatorov [Calculation of real PID controller tuning], *Teploenergetika* [Thermal Engineering], 1993, No. 10, pp. 31-35.
12. Strefani E.P. Osnovy rascheta nastroyki regulyatorov teploenergeticheskikh protsessov [Fundamentals of heat power process controller tuning calculations]. 2-e ed. Moscow: Energiya, 1972, 376 p.
13. Sanchis R., Romero J.A. and Balaguer P. PI and PID auto-tuning procedure based on simplified single parameter optimization, *Journal of process control*, 2011, Vol. 21, pp. 840-851.
14. Garpinger O., Hägglund T. and Åström K.J. Performance and robustness trade-offs in PID control, *Journal of Process Control*, 2014, Vol. 24, pp. 568-577.
15. O'Dwyer Aidan. Handbook of PI and PID controllers tuning rules. 3rd ed. London, Imperial College Press, 2009.
16. Vilanova Ramon, and Visioli Antonio. PID Control in the Third Millenium, *Lessons Learned and New Approaches*. London, Springer-Verlag, 2012.
17. Skogestad S. Simple analytic rules for model reduction and PID controller tuning, *Journal of Process Control*, 2003, Vol. 13, pp. 291-309.
18. Prokhorov A.N., Lysachev M.N. Tsifrovoy dvoynik. Analiz, trendy, mirovoy opyt [The digital double. Analysis, trends, and global experience]. 1st ed. Moscow: OOO «Al'yansPrint», 2020, 401 p.
19. Programmno-tekhnicheskiy kompleks «Virtual'no-tsifrovaya AES s VVER» [Software and hardware complex "Virtual digital NPP with VVER"]. Institute of Problems of Safe Development of Atomic Energy of the Russian Academy of Sciences [website]. Available at: <http://www.ibrae.ac.ru/contents/362>.
20. MU-UZHTSASU.09.06 Metodicheskie ukazaniya «Analiz ustoychivosti konturov avtomaticheskogo regulirovaniya». Reviziya 1. AO «RASU» [MU-UZHTSASU.09.06 Methodological guidelines "Stability analysis of automatic control circuits". Revision 1. RASU JSC].

Толоконский Андрей Олегович – Национальный исследовательский ядерный университет «МИФИ»; e-mail: aotolokonskij@mephi.ru; г. Москва, Россия; кафедра теплофизики; к.т.н.; доцент.

Менюк Дмитрий Сергеевич – Национальный исследовательский ядерный университет «МИФИ»; e-mail: d.menyuk@mail.ru; г. Москва, Россия; кафедра «Автоматика»; аспирант.

Tolokonsky Andrey Olegovich – National Research Nuclear University MEPHI; e-mail: aotolokonskij@mephi.ru; Moscow, Russia; the Department of Thermophysics; cand. of eng. sc.; associate professor.

Menyuk Dmitriy Sergeevich – National Research Nuclear University MEPHI; e-mail: d.menyuk@mail.ru; Moscow, Russia; the Department "Automation"; postgraduate student.

А. Нанданвар, Л.А. Рыбак, Д.А. Дьяконов

УПРАВЛЕНИЕ МУЛЬТИРОБОТИЗИРОВАННЫМИ СИСТЕМАМИ НА ОСНОВЕ СКОЛЬЗЯЩИХ РЕЖИМОВ ВЫСОКОГО ПОРЯДКА

Рассматривается задача управления мультиагентной роботизированной системой второго порядка с дискретным временем в условиях сетевых задержек. Предложен новый подход к управлению формированием агентов, основанный на скользящем режиме высшего порядка и облачных технологиях. Для описания взаимодействия между агентами используется теория графов, где матрица Лапласа \mathcal{L} представляет канал связи между агентами и лидером. Динамика системы описывается уравнениями движения для положения и скорости каждого агента. Особое внимание уделяется влиянию сетевых задержек, возникающих при передаче данных от датчиков к контроллеру и от контроллера к исполнительным механизмам. Разработан многоступенчатый предиктор состояния, использующий методы прогнозирования для компенсации случайных задержек в сети. Предложенный алгоритм управления обеспечивает быструю сходимость системы к желаемому образованию даже при наличии существенных сетевых задержек. Для каждого агента определяется поверхность скольжения и закон достижения, учитывающий несколько временных меток. Проведен детальный анализ устойчивости замкнутой системы, подтверждающий асимптотическую устойчивость разработанного алгоритма управления. Результаты моделирования в MATLAB демонстрируют высокую эффективность предложенного подхода: система из пяти последователей и одного лидера достигает желаемого формирования за 10.3 секунды и успешно поддерживает его при наличии случайных сетевых задержек. По сравнению с традиционными методами управления первого порядка, новый подход показывает значительно улучшенные характеристики, особенно в части снижения эффекта дребезжания в сигналах управления. Использование облачных технологий позволяет эффективно обрабатывать большие объемы данных в реальном времени и реализовывать сложные алгоритмы прогнозирования без перегрузки локальных вычислительных ресурсов агентов. Полученные результаты подтверждают перспективность применения предложенного подхода для управления мультиагентными системами в условиях реальных сетевых ограничений. Работа также демонстрирует возможность использования методов прогнозирования для компенсации случайных потерь пакетов и задержек связи, что обеспечивает надежное управление и связь в динамичных, непредсказуемых ситуациях.

Мультиагентная роботизированная система; облачный контроллер; скользящий режим; алгоритм.

A. Nandanwar, L.A. Rybak, D.A. Dyakonov

CONTROL OF A MULTI-ROBOT SYSTEM BASED ON HIGHER-ORDER SLIDING MODES

The article addresses the control problem of a second-order multi-agent robotic system with discrete time under network-induced delays. A novel approach to formation control is proposed, based on higher-order sliding mode control and cloud technologies. The interaction between agents is described using graph theory, where the Laplacian matrix \mathcal{L} represents the communication channel between agents and the leader. The system dynamics are modeled by motion equations for the position and velocity of each agent. Special attention is paid to the impact of network-induced delays that occur during data transmission from sensors to the controller and from the controller to actuators. A multi-stage state predictor is developed, utilizing prediction methods to compensate for random delays in the network. The proposed control algorithm ensures rapid convergence of the system to the desired formation even in the presence of significant network delays. For each agent, a sliding surface and a reaching law are defined, taking into account multiple timestamps. A detailed stability analysis of the closed-loop system confirms the asymptotic stability of the developed control algorithm. Simulation results in MATLAB demonstrate the high efficiency of the proposed approach: a system consisting of five followers and one leader achieves the desired formation in 10.3 seconds and successfully maintains it despite random network delays. Compared to traditional first-order control methods, the new approach shows significantly improved performance, particularly in reducing chattering effects in control signals. The use of cloud technologies enables efficient real-time processing of large data volumes and implementation of complex prediction algorithms without overloading the local computational resources of the agents. The obtained results con-

firm the potential of the proposed approach for controlling multi-agent systems under real-world network constraints. The work also demonstrates the feasibility of using prediction methods to compensate for random packet losses and communication delays, ensuring reliable control and communication in dynamic, unpredictable scenarios.

Multi-agent robotic system; cloud controller; sliding mode; algorithm.

Введение. Современные мультиагентные системы (MAS) играют ключевую роль в различных областях, таких как робототехника, транспортные системы, автоматизация и управление сложными процессами. Одной из основных задач таких систем является координация движения агентов для достижения общих целей, таких как следование за лидером, поддержание формаций или распределение ресурсов. Подобная задача рассматривается в статьях [1–7]. Однако реализация эффективного управления сталкивается с проблемой ограничения коммуникационных сетей. Решением проблемы является формирование эффективной математической модели. В статьях [8–18] предлагаются контроллер или математическая модель для управления мультиагентной системой. В статье рассматривается мультиагентная система второго порядка с дискретным временем, состоящая из N последователей и одного виртуального лидера. Основной целью является разработка алгоритма управления, способного обеспечить быстрое отслеживание положения лидера даже при наличии сетевых ограничений, таких как случайные задержки и потери данных. Для решения задачи используется метод скользящего режима высшего порядка (DHOSM), который позволяет минимизировать влияние внешних возмущений и внутренних ограничений на производительность системы. Для анализа и управления динамикой системы применяется матрица Лапласа, которая описывает структуру коммуникационной сети между агентами и лидером. Применение матрицы Лапласа показано в статьях [19–22]. Дополнительно предлагается интеллектуальная архитектура управления на основе облачных технологий, которая снижает вычислительную нагрузку на локальные устройства и обеспечивает прогнозирование случайных задержек в сети. Это позволяет достичь более устойчивого и точного управления системой даже в условиях непредсказуемых внешних воздействий. Разработанная схема управления включает многоступенчатый предиктор состояния, который использует данные о текущем положении и скорости агентов для прогнозирования их будущего поведения. Проверенное моделирование демонстрирует эффективность предложенного подхода: система достигает желаемой конфигурации за конечное время, минимизируя эффекты дрейфа и обеспечивая устойчивость к сетевым ограничениям.

Постановка задачи исследования. Матрица Лапласа \mathcal{L} представляет собой канал связи между каждым агентом и лидером, а архитектура коммуникационной сети мультиагентных систем (MAS) имеет форму прямого соединения. Матрица Лапласа может быть записана как $\mathcal{L} = \Delta - \mathcal{A}$, где $\Delta = \text{diag} \{\Lambda_1, \Lambda_2, \dots, \Lambda_N\}$ – диагональная матрица степеней, а $\Lambda_i = \sum_{j=1}^N a_{ij}$. Здесь $\mathcal{A} = [a_{ij}]$ является взвешенной матрицей смежности, а её элемент a_{ij} указывает на возможность обмена информацией между агентами: если $a_{ij} = 0$, то агент i не может получать информацию от агента j ; в противном случае $a_{ij} \neq 0$. Аналогично, $b_i = 1$ показывает, что агент способен получать информацию о состоянии лидера. Рассмотрим мультиагентную систему второго порядка с дискретным временем, состоящую из N последователей и виртуального лидера. Динамика лидера и последователей описывается следующими уравнениями:

Для последователей:

$$\begin{aligned} p_i(k+1) &= p_i(k) + \sigma v_i(k+1) \\ v_i(k+1) &= v_i(k) + \sigma u_i(k), \end{aligned} \quad (1)$$

где $p_i(k) \in \mathbf{R}$, $v_i(k) \in \mathbf{R}$, $u_i(k) \in \mathbf{R}$ представляют соответственно положение, скорость и управляющий вход агента i . Здесь σ – время выборки.

Для лидера:

$$\begin{aligned} p_0(k+1) &= p_0(k) + \sigma v_0(k+1) \\ v_0(k+1) &= v_0(k) + \sigma u_0(k), \end{aligned} \quad (2)$$

где $p_0(k) \in \mathbf{R}$, $v_0(k) \in \mathbf{R}$ – это положение и скорость лидера.

Сетевые задержки, такие как передача данных от датчика к контроллеру или от контроллера к исполнительному механизму, иногда неизбежны в системах сетевого управления. Эти задержки оказывают влияние на производительность и устойчивость системы. Данные, полученные контроллером, могут относиться к предыдущим шагам выборки или быть утерянными в канале передачи данных от контроллера к исполнительному механизму. Важно найти способ минимизировать влияние этих ограничений без ущерба для производительности системы. Поэтому целью данной работы является разработка алгоритма управления, который обеспечивает быстрое отслеживание позиции лидера в условиях таких ограничений.

Разработка системы управления на основе скользящего режима. Для разработки системы управления мультиагентной роботизированной системы рассматривается подход с использованием линейризованных моделей агентов и расширенного уравнения состояния, учитывающего ошибки положения и скорости. Для компенсации случайных сетевых задержек в облачной среде предлагается контроллер скользящего режима высшего порядка, который прогнозирует состояние агентов с помощью многоступенчатых предикторов. Устойчивость системы обеспечивается за счет корректной настройки параметров управления и применения функции Ляпунова, что гарантирует асимптотическую сходимость замкнутой системы. Прогнозирующий контроллер, размещенный в облаке, позволяет минимизировать влияние задержек и обеспечивать надежное взаимодействие между агентами в реальном времени. На рис. 1 показана схема облачного прогнозирующего контроллера.

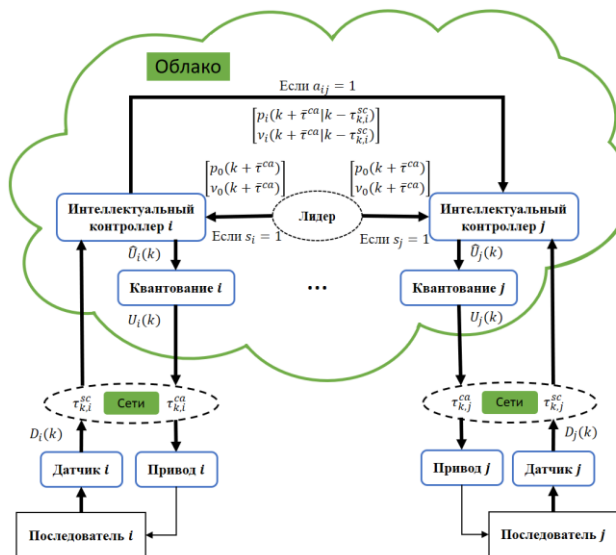


Рис. 1. Схема облачного прогнозирующего управления с временной вариацией

Разработка контроллера без задержек. На основе линейризованной модели отдельного агента формируется расширенное уравнение состояния полной системы MAS.

$$\begin{aligned} p(k + 1) &= p(k) + v(k + 1) \\ v(k + 1) &= v(k) + u(k), \end{aligned} \tag{3}$$

где $v(k) = [v_1^T(k), v_2^T(k), \dots, v_N^T(k)]$, $p(k) = [p_1^T(k), p_2^T(k), \dots, p_N^T(k)]$ и $u(k) = [u_1^T(k), u_2^T(k), \dots, u_N^T(k)]$. Время выборки $\sigma = 1$.

Погрешности положения и скорости могут быть представлены в виде:

$$e_{pi}(k) = p_i(k) - p_0(k) - \delta_{pi}(k) \tag{4}$$

$$e_{vi}(k) = v_i(k) - v_0(k) - \delta_{vi}(k), \tag{5}$$

где $\delta_{p_i}(k) \in \mathbf{R}$, $\delta_{v_i}(k) \in \mathbf{R}$ отражают желаемые значения относительного положения и скорости между агентом i и лидером. Для описания ошибок всей системы используется компактная форма:

$$e_p(k) = p(k) - P_0(k) - \delta_p(k) \quad (6)$$

$$e_v(k) = v(k) - V_0(k) - \delta_v(k), \quad (7)$$

где $\delta_p(k) = [\delta_{p,1}^T(k), \delta_{p,2}^T(k), \dots, \delta_{p,N}^T(k)]^T$ и $\delta_v(k) = [\delta_{v,1}^T(k), \delta_{v,2}^T(k), \dots, \delta_{v,N}^T(k)]^T$.

Поверхность скольжения для агента i задается формулой

$$s_i(k) = \eta_i \left(\sum_{j \in N} a_{ij} \left((v_j(k) - v_i(k)) + (p_j(k) - p_i(k)) \right) + b_i (e_{v_i}(k) + e_{p_i}(k)) \right). \quad (8)$$

Компактная форма формулы (8) представлена ниже

$$\begin{aligned} s(k) &= \eta((\mathcal{L} + \mathcal{B}) \otimes I_n)(e_v(k) + e_p(k)) \\ &= \Psi(e_v(k) + e_p(k)), \end{aligned} \quad (9)$$

где $e_v(k) = [e_{v1}^T(k), e_{v2}^T(k), \dots, e_{vN}^T(k)]^T$ и $e_p(k) = [e_{p1}^T(k), e_{p2}^T(k), \dots, e_{pN}^T(k)]^T$,

$s(k) = [s_1^T(k), s_2^T(k), \dots, s_N^T(k)]^T$, $\eta = \text{diag}(\eta_1, \eta_2, \dots, \eta_N)$, $\Psi = \eta((\mathcal{L} + \mathcal{B}) \otimes I_n)$.

Формула закона достижения агента i в скользящем режиме управления высшего порядка выглядит следующим образом:

$$\begin{aligned} s_i(k+1) &= -k_1 |s_i(k)|^{\frac{1}{2}} \text{sign}(s_i(k)) + \xi_i(k) \\ \xi_i(k+1) &= -k_3 \xi_i(k) - \sigma k_2 \text{sign}(s_i(k)), \end{aligned} \quad (10)$$

где $\xi_i(k)$ – вспомогательная переменная контроллера DHOSM, k_1 и k_2 – коэффициенты усиления настраиваемого контроллера, k_3 – фиксированный коэффициент усиления при $0 < k_3 < 1$. Упрощенная форма (10) представлена формулой

$$\begin{aligned} s_i(k+1) &= -k_1 |s_i(k)|^{\frac{1}{2}} \text{sign}(s_i(k)) - k_3 \xi_i(k-1) \\ &\quad - \sigma k_2 \text{sign}(s_i(k-1)). \end{aligned} \quad (11)$$

Для обеспечения глобального консенсуса в системе применяется следующий закон:

$$\begin{aligned} s(k+1) &= -k_1 |s(k)|^{\frac{1}{2}} \text{sign}(s(k)) - k_3 \xi(k-1) \\ &\quad - \sigma k_2 \text{sign}(s(k-1)). \end{aligned} \quad (12)$$

Более того, во время $(k+1)$, поверхность скольжения, представленная в уравнение (9), принимает следующий вид:

$$s(k+1) = \Psi(e_v(k+1) + e_p(k+1)). \quad (13)$$

Используя компактные выражения для ошибок положения и скорости, заданные в (6) и (7), а также применяя (12), получаем:

$$\begin{aligned} &-k_1 |s(k)|^{\frac{1}{2}} \text{sign}(s(k)) + k_3 \xi(k-1) - \sigma k_2 \text{sign}(s(k-1)) \\ &= \Psi(e_v(k+1) + e_p(k+1)) \\ &= \Psi(V_0(k+1) - v(k+1) - \delta_v(k+1) \\ &\quad + P_0(k+1) - p(k+1) - \delta_p(k+1)) \\ &= \Psi(V_0(k+1) + P_0(k+1) - p(k) \\ &\quad - \delta_p(k+1) - \delta_v(k+1) - 2v(k) - 2u(k)), \end{aligned} \quad (14)$$

где $V_0(k) = [v_0^T(k), v_0^T(k), \dots, v_0^T(k)]^T$, $P_0(k) = [p_0^T(k), p_0^T(k), \dots, p_0^T(k)]^T$.

Результатом дальнейших вычислений является закон управления скользящим режимом более высокого порядка, который может быть выражен следующим образом:

$$u(k) = \frac{k_3}{2} \xi(k-1) - \frac{k_1}{2} |s(k)|^{\frac{1}{2}} \text{sign}(s(k)) - \sigma \frac{k_2}{2} \text{sign}(s(k-1)) + V_0(k+1) + \frac{1}{2} e_p(k) - \delta_v(k+1) - v(k). \quad (15)$$

Выполним анализ устойчивости. Для предложенного закона управления (15) и скользящей переменной (9) траектории замкнутых систем (1) и (2) демонстрируют асимптотическую устойчивость при выполнении условия:

$$\gamma_s < s^T(k) s(k). \quad (16)$$

Доказательство:

Рассмотрим функцию Ляпунова в виде:

$$V_s(k) = s(k)^T s(k). \quad (17)$$

Очевидно, что $V_s(k) > 0$. Изменение функции Ляпунова на шаге k определяется как:

$$\begin{aligned} \Delta V_s(k) &= V_s(k+1) - V_s(k) \\ &= s(k+1)^T s(k+1) - s(k)^T s(k) \\ &= [\Psi(e_v(k+1) + e_p(k+1))]^T \\ &\quad [\Psi(e_v(k+1) + e_p(k+1))] - s(k)^T s(k). \end{aligned} \quad (18)$$

Подставляя выражения для скользящей переменной (9), уравнений ошибок (4), (5) и закона управления (15), упрощаем (18) до:

$$\Delta V_s(k) = \gamma_s - s(k)^T s(k), \quad (19)$$

где $\gamma_s = -k_1 |s(k)|^{\frac{1}{2}} \text{sign}(s(k)) + k_3 \xi_i(k-1) - \sigma k_2 \text{sign}(s(k-1))$.

При корректной настройке параметров k_1 и k_2 величина γ_s может быть минимизирована, обеспечивая выполнение неравенства $s(k)^T s(k) > \gamma_s$. Таким образом, для любого малого значения $\Gamma' > 0$ выполняется:

$$\Delta V_s(k) < \Gamma' s(k)^T s(k). \quad (20)$$

Это подтверждает конечную сходимости системы за время $\Delta V_s(k)$

Разработка интеллектуального контроллера на основе облака. Для реализации совместного управления в дискретных мультиагентных системах предлагается архитектура интеллектуального управления, основанная на облачных технологиях. Этот подход предоставляет ряд уникальных преимуществ. Благодаря использованию распределенных вычислений облачные системы обеспечивают обработку и хранение данных в реальном времени, что позволяет эффективно управлять задержками и снижать вычислительную нагрузку на систему. Кроме того, такие системы поддерживают применение современных алгоритмов прогнозирования для минимизации случайных потерь данных и задержек, обеспечивая надежное управление и связь даже в динамичных и непредсказуемых условиях.

В облачной сети возникают случайные сетевые задержки, например, при передаче данных от датчиков к контроллеру и от контроллера к исполнительным устройствам каждого агента. Эти задержки обозначаются как $\tau_{k,i}^{sc}$ и $\tau_{k,i}^{ca}$ соответственно. Целочисленные значения $\bar{\tau}_{k,i}^{sc}$ и $\bar{\tau}_{k,i}^{ca}$ представляют собой верхние границы для $\tau_{k,i}^{sc}$ и $\tau_{k,i}^{ca}$. Для компенсации влияния случайных сетевых задержек разработан контроллер скользящего режима высшего порядка, который обеспечивает достижение формирования, изменяющегося во времени. При проектировании системы каждый агент оснащается компенсатором в приводе и прогнозирующим контроллером, размещенным в облачном узле. Датчики фиксируют скорость и местоположение агентов в момент времени k , после чего эти данные передаются в сеть для дальнейшей обработки контроллером. Сеть использует метод прогнозирования для оценки общей случайной задержки в каждый момент времени на основе временной метки k . Этот расчет учитывает влияние таких факторов, как потеря пакетов и случайные задержки в канале связи, обеспечивая более точное управление.

Разработка многоступенчатого предиктора состояния. Последний доступный пакет данных для прогнозирующего контроллера каждого агента в момент времени k определяется как: $\zeta(k - \tau_{k,i}^{sc}) = \{p_i(k - \tau_{k,i}^{sc}), v_i(k - \tau_{k,i}^{sc})\}$, где $k - \tau_{k,i}^{sc}$ – временная метка

ка пакета, связанная с задержкой в сети $\tau_{k,i}^{sc}$ от датчика к контроллеру. На основе этих данных выполняется прогнозирование положения, скорости и поверхности скольжения для интервала от $k - \tau_{k,i}^{sc} + 1$ до $k + \bar{\tau}_{k,i}^{ca}$.

Скорость агентов оценивается с использованием формул (21)-(23):

$$\hat{p}(k - \tau_k^{sc} + 1 | k - \tau_k^{sc}) = \hat{p}(k - \tau_k^{sc} | k - \tau_k^{sc}) + \hat{v}(k - \tau_k^{sc} + 1 | k - \tau_k^{sc}) \quad (21)$$

$$\hat{p}(k - \tau_k^{sc} + 2 | k - \tau_k^{sc}) = \hat{p}(k - \tau_k^{sc} + 1 | k - \tau_k^{sc}) + \hat{v}(k - \tau_k^{sc} + 2 | k - \tau_k^{sc}) \quad (22)$$

⋮

$$\hat{p}(k + \bar{\tau}_k^{ca} | k - \tau_k^{sc}) = \hat{p}(k + \bar{\tau}_k^{ca} - 1 | k - \tau_k^{sc}) + \hat{v}(k + \bar{\tau}_k^{ca} | k - \tau_k^{sc}). \quad (23)$$

Аналогично, положение агентов вычисляется по формулам (24)-(26):

$$\hat{v}(k - \tau_k^{sc} + 1 | k - \tau_k^{sc}) = \hat{v}(k - \tau_k^{sc} | k - \tau_k^{sc}) + \hat{u}_i(k - \tau_k^{sc} | k - \tau_k^{sc}) \quad (24)$$

$$\hat{v}(k - \tau_k^{sc} + 2 | k - \tau_k^{sc}) = \hat{v}(k - \tau_k^{sc} + 1 | k - \tau_k^{sc}) + \hat{u}_i(k - \tau_k^{sc} + 1 | k - \tau_k^{sc}) \quad (25)$$

⋮

$$\begin{aligned} \hat{v}(k + \bar{\tau}_k^{ca} | k - \tau_k^{sc}) &= \hat{v}(k + \bar{\tau}_k^{ca} - 1 | k - \tau_k^{sc}) \\ &+ \hat{u}_i(k + \bar{\tau}_k^{ca} - 1 | k - \tau_k^{sc}) \end{aligned} \quad (26)$$

Прогнозируемая поверхность скольжения для момента времени k определяется формулами (27)-(30).

$$\begin{aligned} \hat{s}(k - \tau_k^{sc} | k - \tau_k^{sc}) &= \Psi(\hat{v}(k - \tau_k^{sc} | k - \tau_k^{sc}) - V_0(k - \tau_k^{sc} | k - \tau_k^{sc}) - \delta_v(k - \tau_k^{sc} | k - \\ &\tau_k^{sc}) + \hat{p}(k - \tau_k^{sc} | k - \tau_k^{sc}) - P_0(k - \tau_k^{sc} | k - \tau_k^{sc}) - \delta_p(k - \tau_k^{sc} | k - \tau_k^{sc})) \end{aligned} \quad (27)$$

$$\begin{aligned} \hat{s}(k - \tau_k^{sc} + 1 | k - \tau_k^{sc}) &= \Psi(2\hat{v}(k - \tau_k^{sc} + 1 | k - \tau_k^{sc}) - V_0(k - \tau_k^{sc} + 1 | k - \tau_k^{sc}) - \\ &\delta_v(k - \tau_k^{sc} + 1 | k - \tau_k^{sc}) + \hat{p}(k - \tau_k^{sc} + 1 | k - \tau_k^{sc}) - P_0(k - \tau_k^{sc} + 1 | k - \tau_k^{sc}) - \delta_p(k - \tau_k^{sc} + \\ &1 | k - \tau_k^{sc})) \end{aligned} \quad (28)$$

$$\begin{aligned} \hat{s}(k - \tau_k^{sc} + 2 | k - \tau_k^{sc}) &= \Psi(3\hat{v}(k - \tau_k^{sc} + 2 | k - \tau_k^{sc}) + 3\hat{u}(k - \tau_k^{sc} + 2 | k - \tau_k^{sc}) + 2\hat{u}(k - \tau_k^{sc} + \\ &2 | k - \tau_k^{sc}) - V_0(k - \tau_k^{sc} + 2 | k - \tau_k^{sc}) - \delta_v(k - \tau_k^{sc} + 2 | k - \tau_k^{sc}) + \hat{p}(k - \tau_k^{sc} + 2 | k - \\ &\tau_k^{sc}) - P_0(k - \tau_k^{sc} + 2 | k - \tau_k^{sc}) - \delta_p(k - \tau_k^{sc} + 2 | k - \tau_k^{sc})) \end{aligned} \quad (29)$$

⋮

$$\begin{aligned} \hat{s}(k + \bar{\tau}_k^{ca} | k - \tau_k^{sc}) &= \Psi(2\hat{v}(k + \bar{\tau}_k^{ca} - 1 | k - \tau_k^{sc}) + 2\hat{u}(k + \bar{\tau}_k^{ca} - 1 | k - \tau_k^{sc}) - \\ &V_0(k + \bar{\tau}_k^{ca} | k - \tau_k^{sc}) - \delta_v(k + \bar{\tau}_k^{ca} | k - \tau_k^{sc}) + \hat{p}(k + \bar{\tau}_k^{ca} - 1 | k - \tau_k^{sc}) - P_0(k + \bar{\tau}_k^{ca} | k - \\ &\tau_k^{sc}) - \delta_p(k + \bar{\tau}_k^{ca} | k - \tau_k^{sc})). \end{aligned} \quad (30)$$

Компактная форма этой поверхности представлена уравнением (31):

$$\begin{aligned} \hat{S}(k + 1 | k - \tau_k^{sc}) &= \Psi(-V_{0\kappa}(k + 1 | k - \tau_k^{sc}) - P_{0\kappa}(k + 1 | k - \tau_k^{sc}) \\ &- \delta_{v\kappa}(k | k - \tau_k^{sc}) - \delta_{p\kappa}(k | k - \tau_k^{sc}) \\ &+ \Pi \hat{V}_\kappa(k | k - \tau_k^{sc}) + \hat{P}_\kappa(k | k - \tau_k^{sc}) + \Upsilon \hat{u}_\kappa(k | k - \tau_k^{sc})) \end{aligned} \quad (31)$$

где

$$\begin{aligned} \hat{S}(k + 1) &= [\hat{s}(k - \tau_k^{sc} + 1)^T, \hat{s}(k - \tau_k^{sc} + 2)^T, \dots, \hat{s}(k + \bar{\tau}_k^{ca})^T]^T, \\ V_{0\kappa}(k + 1) &= [V_0(k - \tau_k^{sc} + 1)^T, V_0(k - \tau_k^{sc} + 2)^T, \dots, V_0(k + \bar{\tau}_k^{ca})^T]^T, \\ P_{0\kappa}(k + 1) &= [P_0(k - \tau_k^{sc} + 1)^T, P_0(k - \tau_k^{sc} + 2)^T, \dots, P_0(k + \bar{\tau}_k^{ca})^T]^T, \\ \hat{\delta}_{p\kappa}(k + 1) &= [\hat{\delta}_p(k - \tau_k^{sc} + 1)^T, \hat{\delta}_p(k - \tau_k^{sc} + 2)^T, \dots, \hat{\delta}_p(k + \bar{\tau}_k^{ca})^T]^T, \\ \hat{\delta}_{v\kappa}(k + 1) &= [\hat{\delta}_v(k - \tau_k^{sc} + 1)^T, \hat{\delta}_v(k - \tau_k^{sc} + 2)^T, \dots, \hat{\delta}_v(k + \bar{\tau}_k^{ca})^T]^T, \\ \Pi &= \text{diag}\{2, 3, \dots, \bar{\tau}_k^{ca}\}, \\ \hat{V}_\kappa(k) &= [\hat{v}(k - \tau_k^{sc})^T, \hat{v}(k - \tau_k^{sc} + 1)^T, \dots, \hat{v}(k + \bar{\tau}_k^{ca} - 1)^T]^T, \\ \hat{u}_\kappa(k) &= [\hat{u}(k - \tau_k^{sc})^T, \hat{u}(k - \tau_k^{sc} + 1)^T, \dots, \hat{u}(k + \bar{\tau}_k^{ca} - 1)^T]^T, \\ \hat{P}_\kappa(k) &= [\hat{p}(k - \tau_k^{sc})^T, \hat{p}(k - \tau_k^{sc} + 1)^T, \dots, \hat{p}(k + \bar{\tau}_k^{ca} - 1)^T]^T, \end{aligned}$$

$$Y(k) = \begin{bmatrix} 2 & 0 & \dots & 0 \\ 3 & 2 & \dots & 0 \\ \vdots & \vdots & \vdots & \ddots \\ k + \bar{\tau}_k^{ca} & \bar{\tau}_k^{ca} & \dots & 2 \end{bmatrix}.$$

Используя метод прогнозирования и закон достижения, поверхность скольжения для k -го временного шага определяется как:

$$S(k+1) = -K_{1,k}\Omega_1(k) - K_{3,k}\bar{\xi}(k) - K_{2,k}\Omega_2(k), \quad (32)$$

где $K_{1,k} = \text{diag}\{k_1, k_1, \dots, k_1\}$, $K_{2,k} = \text{diag}\{k_2, k_2, \dots, k_2\}$, $K_{3,k} = \text{diag}\{k_3, k_3, \dots, k_3\}$,

$$\Omega_1(k) = \begin{bmatrix} |s(k)|^{\frac{1}{2}} \text{sing}(s(k)) \\ |s(k+1)|^{\frac{1}{2}} \text{sing}(s(k+1)) \\ \vdots \\ |s(k + \bar{\tau}_k^{sa})|^{\frac{1}{2}} \text{sing}(s(k + \bar{\tau}_k^{sa})) \end{bmatrix},$$

$$\Omega_2(k) = [\text{sing}(s(k-1)) \text{sing}(s(k)) \dots \text{sing}(s(k + \bar{\tau}_k^{sa} - 1))]^T, \\ \bar{\xi}(k) = [\xi(k-1) \xi(k) \dots \xi(k + \bar{\tau}_k^{sa})]^T.$$

После дополнительных вычислений закон управления мультиагентной системой, учитывающий случайные задержки в сети, принимает вид:

$$\hat{u}_k(k) = \frac{1}{\gamma\varphi} \left(-K_{1,k}\Omega_1(k|k - \tau_k^{sc}) - K_{3,k}\bar{\xi}(k|k - \tau_k^{sc}) - \sigma K_{2,k}\Omega_2(k|k - \tau_k^{sc}) \right) + \\ V_{0k}(k+1|k - \tau_k^{sc}) + P_{0k}(k+1|k - \tau_k^{sc}) + \delta_{vk}(k|k - \tau_k^{sc}) + \delta_{vk}(k|k - \tau_k^{sc}) - \\ \Pi\hat{V}_k(k|k - \tau_k^{sc}) - \hat{P}_k(k|k - \tau_k^{sc}) \quad (33)$$

Система является асимптотически устойчивой, что подтверждается анализом устойчивости замкнутой системы, аналогичным расчетам, выполненным в разделе II-B.

Результаты моделирования. Рассмотрим дискретную систему второго порядка, состоящую из одного лидера (обозначенного как 0) и пяти последователей (обозначенных как 1, 2, ..., 5). Предполагается, что траектория движения лидера известна всем последователям. Начальные положения последователей и лидера заданы следующим образом: $p_1 = [-3 \ -3]^T$, $p_2 = [0 \ -3]^T$, $p_3 = [0 \ -1]^T$, $p_4 = [-3 \ 0]^T$, $p_5 = [-5 \ 0]^T$, и $p_0 = [0 \ 0]^T$. Начальная скорость лидера определяется как $v_0 = [0.7 \ 0.7]^T$. Для каждого последователя заданы желаемые расстояния разделения относительно лидера: $\delta_{p1} = [0 \ -2]^T$, $\delta_{p2} = [-4 \ 4]^T$, $\delta_{p3} = [-2 \ 2]^T$, $\delta_{p4} = [2 \ -2]^T$ и $\delta_{p5} = [4 \ -4]^T$. Также определены требуемые скорости разделения, зависящие от времени t : $\delta_{v1} = [0 \ 0]^T$, $\delta_{v2} = [-4 \ \cos(2t) \ 4 \ \cos(2t)]^T$, $\delta_{v3} = [-2 \ \cos(2t) \ 2 \ \cos(2t)]^T$, $\delta_{v4} = [2 \ \cos(2t) \ -2 \ \cos(2t)]^T$ и $\delta_{v5} = [4 \ \cos(2t) \ -4 \ \cos(2t)]^T$. Параметры контроллера выбраны следующим образом: $k_1 = 20$ и $k_2 = 0.1$. Период выборки составляет $\sigma = 1$ с. В системе присутствуют случайные задержки связи, которые для каждого последователя находятся в следующих диапазонах: $\tau_1^{sc} \in [1 \ 3]^T$, $\tau_2^{sc} \in [1 \ 2]^T$, $\tau_3^{sc} \in [2 \ 3]^T$, $\tau_4^{sc} \in [2 \ 3]^T$, $\tau_5^{sc} \in [2 \ 4]$, $\tau_5^{sc} \in [3 \ 4]^T$. Аналогично, для асинхронных задержек τ^{sa} : $\tau_1^{sa} \in [1 \ 3]$, $\tau_2^{sa} \in [1 \ 2]^T$, $\tau_3^{sa} \in [2 \ 3]^T$, $\tau_4^{sa} \in [2 \ 4]^T$, $\tau_5^{sa} \in [3 \ 4]^T$.

Моделирование системы выполняется в среде MATLAB.

На рис. 2 изображена траектория движения каждого робота. Пять роботов-последователей синхронизируют свои движения с траекторией лидера, формируя изменяющуюся во времени структуру после переходного периода длительностью 10,3 секунды. После того как желаемая траектория достигнута, предложенный алгоритм управления переводит роботов-последователей на фиксированную траекторию, сохраняя при этом заданное формирование. Благодаря использованию метода прогнозирования облачности система успешно поддерживает это формирование на протяжении всего моделирования, несмотря на влияние случайных задержек.

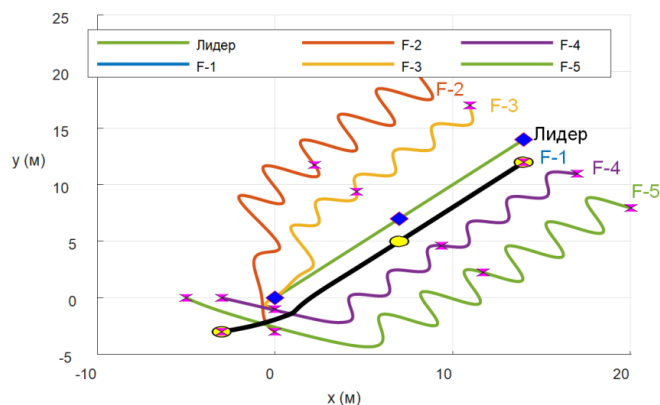


Рис. 2. Формирование времени с использованием предложенного подхода

Желаемые различия в расстояниях между агентами $\delta_{p,i}$ наглядно представлены на рис. 3. Это демонстрирует, что система "лидер-последователи" успешно достигла целевой конфигурации. Изначально между лидером и последователями наблюдались значительные расстояния, однако благодаря предлагаемым контроллерам агенты постепенно сближаются до необходимых интервалов и сохраняют их на протяжении оставшейся части пути, учитывая возникающие задержки.

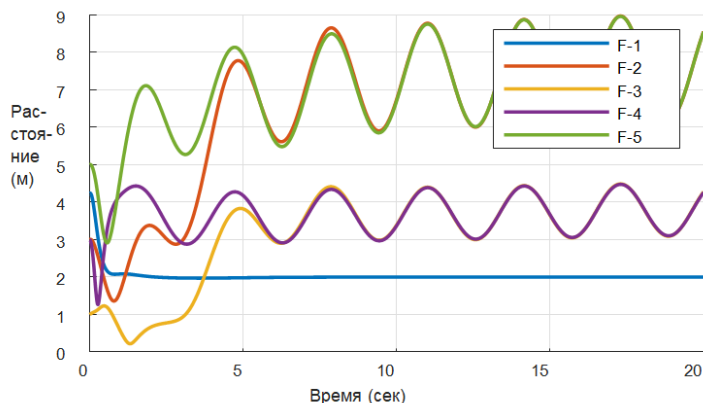


Рис. 3. Относительное расстояние последователей от лидера

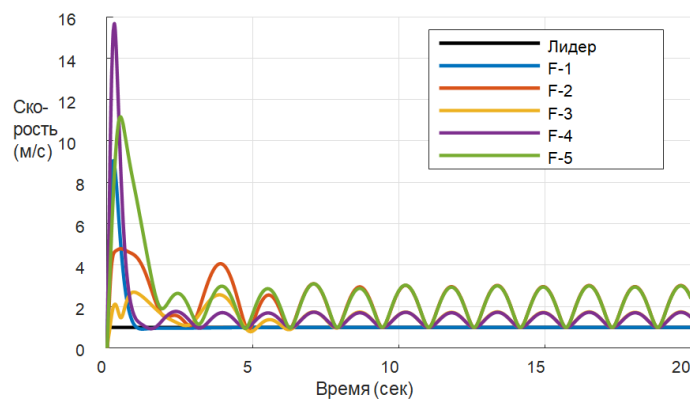


Рис. 4. Управляющий ввод последователей

На рис. 4 представлены управляющие входные данные лидера и последователей в виде скоростей. Несмотря на наличие задержек, выходные сигналы контроллера не демонстрируют признаков дребезжания. Это подтверждает, что управление скользящим режимом более высокого порядка эффективно снижает дребезжание по сравнению с управлением скользящим режимом первого порядка. Предложенный контроллер был протестирован при различных скоростях и маневрах, включая повороты. Поверхности скольжения для последователей показаны на рис. 5. Результаты демонстрируют, что характерным точкам агентов требуется около 10,3 секунды для достижения поверхностей скольжения. Достижение режима скольжения сигнализируется выполнением условия $s_i(k) = 0$ за конечное время.

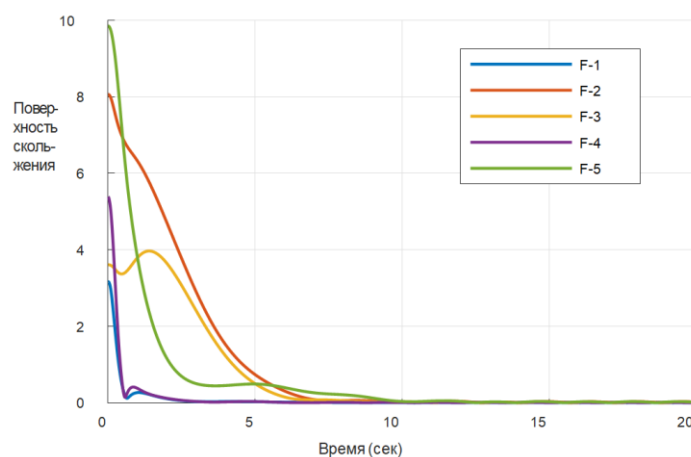


Рис. 5. Поверхность скольжения

Результаты моделирования показывают, что формирование изменяющейся во времени структуры достигается за конечное время благодаря использованию контроллера скользящего режима более высокого порядка. Предложенный подход обеспечивает более быстрое достижение целевой конфигурации, а также эффективно справляется с явлением дребезжания, улучшая качество управления.

Заключение. В статье рассмотрена задача управления мультиагентной роботизированной системой второго порядка с дискретным временем в условиях сетевых задержек. Результаты моделирования в MATLAB демонстрируют высокую эффективность предложенного подхода: система из пяти последователей и одного лидера достигает желаемого формирования за 10,3 секунды и успешно поддерживает его при наличии случайных сетевых задержек. По сравнению с традиционными методами управления первого порядка, новый подход показывает значительно улучшенные характеристики, особенно в части снижения эффекта дребезжания в сигналах управления. Использование облачных технологий позволяет эффективно обрабатывать большие объемы данных в реальном времени и реализовывать сложные алгоритмы прогнозирования без перегрузки локальных вычислительных ресурсов агентов. Полученные результаты подтверждают перспективность применения предложенного подхода для управления мультиагентными системами в условиях реальных сетевых ограничений. Работа также демонстрирует возможность использования методов прогнозирования для компенсации случайных потерь пакетов и задержек связи, что обеспечивает надежное управление и связь в динамичных, непредсказуемых ситуациях. Предложенный подход к управлению мультиагентными системами показал свою эффективность и перспективность для применения в условиях реальных сетевых ограничений. Полученные результаты создают основу для дальнейшего развития методов управления распределенными системами в условиях неопределенности и сетевых возмущений.

Исследование выполнено за счет гранта Российского научного фонда № 23-79-01326 <https://rscf.ru/project/23-79-01326/> с использованием оборудования Центра высоких технологий БГТУ им. В.Г. Шухова.

БИБЛИОГРАФИЧЕСКИЙ СПИСОК

1. Назарова А.В., Рыжова Т.П. Методы и алгоритмы мультиагентного управления робототехнической системой // Инженерный журнал: наука и инновации. – 2012. – № 6 (6). – С. 93-105.
2. Naserian M., Ramazani A., Khaki A., Moarefiانpour A. Leader–follower consensus control for a nonlinear multi-agent robot system with input saturation and external disturbance // Systems Science & Control Engineering. – 2021. – Vol. 9 (1). – P. 260-271.
3. Xiong F., Zhang Y., Kuang X., He L., Han X. Multi-agent dual actor-critic framework for reinforcement learning navigation // Applied Intelligence. – 2024. – Vol. 55 (2). – P. 104-124.
4. Ahmed S., Karsiti M., Loh R. Multiagent Systems // InTech. – 2009. – P. 428.
5. Mousavi A., Davaie Markazi A. H. A new control method for leader-follower consensus problem of uncertain constrained nonlinear multi-agent systems // Journal of the Franklin Institute. – 2024. – Vol. 361 (9).
6. Behera L., Rybak L., Malyshev D.I., Khalapyan S. Numerical simulation of the workspace of robots with moving bases in the multi-agent system // Procedia Computer Science. – 2021. – Vol. 186 (6). – P. 431-439.
7. Nandanwar A., Dhar N.K., Malyshev D., Rybak L., Behera L. Finite-Time Robust Admissible Consensus Control of Multirobot System under Dynamic Events // IEEE Systems Journal. – 2021. – Vol. 15 (1). – P. 780-790.
8. Kim J. Three-dimensional multi-robot control to chase a target while not being observed // International Journal of Advanced Robotic Systems. – 2019. – Vol. 16 (1). – P. 1-11.
9. Azid S., Raghuwaiya K., Javed A., Kumari E. Autonomous Leader–Follower Formation of Vehicular Robots Using the Lyapunov Method // Unmanned Systems. – 2022. – Vol. 12 (01). – P. 75-85.
10. Yang H., Li S., Yang L., Ding Z. Leader-Following Consensus of Fractional-Order Uncertain Multi-Agent Systems with Time Delays // Neural Processing Letters. – 2022. – Vol. 54 (6). – P. 4829-4849.
11. Chen B., Qi X., Li C., Qi X., Ma H. Observer-Based Distributed Adaptive Consensus Tracking of Nonlinear Multi-agent Systems on Directed Graphs // IEEE Access. – 2022. – Vol. PP (99). – P. 1-1.
12. Ma J., Sun D., Haibo J., Feng G. Leader-following consensus of multi-agent systems with limited data rate // Journal of the Franklin Institute. – 2016. – Vol. 354 (1). – P. 184-196.
13. Kim J. Three dimensional motion camouflage guidance utilizing multiple leaders and one interceptor // IET Radar, Sonar & Navigation. – 2021. – Vol. 16 (3). – P. 617-631.
14. Ramachandran R., Fronda N., Preiss J., Dai Z., Sukhatme G. Resilient Multi-Robot Multi-Target Tracking // IEEE Transactions on Automation Science and Engineering. – 2024. – Vol. 21 (3). – P. 1-17.
15. Rehak B., Lynnyk A., Lynnyk V. Synchronization of Multi-Agent Systems Composed of Second-Order Underactuated Agents // Mathematics. – 2024. – Vol. 12 (21). – P. 3424.
16. Kou L., Huang Y., Zuo G., Jian L., Dou Y. Fixed-time rotating consensus control of second-order multi-agent systems // International Journal of Robust and Nonlinear Control. – 2024. – Vol. 34 (18). – P. 12031-12049.
17. Chen J., Yang Y., Qin S. A Distributed Optimization Algorithm for Fixed-Time Flocking of Second-Order Multiagent Systems // IEEE Transactions on Network Science and Engineering. – 2023. – Vol. 11 (1). – P. 152-162.
18. Yin Y, Shi Y, Liu F, [et al.]. Second-order consensus for heterogeneous multi-agent systems with input constraints // Neurocomputing. – 2019. – Vol. 351. – P. 43-50.
19. Nataliia Y., Zababurin K. Matrix Laplace transform // Boletín de la Sociedad Matemática Mexicana. – 2023. – Vol. 29 (3). – P. 1-21.
20. Olson N., Andrews J. A Matrix Exponential Generalization of the Laplace Transform of Poisson Shot Noise // IEEE Transactions on Information Theory. – 2024. – Vol. 71 (1). – P. 396-412.
21. Bouchenak A., Horani M. Al H., Younis J. [et al.]. Fractional Laplace transform for matrix valued functions with applications // Arab Journal of Basic and Applied Sciences. – 2022. – Vol. 29 (1). – P. 330-336.
22. Rani D., Mishra V. Laplace Transform Inversion using Bernstein Operational Matrix of Integration and its Application to Differential and Integral Equations // Proceedings Mathematical Sciences. – 2020. – Vol. 130 (1). – P. 60-89.

REFERENCES

1. Nazarova A.V., Ryzhova T.P. Metody i algoritmy multiagentnogo upravleniya robototekhnicheskoy sistemoi [Methods and algorithms of multi-agent control of a robotic system], *Inzhenernyy zhurnal: nauka i innovatsii* [Engineering Journal: Science and Innovation], 2012, No. 6 (6), pp. 93-105.
2. Naserian M., Ramazani A., Khaki A., Moarefiانpour A. Leader-follower consensus control for a non-linear multi-agent robot system with input saturation and external disturbance, *Systems Science & Control Engineering*, 2021, Vol. 9 (1), pp. 260-271.
3. Xiong F., Zhang Y., Kuang X., He L., Han X. Multi-agent dual actor-critic framework for reinforcement learning navigation, *Applied Intelligence*, 2024, Vol. 55 (2), pp. 104-124.
4. Ahmed S., Karsiti M., Loh R. Multiagent Systems, *InTech*, 2009, pp. 428.
5. Mousavi A., Davaie Markazi A. H. A new control method for leader-follower consensus problem of uncertain constrained nonlinear multi-agent systems, *Journal of the Franklin Institute*, 2024, Vol. 361 (9).
6. Behera L., Rybak L., Malyshev D.I., Khalapyan S. Numerical simulation of the workspace of robots with moving bases in the multi-agent system, *Procedia Computer Science*, 2021, Vol. 186 (6), pp. 431-439.
7. Nandanwar A., Dhar N.K., Malyshev D., Rybak L., Behera L. Finite-Time Robust Admissible Consensus Control of Multirobot System under Dynamic Events, *IEEE Systems Journal*, 2021, Vol. 15 (1), pp. 780-790.
8. Kim J. Three-dimensional multi-robot control to chase a target while not being observed, *International Journal of Advanced Robotic Systems*, 2019, Vol. 16 (1), pp. 1-11.
9. Azid S., Raghuvaiya K., Javed A., Kumari E. Autonomous Leader-Follower Formation of Vehicular Robots Using the Lyapunov Method, *Unmanned Systems*, 2022, Vol. 12 (01), pp. 75-85.
10. Yang H., Li S., Yang L., Ding Z. Leader-Following Consensus of Fractional-Order Uncertain Multi-Agent Systems with Time Delays, *Neural Processing Letters*, 2022, Vol. 54 (6), pp. 4829-4849.
11. Chen B., Qi X., Li C., Qi X., Ma H. Observer-Based Distributed Adaptive Consensus Tracking of Non-linear Multi-agent Systems on Directed Graphs, *IEEE Access*, 2022, Vol. PP (99), pp. 1-1.
12. Ma J., Sun D., Haibo J., Feng G. Leader-following consensus of multi-agent systems with limited data rate, *Journal of the Franklin Institute*, 2016, Vol. 354 (1), pp. 184-196.
13. Kim J. Three dimensional motion camouflage guidance utilizing multiple leaders and one interceptor, *IET Radar, Sonar & Navigation*, 2021, Vol. 16 (3), pp. 617-631.
14. Ramachandran R., Fronda N., Preiss J., Dai Z., Sukhatme G. Resilient Multi-Robot Multi-Target Tracking, *IEEE Transactions on Automation Science and Engineering*, 2024, Vol. 21 (3), pp. 1-17.
15. Rehak B., Lynnyk A., Lynnyk V. Synchronization of Multi-Agent Systems Composed of Second-Order Underactuated Agents, *Mathematics*, 2024, Vol. 12 (21), pp. 3424.
16. Kou L., Huang Y., Zuo G., Jian L., Dou Y. Fixed-time rotating consensus control of second-order multi-agent systems, *International Journal of Robust and Nonlinear Control*, 2024, Vol. 34 (18), pp. 12031-12049.
17. Chen J., Yang Y., Qin S. A Distributed Optimization Algorithm for Fixed-Time Flocking of Second-Order Multiagent Systems, *IEEE Transactions on Network Science and Engineering*, 2023, Vol. 11 (1), pp. 152-162.
18. Yin Y, Shi Y, Liu F, [et al.]. Second-order consensus for heterogeneous multi-agent systems with input constraints, *Neurocomputing*, 2019, Vol. 351, pp. 43-50.
19. Natalia Y., Zababurin K. Matrix Laplace transform, *Boletin de la Sociedad Matemática Mexicana*, 2023, Vol. 29 (3), pp. 1-21.
20. Olson N., Andrews J. A Matrix Exponential Generalization of the Laplace Transform of Poisson Shot Noise, *IEEE Transactions on Information Theory*, 2024, Vol. 71 (1), pp. 396-412.
21. Bouchenak A., Horani M. Al H., Younis J. [et al.]. Fractional Laplace transform for matrix valued functions with applications, *Arab Journal of Basic and Applied Sciences*, 2022, Vol. 29 (1), pp. 330-336.
22. Rani D., Mishra V. Laplace Transform Inversion using Bernstein Operational Matrix of Integration and its Application to Differential and Integral Equations, *Proceedings Mathematical Sciences*, 2020, Vol. 130 (1), pp. 60-89.

Нанданвар Анудж – Индийский технологический институт Манди; e-mail: anujnandanwar@gmail.com; Парашар-роуд, Техсил-Садар, недалеко от Катаулы, Каманд, Химачал-Прадеш; тел.: +918989021051; доктор PhD; научный сотрудник.

Рыбак Лариса Александровна – Федеральный исследовательский центр «Информатики и управления» Российской академии наук; e-mail: rlbgtu@gmail.com; г. Москва, Россия; тел.: +79511307230; д.т.н.; г.н.с.

Дьяконов Дмитрий Алексеевич – Белгородский государственный технологический университет им. В.Г. Шухова; e-mail: furno.xl@yandex.ru; г. Белгород, Россия; тел.: +79606958167; инженер-исследователь.

Nandanwar Anuj – Indian Institute of Technology Mandi; e-mail: anujnandanwar@gmail.com; Parashar Road, Tehsil Sadar, Near Kataula, Kamand, Himachal Pradesh; phone: +918989021051; PhD; research associate.

Rybak Larisa Alexandrovna – Federal Research Center “Computer Science and Control” of the Russian Academy of Sciences (FRC CSC RAS); e-mail: rlbgtu@gmail.com; Moscow, Russia; phone: +79511307230; dr. of eng. sc.; chief researcher.

Dyakonov Dmitry Alekseevich – Belgorod State Technological University named after V.G. Shukhov; e-mail: furno.xl@yandex.ru; Belgorod, Russia; phone: +79606958167; research engineer.

УДК 007.51

DOI 10.18522/2311-3103-2025-5-83-93

Д.Г. Макоева, И.Р. Тлупов, А.О. Шогенов

ЕСТЕСТВЕННО-ЯЗЫКОВОЕ УПРАВЛЕНИЕ СТРОИТЕЛЬНЫМИ РОБОТЕХНИЧЕСКИМИ СИСТЕМАМИ

Исследование нацелено на исследование потенциала систем управления строительными роботами посредством естественного языка. Именно отсутствие надежных систем обработки естественного языка служит тем сдерживающим фактором, что не дает интеллектуальной робототехнике в полной мере раскрыть свои потенциал. Работа дает обзор современных роботизированных строительных систем, которые используются для облегчения и улучшения строительных и инженерных процессов и задач. Объединяет эти все системы отсутствие естественно-языкового управления. В настоящей статье мы представляем принципы, алгоритмы и методы, позволяющие интеллектуальному агенту проникать в суть контекста ситуации, разворачивающейся на поле строительных и инженерных задач. В основе подхода лежит мультиагентная нейрокогнитивная архитектура, служащая своеобразным инструментом для моделирования процесса автоматической интерпретации фраз, взятых из ограниченного подмножества естественного языка. Чтобы интеллектуальный агент смог верно интерпретировать входящее сообщение, ему необходимо безошибочно определить условия, действия, свойства и отношения, имеющие место в системе «интеллектуальный агент – окружающая среда». Только после этого агент обретает способность интерпретировать контекст текущего диалога и генерировать высказывания, необходимые для проектирования кооперативного поведения, направленного на совместное преодоление технических преград. Одной из наиболее распространенных задач, требующих своего решения в быстроразвивающейся области робототехники, является разработка диалоговой системы управления, способной координировать совместное человеко-машинное поведение и интерпретировать цели и условия миссий, изложенные на естественном языке. Система управления, опирающаяся на естественный язык, является неотъемлемой частью интеллектуальной системы, фундаментом которой служит самоорганизующаяся мультиагентная нейрокогнитивная архитектура. Ее главная цель – наладить беспрепятственное общение между человеко-машинными коллективами, для того чтобы они могли совместно ставить, описывать и успешно выполнять сложные строительные задачи. основополагающим элементом подхода является мультиагентность, позволяющая системе принятия решений робота быть гибкой, адаптивной и непрерывно расширять диапазон своих знаний, генерируя вопросы, необходимые для дальнейшей работы.

Мультиагентная система; нейрокогнитивная архитектура; естественно-языковое управление; робототехнические системы.

D.G. Makoeva, I.R. Tlupov, A.O. Shogenov

NATURAL LANGUAGE CONTROL OF CONSTRUCTION ROBOTIC SYSTEMS

The study aims to investigate the potential of natural language control systems for construction robots. It is the lack of reliable natural language processing systems that serves as a limiting factor that prevents intelligent robotics from fully realizing its potential. The work provides an overview of modern robotic construction systems that are used to facilitate and improve construction and engineering processes and tasks. What unites all these systems is the lack of natural language control. In this paper, we present principles, algorithms, and methods that allow an intelligent agent to penetrate the essence of the context of a situation unfolding in the field of construction and engineering tasks. The approach is based

on a multi-agent neurocognitive architecture, which serves as a kind of tool for modeling the process of automatic interpretation of phrases taken from a limited subset of natural language. In order for an intelligent agent to correctly interpret an incoming message, it must accurately determine the conditions, actions, properties, and relationships that take place in the "intelligent agent - environment" system. Only then does the agent gain the ability to interpret the context of the current dialogue and generate statements necessary for designing cooperative behavior aimed at jointly overcoming technical obstacles. One of the most common problems requiring a solution in the rapidly developing field of robotics is the development of a dialogue control system capable of coordinating joint human-machine behavior and interpreting goals and mission conditions set out in natural language. A control system based on natural language is an integral part of an intelligent system, the foundation of which is a self-organizing multi-agent neurocognitive architecture. Its main goal is to establish seamless communication between human-machine teams so that they can jointly set, describe and successfully complete complex construction tasks. The fundamental element of the approach is multi-agency, which allows the robot's decision-making system to be flexible, adaptive and continuously expand the range of its knowledge, generating questions necessary for further work.

Multi-agent system; neurocognitive architecture; natural language control; robotic systems.

Введение. По данным Всемирного экономического форума, в настоящее время глобальная строительная отрасль является отраслью стоимостью 15 триллионов долларов, что составляет около 10% валового внутреннего продукта (ВВП). В настоящее время многие отрасли (например, здравоохранение, биомедицина и т.д.) вложили значительные средства в изучение и внедрение цифровых технологий и искусственного интеллекта (ИИ) для повышения своей производительности и продуктивности, а также создания новых бизнес-возможностей. Строительная отрасль является одной из крупнейших отраслей, она также инвестировала достаточно времени, усилий и ресурсов для перехода к цифровым технологиям для достижения более высокой производительности и эффективности.

Строительные роботы используют передовые технологии для более точного выполнения задач, для получения более качественных результатов и меньшего количества ошибок. В сфере гражданского и промышленного строительства произошла революция, что привело к значительному улучшению в области строительной робототехники. Эти передовые роботы предназначены для более точной обработки сложных задач на строительных площадках [1, 2]. В отличие от обычных методов строительства, которые преимущественно основаны на ручном труде, строительные роботы представляют преимущества с точки зрения повышения точности, эффективности и безопасности [3]. Оборудованные современными датчиками [4], актуаторами [5] и когнитивными алгоритмами [6], эти роботы превосходно ориентируются на сложных объектах, выдерживают значительные нагрузки и выполняют сложные задачи с минимальным человеческим контролем. Развитие строительной робототехники обещает сокращение несчастных случаев и травм на объекте с помощью промышленных беспилотных летательных аппаратов (БПЛА), которые могут выполнять опасные или физически тяжелые для людей работы [7, 8].

С точки зрения экономии затрат и контроля бюджета строительные роботы привлекли интерес строительных организаций из-за потенциала для увеличения производства при одновременном снижении затрат на рабочую силу [9]. Улучшенное использование ресурсов в результате их внедрения приводит к возможной экономии затрат и сокращению продолжительности проектов. Строительные роботы могут изменить методы строительства, улучшить рабочие процессы и повысить общую конкурентоспособность сектора. Строительные дроны также относительно универсальны и находят применение в различных строительных работах, таких как выемка грунта, укладка бетона, сварка и инспекция. Их эксплуатационная гибкость при выполнении работ, которые были бы трудными или опасными для человека, открывает новые возможности для строительных проектов [10]. В социальной системе, которая ставит на первое место благополучие людей, реализация мер безопасности для людей-работников считается существенной инвестицией на строительных площадках. Более того, строительные роботы могут работать в сложных условиях, таких как опасные строительные площадки или удаленные места, без спе-

специализированных защитных мер. Эта возможность значительно снижает финансовое бремя, связанное с реализацией мер предосторожности в этих экстремальных зонах. В связи с этим строительные роботы имеют значительную ценность для внедрения экономически эффективных и экологически безопасных методологий строительства.

В дополнение к их эксплуатационным преимуществам, строительные роботы способствуют устойчивости в строительном секторе [11]. Их стабильная работа сокращает количество ошибок и отходов, тем самым снижается негативное воздействие строительных проектов на окружающую среду [12].

Одна из самых востребованных сфер применения строительной робототехники – кладка кирпича. Такие роботы, как SAM (Semi-Automated Mason, полуавтоматический каменщик), могут укладывать кирпичи в несколько раз быстрее, чем люди, обеспечивая высокую точность [13, 14].

Строительные роботы могут поднимать тяжести, тем самым снижая усталость рабочих и минимизируя связанные с этим ошибки. Роботы, оснащенные технологией 3D-печати, производят революцию в строительстве. Эти системы могут «печатать» целые конструкции слой за слоем, создавая сложные формы, которые было бы трудно или невозможно достичь с помощью традиционных методов. Такие компании, как ICON и Apis Cor [15, 16], стали пионерами в области 3D-печати домов и коммерческих конструкций.

Задачи по сносу зданий, который зачастую являются опасными и трудоемкие, все чаще выполняются роботами. Такие демонтажные роботы как Brokk [17], могут безопасно демонтировать конструкции, работать в ограниченном пространстве и точно обращаться с тяжелыми инструментами, обеспечивая безопасность работников.

Сварка в строительстве часто связана с точностью и опасностью, особенно в условиях высокой нагрузки, таких как судостроение или строительство небоскребов. Роботы-сварщики могут выполнять эти задачи точно и последовательно. В модульном строительстве роботизированные сборочные линии обеспечивают точное соединение компонентов, улучшая общую целостность конструкции [18].

Дроны и роботизированные гусеничные машины используются для осмотра и обслуживания зданий. Оснащенные камерами и датчиками высокой четкости, эти роботы могут выявлять структурные проблемы, следить за ходом работ и выполнять работы по техническому обслуживанию, такие как очистка или герметизация трещин, даже в недоступных местах [13].

Автономные роботы и транспортные средства оптимизируют транспортировку материалов на строительных площадках. Автоматизированные погрузчики, роботизированные краны и конвейерные системы могут эффективно перемещать тяжелые материалы, сокращая задержки и оптимизируя рабочие процессы [13].

Естественно-языковой интерфейс к интеллектуальной строительной робототехнике на основе мультиагентного подхода. В настоящее время существует ряд проблем, связанных с развитием интеллектуальной строительной робототехники, которые обусловлены отсутствием надежных систем распознавания и понимания речи. Внедрение сложных информационных технологий требует изменения подходов к управлению автоматизированными системами для обеспечения их более эффективного использования.

Потребность в речевом общении с компьютерами и роботами является естественной и часто необходимой. Она стимулируется не только стремлением разработчиков создать комфортные условия для пользователей, но и существованием областей, где голосовые команды могут быть наиболее подходящими или даже единственно возможными в определенных ситуациях.

К настоящему времени разработаны системы распознавания и понимания речи, которые внедрены не только в программных, но и в роботизированных агентов. Однако эти системы демонстрируют высокую точность распознавания и релевантность синтеза высказываний в режиме персонального диалога с пользователем, но снижают свою эффективность в зашумленной среде [19–33].

Для решения этой проблемы в [34–36] предложены методы и алгоритмы динамической фокусировки внимания автономных программных агентов на словах и фразах, определяющих контекст конкретного диалога. Эти методы основаны на самоорганизации управляющей мультиагентной нейрокогнитивной архитектуры таких агентов.

Мультиагентная нейрокогнитивная архитектура представляет собой систему, состоящую из множества интеллектуальных агентов-нейронов, взаимодействующих друг с другом посредством контрактов.

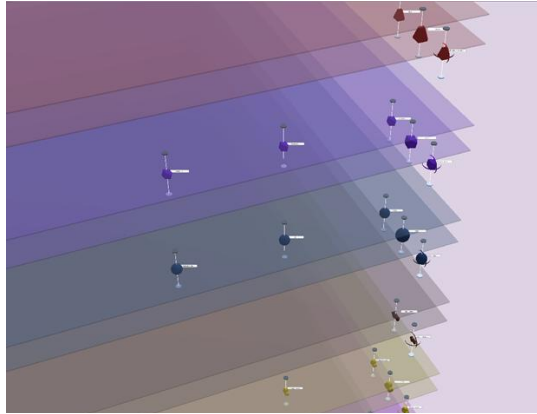


Рис. 1. Мультиагентная нейрокогнитивная архитектура

Контракты необходимы для достижения общесистемных целей, а также для взаимодействия с внешней средой и получения дополнительной энергии. В данном контексте энергия рассматривается как целевая функция агента в задаче максимизации продолжительности его жизни при ограничениях, накладываемых внешней средой. Под контрактом понимается зависимость, которая возникает и развивается, когда агенты берут на себя обязательства друг перед другом на условиях взаимовыгодного обмена энергией на знания.

Агенты-нейроны \aleph_i^j , где i – название агента, j – тип агента, для достижения внутренней цели,

$$Z = E(s_{it_c}^j) \xrightarrow{a_{it_c}^j} \max, \quad (1)$$

направленной на увеличение собственной энергии E , поддерживают взаимодействие друг с другом посредством отправки естественно-языковых сообщений. В (1) $s_{it_c}^j$ – это особая ситуация, в которой оказался агент в момент времени t_c , $a_{it_c}^j$ – это действия, которые нужно совершить, чтобы из текущей ситуации перейти к ситуации, которая приведет к увеличению энергии [36–40]. Коммуникация между агентами происходит в соответствии с договорными обязательствами – «мультиагентный контракт [36–40]. Контракт – это алгоритм, согласно которому агент-нейрон \aleph_i^j типа j делает рассылку сообщений всем агентам-нейронам \aleph_i^l типа l , в соответствии со списком рассылки m_{iq}^l . Агент \aleph_i^j получает вознаграждение в виде энергии e_n^j за заключенный контракт с агентом \aleph_i^l . Энергия – безразмерная величина. При этом возникает мультиагентное экзистенциальное отображение или ν – отображение (айн-отображение), согласно которому агенты на запрос контрагентов сообщают требуемую информацию в обмен на энергию [36–40]. Такое отображение записывается в виде

$$\aleph_i^j = \nu(\aleph_i^l) \quad (2)$$

Каждый агент-нейрон обладает собственной базой знаний, на основе которой он функционирует. Знания агента представляют собой продукцию, условная часть которой определяет начальную и конечную ситуацию, а ядро – действие, которое переводит агента из начальной ситуации в конечную [36–40]. Эти знания могут быть записаны в виде:

$$k_i^{jh} = (s_{t_i\tau_a}^{j\tau_b} \wedge s_{t_i\tau_c}^{h\tau_f}; a_{t_i\tau_d}^{jh\tau_f}), \tau_a \leq \tau_b \leq \tau_c \leq \tau_d \leq \tau_f, \quad (3)$$

где $s_{t_i\tau_a}^{j\tau_b}$ – начальная ситуация, $s_{t_i\tau_c}^{h\tau_f}$ – конечная (желаемая) ситуация, $a_{t_i\tau_d}^{jh\tau_f}$ – действие, которое должен выполнить агент, чтобы из начальной перейти в желаемую ситуацию [36–40].

При этом условная часть может содержать две и более ситуации связанные условным «и» в виде

$$L_i^j = s_{t_i\tau_a}^{j\tau_b} \wedge s_{t_i\tau_c}^{h\tau_d} \wedge \dots \wedge s_{t_i\tau_d}^{h\tau_f}, \quad (4)$$

а ядро состоять из нескольких действий и записано в виде

$$H_i^j = a_{t_i\tau_a}^{jh\tau_b} \wedge a_{t_i\tau_c}^{jh\tau_d} \wedge \dots \wedge a_{t_i\tau_d}^{jh\tau_f}. \quad (5)$$

Тогда, учитывая (4) и (5), знание (3) можно переписать в виде

$$k_i^{jh} = L_i^j \Rightarrow H_i^j. \quad (6)$$

Способность агента вступать в договорные отношения с агентами-нейронами определённого типа называется валентностью [38].

В рамках данного подхода понимание высказываний представляет собой сложный процесс, происходящий в мозге человека, который мы планируем смоделировать с помощью мультиагентной нейрокогнитивной архитектуры.

В разрабатываемой нами интеллектуальной системе представлены агенты разных лингвистических типов: морфологический, синтаксический, семантический и лексический. Для представления значения в системе необходимы два вида агентов: агенты-слова и соответствующие им агенты-понятия. Агенты-слова являются хранилищем фонетической, парадигматической и синтагматической информации. Агенты-понятия хранят в своих базах знаний описание объекта, обозначаемого этим словом. Между двумя агентами, хранящими разную информацию об одной и той же единице языка, устанавливается связь. Активация одного из них влечёт за собой активацию второго [36–40].

Подробнее о механизме мультиагентной репрезентации элементов естественного языка говорится в работе [38], механизм обоснования символов и мультиагентные нейрокогнитивные модели семантики естественного языка подробно описаны в [37–39].

Мультиагентная нейрокогнитивная архитектура имеет функциональное сходство со структурой мозга. Архитектура имеет многослойную структуру (см. рис. 1), где каждый слой реализует определённую когнитивную функцию и состоит из нейронов-агентов (агнейронов) определённого типа. Основная цель агнейронов – найти путь в дереве решений, который приводит к максимизации собственной энергии путём заключения и выполнения мультиагентных контрактов.

Контракт – это алгоритм, по которому агенты взаимодействуют друг с другом. Взаимодействие происходит путём обмена сообщениями в соответствии со своими базами знаний. Знания представляют собой продукционные правила, содержащие текущее и желаемое состояние агнейрона, а также действие, которое необходимо выполнить для перехода из одного состояния в другое. Система является рекурсивной, поэтому каждый агнейрон состоит из акторов, взаимодействие которых происходит по тем же принципам.

Интеллектуальный агент воспринимает информацию через систему датчиков, а от них – к соответствующим агнейронам определённого типа. Если в архитектуре отсутствуют агенты, отвечающие за входящую информацию, они создаются по запросу специальными нейронными фабриками. [40].

В [41] утверждается, что понимание языка в МАС представляет собой сложный процесс, который включает в себя интерпретацию высказываний в терминах элементов графа проблемной ситуации, а также проверку этих процессов на полноту и непротиворечивость на уровне имитационной модели. Оба процесса имеют первостепенное значение. Первый направлен на использование всех мультиагентных групп, участвующих в

функциональном представлении слов и фраз, используемых в высказывании на естественном языке. С их помощью формируется описание текущего состояния системы «интеллектуальный агент – окружающая среда» на основе идентификации фактов. Эти факты представляются в интеллектуальной системе через агентов событийного типа и активацию причинно-следственных связей этих агентов.

Функциональное представление этих фактов в мультиагентной нейрокогнитивной архитектуре невозможно осуществить без функционального представления всех элементов предикатной структуры. Наиболее распространённой формой предиката, используемой в функциональном представлении интеллектуального агента, является подтверждение того, что некоторые распознанные объекты обладают определёнными признаками и связями с другими агентами. В мультиагентной нейрокогнитивной архитектуре должны быть представлены средства для функционального представления объектов, действий и атрибутов.

Эти задачи выполняются конкретными агентами, способными распознавать эти объекты, атрибуты и отношения (агент-объект, агент-действие, агент-атрибут). Можно сказать, что процесс формирования фактов об окружающей среде в нейрокогнитивной архитектуре интеллектуального агента является мультиагентным процессом, в котором множество агентов принимают участие посредством мультиагентных контактов. [42].

В контексте применения интеллектуальной системы в роботизированных системах, ряд данных, полученных об окружающей среде, можно назвать контекстом текущей ситуации. Контексты могут быть сформированы на основе ограниченного словаря, разработанного для сельскохозяйственных целей. Этот ограниченный набор может включать слова и фразы, характерные для данной области применения.

Программная реализация управления строительным роботом. Система управления на естественном языке является частью мультиагентной нейрокогнитивной архитектуры, компоненты которой базируются на посту оператора и на бортовом компьютере строительного робота. Система поддерживает диалоги на естественном языке в человеко-машинных коллективах для выполнения совместных миссий.

Режим диалога используется для прояснения задач и подтверждения понимания содержания и последовательности целей, ограниченных областью использования данного робота.

Сигналы с датчиков поступают в программу с помощью использования протокола обмена данными с микроконтроллерами (UPIO – универсальный протокол ввода/вывода). На основе полученных показаний программа сможет вычислить положение робота и отправляет данные в мультиагентную архитектуру управления. Она строит модель положения робота и его манипуляторов, получает команду от системы принятия решений и формирует модель их поведения [26].

Интерфейс системы позволяет оператору взаимодействовать с роботом посредством чата. Оператор может передать роботу задание через системный чат, предоставив ему всю необходимую информацию (координацию, режим работы, тип работы и т.д.).

После получения этой информации система запускает мультиагентную обработку высказывания на естественном языке. Входная строка разделяется на символы на символическом уровне мультиагентной архитектуры. Если появляется новый символ, создаётся новое мультиагентное представление этого символа, и в следующий раз, когда эти символы появятся в системе, они будут сразу идентифицированы. После получения миссии интеллектуальной системе робота может потребоваться задать некоторые вопросы для заполнения всех необходимых данных для выполнения процедуры. Вопрос, сгенерированный системой на естественном языке, может быть отправлен оператору через тот же чат, и он может предоставить любую недостающую информацию. Когда вся необходимая информация для выполнения миссии предоставлена, робот начинает собирать информацию со своих датчиков, чтобы спланировать свои рабочие процессы.

Заключение. В статье рассматривается применение системы управления на естественном языке для строительных роботов. Система управления на естественном языке является частью интеллектуальной системы, основанной на самоорганизующейся мульт-

тиагентной нейрокогнитивной архитектуре. Основная цель системы – обеспечить взаимодействие между человеком и машиной для выполнения сложных задач в строительной сфере. Подход основан на мультиагентности, что позволяет системе принятия решений робота быть динамичной и расширять свои знания путём генерации вопросов. Обеспечивается обмен сообщениями между операторами и автономными агентами в рамках человеко-машинного коллектива. В программе реализованы функции авторизации пользователя, хранения списка миссий и управления списком роботов. Также предусмотрена возможность обмена сообщениями между участниками миссии, в качестве которых могут выступать как другие пользователи, так и автономные роботы.

Большинство интеллектуальных систем разрабатываются с использованием нейронных сетей. К сожалению, этот подход имеет ряд недостатков. Главный из них – проблема переобучения. Нейронные сети имеют тенденцию запоминать предыдущие ответы и поведение, поэтому они не могут быть чувствительны к незначительным изменениям входных данных и условий, которые могут привести к неверным решениям и действиям. Вторым недостатком нейронных сетей является невозможность отслеживания процесса принятия решений. Обе эти проблемы можно решить с помощью мультиагентной системы. Использование двунаправленного чата позволяет давать подробные инструкции и задавать уточняющие вопросы в случае неопределённости условий. 3D-моделирование позволяет нам отслеживать процесс «ментальной обработки», происходящей в мультиагентной системе, и корректировать его при необходимости. Более того, это взаимодействие можно рассматривать как формальное представление обработки естественного языка.

В дальнейшем планируется проведение экспериментальных исследований с целью проверки предлагаемого подхода к обучению интеллектуальной системы робота распознавать, понимать и генерировать ограниченный набор языковых единиц.

БИБЛИОГРАФИЧЕСКИЙ СПИСОК

1. Liu Y. et al. Robotics in the construction sector: Trends, advances, and challenges // Journal of Intelligent & Robotic Systems. – 2024. – Vol. 110, No. 2. – P. 72.
2. Rathore M.M. et al. The role of AI, machine learning, and big data in digital twinning: A systematic literature review, challenges, and opportunities // IEEE Access. – 2021. – Vol. 9. – P. 32030-32052.
3. Aghimien D.O. et al. Mapping out research focus for robotics and automation research in construction-related studies: A bibliometric approach // Journal of Engineering, Design and Technology. – 2020. – Vol. 18, No. 5. – P. 1063-1079.
4. Li G. et al. Skin-inspired quadruple tactile sensors integrated on a robot hand enable object recognition // Science Robotics. – 2020. – Vol. 5, No. 49. – P. eabc8134.
5. Suzumori K., Faudzi A.A. Trends in hydraulic actuators and components in legged and tough robots: a review // Advanced Robotics. – 2018. – Vol. 32, No. 9. – P. 458-476.
6. Zhang J., Wang M. A survey on robots controlled by motor imagery brain-computer interfaces // Cognitive Robotics. – 2021. – Vol. 1. – P. 12-24.
7. Akinlolu M. et al. A bibliometric review of the status and emerging research trends in construction safety management technologies // International Journal of Construction Management. – 2022. – Vol. 22, No. 14. – P. 2699-2711.
8. Akinosho T.D. et al. Deep learning in the construction industry: A review of present status and future innovations // Journal of Building Engineering. – 2020. – Vol. 32. – P. 101827.
9. Gharbia M. et al. Robotic technologies for on-site building construction: A systematic review // Journal of Building Engineering. – 2020. – Vol. 32. – P. 101584.
10. Maskuriy R. et al. Industry 4.0 for the construction industry: Review of management perspective // Economies. – 2019. – Vol. 7, No. 3. – P. 68.
11. Forcael E. et al. Construction 4.0: A literature review // Sustainability. – 2020. – Vol. 12, No. 22. – P. 9755.
12. Biswal P., Mohanty P.K. Development of quadruped walking robots: A review // Ain Shams Engineering Journal. – 2021. – Vol. 12, No. 2. – P. 2017-2031.
13. Yogesh G. Construction Robotics: Revolutionizing the Building Industry // Journal of Architectural Engineering Technology. – 2024. – Vol. 13, No. 418.
14. Электронный ресурс. – URL: <https://cdn.thomasnet.com/ccp/00142951/263811.pdf> (дата обращения: 10.09.2024).
15. Электронный ресурс. – URL: <https://iconbuild.com/robotics> (дата обращения: 19.10.2024).
16. Электронный ресурс. – URL: <https://apis-cor.com/> (дата обращения: 10.02.2025).

17. Электронный ресурс. – URL: <https://www.fronius.com/en/welding-technology/product-information/welding-automation/robotic-welding> (дата обращения: 15.12.2024).
18. Электронный ресурс. – URL: <https://www.brokk.kz/> (дата обращения: 23.11.2024).
19. *Stenman M.* Automatic speech recognition. An evaluation of Google Speech. – 2015.
20. Электронный ресурс "Cloud Speech-to-Text," Google. – URL: <https://cloud.google.com/speech-to-text/> (дата обращения: 19.01.2022).
21. *Reis A., Paulino D., Paredes H., Barroso I., Monteiro M.J., Rodrigues V.* Using intelligent personal assistants to assist the elderly: an evaluation of Amazon Alexa, Google Assistant, Microsoft Cortana, and Apple Siri // 2-nd International Conference on Technology and Innovation in Sports, Health and Wellbeing (TISHW). – 2018. – P. 1-5.
22. *Brill T., Munoz L., Richard J.* Siri, Alexa, and other digital assistants: A study of customer satisfaction with artificial intelligence applications // *Journal of Marketing Management*. – 2019. – Vol. 35, No. 15-16. – P. 1401-1436.
23. *Tulshani A.S., Dhage S.N.* Survey on Virtual Assistant: Google Assistant, Siri, Cortana, Alexa // *Communications in Computer and Information Science*. – 2019. – 968. – P. 190-201.
24. *Гаврилович Н.В., Сейтвелиева С.Н.* Анализ коммерческих систем распознавания речи с открытым API // *Таврический научный обозреватель*. – 2016. – № 6 (11). – URL: <https://cyberleninka.ru/article/n/analiz-kommercheskih-sistem-raspoznavaniya-rechi-s-otkrytym-api> (дата обращения: 23.01.2022).
25. Microsoft Corporation. Exploring New Speech Recognition and Synthesis APIs in Windows Vista. Microsoft. – URL: <https://learn.microsoft.com/en-us/archive/msdn-magazine/2006/january/exploring-speech-recognition-and-synthesis-apis-in-windows-vista> (дата обращения: 24.04.2022).
26. *Rodemann T.* Towards Speech Acquisition in Natural Interaction on ASIMO // *Journal of the Robotics Society of Japan*. – 2010. – 28.1. – P. 18-22.
27. *Heracleous P., Yoneyama A.* A comprehensive study on bilingual and multilingual speech emotion recognition using a two-pass classification scheme // *PloS one*. – 2019. – Vol. 14, No. 8. – P. 220-386.
28. *Bogdanov A., Dudorov E., Kutlubaev I., Permyakov A., Pronin A.* Control System of a Manipulator of the Anthropomorphic Robot FEDOR // 12th International Conference on Developments in e-Systems Engineering. IEEE, INSPEC Accession Number 9557273. – 2019. – P. 449-453.
29. *Stolcke A., Droppo. J.* Comparing Human and Machine Errors in Conversational Speech Transcription // *Interspeech*. – 2017. – P. 137-141.
30. *Saon G., Kurata G., Sercu T., Audhkhasi K., Thomas S., Dimitriadis D., Cui X., Ramabhadran B., Picheny M., Lim L.-L., Roomi B., Hall P.* English Conversational Telephone Speech Recognition by Humans and Machines // *INTERSPEECH*. – 2017
31. *Glenn M.L. et al.* Transcription Methods for Consistency, Volume and Efficiency // *LREC*. – 2010.
32. *Marti A., Cobos M., Lopez J.* Automatic Speech Recognition in Cocktail-Party Situations: A specific Training for Separated Speech // *The Journal of the Acoustical Society of America*. – 2012. – P. 1529-1535.
33. *Golumbic E.M. Z. et al.* Mechanisms underlying selective neuronal tracking of attended speech at a "cocktail party" // *Neuron*. – 2013. – Vol. 77, No. 5. – P. 980-991.
34. *Nagoev Z., Gurtueva I., Malyshev D., Sundukov Z.* Multi-agent Algorithm Imitating Formation of Phonemic Awareness // In: Samsonovich A. (eds) *Biologically Inspired Cognitive Architectures BICA 2019. Advances in Intelligent Systems and Computing*. – 2020. – P. 364-369.
35. *Nagoev Z., Gurtueva I., Anchekov M.* Generalized Structure of Active Speech Perception Based on Multiagent Intelligence // *Studies in Computational Intelligence*. – 2022. – P. 319-326
36. *Nagoev Z., Nagoeva O., Pshenokova I., Bzhikhatlov K., Gurtueva I., Kankulov S.* Multi-agent neural-like models for the integration of multimodal medical examination data // *ВЕСВ*. – 2022.
37. *Нагоев З.В., Нагоева О.В.* Обоснование символов и мультиагентные нейрокогнитивные модели семантики естественного языка. Обоснование символов и мультиагентные нейрокогнитивные модели семантики естественного языка. – Нальчик: Изд-во КБНЦ РАН, 2022. – 150 с.
38. *Макоева Д., Нагоева О., Гуртуева И.* Formal Representation of natural language elements in multi-agent system based of self-organization of distributed neurocognitive architectures // *Procedia Computer Science*. – 2022. – Vol. 213. – P. 631-635.
39. *Анчехов М.И., Бжикхатлов К.Ч., Канкулов С.А., Нагоев З.В., Нагоева О.В.* Мультиагентный алгоритм обоснования символов конвенционального языка на основе ситуативно обусловленного развития нейрокогнитивной архитектуры // *Известия Кабардино-Балкарского научного центра РАН*. – 2022. – № 6 (110). – С. 48-60.
40. *Анчехов М.И., Бжикхатлов К.Ч., Нагоев З.В., Пшенокова И.А.* Онтоэпизоциофилогенетическое развитие систем общего искусственного интеллекта на основе мультиагентных нейрокогнитивных архитектур // *Известия Кабардино-Балкарского научного центра РАН*. – 2022. – № 6 (110). – С. 61-75.

41. *Нагоев З.В.* Интеллектика, или Мышление в живых и искусственных системах. – Нальчик: Изд-во КБНЦ РАН, 2013. – С. 16.
42. *Пиенюкова И.А., Бжухатлов К.Ч., Ксолов А.М., Заммоев А.У.* Интеллектуальная система принятия решений для активной защиты растений // Информационное общество. – 2023. – № 3. – С. 38-46.

REFERENCES

1. *Liu Y. et al.* Robotics in the construction sector: Trends, advances, and challenges, *Journal of Intelligent & Robotic Systems*, 2024, Vol. 110, No. 2, pp. 72.
2. *Rathore M.M. et al.* The role of AI, machine learning, and big data in digital twinning: A systematic literature review, challenges, and opportunities, *IEEE Access*, 2021, Vol. 9, pp. 32030-32052.
3. *Aghimien D.O. et al.* Mapping out research focus for robotics and automation research in construction-related studies: A bibliometric approach, *Journal of Engineering, Design and Technology*, 2020, Vol. 18, No. 5, pp. 1063-1079.
4. *Li G. et al.* Skin-inspired quadruple tactile sensors integrated on a robot hand enable object recognition, *Science Robotics*, 2020, Vol. 5, No. 49, pp. eabc8134.
5. *Suzumori K., Faudzi A.A.* Trends in hydraulic actuators and components in legged and tough robots: a review, *Advanced Robotics*, 2018, Vol. 32, No. 9, pp. 458-476.
6. *Zhang J., Wang M.* A survey on robots controlled by motor imagery brain-computer interfaces, *Cognitive Robotics*, 2021, Vol. 1, pp. 12-24.
7. *Akinlolu M. et al.* A bibliometric review of the status and emerging research trends in construction safety management technologies, *International Journal of Construction Management*, 2022, Vol. 22, No. 14, pp. 2699-2711.
8. *Akinosho T.D. et al.* Deep learning in the construction industry: A review of present status and future innovations, *Journal of Building Engineering*, 2020, Vol. 32, pp. 101827.
9. *Gharbia M. et al.* Robotic technologies for on-site building construction: A systematic review, *Journal of Building Engineering*. 2020. Vol. 32. [101584].
10. *Maskuriy R. et al.* Industry 4.0 for the construction industry: Review of management perspective, *Economies*, 2019, Vol. 7, No. 3, pp. 68.
11. *Forcael E. et al.* Construction 4.0: A literature review, *Sustainability*, 2020, Vol. 12, No. 22, pp. 9755.
12. *Biswal P., Mohanty P.K.* Development of quadruped walking robots: A review, *Ain Shams Engineering Journal*, 2021, Vol. 12, No. 2, pp. 2017-2031.
13. *Yogesh G.* Construction Robotics: Revolutionizing the Building Industry, *Journal of Architectural Engineering Technology*, 2024, Vol. 13, No. 418.
14. Available at: <https://cdn.thomasnet.com/ccp/00142951/263811.pdf> (accessed 10 September 2024).
15. Available at: <https://iconbuild.com/robotics> (accessed 19 October 2024).
16. Available at: <https://apis-cor.com/> (accessed 10 February 2025).
17. Available at: <https://www.fronius.com/en/welding-technology/product-information/welding-automation/robotic-welding> (accessed 15 December 2024).
18. Available at: <https://www.brokk.kz/> (accessed 23 November 2024).
19. *Stenman M.* Automatic speech recognition. An evaluation of Google Speech6 2015.
20. "Cloud Speech-to-Text," Google. Available at: <https://cloud.google.com/speech-to-text/> (accessed 19 January 2022).
21. *Reis A., Paulino D., Paredes H., Barroso I., Monteiro M.J., Rodrigues V.* Using intelligent personal assistants to assist the elderly: an evaluation of Amazon Alexa, Google Assistant, Microsoft Cortana, and Apple Siri, *2-nd International Conference on Technology and Innovation in Sports, Health and Wellbeing (TISHW)*, 2018, pp. 1-5.
22. *Brill T., Munoz L., Richard J.* Siri, Alexa, and other digital assistants: A study of customer satisfaction with artificial intelligence applications, *Journal of Marketing Management*, 2019, Vol. 35, No. 15-16, pp. 1401-1436.
23. *Tulshan A.S., Dhage S.N.* Survey on Virtual Assistant: Google Assistant, Siri, Cortana, Alexa, *Communications in Computer and Information Science*, 2019, 968, pp. 190-201.
24. *Gavrilovich N.V., Seytvelieva S.N.* Analiz kommercheskikh sistem raspoznavaniya rechi s otkrytym API [Analysis of commercial speech recognition systems with an open API], *Tavrisheskiy nauchnyy obozrevatel' [Tavrisheskiy Scientific Observer]*, 2016, No. 6 (11). Available at: <https://cyberleninka.ru/article/n/analiz-kommercheskikh-sistem-raspoznavaniya-rechi-s-otkrytym-api> (accessed 23 January 2022).
25. Microsoft Corporation. Exploring New Speech Recognition and Synthesis APIs in Windows Vista. Microsoft. Available at: <https://learn.microsoft.com/en-us/archive/msdn-magazine/2006/january/exploring-speech-recognition-and-synthesis-apis-in-windows-vista> (accessed 24 April 2022).
26. *Rodemann T.* Towards Speech Acquisition in Natural Interaction on ASIMO, *Journal of the Robotics Society of Japan*, 2010, 28.1, pp. 18-22.

27. *Heracleous P., Yoneyama A.* A comprehensive study on bilingual and multilingual speech emotion recognition using a two-pass classification scheme, *PLoS one*, 2019, Vol. 14, No. 8, pp. 220-386.
28. *Bogdanov A., Dudorov E., Kutlubaev I., Permyakov A., Pronin A.* Control System of a Manipulator of the Anthropomorphic Robot FEDOR, *12th International Conference on Developments in e-Systems Engineering*. IEEE, INSPEC Accession Number 9557273, 2019, pp. 449-453.
29. *Stolcke A., Droppo J.* Comparing Human and Machine Errors in Conversational Speech Transcription, *Interspeech*, 2017, pp. 137-141.
30. *Saon G., Kurata G., Sercu T., Audhkhasi K., Thomas S., Dimitriadis D., Cui X., Ramabhadran B., Picheny M., Lim L.-L., Roomi B., Hall P.* English Conversational Telephone Speech Recognition by Humans and Machines, *INTERSPEECH*, 2017
31. *Glenn M.L. et al.* Transcription Methods for Consistency, Volume and Efficiency, *LREC*, 2010.
32. *Marti A., Cobos M., Lopez J.* Automatic Speech Recognition in Cocktail-Party Situations: A specific Training for Separated Speech, *The Journal of the Acoustical Society of America*, 2012, pp. 1529-1535.
33. *Golumbic E.M. Z. et al.* Mechanisms underlying selective neuronal tracking of attended speech at a "cocktail party", *Neuron*, 2013, Vol. 77, No. 5, pp. 980-991.
34. *Nagoev Z., Gurtueva I., Malyshev D., Sundukov Z.* Multi-agent Algorithm Imitating Formation of Phonemic Awareness, In: *Samsonovich A. (eds) Biologically Inspired Cognitive Architectures BICA 2019. Advances in Intelligent Systems and Computing*, 2020, pp. 364-369.
35. *Nagoev Z., Gurtueva I., Anchekov M.* Generalized Structure of Active Speech Perception Based on Multiagent Intelligence, *Studies in Computational Intelligence*, 2022, pp. 319-326
36. *Nagoev Z., Nagoeva O., Pshenokova I., Bzhikhatlov K., Gurtueva I., Kankulov S.* Multi-agent neural-like models for the integration of multimodal medical examination data, *BECB*, 2022.
37. *Nagoev Z.V., Nagoeva O.V.* Obosnovanie simbolov i mul'tiagentnye neyrokognitivnye modeli semantiki estestvennogo yazyka [Justification of Symbols and Multi-Agent Neurocognitive Models of Natural Language Semantics. Justification of Symbols and Multi-Agent Neurocognitive Models of Natural Language Semantics]. Nal'chik: Izd-vo KBNTS RAN, 2022, 150 p.
38. *Makoeva D., Nagoeva O., Gurtueva I.* Formal Representation of natural language elements in multi-agent system based of self-organization of distributed neurocognitive architectures, *Procedia Computer Science*, 2022, Vol. 213, pp. 631-635.
39. *Anchekov M.I., Bzhikhatlov K.Ch., Kankulov S.A., Nagoev Z.V., Nagoeva O.V.* Mul'tiagentnyy algoritm obosnovaniya simbolov konvetsional'nogo yazyka na osnove situativno obuslovlennogo razvitiya neyrokognitivnoy arkhitektury [Multi-agent algorithm for substantiating conventional language symbols based on situationally determined development of neurocognitive architecture], *Izvestiya Kabardino-Balkarskogo nauchnogo tsentra RAN* [Bulletin of the Kabardino-Balkarian Scientific Center of the Russian Academy of Sciences], 2022, No. 6 (110), pp. 48-60.
40. *Anchekov M.I., Bzhikhatlov K.Ch., Nagoev Z.V., Pshenokova I.A.* Ontoepisotsiofilogeneticheskoe razvitie sistem obshchego iskusstvennogo intellekta na osnove mul'tiagentnykh neyrokognitivnykh arkhitektur [Ontoepisociophylogenetic development of general artificial intelligence systems based on multi-agent neurocognitive architectures], *Izvestiya Kabardino-Balkarskogo nauchnogo tsentra RAN* [Bulletin of the Kabardino-Balkarian Scientific Center of the Russian Academy of Sciences], 2022, No. 6 (110), pp. 61-75.
41. *Nagoev Z.V.* Intellektika, ili Myshlenie v zhivyykh i iskusstvennykh sistemakh [Intelligence, or Thinking in living and artificial systems]. Nal'chik: Izd-vo KBNTS RAN, 2013, pp. 16.
42. *Pshenokova I.A., Bzhikhatlov K.Ch., Ksalov A.M., Zammoev A.U.* Intellektual'naya sistema prinyatiya resheniy dlya aktivnoy zashchity rasteniy [Intelligent Decision-Making System for Active Plant Protection], *Informatsionnoe obshchestvo* [Information Society], 2023, No. 3, pp. 38-46.

Макоева Дана Гисовна – Федеральный научный центр «Кабардино-Балкарский научный центр Российской академии наук»; e-mail: makoevadana@mail.ru; г. Нальчик, Россия; к. филол. н.; зав. лабораторией «Компьютерная лингвистика».

Тлупов Ислам Резуанович – Научно-образовательный центр Кабардино-Балкарского научного центра Российской академии наук; e-mail: tlup94@mail.ru; г. Нальчик, Россия; аспирант кафедры «Мультиагентные интеллектуальные робототехнические системы».

Шогенов Асланбек Олегович – Научно-образовательный центр Кабардино-Балкарского научного центра Российской академии наук; e-mail: qw20erty@mail.ru; г. Нальчик, Россия; аспирант кафедры «Мультиагентные интеллектуальные робототехнические системы».

Makoeva Dana Gisovna – Kabardino-Balkarian Scientific Center of the Russian Academy of Sciences; e-mail: makoevadana@mail.ru; Nalchik, Russia; cand. of philol. sc.

Tlupov Islam Resuanovich – Scientific and Educational Center Kabardino-Balkarian Scientific Center of the Russian Academy of Sciences; e-mail: tlup94@mail.ru; Nalchik, Russia; post-graduate student of the Department of Multi-Agent Intellectual Robotics Systems.

Shogenov Aslanbek Olegovich – Scientific and Educational Center Kabardino-Balkarian Scientific Center of the Russian Academy of Sciences; e-mail: qw20erty@mail.ru; Nalchik, Russia; post-graduate student of the Department of Multi-Agent Intellectual Robotics Systems.

УДК 004.896

DOI 10.18522/2311-3103-2025-5-93-103

В.И. Шлаев

МОДУЛЬ ПРОГНОЗИРОВАНИЯ ПАРАМЕТРОВ ПРЕОБРАЗОВАТЕЛЕЙ ПО ЗАДАНЫМ АМПЛИТУДНО-ЧАСТОТНЫМ ХАРАКТЕРИСТИКАМ

Рассматривается решение задачи разработки преобразователей по заданным амплитудно-частотным характеристикам. Основная проблема заключается в проведении большого количества измерительных мероприятий с изменением параметров преобразователей для достижения необходимых амплитудно-частотных характеристик, что приводит к большим временным и ресурсным затратам на разработку. Проводится анализ основных параметров преобразователей, влияющих на заданные амплитудно-частотные характеристики. Анализируются существующие подходы, методы и алгоритмы при создании преобразователей требуемых характеристик. Описывается разработка модуля прогнозирования параметров электромеханических преобразователей, основанного на заданных амплитудно-частотных характеристиках. Задачи исследования включают создание структурно-параметрической и математической моделей для расчета характеристик преобразователей на стадии проектирования. Описывается алгоритм обучения модели на основе экспериментальных данных, полученных в ходе проведения измерений. Использование методов машинного обучения для предсказания параметров приводит к минимизации количества проводимых экспериментов и снижению затрат на разработку преобразователей. Предложенный подход основывается на использовании зависимости между конструктивными параметрами преобразователей и их частотными характеристиками. Для повышения точности прогнозирования применяется алгоритм градиентного бустинга. Представлены этапы подготовки данных для обучения модели. Описывается процесс обучения модели. Результаты демонстрируют значительное сокращение времени моделирования преобразователей: применение модуля позволяет ускорить процесс в несколько раз по сравнению с экспериментальным подходом. Прогнозирование характеристик на основе модели обеспечивает сопоставимую точность при большем объеме данных. Выводы исследования подтверждают эффективность предлагаемого подхода в разработке преобразователей, снижая временные и финансовые затраты, повышая точность моделирования и применимость в условиях ограниченных ресурсов.

Электромеханический преобразователь; амплитудно-частотная характеристика; прогнозирование параметров; машинное обучение; математическое моделирование; градиентный бустинг; оптимизация проектирования.

V.I. Shlaev

THE MODULE FOR PREDICTING CONVERTER PARAMETERS BASED ON SPECIFIED AMPLITUDE-FREQUENCY CHARACTERISTICS

The article discusses the solution of the problem of developing converters based on specified amplitude-frequency characteristics. The main problem is to carry out a large number of measuring measures with changes in the parameters of the transducers to achieve the necessary amplitude-frequency characteristics, which leads to high time and resource costs for development. The analysis of the main parameters of the converters affecting the specified amplitude-frequency characteristics is carried out. The existing approaches, methods and algorithms for creating converters of the required characteristics are analyzed. The development of a module for predicting the parameters of electromechanical converters based on specified amplitude-frequency characteristics is described. The research objectives include the creation of structural-parametric and mathematical models for calculating the characteristics of converters at the design stage. An

algorithm for training a model based on experimental data obtained during measurements is described. The use of machine learning methods to predict parameters minimizes the number of experiments performed and reduces the cost of developing converters. The proposed approach is based on the use of the relationship between the design parameters of the converters and their frequency characteristics. The gradient boosting algorithm is used to increase the accuracy of forecasting. The stages of data preparation for model training are presented. The learning process of the model is described. The results demonstrate a significant reduction in the modeling time of the converters: the use of the module makes it possible to speed up the process several times compared with the experimental approach. Predicting characteristics based on a model provides comparable accuracy with a larger amount of data. The findings of the study confirm the effectiveness of the proposed approach in the development of converters, reducing time and financial costs, increasing the accuracy of modeling and applicability in conditions of limited resources.

Electromechanical converter; amplitude-frequency response; parameter prediction; machine learning; mathematical modeling; gradient boosting; design optimization.

Введение. Проблема создания преобразователей с заданными характеристиками путем множественных экспериментальных исследований заключается в трудоемкости [1–3]. Каждое изменение конструкции или материалов требует проведения новых испытаний, что увеличивает временные и финансовые затраты на разработку. Кроме того, экспериментальные методы не всегда позволяют предсказать поведение датчика в реальных условиях эксплуатации, особенно если рабочие параметры сильно зависят от внешних факторов, таких как температура или давление. В результате использование большого числа физических испытаний для подбора оптимальных параметров не только замедляет процесс проектирования, но и делает его менее эффективным [4–7].

Формальная постановка задачи. Целью данной работы является разработка математической модели, позволяющей прогнозировать характеристики преобразователей на этапе проектирования. Для этого предлагается использование методов машинного обучения, основанных на анализе экспериментальных данных, что позволит снизить количество физических испытаний и оптимизировать параметры устройств.

При производстве электромеханических преобразователей, основной упор делается на резонансную частоту- частоту, при которой преобразователь достигает своей максимальной чувствительности и эффективности. На этой частоте амплитудный отклик устройства наиболее высокий, что позволяет преобразователю улавливать слабые сигналы с минимальными потерями. За пределами данной частоты чувствительность обычно снижается. В иных случаях преобразователи разрабатываются с упором на полосу пропускания – диапазон частот, в котором преобразователь сохраняет стабильную и высокую чувствительность. В настоящее время разработка и производство преобразователей физической энергии в электрическую, таких как гидрофоны и вибродатчики, зачастую осуществляется методом множественных экспериментов. Этот процесс включает многократные тестирования и корректировки параметров, чтобы достичь необходимых характеристик, таких как резонансная частота, чувствительность и ширина полосы пропускания.

Проблема в том, что такой подход является затратным и трудоемким. Каждое изменение конструкции или материалов требует проведения новых испытаний, что увеличивает временные и финансовые затраты на разработку. Кроме того, экспериментальные методы не всегда позволяют предсказать поведение датчика в реальных условиях эксплуатации, особенно если рабочие параметры сильно зависят от внешних факторов, таких как температура или давление.

В результате использование большого числа физических испытаний для подбора оптимальных параметров не только замедляет процесс проектирования, но и делает его менее эффективным. Поэтому существует необходимость в создании новых методов и моделей, которые позволяли бы предсказать характеристики преобразователей на стадии проектирования, минимизируя количество экспериментальных проверок и снижая затраты.

Разработка модели алгоритма и программного обеспечения. Рассмотрим основные параметры преобразователей, которые влияют на частотные характеристики. Для проектирования преобразователей с необходимыми частотными характеристиками [8–11] требуется учитывать несколько общих параметров, которые влияют на полосу пропускания устройства.

Частотная характеристика преобразователя определяется его резонансными свойствами и общей реакцией на входные колебания. Ее изменение напрямую связано с конструктивными и материальными параметрами изделия. Ключевым законом для резонансных систем является соотношение (1).

$$f_c = \frac{1}{2\pi} \sqrt{\frac{k}{m}} \quad (1)$$

где k – эффективная жёсткость системы, а m – эффективная масса. Рост массы снижает резонансную частоту, а увеличение жёсткости – повышает её.

Основными характеристиками являются:

1. Материалы – механические свойства материалов корпуса и мембраны, такие как плотность, упругость, акустическая проводимость. Плотность влияет на массу: $f \propto \frac{1}{\sqrt{\rho}}$.

Упругий модуль определяет жёсткость: $f \propto \sqrt{E}$. Акустическая проводимость влияет на ширину полосы: высокая проводимость расширяет полосу, снижая пиковое усиление.

2. Размеры – линейные размеры чувствительного элемента и корпуса преобразователя. Габариты преобразователя и его элементов определяют акустические резонансные частоты. Например для длинных полых корпусов или трубок первых порядков резонансы выполняется соотношение $\frac{\lambda}{4}$: $f_c \approx \frac{c}{4L}$, где c – скорость звука, L – характерный размер канала. В объёмных резонаторах (типа Гельмгольца) основная резонансная частота задается формулой (2).

$$f_H = \frac{c_0}{2\pi} \sqrt{\frac{S}{CL_{eff}}} \quad (2)$$

где S – площадь сечения горловины, L_{eff} – ‘эффективная длина канала (с учетом коррекции концов), V – объем резонатора, а c_0 – скорость звука. Отсюда видно, что увеличение размеров корпуса уменьшает частоту, а увеличение горловины или уменьшение ее длины – повышает. Аналогично, линейные размеры чувствительного элемента влияют на собственную жёсткость: более длинные или большие плиты низкочастотнее из-за меньшей жёсткости на растяжение/сжатие. Таким образом геометрия и размеры согласуются с материальными свойствами, определяя полный спектр резонансов системы

3. Масса – общая масса устройства, которая влияет на его резонансные частоты. Увеличение массы движущихся элементов (корпус, мембрана, рули и т.д.) снижает резонансную частоту (из(1)). Поэтому большие по массе и объёму преобразователи имеют более низкие резонансы, тогда как облегчённые – более высокие. Увеличение массы можно использовать для целенаправленного сдвига полосы вниз. Например, в вибродатчиках добавление груза в точках крепления понижает резонанс.

4. Геометрия – форма и конструкция корпуса, которые определяют направление и диапазон чувствительности. Форма влияет на моды колебаний и распределение массы. Компактная форма повышает жёсткость, увеличивая частоту. Объёмные формы или полости, напротив, снижают частоту.

5. Способ установки – тип крепления влияет на граничные условия: жёсткое крепление увеличивает частоту, гибкое – снижает. Монтирование через демпфирующие элементы уменьшает жёсткость и сдвигает полосу вниз.

Моделирование таких преобразователей "вручную" – сложный и трудоемкий процесс, требующий множества измерений и экспериментов для точной настройки и калибровки параметров. Поскольку влияние каждого из параметров на частотные характеристики может быть нелинейным и взаимозависимым, традиционные методы требуют значительных ресурсов. Чтобы упростить этот процесс и сократить количество экспериментов, целесообразно разработать общую математическую модель, в которую будут заложены зависимости амплитудно-фазовых частотных характеристик от перечисленных параметров.

В обобщенном виде общую математическую модель частотной характеристики представима как (3).

$$f_c = F(M, L, W, G, S) = \frac{1}{2\pi} \sqrt{\frac{k_{eff}(M, L, G, S)}{m_{eff}(M, W, G, S)}} \quad (3)$$

где

f_c – целевая полоса пропускания или частотная характеристика преобразователя,

M – параметры материалов (например, плотность, акустическая проводимость),

L – размеры устройства,

W – масса преобразователя,

G – геометрия корпуса,

S – способ установки,

k_{eff} и m_{eff} – эффективные жесткость и масса, зависящие от указанных параметров.

Каждый из параметров влияет на частотную характеристику преобразователя согласно их физическим свойствам.

Представленная модель позволяет задать зависимости между основными характеристиками преобразователя и его частотными характеристиками. Для повышения точности и автоматизации проектирования предлагается обучить модель на основе искусственного интеллекта. Данные, полученные из уже проведенных экспериментов и измерений, будут использоваться для обучения модели. На основе данных ИИ сможет формировать рекомендации по оптимальным параметрам для достижения заданной полосы пропускания. Для обучения модели используются данные, полученные при проведении измерений по контролю качества соответствующих изделий. Таким образом, предлагается по заданному пользователем диапазону частот выводить оптимальные для преобразователя параметры, описанные (3). Для обучения модели необходимо подготовить данные. Для этого выполняется поиск спектральных характеристик, описанный в обработке сигналов при проведении измерений контроля качества. К этим данным прибавляются параметры измерений и преобразователей, описанных в (1). Таким образом подготовленные данные могут быть представлены в виде таблицы в файле с расширением *.csv (рис. 1).

	Material	Geometry	Installation Method	Mass (g)	Size_X (cm)	Size_Y (cm)	Size_Z (cm)	AFC_Max_Frequency (Hz)	AFC_Bandwidth
1	Aluminum	Cone-shaped	Bolted	33.14	3.35	2.93	2.66	932.3	126.8
2	Steel	Cubic	Glued	51.85	8.65	8.51	1.35	250.3	191.5
3	Titanium	Cylindrical	Bolted	30.43	8.77	4.78	1.32	340.6	67.2
4	Aluminum	Cylindrical	Bolted	76.95	7.95	6.19	8.48	156.9	183.6
5	Aluminum	Cone-shaped	Clamped	92.73	2.52	8.86	6.32	815.9	191.0
6	Titanium	Cubic	Welded	48.14	8.4	8.77	4.22	659.6	68.4
7	Aluminum	Spherical	Welded	40.79	7.92	4.34	9.05	383.4	155.8
8	Aluminum	Cylindrical	Welded	96.54	6.37	2.88	1.63	247.4	63.0
9	Steel	Cone-shaped	Glued	50.04	4.03	7.98	9.82	136.1	152.8
10	Aluminum	Cubic	Bolted	54.01	3.36	4.9	6.55	250.1	163.9
11	Polymer	Cone-shaped	Welded	41.65	2.1	2.73	2.65	508.0	64.5
12	Titanium	Spherical	Clamped	91.86	5.59	9.14	7.11	322.5	148.9
13	Steel	Cylindrical	Welded	61.21	6.27	2.78	7.87	333.1	166.2
14	Steel	Cone-shaped	Welded	78.6	4.23	1.23	4.86	888.0	84.5
15	Polymer	Cone-shaped	Bolted	83.06	5.28	1.18	8.75	563.6	50.2
16	Titanium	Cone-shaped	Bolted	40.77	4.27	6.6	2.36	756.3	36.6
17	Titanium	Spherical	Bolted	49.03	6.77	6.96	3.51	132.1	123.6
18	Steel	Cone-shaped	Glued	86.36	9.11	3.8	1.84	428.6	196.1
19	Aluminum	Spherical	Glued	42.69	2.45	3.85	2.9	531.3	169.1
20	Steel	Spherical	Welded	81.45	4.43	4.06	3.15	267.8	98.5
21	Titanium	Spherical	Bolted	94.63	2.27	7.12	9.26	208.2	116.6
22	Polymer	Cylindrical	Welded	66.09	6.62	1.52	1.7	883.3	70.3
23	Steel	Cylindrical	Clamped	76.75	7.56	9.36	4.85	945.5	49.4
24	Titanium	Cone-shaped	Clamped	82.46	9.39	3.0	5.79	170.9	106.8
25	Steel	Cone-shaped	Bolted	86.05	3.51	10.0	9.09	414.1	103.4
26	Aluminum	Cylindrical	Bolted	45.55	9.55	2.54	9.98	962.5	113.9
27	Steel	Cubic	Clamped	14.61	1.57	7.94	7.78	174.8	191.5
28	Steel	Cylindrical	Bolted	46.17	6.43	3.01	9.74	679.3	128.7
29	Titanium	Spherical	Glued	70.64	1.51	1.73	8.08	975.0	129.0
30	Titanium	Cylindrical	Glued	50.53	9.04	8.37	9.67	980.4	43.0
31	Titanium	Spherical	Bolted	77.41	5.77	8.73	7.37	524.1	199.4
32	Steel	Cone-shaped	Clamped	42.13	7.02	4.63	1.72	246.5	159.1
33	Aluminum	Cubic	Welded	67.13	8.48	7.32	4.62	281.9	177.9
34	Polymer	Cone-shaped	Bolted	26.78	2.35	6.01	6.82	900.6	94.6
35	Polymer	Spherical	Bolted	77.44	1.35	8.68	4.16	920.5	110.4
36	Titanium	Spherical	Welded	59.11	8.91	3.84	3.46	647.1	114.0
37	Titanium	Spherical	Bolted	28.37	3.83	5.71	6.2	789.6	54.9
38	Steel	Cubic	Welded	36.27	2.16	5.37	9.4	765.9	144.1
39	Polymer	Cylindrical	Clamped	77.37	5.22	4.19	1.31	695.6	182.5
40	Titanium	Cone-shaped	Glued	53.43	6.38	9.02	7.32	844.5	49.5
41	Aluminum	Cone-shaped	Clamped	29.44	1.28	2.49	7.5	716.5	35.5
42	Aluminum	Cylindrical	Glued	37.05	3.47	2.35	9.68	580.6	152.9
43	Titanium	Cone-shaped	Welded	74.36	1.3	6.19	9.38	313.3	69.2
44	Titanium	Cubic	Glued	96.14	4.78	6.92	7.86	769.5	132.3
45	Polymer	Cone-shaped	Clamped	48.44	9.06	2.75	5.68	526.1	145.2
46	Polymer	Spherical	Glued	52.76	9.84	4.52	2.84	365.3	77.9
47	Steel	Cylindrical	Welded	90.82	6.73	9.52	5.91	821.8	166.7
48	Polymer	Cubic	Glued	57.25	2.45	3.22	7.89	727.0	119.0
49	Aluminum	Cylindrical	Bolted	73.66	9.15	7.02	3.06	943.6	176.4
50	Titanium	Cubic	Clamped	33.7	2.42	7.62	9.11	269.0	182.4

Рис. 1. Фрагмент подготовленных данных

Для задач прогнозирования параметров, когда уже собраны данные о преобразователях с разными характеристиками (материал, геометрия, масса, способ установки и т.д.) и известны их амплитудно-фазовые характеристики (АФЧХ) или спектры сигналов оптимальным является использование градиентного бустинга, например в реализации CatBoost.

На рис. 2 представлен структурный алгоритм функционирования модуля машинного обучения, используемого для прогнозирования параметров преобразователей. Алгоритм включает следующие этапы:

1. Загрузка данных. Входной CSV-файл содержит записи с параметрами преобразователей (материалы, размеры, масса, геометрия, способ установки) и соответствующими амплитудно-частотными характеристиками (АЧХ). Эти данные могут быть получены в ходе лабораторных измерений или из предыдущих проектных разработок.

2. Предобработка данных. На данном этапе проводится очистка от пропущенных или аномальных значений, устранение выбросов, а также нормализация числовых признаков. Категориальные признаки (например, способ установки) кодируются в числовой формат.

3. Разделение на обучающую и тестовую выборки. Данные разделяются на тренировочную выборку (обычно 70–80% от общего объема) и тестовую (оставшиеся 20–30%) для оценки обобщающей способности модели.

4. Выбор модели и гиперпараметров. В качестве основной модели используется градиентный бустинг на решающих деревьях (CatBoost), способный эффективно обрабатывать как числовые, так и категориальные признаки. На этом шаге задаются параметры глубины деревьев, скорости обучения, количества итераций и другие метрики.

5. Обучение модели. Производится итеративная оптимизация параметров на тренировочных данных. После каждой итерации измеряется ошибка на валидационной выборке, и модель сохраняется в виде бинарного файла *.pkl для последующего использования.

6. Оценка точности. Модель проверяется на тестовой выборке по метрикам MAE, MSE, R². В случае неудовлетворительных результатов – гиперпараметры пересматриваются.

7. Прогнозирование. После финальной настройки обученная модель готова к использованию для предсказания параметров по заданной частотной характеристике (или наоборот).

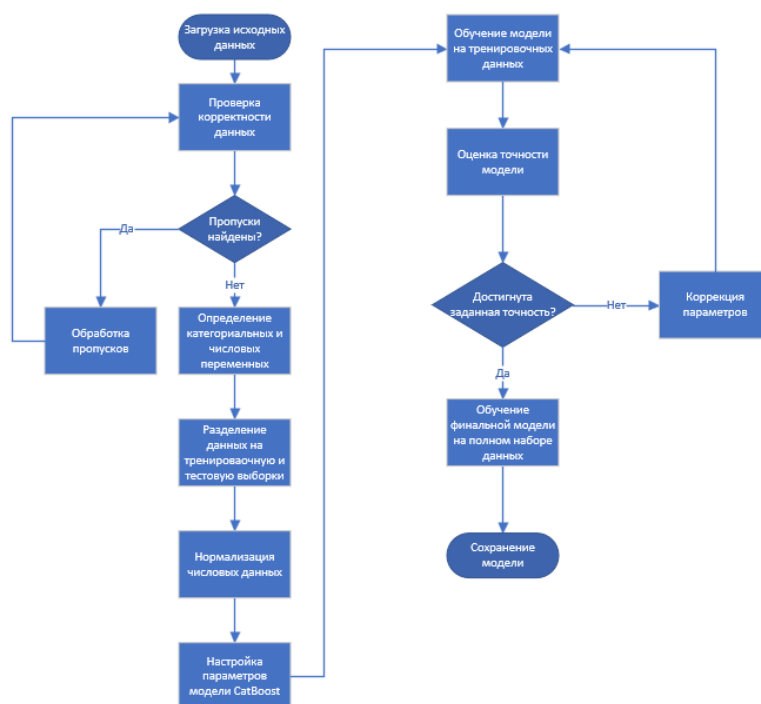


Рис. 2. Алгоритм модели машинного обучения

Алгоритм использования обученной модели примитивна, по заданному диапазону частот с использованием внутренних механизмов алгоритма машинного обучения происходит вывод результатов прогнозирования.

Для задачи базовых параметров преобразователей, в программном модуле-измерителе, необходимо воспользоваться клавишей задачи параметров преобразователей (рис. 4) [12, 13]. Где имеется возможность загрузки конфигурирующего файла в формате *.csv. В файле *.csv содержатся обработанные результаты измерений, используемые для обучения модели. Фрагмент измеренных АФЧХ на определенных частотах для группы преобразователей с заданными параметрами (3) представлен на рис. 3.

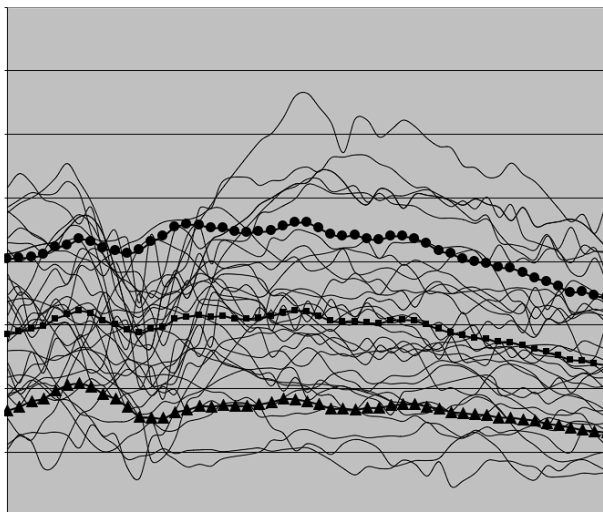


Рис. 3. Фрагмент результатов измерений

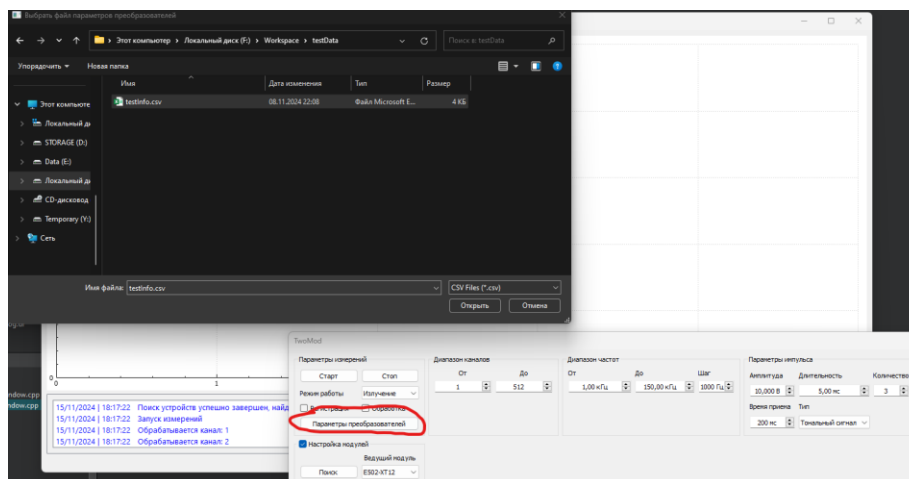


Рис. 4. Выбор параметров преобразователей

Для составления прогноза необходимо запустить модуль прогнозирования.

На рис. 5 показан графический интерфейс программного модуля прогнозирования, разработанного с использованием технологий C++/Qt и Python. Имеется возможность ввода пользователем диапазона частот, в пределах которого требуется подобрать параметры преобразователя. Это может быть, например, центральная резонансная частота или диапазон рабочей полосы. Кнопка «Старт» используется для запуска процесса прогнозирования. При первом запуске открывается диалоговое окно для выбора файла дан-

ных: – CSV-файл: запускается процесс обучения новой модели по этим данным. PKL-файл: используется ранее обученная модель. При выборе CSV-файла начинается обучение модели на основе текущих параметров. При выборе модели в формате PKL – производится прямое прогнозирование. После выполнения прогноза таблица заполняется вычисленными параметрами преобразователя (например, материал, масса, геометрия), соответствующими заданной частотной характеристике.

Материал	Геометрия	Способ установки	Масса (г)	Размер X (см)	Размер Y (см)	Размер Z (см)	Частота резонанса	Частота пропускания	Чувствительность	Точность прогнозирования
Алюминий	Цилиндрическая	Сварное	58.23	4.55	3.87	2.9	12235.1	1323.5	-10.44	94.2...
Сталь	Цилиндрическая	Сварное	34.51	8.12	4.3	7.51	11234.2	1123.4	-12.68	93.5
Сталь	Кубическая	Склеенное	44.87	5.63	6.98	9.1	12132.5	1213.3	-13.68	93.2
Алюминий	Кубическая	Склеенное	72.44	3.42	5.99	8.42	10845.6	1084.6	-13.11	92.1
Полимер	Кубическая	Склеенное	41.73	7.34	2.97	4.24	10425.7	1070.2	-9.53	91.2
Титан	Сферическая	Болтовое	52.97	5.2	4.45	8.03	13640.5	1364.1	-15.02	90.4
Полимер	Цилиндрическая	Спаянное	63.17	6.57	4.88	3.21	12623.8	1262.4	-14.32	89.3
Сталь	Сферическая	Болтовое	48.83	7.17	6.59	2.73	11472.5	1147.3	-7.82	88.6
Сталь	Конусоидальная	Спаянное	38.51	8.02	7.6	5.17	11556.7	1155.7	-14.56	87.8...
Алюминий	Конусная	Склеенное	69.42	4.78	5.24	4.92	11472.5	1147.3	-7.82	87.2

Рис. 5. Пример использования модуля прогнозирования

Оценка результатов. Результаты использования модуля прогнозирования, позволяют разработчику преобразователей минимизировать время на подбор параметров преобразователя для достижения искомой полосы пропускания или диапазона частот. Таким образом происходит сокращение времени моделирования преобразователей. При проведении измерений макета смоделированных преобразователей, с использованием измерительного модуля, результаты измерений используются для обучения модели прогнозирования, что способствует увеличению точности дальнейших предсказаний.

Зависимость между использованием модели искусственного интеллекта и моделированием, путем проведения экспериментов можно выразить через время, необходимое для достижения определенной точности (например, минимальной ошибки MAE).

Вводятся обозначения.

T_{total}^{exp} – общее время эксперимента.

T_{total}^{model} – общее время использования модели

MAE_{exp} – ошибка при экспериментальном подходе.

MAE_{model} – ошибка при использовании модели.

N – количество комбинаций параметров в экспериментах.

M – количество запросов для модели.

T_{exp} – время одного эксперимента.

T_{train} – время обучения модели.

T_{pred} – время одного предсказания.

Получаем зависимости времени: для экспериментов (4), для модели (5) и зависимость общего времени (6).

$$T_{total}^{exp} = N * T_{exp} \quad (4)$$

$$T_{total}^{model} = T_{train} + M * T_{pred} \quad (5)$$

$$\frac{T_{total}^{model}}{T_{total}^{exp}} = \frac{T_{train} + M * T_{pred}}{N * T_{exp}} \quad (6)$$

Если $M \ll N$ и $T_{pred} \ll T_{exp}$, то $T_{total}^{model} \ll T_{total}^{exp}$, что делает использование модели значительно быстрее.

Зависимость ошибок. Для экспериментов точность напрямую зависит от количества протестированных комбинаций параметров (7)

$$MAE_{exp}(N) \propto \frac{1}{\sqrt{N}}. \quad (7)$$

Для модели точность зависит от объема данных, на которых она обучена (8).

$$MAE_{model}(D) = \frac{a}{\sqrt{D}} + b. \quad (8)$$

При одинаковом объеме данных, модель и эксперименты могут достичь схожей точности, но время использования модели гораздо меньше.

В результате получается зависимость эффективности времени и точности (9).

$$\frac{MAE_{model}(D)}{MAE_{exp}(N)} \approx \frac{T_{train} + M * T_{pred}}{N * T_{exp}}. \quad (9)$$

Т.е. с увеличением объема данных модель становится точнее, а общее время использования остается значительно меньше.

Рассмотрим использование данных соотношений на практике.

При $N = 1000$ – количество комбинаций параметров, $T_{exp} = 1$ час – время одного эксперимента.

$T_{train} = 10$ часов – время обучения модели.

$M = 1000$ – количество предсказаний(запросов).

$T_{pred} = 0.01$ часа (36 секунд) – время одного предсказания.

В результате расчетов можно сделать выводы: время использования модели в 50 раз быстрее:

$$\frac{T_{total}^{model}}{T_{total}^{exp}} = \frac{1000}{20} = 50.$$

На старте модель менее точная из-за дополнительной ошибки $b = 0.5$. Однако с увеличением данных ошибка модели приближается к экспериментальной, таким образом если $D = 10000$, то $MAE_{model}(D) = \frac{a}{\sqrt{D}} + b = \frac{5}{\sqrt{10000}} + 0.5 = 0.55$.

Таблица 1

Сравнение моделей

Метод	Время обучения, ч	MAE, Гц	MSE, (Гц) ²	R ²
Эксперименты	1000 ч	0.10	0.015	0.92
CatBoost (ML)	10	0.55	0.50	0.65
CatBoost (ML)	30 (расшир. данные)	0.15	0.03	0.90

Расчет ошибок. Для экспериментов расчет ошибок проводится по (10).

$$MAE_{exp}(N) = \frac{k}{\sqrt{N}}, \quad (10)$$

где $k = 5$ – эмпирический коэффициент.

Таким образом время составит.

Экспериментальный подход:

$$T_{total}^{exp} = N * T_{exp} = 1000 * 1 = 1000 \text{ часов.}$$

Использование модели:

$$T_{total}^{model} = T_{train} + M * T_{pred} = 10 + 1000 * 0.01 = 20 \text{ часов.}$$

Ошибки составят.

Для экспериментов:

$$MAE_{exp}(N) = \frac{k}{\sqrt{N}} = \frac{5}{\sqrt{1000}} \approx 0.158.$$

Для модели:

$$MAE_{model}(D) = \frac{a}{\sqrt{D}} + b = \frac{5}{\sqrt{1000}} + 0.5 \approx 0.658.$$

График ошибок представлен на рис. 6.

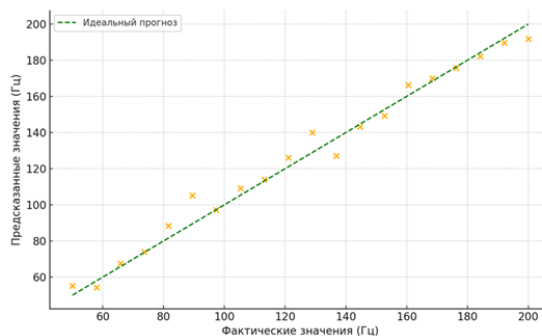


Рис. 6. График ошибок при использовании программного модуля

Заключение. Разработанная математическая модель и программный модуль на основе машинного обучения позволяют сократить затраты времени и ресурсов при проектировании электромеханических преобразователей (табл. 1). Например, при проведении 1000 измерений, использование программного модуля позволяет ускорить процесс проектирования в 50 раз. В сравнении с традиционными экспериментальными методами [14–20], предложенный подход демонстрирует существенное преимущество за счет минимизации количества физических испытаний. Анализ временных затрат показывает, что использование машинного обучения ускоряет процесс разработки в десятки раз, сохраняя при этом высокий уровень точности прогнозирования параметров. С увеличением объема обучающих данных модель становится еще более точной, что делает ее применение перспективным для автоматизации и оптимизации проектирования в данной области. Практическое применение программного модуля позволяет ускорить процесс проектирования преобразователей требуемых частотных характеристик.

Исследования выполнены в рамках проекта No FSFS-2024-0012.

БИБЛИОГРАФИЧЕСКИЙ СПИСОК

1. Белоусов В.А., Козлов С.Н. Разработка электромеханических преобразователей с заданными амплитудно-частотными характеристиками // Вестник технических наук. – 2022. – № 3. – С. 58-64.
2. Громов А.И., Сидоров П.В. Анализ параметров электромеханических преобразователей на основе пьезоэлектрических материалов // Научные труды МГТУ им. Н.Э. Баумана. – 2021. – Т. 85, № 2. – С. 112-119.
3. Иванов В.М., Петров А.К. Оптимизация характеристик электромеханических преобразователей для вибрационных систем // Известия высших учебных заведений. Машиностроение. – 2023. – № 5. – С. 27-35.
4. Зайцев О.Л., Михайлов С.П. Методика расчета амплитудно-частотных характеристик электромеханических преобразователей // Электротехнический журнал. – 2020. – № 4. – С. 41-48.
5. Смирнов Д.Н., Кузнецов Л.А. Современные технологии проектирования электромеханических систем // Вестник инженерных наук. – 2022. – Т. 10, № 1. – С. 88-95.

6. Ковалев Ю.П., Егоров Н.С. Разработка алгоритмов синтеза амплитудно-частотных характеристик электромеханических преобразователей // Научные записки кафедры электротехники. – 2023. – № 2. – С. 77-84.
7. Федоров А.В., Лебедев М.Г. Инновационные подходы к проектированию электромеханических преобразователей в системах автоматизированного управления // Автоматизация и электроника. – 2021. – № 6. – С. 103-109.
8. Веселов О.В., Веселов А.О. Моделирование электромеханических систем: учеб. пособие. Владимир. гос. ун-т им. А.Г. и Н.Г. Столетовых. – Владимир: Изд-во ВлГУ, 2021. – 404 с. – ISBN 978-5-9984-1219-6.
9. Ермоленко Е.Ю., Веселов О.В. Оценка эффективности функционирования электромеханических систем методом иерархической декомпозиции с использованием параллельных моделей диагностирования в пространстве состояний // Автоматизация в промышленности. – 2007. – № 7. – С. 46-50.
10. Ольшевский В.В. Статистические методы в гидролокации. – 2-е изд. – Л.: Судостроение 1983. – 280 с.
11. Розанов И.А., Сотников А.А. Имитационное моделирование гидроакустических сигналов на промежуточной частоте // Наука и Образование МГТУ им. Н.Э. Баумана. Электронный журнал. – 2016. – № 12. – С. 279-299.
12. Shlaev V.I., Bilchuk M.V., Tyasto S.A. Development of a Switching Circuit for the Operation of a Multichannel System in Reception and Emission Modes // 2021 International Conference on Industrial Engineering, Applications and Manufacturing (ICIEAM), Sochi, Russia, 2021. – P. 461-465.
13. Шаев В.И., Бильчук М.В., Тясто С.А. Программный комплекс для автоматизации процесса регистрации данных многоканальной системы электрических сигналов // Международная научная конференция «Самарские чтения (в память об академике А.А. Самарском (SR-2021))», Москва, 22-25 декабря 2021 г. – С. 246-247.
14. Александров К.В., Титов Р.И. Применение методов машинного обучения для анализа характеристик датчиков // Инженерный журнал. – 2023. – № 7. – С. 122-130.
15. Мартынов Е.С., Григорьев А.П. Исследование влияния материалов на амплитудно-частотные характеристики преобразователей // Электромеханика и автоматизация. – 2022. – № 4. – С. 67-74.
16. Власов Н.Д., Чернышов О.В. Оптимизация проектирования вибрационных датчиков на основе математического моделирования // Вестник приборостроения. – 2021. – № 5. – С. 98-105.
17. Романов А.В., Юдин С.П. Автоматизированное проектирование пьезоэлектрических преобразователей // Научный вестник электроники. – 2020. – № 3. – С. 35-42.
18. Семенов В.К., Климович Е.Н. Алгоритмы машинного обучения в моделировании динамических систем // Вестник вычислительной техники. – 2023. – № 2. – С. 144-152.
19. Лебедев В.А., Кузьмин Д.П. Разработка программного обеспечения для моделирования характеристик электромеханических систем // Автоматизация и моделирование. – 2022. – № 1. – С. 55-62.
20. Тихонов Ю.М., Сорокин Н.И. Применение искусственного интеллекта для оптимизации проектирования акустических датчиков // Журнал прикладной математики и информатики. – 2021. – № 6. – С. 88-96.

REFERENCES

1. Belousov V.A., Kozlov S.N. Razrabotka elektromekhanicheskikh preobrazovateley s zadannymi amplitudno-chastotnymi kharakteristikami [Development of electromechanical converters with specified amplitude-frequency characteristics], *Vestnik tekhnicheskikh nauk* [Bulletin of Technical Sciences], 2022, No. 3, pp. 58-64.
2. Gromov A.I., Sidorov P.V. Analiz parametrov elektromekhanicheskikh preobrazovateley na osnove p'ezoelektricheskikh materialov [Analysis of parameters of electromechanical converters based on piezoelectric materials], *Nauchnye trudy MGTU im. N.E. Baumana* [Scientific works of Bauman Moscow State Technical University], 2021, Vol. 85, No. 2, pp. 112-119.
3. Ivanov V.M., Petrov A.K. Optimizatsiya kharakteristik elektromekhanicheskikh preobrazovateley dlya vibratsionnykh sistem [Optimization of characteristics of electromechanical transducers for vibration systems], *Izvestiya vysshikh uchebnykh zavedeniy. Mashinostroenie* [News of higher educational institutions. Mechanical engineering], 2023, No. 5, pp. 27-35.
4. Zaytsev O.L., Mikhaylov S.P. Metodika rascheta amplitudno-chastotnykh kharakteristik elektromekhanicheskikh preobrazovateley [Methodology for calculating the amplitude-frequency characteristics of electromechanical converters], *Elektrotekhnicheskii zhurnal* [Electrotechnical journal], 2020, No. 4, pp. 41-48.
5. Smirnov D.N., Kuznetsov L.A. Sovremennyye tekhnologii proektirovaniya elektromekhanicheskikh sistem [Modern technologies for designing electromechanical systems], *Vestnik inzhenernykh nauk* [Bulletin of Engineering Sciences], 2022, Vol. 10, No. 1, pp. 88-95.

6. Kovalev Yu.P., Egorov N.S. Razrabotka algoritmov sinteza amplitudno-chastotnykh kharakteristik elektromekhanicheskikh preobrazovateley [Development of algorithms for the synthesis of amplitude-frequency characteristics of electromechanical converters], *Nauchnye zapiski kafedry elektrotehniki* [Scientific notes of the Department of Electrical Engineering], 2023, No. 2, pp. 77-84.
7. Fedorov A.V., Lebedev M.G. Innovatsionnye podkhody k proektirovaniyu elektromekhanicheskikh preobrazovateley v sistemakh avtomatizirovannogo upravleniya [Innovative approaches to the design of electromechanical converters in automated control systems], *Avtomatizatsiya i elektronika* [Automation and Electronics], 2021, No. 6, pp. 103-109.
8. Veselov O.V., Veselov A.O. Modelirovanie elektromekhanicheskikh sistem: ucheb. posobie. Vladim. gos. un-t im. A.G. i N.G. Stoletovykh [Modeling of electromechanical systems: textbook; Vladimir State University named after A. G. and N. G. Stoletov]. Vladimir: Izd-vo VIGU, 2021, 404 p. ISBN 978-5-9984-1219-6.
9. Ermolenko E.Yu. Veselov O.V. Otsenka effektivnosti funktsionirovaniya elektromekhanicheskikh sistem metodom ierarkhicheskoy dekompozitsii s ispol'zovaniem parallel'nykh modeley diagnostirovaniya v prostranstve sostoyaniy [Evaluation of the effectiveness of electromechanical systems by hierarchical decomposition using parallel diagnostic models in the state space], *Avtomatizatsiya v promyshlennosti* [Automation in industry], 2007, No. 7, pp. 46-50.
10. Ol'shevskiy V.V. Statisticheskie metody v gidrolokatsii [Statistical methods in sonar]. 2nd ed. Leningrad: Sudostroenie 1983, 280 p.
11. Rozanov I.A., Sotnikov A.A. Imitatsionnoe modelirovanie gidroakusticheskikh signalov na promezhutochnoy chastote [Simulation of sonar signals at an intermediate frequency], *Nauka i Obrazovanie MGTU im. N.E. Baumana. Elektronnyy zhurnal* [Science and Education of Bauman Moscow State Technical University. The electron. Journal], 2016, No. 12, pp. 279-299.
12. Shlaev V.I., Bilchuk M.V., Tyasto S.A. Development of a Switching Circuit for the Operation of a Multichannel System in Reception and Emission Modes, *2021 International Conference on Industrial Engineering, Applications and Manufacturing (ICIEAM), Sochi, Russia, 2021*, pp. 461-465.
13. Shlaev V.I., Bil'chuk M.V., Tyasto. S.A. Programmnyy kompleks dlya avtomatizatsii protsessa registratsii dannykh mnogokanal'noy sistemy elektricheskikh signalov [A software package for automating the data registration process of a multichannel electrical signal system], *Mezhdunarodnaya nauchnaya konferentsiya «Samsarskie chteniya (v pamyat' ob akademike A.A. Samarskom (SR-2021))», Moskva, 22-25 dekabrya 2021 g.* [International scientific conference "Samara readings (in memory of Academician A.A. Samarsky (SR-2021)", Moscow, December 22-25, 2021], Spp 246-247.
14. Aleksandrov K.V., Titov R.I. Primenenie metodov mashinnogo obucheniya dlya analiza kharakteristik datchikov [Application of machine learning methods for analyzing sensor characteristics], *Inzhenernyy zhurnal* [Engineering Journal], 2023, No. 7, pp. 122-130.
15. Martynov E.S., Grigor'ev A.P. Issledovanie vliyaniya materialov na amplitudno-chastotnye kharakteristiki preobrazovateley [Investigation of the influence of materials on the amplitude-frequency characteristics of converters], *Elektromekhanika i avtomatizatsiya* [Electromechanics and automation], 2022, No. 4, pp. 67-74.
16. Vlasov N.D., Chernyshov O.V. Optimizatsiya proektirovaniya vibratsionnykh datchikov na osnove matematicheskogo modelirovaniya [Optimization of vibration sensor design based on mathematical modeling], *Vestnik priborostroeniya* [Bulletin of Instrument Engineering], 2021, No. 5, pp. 98-105.
17. Romanov A.V., Yudin S.P. Avtomatizirovannoe proektirovanie p'ezoelektricheskikh preobrazovateley [Computer-aided design of piezoelectric converters], *Nauchnyy vestnik elektroniki* [Scientific Bulletin of Electronics], 2020, No. 3, pp. 35-42.
18. Semenov V.K., Klimovich E.N. Algoritmy mashinnogo obucheniya v modelirovanii dinamicheskikh sistem [Machine learning algorithms in dynamic systems modeling], *Vestnik vychislitel'noy tekhniki* [Bulletin of Computing Technology], 2023, No. 2, pp. 144-152.
19. Lebedev V.A., Kuz'min D.P. Razrabotka programmnoy obespecheniya dlya modelirovaniya kharakteristik elektromekhanicheskikh sistem [Software development for modeling the characteristics of electromechanical systems], *Avtomatizatsiya i modelirovanie* [Automation and modeling], 2022, No. 1, pp. 55-62.
20. Tikhonov Yu.M., Sorokin N.I. Primenenie iskusstvennogo intellekta dlya optimizatsii proektirovaniya akusticheskikh datchikov [Application of artificial intelligence to optimize the design of acoustic sensors], *Zhurnal prikladnoy matematiki i informatiki* [Journal of Applied Mathematics and Computer Science], 2021, No. 6, pp. 88-96.

Шлаев Виктор Иванович – Московский государственный технологический университет «СТАНКИН»; e-mail: shl.vik.iv@gmail.com; г. Москва, Россия; тел.: 89271957909; аспирант.

Shlaev Victor Ivanovich – Moscow State University of Technology «STANKIN»; e-mail: shl.vik.iv@gmail.com; Moscow, Russia; phone: +79271957909; postgraduate student.

Е.А. Титенко

**ПРЕОБРАЗОВАТЕЛИ УНИТАРНЫХ КОДОВ ДЛЯ ОДНОРОДНЫХ
ВЫЧИСЛИТЕЛЬНЫХ СИСТЕМ**

Актуальность. Эффективная работа вычислительных систем, в том числе, основывается на общезначимых обеспечивающих вычислениях по планированию параллельных вычислений и анализу результатов. Достаточно важными вычислительными средствами являются преобразователи (формирователи) унитарных кодов, совмещающих свойства числовой и символической информации. **Цель работы** – создание высокопроизводительных вычислительных схем для обработки унитарных кодов на единой теоретической основе. **Методы исследования.** Известные одномерные и двумерные итерационные сети являются основой для создания однородных преобразователей унитарных кодов. Такие сети имеют необходимые и достаточные условия для организации параллельных вычислений. Для синтеза преобразователей унитарных кодов были выделены следующие принципы обработки, свойственные для чисел и строк: двунаправленность обработки, разбиение на множество локальных процессов с собственными стартовыми точками, иерархия, мультифункциональность, дуализм цифра/символ. Описанные преобразователи используют известные и приносят новые схемотехнические решения. Описаны цифровой компрессор, формирователь серии логических «1», арбитр, пороговый элемент весовых и унитарных кодов. **Результаты и обсуждения.** Созданы практически значимые схемы прямых и обратных преобразователей кодов «8-4-2-1 – нормализованный код», используемые в однородных вычислительных системах – мультипроцессорах, ассоциативных процессорах и др. Количественные оценки преобразователей унитарных кодов проведены для порогового элемента весового и унитарного кодов. Данный преобразователь основан на дуальной трактовке элементов кода как цифры или символа, что позволило на завершающей фазе вычислений (против стандартного метода) исключить линейную временную зависимость для вычисления результата сравнения двух кодов. Показано, что для унитарных кодов размеров от 12 до 36 бит временной выигрыш составляет 14-16%. Данный эффект получен за счет исключения последовательных вычислений между ячейками итерационной сети. **Выводы.** Для построения эффективных по времени схем преобразования унитарных кодов использован и развит аппарат итерационных сетей, на основе которых созданы одномерные, двумерные итерационные сети с регулярными связями, а также преобразователи на основе универсальных логических модулей.

Итерационная сеть; дуализм данных; параллельная обработка.

Е.А. Titenko

UNITARY CODE CONVERTERS FOR HOMOGENEOUS COMPUTING SYSTEMS

Relevance. Effective operation of computing systems, among other things, is based on generally significant supporting calculations for planning parallel calculations and analyzing the results. Converters (formers) of unitary codes that combine the properties of numerical and symbolic information are quite important computing units. **The purpose of the work** is to create high-performance computing tools for processing unitary codes on a single theoretical basis. **Research methods.** Known one-dimensional and two-dimensional iterative networks are the basis for creating homogeneous converters of unitary codes that have the necessary and sufficient conditions for organizing parallel calculations. To synthesize unitary code converters, the following processing principles inherent in numbers and strings were identified: bidirectional processing, splitting into many local processes with their own starting points, hierarchy, multifunctionality, digit/symbol dualism. The described converters use known and introduce new circuit solutions. A digital compressor, a generator of a series of logical "1", an arbiter, a threshold element of weight and unitary codes are described. **Results and discussions.** Practically significant circuits of direct and inverse converters of "8-4-2-1 – normalized code" codes are created, used in homogeneous computing systems - multiprocessors, associative processors, etc. Quantitative assessments of unitary code converters are carried out for the created converter – a threshold element of weight and unitary codes. This converter is based on the dual interpretation of code elements as a digit and a symbol, which made it possible to exclude the linear time dependence on obtaining the result of comparing two codes at the final stage of calculations (versus the standard method). It is shown that for unitary codes of sizes from 12 to 36 bits, the time gain is 14-16%. This effect is obtained by eliminating sequential calculations between the cells of the iterative network. **Conclusions.** To construct effective time-saving schemes for converting uni-

tary codes, the apparatus of iterative networks was used and developed, on the basis of which one-dimensional and two-dimensional iterative networks with regular connections were created, as well as converters based on universal logical modules.

Iterative network; data dualism; parallel processing.

Введение. Создание новых информационных технологий параллельной обработки данных и знаний является одним из важнейших направлений развития высокопроизводительных вычислительных систем и устройств (ВС и ВУ) [1, 2]. Повышение их производительности возможно, как на основе технологических, структурных подходов [3], так и на основе эксплуатационно-организационных подходов [4].

По мнению ведущих ученых и специалистов в области аппаратно-программных вычислительных средств (Воеводин, В.В., Воеводин, Вл.В., Бурцев В.С., Эйсымонт Л.К., Каляев И.А., Левин И.И., Курейчик В.М., Курейчик В.В., Стемпковский Л.А., Желтов С.Ю., Огнев Б.В., Корнеев В.В. и др.) [5, 6] вновь создаваемые парадигмы интеллектуальных вычислений и гибридные методы обработки востребованы в новых проблемно-поисковых задачах, оперирующих числовой и символьной информацией [7]. Среди значимых тенденций развития ВС и ВУ выделяются подходы создания нетрадиционных архитектур ВС и ВУ, комбинирующих принципы реконфигурации операционной части ВС или ВУ [8] распараллеливания потоков команд и/или данных, конвейеризации вычислений [9], создания «умных» схем контроля параллельных процессов и обеспечения взаимодействия между ними [10].

Современная вычислительная техника, приборостроение, биомехатроника ориентируются на новый класс задач – поисково-вычислительные, слабо формализуемые задачи, задачи когнитивного моделирования и др. [11]. Также в качестве знаковых примеров ведущие ученые указывают задачи комбинаторики слов [12], вычислительной химии и физики, моделирования биологических систем [13], задачи оперативного анализа активности социальных сетей [14], NP-трудные задачи [15], поисково-переборные задачи биосинтеза объектов с заданными свойствами [16]. Общее свойств задач – переборный характер решения и недетерминированность.

Применение ВС с традиционными архитектурами пост-фон-неймановского типа (кластерные ВС, гибридные ВС) не позволяет решать такие проблемно-поисковые задачи с недетерминированным ходом решения. Как правило, их решение основывается на введении модельных упрощений, использовании приближенных вычислительных методов расчета или ограниченного поиска. Как следствие, время решения таких задач или получаемое качество не являются приемлемыми на практике, особенно в критических областях применения.

Таким образом, создание нестандартных технических решений для параллельной обработки информации является актуальным направлением развития однородных ВС и организации числовых и символьных вычислений.

Постановка задачи. Эффективная работа высокопроизводительных однородных ВС основывается не только на распараллеливании и одновременном выполнении множества рабочих вычислительных процессов. Не меньшую роль играют обеспечивающие процессы планирования и анализа полученных результатов. Так, в состав однородных мультипроцессоров входит аппаратно-программный планировщик задач, оценивающий и контролирующий ход и статус рабочих процессов, выполняющихся на вычислительных модулях. Ассоциативные процессоры машин баз данных содержат блоком выделения приоритетного решения для выдачи полученных решений из ячеек ассоциативной памяти для последующей обработки [7, 17]. Независимость рабочих процессов в однородных ВС приводит к тому, что двоичные признаки полученных результатов сами представляют новую информацию о распределении результатов, о конфигурации операционной части ВС. Двоичные признаки результатов описываются унитарными кодами (УК), а комбинационные схемы называются преобразователи (формирователи) УК [18, 19].

Унитарный код (УК) – это двоичный не весовой код, количественное значение в котором определяется числом логических «1». УК формируется как двоичный результат параллельной работы множества устройств, блоков, модулей ВС или ВУ на выполняе-

мых рабочих процессах. Основные особенности УК – вариативность представления чисел и независимость элементов кода между собой. Эти особенности позволяют дуально рассматривать УК как число в особом формате или как битовую строку. При этом трактовка УК как строки имеет признаки более общей информационной сущности, что позволяет вести ее независимую обработку при условии аппаратной поддержки элементарных микроопераций преобразования бит УК.

Наиболее важные операции над УК, известные в [19, 20], приведены в табл. 1, где ЧИ –числовая информация, СИ –символьная информация.

Для расширения функциональных возможностей и повышения производительности однородных ВС необходимы схмотехнические решения преобразователей (формирователей) УК на основе принципов однородности и параллельной обработки

Таблица 1

Типовые операции над УК

№ п/п	Операция	Тип информации
1	преобразование «УК → нормализованный УК»	ЧИ
2	подсчет количества логических «1»	ЧИ
3	поиск первого правого/левого логического «0»	СИ
4	поиск первой правой/левой логической «1»	СИ
5	поиск адреса первого правого/левого логического «0»	ЧИ
6	поиск адреса первой правой/левой логической «1»	СИ
7	поиск правой/левой серии логических «0»	СИ
8	поиск правой/левой серии логических «1»	СИ
9	преобразование «8-4-2-1 → нормализованный УК»	ЧИ
10	преобразование «нормализованный УК → 8-4-2-1»	ЧИ
11	правое дополнение серии логических «1»	СИ
12	левое дополнение серии логических «1»	СИ

Методы решения. Теоретической основой создания однородных преобразователей (формирователей) УК являются итерационные сети [19] и принципы синтеза типовых комбинационных схем [20]. Итерационная сеть – это однородная система вычислительных ячеек с регулярными связями близкодействия для передачи информационно-управляющих сигналов между ячейками. Итерационная сеть осуществляет прием входных операндов и выдачу выходных значений в параллельном коде, но с последовательным срабатыванием ячеек за счет связующей функции между ячейками.

Характеристиками итерационной сети являются:

- ◆ количество входных и выходного кодов;
- ◆ длины входного и выходного кодов;
- ◆ направление вычислений;
- ◆ мерность сети;
- ◆ количество соединений между ячейками.

Функциональные узлы на базе итерационных сетей разрабатываются в составе реконфигурируемых ВС, вычислительная структура которых соответствует информационному графу задачи. Известный в теории структурно-процедурных вычислений метод распараллеливания по итерациям позволяет строить конвейеризированные двумерные вычислительные структуры для распределения и потоковой обработки массивов данных (задачи сортировки, линейной алгебры, обработки разреженных матриц и др.) [21].

На рис. 1 и 2 показаны двумерная итерационная сеть с вычислительными ячейками двух типов, построенные по информационному графу задачи умножения вектора на матрицу, сортировки «пузырьком» и др. [22, 23].

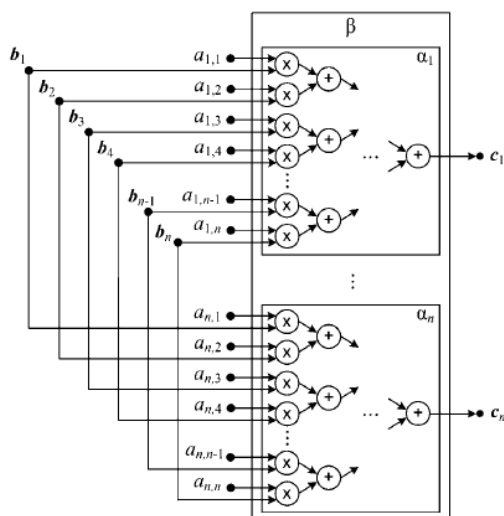


Рис. 1. Итерационная сеть умножения вектора на матрицу

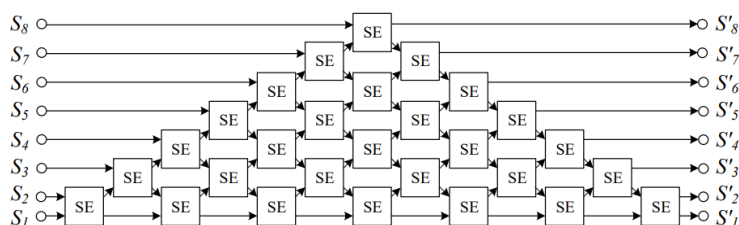


Рис. 2. Итерационная сеть сортировки «пузырьком»

Наибольшее распространение получили одномерные итерационные сети с одним или двумя входными кодами (операндами) и единственным выходным кодом с одним направлением передачи связей между ячейками. На рисунке 3 показан общий вид одномерной итерационной сети, перерабатывающей входной код $X = x_1 x_2 \dots x_n$ в выходной код $Y = y_1 y_2 \dots y_n$ с заданным направлением связи ячеек слева направо с помощью связующей функции $V = v_1 v_2 \dots v_n v_{n+1}$.

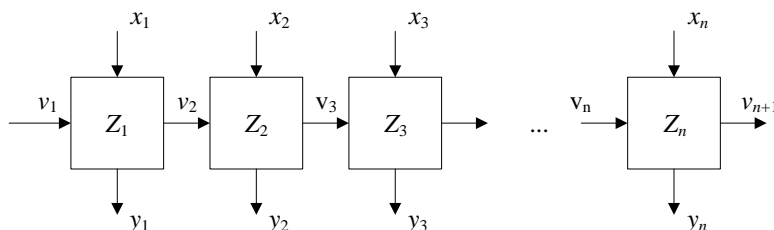


Рис. 3. Одномерная однонаправленная итерационная сеть

Время работы итерационной сети линейно зависит от длины кода n и составляет $T = nt_{CELL}$, где t_{CELL} – задержка одной ячейки. Динамика получения выходных разрядов в коде $Y = y_1 y_2 \dots y_n$ описывается дискретными моментами времени $t_{CELL}, 2t_{CELL}, \dots, nt_{CELL}$. Следовательно, общее время работы итерационной сети определяется моментом времени срабатывания граничной ячейки Z_n .

В зависимости от решаемой задачи итерационная сеть может быть двунаправленной, задавая с двух сторон связующую функцию $V = v_1 v_2 \dots v_n v_{n+1}$ (рис. 4).

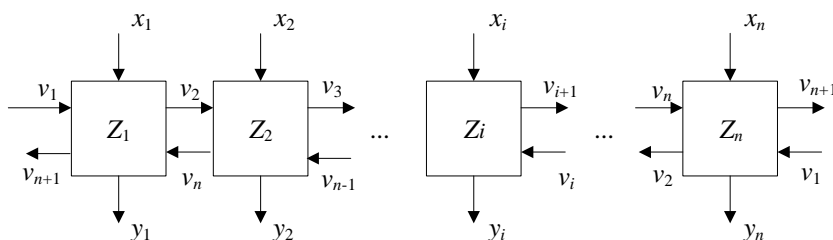


Рис. 4. Одномерная двунаправленной итерационная сеть

При такой организации итерационной сети итоговый выходной код $Y = y_1 y_2 \dots y_n$ по всем разрядам формируется с двух направлений за время $T = (n / 2) t_{CELL}$. Последней вычисляется центральная ячейка итерационной сети Z_i

Известным примером итерационной сети с двумя входными операндами является параллельный сумматор с последовательными переносами [20] между двоичными сумматорами.

Другими известными примерами итерационных сетей являются кодирующие или шифрующие схемы [24, 25], обработчики в конечных полях Галуа [26], тракующие входной код как строку элементов с их последовательным поэлементным преобразованием. Также известны схемотехнические решения функциональных узлов – схемных формирователей УК [27, 28] под различные прикладные задачи. Главная особенность созданных схемных формирователей – использование типовых комбинационных схем (дешифратор, мультиплексор и др.) при преобразовании УК.

Эффективная работа однородных ВС, в первую очередь, использует такие операции над УК (табл. 1) как

- ◆ нормализация унитарного кода;
- ◆ прямое преобразования стандартного весового кода 8-4-2-1 в нормализованный УК и обратное преобразование;
- ◆ формирование серии логических «1»/серии логических «0».

Под нормализованным УК (НУК) понимается двоичный код, в котором серия логических «1» выровнена по правой или левой границе кода.

Известна двумерная итерационная сеть для формирования нормализованного кода из исходного УК под названием цифровой компрессор [18]. Пример работы цифрового компрессора приведен в табл. 2, где показаны исходные УК и соответствующий им нормализованный УК.

Работа цифрового компрессора основана на последовательно-параллельных вычислительных процессах продвижения логических «1» по строкам и столбцам ячеек сети.

Таблица 2

Пример работы цифрового компрессора

1	0	0	1	0	0
0	1	0	1	1	0
0	0	1	0	1	1
1	1	1	0	0	1
Исходный унитарный код					Нормализованный унитарный код

Схема цифрового компрессора представляет собой двумерную итерационную сеть ячеек в форме прямоугольного треугольника. Цифровой компрессор состоит из $(n-1)! = (n-1) \times (n-2) \times \dots \times 2$ ячеек, имеет один информационный n разрядный вход и один

информационный n разрядный выход. Каждая ячейка имеет 2 входа (первый горизонтальный и второй вертикальный входы) и 2 выхода (первый горизонтальный и второй вертикальный выходы).

Каждая текущая логическая «1» из входного кода стремится при отсутствии конфликта занять текущую строку цифрового компрессора и дойти до граничного элемента цифрового компрессора. При обнаружении конфликта между логической «1», идущей слева, и логической «1», расположенной в текущей позиции УК продвижение логической «1», идущей слева, продолжается вверх на следующую строку в цифровом компрессоре. Конфликт разрешается тем, что логическая «1», идущая слева, занимает выше расположенную строку в цифровом компрессоре с помощью двухвходового элемента И, а логическая «1», расположенная в текущей позиции УК, движется по текущей строке вправо в цифровом компрессоре с помощью двухвходового элемента ИЛИ (рис. 5).

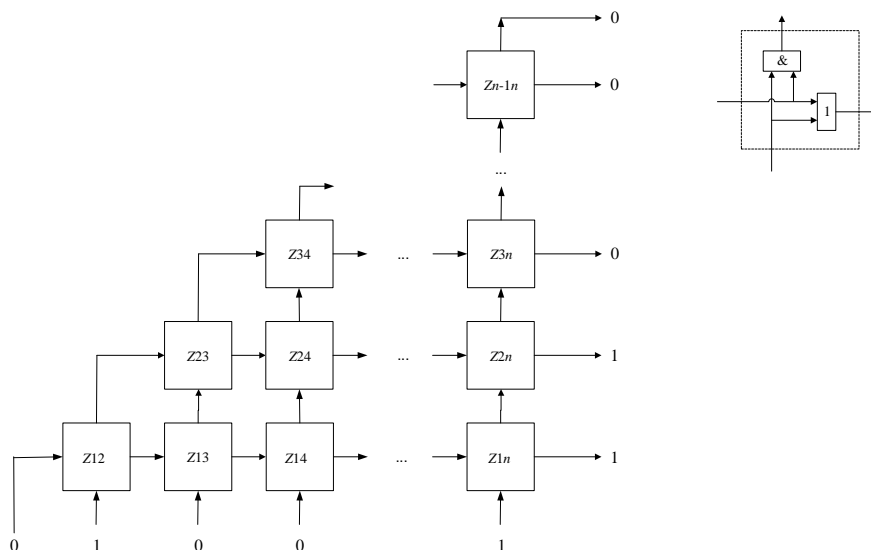


Рис. 5. Цифровой компрессор для формирования НУК

Схема прямого преобразования двоичного весового кода 8-4-2-1 в НУК имеет вид «8-4-2-1» → ЕПК → нормализованный УК» (рис. 6), где ЕПК – единичный позиционный код, формируемый дешифратором.

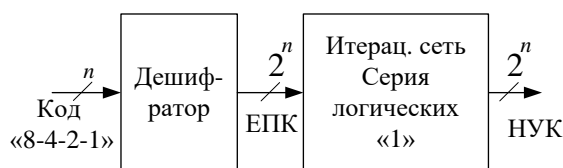


Рис. 6. Схема прямого преобразования в НУК

Одномерная итерационная сеть для формирования серии логических «1» из ЕПК позволяет получить НУК, соответствующий исходному весовому коду.

Схема обратного преобразования из УК в стандартный весовой код 8-4-2-1 имеет вид «УК → НУК → ЕПК → 8-4-2-1» (рис. 7).

Пусть задан унитарный код $U = u_1 u_2 \dots u_n$ разрядностью n бит. Первая слева логическая «1» в составе УК является приоритетной логической «1». Арбитр как функциональный узел имеет вид согласно однонаправленной сети на рис. 3, где $V = v_1 v_2 \dots v_n v_{n+1}$ – связующая функция для выделения приоритетной (первой слева) логической «1».

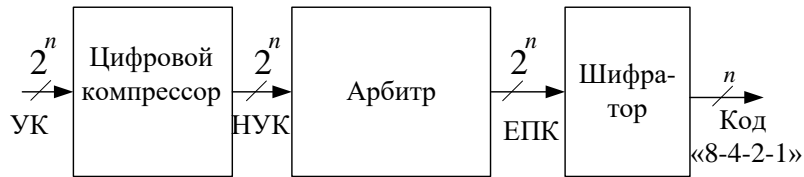


Рис. 7. Схема обратного преобразования УК

Ячейка арбитра представляет собой «черный» ящик, работа которого описывается таблицей истинности от 2 входных переменных (u_i, v_i), вычисляющей 2 выходные переменные (y_i, v_{i+1}). Работа арбитра состоит в получении из унитарного кода вида 0..1..1..0..1..0 выходного унитарного кода вида 0..1..0..0..0..0. Таблица истинности ячейки арбитра показана в табл. 3.

Таблица 3

Таблица истинности работы ячейки арбитра

v_i	u_i	y_i	v_{i+1}
0	0	0	0
0	1	1	1
1	0	0	1
1	1	0	1

Синтез выходных функций имеет следующий результат

$$y_i = \bar{v}_i \ \& \ u_i, \tag{1}$$

$$v_{i+1} = v_i \ \vee \ u_i. \tag{2}$$

Пусть также задан унитарный код $U = u_1 u_2 \dots u_n$ разрядностью n бит. Требуется сформировать серию логических «1» от первой слева логической «1» в составе УК. Такая однонаправленная сеть как функциональный узел также имеет вид согласно рис. 3, где $V = v_1 v_2 \dots v_n v_{n+1}$ – связующая функция для формирования серии логических «1».

Ячейка итерационной сети формирования серии логических «1» представляет собой «черный» ящик, работа которого описывается таблицей истинности от 2 входных переменных (u_i, v_i), вычисляющей 2 выходные переменные (y_i, v_{i+1}).

Работа итерационной сети формирования серии логических «1» состоит в получении из унитарного кода вида 0..1..1..0..1..0 выходного унитарного кода вида 0..1..1..1..1..1. Таблица истинности ячейки арбитра показана в табл. 4.

Таблица 4

Таблица истинности работы ячейки сети для формирования серии логических «1»

v_i	u_i	y_i	v_{i+1}
0	0	0	0
0	1	1	1
1	0	1	1
1	1	1	1

$$y_i = v_i \ \vee \ u_i, \tag{3}$$

$$v_{i+1} = v_i \ \vee \ u_i. \tag{4}$$

Результаты и обсуждение. На практике для интеллектуальной обработки УК достаточно важной операцией является операция приблизительного сравнения двух чисел «меньше или равно»/«больше или равно». В этом случае пороговое значение задает некий допустимый порог числа выполненных рабочих процессов, а входной УК содержит

фактическое количество выполненных рабочих процессов. Проблемная ситуация состоит в том, что пороговое значение имеет преимущественно представление в двоичном весовом коде 8-4-2-1. Традиционный подход состоит в приведении форматов данных к единому виду и последующем сравнении двух чисел в едином формате. Главная недостаток такого преобразования – избыточные затраты времени на прямое или обратное преобразования УК в весовой код 8-4-2-1. Для повышения производительности работы схемы приблизительного сравнения использованы возможности многовходового мультиплексора как универсального логического модуля [28] (рис. 8).

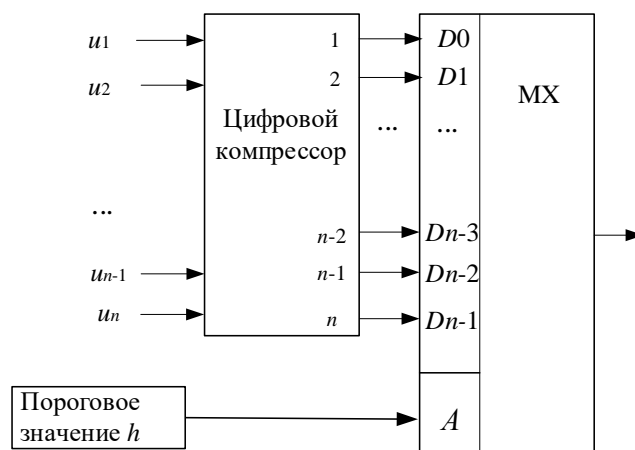


Рис. 8. Схема приблизительного сравнения УК и кода 8-4-2-1

Схема приблизительного сравнения работает следующим образом. Пороговое значение h хранит двоичный весовой код числа не совпавших элементов (если двоичный код равен нулю, то выполняется точное сравнение).

Цифровой компрессор формирует из входного n -разрядный унитарного кода нормализованный УК, который поступает по прямой схеме подключений на информационные входы многовходового мультиплексора MX. На адресный вход A многовходового мультиплексора поступает пороговое значение h . Многовходовой мультиплексор осуществляется выбор соответствующего бита из нормализованного УК. Если на выход мультиплексора в соответствии со значением порогового h значения поступает логическая «1», то на выходе схемы формируется положительный результат приблизительного поиска, так как число совпавших логических «1» в нормализованном унитарном коде больше порогового значения.

Пусть для $n=8$ пороговое значение $h=2$, а нормализованный УК=0000 1111. Тогда обращение к информационному входу по адресу 2 подает на выход многовходового мультиплексора логическую «1», что соответствует положительному результату сравнения.

Пусть для $n=8$ пороговое значение $h=4$, а нормализованный УК=00000111. Тогда обращение к информационному входу по адресу 4 подает на выход многовходового мультиплексора логический «0», что соответствует отрицательному результату сравнения.

На рис. 9 показаны время метода приблизительного сравнения с использованием мультиплексора (Метод 2) и стандартного метода с приведением к единому формату чисел (Метод 1) для переменной длины кода $n=4, 8, 12, 16, 20, 24, 28, 32, 36$ бит, приняв следующие временные задержки (в условных единицах времени), $\tau_{ЛЭ}=2, T_{compress}=2+(n-1), T_{net}=4+2(n+1)$.

Анализ графиков на рис. 9 показывает, что эффективная область для созданного преобразователя – порогового элемента сравнения весовых и унитарных кодов начинается от 12 бит и составляет 14-16% выигрыша во времени в сравнении с традиционным преобразователем, основанным на приведении кодов к единому формату и выполнении всех вычислений на итерационных сетях.

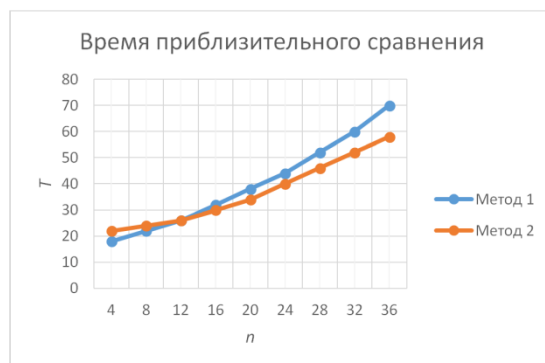


Рис. 9. Время приблизительного сравнения

Для последующего повышения эффективности работы одномерных итерационных сетей целесообразно использовать иерархический принцип обработки, состоящий в разбиении входного УК с единственной стартовой точкой на g подстрок с собственными стартовыми точками. Этот подход детально описан в [30, 31]. При формировании множества стартовых точек по входному УК возможно распараллеливание вычислений над самостоятельными подстроками, а число подстрок в составе УК определяется требованиями к временным и аппаратным затратам в однородной ВС.

Заключение. Преобразователи (формирователи) унитарных кодов относятся к классу комбинационных схем, принципы построения которых преимущественно проработаны для числового формата данных. Тем не менее унитарные коды достаточно часто представляют собой битовые строки, используемые в моделях обработки знаний и параллельных вычислениях, например в экспертных системах при анализе конфликтных множеств или результатов одновременного срабатывания нескольких правил, в крипто-, генетико-исследованиях и др. [32].

Для построения эффективных по времени схем преобразования унитарных кодов целесообразно использовать и развивать аппарат итерационных сетей, на основе которых возможно создание одномерных и двумерных сетей. Использование принципа иерархической обработки строки с несколькими стартовыми точками позволяет получить дополнительный временной выигрыш за счет организации множества параллельных локальных рабочих процессов, хотя не все операции на унитарных кодах допускают такое распараллеливание.

Достаточно перспективным способом построения нетрадиционных структур преобразователей УК для однородных ВС является использование дуализма в трактовке кода, а именно как числа или как строки. Рассмотренный значимый для практики пример приблизительного сравнения на унитарных кодах показал возможность совмещения символьных и числовых характеристик в одном типовом функциональном узле (мультиплексоре). Моделирование временных затрат показало, что с увеличением длины унитарного кода применение дуализма данных дает временной выигрыш около 14-16%.

БИБЛИОГРАФИЧЕСКИЙ СПИСОК

1. Воеводин В.В. Математические модели и методы в параллельных процессах. – М.: Наука, 1986. – 296 с.
2. Гузик В.Ф., Каляев И.А., Левин И.И. Реконфигурируемые вычислительные системы. – Ростов-на-Дону: Южный федеральный университет, 2016. – 472 с.
3. Буцнев В.С. Параллелизм вычислительных процессов и развитие архитектуры суперЭВМ: Сб. статей / сост. В.П. Торчигин, Ю.Н. Никольская, Ю.В. Никитин. – М.: ТОРУС ПРЕСС, 2006. – 416 с.
4. Корнеев В.В. Вычислительные системы. – М.: Гелиос АРВ, 2004. – 510 с.
5. Voevodin V.V., Voevodin V.I. Parallel computing. – St. Petersburg, BHV-Peterburg Publ., 2002. – 608 p.
6. Огнев И.В., Борисов В.В., Стула Н.А. Ассоциативные память, среды, системы. – М.: Горячая линия – Телеком. 2016. – 420 с.

7. *Титенко Е.А., Типикин А.П., Лапин Д.В.* Некоторые пути построения перспективных вычислительных систем для параллельной обработки массивов данных и изображений на ПЛИС // *Электромагнитные волны и электронные системы.* – 2016. – Т. 21, № 10. – С. 56-59.
8. *Каляев И.А., Левин И.И.* Реконфигурируемые вычислительные системы на основе ПЛИС. – Ростов-на-Дону: Южный научный центр РАН, 2022. – 475 с.
9. *Кравец О.Я., Подвальный Е.С., Титов В.С., Ястребов А.С.* Архитектура вычислительных систем с элементами конвейерной обработки: учеб. пособие. – Воронеж, Курск, Санкт-Петербург: Политехника, 2009. – 151 с.
10. *Адамов А.А. Эйсымонт Л.К.* Варианты архитектурных решений ЭКБ для систем искусственного интеллекта // *Проектирование будущего. Проблемы цифровой реальности: труды 3-й Международной конференции.* – М.: ИПМ им. М.В. Келдыша, 2020. – С. 112-131.
11. *Гривачев А.В., Емельянов С.Г., Титенко Е.А.* Модифицированная производственная система для решения задачи структурного распознавания образов // *Наукоемкие технологии.* – 2014. – Т. 15, № 12. – С. 9-12.
12. *Lothaire M.* Applied Combinatorics on Words. In: *Encyclopedia of Mathematics and its Applications.* – Cambridge: Cambridge University Press, 2005.
13. *Титенко Е.А., Довгаль В.М.* Концептуальный подход к разработке формальной исчислительной системы как генератора ветвящихся конструктивных процессов // *Системы управления и информационные технологии.* – 2006. – № 1-1 (23). – С. 185-187.
14. *Titenko E.A., Degtyarev S.V.* Approximate search in the sample on the basis Manber-Wu method // *Journal of Fundamental and Applied Sciences.* – 2017. – Vol. 9. No. 2. – P. 914.
15. *Гэри М., Джонсон Д.* Вычислительные машины и труднорешаемые задачи. – М.: Мир, 1982. – 416 с.
16. *Гладков Л.А., Курейчик В.В., Курейчик В.М., Сороколетов П.В.* Биоинспирированные методы в оптимизации. – М.: Физматлит, 2009. – 384 с.
17. *Озкарахан Э.* Машины баз данных и управление базами данных. – М.: Мир, 1989. – 696 с.
18. *Бандман О.Л., Миренков Н.Н., Седухин С.Г.* Специализированные процессоры для высокопроизводительной обработки данных. – М.: Радио и связь, 1988. – 208 с.
19. *Фет Я.И.* Параллельные процессоры для управляющих систем. – М.: Энергоиздат, 1981. – 160 с.
20. *Потемкин И.С.* Функциональные узлы цифровой автоматики. – М.: Энергоатомиздат, 1988. – 320 с.
21. *Левин И.И., Подопригра А.В.* Модифицированный метод обработки больших разреженных неструктурированных матриц на реконфигурируемых вычислительных системах // *Вычислительные методы и программирование.* – 2024. – Т. 25, № 2. – С. 142-154.
22. *Левин И.И., Алексеев К.Н.* Преобразование сортирующих сетей для разной степени параллелизма // *Известия ЮФУ. Технические науки.* – 2023. – № 5 (235). – С. 104-118.
23. *Каляев А.В., Левин И.И.* Модульно-наращиваемые многопроцессорные системы со структурно-процедурной организацией вычислений. – М.: Изд-во "Янус-К", 2003. – 380 с.
24. *Усатюк В.С., Егоров С.И., Ватутин Э.И., Чернецкая И.Е.* Обеспечение помехоустойчивости канала связи за счет применения метода поиска слов малого веса в линейном блочном двоичном и тернарном кодах // *Тр. МАИ.* – 2024. – № 138.
25. *Новиков А.О., Ватутин Э.И., Егоров С.И., Титов В.С.* Исследование алгоритма Даббагьяна-Ву для построения нециклических пандиагональных латинских квадратов // *Известия ЮФУ. Технические науки.* – 2024. – № 3 (239). – С. 126-137.
26. *Егоров С.И., Титенко Е.А.* Математические и вычислительные схемы реализации арифметических операций в конечных полях Галуа для подвижных роботов // *Информационные системы и технологии.* – 2023. – № 2 (136). – С. 14-24.
27. *Ватутин Э.И., Титов В.С.* Теоретические основы и технические решения программно-аппаратного обеспечения синтеза логических мультиконтроллеров. – Курск: ЗАО «Университетская книга», 2022. – 483 с.
28. *Ватутин Э.И., Зотов И.В., Титов В.С.* Использование схемных формирователей и преобразователей двоичных последовательностей при построении комбинаторно-логических акселераторов // *Известия Курского государственного технического университета.* – 2008. – № 4 (25). – С. 32-39.
29. *Зельдин Е.А.* Цифровые интегральные микросхемы в информационно-измерительной аппаратуре. – Л.: Энергоатомиздат, 1986. – 280 с.
30. *Титенко Е.А., Скорняков К.С., Бусыгин К.Н.* Методы и сумматоры с параллельными групповыми процессами // *Известия Юго-Западного государственного университета. Серия: Управление, вычислительная техника, информатика. Медицинское приборостроение.* – 2013. – № 1. – С. 161-166.

31. Титенко Е.А., Семенухин Е.А., Петрик Е.А., Воронин Д.А. Структурно-функциональная организация арбитра параллельной обработки запросов // Информационно-измерительные и управляющие системы. – 2010. – Т. 8, № 11.
32. Ханис А.Л., Беспалько С.В., Титенко Е.А. [и др.]. Обзор исследований киберстрахования // Интеллектуальные информационные системы: тенденции, проблемы, перспективы: Матер. докладов VII всероссийской очной научно-практической конференции «ИИС-2019», Курск, 25 ноября 2019 года. – Курск: Юго-Западный государственный университет, 2019. – С. 108-118.

REFERENCES

1. Voevodin V.V. Matematicheskie modeli i metody v parallel'nykh protsessakh [Mathematical models and methods in parallel processes]. Moscow: Nauka, 1986, 296 p.
2. Guzik V.F., Kalyaev I.A., Levin I.I. Rekonfiguriruyemye vychislitel'nye [Reconfigurable computing systems]. Rostov-on-Don: Yuzhnyy federal'nyy universitet, 2016, 472 p.
3. Burtsev V.S. Parallelizm vychislitel'nykh protsessov i razvitiye arkhitektury superEVM: Sb. statey [Parallelism of computing processes and development of supercomputer architectures: collection of articles], compilers V.P. Torchigin, Yu.N. Nikol'skaya, Yu.V. Nikitin. Moscow: TORUS PRESS, 2006, 416 p.
4. Korneev V.V. Vychislitel'nye sistemy [Computing systems]. Moscow: Gelios ARV, 2004, 510 p.
5. Voevodin V.V., Voevodin V.I. Parallel computing. Saint Petersburg, BHV-Peterburg Publ., 2002, 608 p.
6. Ognev I.V., Borisov V.V., Sutula N.A. Assotsiativnye pamyat', sredy, sistemy [Associative memory, environments, systems]. Moscow: Goryachaya liniya – Telekom. 2016, 420 p.
7. Titenko E.A., Tipikin A.P., Lapin D.V. Nekotorye puti postroeniya perspektivnykh vychislitel'nykh sistem dlya parallel'noy obrabotki massivov dannykh i izobrazheniy na PLIS [Some ways of promising computing systems for parallel processing of data arrays and images on FPGA], *Elektromagnitnye volny i elektronnye sistemy* [Electromagnetic waves and electronic systems], 2016, Vol. 21, No. 10, pp. 56-59.
8. Kalyaev I.A., Levin I.I. Rekonfiguriruyemye vychislitel'nye sistemy na osnove PLIS [Reconfigurable computing systems based on FPGAs]. Rostov-on-Don: Yuzhnyy nauchnyy tsentr RAN, 2022, 475 p.
9. Kravets O.YA., Podval'nyy E.S., Titov V.S., Yastrebov A.S. Arkhitektura vychislitel'nykh sistem s elementami konveyernoy obrabotki: ucheb. posobie [Architecture of computing systems with elements of pipeline processing: textbook]. Voronezh, Kursk, Sankt-Peterburg: Politehnika, 2009, 151 p.
10. Adamov A.A., Eysymont L.K. Varianty arkhitekturnykh resheniy EKB dlya sistem iskusstvennogo intellekta [Variants of architectural solutions for an electronic component base for artificial intelligence systems], *Proektirovaniye budushchego. Problemy tsifrovoy real'nosti: trudy 3-y Mezhdunarodnoy konferentsii* [Designing the Future. Problems of Digital Reality: Proceedings of the 3rd International Conference]. Moscow: IPM im. M.V. Keldysha, 2020, pp. 112-131.
11. Grivachev A.V., Emel'yanov S.G., Titenko E.A. Modifitsirovannaya produktsionnaya sistema dlya resheniya zadachi strukturnogo raspoznavaniya obrazov [Modified production system for solving the problem of structural pattern recognition], *Naukoemkie tekhnologii* [Science-intensive technologies], 2014, Vol. 15, No. № 12, pp. 9-12.
12. Lothaire M. Applied Combinatorics on Words. In: Encyclopedia of Mathematics and its Applications. Cambridge: Cambridge University Press, 2005.
13. Titenko E.A., Dovgal' V.M. Kontseptual'nyy podkhod k razrabotke formal'noy vychislitel'noy sistemy kak generatora vetyashchikhsya konstruktivnykh protsessov [Conceptual approach to the development of a formal enumeration system as a generator of branching constructive processes], *Sistemy upravleniya i informatsionnye tekhnologii* [Control systems and information technologies], 2006, No. 1-1 (23), pp. 185-187.
14. Titenko E.A., Degtyarev S.V. Approximate search in the sample on the basis Manber-Wu method, *Journal of Fundamental and Applied Sciences*, 2017, Vol. 9. No. 2, pp. 914.
15. Geri M., Dzhonson D. Vychislitel'nye mashiny i trudnoreshaemye zadachi [Computing machines and intractable problems]. Moscow: Mir, 1982, 416 p.
16. Gladkov L.A., Kureychik V.V., Kureychik V.M., Sorokoletov P.V. Bioinspirirovannyye metody v optimizatsii [Bioinspired methods in optimization]. Moscow: Fizmatlit, 2009, 384 p.
17. Ozkarakhan E. Mashiny baz dannykh i upravlenie bazami dannykh [Database machines and database management]. Moscow: Mir, 1989, 696 p.
18. Bandman O.L., Mirenkov N.N., Sedukhin S.G. Spetsializirovannyye protsessory dlya vysokoproizvoditel'noy obrabotki dannykh [Specialized processors for high-performance data processing]. Moscow: Radio i svyaz', 1988, 208 p.
19. Fet Ya.I. Parallelnyye protsessory dlya upravlyayushchikh system [Parallel processors for control systems]. Moscow: Energoizdat, 1981, 160 p.

20. *Potemkin I.S.* Funktsional'nye uzly tsifrovoy avtomatiki [Functional units of digital automation]. Moscow: Energoatomizdat, 1988, 320 p.
21. *Levin I.I., Podoprigora A.V.* Modifitsirovanny metod obrabotki bol'shikh razrezhennykh nestrukturirovannykh matrits na rekonfiguriruemykh vychislitel'nykh sistemakh [Modified method for processing large sparse unstructured matrices on reconfigurable computing systems], *Vychislitel'nye metody i programmirovaniye* [Computational methods and programming], 2024, Vol. 25, No. 2, pp. 142-154.
22. *Levin I.I., Alekseev K.N.* Preobrazovanie sortiruyushchikh setey dlya raznoy stepeni parallelizma [Transformation of sorting networks for different degrees of parallelism], *Izvestiya YuFU. Tekhnicheskie nauki* [Izvestiya SFedU. Engineering Sciences], 2023, No. 5 (235), pp. 104-118.
23. *Kalyaev A.V., Levin I.I.* Modul'no-narashchivaemye mnogoprotsessornye sistemy so strukturno-protsedurnoy organizatsiyey vychisleniy [Modularly scalable multiprocessor systems with structural-procedural organization of computations]. Moscow: Izd-vo "Yanus-K", 2003, 380 p.
24. *Usatyuk V.S., Egorov S.I., Vatutin E.I., Chernetskaya I.E.* Obespechenie pomekhoustoychivosti kanala svyazi za schet primeneniya metoda poiska slov malogo vesa v lineynom blochnom dvoichnom i ternarnom kodakh [Ensuring noise immunity of the communication channel due to the use of the method of searching for small-weight words in linear block binary and ternary codes], *Tr. MAI* [Proceedings of MAI], 2024, No. 138.
25. *Novikov A.O., Vatutin E.I., Egorov S.I., Titov V.S.* Issledovanie algoritma Dabbagyana-Vu dlya postroeniya netsiklicheskiikh pandiagonal'nykh latinskikh kvadratov [Study of the Dabbaghyan-Wu algorithm for constructing non-cyclic pandiagonal Latin squares], *Izvestiya YuFU. Tekhnicheskie nauki* [Izvestiya SFedU. Engineering Sciences], 2024, No. 3 (239), pp. 126-137.
26. *Egorov S.I., Titenko E.A.* Matematicheskie i vychislitel'nye skhemy realizatsii arifmeticheskikh operatsiy v konechnykh polyakh Galua dlya podvizhnykh robotov [Mathematical and computational schemes for implementing arithmetic operations in finite Galois fields for mobile robots], *Informatsionnye sistemy i tekhnologii* [Information systems and technologies], 2023, No. 2 (136), pp. 14-24.
27. *Vatutin E.I., Titov V.S.* Teoreticheskie osnovy i tekhnicheskie resheniya programmno-apparatnogo obespecheniya sinteza logicheskikh mul'tikontrollerov [Theoretical foundations and technical solutions for software and hardware support for the synthesis of logical multicontrollers]. Kursk: ZAO «Universitetskaya kniga», 2022, 483 p.
28. *Vatutin E.I., Zotov I.V., Titov V.S.* Ispol'zovanie skhemnykh formirovateley i preobrazovateley dvoichnykh posledovatel'nostey pri postroenii kombinatorno-logicheskikh akseleratorov [Using circuit shapers and converters of binary sequences in the construction of combinatorial logic accelerators], *Izvestiya Kurskogo gosudarstvennogo tekhnicheskogo universiteta* [Bulletin of the Kursk State Technical University], 2008, No. 4 (25), pp. 32-39.
29. *Zel'din E.A.* Tsifrovye integral'nye mikroskhemy v informatsionno-izmeritel'noy apparature [Digital integrated circuits in information and measuring equipment]. Leningrad: Energoatomizdat, 1986, 280 p.
30. *Titenko E.A., Skornyakov K.S., Busygin K.N.* Metody i summatory s parallelnymi gruppovymi protsessami [Methods and adders with parallel group processes], *Izvestiya Yugo-Zapadnogo gosudarstvennogo universiteta. Seriya: Upravlenie, vychislitel'naya tekhnika, informatika. Meditsinskoe priborostroenie* [Bulletin of the South-West State University. Series: Management, computing, informatics. Medical instrument making], 2013, No. 1, pp. 161-166.
31. *Titenko E.A., Semenikhin E.A., Petrik E.A., Voronin D.A.* Strukturno-funktsional'naya organizatsiya arbitra parallelnoy obrabotki zaprosov [Structural and functional organization of the arbitrator of parallel query processing], *Informatsionno-izmeritel'nye i upravlyayushchie sistemy* [Information, measuring and control systems], 2010, Vol. 8, No. 11.
32. *Khanis A.L., Bepal'ko S.V., Titenko E.A. [i dr.].* Obzor issledovaniy kiberstrakhovaniya [Review of cyber insurance research], *Intellektual'nye informatsionnye sistemy: tendentsii, problemy, perspektivy: Mater. dokladov VII vserossiyskoy ochnoy nauchno-prakticheskoy konferentsii «IIS-2019», Kursk, 25 noyabrya 2019 goda* [// Intelligent information systems: trends, problems, prospects: materials of reports of the VII All-Russian face-to-face scientific and practical conference "IIS-2019", Kursk, November 25, 2019]. Kursk: Yugo-Zapadnyy gosudarstvennyy universitet, 2019, pp. 108-118.

Титенко Евгений Анатольевич – Юго-Западный государственный университет; e-mail: johntit@mail.ru; г. Курск, Россия; тел.: +79051588904; к.т.н., доцент; доцент кафедры программной инженерии.

Titenko Evgeny Anatolievich – South-West State University; e-mail: johntit@mail.ru; Kursk, Russia; phone: +79051588904; cand. of eng. sc.; associate professor; associate professor of the Software Engineering Department.

Раздел III. Электроника, нанотехнологии и приборостроение

УДК 621.315.592.3

DOI 10.18522/2311-3103-2025-5-116-123

З.Е. Вакулов, Р.В. Томинов, Д.А. Дзюба, В.А. Смирнов

ФОРМИРОВАНИЕ И ИССЛЕДОВАНИЕ МЕМРИСТИВНЫХ ПЛЕНОК ЛЕГИРОВАННОГО ОКСИДА ЦИНКА ДЛЯ СИСТЕМ МАШИННОГО ЗРЕНИЯ РОБОТОТЕХНИЧЕСКИХ КОМПЛЕКСОВ

Представлены результаты исследования влияния режимов синтеза тонких пленок легированного оксида цинка методом импульсного лазерного осаждения на их морфологические и электрофизические характеристики. Проведены экспериментальные исследования влияния размерных эффектов на параметры резистивного переключения мемристорных структур на основе тонких пленок легированного оксида цинка. Установлена связь между морфологическими параметрами пленок, их толщиной и резистивными характеристиками переключения. Получены результаты, показывающие, как толщина, шероховатость поверхности и средний диаметр зерна влияют на соотношение сопротивлений в высокоомном и низкоомном состояниях, а также на напряжения переключения U_{set} и U_{res} . Показано, что увеличение толщины пленок оксида цинка, легированного галлием, приводит к увеличению напряжений U_{set} и U_{res} , в то время как зависимость соотношения сопротивлений в высокоомном и низкоомном состояниях имеет комплексный характер, максимум на ней наблюдается при толщине пленок порядка 30 нм. Полученные результаты позволяют оценить степень влияния структурных и морфологических параметров пленок легированного оксида цинка на эффект резистивного переключения в них, а также сформулировать рекомендации по получению данных пленок с требуемыми параметрами резистивного переключения. Установлено, что увеличивая толщину пленок оксида цинка легированного галлием от $11,8 \pm 5,1$ нм до $55,1 \pm 18,4$ нм можно изменять величину концентрации носителей заряда от $(2,84 \pm 0,22) \cdot 10^{19} \text{ см}^{-3}$ до $(1,42 \pm 0,13) \cdot 10^{20} \text{ см}^{-3}$, а также подвижность носителей заряда от $54,48 \pm 4,07 \text{ см}^2/(\text{В}\cdot\text{с})$ до $18,77 \pm 0,83 \text{ см}^2/(\text{В}\cdot\text{с})$. При этом увеличение толщины пленок оксида цинка, легированного галлием, также приводит к увеличению сопротивления в высокоомном состоянии от $1,38 \pm 0,11 \text{ МОм}$ до $62,59 \pm 5,4 \text{ МОм}$ и сопротивления в низкоомном состоянии от $0,005 \pm 0,001 \text{ МОм}$ до $0,041 \pm 0,002 \text{ МОм}$. Полученные результаты могут быть использованы при разработке физических принципов создания электронной компонентной базы систем искусственного интеллекта для изготовления новых приборов и устройств нанoeлектроники и адаптивных нейроморфных систем.

Нанотехнологии; наноматериалы; нанoeлектроника; нанокристаллические пленки оксида цинка; эффект резистивного переключения; машинное зрение; нейроморфные структуры; робототехнические системы.

Z.E. Vakulov, R.V. Tominov, D.A. Dzyuba, V.A. Smirnov

FORMATION AND INVESTIGATION OF DOPED ZINC OXIDE MEMRISTIVE FILMS FOR MACHINE VISION SYSTEMS OF ROBOTIC COMPLEXES

The results of investigation of the influence of synthesis modes of doped zinc oxide thin films by pulsed laser deposition on their morphological and electrophysical characteristics are presented. Experimental studies of the influence of dimensional effects on the parameters of resistive switching of memristor structures based on thin films of doped zinc oxide have been carried out. The relationship between the morphological parameters of the films, their thickness and resistive switching characteristics has been established. The results showing how thickness, surface roughness and average grain diameter influence the ratio of resistance in the high-resistance and low-resistance states, as well as the switching voltages U_{set} and U_{res} have been obtained. It is shown that an increase in the thickness of gallium-doped zinc oxide

films leads to an increase in the U_{set} and U_{res} voltages, while the dependence of the resistance ratio in the high-resistance and low-resistance states has a complex character, with a maximum observed at a film thickness of about 30 nm. The obtained results allow us to estimate the degree of influence of structural and morphological parameters of doped zinc oxide films on the resistive switching effect in them, and also to formulate recommendations for obtaining these films with the required resistive switching parameters. It was found that increasing the thickness of gallium-doped zinc oxide films from 11.8 ± 5.1 nm to 55.1 ± 18.4 nm it is possible to change the value of charge carriers concentration from $(2.84 \pm 0.22) \cdot 10^{19} \text{ cm}^{-3}$ to $(1.42 \pm 0.13) \cdot 10^{20} \text{ cm}^{-3}$, as well as the mobility of charge carriers from $54.48 \pm 4.07 \text{ cm}^2/(\text{V}\cdot\text{s})$ to $18.77 \pm 0.83 \text{ cm}^2/(\text{V}\cdot\text{s})$. At the same time, increasing the thickness of gallium-doped zinc oxide films also leads to an increase in resistance in the high-resistance state from $1.38 \pm 0.11 \text{ M}\Omega$ to $62.59 \pm 5.4 \text{ M}\Omega$ and resistance in the low-resistance state from $0.005 \pm 0.001 \text{ M}\Omega$ to $0.041 \pm 0.002 \text{ M}\Omega$. The results obtained can be used in the development of physical principles of creation of electronic component base of artificial intelligence systems for manufacturing new devices and devices of nanoelectronics and adaptive neuromorphic systems.

Nanotechnology; nanomaterials; nanoelectronics; nanocrystalline zinc oxide films; resistive switching effect; machine vision; neuromorphic structures; robotic systems.

Введение. Современные цифровые вычислительные системы на базе архитектуры фон Неймана обладают рядом преимуществ при решении сложных математических задач [1], однако с ростом информатизации современного общества такие вычислительные системы сталкиваются с большим количеством проблем (высокое энергопотребление, низкая скорость вычислений при работе с большим количеством данных), обусловленных физическим разделением модуля памяти и процессора. Комплексное решение обозначенных проблем требует разработки и создания новой энергоэффективной и производительной вычислительной архитектуры. Следует отметить, что нейросетевая система человеческого мозга характеризуется высокой параллельностью, отказоустойчивостью, эффективностью, реконфигурируемостью и позволяет достичь сверхмалого энергопотребления и высокой эффективности обработки информации. Кроме того, мозг способен обрабатывать большое количество сложной неструктурированной и вероятностной информации, например, при обучении, распознавании образов, понимании языка. Таким образом, разработка методов обработки данных на основе механизмов работы человеческого мозга, а также создание нейроморфных вычислений с функциями автономного обучения [2–8] является одним из наиболее перспективных вариантов решения проблем вычислительных систем, построенных на архитектуре фон Неймана, а также фундаментальной основой для разработки нового поколения компьютеров.

С использованием методов программного моделирования [9] и аппаратной реализации интегральных схем на базе КМОП [10] становится возможным моделирование синаптической функции человеческого мозга, что является начальным этапом для реализации нейроморфных вычислений. Тем не менее, оба упомянутых метода имеют существенные ограничения, связанные с большой площадью, занимаемой элементами на кристалле, а также и высоким энергопотреблением. В рамках развития вычислительной техники более перспективным представляется аппаратная реализация нейроморфных вычислений и синаптической пластичности [11–15]. Учитывая, что биологическая нервная система передает информацию посредством электрических сигналов (потенциалы действия), транслируемых нейронами, большинство научных групп по всему миру концентрировали свое внимание на разработке нейросинаптических устройств на базе транзисторных и мемристивных структур [16–18]. Такой тип устройств, изготовленных с использованием подходов микро- и нанoeлектроники, возможно реализовать с использованием существующих технологий, а также поддается масштабированию и интеграции. Однако компромисс между пропускной способностью и плотностью соединения ограничивает скорость работы таких структур, что может приводить к увеличению задержки и потере мощности.

Качественно новый шаг в области аппаратной реализации систем технического зрения для робототехнических комплексов различной конструкции и назначения, можно сделать за счет использования массивов мемристивных устройств и полностью аналоговой обработки визуальной информации подобно тому, как она обрабатывается в биоло-

гических нейронных сетях без цифро-аналоговых и аналогово-цифровых преобразований [19]. Один из основных способов технологической реализации новой архитектуры заключается в изготовлении интегральных микросхем на основе мемристорных структур, соединенных между собой перекрестными шинами данных (кроссбар архитектура), и обладающими свойствами многоуровневости и синаптической пластичности (STDP) [20]. При этом мемристоры кроссбар структуры имеют высокую степень интеграции, обладают высоким быстродействием и низким энергопотреблением, что позволяет обеспечить массовый параллелизм и вычисления, наблюдаемые в человеческом мозге, в котором нейрон может иметь до 10 000 связей с другими нейронами. Применение мемристорных структур, обладающих синаптической пластичностью, позволит обеспечить эту связность, создавать гибкую настраиваемую архитектуру, существенно увеличить быстродействие, а также понизить потребляющую мощность запоминающих и вычислительных устройств на их основе. Кроме того, использование мемристорных кроссбар структур в качестве ячеек памяти имеет большие перспективы для создания 3D интегральных микросхем.

Таким образом, целью данной работы является исследование закономерностей влияния размерных эффектов на резистивное переключение в тонких пленках легированного оксида цинка для реализации элементов нейроморфных систем машинного зрения на их основе для создания интеллектуальных человекоподобных робототехнических систем.

Эксперимент. Нанокристаллические пленки ZnO:Ga были получены методом импульсного лазерного осаждения на установке Pioneer 180 (Neocera, США). Для абляции вращающейся мишени ZnO:Ga использовался KrF-эксимерный лазер COMPex Pro 102 F (Coherent Inc., Германия) с длиной волны 248 нм. Пленки формировались в среде кислорода при давлении $1 \cdot 10^{-3}$ Торр при частоте следования лазерных импульсов 10 Гц. Морфология полученных пленок исследовалась методом атомно-силовой микроскопии (АСМ) [21]. Электрофизические параметры полученных пленок определялись методом измерения ЭДС Холла на установке Ecoria HMS-3000 (Ecoria Co., Республика Корея). Исследование мемристорных свойств полученных пленок проводилось с использованием анализатора параметров полупроводников Keithley 4200-SCS (Keithley Instruments, США) и субмикронной зондовой системы EM-6070A (Планар, Республика Беларусь).

Результаты и обсуждение. Установлено, что изменяя толщину пленок ZnO:Ga (h) от $11,8 \pm 5,1$ нм до $55,1 \pm 18,4$ нм можно увеличивать концентрацию носителей заряда в пленках ZnO:Ga (N) от $(2,84 \pm 0,22) \cdot 10^{19}$ см $^{-3}$ до $(1,42 \pm 0,13) \cdot 10^{20}$ см $^{-3}$, а также уменьшать подвижность носителей заряда (μ) от $54,48 \pm 4,07$ см 2 /(В·с) до $18,77 \pm 0,83$ см 2 /(В·с) (рис. 1).

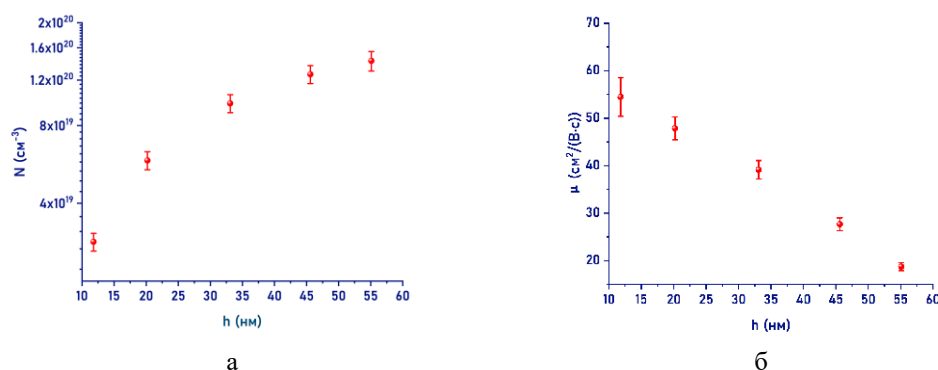


Рис. 1. Зависимости N и μ от толщины пленок ZnO:Ga
(а – концентрация носителей заряда, б – подвижность носителей заряда)

Такой эффект обусловлен взаимосвязью между объемной проводимостью внутри зерен и проводимостью по границам зерен. С увеличением толщины пленки и, как следствие, увеличением среднего размера зерен увеличивается расстояние, которое носители

заряда вынуждены преодолевать внутри зерна двигаясь от одной границы до другой, что приводит к относительному снижению вклада объемной проводимости в общую проводимость пленки [22].

В результате исследования мемристивных свойств пленок ZnO:Ga установлено, что увеличение h приводит к увеличению R_{HRS} от $1,38 \pm 0,11$ МОм до $62,59 \pm 5,4$ МОм и R_{LRS} от $0,005 \pm 0,001$ МОм до $0,041 \pm 0,002$ МОм (рис. 2).

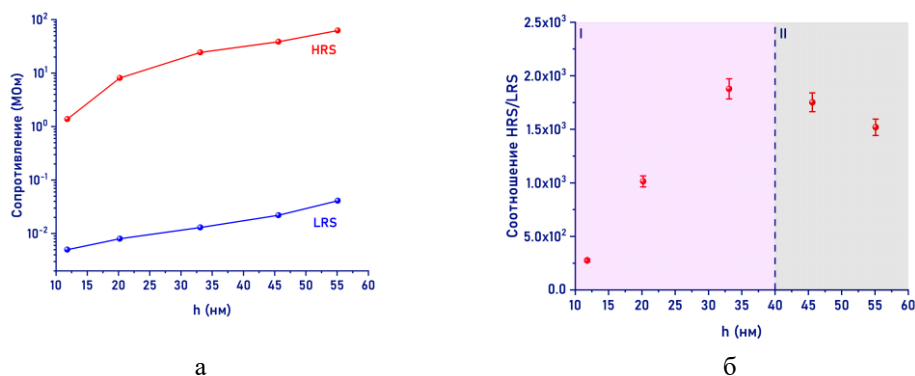


Рис. 2. Мемристивные свойства пленок ZnO:Ga с различной толщиной (а – зависимости HRS и LRS, б – соотношение сопротивлений)

Зависимость отношения R_{HRS}/R_{LRS} от h характеризуется комплексным характером, на графике (рис. 2,б) можно выделить две области: область I, соответствующая толщинам пленок до 40 нм, и область II, характеризующаяся толщинами пленок более 40 нм. В пределах области I наблюдается увеличение соотношения R_{HRS}/R_{LRS} от $276,1 \pm 13,8$ до $1877,7 \pm 93,9$ при увеличении h от $11,8 \pm 0,7$ нм до $33,1 \pm 1,9$ нм. Однако дальнейшее увеличение h до $55,1 \pm 3,3$ нм приводит к снижению отношения R_{HRS}/R_{LRS} до $1519,1 \pm 75,9$. Одним из вероятных объяснений увеличения сопротивления R_{HRS} является увеличение длины наноразмерного проводящего канала с ростом h . Кроме того, установлено, что значение напряжения включения U_{set} возрастает от $0,84 \pm 0,06$ В до $3,55 \pm 0,24$ В по мере увеличения h (рис. 3).

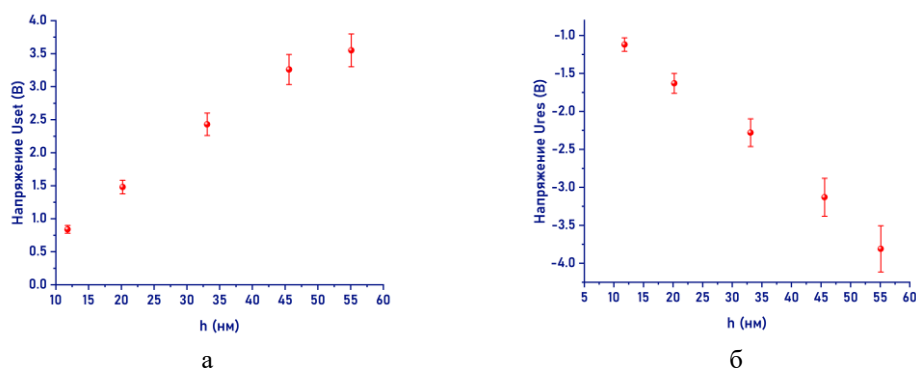


Рис. 3. Результаты исследования влияния толщины пленки на параметры резистивного переключения (а – U_{set} , б – U_{res})

Исследование влияния шероховатости поверхности пленок ZnO:Ga (S) на соотношение R_{HRS}/R_{LRS} и величину напряжений U_{set} и U_{res} (рис. 4) показало, что при увеличении S от $9,6 \pm 0,8$ нм до $66,2 \pm 3,2$ нм соотношение R_{HRS}/R_{LRS} увеличивается от $643,1 \pm 51,5$ до $2125,2 \pm 170,1$.

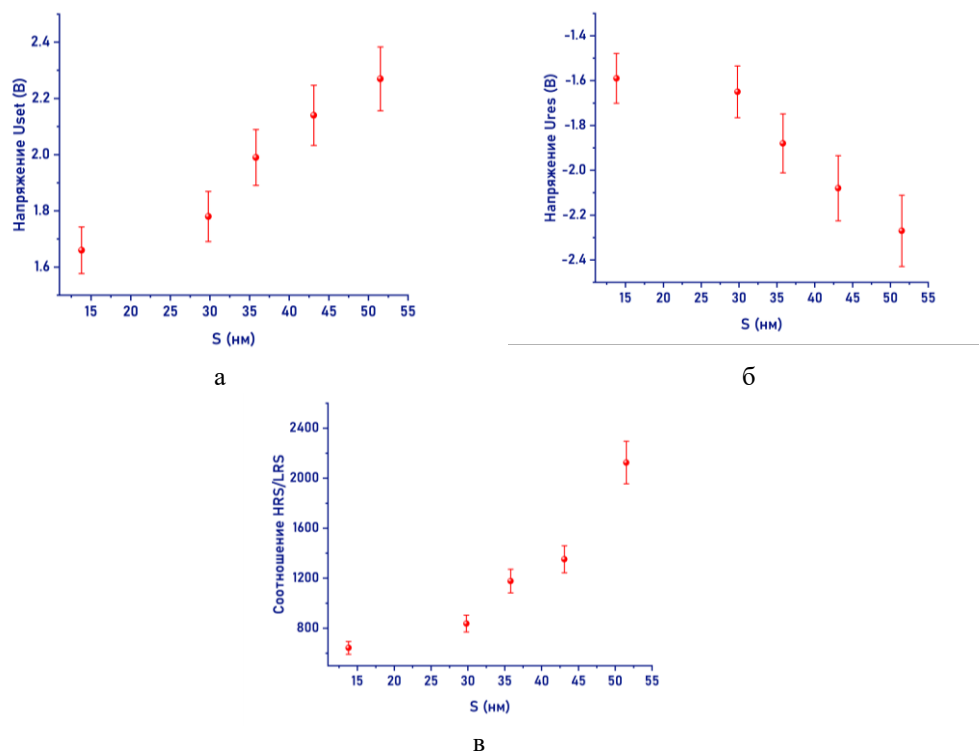


Рис. 4. Результаты исследования влияния шероховатости поверхности пленок ZnO:Ga на параметры резистивного переключения (а – U_{set} , б – U_{res} , в – соотношение R_{HRS}/R_{LRS})

При этом величина U_{set} возрастает от $1,66 \pm 0,1$ В до $2,27 \pm 0,11$ В, а U_{res} изменяется от $-1,59 \pm 0,11$ В до $-2,27 \pm 0,16$ В. Анализ влияния величины среднего диаметра зерна пленок ZnO:Ga на соотношение R_{HRS}/R_{LRS} и величину напряжения U_{set} и U_{res} выявил, что при увеличении диаметра зерна от $18,7 \pm 1,5$ нм до $82,1 \pm 6,5$ нм наблюдаются обратные зависимости соотношения R_{HRS}/R_{LRS} и U_{set} и U_{res} .

Заключение. В результате проведенных исследований установлены закономерности, связывающие толщину пленок ZnO:Ga с их электрофизическими параметрами и мемристивными свойствами. Обнаружено, что изменение толщины пленок в диапазоне от $11,8 \pm 5,1$ нм до $55,1 \pm 18,4$ нм позволяет получать пленки с концентрацией носителей заряда от $(2,84 \pm 0,22) \cdot 10^{19}$ см⁻³ до $(1,42 \pm 0,13) \cdot 10^{20}$ см⁻³ и подвижностью от $54,48 \pm 4,07$ см²/(В·с) до $18,77 \pm 0,83$ см²/(В·с). Было показано, что увеличение толщины пленок ZnO:Ga приводит к росту сопротивления в R_{HRS} от $1,38 \pm 0,11$ МОм до $62,59 \pm 5,4$ МОм и R_{LRS} от $0,005 \pm 0,001$ МОм до $0,041 \pm 0,002$ МОм. Полученные результаты могут быть использованы при разработке физических принципов создания ЭКБ систем искусственного интеллекта для изготовления новых приборов и устройств нанoeлектроники и адаптивных нейроморфных систем.

Исследование выполнено за счёт гранта Российского научного фонда № 25-19-00809, <https://rscf.ru/project/25-19-00809/> в Южном федеральном университете (в части экспериментальных исследований влияния морфологических параметров на эффект резистивного переключения), а также в рамках научной программы Национального центра физики и математики, направление № 9 «Искусственный интеллект и большие данные в технических, промышленных, природных и социальных системах» (в части разработки методики получения структур для исследования электрофизических параметров).

БИБЛИОГРАФИЧЕСКИЙ СПИСОК

1. Li C., Wang J., Li D., Ilyas N., Yang Z., Chen K. Gu. P., Jiang X., Gu D., Liu F., Jiang Y., Li W. An oxide-based heterojunction optoelectronic synaptic device with wideband and rapid response performance // *Journal of Materials Science & Technology*. – 2022. – Vol. 123. – P. 159-167.
2. Avilov V.I., Tominov R.V., Vakulov Z.E., Rodriguez D.J., Polupanov N.V., Smirnov V.A. Nanoscale Titanium Oxide Memristive Structures for Neuromorphic Applications: Atomic Force Anodization Techniques, Modeling, Chemical Composition, and Resistive Switching Properties // *Nanomaterials*. – 2025. – Vol. 15, No. 1. – P. 75.
3. Makarov V.A., Lobov S.A., Shchanikov S., Mikhaylov A., Kazantsev V.B. Toward reflective spiking neural networks exploiting memristive devices // *Frontiers in Computational Neuroscience*. – 2022. – Vol. 16. – P. 859874.
4. Томинов Р.В., Варганов В.И., Угрюмов И.С., Вакулов З.Е., Казанцев В.Б., Смирнов В.А. ZnO мемристорные структуры: многоуровневое резистивное переключение и нейроморфные применения // *Наноиндустрия*. – 2024. – Т. 17, № S10-2 (128). – С. 533-537.
5. Tominov R.V., Vakulov Z.E., Avilov V.I., Shikhovtsov I.A., Varganov V.I., Kazantsev V.B., Gupta L.R., Prakash Ch., Smirnov V.A. Approaches for Memristive Structures Using Scratching Probe Nanolithography: Towards Neuromorphic Applications // *Nanomaterials*. – 2023. – Vol. 13, No. 10. – P. 1583.
6. Il'ina M.V., Il'in O.I., Osotova O.I., Smirnov V.A., Ageev O.A. Memristors based on strained multi-walled carbon nanotubes // *Diamond and Related Materials*. – 2022. – Vol. 123. – P. 108858.
7. Avilov V., Polupanov N., Tominov R., Solodovnik M., Konoplev B., Smirnov V., Ageev O. Resistive switching of GaAs oxide nanostructures // *Materials*. – 2020. – Vol. 13, No. 16. – P. 3451.
8. Smirnov V.A., Tominov R.V., Avilov V.I., Alyabieva N.I., Vakulov Z.E., Zamburg E.G., Khakhulin D.A. Ageev O.A. Investigation into the memristor effect in nanocrystalline ZnO films // *Semiconductors*. – 2019. – Vol. 53. – P. 72-77.
9. Avilov V.I., Tominov R.V., Vakulov Z.E., Zhavoronkov L.G., Smirnov V.A. Titanium oxide artificial synaptic device: Nanostructure modeling and synthesis, memristive cross-bar fabrication, and resistive switching investigation // *Nano Research*. – 2023. – Vol. 16, No. 7. – P. 10222-10233.
10. Mikhaylov A.N., Gryaznov E.G., Koryazhkina M.N., Bordanov I.A., Shchanikov S.A., Telminov O.A., Kazantsev V.B. Neuromorphic computing based on CMOS-integrated memristive arrays: current state and perspectives // *Supercomputing Frontiers and Innovations*. – 2023. – Vol. 10, No. 2. – P. 77-103.
11. Tominov R., Vakulov Z., Kazantsev V., Prakash C., Rodriguez D., Smirnov V. Synaptic plasticity in the nanocrystalline ZnO cross-point for neuromorphic systems of AI // *2024 8th Scientific School Dynamics of Complex Networks and their Applications (DCNA)*. – IEEE, 2024. – P. 235-238.
12. Prakash C. et al. Computing of neuromorphic materials: an emerging approach for bioengineering solutions // *Materials Advances*. – 2023. – Vol. 4, No. 23. – P. 5882-5919.
13. Ryu H., Kim S. Self-rectifying resistive switching and short-term memory characteristics in Pt/HfO₂/TaO_x/TiN artificial synaptic device // *Nanomaterials*. – 2020. – Vol. 10, No. 11. – P. 2159.
14. Raikar A.S. et al. Neuromorphic computing for modeling neurological and psychiatric disorders: Implications for drug development // *Artificial Intelligence Review*. – 2024. – Vol. 57, No. 12. – P. 318.
15. Kim S., Du C., Sheridan P., Ma W., Choi S., Lu W.D. Experimental demonstration of a second-order memristor and its ability to biorealistically implement synaptic plasticity // *Nano letters*. – 2015. – Vol. 15, No. 3. – P. 2203-2211.
16. Stasenko S. V., Mikhaylov A. N., Kazantsev V. B. Control of Network Bursting in a Model Spiking Network Supplied with Memristor—Implemented Plasticity // *Mathematics*. – 2023. – Vol. 11, No. 18. – P. 3888.
17. Song M.K., Kang J.H., Zhang X., Ji W., Ascoli A., Messaris I. et al. Recent advances and future prospects for memristive materials, devices, and systems // *ACS nano*. – 2023. – Vol. 17, No. 13. – P. 11994-12039.
18. Tominov R., Avilov V., Vakulov Z., Khakhulin D., Ageev O., Valov I., Smirnov V. Forming-Free Resistive Switching of Electrochemical Titanium Oxide Localized Nanostructures: Anodization, Chemical Composition, Nanoscale Size Effects, and Memristive Storage // *Advanced Electronic Materials*. – 2022. – Vol. 8, No. 8. – P. 2200215.
19. Saenko A.V., Tominov R.V., Jityaev I.L., Vakulov Z.E., Avilov V.I., Polupanov N.V., Smirnov V.A. Transparent Zinc Oxide Memristor Structures: Magnetron Sputtering of Thin Films, Resistive Switching Investigation, and Crossbar Array Fabrication // *Nanomaterials*. – 2024. – Vol. 14, No. 23. – P. 1901.
20. Tominov R., Vakulov Z., Kazantsev V., Prakash C., Rodriguez D., Smirnov V. Synaptic plasticity in the nanocrystalline ZnO cross-point for neuromorphic systems of AI // *2024 8th Scientific School Dynamics of Complex Networks and their Applications (DCNA)*. – IEEE, 2024. – P. 235-238.

21. Смирнов В.А., Томинов Р.В., Авилов В.И., Алябьева Н.И., Вакулов З.Е., Замбург Е.Г., Хахулин Д.А., Агеев О.А. Исследование мемристормого эффекта в нанокристаллических пленках ZnO // Физика и техника полупроводников. – 2019. – Т. 53, № 1. – С. 77-82.
22. Rupp J L. M., Infortuna A., Gauckler L.J. Microstrain and self-limited grain growth in nanocrystalline ceria ceramics // *Acta materialia*. – 2006. – Vol. 54, No. 7. – P. 1721-1730.

REFERENCES

1. Li C., Wang J., Li D., Ilyas N., Yang Z., Chen K. Gu. P., Jiang X., Gu D., Liu F., Jiang Y., Li W. An oxide-based heterojunction optoelectronic synaptic device with wideband and rapid response performance, *Journal of Materials Science & Technology*, 2022, Vol. 123, pp. 159-167.
2. Avilov V.I., Tominov R.V., Vakulov Z.E., Rodriguez D.J., Polupanov N.V., Smirnov V.A. Nanoscale Titanium Oxide Memristive Structures for Neuromorphic Applications: Atomic Force Anodization Techniques, Modeling, Chemical Composition, and Resistive Switching Properties, *Nanomaterials*, 2025, Vol. 15, No. 1, pp. 75.
3. Makarov V.A., Lobov S.A., Shchanikov S., Mikhaylov A., Kazantsev V.B. Toward reflective spiking neural networks exploiting memristive devices, *Frontiers in Computational Neuroscience*, 2022, Vol. 16, pp. 859874.
4. Tominov R.V., Varganov V.I., Ugryumov I.S., Vakulov Z.E., Kazantsev V.B., Smirnov V.A. ZnO мемристормые структуры: многуровневое резистивное переключение и нейроморфные применения [ZnO memristor structures: multilevel resistive switching and neuromorphic applications], *Nanoindustriya* [Nanoindustry], 2024, Vol. 17, No. S10-2 (128), pp. 533-537.
5. Tominov R.V., Vakulov Z.E., Avilov V.I., Shikhovtsov I.A., Varganov V.I., Kazantsev V.B., Gupta L.R., Prakash Ch., Smirnov V.A. Approaches for Memristive Structures Using Scratching Probe Nanolithography: Towards Neuromorphic Applications, *Nanomaterials*, 2023, Vol. 13, No. 10, pp. 1583.
6. Il'ina M.V., Il'in O.I., Osotova O.I., Smirnov V.A., Ageev O.A. Memristors based on strained multi-walled carbon nanotubes, *Diamond and Related Materials*, 2022, Vol. 123, pp. 108858.
7. Avilov V., Polupanov N., Tominov R., Solodovnik M., Konoplev B., Smirnov V., Ageev O. Resistive switching of GaAs oxide nanostructures, *Materials*, 2020, Vol. 13, No. 16, pp. 3451.
8. Smirnov V.A., Tominov R.V., Avilov V.I., Alyabieva N.I., Vakulov Z.E., Zamburg E.G., Khakhulin D.A., Ageev O.A. Investigation into the memristor effect in nanocrystalline ZnO films, *Semiconductors*, 2019, Vol. 53, pp. 72-77.
9. Avilov V.I., Tominov R.V., Vakulov Z.E., Zhavoronkov L.G., Smirnov V.A. Titanium oxide artificial synaptic device: Nanostructure modeling and synthesis, memristive cross-bar fabrication, and resistive switching investigation, *Nano Research*, 2023, Vol. 16, No. 7, pp. 10222-10233.
10. Mikhaylov A.N., Gryaznov E.G., Koryazhkina M.N., Bordanov I.A., Shchanikov S.A., Telminov O.A., Kazantsev V.B. Neuromorphic computing based on CMOS-integrated memristive arrays: current state and perspectives, *Supercomputing Frontiers and Innovations*, 2023, Vol. 10, No. 2, pp. 77-103.
11. Tominov R., Vakulov Z., Kazantsev V., Prakash C., Rodriguez D., Smirnov V. Synaptic plasticity in the nanocrystalline ZnO cross-point for neuromorphic systems of AI, *2024 8th Scientific School Dynamics of Complex Networks and their Applications (DCNA)*. IEEE, 2024, pp. 235-238.
12. Prakash C. et al. Computing of neuromorphic materials: an emerging approach for bioengineering solutions, *Materials Advances*, 2023, Vol. 4, No. 23, pp. 5882-5919.
13. Ryu H., Kim S. Self-rectifying resistive switching and short-term memory characteristics in Pt/HfO₂/TaO_x/TiN artificial synaptic device, *Nanomaterials*, 2020, Vol. 10, No. 11, pp. 2159.
14. Raikar A.S. et al. Neuromorphic computing for modeling neurological and psychiatric disorders: Implications for drug development, *Artificial Intelligence Review*, 2024, Vol. 57, No. 12, pp. 318.
15. Kim S., Du C., Sheridan P., Ma W., Choi S., Lu W.D. Experimental demonstration of a second-order memristor and its ability to biorealistically implement synaptic plasticity, *Nano letters*, 2015, Vol. 15, No. 3, pp. 2203-2211.
16. Stasenko S. V., Mikhaylov A. N., Kazantsev V. B. Control of Network Bursting in a Model Spiking Network Supplied with Memristor—Implemented Plasticity, *Mathematics*, 2023, Vol. 11, No. 18, pp. 3888.
17. Song M.K., Kang J.H., Zhang X., Ji W., Ascoli A., Messaris I. et al. Recent advances and future prospects for memristive materials, devices, and systems, *ACS nano*, 2023, Vol. 17, No. 13, pp. 11994-12039.
18. Tominov R., Avilov V., Vakulov Z., Khakhulin D., Ageev O., Valov I., Smirnov V. Forming-Free Resistive Switching of Electrochemical Titanium Oxide Localized Nanostructures: Anodization, Chemical Composition, Nanoscale Size Effects, and Memristive Storage, *Advanced Electronic Materials*, 2022, Vol. 8, No. 8, pp. 2200215.

19. Saenko A.V., Tominov R.V., Jityaev I.L., Vakulov Z.E., Avilov V.I., Polupanov N.V., Smirnov V.A. Transparent Zinc Oxide Memristor Structures: Magnetron Sputtering of Thin Films, Resistive Switching Investigation, and Crossbar Array Fabrication, *Nanomaterials*, 2024, Vol. 14, No. 23, pp. 1901.
20. Tominov R., Vakulov Z., Kazantsev V., Prakash C., Rodriguez D., Smirnov V. Synaptic plasticity in the nanocrystalline ZnO cross-point for neuromorphic systems of AI, *2024 8th Scientific School Dynamics of Complex Networks and their Applications (DCNA)*. IEEE, 2024, pp. 235-238.
21. Smirnov V.A., Tominov R.V., Avilov V.I., Alyab'eva N.I., Vakulov Z.E., Zamburg E.G., Khakhulin D.A., Ageev O.A. Issledovanie memristornogo effekta v nanokristallicheskih plenkakh ZnO [Investigation of the memristor effect in nanocrystalline ZnO films], *Fizika i tekhnika poluprovodnikov* [Physics and Technology of Semiconductors], 2019, Vol. 53, No. 1, pp. 77-82.
22. Rupp J L. M., Infortuna A., Gauckler L.J. Microstrain and self-limited grain growth in nanocrystalline ceria ceramics, *Acta materialia*, 2006, Vol. 54, No. 7, pp. 1721-1730.

Вакулов Захар Евгеньевич – Южный федеральный университет; e-mail: zvakulov@sfedu.ru; г. Таганрог, Россия; тел.: +78634371611; к.т.н.; с.н.с.

Томинов Роман Викторович – Южный федеральный университет; e-mail: tominov@sfedu.ru; г. Таганрог, Россия; тел.: +78634371629; к.т.н.; доцент.

Дзюба Дмитрий Алексеевич – Южный федеральный университет; e-mail: dmdzyuba@sfedu.ru; г. Таганрог, Россия; тел.: +78634371629; аспирант.

Смирнов Владимир Александрович – Южный федеральный университет; e-mail: vasmimov@sfedu.ru; г. Таганрог, Россия; тел.: +78634371629; к.т.н.; доцент; зав. кафедрой.

Vakulov Zakhar Evgenevich – Southern Federal University; e-mail: zvakulov@sfedu.ru; Taganrog, Russia; phone: +78634371611; cand. of eng. sc.; senior researcher.

Tominov Roman Viktorovich – Southern Federal University; e-mail: tominov@sfedu.ru; Taganrog, Russia; phone: +78634371629; cand. of eng. sc.; associate professor.

Dzyuba Dmitry Alekseevich – Southern Federal University; e-mail: dmdzyuba@sfedu.ru; Taganrog, Russia; phone: +78634371629; postgraduate student.

Smirnov Vladimir Aleksandrovich – Southern Federal University; e-mail: vasmirnov@sfedu.ru; Taganrog, Russia; phone: +78634371629; cand. of eng. sc.; associate professor; head of department.

УДК 621.382

DOI 10.18522/2311-3103-2025-5-123-133

Н.М. Богатов, В.С. Володин, Л.Р. Григорьян, М.С. Коваленко
МОДЕЛИРОВАНИЕ ЭЛЕКТРИЧЕСКОГО ПОЛЯ КРЕМНИЕВОЙ
N-I-P НАНОСТРУКТУРЫ

Распределение ионизированных примесей, электронов, дырок определяет структуру, физические свойства, эксплуатационные характеристики полупроводниковых приборов. Роль поверхностных электронных состояний отрицательна, степень их влияния на характеристики прибора зависит от особенностей структуры. Уменьшение размеров полупроводниковых приборов – современная тенденция совершенствования электроники. Влияние поверхностных состояний на свойства наноразмерных объектов возрастает при уменьшении их размеров. Объектом исследования является электрическое поле кремниевой n-i-p наноструктуры. Цель исследования – анализ влияния поверхностных состояний на внутреннее электрическое поле кремниевой n-i-p наноструктуры. Задачи исследования: 1 – Рассчитать численно с учетом поверхностных состояний потенциал и напряжённость электрического поля, концентрацию доноров и акцепторов в кремниевой n-i-p наноструктуре с диффузионным профилем легирования. 2 – Определить влияние толщины n-i-p наноструктуры и плотности поверхностных состояний на потенциал и напряжённость электрического поля. 3 – Определить состав области пространственного заряда n-i-p наноструктуры с минимизированным влиянием поверхностных состояний. Методика расчёта основана на численном решении уравнения Пуассона с учётом поверхностных состояний и граничными условиями, включающими условие общей электронейтральности образца. В результате получены распределения потенциала и напряжённости электрического поля для различных значений толщины

ны наноструктуры и плотности поверхностных состояний. Показано, что заряженные поверхностные состояния изменяют потенциал и напряженность электрического поля не только в поверхностной области, но и в объеме наноструктуры. Значение напряженности в базе возрастает с уменьшением её толщины, это значение уменьшается, если плотность поверхностных состояний превышает 10^{13} см^{-2} . Снижение плотности поверхностных состояний до 10^{12} см^{-2} устраняет созданный ими поверхностный потенциальный барьер. Область пространственного заряда состоит из 5 частей: область положительного заряда, созданного ионизованными донорами, область, обогащённая электронами, область, обеднённая носителями заряда, область, обогащённая дырками, область отрицательного заряда, созданного ионизованными акцепторами.

N-I-P наноструктура; потенциал электрического поля; уравнение Пуассона; поверхностные состояния; электроны; дырки; кремний.

N.M. Bogatov, V.S. Volodin, L.R. Grigoryan, M.S. Kovalenko

MODELING THE ELECTRIC FIELD OF A SILICON *N-I-P* NANOSTRUCTURE

*Distribution of ionized impurities, electrons, holes determines the structure, physical properties, performance characteristics of semiconductor devices. The role of surface electron states is negative, the degree of their influence on the characteristics of the device depends on the features of the structure. Reducing the size of semiconductor devices is a modern trend in improving electronics. The influence of surface states on the properties of nanoscale objects increases with decreasing size. The object of the study is the electric field of a silicon *n-i-p* nanostructure. The purpose of the study is to analyze the influence of surface states on the internal electric field of a silicon *n-i-p* nanostructure. Research objectives: 1 – Calculate numerically, taking into account the surface states, the potential and electric field strength, the concentration of donors and acceptors in a silicon *n-i-p* nanostructure with a diffusion doping profile. 2 – Determine the influence of the thickness of the *n-i-p* nanostructure and the density of surface states on the potential and electric field strength. 3 – Determine the composition of the space charge region of the *n-i-p* nanostructure with the minimized influence of surface states. The calculation method is based on the numerical solution of the Poisson equation taking into account the surface states and boundary conditions, including the condition of the general electroneutrality of the sample. As a result, the distributions of the potential and electric field strength were obtained for different values of the nanostructure thickness and the density of surface states. It is shown that charged surface states change the potential and electric field strength not only in the surface region, but also in the volume of the nanostructure. The value of the strength in the base increases with decreasing thickness, this value decreases if the density of surface states exceeds 10^{13} cm^{-2} . Reducing the density of surface states to 10^{12} cm^{-2} eliminates the surface potential barrier created by them. The space charge region consists of 5 parts: a region of positive charge created by ionized donors, a region enriched in electrons, a region depleted in charge carriers, a region enriched in holes, and a region of negative charge created by ionized acceptors.*

N-I-P nanostructure; electric field potential; Poisson's equation; surface states; electrons; holes; silicon.

Введение. Наноразмерные *n-i-p* (*p-i-n*) структуры входят в состав конструкций приборов современной электроники и оптоэлектроники. Эти структуры используются как элементы энергонезависимой памяти, блоков защиты от статического напряжения, *p-i-n* диоды с регулируемыми характеристиками, СВЧ диоды и другие [1–3]. Уменьшение размеров и времени переключения *n-i-p* структур является актуальной задачей физики и техники полупроводников.

Вклад поверхностных свойств в электрофизические и оптические свойства полупроводниковой структуры возрастает при уменьшении её размеров. Как правило, этот вклад играет отрицательную роль. Причиной является существование нарушенных валентных связей и, следовательно, плотности электронных состояний в запрещённой зоне, обуславливающих темп поверхностной рекомбинации и накопление поверхностного заряда. Плотность поверхностных состояний оценивалась теоретически и экспериментально – это таммовские состояния, уровни Шокли, уровни, созданные дефектами решетки, примесями и др. В кремнии плотность поверхностных состояний находится в диапазоне $10^{11} \div 10^{15} \text{ см}^{-2}$ [4, 5]. Современные методы обработки поверхности и теоретические оценки показывают, что минимальная толщина поверхностного слоя составляет 1–2 нм [6, 7].

Цель работы – анализ влияния поверхностных состояний на внутреннее электрическое поле кремниевой $n-i-p$ наноструктуры.

Методика исследования. Модель $n-i-p$ структуры состоит из четырёх частей: 1 – диффузионный слой n -типа, расположенный при $-w_n \leq x < 0$, 2 – высокоомный слой p_0 -типа (база), расположенный при $0 \leq x < w_p$, 3 – диффузионный слой p -типа, расположенный при $w_p \leq x < w_{p2}$, 4 – низкоомный слоя p -типа, расположенный при $w_{p2} \leq x \leq w_p + L$. Расположение слоев показано на рис. 1, $L \gg w_n, w_p, w_{p2}$.

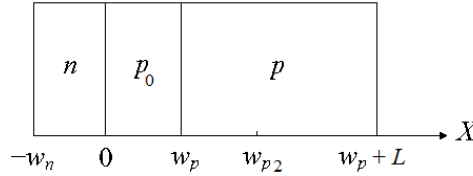


Рис. 1. Пространственная схема $n-p_0-p$ структуры

Предполагаем, что высокоомный слой толщиной $w_n + w_p + w_{p2}$ выращен на низкоомной подложке толщиной $L - w_{p2}$, легированной бором. Диффузия бора в область $x < w_{p2}$, происходит из подложки, а диффузия фосфора – из фосфорсодержащей композиции на противоположной поверхности при $x < -w_n$.

Концентрация фосфора определяется согласно модели диффузии из неограниченного источника

$$N_p(x) = N_{pp} \operatorname{erfc}\left(\frac{(x + w_n)}{x_{0p}}\right) \quad \text{при } -w_n \leq x, \quad (1)$$

N_{pp} – концентрация фосфора на поверхности $x = -w_n$, $x_{0p} = 2\sqrt{D_p t_p}$, D_p – коэффициент диффузии фосфора, зависящий от температуры диффузии, t_p – время диффузии. Концентрация бора в базе $N_{B0} = \text{const}$.

Концентрация примесей в p -слое:

$$N(x) = N_B(x) + N_{B0} \quad \text{при } w_p \leq x < w_{p2}, \quad (2)$$

где $N_B(x)$ – концентрация бора, описываемая моделью диффузии из неограниченного источника

$$N_B(x) = (N_{BB} - N_{B0}) \operatorname{erfc}\left(\frac{(w_{p2} - x)}{x_{0B}}\right), \quad (3)$$

N_{BB} – концентрация бора на поверхности $x = w_{p2}$, $x_{0B} = 2\sqrt{D_B t_B}$, D_B – коэффициент диффузии бора, зависящий от температуры диффузии, t_B – время диффузии бора в базу.

В подложке $N(x) = N_{BB}$ при $w_{p2} \leq x \leq w_p + L$.

Концентрация ионизованных доноров и акцепторов меньше их полной концентрации [8],

$$N_p^{\text{ion}}(x) = \frac{N_p(x)}{1 + g_p e^{\frac{F + q\phi(x) - E_g + E_p}{kT}}}, \quad N_B^{\text{ion}}(x) = \frac{N_B(x)}{1 + g_B e^{\frac{E_B - F - q\phi(x)}{kT}}}, \quad (4)$$

где F – электрохимический потенциал (уровень Ферми), k – постоянная Больцмана, T – абсолютная температура, E_p – энергетический уровень примесного атома фосфора в запрещенной зоне, g_p – фактор вырождения этого уровня, E_B – энергетический уровень примесного атома бора в запрещенной зоне, g_B – фактор вырождения этого уровня,

E_g – ширина запрещённой зоны, q – элементарный заряд, $\varphi(x)$ – потенциал внутреннего электрического поля. Металлургическая граница n - p перехода расположена при $x = 0$, где выполняется условие $N^{ion}(0) = 0$.

В поверхностной области толщиной w_s находятся заряженные электронные состояния. Согласно модели [9] концентрация заряженных поверхностных состояний определяется функцией

$$N_s(x) = \begin{cases} \frac{N_{ss}kT}{w_s E_g} \ln \left(\frac{\left(1 + e^{\frac{F+q\varphi(x)-\frac{E_g}{2}}{kT}}\right) \left(1 + e^{\frac{E_g-F-q\varphi(x)}{kT}}\right)}{\left(1 + e^{\frac{F+q\varphi(x)}{kT}}\right) \left(1 + e^{\frac{\frac{E_g}{2}-F-q\varphi(x)}{kT}}\right)} \right), & \text{при } -w_n \leq x < (w_s - w_n), \\ 0, & \text{при } (w_s - w_n) \leq x \leq w_p + L \end{cases} \quad (5)$$

где N_{ss} – плотность поверхностных состояний в запрещённой зоне.

Концентрации $n(x)$, $p(x)$ рассчитываются по формулам [8]

$$n(x) = N_c e^{\frac{F-E_g+q\varphi(x)}{kT}}, \quad p(x) = N_v e^{\frac{-F-q\varphi(x)}{kT}}, \quad (6)$$

где N_c – эффективная плотность электронных состояний в окрестности дна зоны проводимости, N_v – эффективная плотность электронных состояний в окрестности вершины валентной зоны. Энергия отсчитывается от вершины валентной зоны в точке $x = w_p + L$.

Потенциал внутреннего электрического поля является решением уравнения Пуассона:

$$\frac{d^2}{dx^2} \varphi(x) = -\frac{q}{\varepsilon \varepsilon_0} (p(x) - n(x) + N^{ion}(x) + N_s(x)), \quad (7)$$

где ε – диэлектрическая проницаемость вещества, ε_0 – диэлектрическая постоянная, $N^{ion}(x)$ – суммарная концентрация ионизованных доноров и акцепторов.

Дополнительным условием для уравнения (7) является условие общей электронейтральности:

$$\int_{-w_n}^{w_p+L} (p(x) - n(x) + N^{ion}(x) + N_s(x)) dx = 0. \quad (8)$$

Из уравнения (7) и условия (8) следует, что

$$\left. \frac{d}{dx} \varphi(x) \right|_{x=-w_n} = \left. \frac{d}{dx} \varphi(x) \right|_{x=w_p+L}. \quad (9)$$

Вне рассматриваемой структуры в равновесных условиях напряженность электрического поля $E(x) = -\frac{d}{dx} \varphi(x)$ равна нулю, тогда условие (9) принимает вид

$$\left. \frac{d}{dx} \varphi(x) \right|_{x \leq -w_n} = 0. \quad (10)$$

Выбор начала отсчета потенциала произволен, поэтому считаем, что

$$\varphi(w_p + L) = 0. \quad (11)$$

Используя условие локальной нейтральности подложки, найдем равновесное значение F .

Из (10) следует, что $\varphi(x) = \varphi_0$ при $x \leq -w_n$. Константа φ_0 явно не задается, а определяется в итерационном процессе.

Уравнение (7) в разностной форме с дополнительными условиями (10, 11) решалось численно методом, изложенным в работах [9, 10].

Результаты моделирования. Расчёты проводились для кремниевой структуры с наноразмерными слоями одинаковой толщины $w_n = w_p = w_{p2}/2 = w$, толщиной поверхностного слоя $w_s = 1$ нм при температуре 300 К. Концентрация фосфора на поверхности $N_{pp} = 10^{20}$ см⁻³, бора в базе $N_{B0} = 10^{11}$ см⁻³, бора в подложке $N_{BB} = 10^{20}$ см⁻³. При этих значениях $N_p^{ion}(x) < N_c$, $|N_B^{ion}(x)| < N_v$ для всех $-w_n \leq x \leq w_p + L$, так что электронный и дырочный газ является невырожденным.

Функция $\varphi(x)$ монотонна при $N_{ss} = 0$. Влияние толщины слоев на потенциал $\varphi(x)$ и напряженность $E(x)$ внутреннего электрического поля при максимально возможном значении плотности поверхностных состояний $N_{ss} = 10^{15}$ см⁻² продемонстрировано на рис. 2–4. Существование максимума потенциала $\varphi_{max} = \varphi(x_m)$ (рис. 2) обусловлено отрицательно заряженными поверхностными состояниями, расположенными в запрещенной зоне выше уровня Ферми. Значение $\varphi(-w_n)$ минимизирует $|N_{ss}|$. Положительно ионизованные доноры экранируют отрицательный поверхностный заряд. В результате образуется поверхностная область пространственного заряда (ОПЗ), где $E(x) < 0$, с минимальным значением напряженности E_{min} (рис. 3).

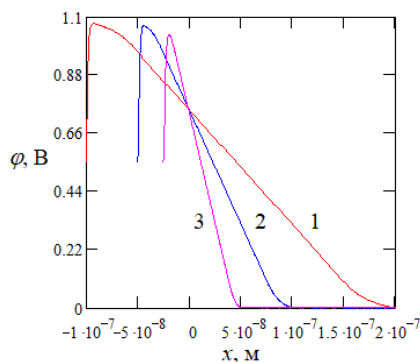


Рис. 2. Зависимость $\varphi(x)$ от толщины слоев: 1 – $w = 100$ нм, $\varphi_{max} = 1.073$ В; 2 – $w = 50$ нм, $\varphi_{max} = 1.066$ В; 3 – $w = 25$ нм, $\varphi_{max} = 1.032$ В

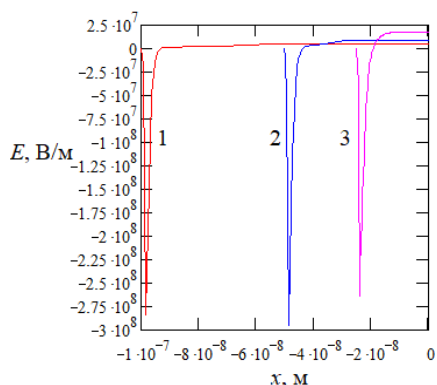


Рис. 3. Зависимость $E(x)$ от толщины n-слоя: 1 – $w_n = 100$ нм; 2 – $w_n = 50$ нм; 3 – $w_n = 25$ нм

Значение φ_{max} уменьшается с уменьшением толщины n -слоя (рис. 2). Положение максимума потенциала x_m , где $E(x_m) = 0$, приближается к металлургической границе $x = 0$ (рис. 3), так что ОПЗ поверхности при $w_n = 25$ нм соединяется с ОПЗ n - p_0 перехода, где $E(x) > 0$.

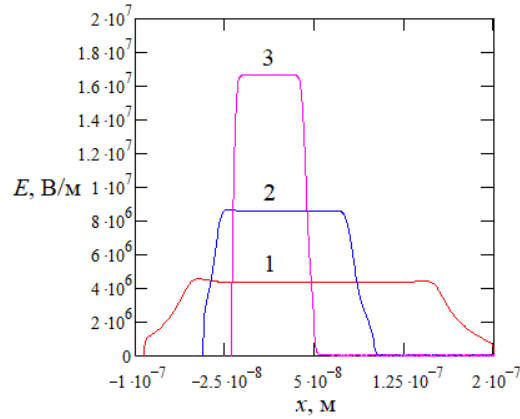


Рис. 4. Зависимость напряжённости от толщины слоев для $E(x) > 0$: 1 – $w = 100$ нм; 2 – $w = 50$ нм; 3 – $w = 25$ нм

В высокоомной области n - p_0 - p структуры напряжённость электрического поля приблизительно постоянна, $E(x) \approx E_0 > 0$ (рис. 4), отклонение от константы $|\Delta E(x)| \ll E_0$. Значение E_0 возрастает при уменьшении толщины базы, но выполняется неравенство $E_0 \ll |E_{min}|$.

Влияние плотности поверхностных состояний N_{ss} на $\varphi(x)$ и $E(x)$ показано на рис. 5 – рис. 7. Размеры слоев наноструктуры $w_n = w_p = \Delta w_p = 20$ нм выбраны так, что квантовыми эффектами можно пренебречь.

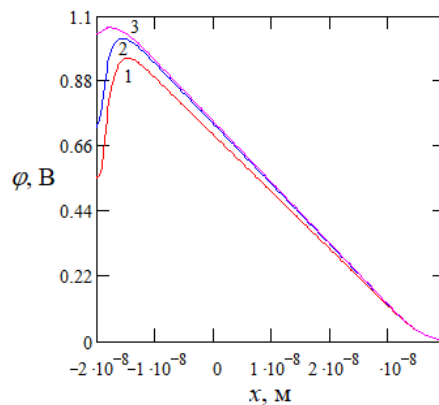


Рис. 5. Распределение электрического потенциала $\varphi(x)$ для различных значений плотности поверхностных состояний N_{ss} : 1 – $N_{ss} = 10^{15}$ $см^{-2}$; 2 – $N_{ss} = 10^{14}$ $см^{-2}$; 3 – $N_{ss} = 10^{13}$ $см^{-2}$

Значение максимума φ_{max} электрического потенциала в поверхностной области снижается, а его положение x_m приближается к металлургической границе при увеличении N_{ss} (рис. 5). Поверхностная область создает потенциальный барьер для транспорта носителей заряда приблизительно треугольной формы, максимальная высота этого барьера $h \approx E_g/2$, основание $a \approx 6$ нм при $N_{ss} = 10^{15}$ $см^{-2}$. Высота поверхностного барьера убывает с уменьшением N_{ss} . ОПЗ n - p_0 -перехода сливается с ОПЗ поверхности при $N_{ss} \geq 10^{13}$ $см^{-2}$. При

$N_{ss} \leq 10^{12} \text{ см}^{-2}$ поверхностные состояния практически не влияют на электрическое поле n -области. Чем меньше размер наноструктуры, тем сильнее влияние поверхности на электрическое поле в объеме.

На рис. 6, 7 показано изменение напряженности электрического поля в различных масштабах. Вектор напряженности электрического поля в поверхностной области противоположен вектору напряженности в базе и превышает его по модулю. Максимальное значение модуля напряженности $2.3 \cdot 10^8 \text{ В/м}$ при $N_{ss} = 10^{15} \text{ см}^{-2}$, что увеличивает эффективную скорость поверхностной рекомбинации [10]. При уменьшении плотности поверхностных состояний менее 10^{12} см^{-2} этот эффект исчезает.

Размер области, в которой $E(x) \approx E_0$, превышает размер базы (рис. 7). Напряженность электрического поля E_0 возрастает с уменьшением плотности поверхностных состояний N_{ss} и достигает значения $E_{max} > 2.1 \cdot 10^7 \text{ В/м}$ при $N_{ss} < 10^{13} \text{ см}^{-2}$. В таком электрическом поле происходит разогрев неравновесных носителей заряда, наблюдается нелинейная зависимость их дрейфовой скорости от напряженности электрического поля, пролетный режим транспорта, ударная ионизация и другие нелинейные эффекты [11–13].

В работе [14] исследовано распределение напряженности электрического поля в p - i - n структуре толщиной 250 мкм. Показано, что уменьшение подвижности электронов, дырок с ростом напряженности обуславливает пространственные осцилляции электрического поля и плотности заряда при увеличении плотности тока. Рассчитанное значение E_{max} в наноструктуре толщиной 20 нм много больше, чем в работе [14], и выходит за пределы применимости использованной в [14] зависимости подвижности от напряженности.

На рис. 8 показано распределение электрического потенциала и концентрации заряженных частиц при $N_{ss} = 10^{12} \text{ см}^{-2}$. Концентрация ионизированных примесей взята по модулю, так как $N^{ion}(x) < 0$ при $x > 0$. Поверхностный потенциальный барьер пренебрежимо мал. Область положительного заряда, созданного ионизированными донорами, расположена при $-w_n < x < -8 \text{ нм}$, область отрицательного заряда, созданного ионизированными акцепторами, расположена при $26.4 \text{ нм} < x < 40 \text{ нм}$. Эти области создают электрическое поле в объеме с напряженностью E_0 (аналог плоскопараллельного конденсатора). Между ними находятся три области: 1 – обогащённая электронами при $-8 \text{ нм} < x < 7.2 \text{ нм}$, 2 – обеднённая носителями заряда при $7.2 \text{ нм} < x < 13.6 \text{ нм}$, 3 – обогащённая дырками при $13.6 \text{ нм} < x < 26.4 \text{ нм}$. Последние три области обуславливают малое отклонение напряженности $\Delta E(x)$ от E_0 .

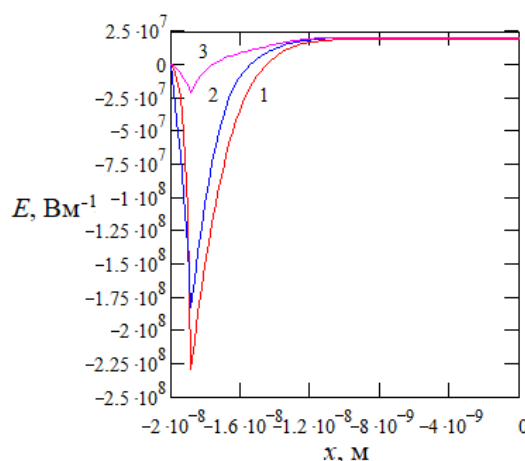


Рис. 6. Распределение напряженности электрического поля $E(x)$ в n -слое для различных значений плотности поверхностных состояний N_{ss} : 1 – $N_{ss} = 10^{15} \text{ см}^{-2}$; 2 – $N_{ss} = 10^{14} \text{ см}^{-2}$; 3 – $N_{ss} = 10^{13} \text{ см}^{-2}$

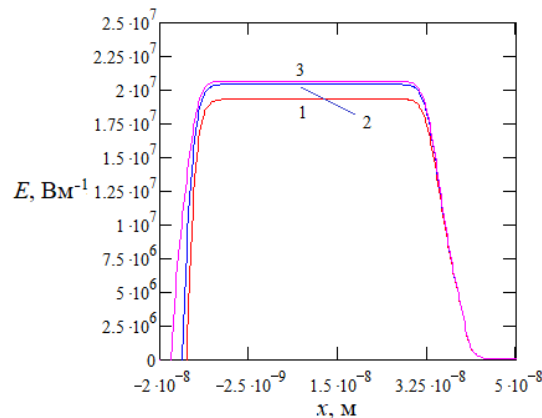


Рис. 7. Распределение положительных значений напряженности электрического поля $E(x)$ для различных значений плотности поверхностных состояний N_{ss} : 1 – $N_{ss} = 10^{15} \text{ см}^{-2}$; 2 – $N_{ss} = 10^{14} \text{ см}^{-2}$; 3 – $N_{ss} = 10^{13} \text{ см}^{-2}$

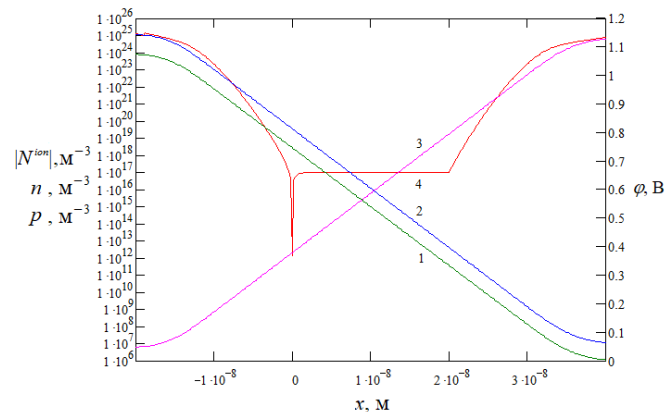


Рис. 8. Изменение 1 – $\varphi(x)$, 2 – $n(x)$, 3 – $p(x)$, 4 – $|N^{ion}(x)|$ в объёме наноразмерной n - p_0 - p структуры при $N_{ss} = 10^{12} \text{ см}^{-2}$

Таким образом, условие квазинейтральности в базе не выполняется, распределение свободных носителей заряда образует зарядовый диполь.

Выводы. Выполнено численное моделирование кремниевой наноразмерной n - i - p структуры с диффузионным профилем легирования и учетом поверхностных состояний. Показано, что заряженные поверхностные состояния изменяют потенциал и напряженность электрического поля не только в поверхностной области, но и в объеме наноструктуры.

В литературе влияние поверхностных состояний на характеристики фотоэлектрических структур рассматривается прежде всего с точки зрения поверхностной рекомбинации неравновесных носителей заряда [15]. Для устранения этого эффекта рекомендуется уменьшить плотность поверхностных состояний до значения 10^{12} см^{-2} за счет пассивации поверхности пленкой диэлектрика [16]. Напряженность электрического поля в базе n - i - p структуры считается постоянной, а база – квазинейтральной при отсутствии электрического тока [17].

В результате численного решения уравнения Пуассона показано, что в наноразмерной n - i - p структуре значение напряженности в базе возрастает с уменьшением её толщины, но электрическое поле, созданное заряженными поверхностными состояниями, уменьшает это значение. При $N_{ss} \leq 10^{12} \text{ см}^{-2}$ влияние поверхностных состояний на электрическое поле n -области и базы пренебрежимо мало.

Таким образом, снижение плотности поверхностных состояний до 10^{12} см^{-2} не только уменьшает скорость поверхностной рекомбинации, но устраняет созданный ими поверхностный потенциальный барьер и отрицательное влияние на напряженность электрического поля в базе.

Рассчитанное значение напряженности поля в базе превышает критическое, при котором дрейфовая скорость электронов сравнивается с тепловой [18, 19]. В рассмотренном случае условие квазинейтральности в высокоомной базе не выполняется, наноразмерная база оказывается поляризованной.

Полученные результаты можно использовать для совершенствования полупроводниковых приборов. Большое значение напряженности электрического поля базы обеспечивает высокий квантовый выход лавинных фотодиодов [20, 21], *p-i-n* детекторов ионизирующего излучения [22, 23]. Возбуждение колебаний неравновесных носителей заряда *p-i-n* структуры даёт резонансное поглощение или излучение электромагнитных волн ТГц диапазона [24].

БИБЛИОГРАФИЧЕСКИЙ СПИСОК

1. Даниленко А.А., Иванов А.Д., Иванов В.Л., Марочкин В.В., Михайлов Н.И., Перепеловский В.В. Характеристики *pin*-структуры с дискретно металлизированной поверхностью *i*-области // Известия вузов России. Радиоэлектроника. – 2020. – Т. 23, № 1. – С. 41-51.
2. Кочемасов В., Рауткин Ю. Интегральные СВЧ-переключатели // ЭЛЕКТРОНИКА: Наука, Технология, Бизнес. – 2018. – № 4 (00175). – С. 122-127.
3. Резников В., Губырин Л. Высокочастотные и СВЧ *p-i-n*-диоды // Компоненты и технологии. – 2000. – № 3. – С. 1-2.
4. Яфаров Р.К. Влияние встроенного поверхностного потенциала на ВАХ кремниевых МДП структур // Микроэлектроника. – 2019. – Т. 48, № 2. – С. 155-159.
5. Александров О.В. Влияние интенсивности ионизирующего облучения на отклик МОП-структур // Физика и техника полупроводников. – 2021. – Т. 55. – В. 2. – С. 152-158.
6. Волковский Ю.А., Серегин А.Ю., Фоломешкин М.С., Просеков П.А., Павлюк М.Д., Писаревский Ю.В., Благов А.Е., Ковальчук М.В. Исследование состояния приповерхностного слоя полированных кремниевых подложек методом рентгеновской рефлектометрии в зависимости от методов их очистки // Поверхность. Рентгеновские, синхротронные и нейтронные исследования. – 2021. – № 9. – С. 40-48.
7. Юров В.М., Жанабергенов Т., Гученко С.А. Толщина поверхностного слоя типичных полупроводников // The scientific heritage. – 2020. – № 43. – С. 20-23.
8. Шалимова К.В. Физика полупроводников. – М.: Лань, 2010. – 400 с.
9. Бозатов Н.М. Численное решение уравнения Пуассона в *n-p* переходе с учетом поверхностных состояний // Экологический вестник научных центров Черноморского экономического сотрудничества. – 2024. – Т. 21, № 3. – С. 61-69.
10. Бозатов Н.М., Володин В.С., Григорьян Л.Р., Коваленко М.С. Влияние поверхностных состояний на электрическое поле *n-p* перехода // Известия ЮФУ. Технические науки. – 2024. – № 3. – С. 266-275.
11. Щука А.А. Наноэлектроника. – М.: Юрайт, 2025. – 297 с.
12. Гуртов В.А. Твердотельная электроника. – М.: Техносфера, 2008. – 512 с.
13. Берикашвили В.Ш., Воробьев С.А. Твердотельная электроника и микроэлектроника. – М.: КноРус, 2023. – 301 с.
14. Усанов Д.А., Горбатов С.С., Кваско В.Ю., Фадеев А.В., Калямин А.А. Пространственные осцилляции электрического поля и плотности заряда в кремниевом *p-i-n*-диоде // Письма в ЖТФ. – 2014. – Т. 40. – В. 21. – С. 104-110.
15. *Chai J.Y.-H., Wong B.T., Juodkazis S.* Black-silicon-assisted photovoltaic cells for better conversion efficiencies: a review on recent research and development efforts // Materials Today Energy. – 2020. – Vol. 18. – 100539. – P. 1-23.
16. *Savin H., Repo P., von Gastrow G., Ortega P., Calle E., Garin M., Alcubilla R.* Black silicon solar cells with interdigitated back-contacts achieve 22.1% efficiency // Nat Nanotechnol. – 2015. – Vol. 10 (7). – 624-8. – P. 1-12.
17. Смирнов В.И. Физика полупроводниковых приборов. – Ульяновск: УлГТУ, 2022. – 203 с.
18. Старосельский В.И. Физика полупроводниковых приборов микроэлектроники. – М.: Юрайт, 2025. – 463 с.

19. Дурнаков А.А. Физические основы микро- и наноэлектроники. – Екатеринбург: Изд-во Урал. ун-та, 2020. – 247 с.
20. Shobitha G.S., Ghivela G.C. Potentiality of Avalanche Transit Time Devices for Biomedical Applications: A Comprehensive Review // Biomedical Materials & Devices. – 2025. – URL: <https://doi.org/10.1007/s44174-025-00339-9>.
21. Wang B., Mu J. High-speed Si-Ge avalanche photodiodes // PhotonIX. – 2022. – Vol. 3. – I. 8. – P. 1-22.
22. Физика полупроводниковых преобразователей / под ред. А.Н. Саурова, С.В. Булярского. – М.: РАН, 2018. – 280 с.
23. Сауров М.А. Оптимизация параметров преобразователя излучения на основе кремниевого р–i–n диода // Известия вузов. Электроника. – 2023. – Т. 28. – В. 4. – С. 431-440.
24. Андрианов А.В. Генерация терагерцевого излучения в полупроводниках // Физика твердого тела. – 2023. – Т. 65. – В. 10. – С. 1633-1671.

REFERENCES

1. Danilenko A.A., Ivanov A.D., Ivanov V.L., Marochkin V.V., Mikhaylov N.I., Perepelovskiy V.V. Kharakteristiki pin-struktury s diskretno metallizirovannoy poverkhnost'yu i-oblasti [Characteristics of a pin structure with a discretely metallized surface of the i-region], *Izvestiya vuzov Rossii. Radioelektronika* [Journal of the Russian Universities. Radioelectronics], 2020, Vol. 23, No. 1, pp. 41-51.
2. Kochemasov V., Rautkin Yu. Integral'nye SVCh-pereklyuchateli [Integrated microwave switches], *ELEKTRONIKA: Nauka, Tekhnologiya, Biznes* [ELECTRONICS: Science, Technology, Business], 2018, No. 4 (00175), pp. 122-127.
3. Reznikov V., Gubyrin L. Vysokochastotnye i SVCh p-i-n-diody [High-frequency and microwave p-i-n-diodes], *Komponenty i tekhnologii* [Components and Technologies], 2000, No. 3, pp. 1-2.
4. Yafarov R.K. Vliyanie vstroennogo poverkhnostnogo potentsiala na VAKh kremnievykh MDP struktur [Influence of built-in surface potential on the volt-ampere characteristic characteristics of silicon MIS structures], *Mikroelektronika* [Microelectronics], 2019, Vol. 48, No. 2, pp. 155-159.
5. Aleksandrov O.V. Vliyanie intensivnosti ioniziruyushchego oblucheniya na otklik MOP-struktur [Effect of ionizing radiation intensity on the response of MOS structures], *Fizika i tekhnika poluprovodnikov* [Physics and Technology of Semiconductors], 2021, Vol. 55, Issue 2, pp. 152-158.
6. Volkovskiy Yu.A., Seregin A.Yu., Folomeshkin M.S., Prosekov P.A., Pavlyuk M.D., Pisarevskiy Yu.V., Blagov A.E., Koval'chuk M.V. Issledovanie sostoyaniya pripoverkhnostnogo sloya polirovannykh kremnievykh podlozhek metodom rentgenovskoy reflektometrii v zavisimosti ot metodov ikh oчитки [Study of the state of the near-surface layer of polished silicon substrates by X-ray reflectometry depending on their cleaning methods], *Poverkhnost'. Rentgenovskie, sinkhrotronnye i neytronnye issledovaniya* [Surface. X-ray, Synchrotron and Neutron Studies], 2021, No. 9, pp. 40-48.
7. Yurov V.M., Zhanabergenov T., Guchenko S.A. Tolshchina poverkhnostnogo sloya tipichnykh poluprovodnikov [Surface layer thickness of typical semiconductors], *The scientific heritage*, 2020, No. 43, pp. 20-23.
8. Shalimova K.V. Fizika poluprovodnikov [Physics of semiconductors]. Moscow: Lan', 2010, 400 p.
9. Bogatov N.M. Chislennoe reshenie uravneniya Puassona v n-p perekhode s uchetom poverkhnostnykh sostoyaniy [Numerical solution of the Poisson equation in an n-p junction taking into account surface states], *Ekologicheskiy vestnik nauchnykh tsentrov Chernomorskogo ekonomicheskogo sotrudnichestva* [Ecological Bulletin of Scientific Centers of the Black Sea Economic Cooperation], 2024, Vol. 21, No. 3, pp. 61-69.
10. Bogatov N.M., Volodin V.S., Grigor'yan L.R., Kovalenko M.S. Vliyanie poverkhnostnykh sostoyaniy na elektricheskoe pole n-p perekhoda [Influence of surface states on the electric field of an n-p junction], *Izvestiya YuFU. Tekhnicheskie nauki* [Izvestiya SFedU. Engineering Sciences], 2024, No. 3, pp. 266-275.
11. Shchuka A.A. Naneoelktronika [Nanoelectronics]. Moscow: Yurayt, 2025, 297 p.
12. Gurtov V.A. Tverdotel'naya elektronika [Solid-state electronics]. Moscow: Tekhnosfera, 2008, 512 p.
13. Berikashvili V.Sh., Vorob'ev S.A. Tverdotel'naya elektronika i mikroelektronika [Solid-state electronics and microelectronics]. Moscow: KnoRus, 2023, 301 p.
14. Usanov D.A., Gorbatov S.S., Kvasko V.YU., Fadeev A.V., Kalyamin A.A. Prostranstvennyye ostsillyatsii elektricheskogo polya i plotnosti zaryada v kremnievom p-i-n-diode [Spatial oscillations of the electric field and charge density in a silicon p-i-n diode], *Pisma v ZhTF* [Letters to the Journal of Technical Physics], 2014, Vol. 40, Issue 21, pp. 104-110.
15. Chai J.Y.-H., Wong B.T., Juodkazis S. Black-silicon-assisted photovoltaic cells for better conversion efficiencies: a review on recent research and development efforts, *Materials Today Energy*, 2020, Vol. 18, 100539, pp. 1-23.

16. Savin H., Repo P., von Gastrow G., Ortega P., Calle E., Garin M., Alcubilla R. Black silicon solar cells with interdigitated back-contacts achieve 22.1% efficiency, *Nat Nanotechnol*, 2015, Vol. 10 (7), 624-8, pp. 1-12.
17. Smirnov V.I. Fizika poluprovodnikovyykh priborov [Physics of semiconductor devices]. Ulyanovsk: UIGTU, 2022, 203 p.
18. Starosel'skiy V.I. Fizika poluprovodnikovyykh priborov mikroelektroniki [Physics of semiconductor devices of microelectronics]. Moscow: Yurayt, 2025, 463 p.
19. Durnakov A.A. Fizicheskie osnovy mikro- i nanoelektroniki [Physical Foundations of micro- and nanoelectronics]. Ekaterinburg: Izd-vo Ural. un-ta, 2020, 247 p.
20. Shobitha G.S., Ghivela G.C. Potentiality of Avalanche Transit Time Devices for Biomedical Applications: A Comprehensive Review, *Biomedical Materials & Devices*, 2025. Available at: <https://doi.org/10.1007/s44174-025-00339-9>.
21. Wang B., Mu J. High-speed Si-Ge avalanche photodiodes, *PhotoniX*, 2022, Vol. 3, Issue 8, pp. 1-22.
22. Fizika poluprovodnikovyykh preobrazovateley [Physics of semiconductor converters], ed. by A.N. Saurova, S.V. Bulyarskogo. Moscow: RAN, 2018, 280 p.
23. Saurov M.A. Optimizatsiya parametrov preobrazovatelya izlucheniya na osnove kremnievogo p-i-n-dioda [Optimization of parameters of a radiation converter based on a silicon p-i-n diode], *Izvestiya vuzov. Elektronika* [Bulletin of Universities. Electronics], 2023, Vol. 28, Issue 4, pp. 431-440.
24. Andrianov A.V. Generatsiya teragertseвого izlucheniya v poluprovodnikakh [Generation of Terahertz Radiation in Semiconductors], *Fizika tverdogo tela* [Solid State Physics], 2023, Vol. 65, Issue 10, pp. 1633-1671.

Богатов Николай Маркович – Кубанский государственный университет; e-mail: bogatov@phys.kubsu.ru; г. Краснодар, Россия; тел.: +79034513106; д.ф.-м.н.; профессор.

Володин Владимир Сергеевич – Кубанский государственный университет; e-mail: volodinvs1995@mail.ru; г. Краснодар, Россия; тел.: +79898203672; аспирант.

Григорьян Леонтий Рустемович – Кубанский государственный университет; e-mail: leonmezon@mail.ru; г. Краснодар, Россия; тел.: +79181681719; к.ф.-м.н.; доцент.

Коваленко Максим Сергеевич – Кубанский государственный университет; e-mail: m.s.kovalenko@ya.ru; г. Краснодар, Россия; тел.: +79184694954; к.ф.-м.н.; доцент.

Bogatov Nikolay Markovich – Kuban State University; e-mail: bogatov@phys.kubsu.ru; Krasnodar, Russia; phone: +79034513106; dr. of phys. and math.; professor.

Volodin Vladimir Sergeevich – Kuban State University; e-mail: volodinvs1995@mail.ru; Krasnodar, Russia; phone: +79898203672; graduate student.

Grigoryan Leontiy Rustemovich – Kuban State University; e-mail: leonmezon@mail.ru; Krasnodar, Russia; phone: +79181681719; cand. of phys. and math. sc.; associate professor.

Kovalenko Maxim Sergeevich – Kuban State University; e-mail: m.s.kovalenko@ya.ru; Krasnodar, Russia; phone: +79184694954; cand. of phys. and math. sc.; associate professor.

УДК 537.876

DOI 10.18522/2311-3103-2025-5-133-142

М. Пленингер, С.В. Балакирев, М.С. Солодовник

ИССЛЕДОВАНИЕ ЗАКОНОМЕРНОСТЕЙ РАСПРОСТРАНЕНИЯ ИЗЛУЧЕНИЯ С ДЛИНОЙ ВОЛНЫ 1,3 МКМ В ДВУМЕРНЫХ ФОТОННЫХ КРИСТАЛЛАХ НА ОСНОВЕ GaAs С КОНФИГУРАЦИЕЙ ВОЛНОВОД–МИКРОРЕЗОНАТОР

Фотонные кристаллы – это полупроводниковые структуры, которые характеризуются периодическим изменением диэлектрической проницаемости в пространстве с периодом, соизмеримым с длиной волны электромагнитного излучения. Интерес к ним обусловлен как важностью фундаментальных исследований взаимодействия света с веществом, так и перспективами применения фотонных кристаллов в оптических интегральных схемах и компонентах оптоэлектроники нового поколения. В данной работе представлены результаты исследования закономерностей распространения электромагнитного излучения с длиной волны 1,3 мкм в двумерных фотонных

кристаллах на основе арсенида галлия (GaAs). Исследование основано на численной модели в программном пакете Comsol Multiphysics 6.1 и включает анализ распределения напряженности электрического поля в сложных фотонно-кристаллических структурах, состоящих из волновода и связанной с ним гексагональной микрополости (микрорезонатора) с различными геометрическими параметрами. Также проанализировано влияние радиуса дефекта, намеренно внесенного в область волновода, на эффективность передачи излучения в область резонатора. Для численного анализа использовались методы моделирования распространения поперечных электрических волн в двумерных фотонных кристаллах с гексагональной решеткой воздушных отверстий. Геометрические параметры базовой структуры фотонного кристалла оставались постоянными: радиус воздушных отверстий составлял 209 нм, период решетки – 520 нм. Волновод формировался путем удаления одного из рядов воздушных отверстий, а микрорезонатор создавался путем формирования воздушной полости гексагональной формы вблизи волновода. Для повышения эффективности связи между волноводом и резонатором в структуру был внедрен дефект – воздушное отверстие с переменным радиусом. Анализ показал, что максимальная локализация электромагнитного поля в гексагональной полости с диаметром 1,65 мкм достигается при удалении ее от волновода на два ряда воздушных отверстий. При увеличении этого расстояния наблюдается снижение интенсивности поля в пределах резонатора. Введение дефекта позволило значительно повысить эффективность передачи энергии из волновода в резонатор. Наибольшая интегральная напряженность электрического поля в области резонатора наблюдалась при радиусе дефекта в диапазоне от 246 до 290 нм. Полученные данные могут быть использованы при разработке компактных оптических устройств, таких как лазеры, модуляторы и переключатели на основе фотонных кристаллов.

Фотонный кристалл; GaAs; волновод; микрорезонатор.

M. Pleninger, S.V. Balakirev, M.S. Solodovnik

STUDY OF THE PROPAGATION OF LIGHT WITH A WAVELENGTH OF 1.3 MM IN TWO-DIMENSIONAL GaAs-BASED PHOTONIC CRYSTALS WITH A WAVEGUIDE–MICRORESONATOR CONFIGURATION

Photon crystals are semiconductor structures characterized by a periodic variation of dielectric permittivity in space with a period comparable to the wavelength of electromagnetic radiation. Interest in these structures is driven both by the importance of fundamental research into light-matter interactions and by the prospects for applying photonic crystals in optical integrated circuits and next-generation optoelectronic components. This paper presents the results of a study on the propagation patterns of electromagnetic radiation with a wavelength of 1.3 μm in two-dimensional photonic crystals based on gallium arsenide (GaAs). The research is based on a numerical model using the Comsol Multiphysics 6.1 software package and includes an analysis of the electric field intensity distribution in complex photonic crystal structures consisting of a waveguide coupled to a hexagonal microcavity (microresonator) with various geometric parameters. The influence of a deliberately introduced defect radius in the waveguide region on the efficiency of radiation transmission into the resonator area also analyzed. For numerical analysis, methods for simulating the propagation of transverse electric waves in two-dimensional photonic crystals with a hexagonal lattice of air holes employed. The geometric parameters of the basic photonic crystal structure remained constant: the air hole radius was 209 nm, and the lattice period was 520 nm. The waveguide was formed by removing one row of air holes, while the microresonator was created by forming a hexagonal air cavity near the waveguide. To enhance the coupling efficiency between the waveguide and resonator, a defect in the form of an air hole with a variable radius was introduced into the structure. Analysis showed that maximum localization of the electromagnetic field in a hexagonal cavity with a diameter of 1.65 μm was achieved when the cavity was positioned two rows of air holes away from the waveguide. Increasing this distance resulted in a reduction of field intensity within the resonator. Introduction of the defect significantly enhanced energy transfer efficiency from the waveguide to the resonator. The highest integral electric field intensity in the resonator region was observed when the defect radius ranged from 246 to 290 nm. The obtained data can be used in the development of compact optical devices such as lasers, modulators, and switches based on photonic crystals.

Photonic crystal; GaAs; waveguide; microresonator.

Введение. Фотонные кристаллы (ФК) представляют собой материалы, обладающие пространственно-периодической модуляцией диэлектрической проницаемости в масштабах, сравнимых с длиной волны электромагнитного излучения. Такая структура обеспечивает формирование фотонной запрещенной зоны – спектрального диапазона, в кото-

ром распространение света определенных частот и направлений подавляется за счет брэгговского рассеяния [1]. Это уникальное свойство позволяет управлять распространением света и открывает широкие возможности для создания интегрально-оптических устройств нового поколения. Полная фотонная запрещенная зона возникает при перекрытии брэгговских запрещенных зон во всех возможных направлениях распространения волн внутри кристалла. Наличие такой зоны позволяет локализовать свет, эффективно отражать падающее излучение и управлять его распространением в заданных направлениях [2]. Эти эффекты используются при разработке высокодобротных микрорезонаторов, компактных волноводов, фильтров, переключателей и других элементов фотонных схем [3–12]. Особый интерес представляет использование ФК в интегральной оптике, лазерах [13] и биосенсорах [14, 15]. Благодаря своей способности локализовать и направлять свет такие структуры позволяют миниатюризировать оптические системы и повышать их функциональную плотность [16]. Кроме того, существует ряд работ, посвященных применению волноводно-резонаторных конфигураций, таких как датчик давления на основе двумерных ФК структур, работающий по принципу регистрации сдвига резонансной длины волны под действием приложенного давления [17]. Интерес представляет также другая работа, в которой представлена новая конструкция микродискового резонатора на основе субволновой решетки. Чувствительность, достигнутая в данной работе, является наивысшей по сравнению с ранее опубликованными в литературе значениями [18]. Несмотря на то, что вышеуказанные работы подтверждают актуальность ФК в современной фотонике, конфигурации волноводно-резонаторных систем на основе ФК все еще требуют дальнейшей оптимизации.

Среди наиболее перспективных материалов для создания таких структур выделяется арсенид галлия (GaAs), который сочетает в себе высокую диэлектрическую проницаемость, развитую технологию микрообработки и совместимость с существующими полупроводниковыми технологиями. Для современных оптических систем связи большой интерес представляет излучение с длиной волны 1,3 мкм, что обусловлено попаданием во второе окно прозрачности оптического волокна, характеризующееся низким уровнем затухания, и нулевой дисперсией [19]. Кроме того, на этой длине волны работают источники излучения на основе квантовых точек InGaAs, которые отличаются высокой стабильностью и технологичностью изготовления [20, 21].

В рамках данной работы было проведено численное моделирование взаимодействия электромагнитного излучения с двумерными ФК на основе GaAs, содержащими волноводы и гексагональные микрорезонаторы. Особое внимание было уделено анализу распределения напряженности электрического поля (ЭП) в зависимости от геометрических параметров структуры, а также исследованию влияния намеренно внесенного дефекта на эффективность передачи излучения из волновода в область резонатора. Целью исследования является определение оптимальных параметров структуры фотонного кристалла, обеспечивающих максимальную локализацию электромагнитного поля в микрорезонаторе, что особенно важно для применения в устройствах оптоэлектроники, таких как лазеры, оптические модуляторы и переключатели.

Описание модели. Исследование проводилось на основе двумерного ФК, изготовленного из матрицы GaAs с внедренной гексагональной решеткой воздушных отверстий (рис. 1). Известно, что фотонные кристаллы со структурными элементами в форме гексагонов представляют интерес в связи с возможностью формирования полной фотонной запрещенной зоны, обеспечивающей максимальное отражение распространяемого излучения [22]. Материал матрицы GaAs был выбран благодаря высокой диэлектрической проницаемости ($\epsilon \approx 12,9$), технологичности и широкому применению в современной оптоэлектронике. Геометрические параметры фотонного кристалла подбирались таким образом, чтобы обеспечить попадание излучения с длиной волны 1,3 мкм в фотонную запрещенную зону: радиус (r) воздушных отверстий – 209 нм, период структуры – 520 нм. Моделирование проводилось в программном пакете COMSOL Multiphysics 6.1 с использованием модуля Wave Optics. Для моделирования распространения электромагнитных волн в фотонном кристалле использовалось скалярное уравнение для поперечной составляющей ЭП E_z :

$$-\Delta \cdot \Delta E_z - n^2 k_0^2 E_z = 0, \quad (1)$$

где n – показатель преломления, а k_0 – волновое число в пространстве.

При моделировании электромагнитных полей в среде с неоднородными материалами программный пакет COMSOL Multiphysics автоматически применяет физически обоснованные граничные условия на всех внутренних границах раздела между различными материалами:

$$l \cdot (\Delta \cdot E) - j k_0 l \cdot (E \cdot l) = 0, \quad (2)$$

где l – единичный вектор нормали к границе двух сред, E – вектор напряженности электрического поля, $\Delta \cdot E$ – ротор электрического поля, j – мнимая единица, $E \cdot l$ – векторное произведение, которое дает компоненту E , перпендикулярную l . В частности, на таких границах обеспечивается непрерывность тангенциальных компонент электрического и магнитного полей, что соответствует классическим граничным условиям, вытекающим из интегральной формы уравнений Максвелла.

Для повышения эффективности передачи излучения из волновода в резонатор в структуру было внедрено воздушное отверстие переменного радиуса, играющее роль дефекта. Радиус дефекта варьировался в диапазоне от 139 до 261 нм с целью определения его оптимального значения, отвечающего наиболее эффективному вводу излучения в микрорезонатор. Исследование включало моделирование распределения напряженности ЭП вдоль волновода и по контуру гексагонального микрорезонатора, а также анализ зависимостей подынтегральной площади кривой напряженности ЭП (интегральной напряженности ЭП) от координаты при различном количестве рядов воздушных отверстий между волноводом и резонатором (L) и различным радиусе дефекта.

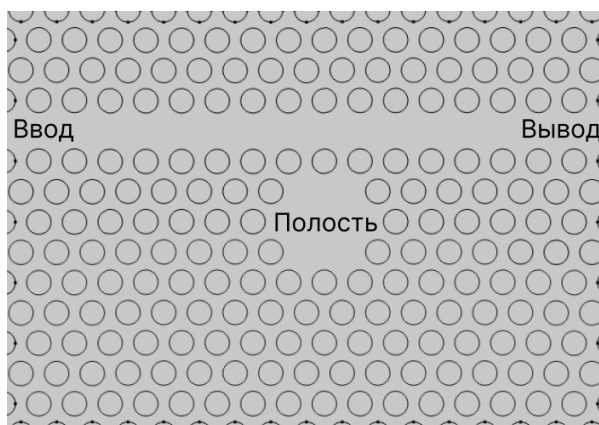


Рис. 1. Топология моделируемого ПК на основе GaAs, включающего волновод и полость из GaAs, выполняющую роль микрорезонатора

Структура состоит из 17 воздушных отверстий в горизонтальном направлении и 13 воздушных отверстий в вертикальном направлении. Для реализации волновода в структуре был удален один ряд воздушных отверстий вдоль направления распространения света. Источник излучения расположен у ввода в волновод и излучает с длиной волны 1.3 мкм, при этом данная модель не предполагает наличие приемника. В качестве микрорезонатора использовалась гексагональная полость, образованная удалением гексагона воздушных отверстий в области вблизи волновода. Такая конфигурация позволяет эффективно локализовать электромагнитное поле в заданной области.

Результаты и обсуждение. Проведено исследование распределения напряженности ЭП в структуре волновод–микрорезонатор при различных геометрических параметрах его структуры, таких как количество рядов воздушных отверстий между волноводом и гексагональным микрорезонатором и диаметр микрорезонатора. Кроме того, проведено исследование влияния дефектного воздушного отверстия в волноводе на интегральную

напряженность ЭП в волноводе и в гексагональной полости. На рис. 2 демонстрируются результаты моделирования структуры, включающей волновод и гексагональную полость, расстояние между которыми варьируется дискретно. Шаг изменения расстояния соответствует одному ряду воздушных отверстий. Полученные данные представлены для двух значений диаметра гексагональной полости: на рис. 2,а-в диаметр полости (d) составляет 1,65 мкм, а на рис. 2,г-е – 2,69 мкм.

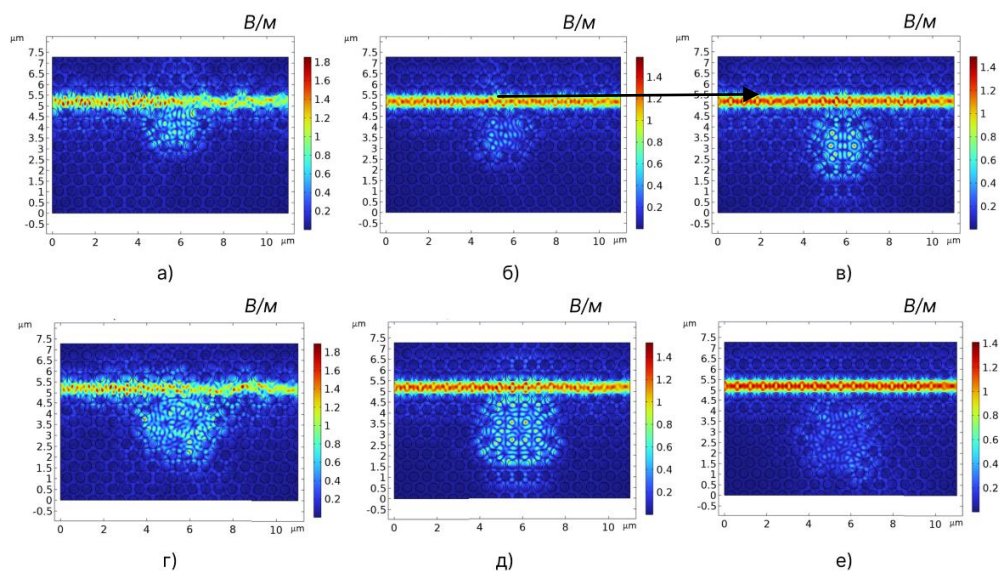


Рис. 2. Полученное в результате проведенного моделирования распределение напряженности ЭП в структуре волновод–микрорезонатор: $d = 1,65$ мкм, $L = 0$ (а); $d = 1,65$ мкм, $L = 1$ (б); $d = 1,65$ мкм, $L = 2$ (в); $d = 2,69$ мкм, $L = 0$ (г); $d = 2,69$ мкм, $L = 1$ (д); $d = 2,69$ мкм, $L = 2$ (е)

Исходя из рис. 2 видно, что максимальная локализация электромагнитного поля в гексагональной полости для $d = 1,65$ мкм достигается при удалении ее от волновода на $L = 2$. При увеличении расстояния более чем на два ряда наблюдается снижение интенсивности поля в резонаторе, что связано с ослаблением связи между волноводом и резонатором. Для гексагональной полости с $d = 2,69$ мкм максимальная локализация электромагнитного поля в полости достигается при удалении ее от волновода на $L = 1$.

Для количественной оценки параметров распределения ЭП в пределах фотонного кристалла была построена зависимость интегральной напряженности ЭП от количества рядов воздушных отверстий, разделяющих волновод и гексагональную полость. Значения напряженности снимались вдоль волновода как показано стрелкой на рис. 2,б, а также вдоль стенок гексагональной полости, как отмечено ромбической рамкой на рис. 2,в. Полученные результаты отражены на рис. 3.

Анализ полученных данных позволяет заключить, что оптимальная конфигурация структуры достигается при расстоянии между волноводом и гексагональной полостью, равном двум рядам воздушных отверстий. Наличие провала на графике, отмеченного зеленым кругом, свидетельствует о передаче части излучения из волновода в гексагональную полость. Следует отметить, что структура с микрорезонатором, расположенным на расстоянии $L = 0$ от волновода (рис. 2,а), имеет еще меньшую интегральную напряженность ЭП вдоль волновода, но она не учитывается в связи с тем, что повышенные потери в таком случае могут привести к значительному снижению добротности гексагонального резонатора.

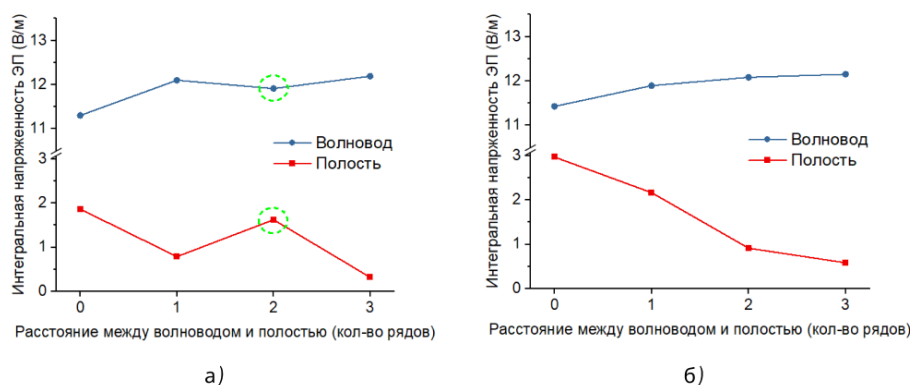


Рис. 3. Зависимость интегральной напряженности ЭП вдоль волновода и стенок полости от количества рядов воздушных отверстий между волноводом и полостью при d полости, равном 1,65 мкм (а) и 2,69 мкм (б)

На следующем этапе было проведено исследование распространения излучения в фотонном кристалле с волноводом, уширенным до 2 рядов воздушных отверстий (рис. 4). Можно сделать вывод, что результат неудовлетворительный, так как изменение геометрических параметров структуры негативно повлияло на попадание излучения в область микрорезонатора, в связи с чем данная конфигурация в дальнейшем в исследовании не использовалась.

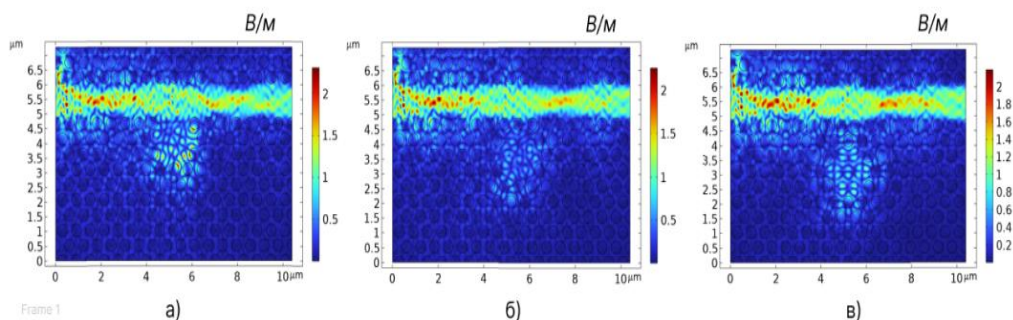


Рис. 4. Полученное в результате проведенного моделирования распределение напряженности ЭП в структуре волновод–микрорезонатор при широком волноводе: $L = 0$ (а); $L = 1$ (б); $L = 2$ (в)

Особое внимание было уделено исследованию влияния введенного в область волновода дефекта. Дефект представлял собой воздушное отверстие с переменным радиусом, который варьировался в диапазоне от 139 до 261 нм. Было проведено исследования влияния дефекта на величину интегральной напряженности ЭП вдоль волновода и стенок гексагональной полости. Варьирование r от 261 нм до 139 нм привело к соответствующим изменениям в картах распределения напряженности ЭП, представленных на рис. 5 и 6.

На рис. 6 представлены результаты моделирования распределения напряженности ЭП в структурах с радиусом дефекта, варьирующимся от 174 до 139 нм. Анализ рис. 5 и 6 показывает, что введенный в область волновода дефект существенно влияет на распределение напряженности ЭП в структуре ФК. Варьирование радиуса дефекта от 139 нм до 261 нм приводит к изменению интенсивности поля как вдоль волновода, так и внутри гексагональной полости.

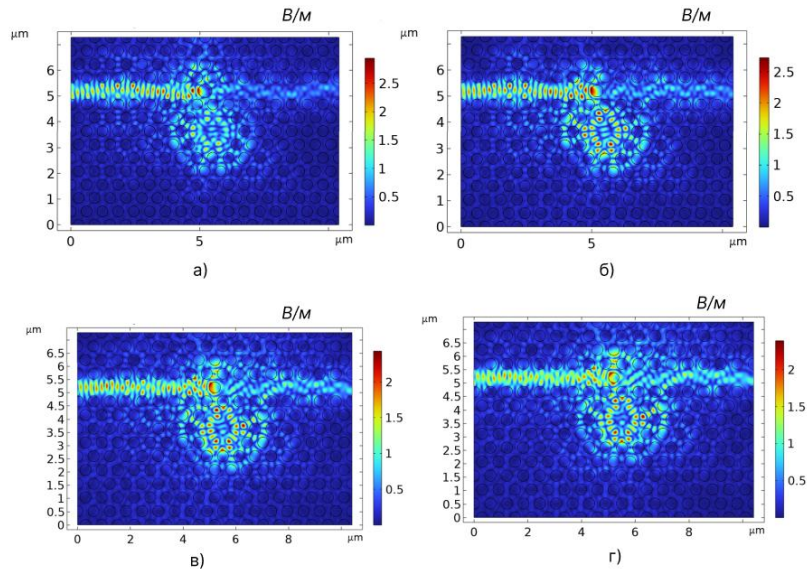


Рис. 5. Полученное в результате проведенного моделирования распределение напряженности ЭП в структуре волновод–микрорезонатор с дефектом с различным радиусом: 261 нм (а), 232 нм (б), 209 нм (в), 190 нм (г)

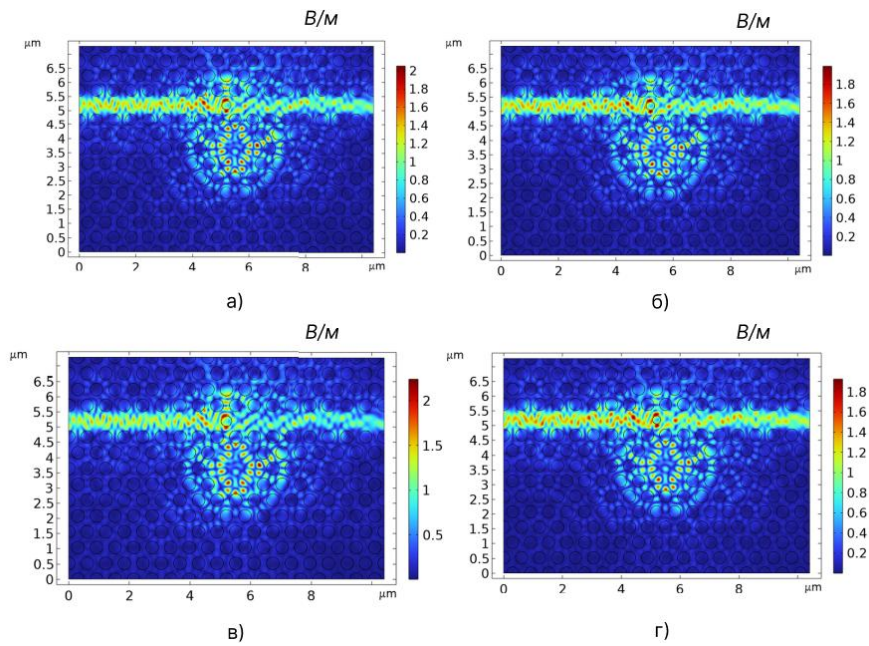


Рис. 6. Полученное в результате проведенного моделирования распределение напряженности ЭП в структуре волновод-микрорезонатор с дефектом с радиусом 174,1 нм (а), 160,7 нм (б), 149,2 (в), 139,3 нм (г)

Для количественной оценки результатов проведенного моделирования была построена зависимость интегральной напряженности ЭП вдоль волновода (рис. 7,а) и стенок полости (рис. 7,б) от радиуса дефекта, внедренного в волноводную структуру.

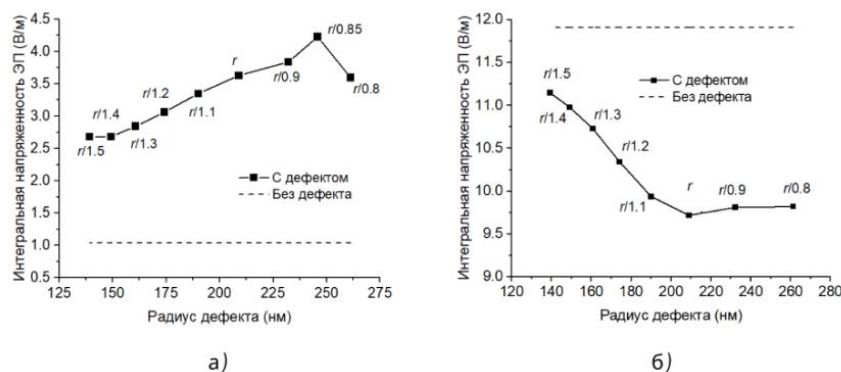


Рис. 7. Зависимость интегральной напряженности ЭП вдоль волновода (а) и стенок полости (б) от радиуса дефекта в волноводе

На рис. 7,а видно, что наибольшая интегральная площадь в гексагональной области наблюдается в диапазоне радиусов дефекта от 209 до 246 нм. Это позволяет сделать вывод об оптимальности применения данного диапазона радиусов дефектов в рассматриваемой конфигурации. Введение дефекта в область волновода позволило значительно повысить эффективность передачи излучения в микрорезонатор. Из рис. 7,б следует, что с увеличением радиуса дефекта наблюдается уменьшение интегральной напряженности ЭП до тех пор, пока радиус не достигает значения 209 нм. Данный эффект свидетельствует о том, что при указанном радиусе дефекта максимальная доля излучения из волновода переходит в гексагональную область, что подтверждается характерным снижением интенсивности вдоль волновода. Анализ зависимости интегральной напряженности ЭП от радиуса дефекта показал, что максимальная локализация поля в гексагональной полости происходит при радиусах дефекта в диапазоне от 246 до 209 нм.

Заключение. Таким образом, в представленной работе проведено исследование результатов численного моделирования взаимодействия электромагнитного излучения с длиной волны 1,3 мкм с фотонными кристаллами на основе GaAs с гексагональными микрорезонаторами, а также различными вариантами их сопряжения с волноводом. Установлено, что оптимальной конфигурацией, обеспечивающей эффективный ввод излучения в гексагональный резонатор, является структура с дефектом, радиус которого лежит в диапазоне от 209 нм до 246 нм. Продемонстрировано, что увеличение ширины волновода до двух рядов воздушных отверстий в данной конфигурации негативно влияет на попадание излучения в область микрорезонатора. В конфигурации с дефектом в волноводе наблюдается значительная локализация электромагнитного поля в резонаторе, что подтверждается как картами распределения напряженности ЭП, так и анализом зависимости интегральной напряженности ЭП от координаты. Полученные результаты могут быть применены при разработке компактных оптических устройств, таких как лазеры, оптические модуляторы и переключатели.

Источник финансирования. Исследование выполнено за счет гранта Российского научного фонда № 23-79-10313, <https://rscf.ru/project/23-79-10313/>, в Южном федеральном университете и при финансовой поддержке Министерства науки и высшего образования Российской Федерации; государственное задание в сфере научной деятельности № FENW- 2025-0004.

БИБЛИОГРАФИЧЕСКИЙ СПИСОК

1. *Yablonovitch E.* Inhibited Spontaneous Emission in Solid-State Physics and Electronics // *Phys. Rev. Lett.* – 1987. – Vol. 58, No. 20. – P. 2059-2062.
2. *Dyachenko P.N., Miklyaev Y. V., Dmitrienko V.E.* Three-dimensional photonic quasicrystal with a complete band gap // *JETP Lett.* – 2007. – Vol. 86, No. 4. – P. 240-243.

3. Tamer A. Moniem. All-optical XNOR gate based on 2D photonic-crystal ring resonators // *Quantum Electron.* – 2017. – Vol. 47, No. 2. – P. 169-172.
4. Liu W. et al. 3-D Printed Directional Couplers in Circular Waveguide // *IEEE Microw. Wirel. Components Lett.* – 2021. – Vol. 31, No. 6. – P. 561-564.
5. Xiong Y. et al. Photonic Crystal Circular Defect (CirD) Laser // *Photonics.* – 2019. – Vol. 6, No. 2. – P. 54.
6. Zheltikov A.M. Nonlinear optics of microstructure fibers // *Uspekhi Fiz. Nauk.* – 2004. – Vol. 174, No. 1. – P. 73.
7. Sychov M.D. et al. Substantiation Study of Using Immobilized Cytostatics in Management of Tumors with Peritoneal Canceromatosis // *Vestn. Exp. Clin. Surg.* – 2015. – Vol. 8, No. 1. – P. 82-86.
8. Hassan S., Chack D., Pavesi L. High extinction ratio thermo-optic based reconfigurable optical logic gates for programmable PICs // *AIP Adv.* – 2022. – Vol. 12, No. 5.
9. Olyaei S., Naraghi A., Ahmadi V. High sensitivity evanescent-field gas sensor based on modified photonic crystal fiber for gas condensate and air pollution monitoring // *Optik (Stuttg).* – 2014. – Vol. 125, No. 1. – P. 596-600.
10. Salmanpour A., Mohammadnejad S., Omran P.T. All-optical photonic crystal NOT and OR logic gates using nonlinear Kerr effect and ring resonators // *Opt. Quantum Electron.* – 2015. – Vol. 47, No. 12. – P. 3689-3703.
11. Pan G. et al. Harnessing the capabilities of VCSELs: unlocking the potential for advanced integrated photonic devices and systems // *Light Sci. Appl.* – 2024. – Vol. 13, No. 1. – P. 229.
12. Sun Xiao-Wen et al. Design and analysis of logic NOR, NAND and XNOR gates based on interference effect // *Quantum Electron.* – 2018. – Vol. 48, No. 2. – P. 178-183.
13. Welch D.F. et al. High power, AlGaAs buried heterostructure lasers with flared waveguides // *Appl. Phys. Lett.* – 1987. – Vol. 50, No. 5. – P. 233-235.
14. Babichev A.V. et al. Heterostructures of Quantum-Cascade Lasers Based on Composite Active Regions // *Bull. Russ. Acad. Sci. Phys.* – 2023. – Vol. 87, No. 6. – P. 839-844.
15. Tuchin V.V., Skibina J.S., Malinin A.V. Photonic crystal fibers in biophotonics / ed. Popp J. – 2011. – P. 83110N.
16. Shekari Firouzjaei A., Salman Afghahi S., Ebrahimi Valmoozi A.-A. Emerging Trends, Applications, and Fabrication Techniques in Photonic Crystal Technology // *Recent Advances and Trends in Photonic Crystal Technology.* – IntechOpen, 2024.
17. Dinodiya S., Bhargava A. A Comparative Analysis of Pressure Sensing Parameters for Two Dimensional Photonic Crystal Sensors Based on Si and GaAs // *Silicon.* – 2022. – Vol. 14, No. 9. – P. 4611-4618.
18. Butt M.A., Khonina S.N., Kazanskiy N.L. A highly sensitive design of subwavelength grating double-slot waveguide microring resonator // *Laser Phys. Lett.* – 2020. – Vol. 17, No. 7. – P. 076201.
19. Brès C.-S. et al. Supercontinuum in integrated photonics: generation, applications, challenges, and perspectives // *Nanophotonics.* – 2023. – Vol. 12, No. 7. – P. 1199-1244.
20. García de Arquer F.P. et al. Semiconductor quantum dots: Technological progress and future challenges // *Science (80-.).* – 2021. – Vol. 373, No. 6555. – P. 640.
21. Gorelik V.S. et al. Three-dimensional quantum photonic crystals and quantum photonic glasses // *Russ. J. Gen. Chem.* – 2013. – Vol. 83, No. 11. – P. 2125-2131.
22. Горбачевич А.А., Фриман А.В., Горелик В.С. Двумерный гексагональный фотонный кристалл с новой геометрией элемента // *Краткие сообщения по физике ФИАН.* – 2014. – Т. 6. – С. 37-38.

REFERENCES

1. Yablonovitch E. Inhibited Spontaneous Emission in Solid-State Physics and Electronics, *Phys. Rev. Lett.*, 1987, Vol. 58, No. 20, pp. 2059-2062.
2. Dyachenko P.N., Miklyaev Y. V., Dmitrienko V.E. Three-dimensional photonic quasicrystal with a complete band gap, *JETP Lett.*, 2007, Vol. 86, No. 4, pp. 240-243.
3. Tamer A. Moniem. All-optical XNOR gate based on 2D photonic-crystal ring resonators, *Quantum Electron*, 2017, Vol. 47, No. 2, pp. 169-172.
4. Liu W. et al. 3-D Printed Directional Couplers in Circular Waveguide, *IEEE Microw. Wirel. Components Lett.*, 2021, Vol. 31, No. 6, pp. 561-564.
5. Xiong Y. et al. Photonic Crystal Circular Defect (CirD) Laser, *Photonics*, 2019, Vol. 6, No. 2, pp. 54.
6. Zheltikov A.M. Nonlinear optics of microstructure fibers, *Uspekhi Fiz. Nauk*, 2004, Vol. 174, No. 1, pp. 73.
7. Sychov M.D. et al. Substantiation Study of Using Immobilized Cytostatics in Management of Tumors with Peritoneal Canceromatosis, *Vestn. Exp. Clin. Surg.*, 2015, Vol. 8, No. 1, pp. 82-86.

8. *Hassan S., Chack D., Pavesi L.* High extinction ratio thermo-optic based reconfigurable optical logic gates for programmable PICs, *AIP Adv.*, 2022, Vol. 12, No. 5.
9. *Olyae S., Naraghi A., Ahmadi V.* High sensitivity evanescent-field gas sensor based on modified photonic crystal fiber for gas condensate and air pollution monitoring, *Optik (Stuttg)*, 2014, Vol. 125, No. 1, pp. 596-600.
10. *Salmanpour A., Mohammadnejad S., Omran P.T.* All-optical photonic crystal NOT and OR logic gates using nonlinear Kerr effect and ring resonators, *Opt. Quantum Electron*, 2015, Vol. 47, No. 12, pp. 3689-3703.
11. *Pan G. et al.* Harnessing the capabilities of VCSELs: unlocking the potential for advanced integrated photonic devices and systems, *Light Sci. Appl.*, 2024, Vol. 13, No. 1, pp. 229.
12. *Sun Xiao-Wen et al.* Design and analysis of logic NOR, NAND and XNOR gates based on interference effect, *Quantum Electron*, 2018, Vol. 48, No. 2, pp. 178-183.
13. *Welch D.F. et al.* High power, AlGaAs buried heterostructure lasers with flared waveguides, *Appl. Phys. Lett.*, 1987, Vol. 50, No. 5, pp. 233-235.
14. *Babichev A.V. et al.* Heterostructures of Quantum-Cascade Lasers Based on Composite Active Regions, *Bull. Russ. Acad. Sci. Phys.*, 2023, Vol. 87, No. 6, pp. 839-844.
15. *Tuchin V.V., Skibina J.S., Malinin A.V.* Photonic crystal fibers in biophotonics, ed. Popp J., 2011, pp. 83110N.
16. *Shekari Firouzjaei A., Salman Afghahi S., Ebrahimi Valmoozi A.-A.* Emerging Trends, Applications, and Fabrication Techniques in Photonic Crystal Technology, *Recent Advances and Trends in Photonic Crystal Technology*. IntechOpen, 2024.
17. *Dinodiya S., Bhargava A.* A Comparative Analysis of Pressure Sensing Parameters for Two Dimensional Photonic Crystal Sensors Based on Si and GaAs, *Silicon*, 2022, Vol. 14, No. 9, pp. 4611-4618.
18. *Butt M.A., Khonina S.N., Kazanskiy N.L.* A highly sensitive design of subwavelength grating double-slot waveguide microring resonator, *Laser Phys. Lett.*, 2020, Vol. 17, No. 7, pp. 076201.
19. *Brès C.-S. et al.* Supercontinuum in integrated photonics: generation, applications, challenges, and perspectives, *Nanophotonics*, 2023, Vol. 12, No. 7, pp. 1199-1244.
20. *García de Arquer F.P. et al.* Semiconductor quantum dots: Technological progress and future challenges, *Science (80-.)*, 2021, Vol. 373, No. 6555, pp. 640.
21. *Gorelik V.S. et al.* Three-dimensional quantum photonic crystals and quantum photonic glasses, *Russ. J. Gen. Chem.*, 2013, Vol. 83, No. 11, pp. 2125-2131.
22. *Gorbatsevich A.A., Friman A.V., Gorelik B.C.* Dvumernyy geksagonal'nyy fotonnyy kristall s novoy geometriy elementa [Two-dimensional hexagonal photonic crystal with new element geometry], *Kratkie soobshcheniya po fizike FIAN* [Brief communications on physics of the Lebedev Physical Institute], 2014, Vol. 6, pp. 37-38.

Пленингер Максимилиан – Южный федеральный университет; e-mail: pleninger@sfedu.ru; г. Таганрог, Россия; тел.: +79897471548.

Балакирев Сергей Вячеславович – Южный федеральный университет; e-mail: sbalakirev@sfedu.ru; г. Таганрог, Россия; тел.: +78634371611; к.т.н.; ведущий научный сотрудник Лаборатории эпитаксиальных технологий.

Солодовник Максим Сергеевич – Южный федеральный университет; e-mail: solodovnikms@sfedu.ru; г. Таганрог, Россия; тел.: +78634371611; к.т.н.; ведущий научный сотрудник Лаборатории эпитаксиальных технологий.

Pleninger Maximilian – Southern Federal University; e-mail: pleninger@sfedu.ru; Taganrog, Russia; phone: +79897471548.

Balakirev Sergey Vyacheslavovich – Southern Federal University; e-mail: sbalakirev@sfedu.ru; Taganrog, Russia; phone: +78634371611; cand. of eng. sc.; leading researcher of Laboratory of Epitaxial Technologies.

Solodovnik Maxim Sergeevich – Southern Federal University; e-mail: solodovnikms@sfedu.ru; Taganrog, Russia; phone: +78634371611; cand. of eng. sc.; leading researcher of Laboratory of Epitaxial Technologies.

А.А. Жук, Д.В. Клейменкин, Н.Н. Прокопенко**SIGЕ ВІСМOS ВЫХОДНЫЕ КАСКАДЫ ВЫСОКОТЕМПЕРАТУРНЫХ ОПЕРАЦИОННЫХ УСИЛИТЕЛЕЙ**

Разработка и проектирование кремний-германиевых (SiGe) аналоговых функциональных узлов (операционных усилителей, выходных каскадов, и др.) является одной из актуальных задач в современной микроэлектронике. Применение совмещенного технологического процесса SiGe BiCMOS позволяет объединять в единой интегральной схеме преимущества комплементарных КМОП-транзисторов (низкое энергопотребление и высокая плотность интеграции) и биполярных транзисторов с гетеропереходом (HBT) n-p-n типа (способность работать на высоких частотах, низкое энергопотребление и, как следствие, малое собственное тепловыделение, большой коэффициент усиления, высокое быстродействие, повышенная надежность, относительно низкая стоимость). Для создания микромощной аналоговой компонентной базы, работающей при воздействии высоких температур (до + 250 градусов Цельсия), необходима разработка специальных SiGe BiCMOS схемотехнических решений, учитывающих ограничения технологического процесса на использование определенных видов транзисторов. Исследуется 4 модификации буферных усилителей для применения в качестве выходных каскадов операционных усилителей, которые ориентированы на SiGe BiCMOS технологический процесс. Разработана программа каталогизации и визуализации рассмотренных схем, которые отличаются друг от друга величинами входных и выходных сопротивлений, статическим токопотреблением, схемотехникой цепей установления статического режима, максимальными амплитудами положительного и отрицательного выходных напряжений и т.п. Приведены примеры компьютерного моделирования статических режимов и амплитудных характеристик в среде проектирования электроники и микроэлектроники Cadence при двух температурах + 27 °C и + 250 °C. Предлагаемые схемотехнические решения рекомендуются для практического использования в микроэлектронных устройствах, работающих в условиях повышенных температур.

Высокотемпературная электроника; аналоговый интерфейс; операционный усилитель; выходной каскад; буферный усилитель; SiGe; BiCMOS.

A.A. Zhuk, D.V. Kleimenkin, N.N. Prokopenko**SIGЕ ВІСМOS OUTPUT STAGES OF HIGH-TEMPERATURE OPERATIONAL AMPLIFIERS**

Development and design of silicon-germanium (SiGe) analog functional units (operational amplifiers, output stages, etc.) is one of the urgent tasks in modern microelectronics. The use of the combined technological process of SiGe BiCMOS makes it possible to combine in a single integrated circuit the advantages of complementary CMOS transistors (low power consumption and high integration density) and bipolar heterojunction transistors (HBT) n-p-n type (the ability to operate at high frequencies, low power consumption and, as a result, low intrinsic heat dissipation, high gain, high performance, increased reliability, relatively low cost). To create a micro-power analog component base operating at high temperatures (up to + 250 degrees Celsius), it is necessary to develop special SiGe BiCMOS circuit solutions that take into account the process limitations on the use of certain types of transistors. Four modifications of buffer amplifiers for application as output stages of operational amplifiers, which are oriented to SiGe BiCMOS technological process, are investigated. A program for cataloging and visualization of the considered circuits is developed, which differ from each other by the values of input and output resistances, static current consumption, circuitry of static mode establishment circuits, maximum amplitudes of positive and negative output voltages, etc. Examples of computer simulation of static modes and amplitude characteristics in the Cadence electronics and microelectronics design environment at two temperatures of + 27 and + 250 degrees Celsius are given. The proposed circuit design solutions are recommended for practical use in microelectronic devices operating at elevated temperatures.

High-temperature electronics; analog interface; operational amplifier; output stage; buffer amplifier; SiGe; BiCMOS.

Введение. Одним из значительных технологических прорывов в мире электроники конца XX века является создание нового технологического процесса – SiGe BiCMOS (Bipolar Complementary Metal-Oxide-Semiconductor), который объединяет в себе преимущества биполярных транзисторов с высоким быстродействием и КМОП-структур. Данный технологический процесс [1–11] является основой создания электронной компонентной базы для систем на кристалле, которые стали основой нового поколения приборов и телекоммуникационных устройств (радиолокационных систем, сотовой и спутниковой связи, систем навигации и др.). Технология, созданная специалистами IBM, сейчас широко распространена по всему миру и продолжает развиваться, в том числе ведущими микроэлектронными фирмами – Intel, Texas Instruments, TSMC и др. Причиной этому служит сочетание высоких потребительских параметров элементов с высокой надежностью, сопоставимой с обычными кремниевыми приборами, а также приемлемой ценой [12].

Микросхемы современных буферных усилителей (БУ), а также выходные каскады (ВыхК) операционных усилителей (ОУ) характеризуются в общем случае около 50 параметрами [13–15]. В их числе максимальная амплитуда выходных напряжений для положительной ($U_{н.мах}^{(+)}$) и отрицательной ($U_{н.мах}^{(-)}$) полярностей, которая обычно измеряется при высоком сопротивлении нагрузки, максимальный ток в нагрузке для положительной ($I_{н.мах}^{(+)}$) и отрицательной ($I_{н.мах}^{(-)}$) полярностей, который определяется при малом сопротивлении нагрузки, статический ток (I_p), потребляемый схемой от источника питания, коэффициент эффективности БУ по собственному токопотреблению ($I_{н.мах}/I_p$), входное ($R_{вх}$) и выходное ($R_{вых}$) дифференциальные сопротивления, входная емкость, допустимая емкость нагрузки, систематическая составляющая напряжения смещения нуля ($U_{см}$), входной ток ($I_{вх}$), коэффициент передачи (K_{θ}) в рабочем диапазоне частот, частота единичного усиления (f_1), максимальная скорость нарастания выходного напряжения в режиме большого сигнала (SR). Кроме этого, БУ характеризуется энергетическими параметрами, такими как максимально допустимая рассеиваемая мощность ($P_{мах}$), максимальная температура кристалла ($T_{мах}$), тепловое сопротивление корпуса ($R_{т.к}$), допустимая температура корпуса (T_k) [16, 17], диапазон рабочих температур. Для многих применений БУ важно также иметь информацию о вносимых им нелинейных искажениях сигнала, собственным шумам, а также допустимом диапазоне изменения напряжений питания.

Названные выше параметры существенно зависят от используемых технологических процессов и разрешенных к применению транзисторов, а также от схемотехники БУ, которая определяет многие качественные показатели практических схем.

Целью и новизной данной статьи является обобщение базовых свойств и сравнительный анализ работы предлагаемых авторами статьи 4 модификаций SiGe BiCMOS выходных каскадов операционных усилителей (ОУ) [18] с диапазоном рабочих температур до 250°C [19–24].

1. Программа каталогизации и визуализации выходных каскадов высокотемпературных ОУ на гетеропереходных п-р-п биполярных и металл-оксид полевых транзисторах п- и р-каналом. Для выбора оптимального схемотехнического решения под конкретную реализацию ОУ была разработана программа каталогизации буферных усилителей (рис. 1) [25]. Она представляет собой интерактивную платформу, включающую электрические схемы, адаптированные для SiGe технологических процессов, содержащих только гетеропереходные п-р-п биполярные и КМОП транзисторы.

Данная программа решает следующие задачи:

- ◆ каталогизация схем с описанием их работы;
- ◆ графическая визуализация выбранного схемотехнического решения с отображением нумерации компонентов и их соединений.

Таким образом, программа представляет собой эффективный инструмент для разработчиков высокотемпературных SiGe ОУ, позволяющий оптимизировать процесс выбора выходного каскада (БУ) с учетом его схемотехнических особенностей.

```

def show_project_details(self, event): 1 usage
    selected_index = self.listbox.curselection()
    if not selected_index:
        return

    project = self.resources[selected_index[0]]
    details_window = Toplevel(self.root)
    details_window.title(project["name"])

    try:
        image_path = f"{project['id']}.png"
        if os.path.exists(image_path):
            img = Image.open(image_path)
            img = img.resize(size=(400, 400), Image.Resampling.LANCZOS)
            img_tk = ImageTk.PhotoImage(img)
            canvas = Canvas(details_window, width=400, height=400)
            canvas.create_image(*args: 0, 0, anchor="nw", image=img_tk)
            canvas.image = img_tk # Keep a reference
            canvas.pack()
        else:
            Label(details_window, text="Image not found", fg="red").pack()
    except Exception as e:
        Label(details_window, text=f"Error loading image: {e}", fg="red").pack()

    Label(details_window, text=f"Имя и номер: {project['name']}", font=("Arial", 14)).pack(pady=5)
    self.render_description(details_window, project["description"])

```

Рис. 1. Фрагмент файла описания программы каталогизации и визуализации БУ [25]

2. Схемы буферных усилителей высокотемпературных ОУ на гетеропереходных п-р-п биполярных и КМОП транзисторах, представленные в программе. При расчете максимальных выходных токов БУ ($I_{н.мах}^{(+)}$ и $I_{н.мах}^{(-)}$) стоит учитывать, что в реальных схемах ОУ источник сигнала, подключаемый ко входу БУ (I_n), не является идеальным источником напряжения, имеющим нулевое выходное сопротивление. Как следствие, промежуточный каскад (ПК) ограничивает максимально возможные значения токов нагрузки. Поэтому при оценке $I_{н.мах}^{(+)}$ и $I_{н.мах}^{(-)}$ конкретных схем, которые измеряются при $R_n = 0$, необходимо учитывать максимально возможные значения выходных токов $I_{с.мах}^{(+)}$ и $I_{с.мах}^{(-)}$ ПК. На рис. 2 показана схема БУ с неидеальным источником сигнала в виде промежуточного каскада.

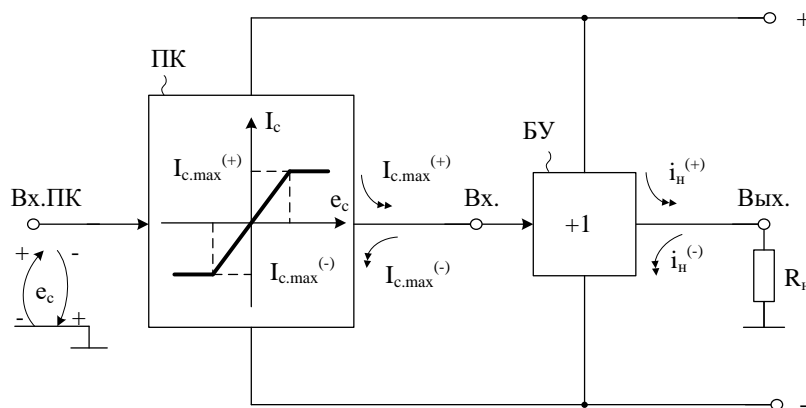


Рис. 2. БУ с неидеальным источником входного сигнала

Первая модификация БУ (рис. 3). Особенность БУ на рис. 3 состоит в том, что двуполярные направления токов в нагрузке R_n здесь формируются п-р-п транзисторами VT1, VT2, VT3 и зависят от численных значений токов двухполосников $I_1 = I_2 = I_0$. Дру-

Допустимый диапазон изменения напряжения питания (V_{dd}), при котором транзисторы VT1 и VT2 работают в активном режиме, определяется наименьшим из двух значений:

$$\Delta V_{dd.1}^{(-)} \approx U_{кб.1}, \quad (7)$$

$$\Delta V_{dd.2}^{(-)} \approx U_{эб.3-2}, \quad (8)$$

где $U_{кб.1}$ – напряжение коллектор-база транзистора VT1 в статическом режиме, $U_{эб.3-2}$ – суммарное напряжение эмиттер-база составного транзистора Дарлингтона (VT2, VT3).

Статический входной ток ($I_{БУ}$) и входное дифференциальное сопротивление БУ ($R_{вх.БУ}$):

$$I_{БУ} = \frac{I_0}{\beta_1}, \quad (9)$$

$$R_{БУ} \approx \beta_1 R_H. \quad (10)$$

Малосигнальное выходное сопротивление БУ:

$$R_{ВЫХ} \approx \frac{\varphi_T}{I_0} + \frac{R_C}{\beta_1}, \quad (11)$$

где $\varphi_T \approx 26$ мВ – температурный потенциал, R_C – сопротивление источника сигнала (рис. 2).

Из уравнения (11) следует, что при подключении БУ к промежуточному каскаду с высокоимпедансным выходным узлом, выходное сопротивление БУ существенно возрастает.

Малосигнальный коэффициент передачи БУ по напряжению зависит от сопротивления нагрузки:

$$K_0 \approx \frac{R_H}{R_H + r_3}, \quad (12)$$

где r_3 – сопротивление эмиттерного перехода VT1.

На рис. 4 показан статический режим БУ рис. 3 в среде Cadance при $I_4 = I_5 = 200$ мкА, резисторах $R_2 = 500$ Ом и $R_0 = 250$ Ом, напряжениях питания ± 3 В.

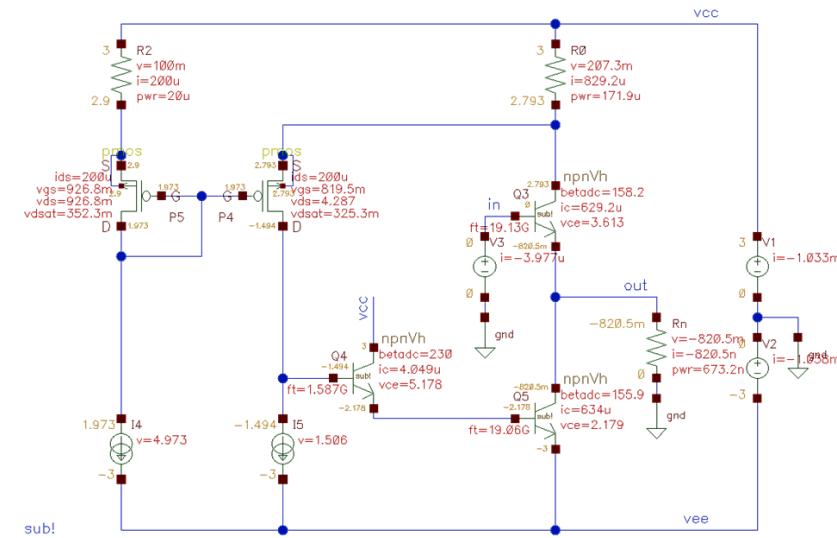


Рис. 4. Статический режим SiGe БУ рис. 3 при $t = 27^\circ C$

На рис. 5 приведена амплитудная характеристика БУ рис. 4 при разных сопротивлениях нагрузки R_H .

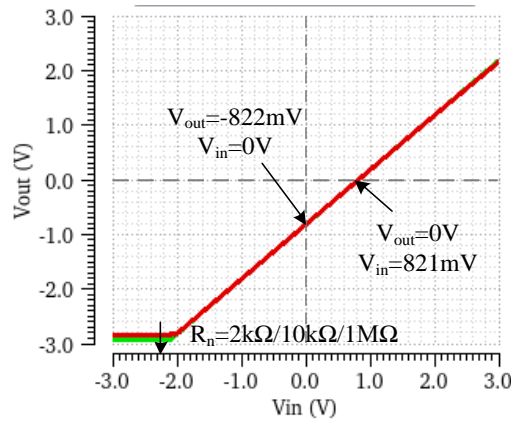


Рис. 5. Амплитудная характеристика SiGe БУ на рис. 4 при $R_n = 2 \text{ кОм}, 10 \text{ кОм}, 1 \text{ МОм}$
 $t = 27^\circ\text{C}$

На рис. 6 показан статический режим БУ рис. 3 в среде Cadance при повышенной температуре ($t = 250^\circ\text{C}$), $I_4 = I_5 = 200 \text{ мкА}$, резисторах $R_2 = 500 \text{ Ом}$ и $R_0 = 250 \text{ Ом}$, напряжениях питания $\pm 3 \text{ В}$.

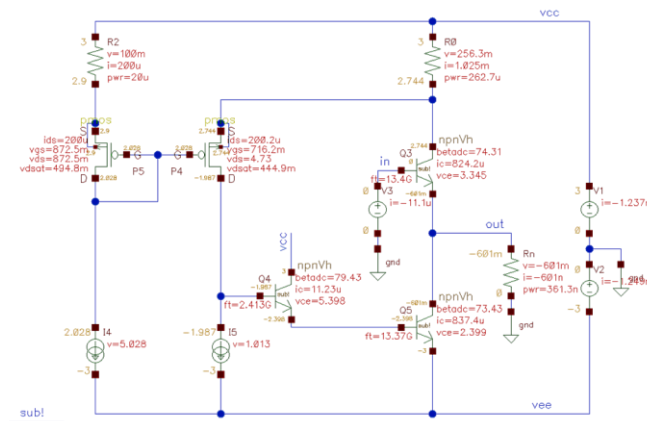


Рис. 6. Статический режим SiGe БУ рис. 3 при повышенной температуре

На рис. 8 приведена амплитудная характеристика БУ рис. 7 при разных сопротивлениях нагрузки R_n для температуры $t = 250^\circ\text{C}$.

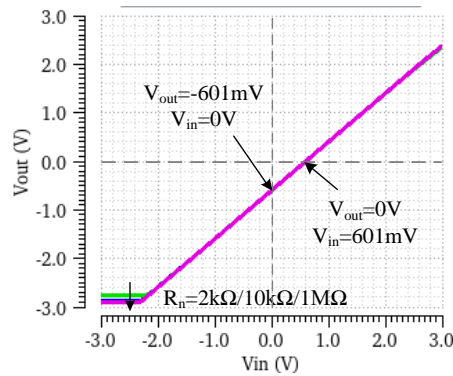


Рис. 7. Амплитудная характеристика SiGe БУ на рис. 6 при $R_n = 2 \text{ кОм}, 10 \text{ кОм}, 1 \text{ МОм}$

Вторая модификация БУ (рис. 8). В схеме БУ на рис. 8 ток в нагрузке положительного направления обеспечивается биполярным транзистором VT2, а отрицательного направления – полевым транзистором VT3. Настройка статического режима БУ обеспечивается выбором тока двухполюсника I_I .

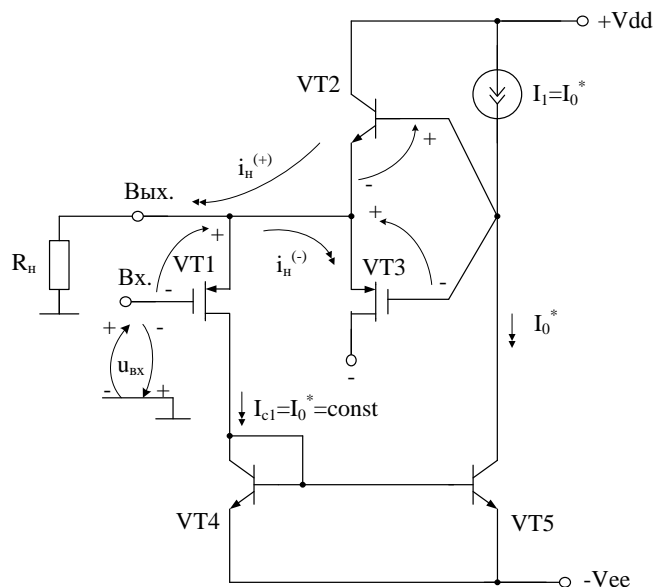


Рис. 8. SiGe буферный усилитель: модификация №2

Схема на рис. 8 имеет высокое входное сопротивление, что связано с применением КМОП транзистора VT1. Его статический ток истока и, как следствие, напряжение затвор-исток при высокоомной нагрузке не изменяется в широком диапазоне изменения отрицательного входного напряжения и равен $I_{c1} = I_0^*$. В этом режиме биполярный транзистор VT2 находится в режиме отсечки. Если на вход БУ подается положительное напряжение, то в работу включается биполярный транзистор VT2, коэффициент усиления которого по току (β_2) определяет максимальный ток в нагрузке

$$I_{н.max}^{(+)} \approx \beta_2 I_0^* \quad (13)$$

Если БУ должен иметь малый статический ток, потребляемый схемой от источника питания ($I_p = 2I_0^*$), то в качестве VT2 рекомендуется использовать составной транзистор Дарлингтона [26–28].

Максимальный отрицательный ток в низкоомной нагрузке определяется максимальным током стока транзистора VT3:

$$I_{н.max}^{(-)} \approx I_{c3.max} \quad (14)$$

Максимальные амплитуды отрицательного и положительного выходных напряжений находится по формулам:

$$U_{н.max}^{(-)} \approx V_{ee} - U_{зи.1} - U_{эб.4}, \quad (15)$$

$$U_{н.max}^{(+)} \approx V_{dd} - U_{эб.2} - U_{min.I_1}, \quad (16)$$

где $U_{min.I_1}$ – минимальное напряжение на источнике опорного тока I_I , до которого он имеет высокое входное сопротивление, $U_{эб.4}$, $U_{эб.2}$ – напряжение эмиттер-база транзисторов VT4, VT2.

На рис. 9 показан статический режим БУ рис. 8 в среде Cadance при $t = 27^\circ\text{C}$, источнике опорного тока $I_0 = 100 \mu\text{A}$, напряжениях питания $\pm 3 \text{ В}$, резисторе $R_n = 1 \text{ МОм}$.

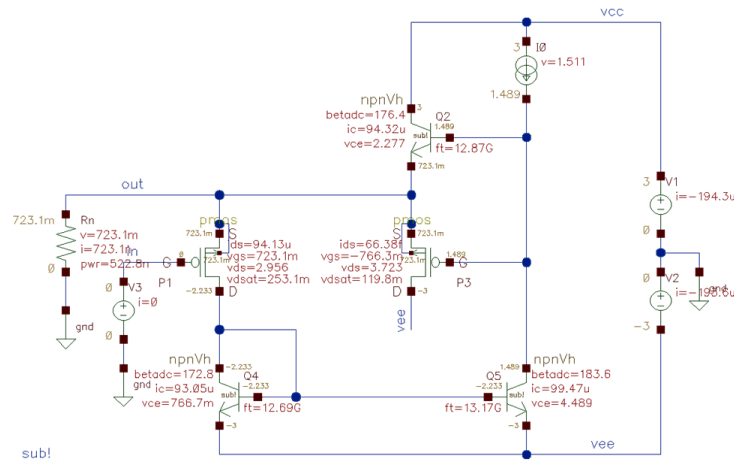


Рис. 9. Статический режим SiGe БУ рис. 8 при комнатной температуре

На рис. 10 приведена амплитудная характеристика БУ на рис. 9 при разных сопротивлениях нагрузки R_n .

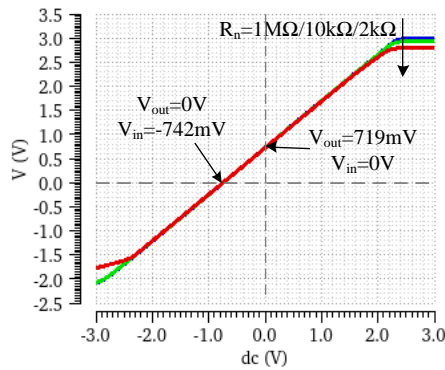


Рис. 10. Амплитудная характеристика SiGe БУ на рис. 9 при $R_n = 2 \text{ кОм}, 10 \text{ кОм}$

На рис. 11 показан статический режим БУ рис. 8 в среде Cadance при $t = 250 \text{ }^\circ\text{C}$, источнике опорного тока $I_0 = 100 \text{ мкА}$, напряжениях питания $\pm 3 \text{ В}$, резисторе $R_n = 1 \text{ МОм}$.

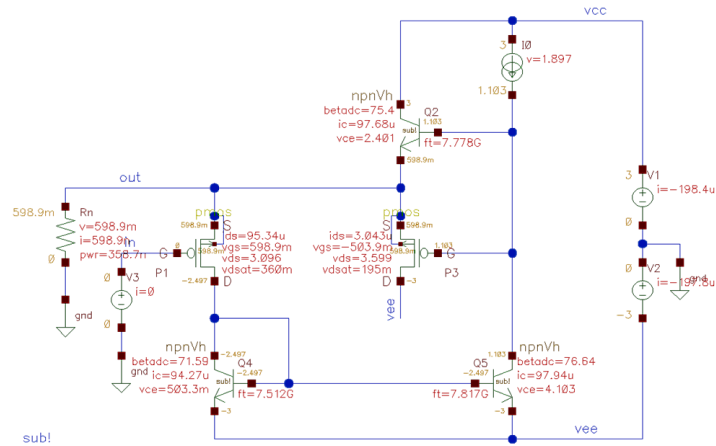


Рис. 11. Статический режим SiGe на БУ рис. 8

Статический ток, потребляемый схемой при высокоомной нагрузке, равен $I_p = 2I_0$. При этом коэффициенты эффективности БУ по статическому токопотреблению определяются формулами:

$$g^{(+)} = \frac{I_{н.max}^{(+)}}{I_p} = \frac{\beta_1}{2}, \tag{20}$$

$$g^{(-)} = \frac{I_{н.max}^{(-)}}{I_p} = \frac{I_{c.2.max}}{2I_0}. \tag{21}$$

Малосигнальное выходное сопротивление БУ:

$$R_{\text{вых}} \approx \frac{r_{э1}}{1+r_{э1}S_2}, \tag{22}$$

где $r_{э1}$ – сопротивление эмиттерного перехода транзистора VT1, S_2 – крутизна стокзатворной характеристики VT2.

На рис. 14 показан статический режим БУ рис. 13 в среде Cadance при $t = 27^\circ\text{C}$, $I_I = 200$ мкА, резисторе нагрузки $R_n = 1$ МОм, напряжениях питания ± 3 В.

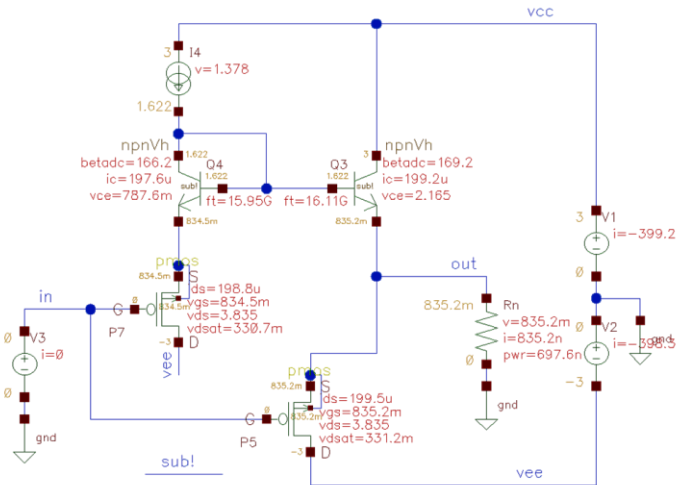


Рис. 14. Статический режим SiGe БУ рис. 13

На рис. 15 приведена амплитудная характеристика БУ рис. 14 при разных сопротивлениях нагрузки R_n и комнатной температуре $t = 27^\circ\text{C}$.

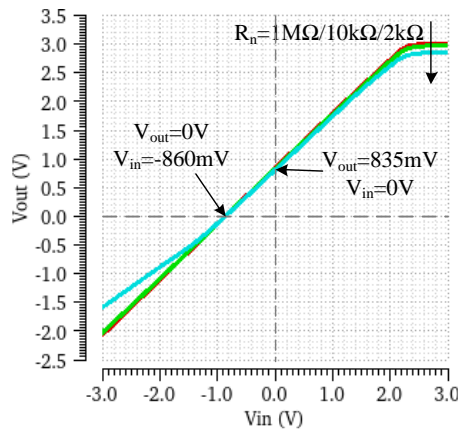


Рис. 15. Амплитудная характеристика SiGe БУ на рис. 14 при $R_n = 2$ кОм, 10 кОм, 1 МОм

На рис. 16 показан статический режим БУ рис. 13 в среде Cadance при $t = 250\text{ }^{\circ}\text{C}$, $I_1 = 200\text{ }\mu\text{A}$, резисторе нагрузки $R_n = 1\text{ МОм}$, напряжениях питания $\pm 3\text{ В}$.

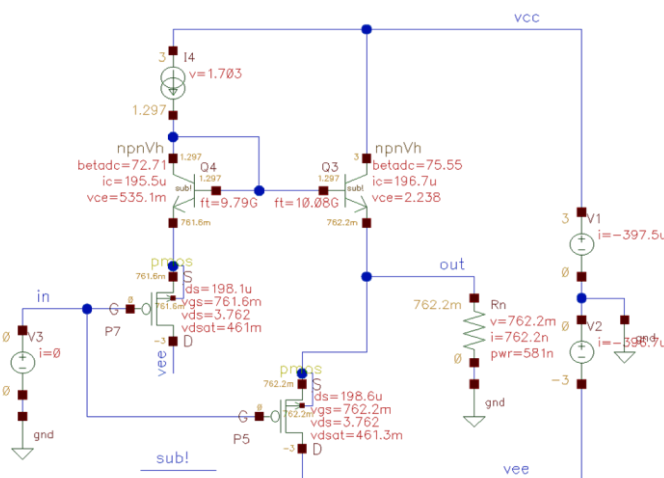


Рис. 16. Статический режим SiGe БУ на рис. 14

На рис. 17 приведена амплитудная характеристика БУ рис. 16 при разных сопротивлениях нагрузки R_n и температуре $t = 250\text{ }^{\circ}\text{C}$.

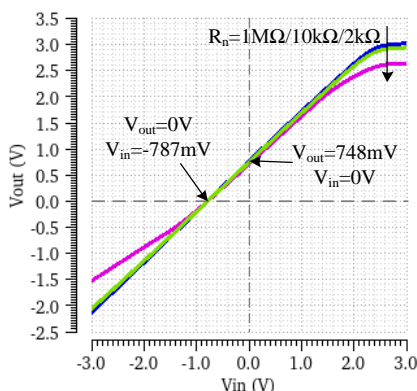


Рис. 17. Амплитудная характеристика SiGe БУ на рис. 16 при $R_n = 2\text{ кОм}$, 10 кОм , 1 МОм

Четвертая модификация БУ (рис. 18). Особенность БУ на рис. 18 состоит в том, что двуполярные направления токов в нагрузке R_n здесь формируются p-n транзисторами VT1, VT2, VT3 и зависят от тока двухполюсника $I_1 = I_0$. Другие элементы схемы БУ обеспечивают контроль состояния транзисторов VT2 и VT3, и когда VT1 запирается (при отрицательном $u_{вх}$), управляют транзисторами VT2 и VT3, которые создают отрицательный ток в нагрузке. Настройка схемы БУ обеспечивается выбором сопротивлений резисторов $R1 \dots R2$ и тока $I_1 = I_2$.

При этом $I_{н.мах}^{(+)}$ и $I_{н.мах}^{(-)}$ определяются по формулам:

$$I_{н.мах}^{(+)} \approx \beta_4 \beta_5 I_1, \quad (23)$$

$$I_{н.мах}^{(-)} \approx I_{с.мах.1} \beta_3, \quad (24)$$

где $\beta_3, \beta_4, \beta_5$ – коэффициенты усиления по току биполярных транзисторов VT3...VT5, I_0 – ток двухполюсника I_1 , $I_{с.мах.1}$ – максимальный ток стока полевого транзистора VT1.

На рис. 19 показан статический режим БУ рис. 18 в среде Cadance при $I_0 = 200$ мкА, резисторе нагрузки $R_H = 1$ МОм, напряжениях питания ± 3 В.

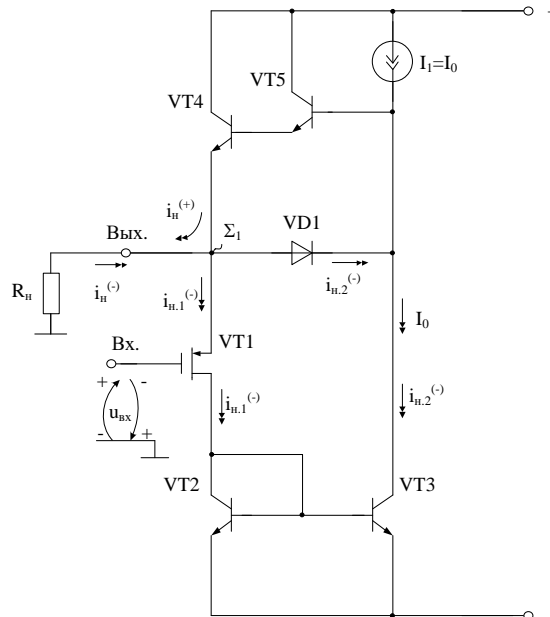


Рис. 18. SiGe буферный усилитель: модификация № 4

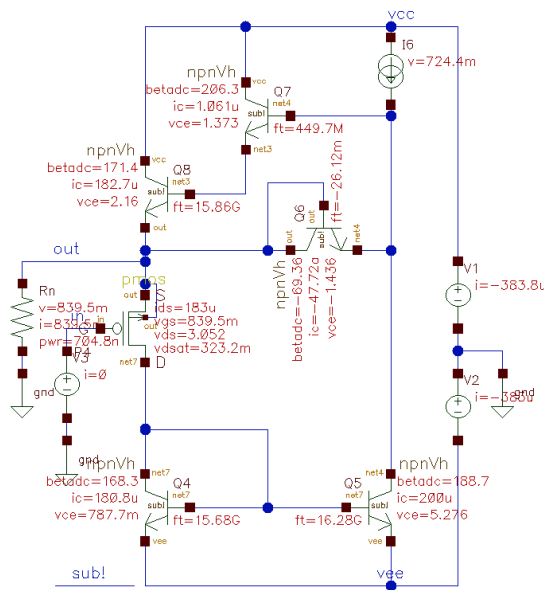


Рис. 19. Статический режим SiGe БУ на рис. 18 при $t = 27^\circ\text{C}$

На рис. 20 приведена амплитудная характеристика БУ рис. 19 при разных сопротивлениях нагрузки R_H .

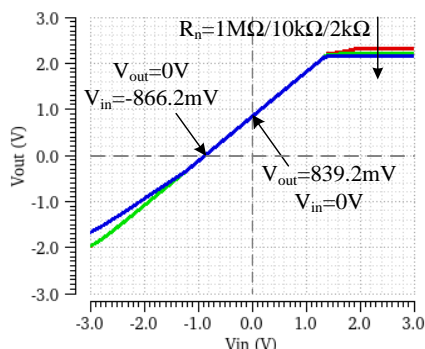


Рис. 20. Амплитудная характеристика SiGe БУ на рис. 19 при $R_n = 2 \text{ кОм}, 10 \text{ кОм}, 1 \text{ МОм}, t = 27^\circ\text{C}$

На рис. 21 показан статический режим БУ рис. 18 в среде Cadence при температуре $t = 250^\circ\text{C}, I_0 = I_6 = 200 \text{ мкА}$, резисторе нагрузки $R_n = 1 \text{ МОм}$, напряжениях питания $\pm 3 \text{ В}$.

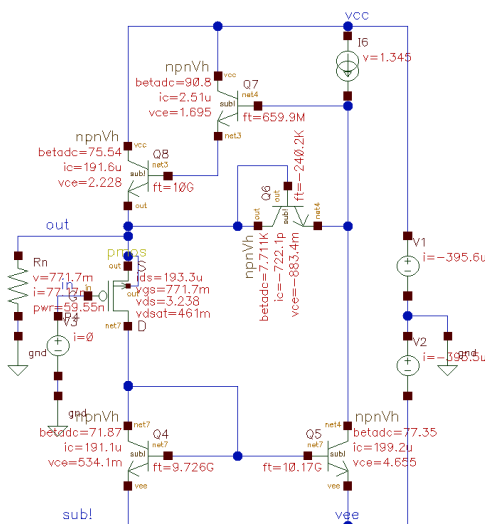


Рис. 21. Статический режим SiGe БУ рис. 18

На рис. 22 приведена амплитудная характеристика БУ рис. 21 при разных сопротивлениях нагрузки R_n и температуре 250°C .

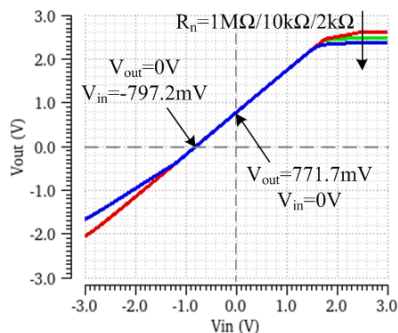


Рис. 22. Амплитудная характеристика SiGe БУ на рис. 21 при $R_n = 2 \text{ кОм}, 10 \text{ кОм}, 1 \text{ МОм}$

Другие 8 модификаций предлагаемых БУ рассматриваемого класса на SiGe BiCMOS технологическом процессе представлены в препринте [18].

Заключение. Рассмотрено семейство буферных усилителей (4 модификации) которые рекомендуется использовать в качестве выходных каскадов SiGe ОУ по технологии BiCMOS. Разработана программа каталогизации и визуализации, позволяющая при проектировании высокотемпературных ОУ оптимизировать процесс выбора БУ с учетом их схемотехнических особенностей. Приведены результаты компьютерного моделирования в среде Cadence, на основании которых можно сделать вывод о том, что максимальные выходные напряжения предлагаемых схем БУ отличаются от напряжений на соответствующих шинах питания на 15-25%. За счет применения SiGe BiCMOS технологического процесса разработанные схемотехнические решения сохраняют свою работоспособность при температурах до 250 °C [19–24].

Исследование выполнено за счет гранта Российского научного фонда № 23-79-10069, <https://rscf.ru/project/23-79-10069/>.

БИБЛИОГРАФИЧЕСКИЙ СПИСОК

1. *Avenier G. et al.* 0.13 μ m SiGe BiCMOS technology for mm-wave applications // 2008 IEEE Bipolar/BiCMOS Circuits and Technology Meeting, Monterey, CA, USA, 2008. – P. 89-92. – doi: 10.1109/BIPOL.2008.4662719.
2. *Hashimoto T. et al.* A CMOS-based RF SiGe BiCMOS technology featuring over-100 GHz $f_{sub\ max}$ /SiGe HBTs and 0.13 μ m CMOS // Proceedings of the Bipolar/BiCMOS Circuits and Technology Meeting, Minneapolis, MN, USA, 2002. – P. 189-192. – doi: 10.1109/BIPOL.2002.1042915.
3. *Wietstruck M., Marschmeyer S., Schulze S., Wipf S.T., Wipf C. and Kaynak M.* Recent Developments on SiGe BiCMOS Technologies for mm-wave and THz Applications // 2019 IEEE MTT-S International Microwave Symposium (IMS), Boston, MA, USA, 2019. – P. 1126-1129. – doi: 10.1109/MWSYM.2019.8701049.
4. *Candra P. et al.*, A 130nm SiGe BiCMOS technology for mm-Wave applications featuring HBT with fT/f_{MAX} of 260/320 GHz // 2013 IEEE Radio Frequency Integrated Circuits Symposium (RFIC), Seattle, WA, USA, 2013. – P. 381-384. – doi: 10.1109/RFIC.2013.6569610.
5. *Zimmer T. et al.* SiGe HBTs and BiCMOS Technology for Present and Future Millimeter-Wave Systems // in IEEE Journal of Microwaves. – Jan. 2021. – Vol. 1, No. 1. – P. 288-298. – doi: 10.1109/JMW.2020.3031831.
6. *Rucker H. et al.* A 0.13 μ m SiGe BiCMOS technology featuring fT/f_{max} of 240/330 GHz and gate delays below 3 ps // 2009 IEEE Bipolar/BiCMOS Circuits and Technology Meeting, Capri, Italy, 2009. – P. 166-169. – doi: 10.1109/BIPOL.2009.5314251.
7. *Dielacher F., Tiebout M., Lachner R., Knapp H., Aufinger K. and Sansen W.* SiGe BiCMOS technology and circuits for active safety systems // Proceedings of Technical Program - 2014 International Symposium on VLSI Technology, Systems and Application (VLSI-TSA), Hsinchu, Taiwan, 2014. – P. 1-4. – doi: 10.1109/VLSI-DAT.2014.6834937.
8. *Pekarik J.J. et al.* A 90nm SiGe BiCMOS technology for mm-wave and high-performance analog applications // 2014 IEEE Bipolar/BiCMOS Circuits and Technology Meeting (BCTM), Coronado, CA, USA, 2014. – P. 92-95. – doi: 10.1109/BCTM.2014.6981293.
9. *Pizzimento L.* On novel front-end electronics for the ATLAS BI RPC upgrade at HL-LHC developed in SiGe BiCMOS technology with a high-resolution rad-hard Time-To-Digital converter embedded // in Nuclear Instruments and Methods in Physics Research Section A: Accelerators, Spectrometers, Detectors and Associated Equipment. – 2024. – Vol. 1069. – doi: <https://doi.org/10.1016/j.nima.2024.169892>.
10. *Cheng G. et al.* A 22-to-36.8 GHz low phase noise Colpitts VCO array in 0.13- μ m SiGe BiCMOS technology // in Microelectronics Journal. – 2019. – Vol. 88. – doi: <https://doi.org/10.1016/j.mejo.2019.04.004>.
11. *Sorge R. et al.* JICG CMOS transistors for reduction of total ionizing dose and single event effects in a 130 nm bulk SiGe BiCMOS technology // in JICG CMOS transistors for reduction of total ionizing dose and single event effects in a 130 nm bulk SiGe BiCMOS technology. – 2021. – Vol. 987. – doi: <https://doi.org/10.1016/j.nima.2020.164832>.
12. *Малышев И.В. и др.* Перспективы использования технологии SiGe BiCMOS для создания СВЧ микросхем // Проблемы разработки перспективных микроэлектронных систем – 2006: Сб. научных трудов / под ред. А.Л. Стемпковского. – М.: ИПИМ РАН, 2006. – С. 191-193. – doi: 10.1109/ESSDERC.2000.194715.
13. *Carter B., Mancini R.* Op Amps for Everyone. – 5th ed. – Oxford: Newnes, 2017. – 484 p.

14. Картер Б., Манчини Р. Операционные усилители для всех: пер. с англ. А.Н. Рабодзея. – М.: Додэка-XXI, 2011. – 544 с. – (Серия «Схемотехника»). – Доп. тит. л. англ. – ISBN 978-5-94120-242-3.
15. Single-Supply, Low Power, Precision FET Input Quad Buffer: datasheet / Analog Devices. – Rev. A. – URL: <https://www.rlocman.ru/datasheet/pdf.html?di=168497> (дата обращения: 10.06.2025).
16. Дворников О., Чеховский В., Попов А. Разработка и применение мощных аналоговых БМК при проектировании силовых аналоговых микросхем // Электронные компоненты. – 2025. – № 5. – С. 14-20.
17. Sedra A.S., Smith K.C. Microelectronic Circuits. – 7th ed. – Oxford: Oxford University Press, 2015. – 1328 p. – ISBN 978-0-19-933913-6.
18. Жук А., Клейменкин Д., Прокопенко Н. SiGe BiCMOS выходные каскады высокотемпературных операционных усилителей // Preprints. – 2025. – doi: <https://doi.org/10.20944/preprints202504.2193.v1>.
19. Najafizadeh L. et al., "SiGe BiCMOS Precision Voltage References for Extreme Temperature Range Electronics // 2006 Bipolar/BiCMOS Circuits and Technology Meeting, Maastricht, Netherlands, 2006. – P. 1-4. – doi: 10.1109/BIPOL.2006.311117.
20. Cornett K.J., Fu G., Escorcia I. and Mantooth H.A. SiGe BiCMOS fully differential amplifier for extreme temperature range applications // 2009 IEEE Aerospace conference, Big Sky, MT, USA, 2009. – P. 1-10. – doi: 10.1109/AERO.2009.4839517.
21. Dylan T. et al. SiGe Amplifier and Buffer Circuits for High Temperature Applications // IMAPS International Conference & Exhibition on High Temperature Electronics (HiTEC 2010), USA, 2010. – P. 1-7. – doi: 10.4071/HITEC-DThomas-THA25.
22. Bellini M., Cressler J.D. and Cai J. Assessing the High-Temperature Capabilities of SiGe HBTs Fabricated on CMOS-compatible Thin-film SOI // 2007 IEEE Bipolar/BiCMOS Circuits and Technology Meeting, Boston, MA, USA, 2007. – P. 234-237. – doi: 10.1109/BIPOL.2007.4351877.
23. Thomas D.B. et al. Performance and reliability of SiGe devices and circuits for high-temperature applications. Proceedings // 2009 IMAPS International Conference on High Temperature Electronics Network, HiTEN, 2009. – P. 49-56.
24. Basu R., Singh A. High temperature Si-Ge alloy towards thermoelectric applications // A comprehensive review. Materials Today Physics. – No. 21. – P. 1-26. – doi: 10.1016/j.mtphys.2021.100468.
25. Жук А.А., Бугакова А.А., Прокопенко Н.Н., Клейменкин Д.В. Программа каталогизации и визуализации выходных каскадов высокотемпературных операционных усилителей на гетеропереходных n-p-n биполярных и металл-оксид полевых транзисторах, № RU 2025660214 от 2025.
26. Williams R.S., Tuckerman D.B. Low-noise Darlington amplifier design for high-frequency applications // IEEE Transactions on Circuits and Systems. – 1987. – Vol. 34, No. 5. – P. 567-574. – DOI: 10.1109/TCS.1987.1086185.
27. Gupta A., Singh R. Performance Analysis of Darlington Transistor Arrays in High-Precision Analog Circuits // Journal of Solid-State Circuits. – 2021. – Vol. 56, No. 4. – P. 1123-1132. – DOI: 10.1109/JSSC.2020.3040123.
28. Kim H.S., Cho M.J. Integration of Darlington Transistors in Low-Voltage Power ICs for Enhanced Efficiency // IEEE Transactions on Power Electronics. – 2022. – Vol. 37, No. 2. – P. 2345-2353. – DOI: 10.1109/TPEL.2021.3103456.

REFERENCES

1. Avenier G. et al. 0.13 μ m SiGe BiCMOS technology for mm-wave applications, 2008 IEEE Bipolar/BiCMOS Circuits and Technology Meeting, Monterey, CA, USA, 2008, pp. 89-92. doi: 10.1109/BIPOL.2008.4662719.
2. Hashimoto T. et al. A CMOS-based RF SiGe BiCMOS technology featuring over-100 GHz f/sub max/ SiGe HBTs and 0.13 /spl mu/m CMOS, Proceedings of the Bipolar/BiCMOS Circuits and Technology Meeting, Minneapolis, MN, USA, 2002m pp. 189-192. doi: 10.1109/BIPOL.2002.1042915.
3. Wietstruck M., Marschmeyer S., Schulze S., Wipf S.T., Wipf C. and Kaynak M. Recent Developments on SiGe BiCMOS Technologies for mm-wave and THz Applications, 2019 IEEE MTT-S International Microwave Symposium (IMS), Boston, MA, USA, 2019, pp. 1126-1129. doi: 10.1109/MWSYM.2019.8701049.
4. Candra P. et al., A 130nm SiGe BiCMOS technology for mm-Wave applications featuring HBT with fT/fMAX of 260/320 GHz, 2013 IEEE Radio Frequency Integrated Circuits Symposium (RFIC), Seattle, WA, USA, 2013, pp. 381-384. doi: 10.1109/RFIC.2013.6569610.
5. Zimmer T. et al. SiGe HBTs and BiCMOS Technology for Present and Future Millimeter-Wave Systems, in IEEE Journal of Microwaves, Jan. 2021, Vol. 1, No. 1, pp. 288-298. doi: 10.1109/JMW.2020.3031831.
6. Rucker H. et al. A 0.13 μ m SiGe BiCMOS technology featuring fT/fmax of 240/330 GHz and gate delays below 3 ps, 2009 IEEE Bipolar/BiCMOS Circuits and Technology Meeting, Capri, Italy, 2009, pp. 166-169. doi: 10.1109/BIPOL.2009.5314251.

7. Dielacher F., Tiebout M., Lachner R., Knapp H., Aufinger K. and Sansen W. SiGe BiCMOS technology and circuits for active safety systems, *Proceedings of Technical Program - 2014 International Symposium on VLSI Technology, Systems and Application (VLSI-TSA), Hsinchu, Taiwan, 2014*, pp. 1-4. doi: 10.1109/VLSI-DAT.2014.6834937.
8. Pekarik J.J. et al. A 90nm SiGe BiCMOS technology for mm-wave and high-performance analog applications, *2014 IEEE Bipolar/BiCMOS Circuits and Technology Meeting (BCTM), Coronado, CA, USA, 2014*, pp. 92-95. doi: 10.1109/BCTM.2014.6981293.
9. Pizzimento L. On novel front-end electronics for the ATLAS BI RPC upgrade at HL-LHC developed in SiGe BiCMOS technology with a high-resolution rad-hard Time-To-Digital converter embedded, in *Nuclear Instruments and Methods in Physics Research Section A: Accelerators, Spectrometers, Detectors and Associated Equipment*, 2024, Vol. 1069. doi: <https://doi.org/10.1016/j.nima.2024.169892>.
10. Cheng G. et al. A 22-to-36.8 GHz low phase noise Colpitts VCO array in 0.13- μm SiGe BiCMOS technology, in *Microelectronics Journal*, 2019, Vol. 88. doi: <https://doi.org/10.1016/j.mejo.2019.04.004>.
11. Sorge R. et al. JICG CMOS transistors for reduction of total ionizing dose and single event effects in a 130 nm bulk SiGe BiCMOS technology, in *JICG CMOS transistors for reduction of total ionizing dose and single event effects in a 130 nm bulk SiGe BiCMOS technology*, 2021, Vol. 987. doi: <https://doi.org/10.1016/j.nima.2020.164832>.
12. Malyshev I.V. i dr. Perspektivy ispol'zovaniya tekhnologii SiGe BiCMOS dlya sozdaniya SVCh mikroskhem [Prospects of using SiGe BiCMOS technology to create microwave microcircuits], *Problemy razrabotki perspektivnykh mikroelektronnykh sistem – 2006: Sb. nauchnykh trudov* [Problems of development of advanced microelectronic systems – 2006: Collection of scientific papers], ed. by A.L. Stempkovskogo. Moscow: IPPM RAN, 2006, pp. 191-193. doi: 10.1109/ESSDERC.2000.194715.
13. Carter B., Mancini R. Op Amps for Everyone. 5th ed. Oxford: Newnes, 2017, 484 p.
14. Karter B., Mancini R. Operatsionnye usiliteli dlya vseh [Operational amplifiers for everyone]: transl. from engl. by A.N. Rabodzeya. Moscow: Dodeka-XXI, 2011, 544 p. (Series “Circuit Engineering”). ISBN 978-5-94120-242-3.
15. Single-Supply, Low Power, Precision FET Input Quad Buffer: datasheet, Analog Devices. Rev. A. Available at: <https://www.rlocman.ru/datasheet/pdf.html?di=168497> (accessed 10 June 2025).
16. Dvornikov O., Chekhovskiy V., Popov A. Razrabotka i primeneniye moshchnykh analogovykh BMK pri proektirovani silovykh analogovykh mikroskhem [Development and application of the powerful analog BICs at designing of the power analog microcircuits], *Elektronnye komponenty* [Electronic Components], 2025, No. 5, pp. 14-20.
17. Sedra A.S., Smith K.C. Microelectronic Circuits. 7th ed. Oxford: Oxford University Press, 2015, 1328 p. ISBN 978-0-19-933913-6.
18. Zhuk A., Kleymenkin D., Prokopenko N. SiGe BiCMOS vykhodnye kaskady vysokotemperaturnykh operatsionnykh usiliteley [SiGe BiCMOS output stages of high-temperature operational amplifiers], *Preprints*, 2025. doi: <https://doi.org/10.20944/preprints202504.2193.v1>.
19. Najafzadeh L. et al., "SiGe BiCMOS Precision Voltage References for Extreme Temperature Range Electronics, *2006 Bipolar/BiCMOS Circuits and Technology Meeting, Maastricht, Netherlands, 2006*, pp. 1-4. doi: 10.1109/BIPOL.2006.311117.
20. Cornett K.J., Fu G., Escorcia I. and Mantoosh H.A. SiGe BiCMOS fully differential amplifier for extreme temperature range applications, *2009 IEEE Aerospace conference, Big Sky, MT, USA, 2009*, pp. 1-10. doi: 10.1109/AERO.2009.4839517.
21. Dylan T. et al. SiGe Amplifier and Buffer Circuits for High Temperature Applications, *IMAPS International Conference & Exhibition on High Temperature Electronics (HiTEC 2010), USA, 2010*, pp. 1-7. doi: 10.4071/HITEC-DThomas-THA25.
22. Bellini M., Cressler J.D. and Cai J. Assessing the High-Temperature Capabilities of SiGe HBTs Fabricated on CMOS-compatible Thin-film SOI, *2007 IEEE Bipolar/BiCMOS Circuits and Technology Meeting, Boston, MA, USA, 2007*, pp. 234-237. doi: 10.1109/BIPOL.2007.4351877.
23. Thomas D.B. et al. Performance and reliability of SiGe devices and circuits for high-temperature applications. *Proceedings, 2009 IMAPS International Conference on High Temperature Electronics Network, HiTEN, 2009*, pp. 49-56.
24. Basu R., Singh A. High temperature Si-Ge alloy towards thermoelectric applications, *A comprehensive review. Materials Today Physics*, No. 21, pp. 1-26. doi: 10.1016/j.mtphys.2021.100468.
25. Zhuk A.A., Bugakova A.A., Prokopenko N.N., Kleymenkin D.V. Programma katalogizatsii i vizualizatsii vykhodnykh kaskadov vysokotemperaturnykh operatsionnykh usiliteley na geteroperekhodnykh n-p-n bipolyarnykh i metall-oksid polevykh tranzistorakh, № RU 2025660214 ot 2025 [Program of cataloging and visualization of output stages of high-temperature operational amplifiers on heterojunction n-p-n bipolar and metal-oxide field-effect transistors, No. RU 2025660214 in 2025].

26. Williams R.S., Tuckerman D.B. Low-noise Darlington amplifier design for high-frequency applications, *IEEE Transactions on Circuits and Systems*, 1987, Vol. 34, No. 5, pp. 567-574. DOI: 10.1109/TCS.1987.1086185.
27. Gupta A., Singh R. Performance Analysis of Darlington Transistor Arrays in High-Precision Analog Circuits, *Journal of Solid-State Circuits*, 2021, Vol. 56, No. 4, pp. 1123-1132. DOI: 10.1109/JSSC.2020.3040123.
28. Kim H.S., Cho M.J. Integration of Darlington Transistors in Low-Voltage Power ICs for Enhanced Efficiency, *IEEE Transactions on Power Electronics*, 2022, Vol. 37, No. 2, pp. 2345-2353. DOI: 10.1109/TPEL.2021.3103456.

Жук Алексей Андреевич – Донской государственный технический университет; e-mail: alexey.zhuk96@mail.ru; г. Ростов-на-Дону, Россия; тел.: +79185880301; младший научный сотрудник отдела «Управление научных исследований»; ассистент кафедры «Информационные системы и радиотехника».

Клейменкин Дмитрий Владимирович – Донской государственный технический университет; e-mail: k-dima-01@mail.ru; г. Ростов-на-Дону, Россия; тел.: +79281970049; младший научный сотрудник отдела «Управление научных исследований».

Прокопенко Николай Николаевич – Донской государственный технический университет; e-mail: prokopenko@sssu.ru; г. Ростов-на-Дону, Россия; тел.: +79281201984; зав. кафедрой «Информационные системы и радиотехника».

Zhuk Alexey Andreevich – Don State Technical University; e-mail: alexey.zhuk96@mail.ru; Rostov-on-Don, Russia; phone: +79185880301; junior research fellow of the “Office of Scientific Research”; assistant of the Department of Information Systems and Radio Engineering.

Kleimenkin Dmitry Vladimirovich – Don State Technical University; e-mail: k-dima-01@mail.ru; Rostov-on-Don, Russia; phone: +79281970049; junior research fellow of the “Office of Scientific Research”.

Prokopenko Nikolay Nikolaevich – Don State Technical University; e-mail: prokopenko@sssu.ru; Rostov-on-Don, Russia; phone: +79281201984; junior research fellow of the “Office of Scientific Research”; head of Department “Information Systems and Radio Engineering”.

УДК 681.586

DOI 10.18522/2311-3103-2025-5-159-167

С.П. Малюков, В.Д. Мишнев

**ЧИСЛЕННОЕ МОДЕЛИРОВАНИЕ И АНАЛИЗ
НАПРЯЖЁННО-ДЕФОРМИРОВАННОГО СОСТОЯНИЯ УПРУГОЙ
МЕМБРАНЫ ДАТЧИКА ДАВЛЕНИЯ НА ОСНОВЕ СТРУКТУРЫ
«КРЕМНИЙ НА САПФИРЕ»**

Высокая точность и повышенные эксплуатационные характеристики датчиков давления необходимы для обеспечения безопасности, качества и эффективности в различных отраслях промышленности и техники. Применение метода конечных элементов (МКЭ) при проектировании датчиков давления позволяет улучшить их точность за счёт более глубокого анализа механических и физических процессов, возникающих при воздействии нагрузки от давления. Целью данной работы является построение цифровой трёхмерной модели чувствительного элемента (ЧЭ) датчика давления и анализ напряжённно-деформированного состояния упругой мембраны под действием нагрузки от давления от 0 до 15 МПа. Основные задачи работы: исследование свойств и параметров материалов, применяющихся в составе чувствительного элемента датчика давления на основе структуры «кремний на сапфире»; получение значений максимального эквивалентного напряжения, возникающего в конструкции упругой мембраны ЧЭ при воздействии нагрузки от давления 125% от номинального значения; распределение радиальных и тангенциальных деформаций упругой мембраны и определение наилучшего расположения тензорезисторов на поверхности ЧЭ датчика давления. В результате исследования установлено, что используемые материалы обладают хорошей стойкостью к воздействию агрессивной среды, а также возможностью работы в широком диапазоне температур и при воздействии высоких нагрузок от давления. По результатам моделирования определено значение максимального эквивалентного напряжения, величина

напряжения не превышает предел прочности чувствительной мембраны, получено распределение радиальных и тангенциальных деформаций на поверхности ЧЭ, что даёт возможность получить оптимизированный рисунок тензорезисторной мостовой схемы.

Датчик давления; тензочувствительный элемент; кремний на сапфире; метод конечных элементов; численное моделирование.

S.P. Malyukov, V.D. Mishnev

SIMULATION AND ANALYSIS OF THE STRESS-STRAIN STATE OF A PRESSURE SENSOR'S ELASTIC MEMBRANE BASED ON "SILICON ON SAPPHIRE" STRUCTURE

High accuracy and improved performance of pressure sensors are essential to ensure safety, quality and efficiency in various industries and machinery. The use of the finite element method (FEM) in the design of pressure sensors makes it possible to improve their accuracy due to a deeper analysis of mechanical and physical processes that arise when exposed to pressure loads. The purpose of this work is to build an accurate three-dimensional model of the sensitive element of the pressure sensor and to analyze the stress-strain state of the elastic membrane under the load from 0 to 15 MPa. The main tasks of the work: research of the properties and parameters of materials used as part of the sensitive element of the pressure sensor based on the structure "silicon on sapphire"; obtaining the values of the maximum equivalent stress arising in the design of the elastic membrane of the sensitive element under the influence of a pressure load of 125% of the nominal value; distribution of radial and tangential deformations of the elastic membrane and determination of the best location of resistance strain gauges on the surface of pressure sensor's sensitive element. As a result of the research, it was found that the materials used have good resistance to an aggressive environment, as well as the ability to work in a wide temperature range and under high pressure loads. Based on the simulation results, the value of the maximum equivalent stress was determined, the stress value does not exceed the ultimate strength of the sensitive membrane, the distribution of radial and tangential deformations on the surface of the sensitive element was obtained, which makes it possible to determine the most optimal pattern of the resistance strain gauge bridge circuit.

Pressure sensor; pressure-sensitive element; silicon on sapphire; finite element method; simulation an analysis.

Введение. Метод конечных элементов (МКЭ) является мощным инженерным инструментом, который широко используется для моделирования и анализа различных физических и механических процессов. Применяя МКЭ при моделировании и анализе деформаций упругой мембраны чувствительного элемента (ЧЭ) датчика давления можно добиться повышения точности показателей исходного устройства следующим образом [1–3]:

♦ **Моделирование геометрии.** С помощью МКЭ можно создать цифровую трёхмерную модель геометрии датчика давления, что позволяет учесть особенности конструкции и структуры ЧЭ датчика при анализе его характеристик.

♦ **Механический анализ.** МКЭ позволяет проводить детальный механический анализ напряжённо деформированных состояний ЧЭ датчика давления, включая распределение напряжений и деформаций в материалах, что помогает оптимизировать конструкцию для повышения точности.

♦ **Учёт внешних воздействий.** МКЭ позволяет учитывать воздействие внешних факторов на работу датчика давления, таких как температура или вибрации, что помогает снизить влияние искажений на результаты измерений [4, 5].

1. Конструкция и анализ материалов чувствительного элемента датчика давления. Выбор материалов, используемых при изготовлении тонкоплёночных тензорезисторных датчиков давления, оказывает существенное влияние на точность, стоимость и эксплуатационные возможности конечного устройства [6].

По результатам исследования основных типов структур чувствительных элементов датчиков давления, таких как КНС, КНИ, КНД и др. установлено, что структура «кремний на сапфире» является наиболее эффективной для датчиков давления, работающих в условиях воздействия агрессивной среды [7–10]. Конструкция измерительного элемента, выполненного на основе структуры КНС, изображена на рис. 1.

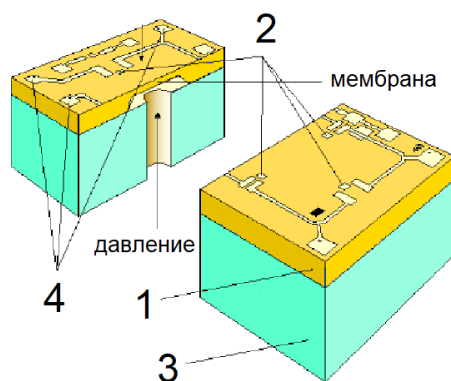


Рис. 1. Чувствительный элемент на основе структуры КНС. 1 подложка из лейкосапфира (Al_2O_3), 2 кремниевая (Si) тензорезистивная мостовая схема, 3 керамическое основание, 4 контактные площадки

В структуре КНС отсутствует р-п-переход, что позволяет добиться низкой погрешности (от 0,25 до 0,5 %), ввиду отсутствия токов утечки. В структуре КНС тензорезистивная мостовая схема выполняется из тонкого слоя кремния. Ввиду того, что термические напряжения в сплошном слое кремния практически однородны и изотропны в структурах КНС они почти не влияют на подвижность дырок и сопротивление кремния, что позволяет минимизировать негативные эффекты, влияющие на точность измеряемого сигнала.

Использование лейкосапфира (Al_2O_3) в качестве материала подложки даёт возможность использовать устройство в широком диапазоне температур, благодаря отличным упругим и изолирующим свойствам вплоть до температур порядка $1000^\circ C$ (до начала пластических деформаций). Из основных преимуществ сапфира, позволяющих добиться высоких эксплуатационных показателей можно выделить:

- ◆ сапфир не является химически активным материалом и обладает стойкостью к радиации;
- ◆ температура плавления сапфира выше, чем у кремния, что приводит к минимизации деформаций при высокотемпературной обработке;
- ◆ возможность проведения вторичной обработки сапфира в виду его высокой прочности [11].

Применение керамики в качестве материала основания ЧЭ позволит снизить эффект дополнительной температурной деформации ЧЭ датчика давления, влияющий на погрешность преобразования из-за возможности лучшего согласования коэффициента линейного термического расширения (КЛТР) керамики и сапфировой подложки ($\pm 5 \times 10^{-7} K^{-1}$) [7, 8, 12].

Керамика на основе нитрида алюминия (AlN) характеризуются высокой теплопроводностью (>170 Вт/м $^\circ K$), механической прочностью на изгиб (450 МПа), термической и химической стойкостью (максимальная температура эксплуатации $1350^\circ C$). Кроме того, использование керамики в качестве материала основания ЧЭ датчика давления даёт возможность снижения себестоимости конечного устройства из-за отсутствия необходимости использовать дорогостоящие титановые сплавы, требующих более сложной металлообработки [12].

Для соединения чувствительного элемента структуры КНС вместо эпоксидных компаундов и стеклоприпоев к корпусному основанию изделия применён стекловидный диэлектрик системы $PbO - V_2O_5 - ZnO$ с КЛТР ($80 - 90 \times 10^{-7} K^{-1}$), отвечающий комплексу требований для согласованности с КЛТР сапфира и керамики. Помимо согласованности по КЛТР стекловидный диэлектрик системы $PbO - V_2O_5 - ZnO$ обладает рядом следующих преимуществ:

- ◆ высокая механическая прочность;
- ◆ высокая адгезионная способность;

- ♦ устойчивость к радиации;
- ♦ отсутствие старения и деструкции во времени [13, 14].

Таким образом, применение структуры «кремний – сапфир – стекловидный диэлектрик – керамика» полностью отвечает требованиям по созданию датчика давления, способного работать в диапазоне температур от -60°C до $+350^{\circ}\text{C}$, при воздействии давлений от 0 до 10 МПа в условиях повышенных механических вибраций и радиации.

2. Разработка математической модели напряжённо-деформированного состояния чувствительного элемента датчика давления. С целью минимизации погрешности тензорезисторных преобразователей на основе КНС проведены аналитический расчёт и построение математической модели чувствительной мембраны под действием давления от 0 до 12,5 МПа в среде системы анализа методом конечных элементов Ansys [1–5, 17]. Расчётная схема и физические свойства материалов приведены на рис. 2 и в табл. 1 и 2 соответственно.

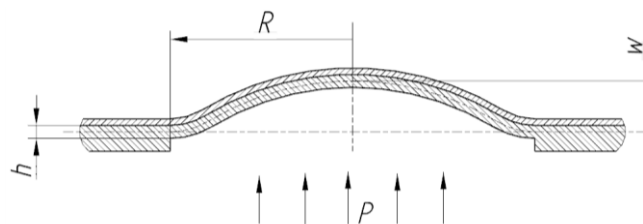


Рис. 2. Расчётная схема плоской сапфировой мембраны с нанесённым слоем кремния.
 w – прогиб центра мембраны, p – давление, R – рабочий радиус мембраны,
 E – модуль Юнга, h – толщина мембраны

Таблица 1

Физические свойства материалов упругого элемента (УЭ)

Материал	Модуль упругости, E , ГПа	Предел прочности, σ_b , МПа	Коэффициент Пуассона, μ	Плотность, ρ
Кремний (Si)	382	895	0,27	0,27
Сапфир (Al_2O_3)	130	500	0,28	0,28
Керамика на основе AlN	210	900	0,2	0,2

Расчёт прогиба мембраны оценивался аналитически по выражению:

$$w = \frac{pR^4}{Eh^3}, \quad (1)$$

где w – прогиб центра мембраны, p – давление, R – рабочий радиус мембраны, E – модуль Юнга, h – толщина мембраны [11, 16, 18–20].

Перед расчётом деформаций было проведено построение конечно-элементной сетки конструкции ЧЭ датчика давления (рис. 3). Число элементов сетки 147000.

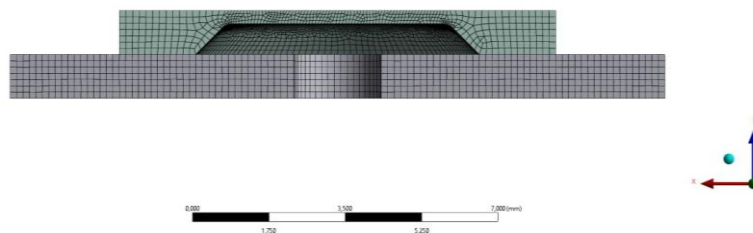


Рис. 3. Модель УЭ с разбиением на сетку конечных элементов

При расчёте деформаций УЭ, к мембране прикладывалась нагрузка в 12,5 МПа (125% от номинального в 10 МПа), что обусловлено требованием к испытательному давлению по ГОСТ 22520-85. По результатам предварительного расчёта было установлено, что ввиду малой толщины слоя кремния (не более 0,005 мм) его влияние на расчёт прогиба мембраны незначительно, и в дальнейшем им можно пренебречь.

Для оценки нелинейности прогиба мембраны, влияющей на точность измерений, было произведено сравнение результатов расчёта по выражению (1) и численного моделирования приведены в табл. 2. Перемещение центра мембраны упругого элемента представлено на рис. 4.

Таблица 2

Перемещение центра измерительной мембраны УЭ

Давление, МПа	3	4,5	6	7,5	9	10,5	12	13,5	15
аналитический расчёт, мм	0,003	0,005	0,007	0,009	0,010	0,012	0,014	0,016	0,018
расчёт МКЭ, мм	0,004	0,005	0,007	0,009	0,010	0,013	0,014	0,016	0,018

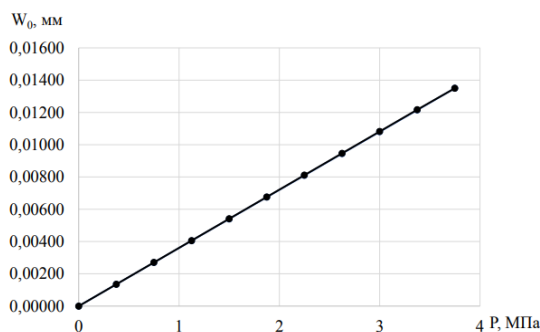


Рис. 4. Перемещение центра измерительной мембраны УЭ

Из графика, изображённого на рис. 4, следует, что изменение прогиба упругой мембраны имеет практически линейную зависимость от прикладываемой нагрузки от давления 12,5 МПа. Нелинейность составляет не более 0,7%, что свидетельствует о высокой точности изделия в целом.

Модель напряжённо-деформированного состояния разрабатываемого упругого элемента датчика давления представлена на рис. 5 и 6. Деформации отмасштабированы для наглядности.

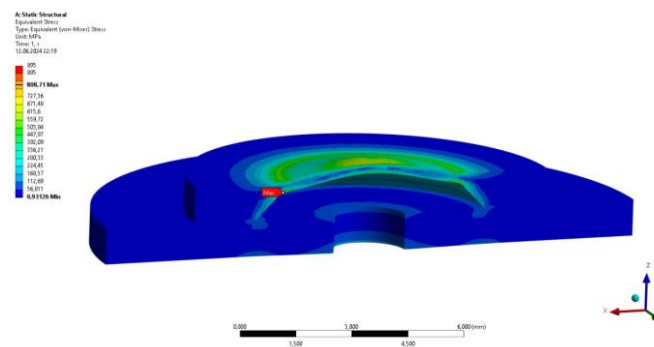


Рис. 5. Напряжения в модели рассчитываемого упругого элемента

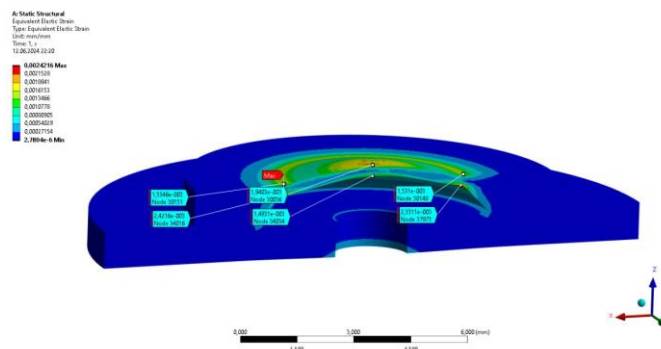


Рис. 6. Относительные деформации в модели рассчитываемого упругого элемента

Из рис. 5 и 6 видно, что напряжения, возникающие при воздействии на сапфировую мембрану составляют 806,71 МПа, что не превышает значение предела прочности сапфира 895 МПа (см. табл. 1).

Для определения оптимального расположения тензорезисторов и формы тензорезисторной мостовой схемы были получены распределения и разность радиальной и тангенциальной деформаций на поверхности УЭ (рис. 7 и 8) [11].

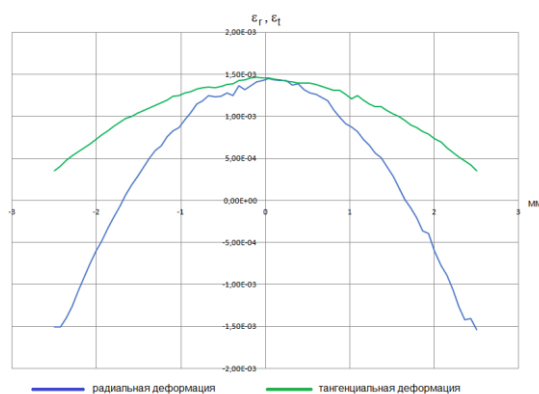


Рис. 7. Распределение деформаций в радиальном направлении (ϵ_r) и тангенциальном направлении (ϵ_t) на поверхности чувствительного элемента

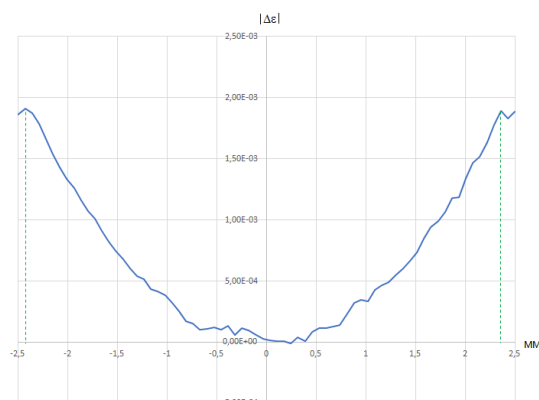


Рис. 8. Разность радиальных и тангенциальных деформаций $|\Delta\epsilon|$ на поверхности чувствительного элемента

Заключение. В результате численного моделирования напряжённо-деформированного состояния разрабатываемого УЭ датчика давления на основе структуры КНС установлено:

- ◆ значение максимального эквивалентного напряжения (806,71 МПа), возникающее в конструкции УЭ при действии давления 125% от номинального не превышает предел прочности сапфира;
- ◆ получено распределение радиальных и тангенциальных деформаций на поверхности ЧЭ и определено наилучшее место расположения тензорезистора: $r = 2,4$ мм от центра мембраны.

Таким образом, полученные значения прогиба мембраны под действием нагрузки от давления дают возможность получить оптимизированный рисунок тензорезисторной мостовой схемы, а также определить влияние на величину коэффициента тензочувствительности датчика давления.

Свойства и параметры материалов структуры «кремний – сапфир – стекловидный диэлектрик – керамика», полностью отвечают требованиям по созданию датчика давления нового поколения, способного работать широком диапазоне температур (от -60°C до $+350^{\circ}\text{C}$) при воздействии давлений от 0 до 10 МПа в условиях повышенных механических вибраций и радиации.

Исследование выполнено при финансовой поддержке Фонда содействия инновациям.

БИБЛИОГРАФИЧЕСКИЙ СПИСОК

1. Басов К.А. ANSYS и LMS Virtual Lab. Геометрическое моделирование. – М.: ДМК Пресс, 2006. – 240 с. – ISBN 5-94074-301-3.
2. Кожанов Д.А., Лихачева С.Ю. Конечно-элементное моделирование в инженерных расчетах механики деформируемого твердого тела: учеб. пособие. – Нижний Новгород: Нижегородский государственный архитектурно-строительный университет, 2024. – 51 с. – ISBN 978-5-528-00562-1.
3. Антонец И.В., Борисов Р.А., Нигматуллина Л.А., Борисова Д.Р. Определение упругих характеристик первичного преобразователя датчика давления в системе воздушных сигналов // Известия высших учебных заведений. Приборостроение. – 2025. – Т. 68, № 7. – С. 590-599. – DOI 10.17586/0021-3454-2025-68-7-590-599.
4. Бозуш М.В. Проектирование пьезоэлектрических датчиков с использованием конечно-элементных математических моделей // Приборы. – 2007. – № 12 (90). – С. 30-38.
5. Логинова Л.В., Трофимов А.А., Печерская Е.А., Рыбаков И.М., Северцев Н.А. Моделирование высокотемпературных датчиков давления на базе технологических структур «поликремний – диэлектрик» // Надежность и качество сложных систем. – 2024. – № (48). – С. 85-95. – DOI 10.21685/2307-4205-2024-4-9.
6. Теплова Т.Б., Самерханова А.С. Тенденция развития применения твердых высокопрочных материалов в микроэлектронике, медицине и ювелирных изделиях // Горный информационно-аналитический бюллетень. – 2006. – № 10. – С. 339-347.
7. Малюков С.П., Мишнев В.Д. Технология изготовления чувствительных элементов датчиков давления на основе спая «сапфир – стекловидный диэлектрик – керамика» // Известия ЮФУ. Технические науки. – 2023. – № 2. – С. 111-119.
8. Малюков С.П., Мишнев В.Д. Технология изготовления чувствительного элемента датчика давления на основе структуры «кремний на сапфире» с использованием метода высокочастотного магнетронного распыления // Современные информационные технологии: тенденции и перспективы развития: Матер. XXX научной конференции (Южный федеральный университет, Ростов-на-Дону, 13–15 апреля 2023 г.). – С. 275-279.
9. Sun M., Valdeza-Felip S., Naranjo F.B. Amorphous Silicon Films and Nanocolumns Deposited on Sapphire and GaN by DC Sputtering // Physica status solidi (b). – 2023. – P. 1-7.
10. Cai Sikang & Wang Guicong & Li Ying-Jun & Yang Xiaoqi. Research on material selection of force-sensitive element for high-frequency dynamic piezoelectric pressure sensor // MATEC Web of Conferences. – 2022. – P. 1-7.
11. Скворцов П.А. Разработка методики расчета и проектирования упругого элемента тензодатчика на структуре «кремний на сапфире»: специальность 01.02.06 "Динамика, прочность машин, приборов и аппаратуры": дисс. ... канд. техн. наук. – 2019. – 153 с.
12. Саенко А.В., Бондарчук Д.А. Разработка конструкции датчика давления на основе структуры сапфир-стекловидный диэлектрик-керамика // Известия ЮФУ. Технические науки. – 2018. – № 7 (201). – С. 24-32.

13. Клунникова Ю.В., Бондарчук Д.А. Формирование спая стекловидного диэлектрика и сапфира для элементов микроэлектроники // Известия ЮФУ. Технические науки. – 2018. – № 7. – С. 66-74.
14. Клунникова Ю.В. Исследование процессов получения спая сапфир-стекловидный диэлектрик // Инженерный вестник Дона. – 2016. – № 1. – С. 17.
15. Кололиков Ю.И., Кащеев И.Д., Хрустов В.Р. Термическое расширение композиционной керамики системы диоксид циркония – оксид алюминия // Новые огнеупоры. – 2016. – № 9. – С. 59-62.
16. Малюков С.П., Мишнев В.Д. Математическое моделирование напряжённо-деформированного состояния чувствительной мембраны датчика давления на основе структуры «кремний на сапфире» // Современные информационные технологии: тенденции и перспективы развития: Матер. XXXI научной конференции (Южный федеральный университет, Ростов-на-Дону, 18–20 апреля 2024 г.). – С. 280-282.
17. Karuturi Srinivasa Rao & Samyuktha W. & Vardhan D. & Naidu B. & Kumar Puli & Sravani Girija & Guha Koushik. Design and sensitivity analysis of capacitive MEMS pressure sensor for blood pressure measurement // Microsystem Technologies. – 2020. – P. 2371-2379.
18. Тиняков Ю.Н., Николаева А.Н. О расчёте мембран датчиков давления // Вестник МГТУ им. Н.Э.Баумана. Сер. “Приборостроение”. – 2015. – № 6. – С. 135-142.
19. Андреев А.И., Жуков А.В., Яковичин А.С. Разработка методики в области проектирования мембранных датчиков давления // Вестник Пермского национального исследовательского политехнического университета. Машиностроение, материаловедение. – 2022. – Т. 24, № 1. – С. 28-34.
20. Пьо В.Т., Симонов Б.М., Тимошенко С.П. Исследование возможностей повышения чувствительности МЭМС-датчика давления емкостного типа с мембранами различных геометрических форм // Известия высших учебных заведений. Электроника. – 2023. – Т. 28, № 2. – С. 222-231.

REFERENCES

1. Basov K.A. ANSYS i LMS Virtual Lab. Geometricheskoe modelirovanie [ANSYS and LMS Virtual Lab. Geometric modeling]. Moscow: DMK Press, 2006, 240 p. ISBN 5-94074-301-3.
2. Kozhanov D.A., Likhacheva S.Yu. Konechno-elementnoe modelirovanie v inzhenernykh raschetakh mekhaniki deformiruemogo tverdogo tela: ucheb. posobie [Finite element modeling in engineering calculations of solid mechanics: textbook]. Nizhniy Novgorod: Nizhegorodskiy gosudarstvennyy arkhitekturno-stroitel'nyy universitet, 2024, 51 p. ISBN 978-5-528-00562-1.
3. Antonets I.V., Borisov R.A., Nigmatullina L.A., Borisova D.R. Opredelenie uprugikh kharakteristik pervichnogo preobrazovatelya datchika davleniya v sisteme vozdushnykh signalov [Determination of elastic characteristics of the primary transducer of the pressure sensor in the air signal system], *Izvestiya vysshikh uchebnykh zavedeniy. Priborostroenie* [News of Higher Educational Institutions. Instrument-making], 2025, Vol. 68, No. 7, pp. 590-599. DOI 10.17586/0021-3454-2025-68-7-590-599.
4. Bogush M.V. Proektirovanie p'ezoelektricheskikh datchikov s ispol'zovaniem konechno-elementnykh matematicheskikh modeley [Design of piezoelectric sensors using finite element mathematical models], *Pribory* [Devices], 2007, No. 12 (90), pp. 30-38.
5. Loginova L.V., Trofimov A.A., Pecherskaya E.A., Rybakov I.M., Severtsev N.A. Modelirovanie vysokotemperaturnykh datchikov davleniya na baze tekhnologicheskikh struktur «polikremniy – dielektrik» [Modeling of high-temperature pressure sensors based on “polysilicon – dielectric” technological structures], *Nadezhnost' i kachestvo slozhnykh system* [Reliability and quality of complex systems], 2024, No. (48), pp. 85-95. DOI 10.21685/2307-4205-2024-4-9.
6. Teplova T.B., Samerkhanova A.S. Tendentsiya razvitiya primeneniya tverdykh vysokoprochnykh materialov v mikroelektronike, meditsine i yuvelirnykh izdeliyakh [Development trends in the application of hard high-strength materials in microelectronics, medicine, and jewelry], *Gornyy informatsionno-analiticheskiy byulleten'* [Mining Information and Analytical Bulletin], 2006, No. 10, pp. 339-347.
7. Malyukov S.P., Mishnev V.D. Tekhnologiya izgotovleniya chuvstvitel'nykh elementov datchikov davleniya na osnove spaya «sapfir – steklovidnyy dielektrik – keramika» [Manufacturing technology of sensitive elements of pressure sensors based on the "sapphire - vitreous dielectric - ceramics" seam], *Izvestiya YuFU. Tekhnicheskije nauki* [Izvestiya SFedU. Engineering Sciences], 2023, No. 2, pp. 111-119.
8. Malyukov S.P., Mishnev V.D. Tekhnologiya izgotovleniya chuvstvitel'nogo elementa datchika davleniya na osnove struktury «kremniy na sapfire» s ispol'zovaniem metoda vysokochastotnogo magnetronnogo raspyleniya [Manufacturing technology of a sensitive element of a pressure sensor based on the silicon-on-sapphire structure using the high-frequency magnetron sputtering method], *Sovremennye informatsionnye tekhnologii: tendentsii i perspektivy razvitiya: Mater. XXX nauchnoy konferentsii (YUzhnyy federal'nyy universitet, Rostov-na-Donu, 13–15 aprelya 2023 g.)* [Modern information technologies: trends and development prospects: Proceedings of the XXX scientific conference (Southern Federal University, Rostov-on-Don, April 13–15, 2023)], pp. 275-279.

9. Sun M., Valdueza-Felip S., Naranjo F.B. Amorphous Silicon Films and Nanocolumns Deposited on Sapphire and GaN by DC Sputtering, *Physica status solidi (b)*, 2023, pp. 1-7.
10. Cai Sikang & Wang Guicong & Li Ying-Jun & Yang Xiaoqi. Research on material selection of force-sensitive element for high-frequency dynamic piezoelectric pressure sensor, *MATEC Web of Conferences*, 2022, pp. 1-7.
11. Skvortsov P.A. Razrabotka metodiki rascheta i proektirovaniya uprugogo elementa tenzodatchika na strukture "kremniy na sapphire": spetsial'nost' 01.02.06 "Dinamika, prochnost' mashin, priborov i apparatury": diss. ... kand. tekhn. nauk [Development of a calculation and design methodology for an elastic element of a strain gauge based on a silicon-on-sapphire structure: specialty 01.02.06 "Dynamics and strength of machines, devices, and equipment": cand. of eng. sc. diss.], 2019, 153 p.
12. Saenko A.V., Bondarchuk D.A. Razrabotka konstruksii datchika davleniya na osnove struktury sappfir-steklovidnyy dielektrik-keramika [Development of a pressure sensor design based on a sapphire-glassy dielectric-ceramic structure], *Izvestiya YuFU. Tekhnicheskie nauki* [Izvestiya SFedU. Engineering Sciences], 2018, No. 7 (201), pp. 24-32.
13. Klunnikova Yu.V., Bondarchuk D.A. Formirovanie spaya steklovidnogo dielektrika i sappfira dlya elementov mikroelektroniki [Formation of a junction between a vitreous dielectric and sapphire for microelectronic elements], *Izvestiya YuFU. Tekhnicheskie nauki* [Izvestiya SFedU. Engineering Sciences], 2018, No. 7, pp. 66-74.
14. Klunnikova Yu.V. Issledovanie protsessov polucheniya spaya sappfir-steklovidnyy dielektrik [Study of the processes of obtaining a junction between a sapphire and a vitreous dielectric], *Inzhenernyy vestnik Dona* [Engineering Bulletin of the Don], 2016, No. 1, pp. 17.
15. Komolikhov Yu.I., Kashcheev I.D., Khrustov V.R. Termicheskoe rasshirenie kompozitsionnoy keramiki sistemy dioksid tsirkoniya – oksid alyuminiya [Thermal expansion of composite ceramics of the zirconium dioxide – aluminum oxide system], *Novye ognepory* [New refractories], 2016, No. 9, pp. 59-62.
16. Malyukov S.P., Mishnev V.D. Matematicheskoe modelirovanie napryazhenno-deformirovannogo sostoyaniya chuvstvitel'noy membrany datchika davleniya na osnove struktury «kremniy na sapphire» [Mathematical modeling of the stress-strain state of the sensitive membrane of a pressure sensor based on the "silicon on sapphire" structure], *Sovremennye informatsionnye tekhnologii: tendentsii i perspektivy razvitiya: Mater. XXXI nauchnoy konferentsii (YUzhnyy federal'nyy universitet, Rostov-na-Donu, 18–20 aprelya 2024 g.)* [Modern information technologies: trends and development prospects: Proceedings of the XXXI scientific conference (Southern Federal University, Rostov-on-Don, April 18-20, 2024)], pp. 280-282.
17. Karumuri Srinivasa Rao & Samyuktha W. & Vardhan D. & Naidu B. & Kumar Puli & Sravani Girija & Guha Koushik. Design and sensitivity analysis of capacitive MEMS pressure sensor for blood pressure measurement, *Microsystem Technologies*, 2020, pp. 2371-2379.
18. Tinyakov Yu.N., Nikolaeva A.N. O raschete membran datchikov davleniya [On the calculation of pressure sensor membranes], *Vestnik MGTU im. N.E.Baumana. Ser. "Priborostroenie"* [Bulletin of Bauman Moscow State Technical University. Series "Instrument Engineering"], 2015, No. 6, pp. 135-142.
19. Andreev A.I., Zhukov A.V., Yakovishin A.S. Razrabotka metodiki v oblasti proektirovaniya membrannykh datchikov davleniya [Development of a methodology for designing membrane pressure sensors], *Vestnik Permskogo natsional'nogo issledovatel'skogo politekhnicheskogo universiteta. Mashinostroenie, materialovedenie* [Bulletin of Perm National Research Polytechnic University. Mechanical Engineering, Materials Science], 2022, Vol. 24, No. 1, pp. 28-34.
20. P'o V.T., Simonov B.M., Timoshenkov S.P. Issledovanie vozmozhnostey povysheniya chuvstvitel'nosti MEMS-datchika davleniya emkostnogo tipa s membranami razlichnykh geometricheskikh form [Study of the possibilities of increasing the sensitivity of a capacitive MEMS pressure sensor with membranes of various geometric shapes], *Izvestiya vysshikh uchebnykh zavedeniy. Elektronika* [Bulletin of higher educational institutions. Electronics], 2023, Vol. 28, No. 2, pp. 222-231.

Малюков Сергей Павлович – Южный федеральный университет; e-mail: spmalyukov@sfedu.ru; г. Таганрог, Россия; кафедра радиотехнической электроники и наноэлектроники; д.т.н.; профессор; член-корреспондент РАН.

Мишнев Виктор Дмитриевич – Южный федеральный университет; e-mail: mishnev@sfedu.ru; г. Таганрог, Россия; тел.: +79185929271; кафедра радиотехнической электроники и наноэлектроники; аспирант.

Malyukov Sergey Pavlovich – Southern Federal University; e-mail: spmalyukov@sfedu.ru; Taganrog, Russia; the Department of Radio Engineering Electronics and Nanoelectronics; dr. of eng. sc.; professor.

Mishnev Victor Dmitrievich – Southern Federal University; e-mail: mishnev@sfedu.ru; Taganrog, Russia; phone: +79185929271; the Department of Radio Engineering Electronics and Nanoelectronics; post-graduate student.

Д.А. Сорокин, И.И. Левин

СУММАТОР С ПЛАВАЮЩЕЙ ЗАПЯТОЙ В ЦИФРОВЫХ ФОТОННЫХ ВЫЧИСЛИТЕЛЬНЫХ УСТРОЙСТВАХ

В рамках предлагаемой авторами концепции структурной организации вычислений в цифровых фотонных вычислительных устройствах необходимо использовать последовательную обработку информации, что позволяет минимизировать скважность подачи операндов из внешней памяти или других электронных источников на фотонное устройство. Это становится возможным, когда обработка операндов не превышает число тактов, равное их разрядности. Кроме того, при последовательной поразрядной обработке значительно снижаются аппаратные затраты на синхронизацию потоков данных. Устранение скважности и снижение накладных расходов на реализацию вычислительных структур в значительной степени способны повысить эффективность цифровых фотонных вычислительных устройств относительно электронных. Однако для создания фотонных вычислительных структур, ориентированных на решение различных трудоёмких задач из таких областей, как математическая физика, линейная алгебра, нейросетевая обработка и многих других, необходимы устройства, реализующие базовые арифметические функции в формате плавающей запятой. Большинство таких арифметических функций содержит элементарную операцию целочисленного сложения. При последовательной обработке операндов младшими разрядами вперёд в двоичной форме представления устройства целочисленного сложения не могут начать выдавать результат до тех пор, пока не будут обработаны все биты информации для учёта переноса, что увеличивает в два раза скважность подачи операндов и латентность устройства. Поэтому для устранения скважности и сокращения латентности предлагается использовать четверичную знакоразрядную форму представления чисел и подавать операнды старшими разрядами вперёд. Применение знакоразрядной формы представления чисел позволяет выполнять немедленную передачу старших разрядов результата операции для дальнейшей обработки в следующие устройства, не дожидаясь получения младших разрядов. В статье рассматриваются вопросы построения всех компонент знакоразрядного сумматора с плавающей запятой: блока определения разности порядков, блока денормализации мантиссы меньшего числа, сумматора мантисс, блока нормализации мантиссы результата и блока коррекции порядка результата. Приведены алгоритмы функционирования данных блоков. Оценка эффективности предлагаемого знакоразрядного сумматора выполнена на макете, разработанном в базе цифровой фотонной логики на реконфигурируемом компьютере «Терциус». Показано, что за счёт величины тактовой частоты работы цифровые фотонные вычислительные устройства способны обеспечить производительность почти на два десятичных порядка больше по сравнению с микроэлектронными устройствами.

Цифровое фотонное вычислительное устройство; сумматор с плавающей запятой; знакоразрядная система счисления.

D.A. Sorokin, I.I. Levin

FLOATING-POINT ADDER IN DIGITAL PHOTONIC COMPUTING SYSTEMS

Within the structural computation paradigm proposed by the authors, digital photonic computing systems are expected to employ sequential data processing, which allows for the minimization of operand duty cycle gaps when data is supplied from external memory or other electronic sources to the photonic device. This becomes feasible when the processing time per operand does not exceed the number of clock cycles corresponding to the operand's bit width. Moreover, sequential digit-wise processing significantly reduces hardware costs associated with dataflow synchronization. The elimination of duty cycle gaps and reduction in structural overhead can substantially enhance the efficiency of digital photonic computing systems relative to their electronic counterparts. However, to enable photonic computational architectures capable of solving complex and computation-intensive problems in domains such as mathematical physics, linear algebra, neural network processing, and others, it is necessary to implement core arithmetic functions in floating-point format. Most of these functions are built around elementary integer addition. In binary systems with sequential processing in least-significant-digit-first order, integer adders are unable to begin producing results until all bits have been processed and carry propagation is complete, thereby doubling the operand duty cycle and increasing latency. To address these issues, this paper proposes the

use of a quaternary signed-digit number representation with operands processed in most-significant-digit-first order. This representation enables immediate transmission of the most significant digits of the result to downstream processing units, without waiting for the completion of lower-order digit computation. This paper addresses the design of all components of the signed-digit floating-point adder: the exponent difference unit, the mantissa denormalization unit for the operand with the smaller exponent, the mantissa adder, the mantissa normalization unit for the result, and the exponent correction unit. Operational algorithms for these units are presented. The performance of the proposed signed-digit adder has been evaluated on a prototype implemented in a digital photonic logic framework on the reconfigurable "Terzius" computing platform. It is demonstrated that, due to the high clock frequency achievable by digital photonic computing devices, their performance can exceed that of microelectronic devices by nearly two orders of decimal scale.

Digital photonic computing; floating-point adder; signed-digit number representation.

Введение. Своевременное и качественное решение трудоемких задач различных областей науки и техники невозможно без развития эффективных высокопроизводительных вычислительных систем. Однако в течение последних двух десятилетий стало очевидным, что экспоненциальный рост тактовых частот и степени интеграции далее невозможен, и лишь эволюция транзисторов и технологий их изготовления позволит ещё некоторое время масштабировать производительность [1, 2]. При этом определяющую роль в построении высокопроизводительных систем начинает играть отвод тепла с кристалла [3]. Постоянный рост потребляемой мощности с сохранением геометрических размеров полупроводниковых устройств сводит на нет возможность постоянного увеличения производительности современных систем.

Поэтому над задачей создания альтернативной вычислительной техники в настоящее время работают многие учёные и исследователи. Одним из перспективных направлений в данной области является создание фотонных вычислителей, в основе которых лежат эффекты взаимодействия когерентных систем световых волн, порождаемых лазерным излучением [4]. Класс задач, которые смогут решать фотонные вычислители, сопоставим с задачами для электронных вычислительных машин, но при этом фотонные технологии потенциально способны в сотни раз уменьшить потребляемую энергию, необходимую для достижения одинаковой производительности с нынешними вычислительными системами.

В настоящее время ведутся разработки технологий построения элементной базы цифровых фотонных микросхем и организации эффективной обработки данных на их основе. В работах [5–7] авторами предложен вариант перспективной архитектуры для цифровых фотонных вычислительных устройств (ЦФВУ), поддерживающей структурную парадигму вычислений [8]. Для обеспечения равенства темпа обработки операндов темпу их поступления на вход ЦФВУ, вне зависимости от формата представления данных, предложены принципы построения подсистем синхронизации и коммутации, обеспечивающих статическое и динамическое согласование потоков операндов. Показано, что если предполагаемая тактовая частота ЦФВУ будет превосходить тактовую частоту электронной памяти на три порядка, то для наиболее эффективного использования аппаратного ресурса ЦФВУ при реализации вычислительных структур решаемых задач необходимо применять последовательный способ передачи информации.

Последовательная обработка позволяет минимизировать или даже полностью устранить скажность подачи данных, если число тактов обработки операндов в каждой операции вычислительной структуры не будет превышать число тактов их поступления. Однако в базовой функции многих арифметических операций – суммировании – традиционно применяемые алгоритмы обработки чисел в двоичном представлении определяют порядок распространения переноса от младших разрядов к старшим. Поэтому при последовательной обработке операндов младшими разрядами вперёд скажность поступления данных будет равна двум, и результирующая латентность операции в два раза больше разрядности операндов. Очевидно, что такой способ обработки данных при решении задач значительно снижает эффективность ЦФВУ.

В отличие от данного подхода, если для обработки последовательных кодов применить знакоразрядную форму представления чисел [9] и подавать операнды старшими разрядами вперёд, то на латентность арифметических операций суммирования, умножения, деления и других перестаёт влиять разрядность операндов [10]. Её величина становится зависимой только от числа тактов обработки разрядов плюс несколько дополнительных тактов синхронизации, поскольку в знакоразрядной системе счисления распространение переноса при выполнении операции сложения выполняется не далее соседнего разряда. Также скважность обработки данных становится минимальной, так как выполняется немедленная передача старших разрядов результата операции для дальнейшей обработки в следующие операционные блоки, не дожидаясь получения младших разрядов. Это особенно важно для минимизации накладных расходов на триггеры ЦФВУ при синхронизации функциональных узлов в вычислительных структурах.

В настоящей статье рассматриваются подходы к построению базовой арифметической операции ЦФВУ с использованием четверичной знакоразрядной системы счисления. Базовой операцией для реализации вычислительных структур большинства различных трудоёмких задач является операция сложения в формате плавающей запятой. Рассмотрены наиболее важные особенности реализации данной операции через призму эффективности вычислительных структур на её основе, синтезируемых в базисе цифровой фотонной логики.

Анализ знакоразрядного формата обработки операндов. Число в знакоразрядной системе счисления, как и в любой позиционной системе, можно описать формулой

$$Z = \sum_{i=-m}^n x_i \cdot 2R^{-i},$$

где $x_i = \{-R, -(R+1), \dots, -1, 0, 1, \dots, R\}$.

Однако, при таком подходе возникает избыточность представления по сравнению с двоичной системой счисления [11]. В табл. 1 указана избыточность для оснований $S = 2^k$, ($k = 1, 2, 3, 4, 5$), выраженная в относительной величине ΔS , %. Из представленных в таблице 1 данных видно, что самой избыточной является двоичная знакоразрядная система, четверичная имеет вполтину меньшую избыточность и т.д. При использовании оснований $S = 2^k - 3$ ($k = 4, 5$) избыточность минимизируется, однако основания $S = 2^k$ обеспечивают простоту совмещения знакоразрядной системы с двоичной системой счисления, поэтому на практике рационально использовать именно их.

Таблица 1

Избыточность знакоразрядной системы при различных основаниях

Основание $S(2^k)$	$2(2^1)$	$4(2^2)$	$8(2^3)$	$16(2^4)$	$32(2^5)$	$13(2^4-3)$	$29(2^5-3)$
ΔS , %	100	50	33	25	20	8	3

Стоит отметить, что при увеличении основания знакоразрядной системы счисления нелинейно растет сложность алгоритмов выполнения элементарных арифметико-логических операций, а их аппаратная реализация требует неприемлемо много ресурсов. Это в том числе связано с неоднозначностью представления чисел и сложностью обработки исключительных ситуаций. Исследования показали, что аппаратные затраты в ЦФВУ на реализацию автомата управления в операции целочисленного деления чисел, представленных в знакоразрядной системе счисления по основанию $S = 2^3$, настолько велики, что пропадает принципиальная целесообразность ее использования по сравнению с обычной двоичной системой счисления. Наиболее оптимальной для реализации является знакоразрядная система счисления с основанием $S = 2^2$ (четверичная знакоразрядная система). Выбор данного основания системы счисления является компромиссом между избыточностью представления знакоразрядных чисел и сложностью реализации элементарных арифметико-логических операций в базисе ЦФВУ, а также гарантирует сравнительную простоту совмещения знакоразрядной системы счисления с двоичной системой.

Для реализации последовательного поразрядного суммирования четверичных знакоразрядных кодов старшими разрядами вперёд [12, 13] необходимо разряды операндов $X = 0, x_1, \dots, x_i, \dots, x_n$ и $Y = 0, y_1, \dots, y_i, \dots, y_n$ представить в виде $x_i, y_i \in \{\overline{3}, \overline{2}, \overline{1}, 0, 1, 2, 3\}$. Сумма $Z = X + Y$ также является знакоразрядным числом: $Z = 0, z_1 z_2 \dots z_i \dots z_n$.

Разряды z_i вычисляются следующим образом. Чтобы избежать возникновения переноса из младших разрядов суммы в старшие, что не позволяет использовать старшие разряды в дальнейших вычислениях без получения всех младших разрядов, сначала вычисляется предварительная сумма разрядов операндов по формуле

$$S_i = x_{i+2} + y_{i+2} + 2S_{i-1} - 8z_{i+1},$$

где $i = 0, 1, 2, \dots, n$.

Затем формируется перенос по формуле

$$p_i = \begin{cases} 1, & \text{если } S_i \geq 3 \\ 0, & \text{если } |S_i| < 3 \\ \overline{1}, & \text{если } S_i \leq -3. \end{cases}$$

Далее вычисляется конечный результат суммы по формуле

$$z_i = S_i - 4p_i + p_{i+1}.$$

В базе ЦФВУ рациональной является реализация последовательных элементарных арифметико-логических операций, обрабатывающие данные по битам в темпе поступления информации. При подаче операндов старшими разрядами вперёд в знакоразрядной системе счисления появляется возможность обработки старших бит информации, не дожидаясь прихода младших разрядов, что в свою очередь значительно уменьшает латентность операций и позволяет снизить накладные расходы на синхронизацию потоков операндов в ЦФВУ. Кроме того, минимизируется скважность поступления данных и сохраняется точность результатов вычислений не ниже точности вычислений в двоичной системе счисления. Это особенно критично при выполнении таких операций, как суммирование и умножение чисел в формате с плавающей запятой, а также при формировании на их основе в ЦФВУ более сложных вычислительных структур решения различных трудоёмких задач.

Последовательный знакоразрядный сумматор в формате с плавающей запятой. Операцию сложения чисел в четверичной знакоразрядной системе счисления [14] можно описать формулой

$$MZ \times 4^{lZ} = MX \times 4^{lX} \pm MY \times 4^{lY} = (\hat{M} + \tilde{M} \times 4^{-l\delta l}) \times 4^l,$$

где MX, MY, MZ – мантиссы чисел X, Y, Z соответственно; lX, lY, lZ – порядки чисел X, Y, Z ; \hat{M} – мантисса большего числа; \tilde{M} – мантисса меньшего числа; l – порядок результата; δl – разность порядков;

Структурная схема сумматора, реализуемого в базе ЦФВУ приведена на рис. 1.

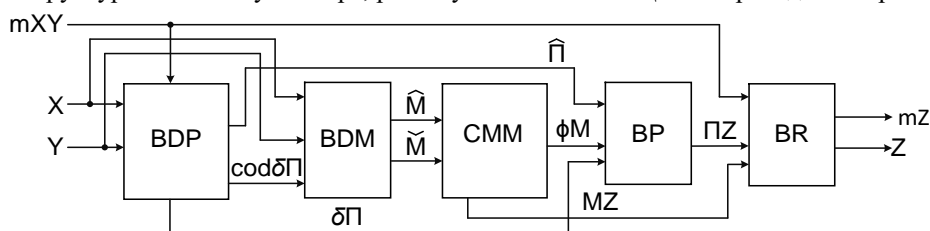


Рис. 1. Структурная схема последовательного знакоразрядного сумматора ЦФВУ в формате с плавающей запятой

Сумматор содержит: блок вычисления разности порядков BDP, блок денормализации меньшей мантиссы BDM, сумматор мантисс CMM, блок коррекции порядка результата BP, блок формирования результата BR.

Вычисление разности порядков $\delta\Pi = \Pi X - \Pi Y$ выполняется в соответствии с описанным ранее знакоразрядным алгоритмом суммирования.

Структурная схема блока BDP показана на рис. 2.

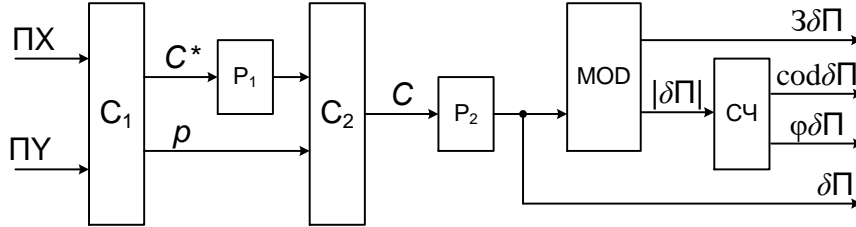


Рис. 2. Структурная схема BDP

На сумматоре C_1 вычисляются промежуточный результат $C^* = \{C_2^*, C_1^*, C_0^*\}$ и перенос $p = \{p^+, p^-\}$. Алгоритм суммирования C_1 имеет следующий вид:

- 1) $C_0^* = a_0 \cdot \overline{b_0} \vee \overline{a_0} \cdot b_0; \alpha = \overline{a_0} \cdot b_0;$
- 2) $C_1^* = (a_1 \cdot \overline{b_1} \vee \overline{a_1} \cdot b_1) \cdot \overline{\alpha} \vee (a_1 \cdot \overline{b_1} \vee \overline{a_1} \cdot b_1) \cdot \alpha;$
- 3) $\beta = \overline{a_1} \cdot b_1 \vee (\overline{a_1} \vee b_1) \cdot \alpha;$
- 4) $\gamma = (a_2 \cdot \overline{b_2} \vee \overline{a_2} \cdot b_2) \cdot \overline{\beta} \vee (a_2 \cdot \overline{b_2} \vee \overline{a_2} \cdot b_2) \cdot \beta;$
- 5) $\eta = a_2 \overline{b_2} \vee (a_2 \vee \overline{b_2}) \cdot \beta;$
- 6) $C_2^* = (\eta \vee C_0^*) \cdot C_1^*;$
- 7) $p^+ = \eta^-(\gamma \vee C_0^* \cdot C_1^*);$
- 8) $p^- = \eta(\gamma \vee C_1^*);$
- 9) $p = p^+ \vee p^-.$

Здесь и далее все приведённые алгоритмы функционирования блоков описаны в базисе примитивных операций ЦФВУ, таких как инверсия « $\overline{}$ », логическое И « \wedge », логическое ИЛИ « \vee ».

Полученное значение C^* задерживается на такт в регистре P_1 поступает на сумматор C_2 , где складывается с переносом p , и получается значение разности порядков $C = \{C_2, C_1, C_0\}$. Алгоритм суммирования C_2 имеет вид:

- 1) $C_0 = C_0^* \cdot \overline{p} \vee C_0^* \cdot p;$
- 2) $C_1 = C_1^* \cdot \overline{p} \vee (C_1^* \cdot \overline{C_0^*} \vee \overline{C_1^*} \cdot C_0^*) p^+ \vee C_1^* \cdot \overline{C_0^*} \vee \overline{C_1^*} \cdot C_0^* \cdot p^-;$
- 3) $C_2 = (\overline{C_2^*} \vee p) \cdot (\overline{C_2^*} \vee C_0^*) \cdot p^- \vee (C_1^* \cdot C_0^* \vee \overline{C_1^*} \cdot \overline{C_0^*}).$

Далее на регистре P_2 полученное значение C задерживается на такт и поступает на блок MOD для вычисления модуля разности порядка $|\delta\Pi| = \{|\delta\Pi|_2, |\delta\Pi|_1, |\delta\Pi|_0\}$ и знака разности порядков $3\delta\Pi$. MOD работает по следующему алгоритму:

- 1) Вычисление знака разности порядка
 - 1.1) $3\delta\Pi^- = \overline{3\delta\Pi^-} \cdot \overline{C_2} (C_1 \vee C_0) \vee 3\delta\Pi^+ \cdot \overline{y_0};$
 - 1.2) $3\delta\Pi^+ = \overline{3\delta\Pi^+} \cdot C_2 \vee 3\delta\Pi^- \cdot \overline{y_0};$
- Вычисление модуля разности порядка
 - 2.1) $|\delta\Pi|_0 = C_0;$
 - 2.2) $|\delta\Pi|_1 = \overline{C_1} \cdot C_0 \cdot (C_2 \cdot \overline{3\delta\Pi^+} \vee 3\delta\Pi^-) \vee C_1 \cdot (C_0 \cdot (C_2 \cdot \overline{3\delta\Pi^+} \vee 3\delta\Pi^-));$
 - 2.3) $|\delta\Pi|_2 = C_2 \cdot 3\delta\Pi^+ \vee \overline{C_2} \cdot 3\delta\Pi^- \cdot (C_1 \vee C_0).$

На счётчике СЧ полученное значение преобразуется в значение $cod\delta\Pi$, позволяющий в блоке BDM выполнять сдвиг мантиисы на число разрядов, соответствующее $\delta\Pi$. Работу СЧ можно описать следующими отношениями: $|C^i| = 4 * |C^{i-1}| + |C_i|$, $\phi\delta\Pi = (|\delta\Pi| \geq 16)$, где C^i – текущее значение счётчика; C^{i-1} – предыдущее значение счётчика, $\phi\delta\Pi$ – переполнение разности порядков.

Алгоритм работы схемы формирования $cod\delta\Pi$ имеет вид:

- 1) $cod\delta\Pi_2 = C_2 \cdot (\overline{C_2} \vee 3\delta\Pi^+) \cdot \overline{3\delta\Pi^-}$;
- 2) $cod\delta\Pi_1 = C_1 \cdot (\overline{C_2} \vee 3\delta\Pi^+) \cdot \overline{3\delta\Pi^-}$;
- 3) $cod\delta\Pi_0 = C_0 \cdot (\overline{C_2} \vee 3\delta\Pi^-) \cdot 3\delta\Pi^+$.

Блок BDM предназначен для выбора мантиссы большего числа \hat{M} и сдвига мантиссы меньшего числа \check{M} на $cod|\delta\Pi|$ вправо.

Структурная схема BDM изображена на рис. 3.

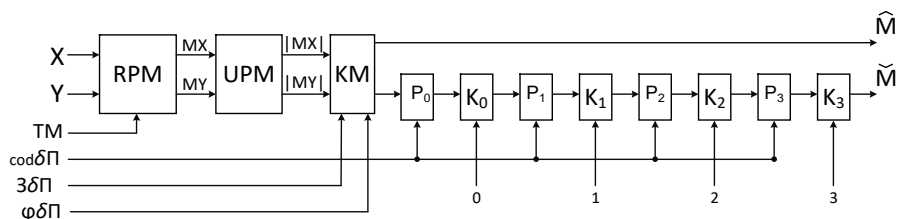


Рис. 3. Структурная схема блока BDM

В блоке RPM из поступающих операндов X и Y выделяются мантиссы (MX , MY) и задерживаются на два такта, что соответствует времени вычисления $3\delta\Pi$ в блоке BDP. Функционально блок RPM состоит из входного и выходного регистров, построенных на D-триггерах и осуществляющих задержку операндов на один такт в каждом, и схемы подготовки мантис, в которой из операндов стробом TM выделяются мантиссы. Строб TM формируется из строба mXY входных операндов X и Y , задержанного на число тактов, равное длине порядка $ПХ(ПУ)$.

В блоке UPM формируются модули мантиссы входных операндов X и Y . Алгоритм формирования модуля мантиссы $|M| = \{M_0, M_1, M_2\}$ описывается следующим алгоритмом:

- 1) $3M^- = 3M^- \cdot Y^0 \vee \overline{3M^+} \cdot MY_2$;
- 2) $3M^+ = 3M^+ \cdot Y^0 \vee \overline{3M^-} \cdot MY_2$;
- 3) $M_2 = 3M^+ \vee \overline{Mi_2} \vee 3M^- \cdot \overline{MY_2} (Mi_1 \vee Mi_0)$;
- 4) $M_1 = (3M^+ \vee \overline{Mi_2} \cdot \overline{3M^-}) Mi_1 \vee (3M^+ \vee \overline{3M^-} \cdot Mi_2) (Mi_1 \neq Mi_0)$;
- 5) $M_0 = Mi_0$,

где $3M^+$, $3M^-$ – соответственно положительный и отрицательный знаки мантиссы, определяемые знаком первого разряда мантиссы; $\{Mi_0, Mi_1, Mi_2\}$ – входные значения разрядов мантиссы.

Далее модули мантиссы операндов $|MX|$, $|MY|$, $3\delta\Pi$ и $\phi\delta\Pi$ поступают в блок KM, где выбираются мантиссы большего и меньшего чисел, чтобы затем на регистрах P_0, P_1, P_2, P_3 и коммутаторах K_0, K_1, K_2, K_3 осуществить сдвиг меньшей мантиссы в соответствии с $cod\delta\Pi$.

В блоке KM определение мантиссы большего и меньшего операнда осуществляется по $3\delta\Pi$ и $\phi\delta\Pi$ в соответствии с алгоритмом:

- 1) $\hat{M} = MX \cdot (3\delta\Pi^+ \vee \overline{3\delta\Pi^-}) \vee MY \cdot \overline{3\delta\Pi^-}$;
- 2) $\check{M} = MX \cdot (\overline{\phi\delta\Pi} \cdot \overline{3\delta\Pi^-}) \vee MY \cdot (3\delta\Pi^- \cdot \overline{3\delta\Pi^+} \vee \overline{3\delta\Pi^+} \cdot \overline{\phi\delta\Pi})$,

где \hat{M} , \check{M} – мантиссы большего и меньшего числа; MX , MY – мантиссы X и Y .

Принцип работы регистров P_0, P_1, P_2, P_3 и коммутаторов K_0, K_1, K_2, K_3 заключается в следующем: четыре последовательных регистра, собранных на D-триггерах, имеют разные задержки, соответствующие весам разрядов: четырехразрядного двоичного числа $cod\delta\Pi$ и равные 1, 2, 4, 8 тактов. Подавая разряды $cod\delta\Pi$ на коммутаторы соответствующих регистров, осуществляется задержка на каждом регистре, и в сумме общая задержка на всех регистрах будет составлять $|\delta\Pi|$. Общий алгоритм функционирования коммутатора приведен ниже:

- 1) $K_0: DP_1 = P_0 \cdot cod\delta\Pi_0 \vee \check{M} \cdot \overline{cod\delta\Pi_0}$;

$$2) K_j: DP_{j+1} = P_j \cdot \text{cod}\delta\Pi_j \vee DP_j \cdot \overline{\text{cod}\delta\Pi_j}, \quad i = 1, 2, 3,$$

где DP_{j+1} – значения на выходе j -го коммутатора;

DP_1 – значение на выходе 1-го коммутатора;

P_j – значение на выходе j -го регистра.

Блок СММ (рис. 4) предназначен для суммирования мантисс, поступающих с блока выравнивания порядков, и описывается следующей формулой:

$$MZ = \hat{M} + \check{M},$$

где MZ – результирующая мантисса;

\hat{M} – мантисса большего числа;

\check{M} – мантисса меньшего числа, приведённая к порядку большего.

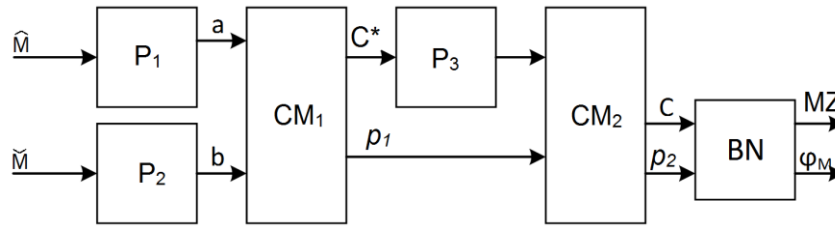


Рис. 4. Структурная схема блока СММ

Мантиссы большего и меньшего операндов на регистрах P_1 и P_2 задерживаются на один такт, а затем поступают на сумматор CM_1 . Результат C^* сумматора CM_1 задерживается на один такт на регистре P_3 , а затем на сумматоре CM_2 складывается с переносом p_1 . Полученный результат C затем нормализуется на блоке нормализации BN переносом p_2 .

Алгоритм сумматора CM_1 подобен алгоритму сумматора C_1 блока BDP , только здесь вместо вычитания выполняется суммирование:

- 1) $C_0^* = (\bar{a}_0 \cdot b_0 \vee a_0 \cdot \bar{b}_0)$; $\alpha = a_0 \cdot b_0$;
 $C_1^* = ((\bar{a}_1 \cdot b_1 \vee a_1 \cdot \bar{b}_1) \cdot \bar{\alpha}) \vee ((\bar{a}_1 \cdot b_1 \vee a_1 \cdot \bar{b}_1) \cdot \alpha)$; $\beta = a_1 \cdot b_1 \vee (\bar{a}_1 \cdot b_1 \vee a_1 \cdot \bar{b}_1) \cdot \alpha$;
- 2) $C_2^* = C_1^* \cdot (C_0^* \vee \bar{\beta} \cdot (a_2 \vee b_2 \vee a_2 \cdot b_2))$;
- 3) $p_1^+ = \bar{a}_2 \cdot \bar{b}_2 \cdot (\beta \vee C_1^* \cdot C_0^*)$;
- 4) $p_1^- = (a_1 \cdot b_1 \cdot \alpha)(a_2 \cdot b_2) + (\bar{a}_1 \cdot \bar{b}_1 \cdot \bar{\alpha})(a_2 \vee b_2)$;
- 5) $p = p^+ \vee p^-$.

Сумматор CM_2 полностью соответствует сумматору C_2 в блоке BDP .

Блок нормализации BN предназначен для нормализации результата на один разряд при положительном и отрицательном переполнении мантиссы. Алгоритм нормализации записывается следующим образом:

- 1) $D\varphi^+ = p_2$;
- 2) $D\varphi^- = (C^i = 0) \cdot \overline{D\varphi^+}$;
- 3) $MZ^i = C^i \cdot D\varphi^- \vee C^{i-1} (\overline{D\varphi^+ \vee D\varphi^-}) \vee C^{i-2} \cdot D\varphi^+$,

где C^i – i -й разряд мантиссы результата C ;

$D\varphi^+$ – признак положительного переполнения мантиссы;

$D\varphi^-$ – признак отрицательного переполнения мантиссы.

Формирование порядка результата в блоке BP выполняется по формуле

$$\Pi Z = \hat{\Pi} + \delta\Pi + \varphi_M.$$

Пока $\delta\Pi_i = 0$, i -му разряду порядка результата ΠZ_i присваивается значение соответствующего разряда порядка большего числа $\hat{\Pi}$. Если $\delta\Pi_i < 0$, то $\Pi Z_i = \hat{\Pi}_i$, а для $i+1$ разряда проверяется условие $(\exists \delta\Pi^- \vee \exists \delta\Pi^+) = 1$ и $\Pi Z_{i+1} = \hat{\Pi}_{i+1}$. Во всех остальных случаях $\Pi Z_i = \hat{\Pi}_i + \delta\Pi_i$. Затем выполняется коррекция порядка разрядом переполнения мантиссы φ_M .

Структурная схема блока ВР представлена на рис. 5.

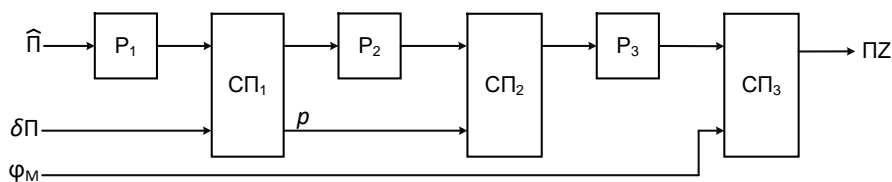


Рис. 5. Структурная схема блока ВР

Порядок \hat{P} задерживается на регистре P_1 на один такт для синхронизации с δP , а затем складывается на сумматоре $СП_1$ с δP . Промежуточный результат суммы задерживается на регистре P_2 на один такт для синхронизации с переносом p , а затем складывается на сумматоре $СП_2$ с p . Результат сумматора $СП_2$ задерживается на три такта на регистре P_3 , а затем на сумматоре $СП_3$ складывается с переполнением мантиссы φ_M , тем самым выполняя коррекцию порядка. Сумматоры $СП_1$, $СП_2$ и $СП_3$ полностью соответствуют сумматору C_2 блока ВDP.

Блок ВR осуществляет синхронизацию MZ и $ПZ$, а также формирует результат Z . Время формирования зависит от разрядности r обрабатываемых операндов X и Y , которая определяется как сумма разрядности порядка результата ($rПZ$) и разрядности мантиссы результата (rMZ). Момент формирования Z определяется стробом входных данных mXY , задержанным в блоке ВR на число тактов, равное латентности формирования $ПZ$. Сначала на выход Z коммутируется шина $ПZ$, а затем – шина MZ по алгоритму:

- 1) $CЧ_Z = \begin{cases} 0, & \text{если } mXY = 1 \\ CЧ_Z + 1, & \text{если иначе} \end{cases}$;
- 2) $mZ = (CЧ_Z=0)$;
- 3) $Z = ПZ$, если $0 \leq CЧ_Z \leq rПZ$;
- 4) $Z = MZ$, если $rПZ \leq CЧ_Z \leq rПZ + rMZ - 1$;
- 5) $Z = 0$, если $CЧ_Z \geq (rПZ + rMZ)$.

На рис. 6 представлена временная диаграмма разработанного сумматора.

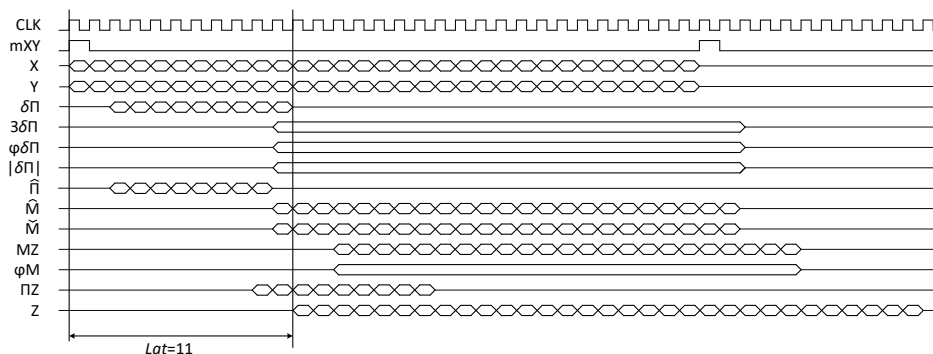


Рис. 6. Временная диаграмма работы последовательного знакоразрядного сумматора ЦФVУ в формате с плавающей запятой

Применение в ЦФVУ последовательных вычислений старшими разрядами вперед позволяет создать знакоразрядный сумматор в формате с плавающей запятой с латентностью 11 тактов, что, например, меньше латентности параллельного двоичного сумматора (12 тактов). Более того, латентность сумматора можно снизить, если перейти к обработке операндов с порядками меньшей разрядности. Это особенно важно для оптимизации аппаратных затрат на синхронизацию вычислений в ЦФVУ при реализации вычислительных структур решения задач.

Оценка эффективности. Точность представления информации в знакоразрядной системе счисления несколько отличается от точности операций в традиционной бинарной арифметике, как целочисленной, так и с плавающей запятой [15, 16]. Так, в четверичной знакоразрядной системе счисления для обеспечения одинаковых с обычной двоичной системой диапазонов и точности представления чисел требуется в два раза больше бит, которые необходимы как для покрытия избыточности знакоразрядной системы, так и для обеспечения требуемой точности. Однако значительным преимуществом при выполнении знакоразрядных операций является почти в два раза меньшая разрядность кодов промежуточных значений [17]. Кроме того, при представлении операндов, например для рассмотренного в статье знакоразрядного сумматора в формате с плавающей запятой, используются прямая кодировка разрядов для положительных чисел и дополнительная кодировка для отрицательных, за счёт чего достигается большая простота последовательного суммирования по сравнению с параллельным устройством.

Для оценки эффективности применения в ЦФВУ четверичной знакоразрядной системы счисления был реализован 40-разрядный сумматор в базе примитивов ЦФВУ на реконфигурируемом компьютере «Терциус 3», построенном на FPGA XCVU095 [18]. Примитивы ЦФВУ, предположительно, могут содержать только двухместные логические функции и D-триггеры. Также были учтены ограничения ЦФВУ по разветвленности сигналов (fanout) и глубине логики.

На «Терциус 3» тактовая частота реализации составила $\nu = 500$ МГц. Поскольку сумматор обрабатывает 40-разрядные операнды последовательно, то скажность подачи данных составила $S = 40$. Производительность сумматора $P = \nu/S$ составила 12,5 МФлопс.

Сравнение точности вычислений на знакоразрядном сумматоре с двоичным параллельным суммированием в стандарте IEEE754 на случайных числах в диапазоне от 10^{-6} до 10^6 показало среднюю погрешность вычислений 0,015%, а максимальная погрешность составила 0,12%. Таким образом, использование знакоразрядной системы счисления в ЦФВУ потенциально позволяет решать вычислительно-трудоемкие задачи, требующие высокой точности вычислений. Следует отметить, что переход на знакоразрядную систему счисления потребует переработки элементарных арифметико-логических операций, таких как умножение, деление, извлечение корня и других, что влечет за собой необходимые изменения математических алгоритмов решения трудоёмких задач в связи с изменениями в точности выполнения операций.

Однако тактовая частота ЦФВУ [19] предполагается в районе 1 ТГц, соответственно производительность знакоразрядного сумматора на ЦФВУ составит около 25 ГФлопс. В то же время производительность эквивалентного по точности двоичного параллельного 32-разрядного сумматора IEEE754 [20] на «Терциус 3» на частоте $\nu = 500$ МГц составляет 0,5 ГФлопс. При этом затраты логических элементов и триггеров FPGA на реализацию знакоразрядного сумматора в базе ЦФВУ примерно в 3,5 раза ниже, чем на реализацию параллельного двоичного сумматора IEEE754. Поэтому реальное ускорение ЦФВУ относительно FPGA составит примерно 175 раз.

Исследование выполнено в рамках научной программы Национального центра физики и математики, направление №1 «Национальный центр исследования архитектур суперкомпьютеров. Этап 2023–2025».

БИБЛИОГРАФИЧЕСКИЙ СПИСОК

1. *Bérut Antoine.* Information and Thermodynamics: Experimental Verification of Landauer's Principle Linking Information and Thermodynamics. – URL: <https://arxiv.org/pdf/1503.06537.pdf> (дата обращения: 28.10.2022).
2. 10 лет до 10 нм: закон Мура все ещё работает // PCNews, 12.07.2008. – URL: <http://pcnews.ru/news/10-channalweb-intel-pat-gelsinger-100-tsmc-45-2009-1965-33-1971-1978-1989-1997-25-2005-65-pentium-233904.html> (дата обращения: 28.10.2022).
3. *Cerofolini C.F., Mascolo D.* Hybrid Route From CMOS to Nano and Molecular Electronics // Nanotechnology for electronic materials and devices. – Springer Science+Business Media, LLC, 2007. – P. 1-65.
4. *Степаненко С.А.* Фотонный компьютер: структура и алгоритмы, оценки параметров // Фотоника. – 2017. – № 7/67. – DOI: 10.22184/1993-7296.2017.67.7.72.83.

5. *Сорокин Д.А., Левин И.И., Касаркин А.В.* Перспективная архитектура цифровой фотонной вычислительной машины // Известия ЮФУ. Технические науки. – 2022. – № 4 (2022). – С. 200-212. – DOI 10.18522/2311–3103 2022.
6. *Sorokin D.A., Kasarkin A.V., Podoprigora A.V.* Elements of a Digital Photonic Computer // Supercomputing Frontiers and Innovations. – 2023. – Vol. 10, No. 2. – P. 62-76. – DOI: <https://doi.org/10.14529/jsfi230205>.
7. *Сорокин Д.А., Левин И.И., Касаркин А.В.* Обзор моделей коммутационных подсистем цифровых фотонных вычислительных устройств // Известия ЮФУ. Технические науки. – 2024. – № 5 (2024). – С. 173-185. – DOI 10.18522/2311–3103–2024–5–185–194.
8. *Каляев А.В., Левин И.И.* Модульно-наращиваемые многопроцессорные системы со структурно-процедурной организацией вычислений. – М.: Янус-К, 2003. – 380 с.
9. *Сергеев А.М.* Об особенностях представления чисел при знакоразрядном кодировании и вычислительный эксперимент с ними // Информационно-управляющие системы. – 2006. – № 3 (22). – С. 56-58.
10. *Евстигнеев В.Г.* Недвоичные компьютерные арифметики // Электроника и информатика. – 2005: Междунар. науч.-техн. конф. – М.: Ангстрем, 2006. – 774 с.
11. *Орлов Дмитрий.* Влияние ошибок округления на результаты алгоритмов вычислительной геометрии // Лекция 2 Проблемы организации вычислений. Национальный исследовательский университет «МЭИ» Кафедра Вычислительных машин, систем и сетей.
12. *Каляев А.В.* Многопроцессорные системы с программируемой архитектурой. – М.: Радио и связь, 1984. – 240 с.
13. *Каляев А.В., Левин И.И.* Многопроцессорные системы с перестраиваемой архитектурой: концепции развития и применения // Наука – производству. – 1999. – № 11. – С. 11-19.
14. *Amir Kaivani, Seokbum Ko.* Floating-Point Butterfly Architecture Based on Binary Signed-Digit Representation // IEEE transactions on very large scale integration (VLSI) systems. – March 2016. – Vol. 24, No. 3.
15. *Kung H.T.* Harvard University. High-order-bit First Conversion for Signed-Digit Representations // Annual GOMACTech Conference. – IEEE, 2021.
16. *Arash Eghdamian, Azman Samsudin.* An Improved Signed Digit Representation of Integers // Indian Journal of Science and Technology. – October 2017. – Vol 10 (39). – DOI: 10.17485/ijst/2017/v10i39/119863. – ISSN (Print): 0974–684. – ISSN (Online): 0974–5645.
17. *Andrew G Dempster, Malcolm David Macleod.* Generation of Signed-Digit Representations for Integer Multiplication // Signal Processing Letters, IEEE September 2004. – DOI: 10.1109/LSP.2004.831725.
18. UltraScale FPGA Product Tables and Product Selection Guide. – Режим доступа: <https://docs.amd.com/v/u/en-US/ultrascale-fpga-product-selection-guide> (дата обращения: 18.06.2025).
19. *Степаненко С.А.* Фотонная вычислительная машина. Принципы реализации. Оценки параметров // Доклады Академии наук. – 2017. – Т. 476, № 4. – С. 389-394. – DOI: 10.1134/S1064562417050234.
20. IEEE Standard for Floating-Point Arithmetic. – Режим доступа: <https://ieeexplore.ieee.org/document/8766229> (дата обращения: 18.06.2025).

REFERENCES

1. *Bérut Antoine.* Information and Thermodynamics: Experimental Verification of Landauer’s Principle Linking Information and Thermodynamics. Available at: <https://arxiv.org/pdf/1503.06537.pdf> (accessed 28 October 2022).
2. 10 let do 10 nm: zakon Mura vse eshche rabotaet [10 years to 10 nm: Moore's Law still works], *PCNews*, 12.07.2008. Available at: <http://pcnews.ru/news/10-channalweb-intel-pat-gelsinger-100-tsmc-45-2009-1965-33-1971-1978-1989-1997-25-2005-65-pentium-233904.html> (accessed 28 October 2022).
3. *Cerofolini C.F., Mascolo D.* Hybrid Route From CMOS to Nano and Molecular Electronics, *Nanotechnology for electronic materials and devices*. Springer Science+Business Media, LLC, 2007, pp. 1-65.
4. *Stepanenko S.A.* Fotonnyy komp'yuter: struktura i algoritmy, otsenki parametrov [Photonic computer: structure and algorithms, parameter estimates], *Fotonika* [Photonics], 2017, No. 7/67. DOI: 10.22184/1993–7296.2017.67.7.72.83.
5. *Sorokin D.A., Levin I.I., Kasarkin A.V.* Perspektivnaya arkhitektura tsifrovoy fotonnoy vy-chislitel'noy mashiny [Promising architecture of a digital photonic computing machine], *Izvestiya YuFU. Tekhnicheskie nauki* [Izvestiya SFedU. Engineering Sciences], 2022, No. 4 (2022), pp. 200-212. DOI 10.18522/2311–3103 2022.
6. *Sorokin D.A., Kasarkin A.V., Podoprigora A.V.* Elements of a Digital Photonic Computer, *Supercomputing Frontiers and Innovations*, 2023, Vol. 10, No. 2, pp. 62-76. DOI: <https://doi.org/10.14529/jsfi230205>.

7. Sorokin D.A., Levin I.I., Kasarkin A.V. Obzor modeley kommutatsionnykh podsystem tsifrovyykh fotonnykh vychislitel'nykh ustroystv [Review of models of switching subsystems of digital photonic computing devices], *Izvestiya YuFU. Tekhnicheskie nauki* [Izvestiya SFedU. Engineering Sciences], 2024, No. 5 (2024), pp. 173-185. DOI 10.18522/2311-3103-2024-5-185-194.
8. Kalyaev A.V., Levin I.I. Modul'no-narashchivaemye mnogoprotsessornye sistemy so strukturno-protsedurnoy organizatsiye vychisleniy [Modularly scalable multiprocessor systems with structural-procedural organization of computations]. Moscow: Yanus-K, 2003, 380 p.
9. Sergeev A.M. Ob osobennostyakh predstavleniya chisel pri znakorazryadnom kodirovani i vychislitel'nyu eksperiment s nimi [On the features of number representation with sign-based coding and a computational experiment with them], *Informatsionno-upravlyayushchie sistemy* [Information and Control Systems], 2006, No. 3 (22), pp. 56-58.
10. Evstigneev V.G. Nedvoichnye komp'yuternye arifmetiki [Non-binary computer arithmetic], *Elektronika i informatika*, 2005: Mezhdunar. nauch.-tekhn. konf. [Electronics and Information Technology – 2005: International Scientific and Technical Conference]. Moscow: Angstrom, 2006, 774 p.
11. Orlov Dmitriy. Vliyaniye oshibok okrugleniya na rezul'taty algoritmov vychislitel'noy geometrii [The influence of rounding errors on the results of computational geometry algorithms], *Lektsiya 2 Problemy organizatsii vychisleniy. Natsional'nyy issledovatel'skiy universitet «MEI» Kafedra Vychislitel'nykh mashin, sistem i setey* [Lecture 2. Problems of computing organization. National Research University "MPEI" Department of Computing Machines, Systems and Networks].
12. Kalyaev A.V. Mnogoprotsessornye sistemy s programmiruemoi arkhitekturoy [Multiprocessor systems with programmable architecture]. Moscow: Radio i svyaz', 1984, 240 p.
13. Kalyaev A.V., Levin I.I. Mnogoprotsessornye sistemy s perestraivaemoi arkhitekturoy: kontseptsii razvitiya i primeneniya [Multiprocessor systems with reconfigurable architecture: concepts of development and application], *Nauka – proizvodstvu* [Science – production], 1999, No. 11, pp. 11-19.
14. Amir Kaivani, Seokbum Ko. Floating-Point Butterfly Architecture Based on Binary Signed-Digit Representation, *IEEE transactions on very large scale integration (VLSI) systems*, March 2016, Vol. 24, No. 3.
15. Kung H.T. Harvard University. High-order-bit First Conversion for Signed-Digit Representations, *Annual GOMACTech Conference. IEEE*, 2021.
16. Arash Eghdamian, Azman Samsudin. An Improved Signed Digit Representation of Integers, *Indian Journal of Science and Technology*, October 2017, Vol 10 (39). DOI: 10.17485/ijst/2017/v10i39/119863. – ISSN (Print): 0974-684. – ISSN (Online): 0974-5645.
17. Andrew G Dempster, Malcolm David Macleod. Generation of Signed-Digit Representations for Integer Multiplication, *Signal Processing Letters, IEEE September 2004*. DOI: 10.1109/LSP.2004.831725.
18. UltraScale FPGA Product Tables and Product Selection Guide. Available at: <https://docs.amd.com/v/u/en-US/ultrascale-fpga-product-selection-guide> (accessed 18 June 2025).
19. Stepanenko S.A. Fotonnaya vychislitel'naya mashina. Printsipy realizatsii. Otsenki parametrov [Photonic computing machine. Implementation principles. Parameter estimates], *Doklady Akademii nauk* [Reports of the Academy of Sciences], 2017, Vol. 476, No. 4, pp. 389-394. DOI: 10.1134/S1064562417050234.
20. IEEE Standard for Floating-Point Arithmetic. Available at: <https://ieeexplore.ieee.org/document/8766229> (accessed 18 June 2025).

Сорокин Дмитрий Анатольевич – НИЦ супер-ЭВМ и нейрокомпьютеров; e-mail: jotun@inbox.ru; г. Таганрог, Россия; тел.: +79508668253; начальник отдела; к.т.н.

Левин Илья Израилевич – НИЦ супер-ЭВМ и нейрокомпьютеров; г. Таганрог, Россия; e-mail: levin@superevm.ru; тел.: +78634612111; директор; д.т.н.; профессор.

Sorokin Dmitriy Anatolyevich – Supercomputers and Neurocomputers Research Center; e-mail: jotun@inbox.ru; Taganrog, Russia; phone: +79508668253; chief of Department; cand. of eng. sc.

Levin Ilya Izrailevich – Supercomputers and Neurocomputers Research Center; e-mail: levin@superevm.ru; Taganrog, Russia; phone: +78634612111; director Supercomputers and Neurocomputers Research Center; dr.of eng. sc.; professor.

Д.Ю. Денисенко, Н.Н. Прокопенко, Ю.И. Иванов, Д.В. Кузнецов

**ДИСКРЕТНО-АНАЛОГОВЫЙ ФИЛЬТР ВТОРОГО ПОРЯДКА
НА ПЕРЕКЛЮЧАЕМЫХ КОНДЕНСАТОРАХ С ПЕРЕСТРОЙКОЙ ЧАСТОТЫ
ПОЛЮСА ЦИФРОВЫМ ПОТЕНЦИОМЕТРОМ**

Разработан и исследован дискретно-аналоговый фильтр второго порядка на двух частото- задающих конденсаторах. Предлагаемая схема содержит два входа (In_LPF_HPF , In_BPF_NPF) и четыре выхода (Out_LPF , Out_BPF , Out_HPF , Out_NPF). Тип фильтра (числитель передаточной функции) определяется путем подключения к соответствующему входу схемы источника сигнала и съема сигнала с соответствующего выхода. Затухание полюса зависит от сопротивления одного резистора $R5$, который не влияет на другие параметры. Поэтому затухание полюса может перестраиваться с помощью этого резистора. Для установления коэффициента передачи в полосе пропускания на заданном уровне в ФНЧ и ФВЧ целесообразно использовать резистор $R1$, а для ПФ и РФ – резистор $R2$. Изменение данных резисторов не будет вызывать изменения других параметров схемы фильтра. Установлено, что частота полюса зависит от сопротивления резистора $R8$ или цифрового потенциометра $K_{dp}(K_f)$, коэффициент передачи которого может изменяться путем изменения двоичного цифрового кода K_f , подаваемого на его управляющие входы, а остальные параметры звена фильтра от них не зависят, поэтому путем изменения сопротивления этого резистора или коэффициента передачи цифрового потенциометра частота полюса может перестраиваться в широком диапазоне при сохранении других параметров. Компьютерное моделирование исследуемого дискретно-аналогового фильтра выполнено в среде Micro-Cap. Приведены последовательности импульсов, управляющих электронными ключами. Показаны графики выходных напряжений на выходах схемы (Out_LPF , Out_BPF , Out_HPF , Out_NPF). Применение цифрового потенциометра в схеме фильтра крайне перспективно при построении адаптивных систем обработки сигналов.

Операционный усилитель; частотозадающий конденсатор; перестройка частоты полюса; цифровой потенциометр; компьютерное моделирование; MicroCap.

D.Yu. Denisenko, N.N. Prokopenko, Y.I. Ivanov, D.V. Kuznetsov

**DISCRETE-ANALOGUE FILTER OF THE SECOND ORDER ON SWITCHED
CAPACITORS WITH TUNING OF POLE FREQUENCY BY DIGITAL
POTENTIOMETER**

A discrete-analogue filter of the second order on two frequency-switching capacitors is developed and investigated. The proposed circuit contains two inputs (In_LPF_HPF , In_BPF_NPF) and four outputs (Out_LPF , Out_BPF , Out_HPF , Out_NPF). The filter type (numerator of the transfer function) is determined by connecting a signal source to the corresponding input of the circuit and taking a signal from the corresponding output. The pole attenuation depends on the resistance of a single resistor $R5$, which does not affect the other parameters. Therefore, the pole attenuation can be tuned using this resistor. To set the passband gain at a given level, it is appropriate to use resistor $R1$ in the LPF and HPF, and resistor $R2$ for the BPF and NPF. Changing these resistors will not cause changes in other parameters of the filter circuit. It is established that the pole frequency depends on the resistance of the resistor $R8$ or digital potentiometer $K_{dp}(K_f)$, the transmission coefficient of which can be changed by changing the binary digital code K_f , fed to its control inputs, and the other parameters of the filter link do not depend on them, so by changing the resistance of this resistor or the transmission coefficient of the digital potentiometer the pole frequency can be tuned in a wide range while preserving other parameters. Computer modelling of the investigated discrete-analogue filter is performed in Micro-Cap environment. The sequences of pulses controlling electronic keys are given. Graphs of output voltages at the circuit outputs (Out_LPF , Out_BPF , Out_HPF , Out_NPF) are shown. The application of a digital potentiometer in the filter circuit is extremely promising in the construction of adaptive signal processing systems.

Operational amplifier; frequency reference capacitor; pole frequency tuning; digital potentiometer; computer modeling; MicroCap.

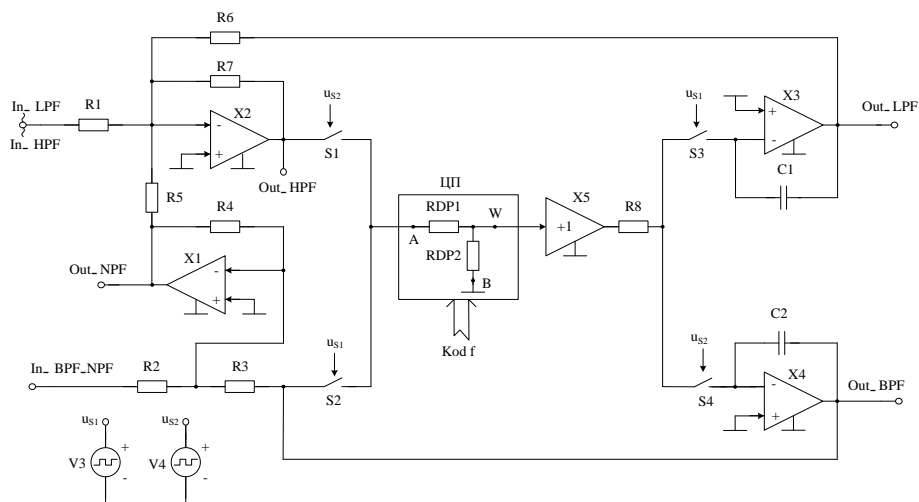


Рис. 2. Схема нового дискретно-аналогового фильтра [19]

Основные уравнения дискретно-аналогового фильтра второго порядка при двух частотоподающих конденсаторах. При частоте переключения электронных ключей S1, S2, S3, S4, намного превышающей частоту полюса фильтра второго порядка, его свойства можно описать передаточной функцией [19]

$$W(p) = M \frac{\alpha_2 p^2 + \alpha_1 p \omega_p d_p + \alpha_0 \omega_p^2}{p^2 + p \omega_p d_p + \omega_p^2}, \quad (1)$$

причем наличие коэффициентов α_i (принимающих логические значения равные 0 и 1) в числителе передаточной функции определяют тип фильтра. У ФНЧ $\alpha_2 = \alpha_1 = 0$, ФВЧ $\alpha_1 = \alpha_0 = 0$, ПФ $\alpha_2 = \alpha_0 = 0$ и у РФ $\alpha_1 = 0$, остальные, соответственно, равны 1.

В формуле (1) приняты следующие обозначения: M – коэффициент передачи фильтра в полосе пропускания, ω_p – частота полюса, d_p – затухание полюса.

В результате анализа схемы на рис. 2 были найдены следующие формулы, связывающие коэффициенты передаточной функции с параметрами элементов:

- ♦ для частоты полюса

$$\omega_p = \frac{K_{dp}(K_f) \sqrt{\tau_1 \tau_2}}{R_8 T} \sqrt{\frac{R_7}{R_6} \frac{1}{\sqrt{C_1 C_2}}}, \quad (2)$$

- ♦ для затухания полюса

$$d_p = \frac{R_4 R_7}{R_3 R_5} \sqrt{\frac{R_6}{R_7}} \sqrt{\frac{C_2}{C_1}} \sqrt{\frac{\tau_1}{\tau_2}}, \quad (3)$$

где T – период переключения электронных ключей, τ_1 – время замкнутого состояния электронных ключей S1 и S4, τ_2 – время замкнутого состояния электронных ключей S2 и S3 в течение периода переключения, $f_s = 1/T$ – частота переключения, $K_{dp}(K_f)$ – коэффициент передачи цифрового потенциометра, C1, C2 – ёмкости конденсаторов C1, C2.

Независимо от типа фильтра параметры знаменателей их передаточных функций не изменяются, поэтому выражения (2) и (3) справедливы для всех типов фильтров, реализуемых звеном.

Для ФНЧ входом является (In_LPF), а выходом (Out_LPF). Коэффициент передачи ФНЧ в полосе пропускания (на нулевой частоте)

$$M = -\frac{R_6}{R_1}, \quad (4)$$

а на частоте полюса

$$M_{\omega_p} = -\frac{R_6 R_3 R_5}{R_1 R_4 R_7} \sqrt{\frac{R_7}{R_6}} \sqrt{\frac{C_1}{C_2}} \sqrt{\frac{\tau_2}{\tau_1}}. \quad (5)$$

Для ФВЧ входом является (In_NPF), а выходом (Out_NPF). Коэффициент передачи ФВЧ в полосе пропускания (на большой частоте)

$$M = -\frac{R_6}{R_1}, \quad (6)$$

а на частоте полюса

$$M_{\omega_p} = -\frac{R_6 R_3 R_5}{R_1 R_4 R_7} \sqrt{\frac{R_7}{R_6}} \sqrt{\frac{C_1}{C_2}} \sqrt{\frac{\tau_2}{\tau_1}}. \quad (7)$$

Для ПФ входом является (In_BPF), а выходом (Out_BPF). Коэффициент передачи ПФ в полосе пропускания равен коэффициенту передачи на частоте полюса

$$M = M_{\omega_p} = -\frac{R_3}{R_2}. \quad (8)$$

Для РФ входом является (In_NPF), а выходом (Out_NPF). Коэффициент передачи РФ в двух полосах пропускания на нулевой и большой частотах равны между собой и определяются одной формулой

$$M = -\frac{R_4}{R_2}, \quad (9)$$

а на частоте полюса – равен нулю, т.е. $M_{\omega_p} = 0$.

При проектировании схемы фильтра удобно выбирать следующие параметры его элементов: $C_1 = C_2 = C$, $\tau_1 = \tau_2 = \tau$, $R_6 = R_7$, $R_3 = R_4$. В этом случае формулы для нахождения частоты (2) и затухания (3) полюса упрощаются:

$$\omega_p = K_{dp}(K_f) \frac{\tau}{T} \frac{1}{R_8 C}, \quad (10)$$

$$d_p = \frac{R_7}{R_5}. \quad (11)$$

Анализ приведенных выше формул показывает, что частота полюса зависит от сопротивления резистора R_8 и коэффициента передачи цифрового потенциометра $K_{dp}(K_f)$, коэффициент передачи которого может изменяться путем изменения двоичного цифрового кода K_f , подаваемого на его управляющие входы, а остальные параметры звена фильтра от них не зависят, поэтому путем изменения сопротивления этого резистора или коэффициента передачи цифрового потенциометра частота полюса может перестраиваться в широком диапазоне при сохранении других параметров. При проектировании фильтров высокого порядка в некоторых звеньях второго порядка требуется реализовать большую добротность, при этом затухание в фильтре должно быть меньше единицы, но оно всегда должно быть больше нуля, поэтому при реализации фильтров с их устойчивостью не возникает проблем.

Компьютерное моделирование дискретно-аналогового фильтра второго порядка на двух частотозадающих конденсаторах. На рис. 3 представлена схема нового фильтра рис. 2 [19] для моделирования в среде Micro-Cap [20].

В соответствии с последовательностью управляющих импульсов, показанной на рис. 4, в схеме в течение периода переключения ключей, равном 1 мкс, сначала одновременно замыкаются ключи S3 и S4, а затем S1 и S2. Причем время замкнутого состояния ключей за период выбрано равным 0,45 мкс, и не должно превышать половины периода $T/2$.

С учетом указанных на схеме рис. 3 параметров элементов и параметров управляющих импульсов на рис. 5, а также выше приведенных формул, частота полюса равна $f_p = 10000$ Гц, которая находится из соотношения

$$f_p = \omega_p / 2\pi. \quad (12)$$

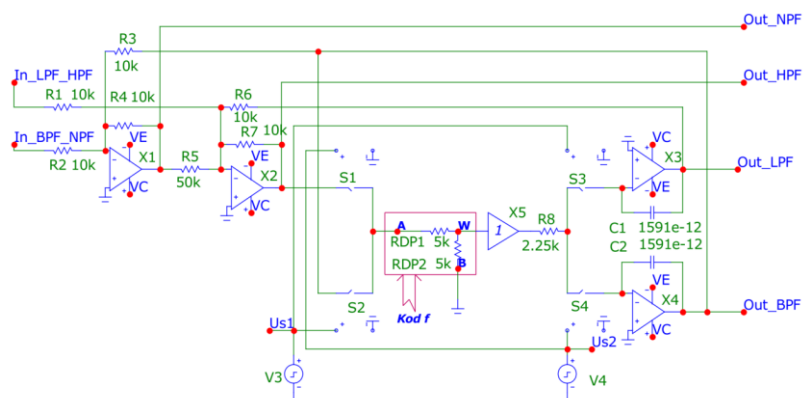


Рис. 3. Схема ДАФ (рис. 2) для моделирования в среде Micro-Cap

На рис. 4 показаны последовательности импульсов, управляющих электронными ключами в схеме рис. 3.

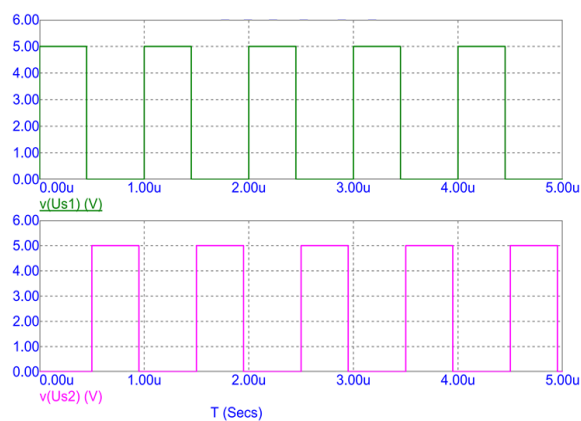


Рис. 4. Последовательности импульсов для управления электронными ключами

На рис. 5 показаны графики выходных напряжений на выходах схемы (Out_HPF) и (Out_LPF) при подключении источника сигнала к входу (In_LPF_HPF) с амплитудой 1В и частотой 10000 Гц.

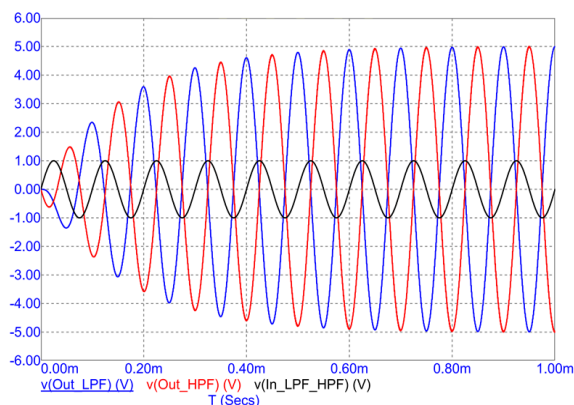


Рис. 5. Графики выходных напряжений на выходах схемы (Out_HPF) и (Out_LPF) при подключении источника сигнала к входу (In_LPF_HPF) с амплитудой 1В и частотой 10000 Гц

Из анализа графиков на рис. 5 следует, что коэффициенты передач схемы на частоте полюса равны 5, это подтверждается и формулами (3), (5) и (7), которые показывают, что при выбранных параметрах элементов затухание полюса равно $d_p=0,2$, а коэффициенты передач для обоих выходов ФНЧ и ФВЧ на частоте полюса $M_{\omega_p} = 5$.

На рис. 6 показаны аналогичные графики при частотах входного сигнала в 10 раз ниже и выше частоты полюса. Из анализа графиков, приведенных на рис. 6 следует, что с уменьшением частоты входного сигнала коэффициент передачи ФНЧ стремится к единице, а у ФВЧ значительно уменьшается, а на более высоких частотах наоборот, коэффициент передачи ФВЧ стремится к единице, а у ФВЧ значительно уменьшается.

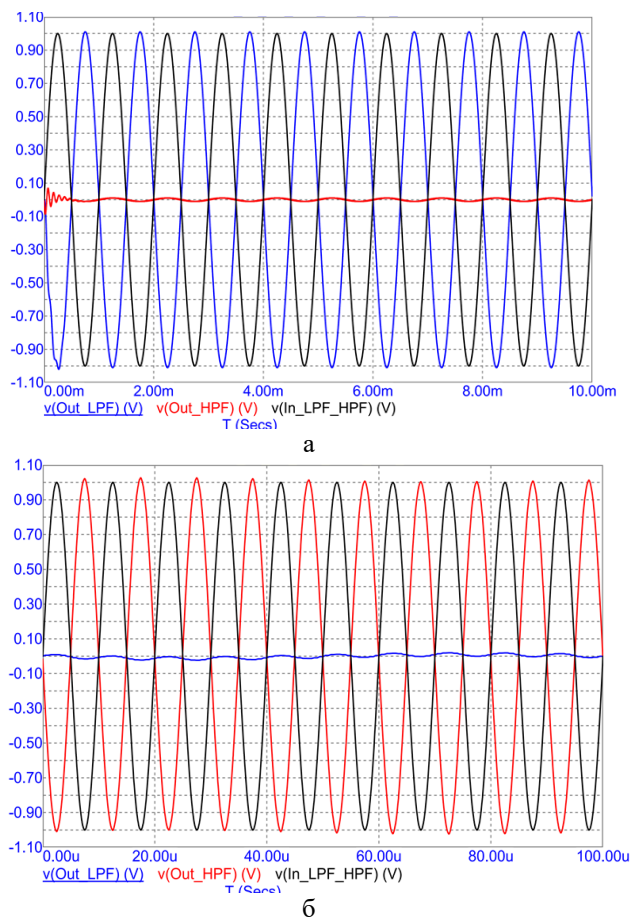


Рис. 6. Графики выходных напряжений на выходах (Out_HPF , Out_LPF) при частотах входного сигнала в 10 раз ниже (а) и выше (б) частоты полюса

На рис. 7 показаны графики выходных напряжений на выходах схемы (Out_BPF) и (Out_NPF) при подключении источника сигнала ко входу (In_BPF_NPF) с амплитудой 1В и частотой 10000 Гц.

Анализ графиков выходных напряжений на рис. 7 показывает, что коэффициент передачи ПФ на частоте полюса равен единице, а РФ – близок к нулю, что подтверждается также расчетными формулами для этих выходов, приведенных выше.

На рис. 8 показаны аналогичные графики при частоте ниже частоты полюса и выше частоты полюса в 10 раз соответственно. Анализ графиков на рис. 8 показывает, что при уменьшении и увеличении частоты входного сигнала коэффициенты передач РФ стремятся к единице, а у ПФ значительно уменьшаются, что соответствует формулам (8) и (9).

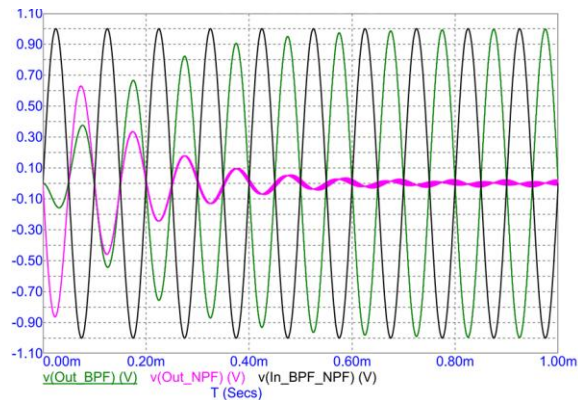
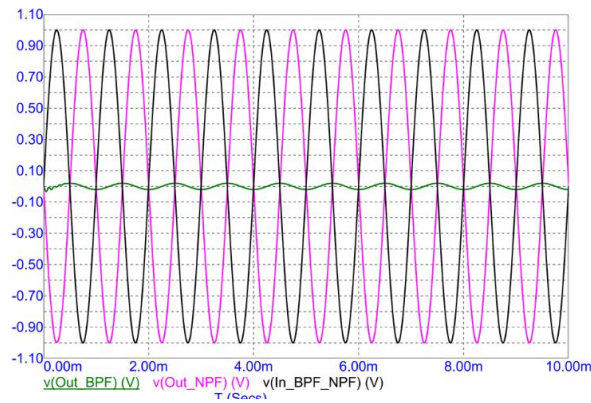
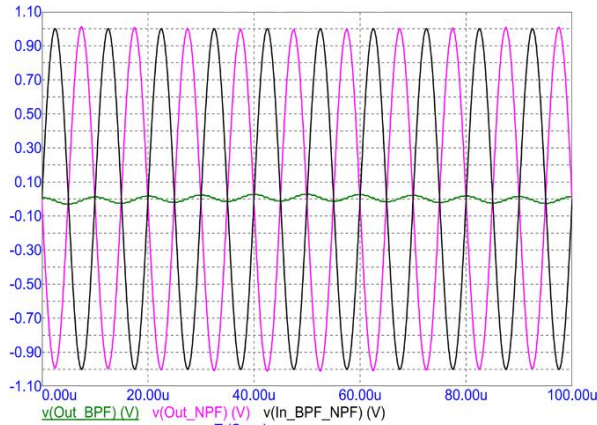


Рис. 7. Графики выходных напряжений на выходах схемы (Out_BPF) и (Out_NPF) при подключении источника сигнала к входу (In_BPF_NPF) с амплитудой 1В и частотой 10000 Гц



а



б

Рис. 8. Графики выходных напряжений на выходах схемы (Out_BPF , Out_NPF) при частоте ниже (а) и выше (б) частоты полюса в 10 раз

Все вышеприведенные графики выходных напряжений получены при коэффициенте передаче цифрового потенциометра K_{dp} равном 0.5, при котором фильтром реализуется частота полюса 10000 Гц.

В предлагаемой схеме частота полюса может перестраиваться путем изменения коэффициента передачи цифрового потенциометра. В качестве примера на рис. 9 показаны графики выходных напряжений схемы при K_{dp} равном 0.25, что соответствует частоте полюса равной 5000 Гц.

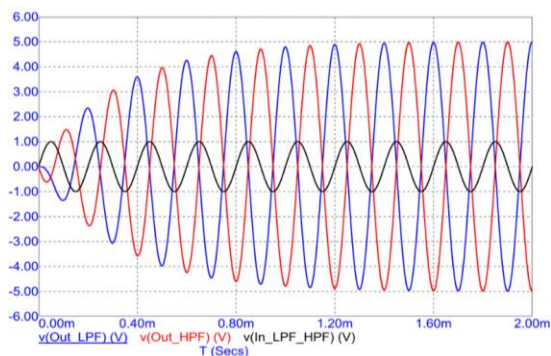


Рис. 9. Графики выходных напряжений схемы при K_{dp} равном 0.25, что соответствует частоте полюса равной 5000 Гц

Анализ графиков на рис. 9 показывает, что их характер повторяет характер графиков на рис. 5, что подтверждает возможность перестройки частоты полюса в схеме путем изменения коэффициента передачи цифрового потенциометра без изменения других параметров схемы.

На рис. 10 приведены результаты моделирования схемы рис. 3 в среде Micro-Cap – выходное напряжение ФНЧ (Out_LPF) с частотой входного сигнала 100000 Гц (рис. 6,б) в увеличенном масштабе.

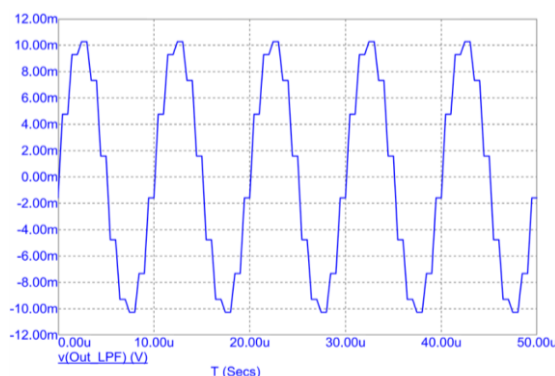


Рис. 10. Выходное напряжение ФНЧ (Out_LPF) с частотой входного сигнала 100000 Гц (рис. 7) в увеличенном масштабе

Заключение. Разработан и исследован дискретно-аналоговый фильтр второго порядка на двух частотоподающих конденсаторах с перестройкой частоты полюса цифровым потенциометром. Затухание полюса зависит от сопротивления резистора R5, который не влияет на другие параметры. Поэтому затухание полюса может перестраиваться с помощью этого резистора. Из анализа формул для коэффициента передачи в полосе пропускания следует, что для его установления на заданном уровне в ФНЧ и ФВЧ целесообразно использовать резистор R1, а для ПФ и РФ – резистор R2. Изменение данных резисторов не будет вызывать изменения других параметров - частоты и затухания полюса.

Исследование выполнено за счет гранта Российского научного фонда (проект № 23-79-10023, <https://rscf.ru/project/23-79-10023/>).

БИБЛИОГРАФИЧЕСКИЙ СПИСОК

1. *Yadav P.K., Vemuganti H.P. and Biswal M.* A Seven-Level Switched Capacitor-Based RSC-MLI Topology with Suppressed Inrush Currents for Grid-Connected Applications // 2023 5th International Conference on Power, Control & Embedded Systems (ICPCES), Allahabad, India, 2023. – P. 1-6. – doi: 10.1109/ICPCES57104.2023.10075773.
2. *Sánchez-Sinencio E.* Analog filter design: Current design techniques and trends // 2017 IEEE Custom Integrated Circuits Conference (CICC), Austin, TX. – 2017. – P. 1-76.
3. *Rezaei F. and Salem L. G.* A 94.7-dB Dynamic Range Fully Passive Switched-Capacitor Low-pass Filter with Enhanced Selectivity and Passive Gain // 2024 IEEE European Solid-State Electronics Research Conference (ESSERC), Bruges, Belgium, 2024. – P. 277-280. – doi: 10.1109/ESSERC62670.2024.10719589.
4. *Schmid H., Huber A.* Analysis of switched-capacitor circuits using driving-point signal-flow graphs // *Analog Integr Circ Sig Process.* – 2018. – 96. – P. 495-507.
5. *Pawlowski P., Dlugosz R., Radkowski M., Wąty M. and Dąbrowski A.* Analog, Programmable Switched Capacitor FIR Filter Based on Rotator Architecture Implemented in CMOS Technology // 2023 Signal Processing: Algorithms, Architectures, Arrangements, and Applications (SPA), Poznan, Poland, 2023. – P. 201-206. – doi: 10.23919/SPA59660.2023.10274431.
6. *Temes Gabor & Moon Un-Ku & Allstot David.* Switched-Capacitor Circuits [Education] // *IEEE Circuits and Systems Magazine.* – 2022. – 21. – P. 40-42. – doi: 10.1109/MCAS.2021.3118195.
7. *Santos D.O., Sousa R., Cardoso R., Carvalho E.A. N and Freire R. C. S.* A Low-Frequency Sinusoidal Voltage Controlled Oscillator Based on Switched Capacitor Filters // 2024 8th International Symposium on Instrumentation Systems, Circuits and Transducers (INSCIT), Joao Pessoa, Brazil, 2024. – P. 1-6. – doi: 10.1109/INSCIT62583.2024.10693381.
8. *Alpaydin G., Erten G., Balkir S. and Dundar G.* Synthesis of switched capacitor filters in a multi-level optimization environment // *Proceedings of the Third International Workshop on Design of Mixed-Mode Integrated Circuits and Applications (Cat. No. 99EX303).* – 1999. – P. 175-178.
9. *Verreault A., Cicek P.-V. and Robichaud A.* A Rail-to-Rail Low-Power Dynamic CMOS Amplifier for Switched-Capacitor Filters in High-Performance ADC // 2024 IEEE 67th International Midwest Symposium on Circuits and Systems (MWSCAS), Springfield, MA, USA, 2024. – P. 1230-1234. – doi: 10.1109/MWSCAS60917.2024.10658861.
10. *Dri E., Peretti G. & Romero E.* A built-in self-test for analog reconfigurable filters implemented in a mixed-signal configurable processor // *Analog Integr Circ Sig Process.* – 2022. – 112. – P. 355-365. – <https://doi.org/10.1007/s10470-022-02055-6>.
11. *Lei L. and Chen Z.* Analysis and Optimization of Parasitics-Induced Peak Frequency Shift in Gain-Boosted N-Path Switched-Capacitor Bandpass Filter // *IEEE Solid-State Circuits Letters.* – 2024. – Vol. 7. – P. 339-342. – doi: 10.1109/LSSC.2024.3488001P.
12. *Kaya K., Ozanoglu K., Kahya Y.P. and Dundar G.* Programmable Switched-Capacitor Filter Design Tool for Biomedical Signal Acquisition // 2023 19th International Conference on Synthesis, Modeling, Analysis and Simulation Methods and Applications to Circuit Design (SMACD), Funchal, Portugal, 2023. – P. 1-4. – doi: 10.1109/SMACD58065.2023.10192182.
13. *Sewell J.I. and Loomes D.* Switched-capacitor filters for FPGA implementation: tools and designs // *IEE Colloquium on Digital and Analogue Filters and Filtering Systems (Digest No. 1996/238), London, UK, 1996.* – P. 5/1-5/7. – doi: 10.1049/ic:19961266.
14. *Kopanski J., Wiechowski L., Siwiec K. and Pleskacz W. A.* A low sampling frequency switched capacitor low-pass filter for wireless receivers // 2016 MIXDES - 23rd International Conference Mixed Design of Integrated Circuits and Systems, Lodz, Poland, 2016. – P. 130-135. – doi: 10.1109/MIXDES.2016.7529716.
15. *Grillo G.J., Perez M.A. and Florencias A.E.* Synchronic Filter Based on Switched Capacitor Filters for High Stability Phase-Detectors Systems // 2006 IEEE Instrumentation and Measurement Technology Conference Proceedings, Sorrento, Italy, 2006. – P. 1977-1981, doi: 10.1109/IMTC.2006.328390.
16. *Zhao H., Yang B.* A Second-order Sallen-Key Low-pass Filter with Switched Capacitors // 2024 4th International Conference on Communication Technology and Information Technology (ICCTIT), Guangzhou, China, 2024. – P. 11-14. – doi: 10.1109/ICCTIT64404.2024.10928678.
17. *Hsiao C.-L., Wei H.-C., Huang R.-B, Tan K.-Y.* A fully integrated switched-capacitor filter design for ECG application // 2013 IEEE 2nd Global Conference on Consumer Electronics (GCCE), Tokyo, Japan, 2013. – P. 247-248. – doi: 10.1109/GCCE.2013.6664814.
18. *Adhikari P.M., Karmakar A., Das R.* A Switched Capacitor Based Realization of Fractional Order Low-Pass Filters // 2015 Fifth International Conference on Communication Systems and Network Technologies, Gwalior, India, 2015. – P. 350-353. – doi: 10.1109/CSNT.2015.183.

19. Денисенко Д.Ю., Тутов А.Е., Прокопенко Н.Н., Кузнецов Д.В. Дискретно-аналоговый фильтр второго порядка на двух переключаемых конденсаторах и перестройкой частоты полюса цифровым потенциометром, заявка на патент РФ 2025130867, Заявл. 22.01.25.
20. Micro-Cap user download. – URL: <https://gotroot.ca/spectrum/www.spectrum-soft.com/download/download.html> (дата обращения 25.04.2025).

REFERENCE

1. Yadav P.K., Vemuganti H.P. and Biswal M. A Seven-Level Switched Capacitor-Based RSC-MLI Topology with Suppressed Inrush Currents for Grid-Connected Applications, *2023 5th International Conference on Power, Control & Embedded Systems (ICPCES), Allahabad, India, 2023*, pp. 1-6. doi: 10.1109/ICPCES7104.2023.10075773.
2. Sánchez-Sinencio E. Analog filter design: Current design techniques and trends, *2017 IEEE Custom Integrated Circuits Conference (CICC), Austin, TX, 2017*, pp. 1-76.
3. Rezaei F. and Salem L.G. A 94.7-dB Dynamic Range Fully Passive Switched-Capacitor Low-pass Filter with Enhanced Selectivity and Passive Gain, *2024 IEEE European Solid-State Electronics Research Conference (ESSERC), Bruges, Belgium, 2024*, pp. 277-280. doi: 10.1109/ESSERC62670.2024.10719589.
4. Schmid H., Huber A. Analysis of switched-capacitor circuits using driving-point signal-flow graphs, *Analog Integr Circ Sig Process*, 2018, 96, pp. 495-507.
5. Pawlowski P., Dlugosz R., Radkowski M., Wątył M. and Dąbrowski A. Analog, Programmable Switched Capacitor FIR Filter Based on Rotator Architecture Implemented in CMOS Technology, *2023 Signal Processing: Algorithms, Architectures, Arrangements, and Applications (SPA), Poznan, Poland, 2023*, pp. 201-206. doi: 10.23919/SPA59660.2023.10274431.
6. Temes, Gabor & Moon, Un-Ku & Allstot, David. Switched-Capacitor Circuits [Education], *IEEE Circuits and Systems Magazine*, 2022, 21, pp. 40-42. 10.1109/MCAS.2021.3118195.
7. Santos D.O., Sousa R., Cardoso R., Carvalho E.A. N and Freire R. C. S. A Low-Frequency Sinusoidal Voltage Controlled Oscillator Based on Switched Capacitor Filters, *2024 8th International Symposium on Instrumentation Systems, Circuits and Transducers (INSCIT), Joao Pessoa, Brazil, 2024*, pp. 1-6. doi: 10.1109/INSCIT62583.2024.10693381.
8. Alpaydin G., Erten G., Balkir S. and Dundar G. Synthesis of switched capacitor filters in a multi-level optimization environment, *Proceedings of the Third International Workshop on Design of Mixed-Mode Integrated Circuits and Applications (Cat. No. 99EX303)*, 1999, pp. 175-178.
9. Verreault A., Cicek P.-V. and Robichaud A. A Rail-to-Rail Low-Power Dynamic CMOS Amplifier for Switched-Capacitor Filters in High-Performance ADC, *2024 IEEE 67th International Midwest Symposium on Circuits and Systems (MWSCAS), Springfield, MA, USA, 2024*, pp. 1230-1234. doi: 10.1109/MWSCAS60917.2024.10658861.
10. Dri E., Peretti G. & Romero E. A built-in self-test for analog reconfigurable filters implemented in a mixed-signal configurable processor, *Analog Integr Circ Sig Process*, 2022, 112, pp. 355-365, Available at: <https://doi.org/10.1007/s10470-022-02055-6>.
11. Lei L. and Chen Z. Analysis and Optimization of Parasitics-Induced Peak Frequency Shift in Gain-Boosted N-Path Switched-Capacitor Bandpass Filter, *IEEE Solid-State Circuits Letters*, 2024, Vol. 7, pp. 339-342. doi: 10.1109/LSSC.2024.3488001P.
12. Kaya K., Ozanoglu K., Kahya Y. P. and Dundar G. Programmable Switched-Capacitor Filter Design Tool for Biomedical Signal Acquisition, *2023 19th International Conference on Synthesis, Modeling, Analysis and Simulation Methods and Applications to Circuit Design (SMACD), Funchal, Portugal, 2023*, pp. 1-4. doi: 10.1109/SMACD58065.2023.10192182.
13. Sewell J.I. and Loomes D. Switched-capacitor filters for FPGA implementation: tools and designs, *IEE Colloquium on Digital and Analogue Filters and Filtering Systems (Digest No. 1996/238), London, UK, 1996*, pp. 5/1-5/7. doi: 10.1049/ic:19961266.
14. Kopanski J., Wiechowski L., Siwiec K. and Pleskacz W. A. A low sampling frequency switched capacitor low-pass filter for wireless receivers, *2016 MIXDES - 23rd International Conference Mixed Design of Integrated Circuits and Systems, Lodz, Poland, 2016*, pp. 130-135. doi: 10.1109/MIXDES.2016.7529716.
15. Grillo G.J., Perez M.A. and Florencias A.E. Synchronic Filter Based on Switched Capacitor Filters for High Stability Phase-Detectors Systems, *2006 IEEE Instrumentation and Measurement Technology Conference Proceedings, Sorrento, Italy, 2006*, pp. 1977-1981. doi: 10.1109/IMTC.2006.328390.
16. Zhao H., Yang B. A Second-order Sallen-Key Low-pass Filter with Switched Capacitors, *2024 4th International Conference on Communication Technology and Information Technology (ICCTIT), Guangzhou, China, 2024*, pp. 11-14. doi: 10.1109/ICCTIT64404.2024.10928678.

17. Hsiao C.-L., Wei H.-C., Huang R. -B, Tan K. -Y. A fully integrated switched-capacitor filter design for ECG application, 2013 IEEE 2nd Global Conference on Consumer Electronics (GCCE), Tokyo, Japan, 2013, pp. 247-248. doi: 10.1109/GCCE.2013.6664814.
18. Adhikari P.M., Karmakar A., Das R. A Switched Capacitor Based Realization of Fractional Order Low-Pass Filters, 2015 Fifth International Conference on Communication Systems and Network Technologies, Gwalior, India, 2015, pp. 350-353. doi: 10.1109/CSNT.2015.183.
19. Denisenko D.Yu., Titov A.E., Prokopenko N.N., Kuznetsov D.V. Diskretno-analogovyy fil'tr vtorogo poryadka na dvukh pereklyuchaemykh kondensatorah i perestroykoj chastoty polyusa tsifrovym potentsiometrom [Second-order discrete-analog filter on two switched capacitors and pole frequency tuning by a digital potentiometer], Russian Federation patent application 2025130867, Declared 22.01.25.
20. Micro-Cap user download. Available at: <https://gotroot.ca/spectrum/www.spectrum-soft.com/download/download.html> (accessed 25 April 2025).

Денисенко Дарья Юрьевна – Южный федеральный университет; e-mail: d.u.denisenko@gmail.com; г. Таганрог, Россия; тел.: 88634371689; кафедра систем автоматического управления; к.т.н.; доцент; старший научный сотрудник управления научных исследований ДГТУ.

Прокопенко Николай Николаевич – Донской государственный технический университет; e-mail: prokopenko@sssu.ru; г. Ростов-на-Дону, Россия; тел.: +79281201984; кафедра информационные системы и радиотехника; д.т.н.; профессор; г.н.с.

Иванов Юрий Иванович – Южный федеральный университет; e-mail: ivanov.taganrog@gmail.com; г. Таганрог, Россия; тел.: 88634371689; кафедра систем автоматического управления; к.т.н.; доцент.

Кузнецов Дмитрий Владимирович – Донской государственный технический университет; e-mail: dkuznetsov2000@mail.ru; г. Ростов-на-Дону, Россия; тел.: +79525816170; кафедра информационные системы и радиотехника; аспирант.

Denisenko Darya Yuryevna – Southern Federal University; e-mail: d.u.denisenko@gmail.com; Taganrog, Russia; phone: +78634371689; the Department of Automatic Control Systems; cand. of eng. sc.; associate professor; senior researcher at the Scientific Research Department of DSTU.

Prokopenko Nikolay Nikolaevich – Don State Technical University; e-mail: prokopenko@sssu.ru; Rostov-on-Don, Russia; phone: +79281201984; the Department of Information Systems and Radio Engineering; dr. of eng. sc.; professor; chief researcher.

Ivanov Yuri Ivanovich – Southern Federal University; e-mail: ivanov.taganrog@gmail.com; Taganrog, Russia; phone: +78634371689; the Department of Automatic Control Systems; cand. of eng. sc.; associate professor.

Kuznetsov Dmitry Vladimirovich – Don State Technical University; e-mail: dkuznetsov2000@mail.ru; Rostov-on-Don, Russia; phone: +79525816170; the Department of Information Systems and Radio Engineering; postgraduate student.

УДК 004.3,004.4,004.052.32

DOI 10.18522/2311-3103-2025-5-189-204

Ю.Е. Зинченко, Т.А. Зинченко

РАСПОЗНАВАНИЕ И АДАПТИВНАЯ ГЕНЕРАЦИЯ ПСЕВДОСЛУЧАЙНЫХ ТЕСТОВ ПОСЛЕДОВАТЕЛЬНОСТНЫХ ЦИФРОВЫХ УСТРОЙСТВ

Целью статьи является повышение эффективности псевдослучайного тестирования цифровых устройств по сравнению с общепринятым традиционным подходом. Для достижения поставленной цели в работе решаются следующие основные задачи: анализ эффективности традиционных подходов тестирования; разработка нового подхода тестирования на базе распознавания и адаптивного псевдослучайного тестирования цифровых устройств; разработка системы тестирования на базе разработанных подходов и экспериментальные исследования на ее основе. В качестве объекта диагностики в данной работе выступают последовательностные (с элементами памяти) цифровые устройства, выполненные в виде типовых элементов замены на микросхемах средней и малой степени интеграции. В качестве моделей неисправностей при синтезе и анализе тестов используются константные неисправности. Предметом исследований выступают последовательностные цифровые устройства как объекты диагностики и подходы их псевдо-

случайного тестирования. В работе представляется подход распознавания и тестирования последовательностных цифровых устройств, который базируется на сочетании традиционного псевдослучайного тестирования на первом этапе с «распознаванием объекта диагностики» и построении «альтернативного графа объекта» на втором этапе с последующим «блужданием» по этому графу с целью повышения эффективности тестирования. На базе предложенного подхода разработана система тестирования цифровых устройств AGAT. Тестирование в системе может выполняться как для одного, так и группы объектов диагностики на одном либо группе персональных компьютеров в локальной компьютерной сети, при этом учитывается «многопоточность» на основе многоядерных процессоров персональных компьютеров сети. Выполняются экспериментальные исследования предложенного подхода и системы AGAT на двух типах объектов диагностики: международном наборе экспериментальных схем ISCAS'89 и наборе типовых элементов замены специализированной радиотехнической системы.

Цифровое последовательностное устройство; ISCAS'89; ТЭЗ; константная неисправность; псевдослучайное тестирование; конечный автомат; граф состояний и переходов; распознавание объекта диагностики.

Y.E. Zinchenko, T.A. Zinchenko

RECOGNITION AND ADAPTIVE GENERATION OF PSEUDO-RANDOM TESTS OF SEQUENTIAL DIGITAL DEVICES

The purpose of this paper is to improve the efficiency of pseudo-random testing of digital devices compared to the conventional approach. To achieve this goal, the following main tasks are solved in the work: analysis of the effectiveness of traditional testing approaches; developing a new approach based on recognition and adaptive pseudo-random testing of digital devices and developing a testing system based on the proposed approaches and conducting experimental studies based on it. The devices under test in this paper are sequential digital devices (with memory elements), implemented as printed circuit board on microcircuits with medium and small degree integration. Stuck-at faults are used as fault models in test synthesis and analysis. The subject of this research is sequential digital devices as diagnostic objects and approaches to their pseudo-random testing. An approach to recognizing and testing sequential digital devices is presented, which is based on a combination of traditional pseudo-random testing device under test at the first stage with and constructing an "alternative graph" of the device at the second stage and subsequent "wandering" along this graph in order to improve the testing efficiency. Based on the proposed approach a system AGAT for recognizing and testing digital devices has been developed. Testing can be performed for one or a group of devices under test on one computer or as part of a local computer network, including taking into account "multithreading" based on multi-core processors of personal computers in the network. Extensive research of the proposed approach and the developed system is carried out on two types of devices under test: the ISCAS'89 and the set of PCBs of the specialized radio engineering system.

Sequential digital device; ISCAS'89; PCB; DUT; stuck-at fault; pseudo-random testing; state and transition graph; DUT recognition.

Введение. Автоматическая генерация и синтез тестов цифровых устройств (ЦУ) радиоэлектронной и электронно-вычислительной аппаратуры являются классическими задачами, которые возникли одновременно с рождением вычислительной техники. Однако, несмотря на это они до сих пор успешно не решены. Существующие на мировом рынке и стран СНГ системы автоматического построения тестов обеспечивают покрытие (обнаружение) в среднем всего лишь 50-60% неисправностей, что является далеко недостаточным. Поэтому компании, занимающиеся разработкой диагностического обеспечения, вынуждены строить или дорабатывать тесты вручную, что сопряжено с высочайшей трудоемкостью и требуют высокой квалификации инженеров-диагностов [1–3]. Таким образом разработка эффективных систем генерации и синтеза тестов ЦУ по-прежнему является актуальной задачей.

Одним из подходов построения тестов ЦУ является вероятностное или случайное тестирование ЦУ, которое сводится к генерированию случайных или псевдослучайных тестовых последовательностей. Подход позволяет достаточно просто строить тесты и не нуждается в сложных алгоритмах анализа структуры или функций объекта диагностики (ОД), свойственных детерминированному синтезу тестов. Однако существенным недос-

татком данного подхода является низкая полнота (покрытие) теста неисправностей, обычно не превышающая 50%. При детерминированном синтезе тестов принципиально возможно получить 100-процентную полноту, однако этот подход сопряжен с высочайшей трудоемкостью [4–6]. Поэтому для преодоления указанной проблемы полноты теста в данной работе предлагается подход адаптивного псевдослучайного тестирования (ПСТ) на основе «распознавания ОД», обеспечивающий повышение эффективности теста, сохраняя при этом главное достоинство вероятностного подхода – простоту реализации.

Постановка задачи. *Целью статьи* является повышение эффективности псевдослучайного тестирования цифровых устройств по сравнению с общепринятым традиционным подходом.

Исходное представление ЦУ как ОД. В качестве ОД в данной работе выступают последовательностные (с элементами памяти) ЦУ (ПЦУ), выполненные в виде типовых элементов замены (ТЭЗ) на микросхемах средней и малой степени интеграции. ТЭЗ представляется принципиальной схемой на базе PSpice-моделей компонент, подготовленной в графическом редакторе САПР и преобразованной в EDIF-формат. Далее схема из EDIF-формата с помощью встроенного в систему конвертора преобразуется в логическую схему в виде ISCAS-формата [7–9], построенную на элементарных логических элементах тип И, И-НЕ, ИЛИ, ИЛИ-НЕ, НЕ и элементах задержки сигналов (DFF). В качестве *моделей неисправностей* при синтезе и анализе тестов используются константные неисправности (КН) [1, 10, 11].

Предметом исследований выступают последовательностные цифровые устройства как объекты диагностики и подходы их псевдослучайного тестирования.

Для достижения поставленной цели в работе решаются следующие *основные задачи*: анализ эффективности традиционных подходов тестирования; разработка нового подхода тестирования на базе распознавания и адаптивного псевдослучайного тестирования цифровых устройств; разработка системы тестирования на базе разработанных подходов и экспериментальные исследования на ее основе.

Распознавание ОД и адаптивное ПСТ. Для повышения эффективности традиционного ПСТ в данной работе предлагается использовать автоматную модель ОД. Если такая модель имеется в документации, то рационально использовать ее. Однако, как часто бывает на практике, такая модель в документации отсутствует. В то же время автоматная модель может быть построена в ходе моделирования и ПСТ неисправностей. В этом случае ОД как бы распознается, и построенная модель может быть использована для повышения эффективности тестирования путем «хождения» по состояниям построенного автомата и активизации ветвей из этих состояний.

Разработка системы ПСТ на базе предложенного подхода и проведение экспериментальных исследований. Это позволяет провести сравнительный анализ между традиционным и предлагаемым подходами и доказать эффективность предлагаемого подхода.

Альтернативный граф ОД. Наряду со схематехническим и другими способами может использоваться автоматный (графовый) способ представления ПЦУ [12–14].

Как известно, любое ПЦУ можно представить в виде абстрактного конечного автомата (КА), описываемого шестеркой [12, 14, 15]:

$$A = (S, X, Y, F, V, S^0), \quad (1)$$

где S – алфавит состояний; X, Y – входной и выходной алфавиты; F – множество функций переходов между состояниями; V – множество функций выходов; $S^0 \in S$ – начальное состояние автомата.

От абстрактного можно перейти к структурному КА, если от алфавитов перейти к множествам S, X, Y, F, V .

Сложное (сильнопоследовательностное) ПЦУ можно представить в виде одного или множества (сети) КА [12, 14, 15]:

$$N = (Z, W, \{A_i\}, \{f_i\}, \{\Psi_i\}, g), \quad (2)$$

где $Z = \{Z_u\}$ – входной алфавит сети (или множество внешних входов); W – выходной алфавит сети (или множество внешних выходов ПЦУ);

$\{A_i\}$ – множество компонентных КА сети, каждый из которых описывается шестеркой типа (1). Входной алфавит КА представляется произведением внутреннего X_i' и внешнего X_i'' алфавитов автомата $X_i = X_i' \times X_i''$;

$\{f_i : (\times_j Y_j) \rightarrow X_i'\}$ – множество функций соединения сети; $\{\Psi_i : Z \rightarrow X_i''\}$ – множество

входных функций сети; $g : (\times_j Y_j) \rightarrow W$ – выходная функция сети.

Сильнопоследовательностное ПЦУ, изначально представленное сетью КА, можно представить структурно-функциональной моделью (СФМ) [7–9].

От одиночного КА А вида (1), сети КА N , либо СФМ можно перейти к следующей форме структурного представления последовательностного ПЦУ [14–16]:

$$G = (S, X, Y, P, S^0), \quad (3)$$

где $P = \{X_{ij}\}$, $V(i,j)$, – множество входных векторов ЦУ, под воздействием которых КА переходит из одного состояния в другие состояния.

Представление (3) являются эквивалентным представлению (1), т.е. они идентично описывают поведение моделируемого ЦУ и отличаются только формой представления.

Множество P автомата G можно построить на основе множества функций $F = \{F_{ij}\}$ автомата A , где $F_{ij} = F_{ij}(S, X)$ – функция над входами и состояниями КА. Составляя уравнения для каждой такой функции вида $F_{ij}(S, X) = 1$ и разрешая его относительно входных сигналов из множества X получаем множество корней $\{X_{ij}\}$, где $X_{ij} = \{x_{ij}^1, x_{ij}^2, \dots, x_{ij}^k\}$ – двоичный входной вектор, обеспечивающий переход КА из состояния S_i в состояние S_j , $x_{ij}^l \in \{0, 1\}$ – скалярный двоичный элемент вектора X_{ij} .

Если в документации имеется описание ПЦУ как КА в виде (1), (2), (3) или СФМ, то тестирование ПЦУ можно свести к синтезу детерминированных тестов путем обхода всех ветвей графа КА. В том же случае, когда автоматное описание ПЦУ отсутствует, автомат или сеть автоматов ПЦУ могут быть частично или по возможности полностью построены автоматически путем моделирования устройства в ходе самого процесса тестирования ОД на исчерпывающем, случайном или псевдослучайном тесте. Такой подход, предлагаемый в данной работе, назовем «распознаванием ОД».

Целью распознавания является построение так называемого альтернативного графа (АГ) ОД, который можно описать следующим четверкой:

$$G_a = (S', X, P', S'_0), \quad (4)$$

где $S' = \{S'_i\}$ – алфавит (множество) состояний АГ; $P' = \{P'_{ij}\}$ – множество входных векторов, обеспечивающих переходы между состояниями графа; $S'_0 \in S$ – начальное состояние графа G , которое символизирует то состояние ОД, в которое он устанавливается при начальной установке («инициализации») ОД.

Граф G_a является «усеченным» графом графа G (3) в том смысле, что он является в общем случае подмножеством последнего $G_a \subset G$, что объясняется также тем, что в процессе моделирования мы не всегда можем построить полный АГ ПЦУ и представление (4) в отличие от (3) в общем случае содержит не все состояния и переходы между состояниями ОД: $G \subset A$, $P' \subset P$, $S \subset S'$. Множество P' не обязательно содержит всевозможные входные векторы, обеспечивающие переход между парами состояний; достаточно чтобы оно содержало только один такой вектор.

Общий вид альтернативного графа ЦУ приведен на рис. 1. Здесь состояния АГ $\{U_i\}$, представляют собой коды элементов задержек (триггеров D-типа – DFF) $\{T_i\}$, $i=1, 2, \dots, n$, закодированные в унитарные коды. Также могут быть определены вероятности активации состояний графа P_i отображенные на этом рисунке напротив каждого состояния графа.

В качестве примера построим АГ ЦУ, логическая схема которого, построенная по ISCAS-модели [10], приведена на рис. 2. На рис. 3 приведен АГ для рассматриваемого примера ЦУ, который построен в ходе ПСТ данного ЦУ.

Распознавание и адаптивное ПСТ ОД. Сущность предлагаемого подхода тестирования последовательностного ЦУ можно описать следующей последовательностью этапов.

1. Задание *исходного безразличного состояния* логической модели ОД путем установки всех триггерных элементов модели в безразличное состояние 'X'.

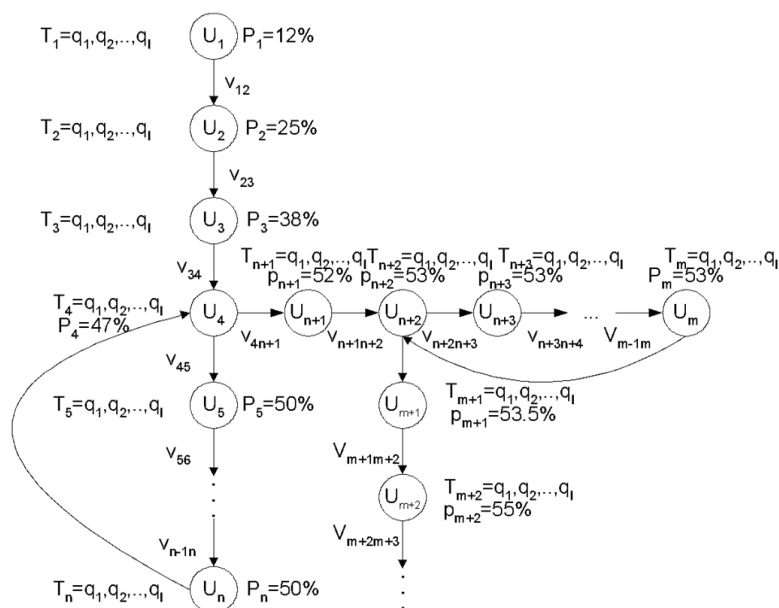


Рис. 1. Общий вид альтернативного графа ЦУ

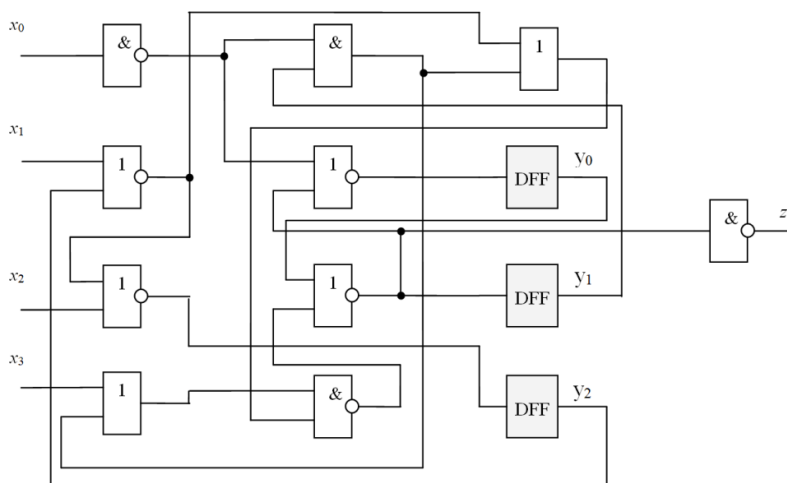


Рис. 2. Пример ЦУ

1. *Инициализация ОД*, которая сводится к тому, чтобы под воздействием входной ПСП установить все триггерные элементы устройства из безразличного в определенное состояние лог. '0' или лог. '1'. В результате получается иницилирующая последовательность U .

2. Если последовательность U путем псевдослучайного воздействия не удастся построить, то применяется *детерминированный синтез U* , обеспечивающий гарантированный, но более трудоемкий процесс ее построения.

3. Далее начинается процесс *традиционного ПСТ и построение альтернативного графа ОД*. Вначале строятся тесты по принципу классической псевдослучайной генерации на основе линейных ПСП, т.е. с вероятностью следования логических сигналов «0» и «1», близкой к 0,5. Если при этом удастся достичь требуемой полноты теста, процесс ге-

нерации теста прекращается. В противном случае, когда в течение заданного времени обнаружение новых КН прекращается, запускается псевдослучайная генерация на основе нелинейных ПСП (с произвольной вероятностью сигналов).

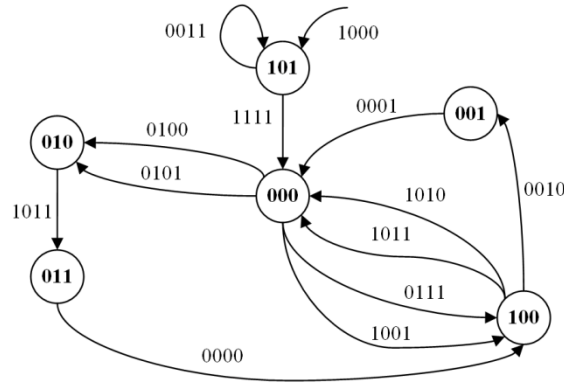


Рис. 3. Альтернативный граф ЦУ, приведенного на рис. 2

4. *Адаптивная генерация ПСТ.* Этот этап запускается, когда и на линейных и нелинейных ПСП требуемой полноты теста достичь не удается. Адаптивное ПСТ сводится к так называемому «блужданию по АГ»: активизация состояний и переходов графа и поиск тестовых векторов для новых неисправностей ОД, которые добавляются к ранее построенному тесту. При этом процесс построения АГ не прекращается. После принятия решения о принудительном переводе ОД в другое состояние один из возможных переходов выбирается из вариантов, присутствующих в графе состояний. Каждый вариант имеет свой вероятностный вес $\lambda = f(k_p, k_f)$, где k_p – коэффициент, определяющий успешность предыстории переходов по этому пути, k_f – коэффициент обнаружения неисправностей для данного перехода. Вероятностный вес пересчитывается каждый раз после выполнения перехода и, таким образом, алгоритм генерации адаптируется под особенности конкретного ОД. Если граф не содержит данных о переходах из некоторой «тупиковой» вершины y_t , то выполняется возврат теста на шаг назад в предыдущее состояние y_{t-1} . При этом в графе отмечается, что переход $y_t \rightarrow y_{t-1}$ является непродуктивным, и в дальнейшем не будет участвовать в выборе возможного пути графа.

Процесс построения теста продолжается до достижения заданных ограничений, основным из которых является полнота покрытия неисправностей и граничное время генерации теста.

Наряду с тестированием ОД на одном персональном компьютере (ПК) с одноядерным процессором для повышения полноты теста адаптивное ПСТ может параллельно выполняться как на одном ПК с многоядерным процессором, так и в составе локальной компьютерной сети (ЛКС) как с однопроцессорными та и с многоядерными ПК сети, т. е. используется «многопоточная» реализация процессов генерации теста и моделирования неисправностей. При этом на каждом процессоре ПК и сети в целом параллельно выполняется весь комплекс процессов распознавания, моделирования и ПСТ ОД. АГ, построенные на отдельных процессорах ПК и ЛКС в целом «суммируются» на сервере сети под управлением последнего, как для одного «тяжелого» объекта, так и для группы ОД [17–19].

Система AGAT распознавания и генерации адаптивных ПСТ. Предлагаемый подход распознавания и адаптивного ПСТ реализован в САПР-Т «Генератор AGAT» (*Automatic Generator of Adaptive Test*) [18–21], разработанный авторами статьи в составе лаборатории «FPGA-технологии проектирования и диагностика КС» ДонНТУ [20–22].

Генератор AGAT предназначен для построения и анализа тестов ЦУ радиоэлектронной и электронно-вычислительной аппаратуры. В качестве ОД генератора выступают цифровые ТЭЗ, построенные на интегральных микросхемах малой и средней степени интеграции. ТЭЗ представляются принципиальной схемой в EDIF-формате и PSpice-

моделями компонент, построенных в САПР ORCAD. В качестве моделей неисправностей при генерации и анализе тестов используется модель одиночной константной неисправности (КН) [1, 8, 9].

AGAT представляет собой интеграцию комплекса собственного программного обеспечения и САПР ORCAD. В процессе построения тестов и моделирования неисправностей генератор AGAT обеспечивает реализацию следующих *основных функций*:

- ◆ генерацию линейных, нелинейных и адаптивных псевдослучайных тестов, ручное задание тестов;
- ◆ анализ полноты теста, измерение активности внешних и внутренних контрольных точек (КТ) ОД на основе логического моделирования;
- ◆ анализ стабильности и критических состязаний теста на основе PSpice-моделирования с реальными задержками ИМС;
- ◆ устранение «холостых» векторов и построение псевдослучайного теста, соизмеримого по длине с детерминированным тестом;
- ◆ автоматическое построение баз данных тестов и тестовых реакций для внешних и внутренних КТ ОД на основе Pspice-моделирования ОД на реальных задержках ИМС;
- ◆ отображение результатов генерации и анализа тестов непосредственно на принципиальной схеме ОД в графическом редакторе САПР ORCAD;
- ◆ поиск неисправностей ОД с точностью до съёмной компоненты на основе сочетания алгоритмов обратного прохода и «галопирования»;
- ◆ гибкую форму задания ОД и ИМС, поддержку EDIF- и PSpice-форматов, широкую номенклатура ИМС с возможностью расширения библиотек компонент ОД;
- ◆ построение базы данных тестов и тестовых реакций ОД на основе моделирования с реальными задержками ИМС;
- ◆ отображение состояния схемы в OrCAD Capture – позволяет непосредственно в схемном редакторе OrCAD отображать обнаруженные и необнаруженные тестом КН на логических элементах схемы ОД, а также информацию об активности входов и выходов элементов;
- ◆ сбор статистики о ходе генерации – создание файла статистики о ходе генерации в формате HTML, который включает информацию о состояниях схемы и переходах между ними, количестве обнаруженных неисправностей в каждом из состояний и прочее.

Архитектура и структура программного обеспечения генератора AGAT, которая реализуется описанные функции, приведена в [20, 21]. На рис. 4 приведено главное окно генератора AGAT. На рис. 5 показаны основные параметры схемы и теста ОД, полученные в ходе тестирования и отображаемые параметры в процессе моделирования неисправностей и генерации тестов ОД. Графическое отображение хода генерации представляет собой ряд графиков, на которых показываются важнейшие показатели процесса генерации (см. рис. 6). Графики периодически обновляются в ходе моделирования и генерации тестов. Здесь:

- ◆ *полнота теста* – показывает изменение полноты теста во времени;
- ◆ *покрытие выходов* – показывает изменение покрытия выходов во времени;
- ◆ *полезные вектора* – изменение полезной длины теста, т.е. суммы длин установочного и тестового сегментов;
- ◆ *неисправностей в секунду* – количество неисправностей, обнаруживаемых в секунду;
- ◆ *коэффициент полезных векторов* – отношение полезной длины теста к общему сгенерированному числу векторов в секунду;
- ◆ *коэффициент использования графа состояний* – отношение количества состояний, которые используются в текущем тесте, к общему числу состояний графа;
- ◆ *коэффициент переходов по графу состояний* – отношение числа принудительно сделанных переходов в результате работы адаптивного алгоритма к общему числу возможных переходов по графу состояний;
- ◆ *новые состояния* – количество новых состояний, добавленных в граф состояний в секунду.

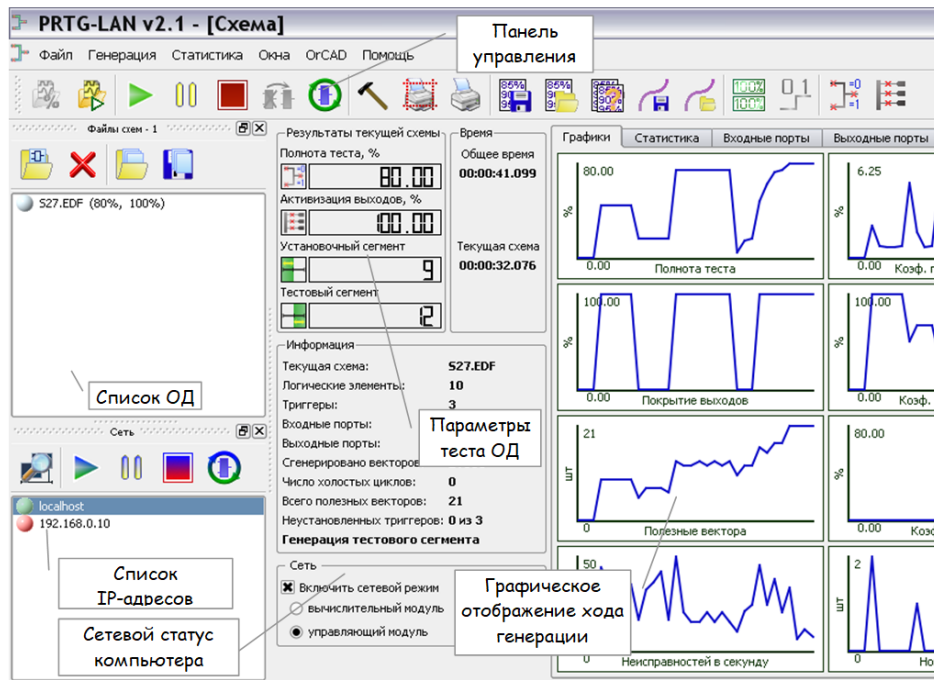


Рис. 4. Главное окно генератора тестов AGAT

	Описание параметра	Значение
1	Название схемы	S27.EDF
2	Количество логических элементов	10
3	Количество триггеров	3
4	Количество входных портов	6
5	Количество выходных портов	1
6	Общее количество константных неисправностей	50
7	Количество обнаруженных константных неисправностей	50
8	Ограничение полноты теста	100
9	Ограничение покрытия выходов	1
10	Тип генератора	NonLinear
11	Вероятность нуля нелинейного генератора	0.5
12	Разрядность полинома	32
13	Текущая полнота теста	66.00
14	Текущее покрытие выходов	100.00
15	Длина установочного сегмента	6
16	Длина тестового сегмента	7
17	Всего полезных векторов	13
18	Общее число сгенерированных векторов	19219
19	Количество холостых циклов	284
20	Количество неустановленных триггеров	0 из 3
21	Кэффициент полезных векторов	0.00
22	Кэффициент использования графа состояний	0.00
23	Кэффициент переходов по графу состояний	0.00
24	Время генерации	00:00:42.231

Рис. 5. Отображаемые параметры в процессе моделирования и генерации тестов неисправностей ОД

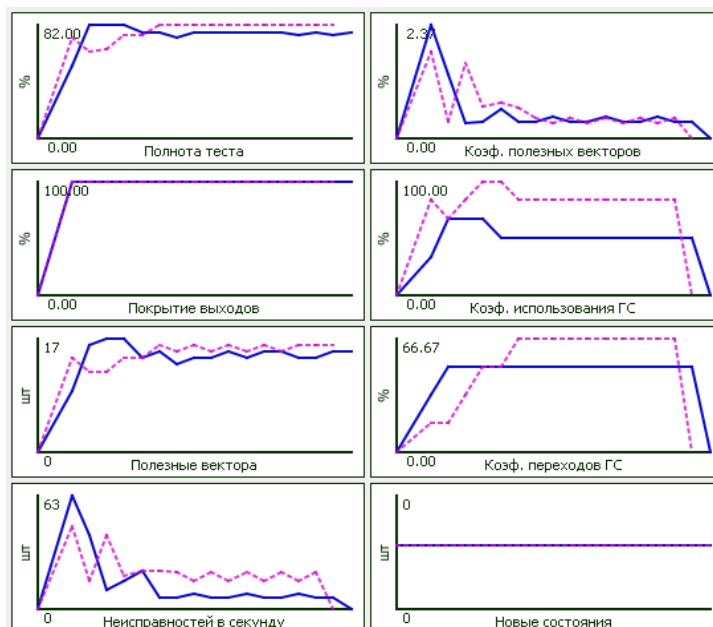


Рис. 6. Графическое отображение сравнительного анализа традиционного и адаптивного ПСТ

Экспериментальные исследования. *Постановка эксперимента.* Как описано выше, разработанная система АГАТ, с помощью которой проводились исследования, позволяет генерировать и анализировать тесты с использованием традиционного и адаптивного подходов ПСТ. Модель ОД представляет собой логическую схему, представленную в формате ISCAS [7] и построенную на элементарных логических элементах (ЛЭ): НЕ, И, И-НЕ, ИЛИ, ИЛИ-НЕ, ИСКЛЮЧАЮЩЕЕ ИЛИ, ИСКЛЮЧАЮЩЕЕ ИЛИ-НЕ. В качестве модели неисправностей используется модель одиночной КН [1, 2, 12, 13]. Предметом экспериментальных исследований являются следующие параметры:

- ◆ полнота (покрытие неисправностей) теста – количество неисправностей, обнаруженных тестом, относительно общего количества неисправностей ОД, выраженное в процентах;
- ◆ длина теста – количество тестовых векторов;
- ◆ время генерации теста.

Исследования проводятся для двух групп цифровых устройств:

- 1) набор последовательных схем «ISCAS'89» [7];
- 2) набор последовательных типовых элементов замены (ТЭЗ) специализированной радиоэлектронной системы (РЭС).

Первая группа логических схем обычно используется в диагностике для исследования предлагаемых методов моделирования неисправностей и тестирования ЦУ. Вторая группа использовалась в ходе выполнения контракта при диагностике специализированной радиоэлектронной системы.

Исследование проводилось для двух основных режимов тестирования:

- ◆ ПСТ ОД с ограничением на заданное время тестирования; если для какого-либо ОД 100%-покрытие тестом КН достигается раньше заданного временного интервала, то процесс тестирования останавливается и фиксируется время достижения этого значения и длина теста. В противном случае тестирование продолжается до истечения заданного временного интервала, после чего также фиксируются достигнутая полнота и длина теста.
- ◆ ПСТ ОД до достижения 80%-покрытия неисправностей тестом. Время тестирования и длительность теста для данного режима заносятся в таблицу.

Экспериментальные исследования адаптивного и традиционного ПСТ в системе АГАТ на наборе последовательных схем ISCAS'89. В табл. 1 приведены перечень и характеристики некоторых последовательных схем набора ISCAS'89 [7].

Таблица 1

Характеристики последовательных ЦУ набора ISCAS'89 [7]

№ ЦУ	Имя	Входов	Выходов	ЛС	ЛЭ	Триггеров	КН
1	s27	4	1	27	10	3	32
2	s208	11	2	208	96	8	215
3	s298	3	6	298	119	14	308
4	s344	9	11	344	160	15	342
5	s349	9	11	349	161	15	350
6	s386	7	7	386	159	6	384
7	s420	19	2	420	196	16	430
8	s641	35	24	641	379	19	467
9	s713	35	23	713	393	19	581
10	s820	18	19	820	289	5	850
11	s1196	14	14	1196	529	18	1242
12	s1238	14	14	1238	508	18	1355
13	s1423	17	5	1423	657	74	1515
14	s1488	8	19	1488	653	6	1486
15	s1494	8	19	1494	648	6	1506
16	S35932	35	320	35932	16065	1728	39094
В среднем на 1 ОД		16	33	3132	1359	174	3344

Примечание. В табл. 1 и в последующих таблицах **красным** и **синим** шрифтом выделены **максимальные** и **минимальные** значения параметров соответственно.

В табл. 2 показаны результаты сравнительного анализа адаптивного (А) и традиционного (Т) ПСТ для последовательных схем набора ISCAS'89. Проведенные исследования показали следующее.

Полнота теста, полученное за 20-минутный период тестирования:

- ◆ для традиционного ПСТ находится в диапазоне от 49% до 100%, среднее значение составляет 71%;
- ◆ для адаптивного ПСТ находится в диапазоне от 71% до 100%, среднее значение составляет 89%;
- ◆ время тестирования с полнотой 80% составляет в среднем 7 минут и не превышает 28 минут на один ОД;
- ◆ эффективность адаптивного ПСТ по сравнению с традиционным по полноте теста находится в диапазоне от 0 до 67% и в среднем составляет 18% на один ОД;
- ◆ длина теста находится в диапазоне от 12 до 266 векторов и в среднем составляет 58 векторов для традиционного ПСТ и 83 вектора для адаптивного ПСТ на один ОД;
- ◆ адаптивный ПСТ увеличивает длительность традиционных псевдослучайных тестов в среднем на 25 векторов.

Таблица 2

Результаты традиционного (Т) и адаптивного (А) ПСТ последовательных схем набора ISCAS'89

Имя ОД	ПСТ в течении 2 мин						ПСТ в течении 20 мин						Время ПСТ для 80%-полноты теста, ≈мин (сек)		
	Полнота теста, %			Длина тес- та, векторов			Полнота теста, %			Длина теста, векторов			А	Т	Т - А
	А	Т	А - Т	А	Т	А - Т	А	Т	А - Т	А	Т	А - Т			
s27	100	100	0	12	10	2	100	100	0	12	11	1	1 сек	2 сек	1 сек
s208	42	28	14	35	24	11	87	55	32	14	13	1	22 мин	-	-
s298	42	25	17	7	5	2	71	55	16	15	9	6	-	-	-
s344	58	54	4	13	8	5	99	87	12	34	11	23	2 мин	25 мин	23 мин
s349	64	30	34	15	11	4	94	77	17	45	21	24	2 мин	-	-
s386	51	47	4	38	36	2	82	62	20	66	44	22	12 мин	-	-
s420	27	22	5	26	14	12	81	53	28	57	37	20	11 мин	-	-
s641	83	75	8	80	78	2	96	85	11	96	86	10	2 мин	3 мин	1 мин
s713	78	62	16	71	70	1	87	79	8	85	76	9	2 мин	-	-
s820	38	20	18	48	22	26	78	57	21	64	53	11	-	-	-
s1196	85	84	1	186	182	4	99	88	11	254	193	61	1 мин	2 мин	40 сек
s1238	79	78	1	190	182	8	99	88	11	266	207	59	3 мин	26 мин	23 мин
s1423	26	23	3	28	19	9	75	59	16	51	41	10	-	-	-
s1488	51	28	23	63	33	30	82	49	33	85	68	17	10 мин	-	-
s1494	48	33	15	40	20	20	98	55	43	93	40	53	15 мин	-	-
S35932	74	40	34	80	25	55	98	84	14	96	25	71	3 мин	29 мин	26 мин
В среднем на 1 ОД	59	47	12	58	46	12	89	71	18	83	58	25	7 мин	14 мин	7 мин

Экспериментальное исследование ПСТ в системе АГАТ на наборе последовательных цифровых ТЭЗ специализированной радиоэлектронной системы. В данном подразделе в качестве ОД рассматриваются ЦУ, реализованные в виде ТЭЗ на интегральных микросхемах типа ТТЛ.

В данном случае в качестве исходной информации об ОД выступает электрическая схема, подготовленная в САПР ORCAD в формате EDIF, который затем преобразуется в формат ISCAS [7] с помощью встроенного в систему АГАТ схемного конвертора. Полученный ISCAS-формат непосредственно используется для генерации и анализа тестов КН ТЭЗ.

Всего было исследовано 104 цифровых ТЭЗ специализированной РЭС. Результаты исследований отражены в табл. 3.

Результаты исследования ПСТ из 104 ТЭЗ показали следующие результаты.

1. Для традиционного ПСТ:

- ◆ 59 ТЭЗ (39%) достигли 50% или более полноты теста;
- ◆ 15 ТЭЗ (31%) достигли 80% или более полноты теста.

2. Для адаптивного ПСТ эти показатели составили соответственно:

- ◆ 98 ТЭЗ (94%) достигли 50% или более, т.е. на 39 ТЭЗ (38%) больше, чем для традиционного ПСТ,
- ◆ 46 ТЭЗ (44%) достигли 80% или более полноты теста, т.е. на 31 ТЭЗ (30%) больше, чем для традиционного ПСТ.

3. Средняя эффективность адаптивного ПСТ по сравнению с традиционным для указанного набора ТЭЗ составляет 20%.

Таблица 3

**Результаты ПСТ по набору из 104 последовательностных цифровых ТЭЗ
специализированной РЭС**

Полнота теста, %	А		Т		А-Т	
	Число ТЭЗ	%	Число ТЭЗ	%	Число ТЭЗ	От общего числа ТЭЗ, %
100	1	1	1	1	0	0
90-99	15	14	8	8	7	7
80-89	30	29	6	6	24	23
70-79	19	18	13	13	6	6
60-69	21	20	16	15	5	5
50-59	12	12	15	14	-3	-3
24-49	6	6	32	31	-26	-25
0-23	0	0	13	13	-13	-13
80-100	46	44	15	31	31	30
50-100	98	94	59	39	39	38
В среднем на 1 ТЭЗ, %						20

В качестве примера в табл. 4 перечислены и описаны некоторые из указанного набора этих ТЭЗ. в табл. 5 приведены результаты традиционного и адаптивного ПСТ для 20 ТЭЗ.

Таблица 4

Параметры набора из 20 ТЭЗ специализированной РЭС

№ ТЭЗ	Входов	Выходов	ЛЭ	Триггеров	КН
1	52	7	231	66	367
2	35	3	503	72	852
3	53	11	307	9	255
4	47	21	796	16	438
5	51	16	206	17	418
6	40	19	267	13	270
7	24	10	238	48	662
8	18	15	63	14	205
9	53	14	220	41	377
10	55	12	142	19	237
11	45	21	255	36	522
12	54	15	504	40	561
13	35	20	422	23	508
14	23	39	28	19	312
15	32	34	218	45	317
16	35	32	210	32	417
17	32	36	229	77	306
18	42	25	172	25	370
19	32	34	145	33	263
20	50	11	535	9	304
В среднем на 1 ТЭЗ	40	20	285	33	398

Таблица 5

Результаты традиционного (Т) и адаптивного (А) ПСТ для набора из 20 ТЭЗ специализированной РЭС

№ ТЭЗ	Полнота теста в течение 10 мин, %			Длина теста, векторов			Время ПСТ до достижения 80%-полноты, ≈мин		
	А	Т	А-Т	А	Т	А-Т	А	Т	Т-А
1	86	80	6	104	98	6	4	10	6
2	83	43	40	162	143	19	8	-	
3	91	83	8	55	17	38	5	7	2
4	82	34	48	83	74	9	8	-	
5	95	82	13	105	95	10	6	9	3
6	81	55	26	50	45	5	9	-	-
7	85	56	29	69	49	20	7	-	-
8	80	45	35	28	12	16	10	-	-
9	82	0	82	83	0	83	8	-	-
10	81	54	27	95	45	50	9	-	-
11	89	83	6	81	84	-3	6	8	2
12	81	80	1	82	61	21	9	10	1
13	83	80	3	87	59	28	7	10	3
14	90	84	6	20	10	10	5	7	2
15	91	84	7	78	63	15	2	7	5
16	84	80	4	67	64	3	8	10	2
17	54	43	11	38	32	6	-	-	-
18	89	80	9	80	76	4	2	10	8
19	100	100	0	52	56	-4	1	1	0
20	51	20	31	35	74	-39	-	-	-
В среднем на 1 ТЭЗ	83	63	20	73	58	15	6	8	2

Сравнительный анализ ПСТ для всех ЦУ. В табл. 6 приведены сводные результаты адаптивного и традиционного ПСТ для схем ISCAS'89 и 104 ТЭЗ специализированной РЭС.

Таблица 6

Обобщенные результаты сравнительного анализа адаптивного (А) и традиционного (Т) ПСТ наборов ЦУ ISCAS'89 и ТЭЗ специализированной РЭС

Тип набора ОД		Полнота теста ПСТ, %			Длина теста, векторов			Время ПСТ до достижения 80%-полноты, ≈мин (сек)		
		А	Т	А-Т	А	Т	А-Т	А	Т	А-Т
ISCAS'89	мин	71	49	0	12	9	1	1 сек	2 сек	1 сек
	среднее	89	71	18	83	58	25	7 мин	14 мин	7 мин
	макс	100	100	49	266	207	61	22 мин	29 мин	26 мин
ТЭЗ	мин	51	0	0	20	10	10	1 мин	1 мин	0
	среднее	83	63	20	73	58	15	6 мин	8 мин	2 мин
	макс	100	100	82	162	143	21	10 мин	10 мин	8 мин

Как видно из табл. 6:

♦ тестовое покрытие КН для последовательных ЦУ (ISCAS'89 и ТЭЗ) при традиционном ПСТ находится в диапазоне от 49% до 100%, в среднем – 78%; для адаптивного ПСТ эти показатели составляют 51%, 100% и 86% соответственно;

♦ время тестирования при тестовом покрытии КН равным 80% при традиционном ПСТ находится в диапазоне от 2 сек до 29 мин, в среднем – 14 мин, для адаптивного ПСТ эти показатели составляют 1 сек, 22 мин и 7 мин соответственно;

♦ эффективность адаптивного ПСТ по сравнению с традиционным по тестовому покрытию КН на 1 ОД находится в диапазоне от 0 до 67%, в среднем – 18%;

Общие выводы по результатам экспериментальных исследований метода адаптивного ПСТ в системе АГАТ. Таким образом, по результатам экспериментальных исследований можно сделать следующие общие выводы.

♦ адаптивная генерация ПСТ улучшает традиционную ПСТ в среднем на 20% по полноте теста; для некоторых ЦУ получен «взрывной» рост тестового покрытия – до 63%;

♦ увеличение длины адаптивного ПСТ по сравнению с традиционным не превышает 25 тестовых векторов, что не превосходит 20%;

♦ длина теста для последовательных ЦУ составляет в среднем 58 векторов для традиционного ПСТ и 83 вектора для адаптивного ПСТ на один ОД. Адаптивный ПСТ увеличивает длину традиционного ПСТ в среднем на 25 векторов, или на 20%.

Заключение:

♦ Предложен метод распознавания и адаптивной генерации псевдослучайных тестов ПЦУ на его основе.

♦ Разработана система АГАТ распознавания и адаптивного псевдослучайного тестирования ПЦУ.

♦ Проведены масштабные экспериментальные исследования предложенного метода, которые показали высокую эффективность.

♦ Метод распознавания и адаптивного ПСТ и система АГАТ были реализованы при тестировании реальных ПЦУ специализированной РЭС и в учебном процессе ДонНТУ по курсу «Разработка и анализ тестов цифровых устройств».

♦ Полученные теоретические результаты и разработанное программное обеспечение могут быть также использованы при тестировании и верификации ПЦУ, построенных на базе ПЛИС, над чем в настоящее время работают авторы статьи совместно с сотрудниками лаборатории «FPGA-технологии проектирования и диагностики» ДонНТУ [22].

БИБЛИОГРАФИЧЕСКИЙ СПИСОК

1. *Bushnell M.L.* Essentials of electronic testing for digital, memory and mixed-signal VLSI circuits. – NY: Springer, 2006. – 708 p.
2. *Markov I.L.* Design, Analysis and Test of Logic Circuits under Uncertainty. – NY: Springer, 2013. – 708 p.
3. *Jha N., Gupta S.* Testing of Digital Systems. – Cambridge: Cambridge University Press, 2003. – 1016 p.
4. *Rene D.* Random testing of digital circuits. – NY: CRC Press, 1998. – 496 p.
5. *Yarmolik V.N., Demidenko S.N.* Generation and Application of Pseudorandom Sequences for Random Testing. – New Jersey: Wiley-Interscience, 1988. – 176 p.
6. *Paul H. Bardell.* Built In Test for VLSI: Pseudorandom Techniques. –Wiley-Interscience, New Jersey, 1987. – 368 p.
7. *Brgles F., Bryan D., Kozminski K.* Combinational profiles of sequential benchmark circuits // International symposium of circuits and systems, ISCAS-89, 1989. – P. 1929-1934.
8. *Stephan Eggersgluess, Rolf Drechsler.* High Quality Test Pattern Generation: Robust Algorithms Using Boolean Satisfiability. – Springer, New York, 2012. – 211 p.
9. *Dimitris Gizopoulos.* Advances in Electronic Testing: Challenges and Methodologies. – Springer, New York, 2006. – 412 p.
10. *Steven X. Ding.* Model-based Fault Diagnosis Techniques: Design Schemes, Algorithms, and Tools. – Springer, New York, 2008. – 493 p.
11. *Hans-Joachim Wunderlich.* Models in Hardware Testing: Lecture Notes of the Forum in Honor of Christian Landrault. – Springer, New York, 2010. – 271 p.

12. *Baranov S.* Logic Synthesis for Control Automata. – Amsterdam: Kluwer, 1994. – 312 p.
13. *Barkalov A., Titarenko L., Krzywicki K.* Logic Synthesis for FPGA-Based Mealy Finite State Machines. – Florida: CRC Press, 2024. – 332 p.
14. *Ubar R., Raik J., Jenihin M.* Structural Decision Diagrams in Digital Test: Theory and Applications. – Birkhäuser: Computer Science Foundations, 2024. – 608 p.
15. *Mukherjee A.* Bond Graph in Modeling, Simulation and Fault Identification. – Florida: CRC Press, 2006. – 244 p.
16. *Зинченко Ю.Е., Зинченко Т.А.* Структурно-функциональная модель управляющего устройства, представленного сетью конечных автоматов // Вычислительные технологии и прикладная математика: Матер. III науч. конф. с междунар. участием «ВТПМ-2024» Комсомольск-на-Амуре 7-11 октября 2024. – Комсомольск-на-Амуре: ФГБОУ ВО «КНАГУ», 2024. – С. 173-178.
17. *Зинченко Ю.Е., Зинченко Т.А.* Адаптивная генерация псевдослучайных тестов цифровых устройств РЭА и ЭВА // Компьютерные и информационные технологии в науке, инженерии и управлении: материалы Всероссийской научно-технической конференции с международным участием «КомТех-2024»: в 2 т. – Ростов-на-Дону; Таганрог: Изд-во ЮФУ, 2024. – С. 316-325.
18. *Зинченко Ю.Е., Калашиников В.И., Хайдук С.* и др. FPGA-технологии проектирования и диагностика компьютерных систем // Сб. научных трудов Международной научно-практической конференции «Современные информационные технологии и ИТ-образование». Т. 1. – М.: МГУ, 2011. – С. 422-429.
19. *Зинченко Ю.Е., Калашиников В.И., Хайдук С.* и др. Современные проекты FPGA-лаборатории ДонНТУ // Сб. трудов Международной научно-практической конференции в рамках I-го Международного научного форума ДНР «Донбасс-2015»: Инновационные перспективы Донбасса, 20-22 мая 2015. – Донецк: ДонНТУ, 2015. – С. 4.
20. *Зинченко Т.А., Зинченко Ю.Е., Дяченко О.Н.* Разработка архитектуры интегрированной система генерации псевдослучайных тестов цифровых устройств // Информатика и кибернетика. – 2021. – № 4 (26). – С. 27-33.
21. *Zinchenko Yuriy, Zinchenko Tatyana.* Adaptive pseudo-random testing approach of digital devices and a test generation system based on it // AIP Conference Proceedings. – 2025. – Vol. 3347, Issue 1. – P. 1-8.
22. Сайт лаборатории ДонНТУ «FPGA-технологии проектирования и диагностика компьютерных систем». – Донецк: ДонНТУ. – URL: <http://fpga.donntu.ru>.

REFERENCES

1. *Bushnell M.L.* Essentials of electronic testing for digital, memory and mixed-signal VLSI circuits. NY: Springer, 2006, 708 p.
2. *Markov I.L.* Design, Analysis and Test of Logic Circuits under Uncertainty. NY: Springer, 2013, 708 p.
3. *Jha N., Gupta S.* Testing of Digital Systems. Cambridge: Cambridge University Press, 2003, 1016 p.
4. *Rene D.* Random testing of digital circuits. NY: CRC Press, 1998, 496 p.
5. *Yarmolik V.N., Demidenko S.N.* Generation and Application of Pseudorandom Sequences for Random Testing. New Jersey: Wiley-Interscience, 1988, 176 p.
6. *Paul H. Bardell.* Built In Test for VLSI: Pseudorandom Techniques. Wiley-Interscience, New Jersey, 1987. – 368 p.
7. *Brgles F., Bryan D., Kozminski K.* Combinational profiles of sequential benchmark circuits // International symposium of circuits and systems, ISCAS-89, 1989. – P. 1929-1934.
8. *Stephan Eggersgluess, Rolf Drechsler.* High Quality Test Pattern Generation: Robust Algorithms Using Boolean Satisfiability. Springer, New York, 2012, 211 p.
9. *Dimitris Gizopoulos.* Advances in Electronic Testing: Challenges and Methodologies. Springer, New York, 2006, 412 p.
10. *Steven X. Ding.* Model-based Fault Diagnosis Techniques: Design Schemes, Algorithms, and Tools. Springer, New York, 2008, 493 p.
11. *Hans-Joachim Wunderlich.* Models in Hardware Testing: Lecture Notes of the Forum in Honor of Christian Landrault. Springer, New York, 2010, 271 p.
12. *Baranov S.* Logic Synthesis for Control Automata. Amsterdam: Kluwer, 1994, 312 p.
13. *Barkalov A., Titarenko L., Krzywicki K.* Logic Synthesis for FPGA-Based Mealy Finite State Machines. Florida: CRC Press, 2024, 332 p.
14. *Ubar R., Raik J., Jenihin M.* Structural Decision Diagrams in Digital Test: Theory and Applications. Birkhäuser: Computer Science Foundations, 2024, 608 p.
15. *Mukherjee A.* Bond Graph in Modeling, Simulation and Fault Identification. Florida: CRC Press, 2006, 244 p.

16. Zinchenko Yu.E., Zinchenko T.A. Strukturno-funktional'naya model' upravlyayushchego ustroystva, predstavlenogo set'yu konechnykh avtomatov [Structural and functional model of a control device represented by a network of finite automata], *Vychislitel'nye tekhnologii i prikladnaya matematika: Mater. III nauch. konf. s mezhdunar. uchastiem «VTPM-2024» Komsomol'sk-na-Amure 7-11 oktyabrya 2024* [Computational technologies and applied mathematics: Proceedings of the III scientific conference with international participation "VTPM-2024" Komsomolsk-on-Amur October 7-11, 2024]. Komsomol'sk-na-Amure: FGBOU VO «KnAGU», 2024, pp. 173-178.
17. Zinchenko Yu.E., Zinchenko T.A. Adaptivnaya generatsiya psevdosluchaynykh testov tsifrovyykh ustroystv REA i EVA [Adaptive generation of pseudo-random tests of digital devices of REA and EVA], *Komp'yuternye i informatsionnye tekhnologii v nauke, inzhenerii i upravlenii: materialy Vserossiyskoy nauchno-tekhnicheskoy konferentsii s mezhdunarodnym uchastiem «KomTekh-2024»* [Computer and information technologies in science, engineering and management: materials of the All-Russian scientific and technical conference with international participation "KomTech-2024"]: In 2 vol. Rostov-on-Don; Taganrog: Izd-vo YuFU, 2024, pp. 316-325.
18. Zinchenko Yu.E., Kalashnikov V.I., Khayduk S. i dr. FPGA-tekhnologii proektirovaniya i diagnostika komp'yuternykh sistem [FPGA technologies for designing and diagnostics of computer systems], *Sb. nauchnykh trudov Mezhdunarodnoy nauchno-prakticheskoy konferentsii «Sovremennye informatsionnye tekhnologii i IT-obrazovanie»* [Collection of scientific papers of the International scientific and practical conference "Modern information technologies and IT education"]. Vol. 1. Moscow: MGU, 2011, pp. 422-429.
19. Zinchenko Yu.E., Kalashnikov V.I., Khayduk S. i dr. Sovremennye proekty FPGA-laboratorii DonNTU [Modern projects of the FPGA laboratory of DonNTU], *Sb. trudov Mezhdunarodnoy nauchno-prakticheskoy konferentsii v ramkakh I-go Mezhdunarodnogo nauchnogo foruma DNR «Donbass-2015»: Innovatsionnye perspektivy Donbassa, 20-22 maya 2015* [Collection of works of the International scientific and practical conference within the framework of the 1st International Scientific Forum of the DPR "Donbass-2015": Innovative prospects of Donbass, May 20-22, 2015]. Donetsk: DonNTU, 2015, pp. 4.
20. Zinchenko T.A., Zinchenko Yu.E., Dyachenko O.N. Razrabotka arkhitektury integrirovannoy sistema generatsii psevdosluchaynykh testov tsifrovyykh ustroystv [Development of the architecture of an integrated system for generating pseudo-random tests of digital devices], *Informatika i kibernetika* [Computer Science and Cybernetics], 2021, No. 4 (26), pp. 27-33.
21. Zinchenko Yuriy, Zinchenko Tatyana. Adaptive pseudo-random testing approach of digital devices and a test generation system based on it, *AIP Conference Proceedings*, 2025, Vol. 3347, Issue 1, pp. 1-8.
22. Sayt laboratorii DonNTU «FPGA-tekhnologii proektirovaniya i diagnostika komp'yuternykh sistem» [Website of the DonNTU laboratory "FPGA technologies for designing and diagnostics of computer systems"]. Donetsk: DonNTU. Available at: <http://fpga.donntu.ru>.

Зинченко Юрий Евгеньевич – Донецкий национальный технический университет; e-mail: zinchenko.yuri@gmail.com; г. Донецк, Россия; тел.: +79494865546; доцент; к.т.н.; доцент.

Зинченко Татьяна Анатольевна – Донецкий национальный технический университет; e-mail: zinchenko.tatyana@gmail.com; г. Донецк, Россия; тел.: +79493349152; старший преподаватель.

Zinchenko Yuriy Evgenievich – Donetsk National Technical University; e-mail: zinchenko.yuri@gmail.com; Donetsk, Russia; phone: +79494865546; cand. of eng. sc.; associate professor.

Zinchenko Tatyana Anatolyevna – Donetsk National Technical University; e-mail: zinchenko.tatyana@gmail.com; Donetsk, Russia; phone: +79493349152; senior lecturer.

Раздел IV. Машинное обучение и нейронные сети

УДК 621.382

DOI 10.18522/2311-3103-2025-5-205-214

В.И. Авиллов, Л.А. Душина, Н.В. Полупанов, В.А. Смирнов

АППАРАТНАЯ НЕЙРОННАЯ СЕТЬ НА ОСНОВЕ МЕМРИСТИВНЫХ СТРУКТУР ОКСИДА ТИТАНА

Представлены результаты изготовления, обучения и исследования макета аппаратной нейронной сети, реализованного в виде кроссбар массива искусственных синапсов на основе мемристорных наноструктур электрохимического оксида титана. Был разработан макет полностью связанной нейронной сети, состоящей из четырех входных электродов, кроссбар массива 16 искусственных синапсов на основе наноструктур электрохимического оксида титана и четырех выходных электродов. Показано, что процесс протекания тока через такую структуру полностью соответствует математической модели нейронной сети. Были проанализированы различные реализации искусственных синапсов, позволяющие реализовать отрицательные «веса» нейронной сети и выбран один из оптимальных вариантов. На основе разработанной структуры был изготовлен макет полностью связанной нейронной сети с использованием технологий магнетронного распыления, оптической и зондовой литографии. Для обучения нейронной сети был разработан алгоритм переключения отдельных мемристоров, исключающий паразитное переключение соседних структур за счет возникновения тока утечки. Для демонстрации работы изготовленного макета нейронной сети была предложена задача классификации двух входных сигналов. Для реализации отрицательных «весов» каждый из входящих сигналов дублировался с отрицательной полярностью. Предполагается, что выходы обученной нейронной сети должны регистрировать: 1) превышение первого сигнала; 2) превышение второго сигнала; 3) оба высоких сигнала. Этап обучения и исследования нейронной сети осуществлялся с использованием программно-аппаратного комплекса «Neuro InT», разработанного в научно-исследовательской лаборатории «Нейроэлектроника и мемристорные наноматериалы», ЮФУ. Исследование макета нейронной сети показало, что все выходы успешно классифицируют входящие сигналы, максимизируя ток через соответствующие выходы для заданных входных значений. Предложенную структуру можно улучшить, добавив дополнительные два входа с постоянным высоким положительным и отрицательным потенциалом для реализации «сдвига» при работе нейронной сети. Полученные результаты могут быть использованы при разработке аппаратных нейронных сетей на основе мемристорных структур оксида титана.

Нанотехнологии; нейроэлектроника; аппаратные нейронные сети; робототехника; мемристорные структуры.

V.I. Avilov, L.A. Dushina, N.V. Polupanov, V.A. Smirnov

HARDWARE NEURAL NETWORK BASED MEMRISTIVE TITANIUM OXIDE STRUCTURES

The paper presents the results of manufacturing, training and research of a hardware neural network prototype implemented as a crossbar array of artificial synapses based on memristor nanostructures of electrochemical titanium oxide. A prototype of a fully connected neural network was developed, consisting of four input electrodes, a crossbar array of 16 artificial synapses based on electrochemical titanium oxide nanostructures and four output electrodes. It is shown that the process of current flow through such a structure fully corresponds to the mathematical model of the neural network. Various implementations of artificial synapses that allow the implementation of negative "weights" of the neural network were analyzed and one of the optimal options was selected. Based on the developed structure, a prototype of a fully connected neural network was manufactured using magnetron sputtering, optical lithography and nanolithography technologies using scanning probe microscopy methods. To train the neural network, an algorithm for switching individual memristors was developed, eliminating parasitic switching of neighboring

structures due to the occurrence of leakage current. To demonstrate the operation of the manufactured neural network model, a task of classifying two input signals was proposed. To implement negative "weights", each of the incoming signals was duplicated with negative polarity. It is assumed that the outputs of the trained neural network should register: 1) the excess of the first signal; 2) the excess of the second signal; 3) both high signals. The training and research of the neural network was carried out using the hardware and software complex "Neuro InT", developed by the staff of the Research Laboratory "Neuroelectronics and Memristive Nanomaterials", SFedU. Research of the neural network model showed that all outputs successfully classify incoming signals, maximizing the current through the corresponding outputs for the given input values. The proposed structure can be improved by adding two additional inputs with a constant high positive and negative potential to implement a "shift" during the operation of the neural network. The obtained results can be used in the development of technological foundations for the formation of hardware neural networks based on memristor titanium oxide nanostructures.

Nanotechnology; neuroelectronics; hardware neural networks; robotics; memristive structures.

Введение. Развитие современного искусственного интеллекта связано с развитием вычислительных способностей компьютеров. При этом для качественного развития требуется разработка и внедрение новых архитектур вычислительных устройств, отличных от архитектуры фон Неймана [1–3]. Одним из таких направлений являются нейроморфные вычисления, принцип которых построен на биологических нейронах и передачи импульса через синапсы [4, 5]. Похожую структуру можно реализовать с помощью кроссбар массивов искусственных синапсов на основе мемристоров, способных изменять свое сопротивление и, соответственно, в большей или меньшей степени передавать электрический импульс от одного слоя аппаратной нейронной сети к другому. Наиболее подходящим материалом для изготовления таких синапсов является электрохимический оксид титана. Мемристоры на его основе проявляют воспроизводимое переключение между различными состояниями [6–18]. Численное моделирование показало, что в процессе формирования таких структур образуется достаточная концентрация кислородных вакансий, принимающих участие в процессе резистивного переключения [19–22]. Таким образом, актуальной задачей является изготовление макета аппаратной нейронной сети на основе кроссбар массивов мемристивных структур оксида титана.

Разработка и изготовление макета аппаратной нейронной сети. Структура нейронной сети подразумевает наличие нескольких слоев, каждый из которых состоит из пренейронов, синапсов и постнейронов. В пределах одного слоя нейронной сети каждый из пренейронов соединен с каждым постнейроном через отдельный синапс, который в большей или меньшей степени пропускает сигнал. Такую схему можно реализовать с помощью кроссбар-массивов мемристоров, в которой каждый вход через отдельный синапс соединен с каждым выходом, при этом проводимость мемристора будет по аналогии с «весом» синапса в большей или меньшей степени пропускать электрический ток (рис. 1).

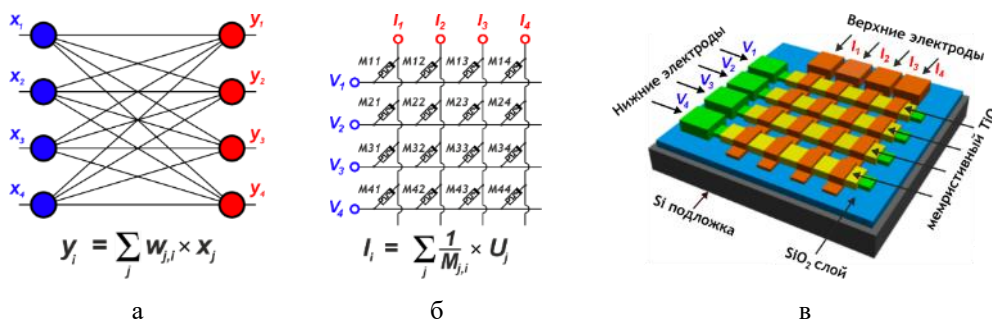


Рис. 1. Реализация топологии нейронной сети: а – математическая модель нейронной сети, б – электрическая схема кроссбар массива мемристоров, в – топология кроссбар-массива мемристоров.

Следует отметить, что в программных нейронных сетях в качестве «веса» используются численные коэффициенты, которые могут принимать в том числе и отрицательные значения. Однако простая кроссбар структура не позволяет инвертировать входной сигнал, когда это необходимо. Для реализации отрицательных «весов» могут быть применены разные методы. В самом простом случае может быть использование дублирование каждого входного сигнала с обратной полярностью, в таком случае «вес» данного сигнала будет определяться разностью проводимостей мемристоров соответствующих входам с прямым и обратным сигналом. В более сложном случае к мемристорам могут быть параллельно подключены транзисторы, работающие в ключевом режиме, которые при необходимости пропускают электрический ток через прямую или обратную полярность, кроме того, существуют схемы, где в качестве отдельного синапса используется мемристорный мост (рис. 2). Тем не менее, простого дублирования входного сигнала с обратной полярностью будет вполне достаточно для большинства задач. Кроме того, данный способ может позволить варьировать диапазоном «весов» в более широком пределе, по сравнению с «весами», соответствующими проводимости одной структуры.

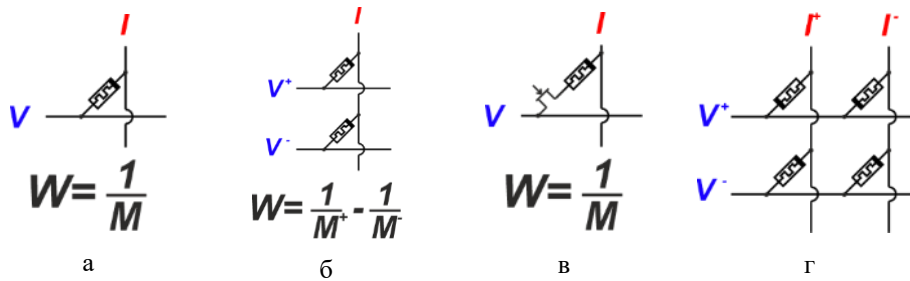
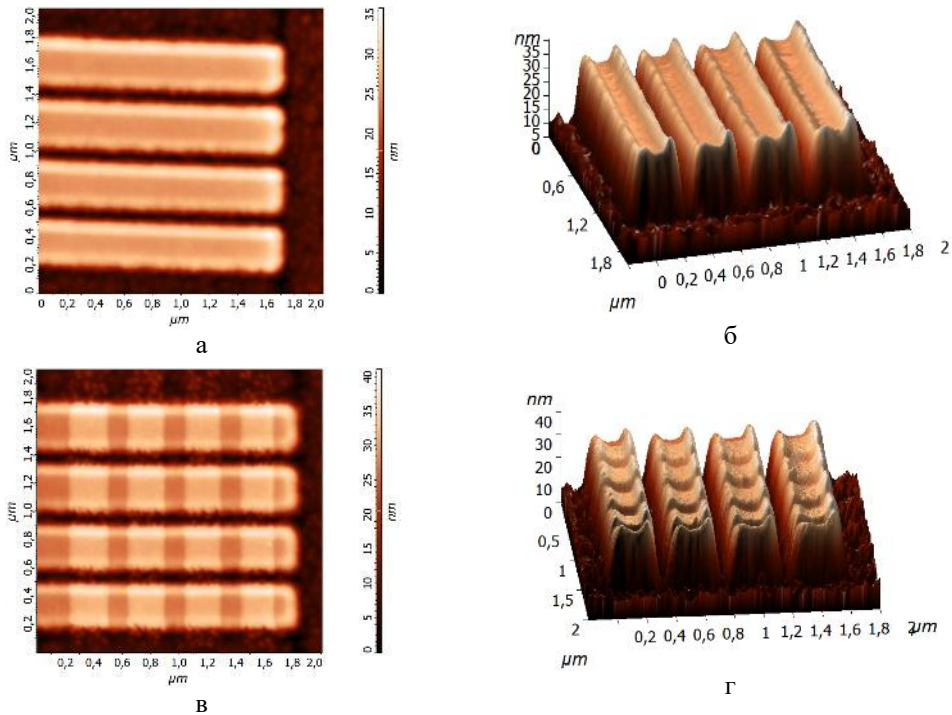


Рис. 2. Схемы реализации искусственных синапсов на основе мемристоров:
 а – 1М структура с положительными «весами», б – 2М структура с положительными и отрицательными «весами», в – 1Т1М структура с ключом, г – мемристорный мост 4М



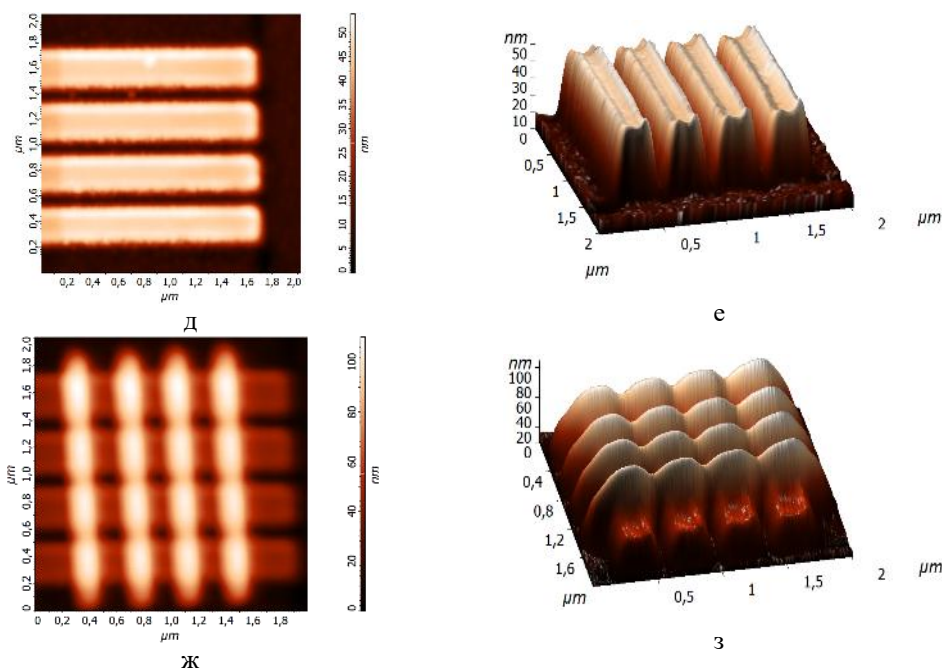


Рис. 3. Этапы изготовления макета однослойной нейронной сети на основе искусственных синапсов: (а) топология и (б) 3D изображение нижних электродов, (в) топология и (г) 3D изображение кроссбар-массива мемристорных наноструктур оксида титана, (д) топография и (е) 3D изображение наноразмерной пленки мемристорного оксида титана, (ж) топология и (з) 3D изображение макета однослойной нейронной сети на основе кроссбар-массива мемристорных наноструктур оксида титана

На основе разработанной топологии был изготовлен макет однослойной нейронной сети на основе искусственных синапсов в виде кроссбар массива мемристоров. В качестве основы служила пленка титана, которая была нанесена на кремниевую подложку с использованием метода магнетронного распыления. Затем методом оптической литографии проводили травление плёнки титана, в результате чего формировались структуры нижних электродов, связанных с контактными площадками, а также контактные площадки для будущих верхних контактных электродов. После этого, было проведено окисление нижних контактных электродов. Окисление проводилось методом локального анодного окисления (ЛАО) в полуконтактном режиме ACM с помощью C3M Solver P47 Pro и кремниевых кантилеверов NSG11 с проводящим платиновым покрытием. В результате окисления на поверхности электродов были сформированы кроссбар-массивы искусственных синапсов как в виде отдельных мемристорных наноструктур, так и в виде сплошной наноразмерной пленки электрохимического оксида титана (рис. 3). На завершающем этапе изготовления макета проводились операции разварки выводов и корпусирования кроссбар-структура (рис. 4).

Обучение и исследование воспроизводимости макета аппаратной нейронной сети. Процесс обучения нейронной сети заключается в установлении заданных «весов», при которых сеть будет выдавать результаты, наиболее близкие к требуемым. В случае аппаратной нейронной сети процесс обучения сводится к переключению искусственных синапсов в требуемое состояние. При этом в случае кроссбар-структуры основная сложность заключается в том, чтобы при воздействии импульса переключения на один искусственный синапс исключить воздействие на соседние синапсы за счет возникновения так называемого «тока утечки», которое имеет место быть, особенно при существенной разности в сопротивлении отдельных структур (рис. 5,а).

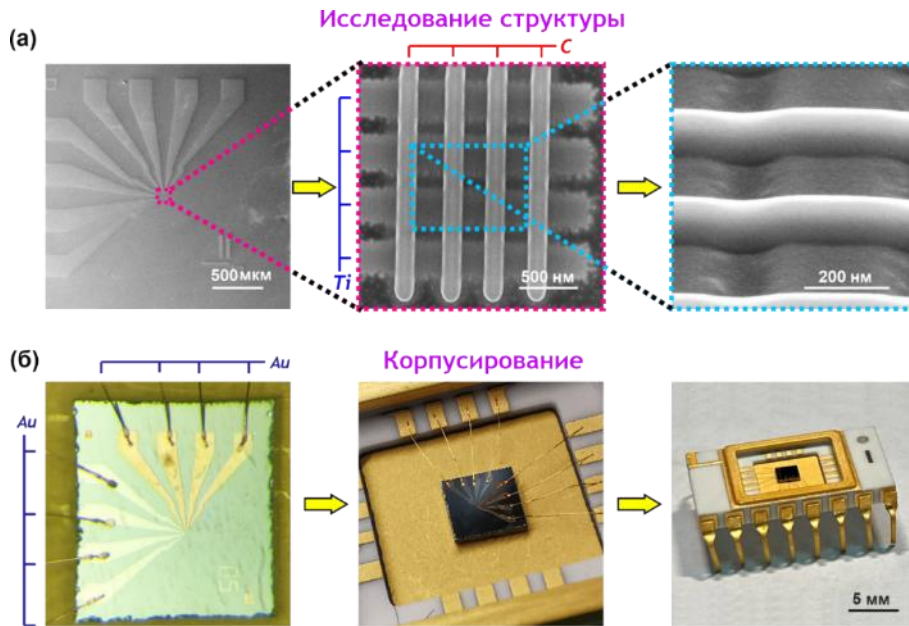


Рис. 4. Результаты изготовления макета однослойной нейронной сети: а – РЭМ-изображения кроссбар-массива с контактными площадками, б – оптические изображения разварки и корпусирования изготовленного макета

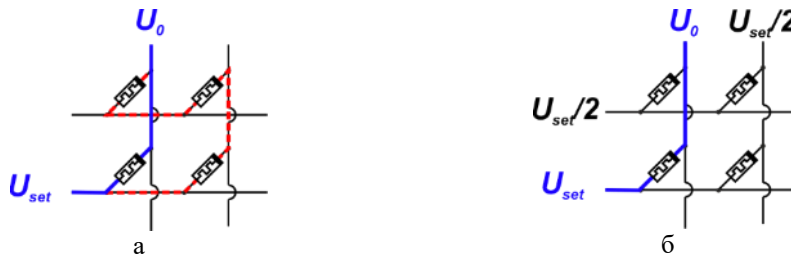


Рис. 5. Метод переключения отдельного искусственного синапса: а – переключение искусственного синапса (синяя линия) и возможные переключения смежных структур (красный пунктир), б – метод защиты от переключений смежных синапсов

Решение данной проблемы может быть найдено в особенностях функционирования искусственных синапсов на основе мемристоров, переключение в которых возникает при превышении пороговой разности потенциалов U_{th} . Соответственно, одним из способов решения данной проблемы является метод переключения отдельного мемристора путем приложения к соответствующему входу электрического потенциала U_{set} немного превышающего U_{th} , и к соответствующему выходу нулевого потенциала. При этом на все остальные входы и выходы будет приложено напряжение $U_{set}/2$, которое должно быть меньше U_{th} . Таким образом, при переключении отдельного мемристора на смежные структуры будет подаваться разность потенциалов, недостаточная для их переключения (рис. 5,б).

Для демонстрации применения аппаратных нейронных сетей для нейросетевой обработки данных с использованием изготовленного кроссбар массива 4x4 мемристоров была поставлена задача классификации входных сигналов. Задача предполагает наличие двух входных сигналов, которые представляют собой либо высокий потенциал (логическая «1») или низкий потенциал (логический «0»). При этом, как было сказано ранее, реализация отрицательных «весов» нейронной сети осуществляется дублированием входящего сигнала с противоположной полярностью. Таким образом макета нейронной сети

будет иметь 3 входа. В качестве выходов макета нейронной сети будут сигналы, детектирующие: 1) первый сигнал выше второго, 2) первый сигнал ниже, 3) оба сигнала высокие. Реализовать реагирование на оба низких сигнала на кроссбар структуре 4x4 не представляется возможным, поскольку на все входы будет подаваться нулевой потенциал. Тем не менее, такую задачу можно реализовать, используя дополнительные два входа с постоянно положительным и постоянно отрицательным сигналами, осуществляющих функцию «сдвига» для нейронных сетей. Таблица истинности входных и выходных сигналов и схема переключения искусственных синапсов представлена на рис. 6.

Для обучения и проведения исследований макет нейронной сети в корпусе устанавливался на макетную плату, подключенную к программно-аппаратному комплексу «Neuro InT», разработанному сотрудниками Научно-исследовательской лаборатории "Нейроэлектроника и мемристоривые наноматериалы", ЮФУ (рис. 7). Для переключения структуры в соответствующее состояние прикладывались импульсы напряжения в соответствии с разработанным алгоритмом.

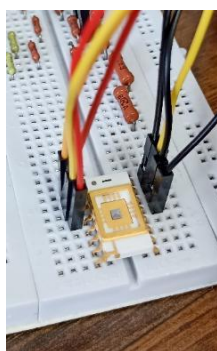
сигнал 1 +	сигнал 1 –	сигнал 2 +	сигнал 2 –	сигнал 1 больше сигнала 2	сигнал 1 меньше сигнала 2	оба сигнала высокие
0	0	0	0	0	0	0
0	0	1	-1	0	1	0
1	-1	0	0	1	0	0
1	-1	1	-1	0	0	1

а

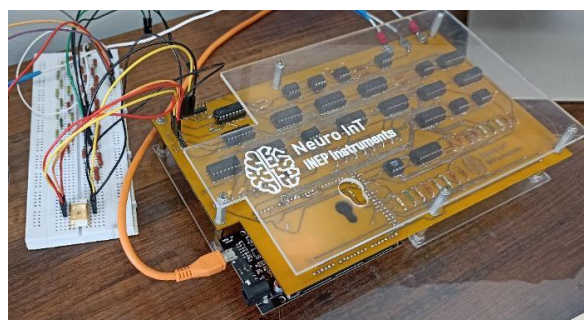
	сигнал 1 больше сигнала 2	сигнал 1 меньше сигнала 2	оба сигнала высокие
сигнал 1 +	LRS	HRS	LRS
сигнал 1 –	HRS	LRS	HRS
сигнал 2 +	HRS	LRS	LRS
сигнал 2 –	LRS	HRS	HRS

б

Рис. 6. Обучение макета нейронной сети: а – таблица истинности входных и выходных сигналов, б – схема переключения искусственных синапсов в кроссбаре



а



б

Рис. 7. Подключение макета нейронной сети: а – макетная плата с установленным макетом нейронной сети, б – подключение макетной платы к программно-аппаратному комплексу «Neuro InT»

Исследование работоспособности макета проводилось с использованием программно-аппаратного комплекса «Neuro InT». На вход структуры подавались прямоугольные импульсы в соответствии с таблицей истинности на рис. 6,а, А на выходе измерялась величина токов (рис. 8). Экспериментальные исследования показали, что при подаче на вход определенных импульсов напряжения на выходе наблюдается максимизация соответствующего тока. Можно заметить, что выход, соответствующий обоим высоким сигналам, имеет всплески, для только одного высокого сигнала. Эту проблему также можно решить введением дополнительных постоянных входов для реализации «сдвига» нейронной сети.

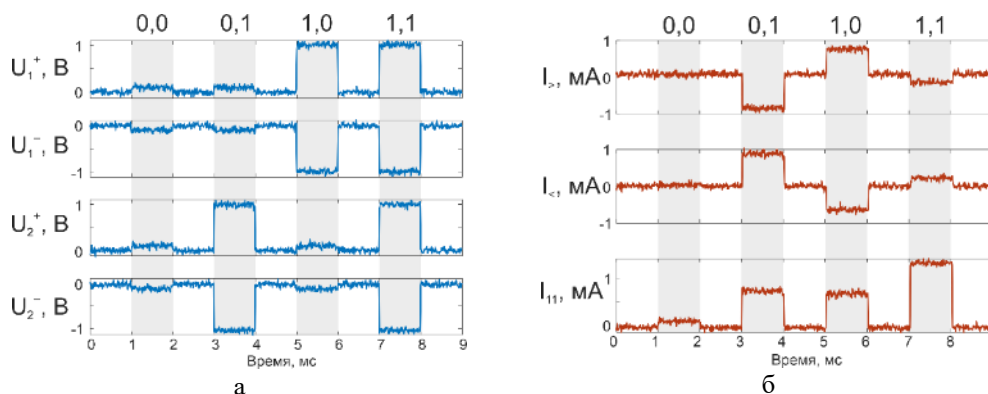


Рис. 8. Исследование работы макета нейронной сети: а – поданные на вход импульсы напряжения, б – токовременные характеристики на выходе нейронной сети

Заключение. В работе проведено изготовление, обучение и исследование макета аппаратной нейронной сети, реализованного в виде кроссбар массива искусственных синапсов на основе мемристорных наноструктур электрохимического оксида титана. Был разработан макет полносвязной нейронной сети с учетом различных возможных реализаций искусственных синапсов. На основе разработанной структуры был изготовлен макет полносвязной нейронной сети, для обучения которого был разработан алгоритм переключения отдельных мемристоров. Для демонстрации работы изготовленного макета была предложена задача классификации двух входных сигналов. Исследование макета нейронной сети показало, что все выходы успешно классифицируют входящие сигналы, максимизируя ток через соответствующие выходы для заданных входных значений. Предложенную структуру можно улучшить, добавив дополнительные два входа с постоянным высоким положительным и отрицательным потенциалом для реализации «сдвига» при работе нейронной сети.

Полученные результаты могут быть использованы при разработке аппаратных нейронных сетей на основе мемристорных структур оксида титана.

Исследование выполнено за счет гранта Российского научного фонда № 22-79-10215-П в Южном федеральном университете.

БИБЛИОГРАФИЧЕСКИЙ СПИСОК

1. Soori M., Arezoo B., Dastres R. Artificial neural networks in supply chain management, a review // Journal of Economy and Technology. – 2023. – Vol. 1. – P. 179-196.
2. Jaekwang Cha, Shiho Kim CNN Hardware Accelerator Architecture Design for Energy-Efficient AI // Artificial Intelligence and Hardware Accelerators. – 2023. – P. 319-357.
3. Abhijit Pandya, Ankur Agarwal, P. K. Kim Low Power Design of the Neuroprocessor // Knowledge-Based Intelligent Information and Engineering Systems. – 2003. – Vol. 2774. – P. 856-862.
4. Fei Zhang, Mehdi Aghagolzadeh, Karim Oweiss A Fully Implantable, Programmable and Multimodal Neuroprocessor for Wireless, Cortically Controlled Brain-Machine Interface Applications // J Sign Process Syst. – 2012. – Vol. 69. – P. 351-361.

5. Xiaoyang Liu, Zhigang Zeng, Rusheng Ju Design of Memristor-Based Binarized Multi-layer Neural Network with High Robustness // *Neural Information Processing. Communications in Computer and Information Science.* – 2024. – Vol. 1962. – P. 249-259.
6. Mousam Charan Sahu, Anjan Kumar Jena, Sameer Kumar Mallik, Suman Roy, Sandhyarani Sahoo, et al. Reconfigurable Low-Power TiO₂ Memristor for Integration of Artificial Synapse and Nociceptor // *ACS Applied Materials & Interfaces.* – 2023. – Vol. 15 (21). – P. 25713-25725.
7. Tominov R., Avilov V., Vakulov Z., Khakhulin D., Ageev O., Valov I., Smirnov V. Forming-Free Resistive Switching of Electrochemical Titanium Oxide Localized Nanostructures: Anodization, Chemical Composition, Nanoscale Size Effects, and Memristive Storage // *Adv. Electron. Mater.* – 2022. – 2200215.
8. Avilov V.I., Smirnov V.A., Tominov R.V., Sharapov N.A., Avakyan A.A. Atomic force microscopy of titanium oxide nanosize structures resistive switching // *Abstract Book of International Conference “Scanning Probe Microscopy”.* – 2019. – P. 131-132.
9. Avilov V.I., Smirnov V.A., Tominov R.V., Sharapov N.A., Polupanov N.A., Ageev O.A. Phase composition investigation of titanium oxide nanostructures obtained by the local anodic oxidation // *IOP Conf. Series: Materials Science and Engineering.* – 2019. – Vol. 699. – 012003.
10. Смирнов В.А., Авиллов В.И., Томинов Р.В., Федотов А.А., Агеев О.А., Валов И. Мемристорные структуры на основе электрохимического оксида титана для RERAM и нейроморфных применений // *Наноиндустрия.* – 2021. – Т. 14. – С. 664-665.
11. Смирнов В.А., Томинов Р.В., Авиллов В.И., Полякова В.В., Агеев О.А. Исследование эффекта резистивного переключения в не требующих формовки оксидных наноразмерных структурах титана // *Известия ЮФУ. Технические науки.* – 2019. – № 2 (204). – С. 201-213.
12. Авиллов В.И., Смирнов В.А., Шарпов Н.А. Размерный эффект в мемристорных наноструктурах на основе оксида титана для создания элементов систем искусственного интеллекта и синаптроники // *Известия ЮФУ. Технические науки.* – 2018. – № 2 (196). – С. 34-46.
13. Авиллов В.И. Закономерности формирования и проявления резистивного переключения в наноструктурах оксида титана для аппаратных нейронных сетей // *Перспективные системы и задачи управления: Матер. XIX Всероссийской научно-практической конференции.* – 2024. – С. 419-423.
14. Zhavoronkov L.G., Avilov V.I., Polupanov N.V., Khakhulin D.A., and Smirnov V.A. Fabrication and investigation of a memristive crossbar array artificial synapses based on electrochemical titanium oxide for neuroelectronics // *Ferroelectrics.* – 2024. – Vol. 618 (5). – P. 1323-1329.
15. Хахулин Д.А., Дзюба Д.А., Авиллов В.И., Смирнов В.А. Синаптические свойства мемристора на основе TiO_x // *Курчатовская междисциплинарная молодёжная научная школа: Сб. аннотаций.* – 2023. – 87.
16. Авиллов В.И., Варганов В.И., Федотов А.А., Смирнов В.А. Нейроморфные структуры в системах РТК // *Перспективные системы и задачи управления: Матер. XVIII Всероссийской научно-практической конференции и XIV молодежной школы-семинара.* – 2023. – С. 173-176.
17. Авиллов В.И., Жаворонков Л.Г., Полупанов Н.В., Хахулин Д.А., Смирнов В.А. Синаптические устройства для нейроморфных систем робототехнических комплексов // *Перспективные системы и задачи управления: Матер. XVIII Всероссийской научно-практической конференции и XIV молодежной школы-семинара.* – 2023. – С. 169-173.
18. Томинов Р.В., Авиллов В.И., Черненко Н.Е., Смирнов В.А. Исследование мемристорного эффекта тонкой пленки оксида титана для искусственных нейроподобных систем // *Сб. трудов XIII Всероссийской конференции молодых ученых «Наноэлектроника, нанофотоника и нелинейная физика.* – 2018. – С. 318-319.
19. Karen'kih O.G., Avilov V.I., Smirnov V.A., Fedotov A.A., Sharapov N.A. and Polupanov N.A. Modeling of local anodic oxidation of titanium oxide nanostructures formation process // *IOP Conf. Series: Materials Science and Engineering.* – 2018. – Vol. 443. – 012013.
20. Avilov Vadim I., Tominov Roman V., Vakulov Zakhar E., Zhavoronkov Lev G., and Smirnov Vladimir A. Titanium oxide artificial synaptic device: Nanostructure modeling and synthesis, memristive cross-bar fabrication, and resistive switching investigation // *Nano Research.* – 2023. – Vol. 16. – P. 10222-10233.
21. Avilov Vadim I., Tominov Roman V., Vakulov Zakhar E., Rodriguez Daniel J., Polupanov Nikita V., Smirnov Vladimir A. Nanoscale Titanium Oxide Memristive Structures for Neuromorphic Applications: Atomic Force Anodization Techniques, Modeling, Chemical Composition, and Resistive Switching Properties // *Nanomaterials.* – 2025. – Vol. 15 (1). – 75.
22. Karen'kih O.G., Avilov V.I., Smirnov V.A., Sharapov N.A., Polupanov N.A. Modeling of titanium oxide nanostructures formation process by local anodic oxidation // *Abstract Book of International Conference “Scanning Probe Microscopy”.* – 2018. – 97.

REFERENCES

1. Soori M., Arezoo B., Dastres R. Artificial neural networks in supply chain management, a review, *Journal of Economy and Technology*, 2023, Vol. 1, pp. 179-196.
2. Jaekwang Cha, Shiho Kim CNN Hardware Accelerator Architecture Design for Energy-Efficient AI, *Artificial Intelligence and Hardware Accelerators*, 2023, pp. 319-357.
3. Abhijit Pandya, Ankur Agarwal, P. K. Kim Low Power Design of the Neuroprocessor, *Knowledge-Based Intelligent Information and Engineering Systems*, 2003, Vol. 2774, pp. 856-862.
4. Fei Zhang, Mehdi Aghagolzadeh, Karim Oweiss A Fully Implantable, Programmable and Multimodal Neuroprocessor for Wireless, Cortically Controlled Brain-Machine Interface Applications, *J Sign Process Syst.*, 2012, Vol. 69, pp. 351-361.
5. Xiaoyang Liu, Zhigang Zeng, Rusheng Ju Design of Memristor-Based Binarized Multi-layer Neural Network with High Robustness, *Neural Information Processing. Communications in Computer and Information Science*, 2024, Vol. 1962, pp. 249-259.
6. Mousam Charan Sahu, Anjan Kumar Jena, Sameer Kumar Mallik, Suman Roy, Sandhyarani Sahoo, et al. Reconfigurable Low-Power TiO₂ Memristor for Integration of Artificial Synapse and Nociceptor, *ACS Applied Materials & Interfaces*, 2023, Vol. 15 (21), pp. 25713-25725.
7. Tominov R., Avilov V., Vakulov Z., Khakhulin D., Ageev O., Valov I., Smirnov V. Forming-Free Resistive Switching of Electrochemical Titanium Oxide Localized Nanostructures: Anodization, Chemical Composition, Nanoscale Size Effects, and Memristive Storage, *Adv. Electron. Mater.*, 2022, 2200215.
8. Avilov V.I., Smirnov V.A., Tominov R.V., Sharapov N.A., Avakyan A.A. Atomic force microscopy of titanium oxide nanosize structures resistive switching, *Abstract Book of International Conference "Scanning Probe Microscopy"*, 2019, pp. 131-132.
9. Avilov V.I., Smirnov V.A., Tominov R.V., Sharapov N.A., Polupanov N.A., Ageev O.A. Phase composition investigation of titanium oxide nanostructures obtained by the local anodic oxidation, *IOP Conf. Series: Materials Science and Engineering*, 2019, Vol. 699, 012003.
10. Smirnov V.A., Avilov V.I., Tominov R.V., Fedotov A.A., Ageev O.A., Valov I. Memristornye struktury na osnove elektrokhimicheskogo oksida titana dlya RERAM i neyromorfnykh primeneniy [Memristor structures based on electrochemical titanium oxide for RERAM and neuromorphic applications], *Nanoindustria* [Nanoindustry], 2021, Vol. 14, pp. 664-665.
11. Smirnov V.A., Tominov R.V., Avilov V.I., Polyakova V.V., Ageev O.A. Issledovanie effekta rezistivnogo pereklyucheniya v ne trebuyushchikh formovki oksidnykh nanorazmernykh strukturakh titana [Study of the effect of resistive switching in oxide nanoscale titanium structures that do not require forming], *Izvestiya YuFU. Tekhnicheskie nauki* [Izvestiya SFedU. Engineering Sciences], 2019, No. 2 (204), pp. 201-213.
12. Avilov V.I., Smirnov V.A., Sharapov N.A. Razmernyy effekt v memristornykh nanostrukturakh na osnove oksida titana dlya sozdaniya elementov sistem iskusstvennogo intellekta i sinaptroniki [Size effect in memristor nanostructures based on titanium oxide for creating elements of artificial intelligence and synaptronics systems], *Izvestiya YuFU. Tekhnicheskie nauki* [Izvestiya SFedU. Engineering Sciences], 2018, No. 2 (196), pp. 34-46.
13. Avilov V.I. Zakonomernosti formirovaniya i proyavleniya rezistivnogo pereklyucheniya v nanostrukturakh oksida titana dlya apparatnykh neyronnykh setey [Patterns of formation and manifestation of resistive switching in titanium oxide nanostructures for hardware neural networks], *Perspektivnye sistemy i zadachi upravleniya: Mater. XIX Vserossiyskoy nauchno-prakticheskoy konferentsii* [Advanced control systems and problems: Proceedings of the XIX All-Russian scientific and practical conference], 2024, pp. 419-423.
14. Zhavoronkov L.G., Avilov V.I., Polupanov N.V., Khakhulin D.A., and Smirnov V.A. Fabrication and investigation of a memristive crossbar array artificial synapses based on electrochemical titanium oxide for neuroelectronics, *Ferroelectrics*, 2024, Vol. 618 (5), pp. 1323-1329.
15. Khakhulin D.A., Dzyuba D.A., Avilov V.I., Smirnov V.A. Sinaphticheskie svoystva memristora na osnove TiO_x [Synaptic properties of a TiO_x-based memristor], *Kurchatovskaya mezhdistsiplinarnaya molodezhnaya nauchnaya shkola: Sb. annotatsiy* [Kurchatov Interdisciplinary Youth Scientific School: Collection of Abstracts], 2023, 87.
16. Avilov V.I., Varganov V.I., Fedotov A.A., Smirnov V.A. Neyromorfnye struktury v sistemakh RTK [Neuromorphic structures in RTC systems], *Perspektivnye sistemy i zadachi upravleniya: Mater. XVIII Vserossiyskoy nauchno-prakticheskoy konferentsii i XIV molodezhnoy shkoly-seminara* [Advanced systems and control problems: Proceedings of the XVIII All-Russian Scientific and Practical Conference and XIV Youth School-Seminar], 2023, pp. 173-176.

17. Avilov V.I., Zhavoronkov L.G., Polupanov N.V., Khakhulin D.A., Smirnov V.A. Sinapticheskie ustroystva dlya neyromorfnykh sistem robototekhnicheskikh kompleksov [Synaptic devices for neuromorphic systems of robotic complexes], *Perspektivnye sistemy i zadachi upravleniya: Mater. XVIII Vserossiyskoy nauchno-prakticheskoy konferentsii i XIV molodezhnoy shkoly-seminara* [Prospective systems and control problems: Proceedings of the XVIII All-Russian scientific and practical conference and XIV youth school-seminar], 2023, pp. 169-173.
18. Tominov R.V., Avilov V.I., Chernenko N.E., Smirnov V.A. Issledovanie memristornogo efekta tonkoy plenki oksida titana dlya iskusstvennykh neyropodobnykh sistem [Study of the memristor effect of a thin titanium oxide film for artificial neuron-like systems], *Sb. trudov XIII Vserossiyskoy konferentsii molodykh uchenykh «Nanoelektronika, nanofotonika i nelineynaya fizika* [Collection of works of the XIII All-Russian conference of young scientists "Nanoelectronics, nanophotonics and nonlinear physics"], 2018, pp. 318-319.
19. Karen'kih O.G., Avilov V.I., Smirnov V.A., Fedotov A.A., Sharapov N.A. and Polupanov N.A. Modeling of local anodic oxidation of titanium oxide nanostructures formation process. *IOP Conf. Series: Materials Science and Engineering*, 2018, Vol. 443, 012013.
20. Avilov Vadim I., Tominov Roman V., Vakulov Zakhar E., Zhavoronkov Lev G., and Smirnov Vladimir A. Titanium oxide artificial synaptic device: Nanostructure modeling and synthesis, memristive crossbar fabrication, and resistive switching investigation, *Nano Research*, 2023, Vol. 16, pp. 10222-10233.
21. Avilov Vadim I., Tominov Roman V., Vakulov Zakhar E., Rodriguez Daniel J., Polupanov Nikita V., Smirnov Vladimir A. Nanoscale Titanium Oxide Memristive Structures for Neuromorphic Applications: Atomic Force Anodization Techniques, Modeling, Chemical Composition, and Resistive Switching Properties, *Nanomaterials*, 2025, Vol. 15 (1), 75.
22. Karen'kih O.G., Avilov V.I., Smirnov V.A., Sharapov N.A., Polupanov N.A. Modeling of titanium oxide nanostructures formation process by local anodic oxidation, *Abstract Book of International Conference "Scanning Probe Microscopy"*, 2018, 97.

Авилов Вадим Игоревич – Южный федеральный университет; e-mail: avilovvi@sfedu.ru; г. Таганрог, Россия; к.т.н.; доцент.

Душина Людмила Андреевна – Южный федеральный университет; e-mail: ldushina@sfedu.ru; г. Таганрог, Россия; студент.

Полупанов Никита Валерьевич – Южный федеральный университет; e-mail: npolupanov@sfedu.ru; г. Таганрог, Россия; студент.

Смирнов Владимир Александрович – Южный федеральный университет; e-mail: vasmirnov@sfedu.ru; г. Таганрог, Россия; к.т.н.; зав. кафедрой РТЭН.

Avilov Vadim Igorevich – Southern Federal University; e-mail: avilovvi@sfedu.ru; Taganrog, Russia; cand. of eng. sc.; associate professor.

Dushina Ludmila Andreevna – Southern Federal University; e-mail: ldushina@sfedu.ru; Taganrog, Russia; student.

Polupanov Nikita Valerievich – Southern Federal University; e-mail: npolupanov@sfedu.ru; Taganrog, Russia; student.

Smirnov Vladimir Aleksandrovich – Southern Federal University; e-mail: vasmirnov@sfedu.ru; Taganrog, Russia; cand. of eng. sc.; head of the department.

УДК 004.3, 004.9

DOI 10.18522/2311-3103-2025-5-214-229

Э.В. Мельник, Д.Е. Блох, А.И. Безмельцев, В.С. Панищев, С.Н. Полторацкий
ПРОЕКТИРОВАНИЕ МОДУЛЕЙ НЕЙРОСЕТЕЙ MLP И CNN НА ПЛИС
ДЛЯ ЗАДАЧ КЛАССИФИКАЦИИ ИЗОБРАЖЕНИЙ

Актуальность. Развитие методов машинного обучения и архитектур нейронных сетей, а также их распространение в различные сферы промышленности обуславливают актуальность решения задач по их аппаратной реализации. Использование программируемых логических интегральных схем в этой области позволит повысить скорость обработки данных и адаптивность реализуемых алгоритмов. Однако проектирование нейросетевых архитектур на программируе-

мых логических интегральных схемах сопряжено с рядом методологических и технических сложностей, включая оптимизацию параллельных вычислений, управление аппаратными ресурсами и обеспечение работы в условиях ограниченных вычислительных ресурсов. **Цель работы** – анализ и сравнение двух архитектур нейронных сетей, многослойного перцептрона (MLP) и сверточной нейронной сети (CNN), в контексте их аппаратной реализации на программируемых логических интегральных схемах (ПЛИС). Особое внимание уделяется компромиссу между точностью классификации и эффективностью использования ограниченных аппаратных ресурсов ПЛИС. **Методы исследования.** Для достижения цели была проведена разработка и симуляция двух модулей на ПЛИС Virtex 7, перцептронного и сверточного. Использовался набор данных MNIST, уменьшенный до 20×20 пикселей. Реализация включала этапы квантования параметров до фиксированного формата 16:16, оптимизацию гиперпараметров, применение табличных вычислений для нелинейных функций и оценку использования ресурсов ПЛИС. **Результаты и обсуждения.** MLP достиг точности 93% при использовании 11% логических элементов, в то время как CNN обеспечила точность 98%, но потребовала существенно больше ресурсов. Использование внутренних буферов для хранения промежуточных данных в CNN привело к превышению допустимых ресурсов. Вынужденный переход к внешней памяти увеличил задержки и объем портов ввода-вывода. **Выводы.** Исследование показало, что выбор архитектуры зависит от приоритетов: CNN обеспечивает лучшую точность, но менее эффективна в ресурсах. Для embedded-систем с ограничениями по памяти и потреблению энергии предпочтительна упрощенная MLP-реализация. Основными проблемами остаются нехватка внутренней памяти и высокая ресурсоемкость операций, что требует дальнейших исследований в области аппаратной оптимизации и адаптивного управления вычислениями.

ПЛИС; нейронные сети; сверточные сети; многослойный перцептрон; квантование; аппаратная реализация; embedded-системы.

E.V. Melnik, D.E. Blokh, A.I. Bezmeltsev, V.S. Panishchev, S.N. Poltoratsky

DESIGNING MLP AND CNN NEURAL NETWORK MODULES ON FPGA FOR IMAGE CLASSIFICATION TASKS

Relevance. The development of machine learning methods and neural network architectures, as well as their spread into various industrial sectors, determine the relevance of solving problems related to their hardware implementation. The use of programmable logic integrated circuits in this area will increase data processing speed and the adaptability of the implemented algorithms. However, designing neural network architectures on programmable logic integrated circuits is associated with a number of methodological and technical difficulties, including the optimization of parallel computing, hardware resource management, and ensuring operation under conditions of limited computing resources. **The purpose of this work** is to analyze and compare two neural network architectures, the multilayer perceptron (MLP) and the convolutional neural network (CNN), in the context of their hardware implementation on programmable logic integrated circuits (PLICs). Particular attention is paid to the trade-off between classification accuracy and the efficient use of limited FPGA hardware resources. **Research methods.** To achieve the goal, two modules were developed and simulated on a Virtex 7 FPGA, a perceptron and a convolutional module. The MNIST dataset, reduced to 20×20 pixels, was used. The implementation included quantizing parameters to a fixed 16:16 format, optimizing hyperparameters, using tabular computations for nonlinear functions, and evaluating FPGA resource usage. **Results and discussions.** MLP achieved 93% accuracy using 11% of logic elements, while CNN achieved 98% accuracy but required significantly more resources. The use of internal buffers to store intermediate data in CNN resulted in exceeding the allowable resources. The forced transition to external memory increased delays and the number of I/O ports. **Conclusions.** The study showed that the choice of architecture depends on priorities: CNN provides better accuracy but is less resource-efficient. For embedded systems with memory and power consumption constraints, a simplified MLP implementation is preferable. The main problems remain the lack of internal memory and the high resource intensity of operations, which requires further research in the field of hardware optimization and adaptive computation control.

FPGA; neural networks; convolutional networks; multilayer perceptron; quantization; hardware implementation; embedded systems.

Введение. Активное развитие методов машинного обучения и их интеграция в аппаратные платформы обусловили повышенный интерес к реализации нейронных сетей на программируемых логических интегральных схемах (ПЛИС) [1, 2]. Данное направление исследований продиктовано требованиями к повышению энергоэффективности, снижению задержек при обработке данных и адаптивности алгоритмов в условиях ограниченных вычислительных ресурсов [3, 4]. Однако проектирование нейросетевых архитектур на ПЛИС сопряжено с рядом методологических и технических сложностей, включая оптимизацию параллельных вычислений, управление аппаратными ресурсами [5, 6] и обеспечение соответствия между абстрактными математическими моделями и их физической реализацией.

В рамках настоящего исследования рассматривается задача разработки модуля распознавания цифр, являющейся типичным примером классификации изображений, для которой проведено сравнительное моделирование двух архитектур: многослойного перцептрона и сверточной нейронной сети. Выбор указанных моделей обусловлен необходимостью анализа принципиально различных подходов к обработке данных: перцептрон, основанный на полносвязных слоях, демонстрирует зависимость от глобальных признаков, тогда как сверточная сеть акцентирует внимание на локальных пространственных закономерностях. Сопоставление данных архитектур в контексте их аппаратной реализации позволяет выявить специфические ограничения, связанные с распределением логических элементов, использованием памяти и синхронизацией потоков вычислений. Последующее изложение сфокусировано на методологии преобразования программных моделей нейросетей в аппаратные описания на языке HDL, оценке эффективности использования ресурсов ПЛИС и анализе компромиссов между точностью классификации и быстродействием системы.

Постановка задачи. Эффективная реализация нейросетевых моделей на программируемых логических интегральных схемах определяется не только алгоритмической сложностью архитектур, но и ограничениями аппаратных ресурсов. В условиях embedded-систем требуется достижение компромисса между точностью классификации и эффективностью использования логики, памяти и вычислительных блоков.

Основная задача настоящей работы заключается в проектировании и сравнительном анализе модулей MLP и CNN для задачи классификации изображений, исследовании влияния архитектурных решений на показатели точности и ресурсоемкости, а также в разработке схемотехнических приёмов, позволяющих минимизировать использование памяти и сократить задержки обработки при сохранении приемлемого уровня классификации.

Методы решения. В качестве базовой модели для распознавания цифр был выбран многослойный перцептрон, обрабатывающий входные данные в виде одномерного вектора, полученного из изображения размером 20×20 пикселей в градациях серого. Преобразование двумерного изображения в векторную форму, несмотря на потерю пространственной информации, позволяет упростить реализацию полносвязных слоев, что критически важно для последующего переноса алгоритма на ПЛИС [7]. Архитектура сети включала входной слой (400 нейронов), скрытый слой переменного размера и выходной слой (10 нейронов), соответствующий количеству классов.

Экспериментальная часть исследования была направлена на определение оптимальных гиперпараметров, включая функцию активации скрытого и выходного слоев, размер скрытого слоя и количество эпох обучения [8]. Первоначально анализировалось влияние количества эпох на сходимость модели. Как показано на рисунке 1, зависимость точности и потерь от числа эпох демонстрирует, что без использования смещения (bias) в скрытом слое и функции активации ReLU модель достигает плато точности уже после пяти итераций, в то время как наличие смещения приводит к замедленной сходимости и колебаниям метрик. Данный результат подтвердил целесообразность ограничения числа эпох для минимизации вычислительных затрат без существенного ухудшения качества классификации.

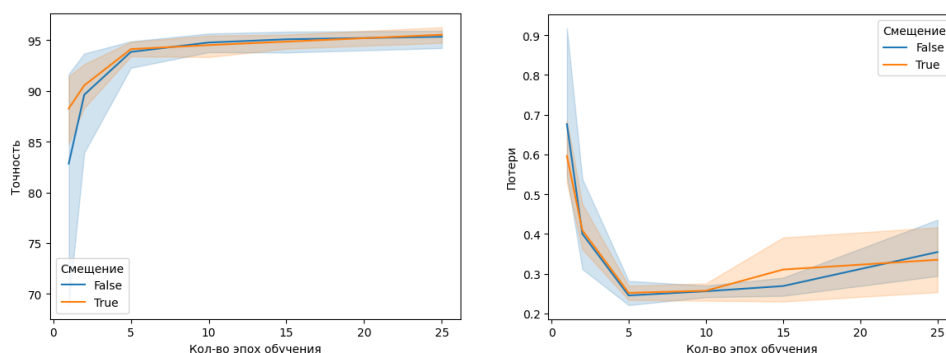


Рис. 1. Зависимость точности и потери от количества эпох обучения для сетей со смещением и без. Функция активации скрытого ReLU. Функция активации выходного Softmax

Далее исследовалось влияние размера скрытого слоя на обобщающую способность модели. Согласно данным, представленным на рис. 2, увеличение числа нейронов свыше 96 единиц не приводит к статистически значимому росту точности, однако пропорционально повышает требования к объему памяти и количеству логических элементов [9, 10] на ПЛИС. При сокращении скрытого слоя ниже 64 нейронов наблюдается резкое снижение точности, обусловленной недостаточной емкостью модели для выделения признаков. Таким образом, выбор скрытого слоя из 96 нейронов представляет собой компромисс между производительностью и аппаратной сложностью.

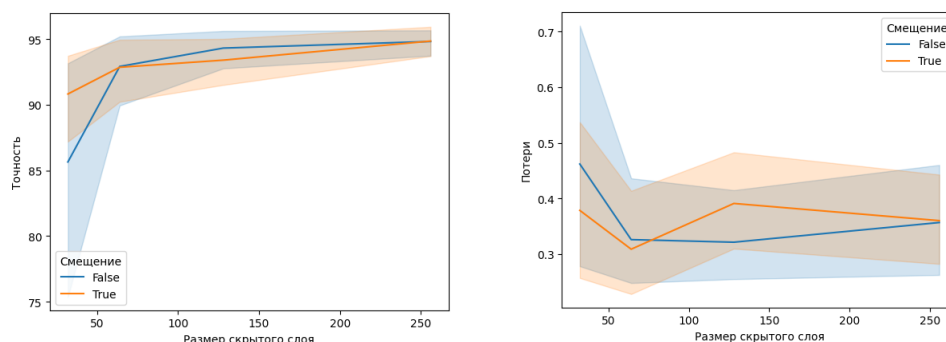


Рис. 2. Зависимость точности и потери от размера скрытого слоя для сетей со смещением (bias) и без. Функция активации скрытого ReLU. Функция активации выходного Softmax

Отдельное внимание уделялось анализу функций активации. Сравнение ReLU, сигмоиды и гиперболического тангенса в скрытом слое (рис. 3) выявило преимущество ReLU в контексте скорости обучения и устойчивости к проблеме затухающих градиентов [11, 12]. Для выходного слоя, как продемонстрировано на рис. 3 и 4, функция Softmax обеспечила более стабильную сходимость по сравнению с линейной активацией, благодаря нормализации выходных значений в вероятностное распределение.

Итоговая архитектура, сформированная на основе проведенных экспериментов, включает скрытый слой из 96 нейронов с функцией активации ReLU и выходной слой с Softmax, обученная за 5 эпох с достижением точности 93% на тестовой выборке. Ключевым выводом является отсутствие существенного прироста точности при усложнении модели, что аргументирует выбор минимально достаточной конфигурации, адаптированной под ограничения ПЛИС. Сокращение числа параметров и использование аппаратно-эффективных функций активации позволяют снизить задержки и энергопотребление, сохраняя приемлемый уровень классификации, что соответствует требованиям embedded-систем.

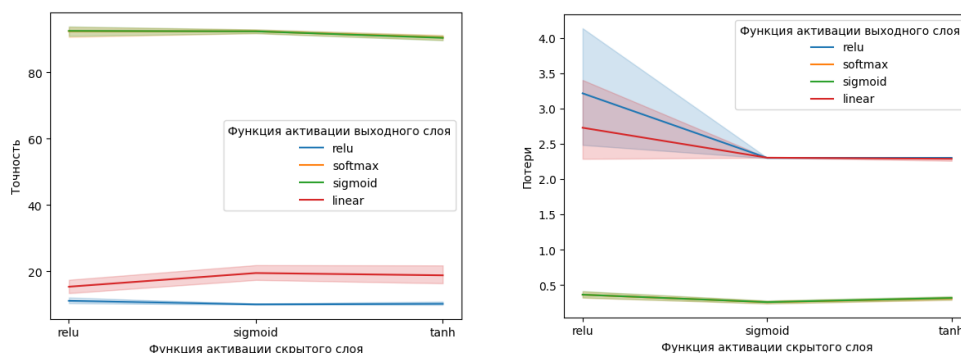


Рис. 3. Зависимость точности и потери от выбора функции активации скрытого слоя

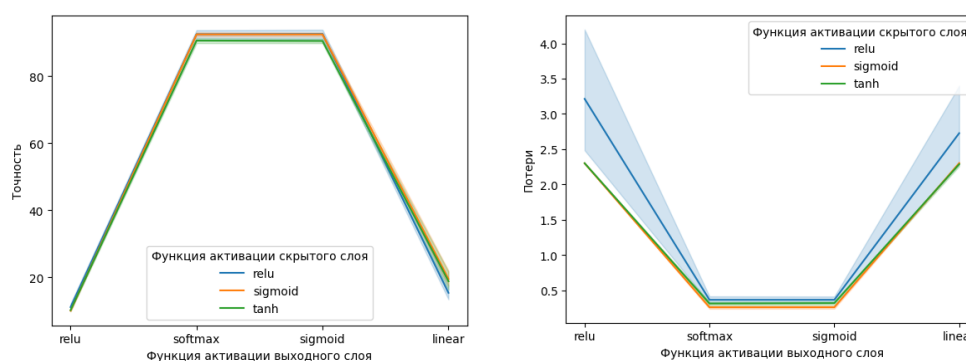


Рис. 4. Зависимость точности и потери от выбора функции активации выходного слоя

Сверточные нейронные сети (СНС) представляют собой альтернативный подход к задачам распознавания изображений, основанный на автоматическом выделении локальных пространственных признаков. В отличие от многослойного перцептрона, преобразующего входные данные в векторную форму, СНС сохраняет топологию изображения, что позволяет эффективно идентифицировать структурные паттерны [13, 14]. Исследуемая архитектура включает два сверточных слоя с ядром 3×3 , два подвыборочных слоя с фактором 2, а также полносвязные слои с 576 и 96 нейронами, что обеспечило точность 98% при обучении в течение 5 эпох.

Эксперименты по оптимизации гиперпараметров проводились на эталонном наборе данных MNIST, масштабированном до разрешения 20×20 пикселей. Первоначальный анализ влияния количества эпох на сходимость модели (рис. 5) выявил, что без использования смещения в сверточных слоях в сочетании с функцией активации ReLU позволяет достичь насыщения точности уже к пятой эпохе, тогда как наличие смещения приводит к нестабильному градиентному спуску. Данный результат согласуется с наблюдениями, полученными для перцептрона, подтверждая универсальность ограничения числа эпох для сокращения вычислительных затрат.

Важным аспектом проектирования стала оптимизация размера полносвязного слоя, следующего за сверточными блоками. Как показано на рис. 6, уменьшение числа нейронов ниже 96 единиц приводит к потере способности модели обобщать сложные признаки, извлеченные на предыдущих этапах. Увеличение же размера слоя свыше 128 нейронов не обеспечивает значимого прироста точности, но пропорционально увеличивает требования к памяти ПЛИС [15, 16]. Таким образом, выбор промежуточного значения в 96 нейронов обоснован балансом между емкостью модели и аппаратной реализуемостью.

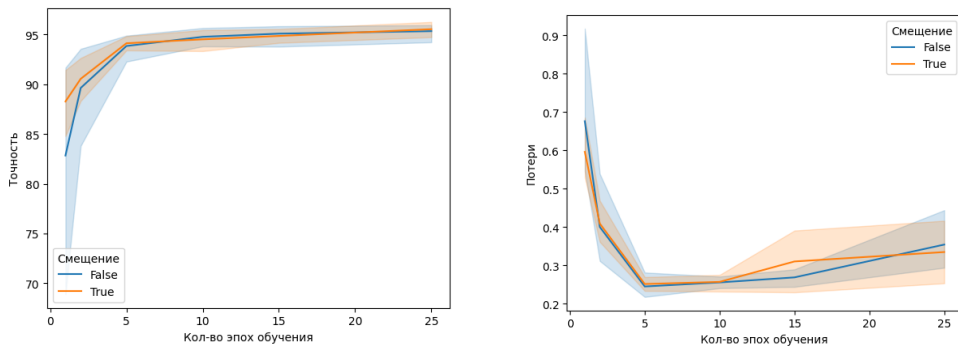


Рис. 5. Зависимость точности и потери от количества эпох обучения для сетей со смещением и без. Функция активации скрытого ReLU. Функция активации выходного Softmax

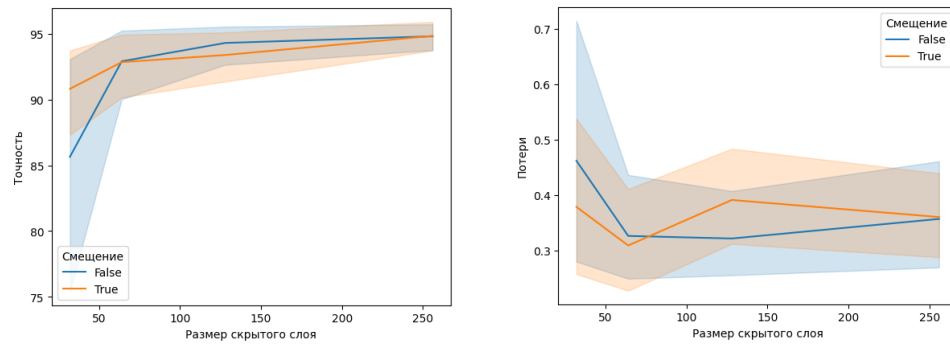


Рис. 6. Зависимость точности и потери от размера скрытого слоя для сетей со смещением (bias) и без. Функция активации скрытого ReLU. Функция активации выходного Softmax

Сравнение функций активации для скрытого слоя (рис. 7) подтвердило преимущество ReLU перед сигмоидой и гиперболическим тангенсом в контексте скорости обучения и устойчивости к затуханию градиентов. Для выходного слоя, как продемонстрировано на рис. 8, функция Softmax обеспечила стабильную сходимость за счет нормализации выходных значений, тогда как линейная активация приводила к неконтролируемому росту абсолютных величин, затрудняющему аппаратную реализацию.

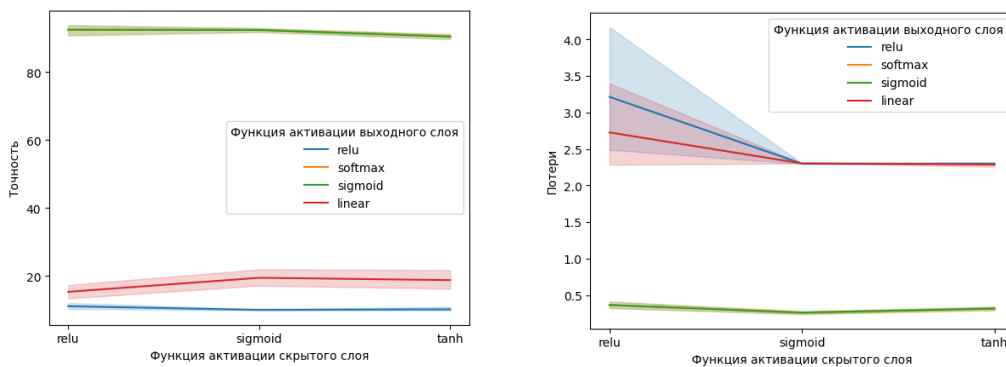


Рис. 7. Зависимость точности и потери от выбора функции активации скрытого слоя

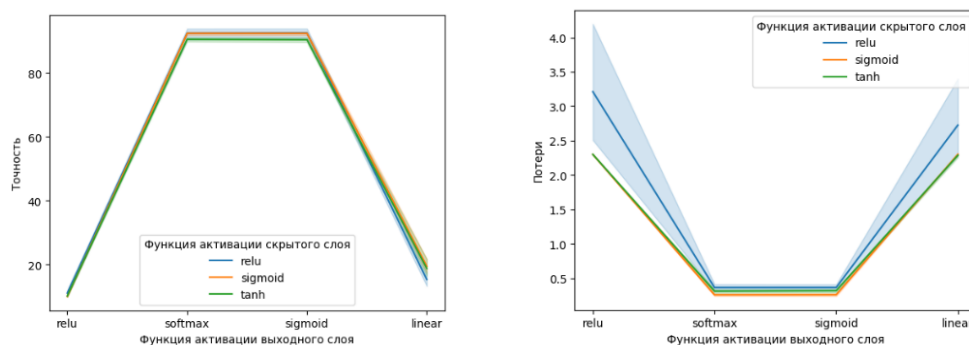


Рис. 8. Зависимость точности и потери от выбора функции активации выходного слоя

Итоговая архитектура включает два сверточных слоя с ядром 3×3 , 32 и 64 фильтра соответственно, каждый из которых сопровождается операцией макс-пулинга 2×2 , что сокращает пространственные размеры признаковых карт. Данная конфигурация обеспечивает сохранение ключевых признаков при минимизации объема данных, передаваемых на полносвязный слой из 576 нейронов, который, в свою очередь, проецируется на скрытый слой с 96 нейронами.

Общий вывод экспериментальной части заключается в том, что увеличение глубины сети, добавление дополнительных сверточных слоев или расширение ядер свертки свыше 3×3 не приводят к статистически значимому улучшению точности, но существенно усложняют аппаратную реализацию. Снижение разрешения входного изображения до 20×20 пикселей компенсируется способностью сверточных слоев к инвариантному выделению признаков, что делает предложенную архитектуру оптимальной для развертывания на ПЛИС.

Переход от программной модели к аппаратной реализации нейросети на программируемых логических интегральных схемах потребовал адаптации алгоритма под ограничения целевой платформы. Ключевым этапом стало квантование весовых коэффициентов и активаций обученной модели до формата с фиксированной точкой 16:16, что обеспечило баланс между точностью вычислений и эффективным использованием ресурсов ПЛИС. Данный подход минимизировал ошибки округления при сохранении приемлемой разрядности для представления динамического диапазона значений, характерного для функций активации ReLU и Softmax.

Структурная организация модуля, представленная на рис. 9, включает три основных компонента: входной слой, скрытый слой и вычисление softmax [17, 18]. Входными сигналами системы являются тактовый импульс и сигнал сброса, синхронизирующие этапы обработки и обеспечивающие корректную инициализацию регистров. Выходные сигналы содержат предсказанную цифру, закодированную четырьмя битами, значение максимальной активации выходного слоя в формате 0:16, а также двухбитный индикатор состояния, отражающий текущую фазу вычислений.

Алгоритм работы модуля реализует детерминированную последовательность состояний, управляемую конечным автоматом. На этапе инициализации активируется сброс внутренних буферов, а входное изображение преобразуется в одномерный вектор. Последующая обработка скрытого слоя предполагает параллельное вычисление взвешенных сумм для групп нейронов, что достигается за счет оптимизации распределения умножителей и сумматоров. Функция активации ReLU аппаратно реализована через условное обнуление отрицательных значений, что исключает необходимость использования сложных математических блоков.

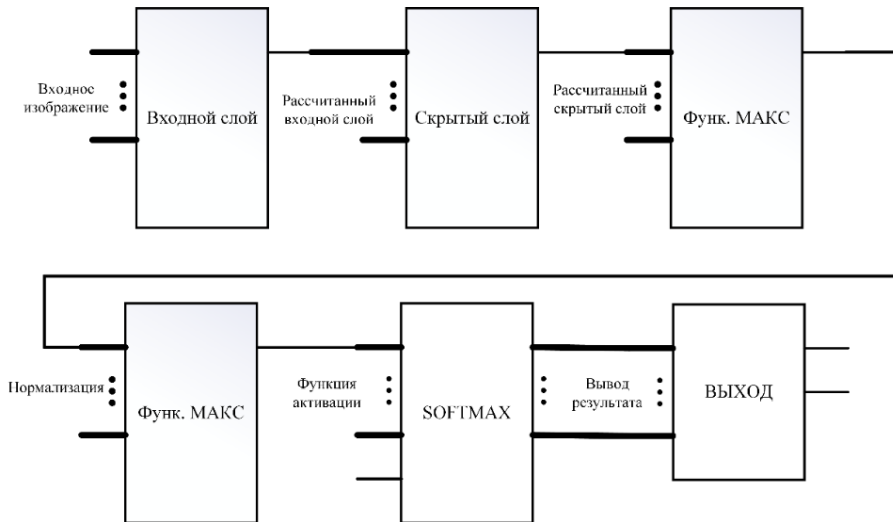


Рис. 9. Структурное представление разработанной архитектуры модуля

Переход к обработке выходного слоя инициирует вычисление активаций с последующей нормализацией через функцию Softmax. Для устранения риска числового переполнения при расчете экспоненциальных значений применяется предварительное вычитание максимальной активации из всех элементов выходного слоя. Экспоненцирование реализовано через поиск в предвычисленной LUT-таблице, охватывающей диапазон от -10 до 10 с шагом 0.1, что обеспечило погрешность менее 0,1% при сокращении аппаратных затрат по сравнению с последовательными алгоритмами приближения. Нормализованные вероятности получаются путем деления каждого экспоненциального значения на их сумму, рассчитанную с использованием конвейерного сумматора.

На завершающем этапе определяется индекс нейрона с максимальной вероятностью, который кодируется в четырехбитный выход. Значение сохраняется для последующего анализа достоверности предсказания, что актуально в системах с повышенными требованиями к надежности.

Предложенная архитектура демонстрирует эффективное использование ресурсов ПЛИС за счет конвейеризации операций, минимизации объема памяти для весовых коэффициентов и замены ресурсоемких операций (например, экспоненцирования) на табличные вычисления. Ключевым компромиссом стала незначительная деградация точности (с 98% до 91%), обусловленная квантованием, однако данное снижение компенсируется сокращением задержки обработки. Результаты подтверждают применимость подхода для embedded-систем, где критически важны энергоэффективность и детерминированное время отклика.

Реализация сверточной нейронной сети на программируемых логических интегральных схемах сопряжена с необходимостью адаптации пространственно-ориентированных операций, таких как свертка и пулинг, к последовательной потоковой обработке [19, 20]. Как и для перцептронной модели, было произведено квантование параметров модели до формата с фиксированной точкой 16:16 для минимизации использования ресурсов ПЛИС. Структурная схема модуля, представленная на рис. 10.

Входные сигналы модуля, включая тактовый импульс и сигнал сброса, синхронизируют работу конечного автомата, управляющего девятью состояниями обработки. Выходные сигналы сохраняют формат, аналогичный реализации перцептрона, что обеспечивает совместимость модулей в составе комплексных систем.

Алгоритм работы начинается с подачи входного изображения 20×20 во входную область памяти модуля. На этапе инициализации активируется сброс буферов. Обработка первого сверточного слоя реализована через скользящее окно 3×3 , вычисляющее взве-

шенную сумму для каждого положения ядра. Для ускорения вычислений коэффициенты свертки хранятся в блоке ROM, а частичные суммы аккумулируются с использованием конвейерных сумматоров. Результаты свертки передаются в буфер, где макс-пулинг с фактором 2 выполняется путем параллельного сравнения значений в окне 2×2, что сокращает пространственные размеры признаков карт в четыре раза.

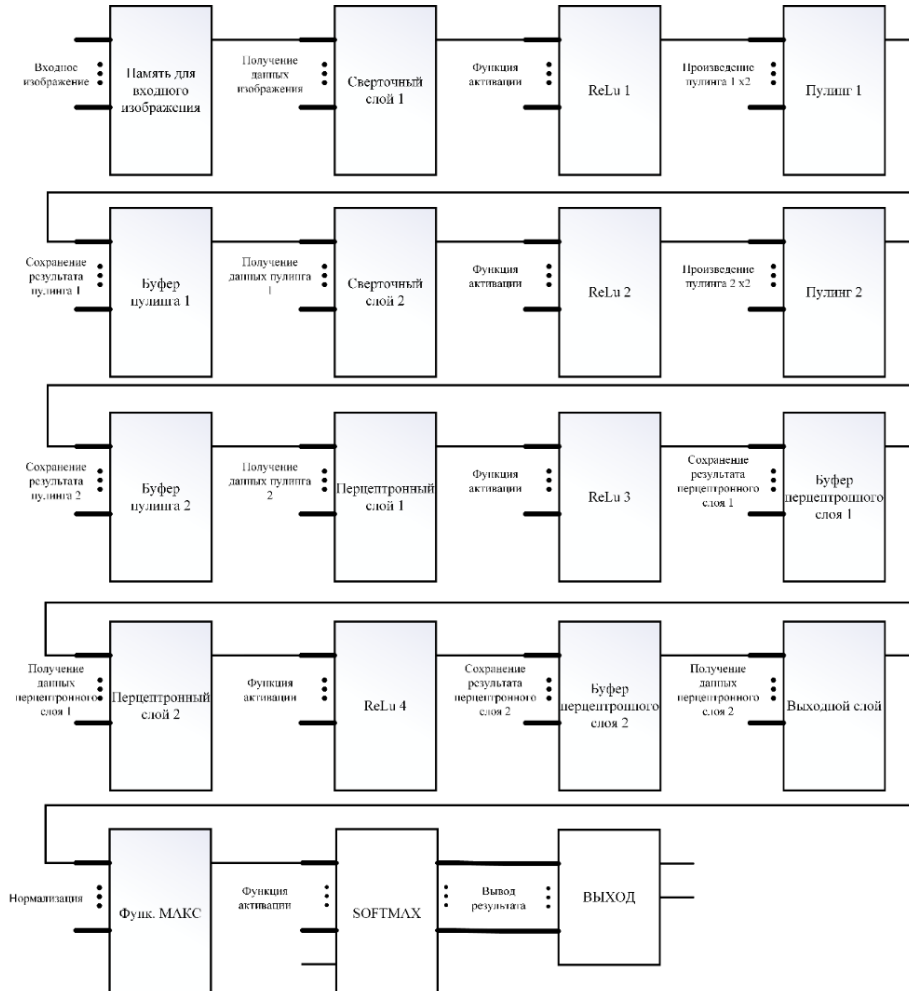


Рис. 10. Структурное представление разработанной архитектуры модуля сверточной нейронной сети

Последовательная обработка второго сверточного слоя и пулинга повторяет описанные этапы, но с увеличенным числом фильтров (64 ядра), что требует расширения буферов памяти для промежуточных данных. Переход к полносвязному слою сопровождается преобразованием трехмерных признаков карт в одномерный вектор, который обрабатывается через матрично-векторные умножения с использованием блочной обработки для экономии ресурсов. Аппаратная реализация ReLU в скрытом слое сводится к условному обнулению отрицательных значений, что исключает необходимость сложных вычислений.

Функция Softmax реализована по аналогии с перцептроном: предвычитание максимальной активации, табличное экспоненцирование и нормировка. Завершающий этап фиксирует индекс нейрона с максимальной вероятностью, формируя выходной сигнал.

Сравнение с реализацией перцептрона выявило, что сверточная сеть обеспечивает более высокую точность за счет автоматического выделения признаков, однако требует в несколько раз больше ресурсов, что аргументирует выбор архитектуры в зависимости от приоритетов задачи.

Результаты и обсуждение. В качестве платформы для реализации модуля была использована ПЛИС Virtex 7 XC7VX485T-FFG1157-1. Для вычисления производительности системы была произведена симуляция разработанного модуля при частоте тактирования в 100 МГц. В качестве входных данных используется изображение 20 на 20 пикселей оттенков серого в байтовом представлении. Они были взяты из набора для тестирования и изменены с помощью наложения шума и размытия (рис. 11).

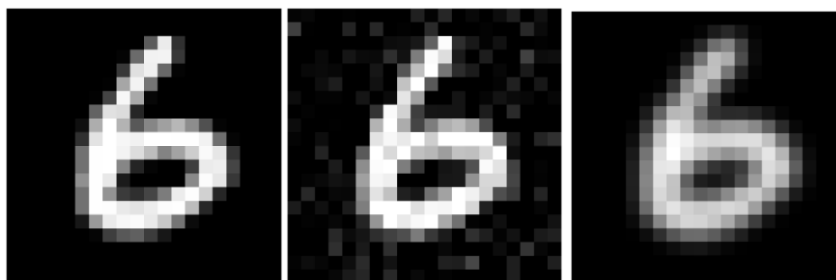


Рис. 11. Тестовые изображения для проверки разработанных модулей

На рис. 12 представлен результат симуляции перцептронного модуля.

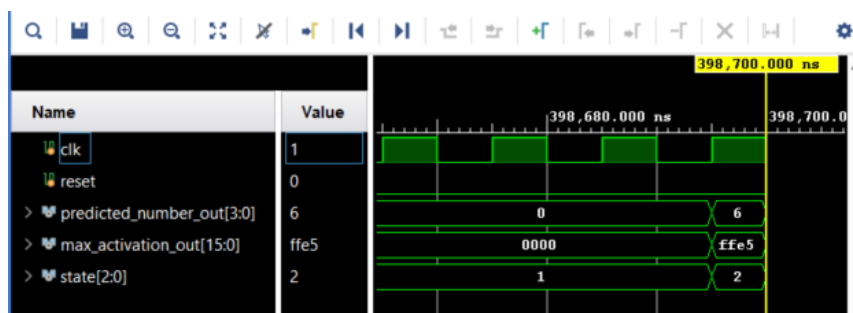


Рис. 12. Результат симуляции перцептронного модуля для тестовых изображений

После синтеза модуля на выбранной ПЛИС, было получено значение использования ресурсов, представленных на рис. 13 и табл. 1.

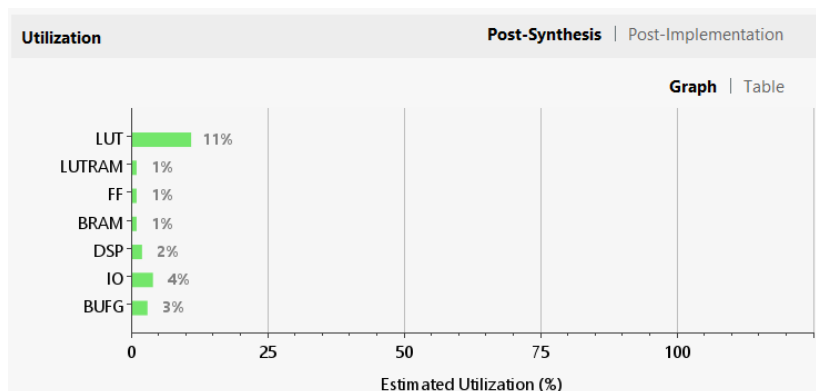


Рис. 13. Использование ресурсов ПЛИС Virtex 7 XC7VX485T-FFG1157-1 для перцептронного модуля

Таблица 1

**Использование ресурсов ПЛИС Virtex 7 XC7VX485T-FFG1157-1
для перцептронного модуля**

Ресурс	Оценка	Доступно	Использовано, %
LUT	33550	306900	11.05
LUTRAM	62	130800	0.05
FF	542	607200	0.09
BRAM	0.5	1030	0.05
DSP	46	2800	1.64
IO	25	600	4.17
BUFG	1	32	3.13

На рис. 14 представлен результат симуляции сверточного модуля.

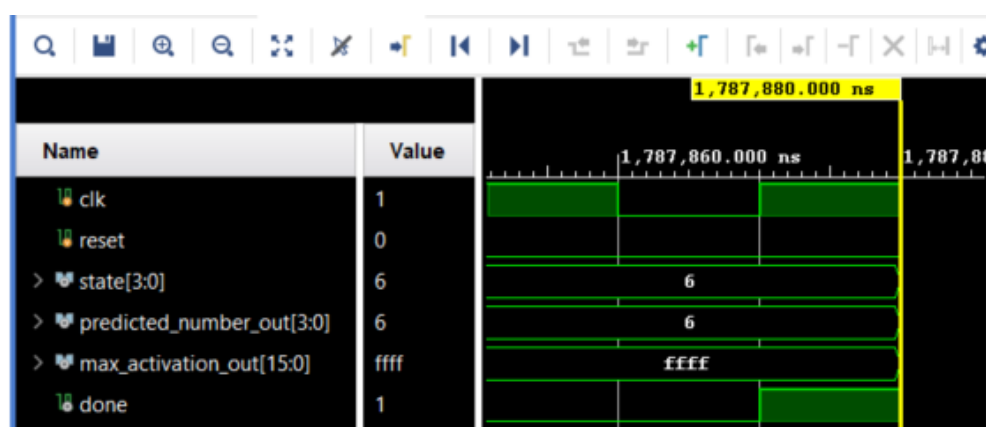


Рис. 14. Результат симуляции сверточного модуля для тестовых изображений

Синтез разработанного модуля на выбранной ПЛИС показал, что реализация была неэффективной, при использовании внутренних буферов для хранения промежуточных расчетов между слоями. Из-за нехватки памяти синтез задействовал LUT блоки для хранения информации. Значения использования ресурсов представлены на рис. 15 и табл. 2.

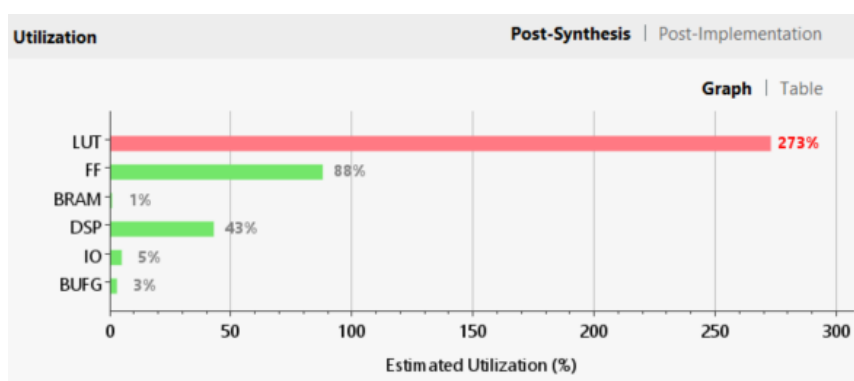


Рис. 15. Использование ресурсов ПЛИС Virtex 7 XC7VX485T-FFG1157-1 для сверточного модуля с внутренней реализацией буферов памяти

Таблица 2

Использование ресурсов ПЛИС Virtex 7 XC7VX485T-FFG1157-1 для сверточного модуля с внутренней реализацией буферов памяти

Ресурс	Оценка	Доступно	Использовано, %
LUT	827334	306900	272.51
FF	531382	607200	87.51
BRAM	5.5	1030	0.53
DSP	1200	2800	42.86
IO	27	600	4.5
BUFG	1	32	3.13

При переносе буферов для хранения промежуточно рассчитанных значений между слоями во внешние сточки, требования к портам и шине данных резко возрастают (рис. 16, табл. 3)

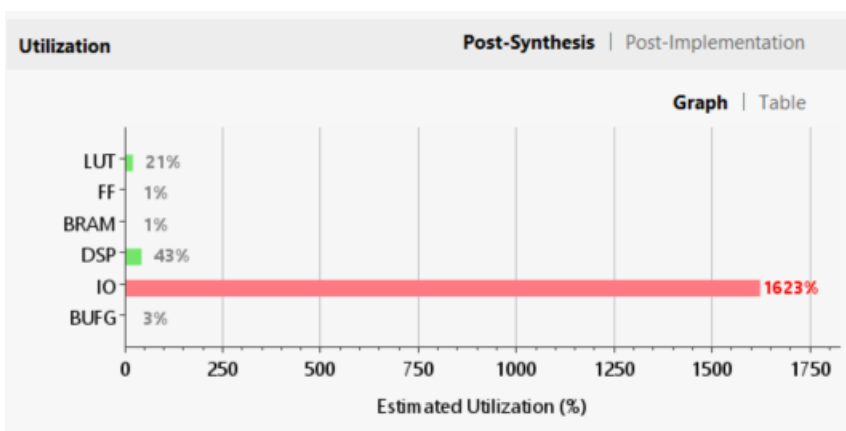


Рис. 16. Использование ресурсов ПЛИС Virtex 7 XC7VX485T-FFG1157-1 для сверточного модуля с внешней реализацией буферов памяти

Таблица 3

Использование ресурсов ПЛИС Virtex 7 XC7VX485T-FFG1157-1 для сверточного модуля с внешней реализацией буферов памяти

Ресурс	Оценка	Доступно	Использовано, %
LUT	65113	306900	21.45
FF	604	607200	0.1
BRAM	5.5	1030	0.53
DSP	1200	2800	42.86
IO	9736	600	1622.67
BUFG	1	32	3.13

Реализация нейронных сетей на программируемых логических интегральных схемах сталкивается с фундаментальными ограничениями, связанными с аппаратными ресурсами и архитектурными особенностями целевой платформы. Одной из ключевых проблем является ограниченный объем внутренней памяти, доступной для хранения промежуточных данных между слоями. Каждый этап обработки, включая свертку, пулинг и полносвязные преобразования, требует буферизации признаков карт, весовых коэффициентов и активаций, объем которых растет экспоненциально с увеличением глубины сети и разрешения входного изображения. Использование внутренних блоков памяти (BRAM) для этих целей быстро исчерпывает доступные ресурсы, что вынуждает прибегать к внешней памяти. Однако подключение внешних накопителей сопровождается

ся сужением шины данных и увеличением задержек доступа, что критически снижает пропускную способность конвейера и нарушает детерминированность временных характеристик системы.

Дополнительным вызовом становится высокая ресурсоемкость операций с данными повышенной разрядности. Квантование параметров до формата 16:16, несмотря на снижение ошибок округления, требует значительного количества логических элементов для реализации арифметических операций, включая умножение и накопление. В условиях дефицита ресурсов ПЛИС синтезатор вынужден заменять специализированные DSP-блоки на конфигурируемые LUT-таблицы, что приводит к неоптимальному распределению логики и ограничивает возможности параллельной обработки. Данная проблема усугубляется при реализации сложных функций активации или нормализации, где требуется использование дополнительных блоков для вычисления экспонент или сравнения значений.

Таким образом, проектирование нейросетевых модулей на ПЛИС требует поиска компромисса между точностью модели, объемом используемой памяти и степенью параллелизма вычислений. Необходимость минимизации обращений к внешней памяти и оптимизации распределения логических ресурсов остается критической задачей, особенно для глубоких сетей с многоуровневой иерархией признаков.

Заключение. Реализация нейронных сетей на программируемых логических интегральных схемах представляет собой сложную инженерную задачу, требующую баланса между вычислительной эффективностью, точностью модели и аппаратными ограничениями. Как демонстрируют проведенные исследования, ключевым фактором успешного внедрения является оптимизация ресурсоемких операций, таких как свертка, пулинг и матричные умножения, через использование конвейеризации, квантования данных и замены сложных математических функций на табличные вычисления. Однако даже при тщательном проектировании сохраняются фундаментальные ограничения, связанные с дефицитом внутренней памяти и необходимостью распределения логических элементов между конкурирующими задачами.

Применение архитектурных решений, таких как потоковая обработка данных и блочная арифметика, позволяет частично компенсировать эти ограничения, но не устраняет их полностью. Например, использование внешней памяти для хранения промежуточных признаков карт, хотя и расширяет доступный объем данных, вводит дополнительные задержки, снижающие детерминированность системы. Аналогично, замена DSP-блоков на LUT-таблицы для реализации операций умножения-накопления увеличивает гибкость проектирования, но сокращает ресурсы для параллельных вычислений.

Перспективным направлением для дальнейших исследований остается разработка методов адаптивного управления памятью и аппаратно-ориентированного сокращения моделей. Такие подходы могли бы минимизировать зависимость от внешних накопителей и повысить энергоэффективность без существенной потери точности. Кроме того, интеграция специализированных аппаратных ускорителей для операций свертки и Softmax способна снизить нагрузку на программируемую логику, что особенно актуально для систем реального времени.

Успешное развертывание нейросетевых алгоритмов на ПЛИС определяется не только выбором оптимальной архитектуры, но и глубоким пониманием взаимосвязи между программной моделью и аппаратной реализацией. Достижение приемлемого компромисса между этими аспектами открывает путь к созданию энергоэффективных embedded-решений, способных выполнять сложные задачи компьютерного зрения в условиях ограниченных вычислительных ресурсов.

БИБЛИОГРАФИЧЕСКИЙ СПИСОК

1. Vineetha K.V., Reddy M.M.S.K., Ramesh C., Kurup D.G. An efficient design methodology to speed up the FPGA implementation of artificial neural networks // Engineering Science and Technology, an International Journal. – 2023. – Vol. 47. – Art. 101542. – DOI: 10.1016/j.jestch.2023.101542.
2. Zhan J.Y., Yu A.T., Jiang W., Yang Y.J., Xie X.N., Chang Z.W., Yang J.H. FPGA-based acceleration for binary neural networks in edge computing // Journal of Electronic Science and Technology. – 2023. – Vol. 21, No. 2. – Art. 100204. – DOI: 10.1016/j.jnlest.2023.100204.

3. *Gyulai-Nagy Z.V.* Acceleration of Neural Network training algorithms via FPGA devices // *Procedia Computer Science*. – 2023. – Vol. 225. – P. 2674-2683. – DOI: 10.1016/j.procs.2023.10.259.
4. *Saady M.M., Essai M.H.* Hardware implementation of neural network-based engine model using FPGA // *Alexandria Engineering Journal*. – 2022. – Vol. 61, No. 12. – P. 12039-12050. – DOI: 10.1016/j.aej.2022.05.035.
5. *Крутиков А.К., Мельцов В.Ю.* Метод формирования многоярусной нейросетевой системы прогнозирования с возможностью реконфигурации // *Известия Юго-Западного государственного университета*. – 2024. – Т. 28, № 4. – С. 104-123. – DOI: 10.21869/2223-1560-2024-28-4-104-123. – EDN: IEBISN.
6. *Boudjadar J., Islam S.U., Buyya R.* Dynamic FPGA reconfiguration for scalable embedded artificial intelligence (AI): A co-design methodology for convolutional neural networks (CNN) acceleration // *Future Generation Computer Systems*. – 2025. – Vol. 169. – Art. 107777. – DOI: 10.1016/j.future.2025.107777.
7. *Mehrabi A., Bethi Y., van Schaik A., Afshar S.* An Optimized Multi-layer Spiking Neural Network implementation in FPGA Without Multipliers // *Procedia Computer Science*. – 2023. – Vol. 222. – P. 407-414. – DOI: 10.1016/j.procs.2023.08.179.
8. *Коновальчик А.П.* Архитектура высокопроизводительных вычислительных систем на основе ПЛИС // *Известия Юго-Западного государственного университета*. Серия: Управление, вычислительная техника, информатика. Медицинское приборостроение. – 2011. – № 2. – С. 6-9. – EDN: PZRVTN.
9. *Лебедев М.С., Белецкий П.Н.* Реализация искусственных нейронных сетей на ПЛИС с помощью открытых инструментов // *Тр. ИСП РАН*. – 2021. – Т. 33, № 6. – С. 175-192. – DOI: 10.15514/ISPRAS.2021.33(6).12.
10. *Тарасов И.Е., Потехин Д.С., Платонова О.В.* Перспективы применения софт-процессоров в системах на кристалле на базе программируемых логических интегральных схем // *Russian Technological Journal*. – 2022. – Т. 10, № 3. – С. 24-33. – DOI: 10.32362/2500-316X-2022-10-3-24-33.
11. *Титенко Е.А., Титов В.С., Коновальчик А.П.* Высокопроизводительные вычислительные системы на основе ПЛИС // *Известия Юго-Западного государственного университета*. – 2012. – № 4-2(43). – С. 73а-77. – EDN: PGPOQD.
12. *Namboothiripad M.K., Vadhyan G.* Efficient implementation of artificial neural networks on FPGAs using high-level synthesis and parallelism // *International Journal of Advanced Technology and Engineering Exploration*. – 2024. – Vol. 11, No 119. – P. 1497-1511. – DOI: 10.19101/IJATEE.2023.10102538.
13. *Khalil K., Mohaidat T., Darwich M., Kumar A., Bayoumi M.* Efficient Hardware Implementation of Artificial Neural Networks on FPGA // *Proceedings of AICAS*. – 2024. – P. 233-237. – DOI: 10.1109/AICAS59952.2024.10595867.
14. *Tasci M., Istanbulu A., Tumen V., Kosunalp S.* FPGA-QNN: Quantized Neural Network Hardware Acceleration on FPGAs // *Applied Sciences*. – 2025. – Vol. 15, No. 2. – Art. 688. – DOI: 10.3390/app15020688.
15. *Gholami A., Kim S., Dong Z., Yao Z., Mahoney M.W., Keutzer K.* A Survey of Quantization Methods for Efficient Neural Network Inference // *ArXiv*. – 2021. – abs/2103.13630.
16. *Крышнев Ю.В., Соболев В.И.* Аппаратная реализация искусственной нейронной сети на FPGA для распознавания написанных от руки цифр // *Современные проблемы машиноведения*. – 2020. – С. 165-167.
17. *Блох Д.Е., Безмельцев А.И., Панищев В.С.* Нейросетевой модуль классификации рукописной цифры на ПЛИС // *Тринадцатый Национальный суперкомпьютерный форум*. – 2024.
18. *Блох Д.Е., Безмельцев А.И.* Распознавание рукописного ввода цифр на ПЛИС // *Интеллектуальные информационные системы: тенденции, проблемы, перспективы «ИИС – 2024»*. – Курск: Университетская книга, 2024. – С. 55-57. – EDN: SWQBIZ.
19. *Kadhim Z., Abdullah H., Ghathwan K.* Artificial Neural Network Hyperparameters Optimization: A Survey // *International Journal of Online and Biomedical Engineering (iJOE)*. – 2022. – Vol. 18. – P. 59-87. – DOI: 10.3991/ijoe.v18i15.34399.
20. *Воронцов К.В.* Реализация на ПЛИС нейросети для распознавания изображений // *Радиоэлектроника, электротехника и энергетика*. – 2025. – Вып. 25. – EDN: KQWENQ.

REFERENCES

1. *Vineetha K.V., Reddy M.M.S.K., Ramesh C., Kurup D.G.* An efficient design methodology to speed up the FPGA implementation of artificial neural networks, *Engineering Science and Technology, an International Journal*, 2023, Vol. 47, Art. 101542. DOI: 10.1016/j.jestch.2023.101542.
2. *Zhan J.Y., Yu A.T., Jiang W., Yang Y.J., Xie X.N., Chang Z.W., Yang J.H.* FPGA-based acceleration for binary neural networks in edge computing, *Journal of Electronic Science and Technology*, 2023, Vol. 21, No. 2, Art. 100204. DOI: 10.1016/j.jnlest.2023.100204.

3. Gyulai-Nagy Z.V. Acceleration of Neural Network training algorithms via FPGA devices, *Procedia Computer Science*, 2023, Vol. 225, pp. 2674-2683. DOI: 10.1016/j.procs.2023.10.259.
4. Saady M.M., Essai M.H. Hardware implementation of neural network-based engine model using FPGA, *Alexandria Engineering Journal*, 2022, Vol. 61, No. 12, pp. 12039-12050. DOI: 10.1016/j.aej.2022.05.035.
5. Krutikov A.K., Mel'tsov V.Yu. Metod formirovaniya mnogoyarusnoy neyrosetevoy sistemy prognozirovaniya s vozmozhnost'yu rekonfiguratsii [Method for forming a multi-layer neural network forecasting system with the possibility of reconfiguration], *Izvestiya Yugo-Zapadnogo gosudarstvennogo universiteta* [News of Southwestern State University], 2024, Vol. 28, No. 4, pp. 104-123. DOI: 10.21869/2223-1560-2024-28-4-104-123. EDN: IEBISN.
6. Boudjadar J., Islam S.U., Buyya R. Dynamic FPGA reconfiguration for scalable embedded artificial intelligence (AI): A co-design methodology for convolutional neural networks (CNN) acceleration, *Future Generation Computer Systems*, 2025, Vol. 169, Art. 107777. DOI: 10.1016/j.future.2025.107777.
7. Mehrabi A., Bethi Y., van Schaik A., Afshar S. An Optimized Multi-layer Spiking Neural Network implementation in FPGA Without Multipliers, *Procedia Computer Science*, 2023, Vol. 222, pp. 407-414. DOI: 10.1016/j.procs.2023.08.179.
8. Konoval'chik A.P. Arkhitektura vysokoproizvoditel'nykh vychislitel'nykh sistem na osnove PLIS [Architecture of high-performance computing systems based on FPGA], *Izvestiya Yugo-Zapadnogo gosudarstvennogo universiteta. Seriya: Upravlenie, vychislitel'naya tekhnika, informatika. Meditsinskoe priborostroenie* [News of Southwestern State University. Series: Management, computing, informatics. Medical instrument engineering], 2011, No. 2, pp. 6-9. EDN: PZRVTN.
9. Lebedev M.S., Beletskiy P.N. Realizatsiya iskusstvennykh neyronnykh setey na PLIS s pomoshch'yu otkrytykh instrumentov [Implementation of artificial neural networks on PLDs using open tools], *Tr. ISP RAN* [Proceedings of the Institute of Systems Engineering, Russian Academy of Sciences], 2021, Vol. 33, No. 6, pp. 175-192. DOI: 10.15514/ISPRAS.2021.33(6).12.
10. Tarasov I.E., Potekhin D.S., Platonova O.V. Perspektivy primeneniya soft-protessorov v sistemakh na kristalle na baze programmiruemykh logicheskikh integral'nykh skhem [Prospects for the use of soft processors in on-chip systems based on programmable logic integrated circuits], *Russian Technological Journal* [Russian Technological Journal], 2022, Vol. 10, No. 3, pp. 24-33. DOI: 10.32362/2500-316X-2022-10-3-24-33.
11. Titenko E.A., Titov V.S., Konoval'chik A.P. Vysokoproizvoditel'nye vychislitel'nye sistemy na osnove PLIS [High-performance computing systems based on FPGAs], *Izvestiya Yugo-Zapadnogo gosudarstvennogo universiteta* [News of Southwestern State University], 2012, No. 4-2(43), pp. 73a-77. EDN: PGPOQD.
12. Namboothiripad M.K., Vadhyan G. Efficient implementation of artificial neural networks on FPGAs using high-level synthesis and parallelism, *International Journal of Advanced Technology and Engineering Exploration*, 2024, Vol. 11, No 119, pp. 1497-1511. DOI: 10.19101/IJATEE.2023.10102538.
13. Khalil K., Mohaidat T., Darwich M., Kumar A., Bayoumi M. Efficient Hardware Implementation of Artificial Neural Networks on FPGA, *Proceedings of AICAS*, 2024, pp. 233-237. DOI: 10.1109/AICAS59952.2024.10595867.
14. Tasci M., Istanbulu A., Tumen V., Kosunalp S. FPGA-QNN: Quantized Neural Network Hardware Acceleration on FPGAs, *Applied Sciences*, 2025, Vol. 15, No. 2, Art. 688. DOI: 10.3390/app15020688.
15. Gholami A., Kim S., Dong Z., Yao Z., Mahoney M.W., Keutzer K. A Survey of Quantization Methods for Efficient Neural Network Inference, *ArXiv*, 2021. abs/2103.13630.
16. Kryshnev Yu.V., Sobolev V.I. Appartnaya realizatsiya iskusstvennoy neyronnoy seti na FPGA dlya raspoznavaniya napisannykh ot ruki tsifr [Hardware implementation of an artificial neural network on FPGA for handwritten digit recognition], *Sovremennyye problemy mashinovedeniya* [Modern Problems of Machine Learning], 2020, pp. 165-167.
17. Blokh D.E., Bezmel'tsev A.I., Panishchev V.S. Neyrosetevoy modul' klassifikatsii rukopisnoy tsifry na PLIS [Neural network module for classification of handwritten digits on FPGA], *Trinadtsaty Natsional'nyy superkomp'yuternyy forum* [Thirteenth National Supercomputer Forum], 2024.
18. Blokh D.E., Bezmel'tsev A.I. Raspoznavanie rukopisnogo vvoda tsifr na PLIS [Recognition of handwritten digit input on FPGA], *Intellektual'nye informatsionnye sistemy: tendentsii, problemy, perspektivy «IIS – 2024»* [Intelligent Information Systems: Trends, Problems, Prospects “IIS – 2024”]. Kursk: Universitetskaya kniga, 2024, pp. 55-57. EDN: SWQBIZ.
19. Kadhim Z., Abdullah H., Ghathwan K. Artificial Neural Network Hyperparameters Optimization: A Survey, *International Journal of Online and Biomedical Engineering (iJOE)*, 2022, Vol. 18, pp. 59-87. DOI: 10.3991/ijoe.v18i15.34399.
20. Vorontsov K.V. Realizatsiya na PLIS neyroseti dlya raspoznavaniya izobrazheniy [Implementation of a neural network for image recognition on a PLIS], *Radioelektronika, elektrotehnika i energetika* [Radioelectronics, Electrical Engineering, and Energy], 2025, Issue 25. EDN: KQWEHQ.

Мельник Эдуард Всеволодович – Южный федеральный университет; e-mail: evmelnik@sfedu.ru; г. Ростов-на-Дону, Россия; д.т.н.; профессор кафедры вычислительной техники.

Блох Денис Евгеньевич – Юго-Западный государственный университет; e-mail: den5553@yandex.ru; г. Курск, Россия; кафедра вычислительной техники; аспирант.

Безмельцев Александр Игоревич – Юго-Западный государственный университет; e-mail: a.i.bezmeltsev@yandex.ru; г. Курск Россия; кафедра вычислительной техники; аспирант.

Панищев Владимир Славиевич – Юго-Западный государственный университет; e-mail: gskunk@yandex.ru; г. Курск, Россия; к.т.н.; доцент; доцент кафедры вычислительной техники.

Полторацкий Сергей Николаевич – Юго-Западный государственный университет; e-mail: merlinserg@list.ru; г. Курск, Россия; к.т.н.; доцент кафедры вычислительной техники.

Melnik Eduard Vsevolodovich – Southern Federal University; e-mail: evmelnik@sfedu.ru; Rostov-on-Don, Russia; dr. of eng. sc.; professor, Department of Computer Engineering.

Blokh Denis Evgenievich – Southwestern State University; e-mail: den5553@yandex.ru; Kursk, Russia; the Department of Computer Engineering; postgraduate student.

Bezmeltsev Alexander Igorevich – Southwestern State University; e-mail: a.i.bezmeltsev@yandex.ru; Kursk, Russia; the Department of Computer Engineering; postgraduate student.

Panishchev Vladimir Slavievich – Southwestern State University; e-mail: gskunk@yandex.ru; Kursk, Russia; cand. of eng. sc.; associate professor; associate professor, Department of Computer Engineering.

Poltoratsky Sergey Nikolaevich – Southwestern State University; e-mail: merlinserg@list.ru; Kursk, Russia; cand. of eng. sc.; associate professor, Department of Computer Engineering.

УДК 004.89

DOI 10.18522/2311-3103-2025-5-229-243

В.А. Частикова, К.В. Козачёк, Е.С. Коробская, В.П. Кравцов

ОБНАРУЖЕНИЕ КИБЕРВТОРЖЕНИЙ НА ОСНОВЕ СЕТЕВОГО ТРАФИКА И ПОВЕДЕНИЯ ПОЛЬЗОВАТЕЛЯ С ИСПОЛЬЗОВАНИЕМ ДАТАСЕТА UNSW-NB15

В статье основное внимание уделяется исследованию поведения пользователей и созданию поведенческих моделей. Это помогает улучшить точность определения аномалий и оперативно выявлять нестандартную активность в сети. Целью данного исследования является сравнительный анализ эффективности двух моделей машинного обучения – многослойного перцептрона (MLP) и алгоритма Random Forest – для обнаружения кибервторжений на основе анализа сетевого трафика и поведения пользователей. Поведенческие модели позволяют выявлять отклонения от нормальной активности пользователей и сетевых взаимодействий, что значительно повышает полноту обнаружения кибервторжений. При проведении исследования использовался набор данных UNSW-NB15, который включает актуальные типы атак и характеристики как сетевого трафика, так и пользовательской активности. Перед реализацией моделей была проведена предварительная обработка данных, выбор признаков, нормализация и кодирование категориальных признаков. Оценка моделей осуществлялась с использованием различных метрик, таких как точность (accuracy), полнота (recall), AUC-ROC, precision, F1-score и другие. Результаты исследования показали, что алгоритм Random Forest обеспечивает высокую точность классификации (95%), а многослойный перцептрон (MLP), в свою очередь, достиг выдающихся результатов по AUC (0.9830) и точности (precision, 0.9869). В работе представлен анализ и характеристика методов анализа поведения пользователей и классификации сетевого трафика, показано сравнение наборов данных для систем обнаружения вторжений (IDS), а также даны практические рекомендации по выбору моделей в зависимости от условий эксплуатации. Результаты исследования могут быть полезны при разработке адаптивных систем защиты, которые сочетают высокую точность и скорость работы.

Обнаружение кибервторжений; машинное обучение; UNSW-NB15; многослойный перцептрон (mlp); random forest; классификация сетевого трафика; AUC-ROC.

V.A. Chastikova, K.V. Kozachek, E.S. Korobskaya, V.P. Kravtsov

DETECTION OF CYBER INTRUSIONS BASED ON NETWORK TRAFFIC AND USER BEHAVIOR USING THE UNSW-NB15 DATASET

The article focuses on the study of user behavior and the creation of behavioral models. This helps to improve the accuracy of anomaly detection and quickly identify non-standard network activity. The purpose of this study is to compare the effectiveness of two machine learning models – the multilayer perceptron (MLP) and the Random Forest algorithm – for detecting cyber intrusions based on the analysis of network traffic and user behavior. Behavioral models make it possible to detect deviations from normal user activity and network interactions, which significantly increases the completeness of cyber intrusion detection. The study used the UNSW-NB15 dataset, which includes current types of attacks and characteristics of both network traffic and user activity. Prior to the implementation of the models, preliminary data processing, feature selection, normalization and coding of categorical features were carried out. The models were evaluated using various metrics such as accuracy, recall, AUC-ROC, precision, F1-score, and others. The results of the study showed that the Random Forest algorithm provides high classification accuracy (95%), and the multilayer perceptron (MLP), in turn, achieved outstanding results in AUC (0.9830) and accuracy (precision, 0.9869). The paper presents an analysis and characterization of methods for analyzing user behavior and classifying network traffic, a comparison of data sets for intrusion detection systems (IDS), and practical recommendations for choosing models depending on operating conditions. The results of the study can be useful in the development of adaptive protection systems that combine high accuracy and speed.

Cyber intrusion detection; machine learning; UNSW-NB15; multilayer perceptron (MLP); random forest; network traffic classification; AUC-ROC.

Введение. В современном цифровом мире вопросы информационной безопасности приобретают всё большую актуальность. С ростом числа подключённых к интернету устройств, объёмов передаваемых данных и усложнением сетевых инфраструктур возрастает и количество потенциальных угроз. Кибервторжения представляют серьёзную опасность как для организаций, так и для частных пользователей, поскольку могут привести к утечке конфиденциальной информации, финансовым потерям и нарушению функционирования критически важных систем.

Одним из ключевых направлений в обеспечении информационной безопасности является обнаружение кибервторжений на основе анализа сетевого трафика и поведения пользователей, что позволяет выявлять не только уже известные угрозы, но и новые, ранее не регистрировавшиеся атаки. Анализ технических характеристик сетевого взаимодействия в совокупности с моделированием поведенческих шаблонов пользователей повышает точность выявления аномалий и способствует более эффективной защите информационных систем.

Существующие методы обнаружения кибервторжений можно разделить на три основных категории: сигнатурные методы, методы анализа аномалий и поведенческие модели. [1–3] Сигнатурный анализ предполагает сравнение входящего трафика с известными шаблонами атак, что эффективно против ранее известных угроз, но малоэффективно против новых, изменённых или модифицированных атак. Методы анализа аномалий направлены на выявление отклонений от типичного поведения системы и обладают большей гибкостью, но требуют тщательной настройки и отбора признаков. Поведенческие модели, в свою очередь, строят профиль нормального функционирования пользователей и систем, что позволяет своевременно фиксировать нетипичную активность.

Целью настоящего исследования является сравнительный анализ эффективности алгоритмов машинного обучения – случайного леса (Random Forest) и нейронной сети – в задаче обнаружения кибервторжений на основе реального и широко используемого в научных работах датасета UNSW-NB15. В рамках исследования рассматривается способность указанных алгоритмов точно классифицировать сетевые атаки различных типов и адаптироваться к разнообразным характеристикам сетевого трафика. Полученные результаты могут способствовать развитию более точных и адаптивных систем обнаружения угроз в реальных условиях.

Обзор существующих подходов. В последние годы исследователи и специалисты в области информационной безопасности всё больше внимания уделяют проблеме своевременного и эффективного обнаружения кибервторжений. Количество атак растёт, они усложняются, и методы их проведения становятся разнообразнее. Всё это делает защиту информационных систем крайне важной задачей. Для повышения эффективности выявления киберугроз разрабатываются разные подходы. Среди них – классические методы анализа и современные решения на базе машинного обучения и искусственного интеллекта.

Учитывая актуальность этой темы и разнообразие подходов, стоит рассмотреть существующие работы, посвящённые обнаружению кибервторжений, которые могут послужить основой дальнейших исследований.

В работе [4] проанализированы популярные наборы данных NSL-KDD и UNSW-NB15. Долгое время NSL-KDD был ключевым датасетом для исследований в области обнаружения вторжений, и большинство исследований опирались именно на него. Однако сегодня анализ поведения пользователей и сетевой активности играет настолько важную роль, что этот набор данных является недостаточным из-за ограниченного охвата современных угроз и отсутствия детализированных данных о действиях злоумышленников. В исследовании были удалены избыточные признаки и выбраны наиболее информативные для обнаружения вторжений. Затем был создан новый набор данных с моделированием современных атак. Алгоритмы машинного обучения протестировали на исходных и новом наборах. Наилучшие результаты в многоклассовой классификации показал XGBoost. Однако вопросы применимости моделей в реальных сетях остались без внимания.

В статьях [5, 6] исследованы возможности применения нейронных сетей для обнаружения аномального трафика в сетях Интернета вещей (IoT). Был проведён сравнительный анализ современных архитектур нейросетей на примере набора данных CIC IoT Dataset 2023. Замечено, что нейронные сети демонстрируют высокую точность в задачах обнаружения атак, однако требуют значительных вычислительных ресурсов и больших объёмов обучающих данных.

В работах [7, 8] исследуются методы многоклассовой классификации сетевых атак с применением алгоритмов машинного обучения. Проведен анализ эффективности логистической регрессии, наивного байесовского классификатора, дерева решений и метода опорных векторов на основе наборов данных CICIDS2018 и CICDDoS2019. Выявлено, что отбор признаков способствует повышению точности классификации. Однако в статье не обсуждаются вопросы устойчивости моделей к изменениям характеристик трафика и их адаптации к новым типам атак.

В исследовании [9] проводится анализ эффективности систем обнаружения и предотвращения вторжений (IDS/IPS), основанных на Suricata. Сравняются различные решения с точки зрения производительности, точности обнаружения и интеграции в сетевую инфраструктуру. Отмечаются преимущества Suricata, такие как многопоточность и аппаратное ускорение. Однако вопросы адаптации к новым угрозам и автоматизации обновлений в статье не рассматриваются.

В статье [10] предложено использовать большие языковые модели (LLM) для уменьшения числа ложных срабатываний в системах обнаружения аномалий в сетевом трафике. Рассмотрен подход с применением трансформеров для анализа сетевых данных. Эксперименты показали эффективность метода. Однако не обсуждены вычислительные затраты и ограниченная применимость в реальных условиях эксплуатации.

В работах [11, 12] изучаются методы формирования обучающих наборов данных для моделей обнаружения компьютерных атак с использованием машинного обучения. Проведён анализ общедоступных датасетов и инструментов, применяемых для их обработки. В результате выявлены их недостатки и ошибки. В статье [11] разработана объектно-ориентированная библиотека на основе многослойного перцептрона с применением датасета KDD Cup 1999 Data и модель на базе LSTM и эмбединговой сети с обучени-

ем по алгоритму Adam с использованием датасета CSE-CIC-IDS2018. А в [12] предложена методика сбора собственных данных, учитывающая параметры защищаемой сети. Также разработана и апробирована система генерации трафика и разметки данных. Показано, что обучение моделей на основе собственных данных даёт значительно лучшие результаты по сравнению с общедоступными наборами.

В исследованиях [13, 14] рассматривается разработка гибридных нейросетевых систем для анализа сетевого трафика и выявления атак. Основное внимание уделяется гетерогенной архитектуре, включающей LSTM-сети, которые оказались наиболее ресурсоёмкими. Для повышения эффективности обнаружения атак предложен нейроиммунный подход, объединяющий методы глубокого обучения и искусственные иммунные системы. Разработанный программный комплекс подтвердил перспективность гибридных моделей. Однако требуется дальнейшая оптимизация для снижения вычислительных затрат. Исследование сочетает теоретические разработки и практические решения в сфере кибербезопасности.

На основе статей можно выделить несколько алгоритмов:

1. Для классификации атак (на основе датасетов NSL-KDD, CICIDS, UNSW-NB15):
 - ◆ Random Forest (XGBoost): учитывают множество признаков для многоклассовой классификации и устойчивы к шуму.
 - ◆ Support Vector Machine (SVM): используются с ядрами (RBF, линейный) для нелинейного разделения и бинарной классификации.
 - ◆ Логистическая регрессия: базовый метод для оценки вероятности атаки, обычно комбинируется с другими алгоритмами.
2. Для анализа трафика и обнаружения аномалий:
 - ◆ LSTM/GRU: разновидность рекуррентных нейронных сетей с долгосрочной краткосрочной памятью, хорошо работающая с последовательными данными. Особенно полезна для анализа временных зависимостей в сетевом трафике.
 - ◆ Автокодировщики (Autoencoders): нейронные сети, которые изучают нормальное поведение и определяют аномалии по высокой ошибке реконструкции. Эффективны для Zero-Day атак.
 - ◆ Isolation Forest: нейронные сети, которые, в отличие от других алгоритмов, обнаруживают аномалии через «изоляция» выбросов.
3. Гибридные системы:
 - ◆ Suricata (правила) + ML (SVM, LSTM): сочетают в себе сигнатурный анализ и машинное обучение для снижения ложных срабатываний, что позволяет снизить нагрузку на аналитиков.
4. Снижение ложных срабатываний через семантический анализ (LLM, NPL):
 - ◆ Применение языковых моделей (BERT, GPT, RoBERTa): LLM способны классифицировать события как "угроза" или "ложное срабатывание" с учетом контекста, для повышения точности работы систем кибербезопасности.

При сравнении различных методов стоит отметить, что классические алгоритмы машинного обучения, такие как логистическая регрессия, SVM и деревья решений, обладают высокой интерпретируемостью и устойчивостью, но ограничены при работе с большими объёмами данных и сложными взаимосвязями между признаками. В то же время нейросетевые методы, включая LSTM, CNN и Autoencoders, способны учитывать временные и контекстные особенности сетевого трафика, однако они требуют значительных вычислительных ресурсов и менее объяснимы. В табл. 1 представлено сравнение характеристик различных подходов к реализации систем IDS.

Таблица 1

Сравнение классических и нейросетевых моделей IDS

Критерий	Классические методы (SVM, RF, DT)	Нейросетевые методы (CNN, LSTM, Autoencoders)
Точность обнаружения	Средняя и высокая	Высокая и очень высокая
Скорость обучения	Высокая	Низкая и средняя
Потребление ресурсов	Низкое	Высокое
Интерпретируемость	Хорошая	Ограниченная
Адаптивность к новым атакам	Средняя	Высокая
Применимость в реальном времени	Высокая	Ограниченная

Для обучения и тестирования IDS-моделей используются различные датасеты. Основные виды датасетов [15–17] и их сравнительные характеристики приведены в табл. 2.

Таблица 2

Сравнение набора данных для задач IDS

Датасет	Год разработки	Преимущества	Недостатки	Типы атак	Применимые модели
KDD'99	1999	Первый массовый IDS-датасет; большой объём; простая структура	Устаревшие атаки; много дубликатов; не сбалансирован	DoS, Probe, R2L, U2R	Decision Tree, Naive Bayes, SVM
NSL-KDD	2009	Улучшенная версия KDD'99; удалены дубликаты; более сбалансирован	Основан на старом трафике	DoS, Probe, R2L, U2R	Random Forest, SVM, DNN
CICIDS2018	2018	Реалистичный сетевой трафик; PCAP+NetFlow; много метрик	Высокая ресурсоемкость; сложная структура	DDoS, Botnet, Brute Force, Heartbleed, Infiltration и др.	CNN, LSTM, Autoencoders
UNSW-NB15	2015	Современные типы атак; 49 атрибутов; сбалансированный; поведенческие и сетевые данные	Меньший объём, чем у CICIDS2017	Fuzzers, Analysis, Backdoors, Exploits, Generic, Reconnaissance, Shellcode, Worms	DNN, CNN, LSTM, Ensemble methods

Материалы и методы исследования. Опираясь на исследования, проводимые в других работах, и сравнительную таблицу наборов данных, для обнаружения кибервторжений будем использовать алгоритм Random Forest и нейронную сеть в виде многослойного персептрона на основе датасета UNSW-NB15.

Random Forest (RF, случайный лес) – ансамблевый метод на основе дерева решений, который объединяет несколько деревьев для повышения точности и устойчивости модели, предпринимчивый к переобучению и способный обрабатывать данные с различной структурой. При обработке данных из датасета UNSW-NB15, Random Forest позволяет эффективно выявлять различные типы атак, особенно в условиях мультиклассовой классификации. Дополнительным преимуществом является возможность анализа важности признаков, что облегчает интерпретацию результатов и отбор наиболее значимых параметров сетевого трафика.

MLP способен обрабатывать как количественные, так и категориальные признаки из набора UNSW-NB15 после предварительной нормализации и кодирования. Использование функции активации ReLU и механизма регуляризации (Dropout, L2-регуляризация)

позволяет избежать переобучения, а оптимизация с помощью алгоритма Adam обеспечивает быструю сходимость. Модель MLP демонстрирует высокие результаты при бинарной и мультиклассовой классификации, эффективно различая как нормальный трафик, так и конкретные виды атак.

Набор данных UNSW-NB15 разработан в Университете Нового Южного Уэльса (UNSW) и предназначен для создания современного набора данных для тестирования сетей. Он улучшает существующие наборы данных, такие как KDD98, за счёт включения новых атак, которые реализуются с помощью инструмента IXIA PerfectStorm, обеспечивая как нормальное, так и вредоносное поведение. Датасет содержит около 2,5 миллионов записей сетевых соединений, каждая из которых характеризуется 49 различными признаками.

Данные представлены в формате CSV и включают разнообразные характеристики сетевого трафика:

- ◆ Характеристики потока (IP-адреса, порты, используемые протоколы).
- ◆ Основные функции (количество пакетов, байты от источника к получателю).
- ◆ Характеристики контента (флаги TCP, размер полезной нагрузки).
- ◆ Временные функции (интервалы между пакетами, запись времени начала).

Каждая запись имеет метку класса, которая указывает на принадлежность к одному из двух классов:

- ◆ label = 0 – нормальный (легитимный) сетевой трафик;
- ◆ label = 1 – вредоносная активность (атака).

Особенно важно, что данные детально размечены: каждое соединение отнесено к одной из девяти категорий атак или классифицировано как нормальный трафик.

Категории атак, которые определяются на основе используемых признаков набора данных UNSW-NB15:

- ◆ Fuzzers – атаки с использованием фаззеров (программ для тестирования на уязвимости).
- ◆ Analysis – атаки, направленные на сбор информации о системе (например, порт-сканирование).
- ◆ Backdoor – скрытый доступ к системе, минуя стандартные механизмы аутентификации.
- ◆ DoS (Denial of Service) – атаки отказа в обслуживании.
- ◆ Exploits – использование уязвимостей в ПО или протоколах.
- ◆ Generic – универсальные атаки, такие как взлом шифрования.
- ◆ Reconnaissance – разведывательная активность для выявления уязвимостей.
- ◆ Shellcode – внедрение и исполнение вредоносного кода.
- ◆ Worms – самораспространяющиеся вредоносные программы [18].

Для улучшения качества обучения моделей был проведён предварительный анализ корреляции признаков в датасете UNSW-NB15. Расчёт коэффициентов корреляции Пирсона выявил умеренную зависимость между временными и транспортными характеристиками трафика, такими как dur, Sload, Dload и sttl. Эти связи указывают на наличие дублирующей информации в некоторых признаках, что подчёркивает важность отбора признаков для повышения точности классификации.

При предобработке данных использовались стандартные методы: нормализация значений, кодирование категориальных переменных с помощью one-hot encoding и удаление выбросов с помощью межквартильного размаха (IQR). Для решения проблемы дисбаланса классов применялся метод синтетического увеличения выборки (SMOTE). Этот подход позволил улучшить полноту (recall) на 3-5 %, не ухудшая общую точность модели.

Характеристика признаков. Признаки делятся на количественные, которые могут быть измерены в числовых значениях (например, длительность соединения, количество байт, объем персональных данных, количество пакетов) и категориальные, которые представляют собой категории или группы (например, тип протокола (TCP, UDP), направление трафика (входящий/исходящий), статус соединения (открыто/закрыто) и другое.

Для обучения моделей использовались 47 признаков, представленных в табл. 3.

Таблица 3

Список используемых признаков набора данных UNSW-NB15

№	Признак	Описание	№	Признак	Описание
1	srcip	IP-адрес отправителя	25	trans_depth	Глубина транзакции (например, для HTTP)
2	sport	Порт отправителя	26	res_bdy_len	Длина тела ответа
3	dstip	IP-адрес получателя	27	Sjit	Джиттер (вариация задержки) отправителя
4	dsport	Порт получателя	28	Djit	Джиттер (вариация задержки) получателя
5	proto	Протокол (TCP, UDP, ICMP и др.)	29	Stime	Время начала соединения
6	state	Состояние соединения (например, EST, FIN, RST)	30	Ltime	Время окончания соединения
7	dur	Длительность потока (в секундах)	31	Sintpkt	Среднее время между пакетами отправителя
8	sbytes	Количество байт от отправителя	32	Dintpkt	Среднее время между пакетами получателя
9	dbytes	Количество байт от получателя	33	tcprrt	Время установки TCP-соединения (RTT)
10	sttl	Время жизни (TTL) пакета отправителя	34	synack	Время между SYN и SYN-ACK
11	dttl	Время жизни (TTL) пакета получателя	35	ackdat	Время между ACK и данными
12	sloss	Потеря пакетов от отправителя	36	is_sm_ips_ports	Флаг (0/1), указывает, совпадают ли IP и порт отправителя и получателя
13	dloss	Потеря пакетов от получателя	37	ct_state_ttl	Количество уникальных состояний TTL
14	service	Сетевой сервис (HTTP, FTP, SSH и др.)	38	ct_flw_http_mthd	Количество HTTP-методов в потоке
15	Sload	Скорость передачи данных отправителя (бит/с)	39	is_ftp_login	Флаг (0/1), указывает на FTP-логин
16	Dload	Скорость передачи данных получателя (бит/с)	40	ct_ftp_cmd	Количество FTP-команд в потоке
17	Spkts	Количество пакетов от отправителя	41	ct_srv_src	Количество соединений от одного источника к одному сервису
18	Dpkts	Количество пакетов от получателя	42	ct_srv_dst	Количество соединений к одному сервису от разных источников
19	swin	Размер окна отправителя	43	ct_dst_ltm	Количество соединений к одному получателю
20	dwin	Размер окна получателя	44	ct_src_ltm	Количество соединений от одного отправителя
21	stcpb	Размер буфера TCP отправителя	45	ct_src_dport_ltm	Количество соединений от одного отправителя на один порт
22	dtcpb	Размер буфера TCP получателя	46	ct_dst_sport_ltm	Количество соединений к одному получателю с одного порта
23	smeansz	Средний размер пакета отправителя	47	ct_dst_src_ltm	Количество соединений между парой (отправитель-получатель)
24	dmeansz	Средний размер пакета получателя			

Данные для экспериментов в UNSW-NB15 представляются в обучающей выборке (training set) – 175,341 записей и тестовой выборке (testing set) – 82,332 записей.

Реализация и обучение модели с помощью ансамблевого алгоритма Random Forest. В процессе обучения модели были задействованы сведения из двух наборов UNSW-NB15: UNSW_NB15_training_set и UNSW_NB15_testing_set. Это позволило увеличить объём доступных данных и обеспечить более репрезентативную тренировку модели.

Для начала все категориальные признаки были преобразованы в количественные при помощи one-hot кодирования. Затем объединённый набор данных был случайным образом разделён на обучающую и тестовую выборки в соотношении 80:20. Для построения модели использовался базовый классификатор RandomForestClassifier из библиотеки scikit-learn, настроенный на 100 деревьев решений.

Обучение модели заняло 50.48 секунд, что демонстрирует её высокую вычислительную эффективность по сравнению с более ресурсоёмкими нейросетевыми подходами. После завершения обучения модель была протестирована на ранее отложенной тестовой выборке. Результаты классификации приведены в табл. 4. Они показали высокие значения метрик: точность модели составила 95%, точность положительных срабатываний (precision) для атак – 96%, а полнота (recall) – также 96%. Это говорит о высокой способности модели точно определять вредоносную активность и минимизировать как ложноотрицательные, так и ложноположительные срабатывания. Матрица ошибок для алгоритма Random Forest представлена на рис. 1.

Таблица 4

Результат работы алгоритма Random Forest

	Precision	Recall	F1-score	Support
0	0.93	0.93	0.93	18675
1	0.96	0.96	0.96	32860
Accuracy	–	–	0.95	51535
Macro avg	0.95	0.95	0.95	51535
Weighted avg	0.95	0.95	0.95	51535

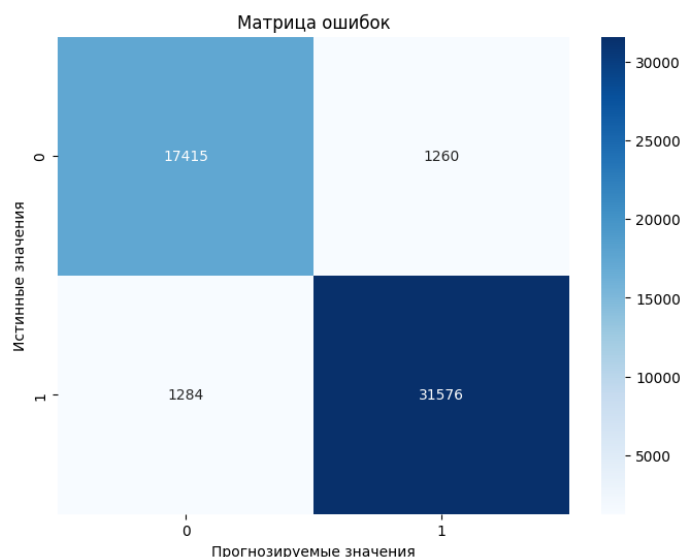


Рис. 1. Матрица ошибок для алгоритма Random Forest

Главным преимуществом Random Forest является возможность анализа важности признаков. Модель автоматически определяет, какие переменные оказывают наибольшее влияние на результат классификации. Анализ feature_importances_ показал, что среди наиболее значимых признаков выявлены:

- ◆ Время жизни (TTL) пакета отправителя.
- ◆ Количество уникальных состояний TTL.
- ◆ Скорость передачи данных отправителя.
- ◆ Количество байт от отправителя.
- ◆ Количество соединений к одному сервису от разных источников.
- ◆ Время установки TCP-соединения (RTT).
- ◆ Количество байт от получателя.
- ◆ Среднее время передачи пакетов.
- ◆ Скорость передачи данных получателя.
- ◆ Время между SYN и SYN-ACK.

Как видно на рис. 2, визуальное представление важности этих признаков подтверждает данный список, где такие метрики, как `sttl`, `ct_state_ttl` и `sload`, являются одними из наиболее влиятельных.

Таким образом, модель Random Forest показала высокую точность и устойчивость, оставаясь интерпретируемой и относительно простой в обучении. Её применение целесообразно в условиях, когда важно добиться высокой скорости классификации при минимальных вычислительных затратах.

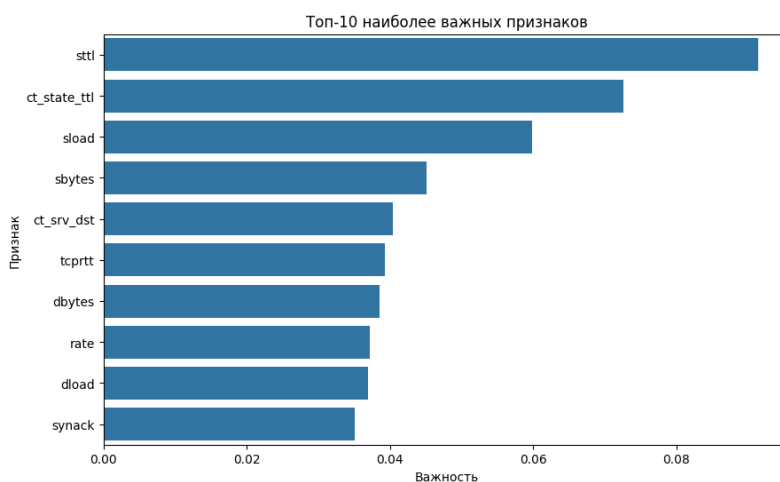


Рис. 2. Диаграмма наиболее важных признаков алгоритма

Реализация и обучение нейронной сети для обнаружения кибервторжений.

В рамках данного исследования была разработана модель многослойного перцептрона (MLP), предназначенная для бинарной классификации сетевого трафика с целью обнаружения вредоносной активности.

Аналогично, в процессе обучения модели были использованы `UNSW_NB15_training_set` и `UNSW_NB15_testing_set`, и все категориальные признаки были преобразованы в количественные при помощи one-hot кодирования. Далее все атрибуты были приведены к единому масштабу с использованием стандартизации. А для борьбы с дисбалансом классов, характерным для задач информационной безопасности, автоматически рассчитаны веса классов.

Нейросеть была реализована с использованием библиотеки Keras через API Sequential. Архитектура включает четыре последовательно соединённых полносвязных слоя.

Входной слой содержит 64 нейрона и использует функцию активации ReLU (Rectified Linear Unit), которая передаёт на выход только положительные значения, эффективно устраняя проблему затухающего градиента и ускоряя обучение. После него применяются пакетная нормализация и механизм Dropout с вероятностью 0.5 – это регуляризирующая техника, при которой на каждом шаге обучения случайным образом "отключается" часть нейронов, что предотвращает переобучение модели.

Во втором скрытом слое используется 32 нейрона, ReLU-активация, L2-регуляризация с коэффициентом 0.01 для ограничения роста весов и Dropout с вероятностью 0.3.

Третий слой включает 16 нейронов и Dropout с вероятностью 0.2.

Завершается архитектура выходным слоем с одним нейроном, который преобразует выход в значение от 0 до 1, интерпретируемое как вероятность принадлежности к одному из двух классов – нормальному трафику или атаке. Визуальное представление архитектуры нейронной сети изображено на рис. 3.

Для оптимизации модели использовался метод эффективной стохастической оптимизации Adam, с адаптивной скоростью обучения 0.0001. Он разработан таким образом, что объединяет преимущества методов AdaGrad (Duchi et al., 2011), который хорошо работает с разреженными диапазонами, и RMSProp (Tieleman & Hinton, 2012), действующий в сетевых и нестационарных условиях. Этот оптимизатор автоматически адаптирует момент и размер шага для каждого параметра, так как он ограничен гиперпараметром `stepsize`, что особенно эффективно при работе с зашумленными или разреженными данными [19].

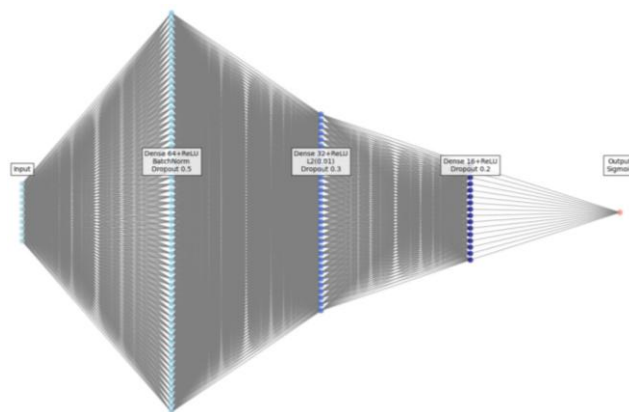


Рис. 3. Детализированная архитектура нейронной сети

Для обнаружения кибератак, распознавания сетевых угроз, выявления хакерских проникновений, идентификации попыток взлома и определения признаков несанкционированного доступа применялась бинарная кросс-энтропия. Эта функция потерь, оптимальная для задач бинарной классификации, вычисляется как среднее значение логарифмических потерь между предсказанными вероятностями и истинными метками. Она строго штрафует модель за уверенные, но ошибочные предсказания.

Для комплексной оценки качества модели использовались четыре ключевые метрики. Ассигасу (общая точность), показывающая долю правильных предсказаний среди всех примеров, Precision (точность положительных срабатываний), Recall (полнота), оценивающая способность модели обнаруживать реальные атаки, помогая избежать опасных пропусков угроз. Метрика AUC-ROC, отражающая площадь под ROC-кривой, демонстрирующая общую способность модели различать классы независимо от выбранного порога классификации, где значение 1 соответствует идеальному разделению, а 0.5 – случайным догадкам.

Для предотвращения переобучения была реализована стратегия ранней остановки, основанная на отслеживании функции потерь на валидационной выборке. Если в течение пяти эпох подряд не наблюдалось улучшения значения `val_loss`, обучение прерывалось, а модель возвращалась к наилучшим весам.

Обучение выполнялось на протяжении не более 30 эпох при размере пакета 32 батча. Благодаря использованию весов классов и стратегии EarlyStopping, модель демонстрировала устойчивую сходимость и хорошую обобщающую способность.

Обучение производилось в течение 20 эпох и заняло 564.55 секунд, что является высоким показателем эффективности модели. На обучающей выборке были достигнуты следующие результаты: точность – 94.29%, полнота – 93.28%, точность положительных предсказаний – 96.27%, площадь под кривой (AUC) – 0.9871. На датасете UNSW_NB15_testing-set модель продемонстрировала точность 88.73%, AUC – 0.9830, точность (precision) – 0.9869, полноту (recall) – 0.8456, и значение функции потерь val_loss – 0.3935. Более наглядно результаты представлены в табл. 5.

Таблица 5

Результат обучения модели многослойного персептрона (MLP)

	Precision	Recall	F1-score	Support
0	0.75	0.98	0.85	56000
1	0.99	0.85	0.91	119341
Accuracy	–	–	0.89	175341
Macro avg	0.87	0.91	0.88	175341
Weighted avg	0.91	0.89	0.89	175341

Оценка модели проводилась как с использованием стандартного отчёта classification_report, так и с расчётом площади под ROC-кривой (AUC). ROC-кривая (Receiver Operating Characteristic) представляет собой двумерный график, отображающий соотношение между долей истинно положительных результатов изображенной на оси Y и долей ложноположительных результатов – по оси X, при различных порогах классификации. Чтобы сравнить классификаторы, мы можем свести производительность ROC к одному скалярному значению, представляющему ожидаемую производительность. Распространённым методом является вычисление площади под кривой ROC, сокращённо AUC. Поскольку AUC – это часть площади единичного квадрата, её значение всегда будет находиться в диапазоне от 0 до 1,0, и чем оно выше, тем лучше модель различает классы [20].

В ходе исследования, значение ROC-кривой у данной модели составляет – 0.9826, что подтверждает высокую способность модели отличать нормальный трафик от вредоносного.

Данные результаты можно представить в виде матрицы ошибок, а также графиков изменения точности и функции потерь на обучающей и тестовой выборках, в зависимости от количества эпох, которые представлены на рис. 4 и 5 соответственно, что наглядно демонстрирует стабильное поведение модели и ее применимость в задачах обнаружения сетевых атак.

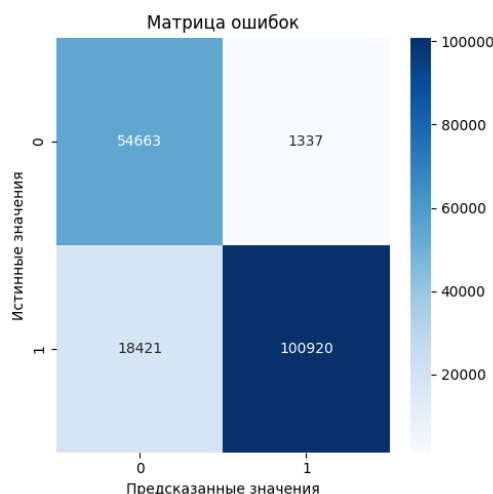


Рис. 4. Матрица ошибок реализуемого метода

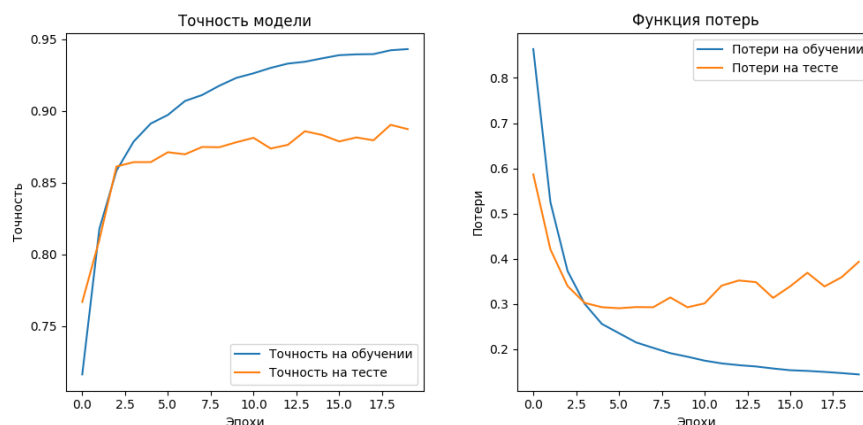


Рис. 5. Графики точности модели и функции потерь

Результаты и обсуждение. Проведенное исследование показало высокую эффективность двух реализованных моделей – многослойного перцептрона (MLP) и Random Forest – в обнаружении сетевых атак на основе набора данных UNSW-NB15.

Многослойный перцептрон продемонстрировал отличные результаты в задачах бинарной классификации. Значение AUC составило 0,9830, что говорит о его отличной способности различать нормальный трафик и атаки. Также модель показала высокую точность предсказаний (precision – 0,9869), что означает минимальное количество ложных срабатываний. Однако у этой модели есть и недостатки: значительные вычислительные затраты, поэтому обучение нейронной сети требует много ресурсов и времени, что может ограничить её применение в системах реального времени.

Модель Random Forest, в отличие от MLP, показала сопоставимое качество классификации (accuracy – 95%) при значительно меньших вычислительных затратах. Более того, Random Forest отличается лучшей интерпретируемостью: можно оценить важность признаков, что помогает аналитикам понять, какие параметры сетевого трафика наиболее важны для обнаружения атак.

Сравнение результатов с данными из других исследований подтверждает, что разработанные модели показывают сопоставимое или более высокое качество классификации. Например, в [8] точность Random Forest составила 92,7 %, а в [13] нейронная сеть LSTM достигла AUC = 0,975 на датасете CICIDS2018. В нашем исследовании показатели Random Forest и MLP оказались выше на 2-3 %, что указывает на высокую эффективность использованной методики предварительной обработки и отбора признаков.

Предложенные решения могут быть интегрированы в системы мониторинга безопасности SIEM. В таких системах алгоритмы машинного обучения автоматически выявляют подозрительные события и коррелируют сетевые журналы. Модели, применяемые в модулях предиктивного анализа, не только фиксируют факты вторжений, но и прогнозируют потенциальные угрозы, анализируя паттерны поведения пользователей и сетевые взаимодействия.

Заключение. Таким образом, MLP стоит использовать, когда критически важна максимальная чувствительность к атакам (например, для защиты высоконагруженных критических инфраструктур). При этом доступные вычислительные ресурсы могут компенсировать длительное время обучения.

Random Forest – оптимальный выбор для быстрого развёртывания и работы в условиях ограниченных ресурсов. Также его стоит использовать, когда требуется объяснимость результатов для последующего анализа и принятия решений.

Выбор между этими моделями нужно делать, исходя из конкретных требований к задаче в сфере кибербезопасности. Необходимо найти баланс между точностью, скоростью работы и интерпретируемостью. Обе модели показали свою эффективность, но для разных сценариев их применения.

Разработанные модели можно адаптировать для работы в реальном времени при интеграции с потоковыми платформами анализа данных, такими как Apache Kafka или Flink. Это обеспечит оперативное обнаружение вторжений с минимальной задержкой и позволит системе гибко реагировать на новые типы угроз.

Перспективным направлением развития является использование технологий федеративного обучения (Federated Learning), которые позволяют обучать модели на распределённых данных без их передачи. Это гарантирует защиту конфиденциальной информации, сохраняя при этом высокую эффективность обучения.

Также в дальнейших исследованиях можно рассмотреть другие модели, такие как LSTM, Дерево решений (Decision Tree), Extra Trees и Градиентный бустинг. На основе разработанных моделей по обнаружению кибервторжений можно реализовать самостоятельное программное обеспечение, которое будет анализировать существующий трафик и помогать пользователям узнать о появившихся атаках.

БИБЛИОГРАФИЧЕСКИЙ СПИСОК

1. Чипига А.Ф., Пелешенко В.С. Формализация процедур обнаружения и предотвращения сетевых атак // Информационное противодействие угрозам терроризма. – 2006. – № 8. – С. 156-163.
2. Усков Е.Д., Корепанова Н.Л. Анализ информативных признаков аномалий сетевого трафика корпоративных сетей // Современные инновации. – 2019. – № 3 (31). – С. 13-16.
3. Аброськина Е.С. Анализ методов выявления сетевых вторжений и аномалий // Экономика и социум. – 2021. – № 3-2 (82). – С. 688-698.
4. Чаругин В.В., Чесалин А.Н. Анализ и формирование наборов данных сетевого трафика для обнаружения компьютерных атак // International Journal of Open Information Technologies. – 2023. – С. 100-105.
5. Исратова Е.Е. Применение нейронных сетей для обнаружения аномального трафика в сетях Интернета вещей // International Journal of Open Information Technologies. – 2024. – С. 65-69.
6. Гайфулина Д.А., Котенко И.В. Анализ моделей глубокого обучения для задач обнаружения сетевых аномалий интернета вещей // Информационно-управляющие системы. – 2021. – № 1 (110). – С. 28-37.
7. Chastikova V.A., Sotnikov V.V. Method of analyzing computer traffic based on recurrent neural networks // Journal of Physics: Conference Series. International Conference "High-Tech and Innovations in Research and Manufacturing," HIRM 2019. – 2019. – P. 012133.
8. Кажемский М.А., Шелухин О.И. Многоклассовая классификация сетевых атак на информационные ресурсы методами машинного обучения // Тр. учебных заведений связи. – 2019. – Т. 5, № 1. – С. 107-115. – DOI: 10.31854/1813-324X-2019-5-1-107-115.
9. Саматов М.А. Анализ эффективности IDS/IPS систем на базе Suricata в обеспечении сетевой кибербезопасности // Вестник науки. – 2024. – Т. 2, № 12. – С. 1352-1363.
10. Болодурин И.П., Нефедов Д.А. Применение большой языковой модели для уменьшения ложнопозитивных срабатываний в задачах выявления аномалий в сетевом трафике // Вестник ЮУрГУ. Серия «Компьютерные технологии, управление, радиоэлектроника». – 2024. – Т. 24, № 4. – С. 5-15. – DOI: 10.14529/ctcr240401.
11. Частикова В.А., Жерлицын С.А., Воля Я.И., Сотников В.В. Нейросетевая технология обнаружения аномального сетевого трафика // Прикаспийский журнал: управление и высокие технологии. – 2020. – № 1 (49). – С. 20-32.
12. Гетьман А.И., Горюнов М.Н., Мацкевич А.Г., Рыболовлев Д.А. Методика сбора обучающего набора данных для модели обнаружения компьютерных атак // Тр. ИСП РАН. – 2021. – Т. 33, № 5. – С. 83-104. – DOI: 10.15514/ISPRAS-2021-33(5)-5.
13. Chastikova V.A., Zherlitsyn S.A., Volya Y.I., Sotnikov V.V. Analysis of training of deep neural networks with heterogeneous architecture while detecting malicious network traffic // IOP Conference Series: Materials Science and Engineering. Krasnoyarsk Science and Technology City Hall., Krasnoyarsk, Russian Federation. – 2021. – P. 12135.
14. Chastikova V.A., Mitugov A.I. The method for detecting network attacks based on the neuroimmune approach // Journal of Physics: Conference Series. Krasnoyarsk Science and Technology City Hall of the Russian Union of Scientific and Engineering Associations. Krasnoyarsk, Russia. – 2021. – P. 32035.
15. KDD Cup 1999 Data. – URL: <https://kdd.ics.uci.edu/databases/kddcup99/kddcup99.html> (дата обращения: 10.04.2025).
16. NSL-KDD. – URL: <https://www.kaggle.com/datasets/hassan06/nslkdd> (дата обращения: 10.04.2025).

17. CSE-CIC-IDS2018. – URL: https://fkie-cad.github.io/COMIDDS/content/datasets/cse_cic_ids2018/ (дата обращения: 10.04.2025).
18. UNSW-NB15 Network Intrusion Detection Dataset. // Fraunhofer FKIE. – URL: https://fkie-cad.github.io/COMIDDS/content/datasets/uns_w_nb15/ (дата обращения: 14.04.2025).
19. Kingma D.P., Ba J. Adam. A Method for Stochastic Optimization // The 3rd International Conference for Learning Representations. – San Diego, 2015. – P. 1-15.
20. Fawcett T. An Introduction to ROC Analysis // Pattern Recognition Letters. – 2006. – Vol. 27, No. 8. – P. 861-874. – DOI: 10.1016/j.patrec.2005.10.010.

REFERENCES

1. Chipiga A.F., Peleshenko V.S. Formalizatsiya protsedur obnaruzheniya i predotvrashcheniya setevykh atak [Formalization of procedures for detecting and preventing network attacks], *Informatsionnoe protivodeystvie ugrozam terrorizma* [Information counteraction to terrorist threats], 2006, No. 8, pp. 156-163.
2. Uskov E.D., Korepanova N.L. Analiz informativnykh priznakov anomalii setevogo trafika korporativnykh setey [Analysis of informative signs of anomalies in corporate network traffic], *Sovremennye innovatsii* [Modern innovations], 2019, No. 3 (31), pp. 13-16.
3. Abros'kina E.S. Analiz metodov vyyavleniya setevykh vtorzheniy i anomalii [Analysis of methods for detecting network intrusions and anomalies], *Ekonomika i sotsium* [Economics and society], 2021, No. 3-2 (82), pp. 688-698.
4. Charugin V.V., Chesalin A.N. Analiz i formirovanie naborov dannykh setevogo trafika dlya obnaruzheniya komp'yuternykh atak [Analysis and formation of network traffic data sets for detecting computer attacks], *International Journal of Open Information Technologies*, 2023, pp. 100-105.
5. Isratova E.E. Primenenie neyronnykh setey dlya obnaruzheniya anomal'nogo trafika v setyakh Interneta veshchey [Application of neural networks to detect abnormal traffic in Internet of Things networks], *International Journal of Open Information Technologies*, 2024, pp. 65-69.
6. Gayfulina D.A., Kotenko I.V. Analiz modeley glubokogo obucheniya dlya zadach obnaruzheniya setevykh anomalii interneta veshchey [Analysis of deep learning models for the detection of network anomalies of the Internet of Things], *Informatsionno-upravlyayushchie sistemy* [Information and Control Systems], 2021, No. 1 (110), pp. 28-37.
7. Chastikova V.A., Sotnikov V.V. Method of analyzing computer traffic based on recurrent neural networks, *Journal of Physics: Conference Series. International Conference "High-Tech and Innovations in Research and Manufacturing," HIRM 2019*, 2019, pp. 012133.
8. Kazhemskiy M.A., Shelukhin O.I. Mnogoklassovaya klassifikatsiya setevykh atak na informatsionnye resursy metodami mashinnogo obucheniya [Multiclass classification of network attacks on information resources by machine learning methods], *Tr. uchebnykh zavedeniy svyazi* [Proceedings of educational institutions of communication], 2019, Vol. 5, No. 1, pp. 107-115. DOI: 10.31854/1813-324X-2019-5-1-107-115.
9. Samatov M.A. Analiz effektivnosti IDS/IPS sistem na baze Suricata v obespechenii setevoy kiberbezopasnosti [Analysis of the effectiveness of IDS/IPS systems based on Suricata in ensuring network cybersecurity], *Vestnik nauki* [Bulletin of Science], 2024, Vol. 2, No. 12, pp. 1352-1363.
10. Bolodurina I.P., Nefedov D.A. Primenenie bol'shoy yazykovoy modeli dlya umen'sheniya lozhnopolozitivnykh srabatyvaniy v zadachakh vyyavleniya anomalii v setevom trafike [The use of a large language model to reduce false positives in problems of detecting anomalies in network traffic], *Vestnik YuUrGU. Seriya «Komp'yuternye tekhnologii, upravlenie, radioelektronika»* [Bulletin of SUSU. The series "Computer technology, control, radio electronics"], 2024, Vol. 24, No. 4, pp. 5-15. DOI: 10.14529/ctcr240401.
11. Chastikova V.A., Zherlitsyn S.A., Volya Ya.I., Sotnikov V.V. Neyrosetevaya tekhnologiya obnaruzheniya anomal'nogo setevogo trafika [Neural network technology for detecting abnormal network traffic], *Prikaspiyskiy zhurnal: upravlenie i vysokie tekhnologii* [Caspian Journal: Management and High Technologies], 2020, No. 1 (49), pp. 20-32.
12. Get'man A.I., Goryunov M.N., Matskevich A.G., Rybolovlev D.A. Metodika sbora obuchayushchego nabora dannykh dlya modeli obnaruzheniya komp'yuternykh atak [A methodology for collecting a training dataset for a computer attack detection model], *Tr. ISP RAN* [Proceedings of the ISP RAS], 2021, Vol. 33, No. 5, pp. 83-104. DOI: 10.15514/ISPRAS-2021-33(5)-5.
13. Chastikova V.A., Zherlitsyn S.A., Volya Y.I., Sotnikov V.V. Analysis of training of deep neural networks with heterogeneous architecture while detecting malicious network traffic, *IOP Conference Series: Materials Science and Engineering. Krasnoyarsk Science and Technology City Hall., Krasnoyarsk, Russian Federation*, 2021, pp. 12135.

14. Chastikova V.A., Mitugov A.I. The method for detecting network attacks based on the neuroimmune approach, *Journal of Physics: Conference Series. Krasnoyarsk Science and Technology City Hall of the Russian Union of Scientific and Engineering Associations. Krasnoyarsk, Russia*, 2021, pp. 32035.
15. KDD Cup 1999 Data. Available at: <https://kdd.ics.uci.edu/databases/kddcup99/kddcup99.html> (accessed 10 April 2025).
16. NSL-KDD. Available at: <https://www.kaggle.com/datasets/hassan06/nslkdd> (accessed 10 April 2025).
17. CSE-CIC-IDS2018. Available at: https://fkie-cad.github.io/COMIDDS/content/datasets/cse_cic_ids2018/ (accessed 10 April 2025).
18. UNSW-NB15 Network Intrusion Detection Dataset. // Fraunhofer FKIE. Available at: <https://fkie-cad.github.io/COMIDDS/content/datasets/unswnb15/> (accessed 10 April 2025).
19. Kingma D.P., Ba J. Adam. A Method for Stochastic Optimization, *The 3rd International Conference for Learning Representations*. San Diego, 2015, pp. 1-15.
20. Fawcett T. An Introduction to ROC Analysis, *Pattern Recognition Letters*, 2006, Vol. 27, No. 8, pp. 861-874. DOI: 10.1016/j.patrec.2005.10.010.

Частикова Вера Аркадьевна – Кубанский государственный технологический университет; e-mail: chastikova_va@mail.ru; г. Краснодар, Россия; тел.: +79184635536; к.т.н.; доцент.

Козачёк Константин Валериевич – Кубанский государственный технологический университет; e-mail: Koza4ek.Konstantin@yandex.ru; г. Краснодар, Россия; тел.: +79182345367; аспирант.

Коробская Екатерина Сергеевна – Кубанский государственный технологический университет; e-mail: kate9.korobskaya@mail.ru; г. Краснодар, Россия; тел.: +79286059807; студент.

Кравцов Владислав Павлович – Кубанский государственный технологический университет; e-mail: vlad.kravtsov.1980@mail.ru; г. Краснодар, Россия; тел.: +79121585302; студент.

Chastikova Vera Arkadyevna – Kuban State Technological University; e-mail: chastikova_va@mail.ru; Krasnodar, Russia; phone: +79184635536; cand. of eng. sc.; associate professor.

Kozachek Konstantin Valerievich – Kuban State Technological University; e-mail: Koza4ek.Konstantin@yandex.ru; Krasnodar, Russia; phone: +79182345367; postgraduate student.

Korobskaya Ekaterina Sergeevna – Kuban State Technological University; e-mail: kate9.korobskaya@mail.ru; Krasnodar, Russia; phone: +79286059807; student.

Kravtsov Vladislav Pavlovich – Kuban State Technological University; e-mail: vlad.kravtsov.1980@mail.ru; Krasnodar, Russia; phone: +79121585302; student.

УДК 004.032.26

DOI 10.18522/2311-3103-2025-5-243-254

А.С. Коваленко, Я.М. Демяненко

МЕТОД ГЕНЕРАЦИИ ШУМА ПО НАБОРУ ЗАШУМЛЕННЫХ ИЗОБРАЖЕНИЙ БЕЗ ЧИСТЫХ ПРИМЕРОВ

Предлагается новый метод генерации шума по зашумленным изображениям без необходимости использования выровненных пар чистых и зашумленных данных. В отличие от традиционных подходов, требующих наличия согласованных наборов изображений или априорных моделей шума, разрабатываемый метод позволяет моделировать сложные характеристики шума, присущие конкретным КМОП-сенсорам, основываясь исключительно на наблюдаемых зашумленных данных. Для синтеза шума используется генеративно-сопоставительная архитектура U-Net-подобного типа, построенная на базе StyleGANv2 с модифицированным дискриминатором, учитывающим параметры камеры и исходных изображений. Основное внимание уделяется сохранению пространственно-цветовой структуры изображения при генерации шума, что достигается введением специализированной функции потерь, сохраняющей характеристики цветопередачи и текстурных деталей. Предлагаемый подход позволяет обучать генератор шума в условиях полного отсутствия пар чистых и зашумленных изображений, что особенно актуально при работе с реальными данными, полученными с различных камер и в различных условиях освещения. В экспе-

риментальной части проведен подробный сравнительный анализ качества синтезированных изображений по метрикам PSNR и SSIM, а также оценка распределения шума на основе статистических характеристик интенсивности и спектрального состава. Демонстрируется, что синтезированный набор изображений, созданный предложенным методом, может эффективно использоваться как самостоятельный тренировочный корпус для нейросетей подавления шума, а также в комбинации с реальным набором SIDD для повышения точности моделей подавления шума. Результаты показали, что комбинированное обучение на объединенном множестве сгенерированных и реальных примеров обеспечивает рост среднего PSNR на 1.5 дБ по сравнению с существующими методами, основанными на выровненных данных. При этом отсутствует зависимость от специфических оптических характеристик конкретного сенсора камеры, что существенно расширяет область применения разработанного метода. Полученные результаты подтверждают применимость предложенного подхода в задачах синтеза и подавления реалистичного шума в условиях отсутствия чистых эталонных изображений, а также открывают перспективы для дальнейших исследований в направлении адаптивной генерации шумовых моделей.

Нейронные сети; генерация данных; фильтрация шума; синтез шума; состязательное обучение; обработка цифровых изображений.

A.S. Kovalenko, Ya.M. Demyanenko

NOISE GENERATION METHOD BASED ON A SET OF NOISY IMAGES WITHOUT CLEAN EXAMPLES

In this work, a novel method is proposed for noise generation from noisy images that does not require aligned pairs of clean and noisy data. Unlike traditional approaches demanding matched image sets or a priori noise models, the developed technique models complex noise characteristics intrinsic to specific CMOS sensors solely from observed noisy data. Noise synthesis is achieved via a U-Net-like generative adversarial architecture based on StyleGANv2, featuring a modified discriminator conditioned on camera parameters and input image metadata. Special emphasis is placed on preserving the spatial-color structure and textural details of each image, enforced through a dedicated loss function that ensures fidelity to the original color rendering and fine-grained patterns. Training of the noise generator is performed without any paired clean and noisy images, which proves particularly valuable when handling real-world datasets acquired from multiple camera models under varied lighting conditions. The experimental section presents a detailed comparative analysis of the synthesized images using PSNR and SSIM metrics, along with an evaluation of the noise distribution based on intensity statistics and spectral characteristics. It is demonstrated that the generated dataset functions effectively as a standalone training corpus for denoising neural networks and, when combined with a real dataset (e.g., SIDD), yields further enhancements in denoising performance. Results indicate that combined training on the union of generated and real examples produces an average PSNR improvement of 1.5 dB compared to existing methods reliant on aligned data. Independence from the specific optical characteristics of any given sensor significantly broadens the method's applicability. These findings confirm the utility of the proposed approach for realistic noise synthesis and removal in scenarios lacking clean reference images, and they open avenues for future research into adaptive noise-model generation.

Neural networks; data generation; noise filtering; noise synthesis; adversarial training; digital image processing.

Введение. Задача подавления шума на цифровых изображениях является одной из самых распространенных в области обработки изображений, поскольку, как большинство методов анализа изображений, так и глубокие нейронные сети имеют чувствительность к наличию шума в обрабатываемых данных [1]. Современные подходы устранения шума на изображениях основаны на применении глубоких сверточных нейронных сетей. В отличие от традиционных подходов, глубокие сети требуют этапа обучения для настройки параметров слоев [2]. Данный этап сильно зависит от используемых наборов данных, состоящих, как правило, из пар изображений – чистое и с шумом. Сбор таких наборов данных для обучения нейронных сетей шумоподавления представляет собой значительную сложность. Процесс получения эталонных «чистых» изображений требует использования высококачественного оборудования и тщательных условий съемки, что ограничивает доступность подобных данных. Генерация зашумленных изображений, реалистично отражающих разнообразие шумов, встречающихся в реальных условиях, требует моде-

лирования различных источников и типов шумов, таких как фотонный шум матрицы и шум квантования при дискретизации аналогового сигнала [3]. При этом синтетически созданные шумы не всегда точно соответствуют характеристикам реальных искажений, что может снижать эффективность обученных моделей. А также масштабирование таких наборов данных для охвата большого числа сценариев и типов изображений требует значительных временных и вычислительных ресурсов, делая процесс их формирования дорогостоящим и трудоемким.

В связи с перечисленными сложностями получения новых обучающих данных перспективным подходом является генерация зашумленных изображений, с распределением шума из заданной выборки. Данная задача может решаться с помощью генеративных состязательных сетей [4]. Они позволяют изучать характеристики шума в наборе данных и синтезировать шум для входных чистых изображений максимально приближенный к оригинальным шумным кадрам.

Мотивация. Методы генерации зашумленных изображений на основе генеративных подходов требуют выровненных наборов данных для обучения, содержащих пары: чистое – зашумленное. Использование простых моделей шума, таких как добавочный гауссов шум или пуассоновский шум, не учитывает всех физических особенностей КМОП-сенсора камеры [5]. В связи с этим, актуальной является задача разработки метода, позволяющего на основе только зашумленных данных строить генеративную модель, позволяющую генерировать изображения со схожим шумом.

Существующие подходы. Подходы, основанные на состязательном обучении используют, как правило, две модели: генератор, обучающийся генерировать добавочный шум или зашумленное изображение, и дискриминатор, обучающийся определять, что изображение сгенерировано генератором. Данный подход может улучшаться добавлением дополнительных моделей в схему обучения. Так в работе [6] добавляется дополнительная предобученная модель для подавления шума на изображении. В данном подходе генератор учится синтезировать такой шум, чтобы при наложении он был не отличим от реального шума ни дискриминатором, ни методом подавления шума.

Подходы на диффузионных моделях предоставляют высокое качество генерации шума без использования дополнительных моделей в схеме обучения, а также при использовании условной генерации позволяют генерировать шум с заданными параметрами сенсора. Такой подход предлагают авторы работы *Realistic Noise Synthesis with Diffusion Models* [7].

Наряду с методами генерации зашумленных примеров существуют подходы, позволяющие переносить шум из изученного распределения на изображение. Это позволяет производить расширение наборов данных для обучения шумоподавляющих сетей. Такой метод предложен авторами работы *NoiseTransfer: Image Noise Generation with Contrastive Embeddings* [8], однако для обучения модели переноса шума все еще необходимы выровненные обучающие данные.

В подходе [9] генерация шума вводит дополнительный стохастический элемент, позволяя модели лучше захватывать распределение реального шума. Данный подход обучается подавлять шум на изображении без использования чистых данных, но генератор шума в подходе не учится генерировать распределения шума из используемого набора данных. Он может использоваться для получения «псевдочистых» изображений на основе зашумленных, что позволит использовать методы генерации шума, требующие наличия выровненных данных.

Для генерации и подавления шума может использоваться подход циклического состязательного обучения (*CycleGAN*) [10]. Так авторы работы [11] применяют данный подход для решения задачи восстановления снимков компьютерной томографии. При этом во время обучения на реальные чистые изображения накладывается синтетический шум. Данный подход имеет существенные ограничения: он требует наличия реальных чистых изображений, а также может привести к переобучению модели на искусственно смоделированном шуме, что снизит качество восстановления реальных зашумленных данных.

Постановка задачи. Модели генерации шума обучаются методами обучения с учителем [7], с частичным привлечением учителя [11] и без учителя [9]. Все перечисленные подходы к обучению требуют наличия выровненного с зашумленными или невыровненного множества чистых кадров. В работе рассматривается задача, когда чистые примеры взяты из наборов кадров, снятых на одной и той же камере, а чистые кадры берутся из независимых наборов, полученных при помощи других камер. Такой подход исключает утечку информации о специфических оптических характеристиках устройства, на котором сняты шумные кадры, и вынуждает модель учиться генерировать и удалять шум, не полагаясь на прямые соответствия между чистыми и зашумленными изображениями.

Добавляемый шум к изображениям должен принадлежать распределению $\Omega(H)$, где H это множество матриц шума из набора зашумленных изображений X :

$$x = y + \eta, x \in X, \eta \in H, y \in Y,$$

причем y – неизвестные матрицы соответствующих чистых изображений для примеров из X .

Дополнительно имеются изображения $b \in B$, которые не содержат шума, и не являются чистыми парами для изображений из X , то есть не принадлежат множеству Y .

Для наложения шума из распределения $\Omega(H)$ на изображение b необходимо построить генеративную модель G , такую, что:

$$\eta = \hat{b} - b, \eta \sim \Omega(H): \hat{b} = G(b).$$

В решение добавляется дополнительная модель для подавления шума на изображении F . Таким образом, решение задачи можно свести к использованию подхода циклического состязательного обучения [10].

Предлагаемый подход. Для обучения моделей в данной работе используется модифицированная функция ошибки из подхода CycleGAN, имеющая вид:

$$\mathcal{L}_{CycleGAN} = \mathcal{L}_{GAN}(G, D_B, B, X) + \mathcal{L}_{GAN}(F, D_X, X, B) + \lambda_{cycle} \mathcal{L}_{cycle}(G, F) + \lambda_{color} \mathcal{L}_{color}(G, F). \quad (1)$$

В классической функции ошибки циклического состязательного обучения добавляется ошибка λ_{color} для корректировки цвета при переходе из доменов. Чистые изображения и зашумленные получены из разных камер, имеющие разные настройки цветопередачи, при обучении с помощью дискриминаторов может происходить смещение цветового домена от одного распределения к другому. Цветовая функция ошибки вычисляется между результатами работы моделей G, F и входными в них данными:

$$\mathcal{L}_{color}(G, F) = \mathcal{L}_{kde}^{b \sim B}(G(b), b) + \mathcal{L}_{kde}^{x \sim X}(F(x), x),$$

Цвета сравниваются на основе оценки плотности ядра (Kernel Density Estimation, KDE). Эта функция потерь позволяет измерять расхождение в цветовых распределениях предсказанного и целевого изображений, игнорируя пространственные особенности. Также такая оценка изображений является устойчивой к шуму [12]. \mathcal{L}_{kde} определяется как:

$$\mathcal{L}_{kde} = \frac{1}{BS \cdot C \cdot K} \sum_{b=1}^{BS} \sum_{c=1}^C \sum_{k=1}^K (\hat{f}_{I^1}(k, c, b) - \hat{f}_{I^2}(k, c, b))^2, \quad (2)$$

где

$$\hat{f}_{I^1}(k, c, b) = \frac{1}{H \cdot W} \sum_{i=1}^H \sum_{j=1}^W \frac{1}{\sqrt{2\pi h^2}} \exp\left(-\frac{(I_{b,c,i,j}^1 - \xi_k)^2}{2h^2}\right),$$

$$\hat{f}_{I^2}(k, c, b) = \frac{1}{H \cdot W} \sum_{i=1}^H \sum_{j=1}^W \frac{1}{\sqrt{2\pi h^2}} \exp\left(-\frac{(I_{b,c,i,j}^2 - \xi_k)^2}{2h^2}\right),$$

I^1 – предсказанное изображение, $I^1 \in \mathbb{R}^{BS \times C \times H \times W}$, I^2 – целевое изображение, $I^2 \in \mathbb{R}^{BS \times C \times H \times W}$, BS – размер пакета обучения, C – число каналов в изображении, H, W – высота и ширина изображения, K – число интервалов KDE, ξ_k – центральная точка k -го интервала, равномерно распределенная в $[0,1]$, h – ширина ядра KDE.

В циклической потере необходимо учитывать характеристики чистой компоненты предсказываемого зашумленного изображения x . Чтобы признаки изображения x учитывались к циклической функции ошибки добавляется дополнительная перцептивная функция потерь [13], обозначаемая P . Предлагаемый вариант функции циклической потери будет иметь вид:

$$\mathcal{L}_{cycle}(G, F) = \mathbb{E}_{b \sim B} [\|F(G(b)) - b\|_{L_1}] + \mathbb{E}_{x \sim X} [\|P(G(F(x))) - P(x)\|_{L_1}].$$

Функция ошибки \mathcal{L}_{GAN} , вычисляемая с помощью дискриминаторов, без изменений взята из оригинального подхода [10].

Общие схемы обучения моделей с помощью циклической соревновательной функции ошибки представлены на рис. 1.

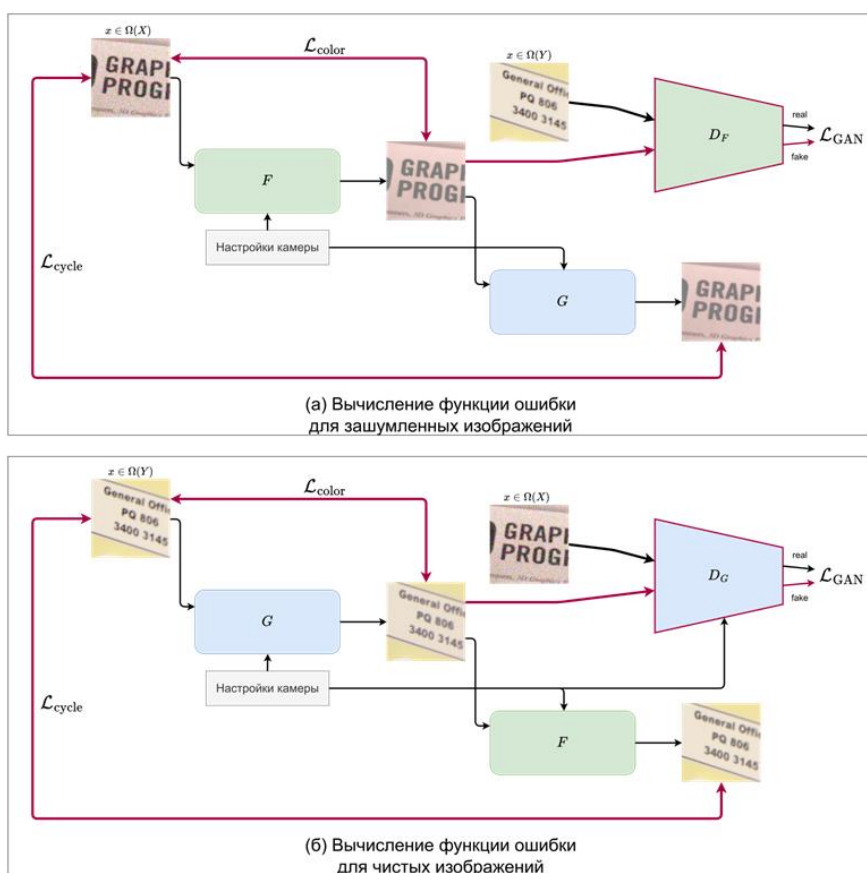


Рис. 1. Вычисление предлагаемой функции ошибки: (а) – для зашумленных изображений, (б) – для чистых изображений

Построение U-Net с механизмом адаптивной нормализации. Использование сверточных слоев с механизмом адаптивной нормализации (AdaIN) и многоуровневой генерации изображений в разных масштабах позволяет архитектуре генератора из подхода StyleGANv2 интегрировать стилевые параметры в каждый слой модели. Применение AdaIN обеспечивает генерацию изображений с разными масштабами и характеристиками, сохраняя при этом структурную согласованность.

В контексте генерации шума с помощью U-Net-подобной архитектуры AdaIN может позволить управлять, как высокоуровневыми характеристиками шума (общая текстура), так и локальными деталями (шумовые паттерны в конкретных областях).

В оригинальном подходе StyleGANv2 вектора стилей генерируются из случайного вектора z , имеющего многомерное нормальное распределение. В предлагаемой архитектуре стилиевые параметры предсказываются на основе параметров, полученных кодировщиком входного изображения. Кодировщик изображения строится на сверточных слоях с алгоритмом понижения размера признаков из дискриминатора StyleGANv2. Ключевым шагом алгоритма является применение фильтра низких частот к входным признакам с последующим применением сверточного слоя для устранения искажений после сжатия. Данный шаг позволит эффективно извлекать сильные признаки из входных зашумленных изображений.

Дополнительно ко всем масштабам признаков в декодирующей части предлагаемой архитектуры добавляются сквозные признаки кодировщика, как в оригинальных U-Net-подобных моделях. В предлагаемом подходе обучения, по аналогии с работой [7] используется кодирование параметров камеры для их передачи в диффузионную модель. С помощью полносвязных слоев кодируются следующие параметры, предоставляемые в наборе данных [14]: уровень чувствительности (ISO), скорость затвора, название камеры, цветовая температура, уровень яркости светового прибора. Кодировка данных параметров также передается и в модель дискриминатора во время обучения. Это позволит определять дискриминатору характеристику шума, которую генерирует модель $SG\$. Передача дополнительной информации о генерируемом изображении повышает стабильность обучения [15]. Поэтому в предлагаемую модель добавлен блок предсказаний характеристик шума на основе кодировки настроек камеры. Данный блок добавлен в механизм генерации векторов стиля.$

Общая схема разработанной архитектуры приведена на рис. 2.

Наборы данных. Информация о настройках камер во время съемки и соответствующие зашумленные изображения брались из открытого набора данных Smartphone Image Denoising Dataset (SIDDD) [14]. Набор SIDDD предоставляет реальные зашумленные изображения и соответствующие им чистые изображения. Обучающая часть набора содержит 320 изображений высокого разрешения, а проверочная часть содержит 1280 пар изображений, имеющих размер 256 на 256 точек. Съемка проводилась авторами на 5 мобильных устройств с КМОП-сенсорами.



Рис. 2. Схема построенной U-Net-подобной архитектуры для зашумления и восстановления изображения

Также для обучения использовались изображения из набора DIV2K [16]. Данный набор содержит только чистые изображения и, как правило, используются для обучения моделей, повышающих разрешение изображения. Так как изображения в наборе не содержат шума [17], в данной работе они используются в качестве множества чистых изображений для обучения генеративной модели, накладывающей шум.

Параметры обучения. Код обучения реализован на фреймворке глубокого обучения PyTorch [18].

Из подхода к состязательному обучению StyleGANv2 [19] используются методы регуляризации параметров генераторов и дискриминаторов для стабилизации их обучения.

Модели обучались на случайных срезах из изображений размером 256×256 пикселей.

Для обучения параметров моделей генератора и дискриминатора применялся метод стохастической оптимизации, основанный на адаптивной оценке моментов первого и второго порядка Adam [20] с параметром скорости обучения равным 0.0002.

Параметр ширины ядра h в формуле (2) задан значением 0.01, а количество интервалов KDE задано 256. Коэффициент λ_{cycle} в основной функции ошибки (1) задан как в оригинальной работе CycleGAN [10], значением 10, а коэффициент λ_{color} дополнительной функции потерь имеет значение 10, как и у циклической ошибки.

Эксперименты проводились на вычислительной машине с графическим ускорителем NVidia RTX 4090, процессором Intel i9-10920X и объемом оперативной памяти 128 Гб. При размере входных изображений 256×256 в процессе обучения использовались пакеты размером 2 (batch size).

Метрики для оценки. Для оценки точности работы обученной модели для генерации шума использовались метрики среднего значения расстояния Кульбака-Лейблера и модуль разности значений пикового отношения сигнала к шуму между предсказанным зашумленным изображением и чистым и между реальным зашумленным и чистым.

При оценке эффективности работы обучаемых моделей для подавления шума дополнительно использовалась метрика структурного сходства изображений.

Расстояние Кульбака-Лейблера (Kullback-Leibler Divergence, KLD) является мерой различия между двумя вероятностными распределениями. В контексте задачи генерации шума AKLD используется для сравнения распределения интенсивностей пикселей в предсказанном зашумленном изображении I_{pred} и реальном зашумленном изображении I_{real} . Формально, KLD определяется как:

$$KDL(P||Q) = \sum_x P(x) \cdot \log \frac{P(x)}{Q(x)},$$

где $P(x)$ и $Q(x)$ — вероятностные распределения интенсивностей пикселей в реальном и предсказанном изображениях соответственно.

Использование среднего значения KLD (Average KLD, AKLD) позволяет учесть глобальные различия между распределениями шума на всем изображении. Эта метрика особенно полезна для оценки точности генерации шума, так как она чувствительна к отклонениям в распределении интенсивностей, что важно для создания реалистичного шума [21].

Пиковое отношение сигнал/шум (Peak Signal-to-Noise Ratio, PSNR) является одной из наиболее распространенных метрик для оценки качества изображений. Оно измеряет соотношение между максимальной возможной мощностью сигнала и мощностью шума. Для двух изображений I_1 и I_2 размера $M \times N$ PSNR вычисляется по формуле:

$$PSNR(I_1, I_2) = 10 \cdot \log_{10} \left(\frac{MAX_I^2}{MSE(I_1, I_2)} \right),$$

где MAX_I — максимальное значение интенсивности пикселей (например, 255 для 8-битных изображений), а $MSE(I_1, I_2)$ — среднеквадратичная ошибка между изображениями:

$$MSE(I_1, I_2) = \frac{1}{M \cdot N} \sum_{i=1}^M \sum_{j=1}^N (I_1(i, j) - I_2(i, j))^2.$$

В данной работе используется модуль разности значений PSNR между предсказанным зашумленным изображением и чистым ($PSNR_{pred}$), и между реальным зашумленным и чистым ($PSNR_{real}$):

$$PGap = |PSNR_{pred} - PSNR_{real}|.$$

Метрика PGap позволяет оценить, насколько точно модель воспроизводит уровень шума, характерный для реальных данных. Чем меньше значение PGap, тем ближе предсказанный шум к реальному [22].

Метрика структурного сходства изображений (Structural Similarity Index Measure, SSIM) оценивает визуальное сходство между двумя изображениями, учитывая яркость, контраст и структуру. Для двух изображений x и y SSIM определяется как:

$$SSIM(x, y) = \frac{(2\mu_x\mu_y + C_1)(2\sigma_{xy} + C_2)}{(\mu_x^2 + \mu_y^2 + C_1)(\sigma_x^2 + \sigma_y^2 + C_2)},$$

где μ_x и μ_y – средние значения интенсивностей пикселей, σ_x^2 и σ_y^2 – дисперсии, σ_{xy} – ковариация, а C_1 и C_2 – константы для стабилизации деления.

SSIM особенно полезна при оценке точности восстановления зашумленных изображений, так как она фокусируется на сохранении структурных особенностей изображений, которые могут быть потеряны при агрессивном удалении шума [21].

Результаты обучения. Сравнение эффективности наложения шума производилось на валидационном множестве набора данных SIDD [14]. При генерации шума не использовалась информация о настройках камеры, при которых был произведен снимок.

Для сравнения точности моделирования шума с помощью обученных моделей были взяты современные решения, основанные на разных методах генерации шума: на основе состязательно-генеративном подходе DANet [21], на основе нормализации потоков sRGBFlow [23], корреляции чистого и зашумленного сигналов NeCA [24], и диффузионных моделях RNSD [7]. Результаты приведены в табл. 1.

Таблица 2

Сравнение метрик точности генерации шума

Метод	Тип обучения	AKLD ↓	PGap ↓
sRGB2Flow [23]	С учителем	0,237	6,3
DANet [21]	С учителем	0,212	0,206
NeCA [24]	С учителем	0,156	0,97
RNSD [7]	С учителем	0,117	0,54
Предлагаемый подход	Без учителя	0,421	3,48
Предлагаемый подход без \mathcal{L}_{kde}	Без учителя	1,465	7,76
Предлагаемый подход с ошибкой [25]	Без учителя	1,046	5,97

По сходству распределения генерируемого шума с реальным, предлагаемый подход не превосходит модели, обучаемые с учителем (использующие чистые данные при обучении), но при этом не требует наличия выровненного набора данных для обучения. Метрике PGap обученная модель показывает лучшее моделирование шума в сравнении с подходом sRGBFlow [23].

Для демонстрации эффективности использования предлагаемой функции ошибки \mathcal{L}_{kde} (2) были обучены варианты модели без ее использования и с использованием функции ошибки на основе UV-гистограммы изображения [25]. Использование предлагаемой функции ошибки для сохранения характеристик цветопередачи демонстрирует прирост точности генерации шума по обоим метрикам оценки.

Для оценки эффективности подавления шума с помощью обученной модели были сгенерированы наборы данных на основе чистых примеров из обучающей части набора данных SIDD [14] и 1000 изображений из набора LSDIR [26], используемого для сравнений в работе [7]. Набор, обозначаемый M^c , сгенерирован из чистых изображений набора SIDD и при синтезе зашумленных кадров использовалась информация о настройках камеры. Во втором варианте набора использовались изображения из LSDIR, аналогично подходу [7], настройки камеры брались случайным образом, этот вариант обозначается как M^u . На сгенерированных наборах были обучены следующие архитектуры нейронных сетей: DnCNN [27], U-Net [28], NAFNET [29].

Сравнение точности восстановления зашумленных изображений обученными моделями на валидационной части набора SIDD приведено в табл. 2. Если авторы не предоставили результаты по определенным моделям, в соответствующей ячейке таблицы ставится прочерк.

Таблица 3

Сравнение точности восстановления зашумленных изображений из набора SIDD при использовании различных способов получения обучающей выборки

Обучающий набора данных	DnCNN		U-Net		NAFNET	
	PSNR ↑	SSIM ↑	PSNR ↑	SSIM ↑	PSNR ↑	SSIM ↑
SIDD	37,73	0,941	37,92	0,944	39,96	0,960
sRGB2Flow	34,74	-	-	-	-	-
SIDD + sRGB2Flow	37,79	0,950	-	-	39,39	0,957
NeCA	37,65	-	-	-	-	-
RNSD	38,11	-	-	-	-	-
SIDD + RNSD	38,27	0,952	-	-	39,56	0,958
SIDD + DANet	38,05	0,951	-	-	39,05	0,956
M^c	34,54	0,845	33,87	0,811	33,21	0,849
SIDD + M^u	38,81	0,897	38,71	0,900	39,62	0,918

Предлагаемый подход генерации зашумленных изображений позволяет создавать обучающие выборки для обучения шумоподавляющих нейронных сетей без наличия чистых кадров в изначальном наборе. При использовании только набора M^c , состоящего из сгенерированных изображений, точность восстановления зашумленных изображений ниже, чем у подходов, использующих выровненные данные. Обученная модель генератора шумных примеров позволяет добавлять в обучающий набор больше информации о распределении шума, за счет новых примеров. За счет этого результаты комбинации сгенерированного набора с набором SIDD, превосходят рассматриваемые в сравнении подходы.

Для качественного анализа результатов генерации и оценки визуальной достоверности синтезированных изображений были проведены дополнительные эксперименты по сравнению предсказанных шумных кадров с реальными примерами изображений. На рис. 3 представлены примеры зашумленных изображений, сгенерированных моделью на основе чистых входных данных, и их сопоставление с реальными шумными кадрами из набора SIDD [14]. Визуально можно отметить, что предложенная модель успешно воспроизводит пространственно-частотные свойства шума.

Для иллюстрации разнообразия синтезируемого шума и демонстрации способности модели формировать реалистичные шумовые структуры при различных параметрах съёмки дополнительно построен набор синтетических примеров, представленных на рис. 4. В данных примерах для каждого исходного чистого изображения показаны результаты зашумления, полученные при варьировании параметров чувствительности ISO, выдержки и условий освещения, используемых в качестве входных условных признаков модели. Можно отметить, что генератор способен корректно адаптировать интенсивность и структуру шума в зависимости от изменения параметров сенсора, сохраняя при этом визуальную согласованность и отсутствие артефактов в текстурных областях.

Таким образом, представленные визуальные результаты подтверждают, что разработанная архитектура корректно моделирует характеристики шума сенсоров без необходимости привлечения выровненных данных и обеспечивает визуально реалистичное наложение шумовых компонентов, согласованных с физическими параметрами съёмки.

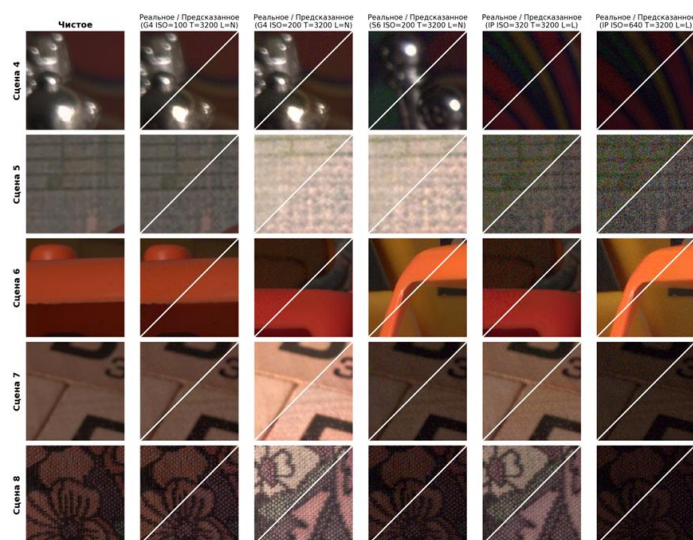


Рис. 3. Сравнение реальных и синтезированных зашумлённых изображений на примере нескольких сцен из набора SIDD. Визуализация представлена по диагонали: в верхней левой части каждого фрагмента показан реальный шум, в нижней правой – синтезированный моделью шум при тех же параметрах съёмки. Первая колонка содержит чистое изображение, остальные – пары реальный / предсказанный для различных настроек камеры. Над каждым столбцом указаны параметры: обозначение устройства, ISO – светочувствительность сенсора, T – цветовая температура источника света, L – уровень освещения (L – низкий, N – нормальный, H – высокий)

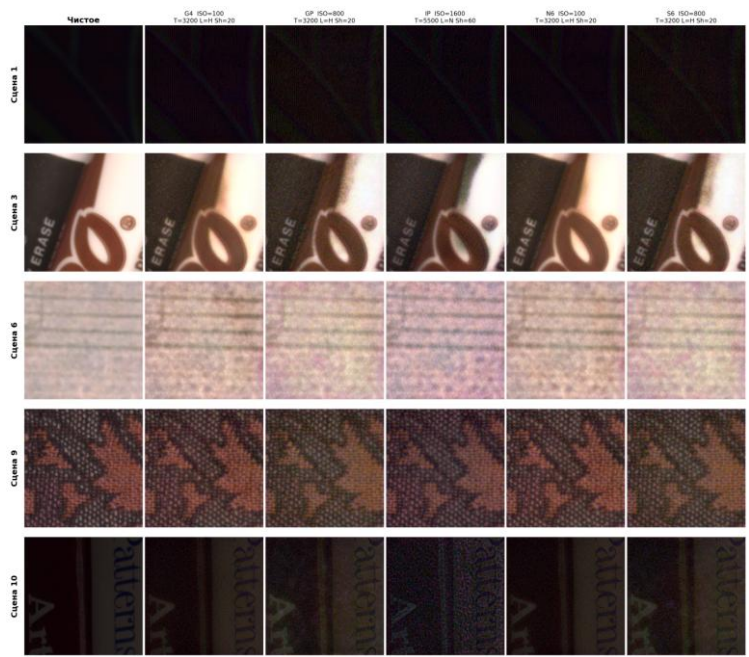


Рис. 4. Примеры синтетических изображений, полученных с помощью обученной модели при различных параметрах съёмки. Над каждым столбцом указаны параметры: обозначение устройства, ISO – светочувствительность сенсора, T – цветовая температура источника света, L – уровень освещения (L – низкий, N – нормальный, H – высокий), Sh – выдержка, выраженная в секундах как 1/Sh

Реализация предлагаемой модели и код обучения приведен в следующем репозитории: https://gitfllic.ru/project/alexeykov/unsupervised_noise_generation.

Заключение. В работе рассмотрен метод синтеза шума с помощью U-Net-подобной архитектурой, построенной с применением механизмов из подхода StyleGANv2. Данная модель обучалась генеративно-сопоставительным подходом с применением функции ошибки, сохраняющей цветопередачу при генерации. Для поддержки изображения и настроек камеры в качестве условных параметров были модифицирована архитектура дискриминатора StyleGANv2. В отличие от других подходов это позволило обучать модель генерации шума без наличия выровненного набора данных.

БИБЛИОГРАФИЧЕСКИЙ СПИСОК

1. Al Mudhafar R.A., El Abbadi N.K. Noise in Digital Image Processing: A Review Study, 2022 *3rd Information Technology To Enhance e-learning and Other Application (IT-ELA)*, 2022, pp. 79-84. DOI: 10.1109/IT-ELA57378.2022.10107965.
2. Srujana P., et al. Comparison of Image Denoising using Convolutional Neural Network (CNN) with Traditional Method, 2021 *5th International Conference on Computing Methodologies and Communication (ICCMC)*, 2021, pp. 826-831. DOI: 10.1109/ICCMC51019.2021.9418244.
3. Brouk I., Nemirovsky A., Nemirovsky Y. Analysis of noise in CMOS image sensor, 2008 *IEEE International Conference on Microwaves, Communications, Antennas and Electronic Systems*, 2008, pp. 1-8. DOI: 10.1109/COMCAS.2008.4562800.
4. Bernardo Henz, Eduardo S.L., Gastal M.M.O. Synthesizing Camera Noise using Generative Adversarial Networks, *IEEE Trans. Vis. Comput. Graph.*, 2021, Vol. 27, No. 3, pp. 2123-2135. DOI: 10.1109/TVCG.2020.3012120.
5. Hasino S.W., Durand F., Freeman W.T. Noise-optimal capture for high dynamic range photography, 2010 *IEEE Conference on Computer Vision and Pattern Recognition (CVPR)*, 2010, pp. 553-560. Available at: <https://api.semanticscholar.org/CorpusID:7762067>.
6. Zhang F., et al. Towards General Low-Light Raw Noise Synthesis and Modeling, *Proc. IEEE/CVF Int. Conf. Comput. Vis. (ICCV)*, Oct. 2023, pp. 10820-10830.
7. Wu Q., et al. Realistic Noise Synthesis with Diffusion Models, *arXiv preprint*, 2023. arXiv:2305.14022 [cs.CV]. Available at: <https://arxiv.org/abs/2305.14022>.
8. Lee S., Kim T. H. NoiseTransfer: Image Noise Generation with Contrastive Embeddings, *Proc. Asian Conf. Comput. Vis. (ACCV)*, Dec. 2022, pp. 3569-3585.
9. Lin X., et al. Unsupervised Image Denoising in Real-World Scenarios via Self-Collaboration Parallel Generative Adversarial Branches, 2023 *IEEE/CVF Int. Conf. Comput. Vis. (ICCV)*, 2023, pp. 12608-12618. DOI: 10.1109/ICCV51070.2023.01162.
10. Zhu J.-Y., et al. Unpaired Image-to-Image Translation Using Cycle-Consistent Adversarial Networks, 2017 *IEEE Int. Conf. Comput. Vis. (ICCV)*, 2017, pp. 2242-2251. DOI: 10.1109/ICCV.2017.244.
11. Kwon T., Ye J.C. Cycle-Free CycleGAN Using Invertible Generator for Unsupervised Low-Dose CT Denoising, *IEEE Trans. Comput. Imaging*, 2021, Vol. 7, pp. 1354-1368. DOI: <https://doi.org/10.1109/TCI.2021.3129369>.
12. Gevers T., Stokman H. Robust Histogram Construction from Color Invariants for Object Recognition, *IEEE Trans. Pattern Anal. Mach. Intell.*, 2004, Vol. 26, No. 1, pp. 113-117. DOI: 10.1109/TPAMI.2004.1261083. Available at: <https://doi.org/10.1109/TPAMI.2004.1261083>.
13. Zhang R., et al. The Unreasonable Effectiveness of Deep Features as a Perceptual Metric, *Proc. IEEE Conf. Comput. Vis. Pattern Recognit. (CVPR)*, Jun. 2018.
14. Abdelhamed A., Lin S., Brown M.S. A High-Quality Denoising Dataset for Smartphone Cameras, *Proc. IEEE Conf. Comput. Vis. Pattern Recognit. (CVPR)*, Jun. 2018.
15. Zhang Q., et al. Conditional Adversarial Domain Generalization With a Single Discriminator for Bearing Fault Diagnosis, *IEEE Trans. Instrum. Meas.*, 2021, Vol. 70, pp. 1-15. DOI: 10.1109/TIM.2021.3071350.
16. Agustsson E., Timofte R. NTIRE 2017 Challenge on Single Image Super-Resolution: Dataset and Study, *Proc. CVPR Workshops*, Jul. 2017.
17. Huang J.-B., Singh A., Ahuja N. Single Image Super-Resolution From Transformed Self-Exemplars, *Proc. IEEE Conf. Comput. Vis. Pattern Recognit. (CVPR)*, 2015, pp. 5197-5206.
18. Paszke A., et al. PyTorch: An Imperative Style, High-Performance Deep Learning Library, *Adv. Neural Inf. Process. Syst. (NeurIPS)*, 2019, Vol. 32, pp. 8024-8035. Available at: <http://papers.neurips.cc/paper/9015>.
19. Karras T., et al. Analyzing and Improving the Image Quality of StyleGAN, *Proc. IEEE Conf. Comput. Vis. Pattern Recognit. (CVPR)*, 2020, pp. 8107-8116. DOI: 10.1109/CVPR42600.2020.00813.

20. Kingma D.P., Ba J. Adam: A Method for Stochastic Optimization, *Int. Conf. Learn. Represent. (ICLR)*, May 2015. Available at: <http://arxiv.org/abs/1412.6980>.
21. Yue Z., et al. Dual Adversarial Network: Toward Real-World Noise Removal and Noise Generation, In: Vedaldi A., et al. (Eds.) *Computer Vision – ECCV 2020*. Cham: Springer, 2020, pp. 41-58. ISBN: 978-3-030-58607-2.
22. Wang Z., et al. Image Quality Assessment: From Error Visibility to Structural Similarity, *IEEE Trans. Image Process*, 2004, Vol. 13, No. 4, pp. 600-612.
23. Kousha S., et al. Modeling sRGB Camera Noise with Normalizing Flows, *Proc. IEEE/CVF Conf. Comput. Vis. Pattern Recognit. (CVPR)*, Jun. 2022, pp. 17442-17450. DOI: 10.1109/CVPR52688.2022.01694.
24. Fu Z., Guo L., Wen B. sRGB Real Noise Synthesizing with Neighboring Correlation-Aware Noise Model, *Proc. IEEE/CVF Conf. Comput. Vis. Pattern Recognit. (CVPR)*, 2023, pp. 1683-1691. DOI: 10.1109/CVPR52729.2023.00168.
25. Aff M., Brubaker M. A., Brown M.S. HistoGAN: Controlling Colors of GAN-Generated and Real Images via Color Histograms, *Proc. IEEE Conf. Comput. Vis. Pattern Recognit. (CVPR)*, 2020, pp. 7937-7946. Available at: <https://api.semanticscholar.org/CorpusID:227151819>.
26. Li Y., et al. LSDIR: A Large Scale Dataset for Image Restoration, *Proc. IEEE/CVF Conf. Comput. Vis. Pattern Recognit. Workshops (CVPRW)*, 2023, pp. 1775-1787. DOI: 10.1109/CVPRW59228.2023.00178.
27. Zhang K., et al. Beyond a Gaussian Denoiser: Residual Learning of Deep CNN for Image Denoising, *IEEE Trans. Image Process*, 2017, Vol. 26, No. 7, pp. 3142-3155. DOI: 10.1109/TIP.2017.2662206.
28. Komatsu R., Gonsalves T. Comparing U-Net Based Models for Denoising Color Images, *AI*, 2020, Vol. 1, No. 4, pp. 465-486. ISSN: 2673-2688. DOI: 10.3390/ai1040029. Available at: <https://www.mdpi.com/2673-2688/1/4/29>.
29. Chu X., Chen L., Yu W. NAFSSR: Stereo Image Super-Resolution Using NAFNet, *Proc. IEEE/CVF Conf. Comput. Vis. Pattern Recognit. Workshops (CVPRW)*, Jun. 2022, pp. 1239-1248.

Коваленко Алексей Сергеевич – Южный федеральный университет; e-mail: akov@sfedu.ru; г. Ростов-на-Дону, Россия; тел.: +79281217747; кафедра прикладной математики и программирования; ассистент.

Демяненко Яна Михайловна – Южный федеральный университет; e-mail: demyana@sfedu.ru; г. Ростов-на-Дону, Россия; тел.: +78632975111; кафедра прикладной математики и программирования; к.т.н.; доцент.

Kovalenko Aleksei Sergeevich – Southern Federal University; e-mail: akov@sfedu.ru; Rostov-on-Don, Russia; phone: +79281217747; the Department of Applied Mathematics and Programming; assistant lecturer.

Demyanenko Yana Mikhailovna – Southern Federal University; e-mail: demyana@sfedu.ru; Rostov-on-Don, Russia; phone: +78632975111; the Department of Applied Mathematics and Programming; cand. of eng. sc.; associate professor.

УДК 004.896

DOI 10.18522/2311-3103-2025-5-254-276

О.Б. Лебедев, Р.И. Черкасов

ПРИМЕНЕНИЕ ТЕХНОЛОГИЙ КОМПЬЮТЕРНОГО ЗРЕНИЯ В СИСТЕМАХ ОБРАБОТКИ ВИЗУАЛЬНОЙ ИНФОРМАЦИИ

Рассмотрено применение технологий искусственного интеллекта, в частности компьютерного зрения в системах обработки визуальной информации. Проведен комплексный анализ нейросетевых подходов к решению задач компьютерного зрения, включая систематизацию ключевых типов задач: классификацию изображений, детектирование объектов и семантическую сегментацию. Детально исследованы архитектурные принципы сверточных нейронных сетей с акцентом на механизмы извлечения пространственных признаков через сверточные слои, оптимизацию представления данных посредством операций пулинга и преобразование признаков в полностью связанные слои. Особое внимание уделено эволюции методов обнаружения объектов, где задача выбора модели рассмотрена как расширение классификации за счет интеграции регрессии пространственных координат, а также проведена оценка эффективности детекторов на основе метрик IoU, Precision, Recall и F1-score, демонстрирующих фундаментальный компромисс между точностью локализации и скоростью обработки. В качестве оптимального решения для систем реального времени представлен алгоритм YOLOv7, архитектура которого основана на разбиении входного

изображения на сетку $S \times S$ ячеек с прямым предсказанием параметров ограничивающих рамок (координаты центра, ширина, высота) и вероятностей классов для каждой ячейки, а также использовании специализированных слоёв (SPP, PANet) для мультимасштабной агрегации признаков. Структура нейронной сети подтверждает эффективность используемого подхода, обеспечивающего высокое быстродействие без критического снижения точности в стратегически важных приложениях видеонаблюдения, автономных систем и дополненной реальности. Проведено сравнительное исследование одноэтапных и двухэтапных детекторов с оценкой их производительности по ключевым метрикам. Особое внимание уделено практическим аспектам применения технологий компьютерного зрения в реальных системах обработки визуальной информации.

Глубокое обучение; сверточные нейронные сети; детектирование объектов; семантическая сегментация; метрики оценки; реальное время.

O.B. Lebedev, R.I. Cherkasov

APPLICATION OF COMPUTER VISION TECHNOLOGIES IN VISUAL INFORMATION PROCESSING SYSTEMS

This paper considers the application of artificial intelligence technologies, in particular computer vision, in visual information processing systems. A comprehensive analysis of neural network approaches to solving computer vision problems is carried out, including systematization of key types of problems: image classification, object detection and semantic segmentation. The architectural principles of convolutional neural networks are studied in detail with an emphasis on the mechanisms of spatial feature extraction through convolutional layers, optimization of data representation through pooling operations and feature transformation in fully connected layers. Particular attention is paid to the evolution of object detection methods, where the problem of model selection is considered as an extension of classification due to the integration of spatial coordinate regression, and an assessment of the effectiveness of detectors is carried out based on the IoU, Precision, Recall and F1-score metrics, demonstrating a fundamental trade-off between localization accuracy and processing speed. The YOLOv7 algorithm is presented as an optimal solution for real-time systems. Its architecture is based on splitting the input image into a grid of $S \times S$ cells with direct prediction of the bounding box parameters (center coordinates, width, height) and class probabilities for each cell, as well as the use of specialized layers (SPP, PANet) for multi-scale feature aggregation. The structure of the neural network confirms the effectiveness of the approach used, which ensures high performance without critically reducing accuracy in strategically important applications of video surveillance, autonomous systems, and augmented reality. A comparative study of one-stage and two-stage detectors was conducted with an assessment of their performance by key metrics. Particular attention is paid to the practical aspects of using computer vision technologies in real visual information processing systems.

Deep learning; convolutional neural networks; object detection; semantic segmentation; evaluation metrics; real time.

Введение. Современные достижения в области искусственного интеллекта совершили революцию в способе взаимодействия машин с окружающим миром, наделяя их способностью «видеть» и «понимать» визуальную информацию. Ключевым элементом этой революции стало компьютерное зрение – раздел искусственного интеллекта, позволяющий компьютерам и машинам анализировать, интерпретировать изображения и видеозаписи. Это не просто распознавание отдельных пикселей, а глубокое понимание содержимого визуальной информации: распознавание объектов, определение их местоположения, анализ взаимосвязей между ними, оценка контекста [1–3].

Компьютерное зрение опирается на мощные инструменты машинного обучения и сложные нейронные сети, которые, подобно человеческому мозгу, обучаются на огромных массивах данных. Эти сети «учат» компьютер отличать кошку от собаки, определять номерной знак автомобиля, распознавать лица людей, анализировать медицинские снимки и многое другое. Процесс обучения включает в себя предоставление сети множества примеров – фотографий, видеороликов, с подробным описанием их содержимого. Сеть анализирует эти данные, выявляя закономерности и устанавливая связи между пикселями и смыслом изображения. В результате компьютер приобретает способность самостоятельно обрабатывать новые, ранее не виденные, визуальные данные и выдавать точные и обоснованные результаты [3–5].

В отличие от человека, подверженного усталости, стрессам и субъективным ошибкам, системы компьютерного зрения работают непрерывно, обеспечивая высокую точность и скорость обработки огромных объемов визуальных данных. Например, анализируя потоки данных с дорожных камер, они могут в реальном времени отслеживать дорожную ситуацию, выявлять аварии, заторы и оптимизировать работу светофоров, что способствует повышению безопасности дорожного движения и снижению транспортных заторов. Это всего лишь малая часть примеров применения компьютерного зрения, его потенциал огромен, и с каждым днем эта технология находит все более широкое применение в самых разных сферах человеческой жизни [6].

Компьютерное зрение прошло путь от теоретической идеи до надежной технологии, активно стимулирующей инновации в различных сферах. Его эволюция отмечена ключевыми этапами: в 1950-1960-х годах началась разработка алгоритмов обработки визуальной информации, однако ограниченные вычислительные ресурсы сдерживали прогресс [7, 8].

Значительный рывок произошел в 1970-х с улучшением алгоритмов, таких как преобразование Хафа для детектирования линий и фигур, и появлением оптического распознавания символов (OCR), позволившего машинам читать текст [7, 8].

В 1980-1990-х годах машинное обучение стало важной составляющей, заложив основу для будущих прорывов. Настоящая революция случилась в 2000-2010-х годах с приходом глубокого обучения, которое коренным образом изменило способность машин интерпретировать визуальные данные, значительно расширив функционал в области идентификации объектов, анализа движения и решения сложных задач [7, 8].

Сегодняшний этап развития компьютерного зрения характеризуется бурным ростом, кардинально меняя методы решения задач в медицине, сфере беспилотников и концепции «умных» городов. Ключевую роль здесь играют модели, работающие мгновенно, как например YOLO (*You Only Look Once*) – они делают практическое применение «машинного зрения» одновременно и эффективным, и высокоточным [8]. «Сердцем» таких систем служат нейронные сети. Эти алгоритмы, по сути, копируют принципы работы человеческого мозга, чтобы «понимать» изображения. Среди них особой мощью обладают сверточные нейронные сети (*CNN, Convolutional Neural Networks*), превосходно вычлняя мельчайшие детали вроде границ объектов или их характерных форм. Чтобы сделать визуальную информацию проще для анализа, применяют техники, например объединение (пулинг). Их задача – сконцентрироваться на самых информативных участках кадра. Затем последующие слои сети берут эту сжатую информацию и используют её для конкретных целей: опознать что-то или найти объект на изображении. Новейшие разработки, такие как продвинутые версии YOLO, созданные с упором на быстродействие и точность, позволяют обрабатывать картинки буквально на лету. Весь путь от «сырого» изображения до полезного вывода в компьютерном зрении обычно состоит из нескольких обязательных этапов [8–10].

Начало – это **получение изображений**: данные захватываются камерами или сенсорами, причем их качество напрямую «завязано» на возможностях датчика. Далее идет **обработка изображений**: здесь собранные данные приводят в порядок – убирают шумы, подчеркивают контуры (например, через выделение границ), подготавливая их к глубокому анализу. Следующий шаг – **извлечение признаков**: на этом этапе выявляют и выдвигают на первый план критически важные элементы изображения – его формы, текстуры, уникальные черты. Завершающая стадия – **распознавание образов**: используя алгоритмы машинного обучения, система анализирует выделенные признаки, чтобы выполнить конечную задачу – найти объект, отследить его перемещение или классифицировать увиденное [8, 11–14].

Практическое применение моделей компьютерного зрения, включая YOLO-модели, охватывает множество отраслей. В здравоохранении технологии детектирования и классификации объектов ускоряют и повышают точность диагностики по медицинским снимкам, выявляя детали, невидимые человеческому глазу. Для автономных транспортных систем машинное зрение критически важно, обеспечивая распознавание дорожных знаков (в том числе текста на них), светофоров и пешеходов в режиме реального време-

ни. В сельском хозяйстве автоматизация процессов посева, полива и сбора урожая, а также мониторинг состояния растений для раннего выявления болезней или дефицита питательных веществ становятся возможными благодаря компьютерному зрению. На производственных линиях оно используется для контроля процессов, проверки качества продукции и автоматизированного наблюдения, повышая скорость, точность и снижая затраты за счет минимизации ошибок. По своей сути компьютерное зрение предоставляет машинам принципиально новый способ взаимодействия с окружающей средой, надеясь на их способность «видеть» и интерпретировать мир подобно человеку. Можно сказать, что на сегодняшний день использование компьютерного зрения позволяет увеличить эффективность и безопасность автономных мобильных объектов, более точно проводить диагностику в области медицины, анализировать активность покупателей различных товаров и выполнять сельскохозяйственные работы наиболее рациональным образом. Таким образом, несмотря на имеющиеся проблемы (стоимость внедрения таких технологий достаточно высока, надежность моделей машинного обучения низкая) применение технологий искусственного интеллекта, в частности компьютерного зрения, в различных сферах деятельности человека и промышленности в будущем является важной и перспективной задачей [15].

В работе излагается применение технологий искусственного интеллекта, в частности компьютерного зрения в системах обработки визуальной информации [8, 10–15].

Таксономия задач компьютерного зрения. Компьютерное зрение решает спектр задач возрастающей семантической сложности и пространственной детализации, формируя иерархию от глобального понимания сцены до точного анализа объектов. На первом уровне находится классификация изображений, где модель присваивает всей сцене единую метку (например, «кошка» или «городской пейзаж»), анализируя общее содержание без локализации элементов. Следующий уровень семантическая сегментация – требует пиксельной точности: каждый пиксель изображения классифицируется по категориям («дорога», «здание», «человек»), что позволяет разделять области по смыслу, но без различения отдельных экземпляров объектов одного класса (например, все пешеходы получают одинаковую метку). Более сложная задача обнаружения объектов добавляет к классификации пространственную локализацию: модель идентифицирует множественные объекты, рисуя вокруг них ограничительные рамки (*Bounding Boxes*) и присваивая классы (например, «автомобиль: координаты X, Y , ширина W , высота H). Пик вершины иерархии занимает сегментация экземпляров, объединяющая детектирование и семантическую сегментацию: здесь не только определяются точные пиксельные границы каждого объекта, но и различаются отдельные экземпляры одного класса (например, выделение маски каждого из пяти яблок в корзине с присвоением уникальных идентификаторов). Эта прогрессия отражает эволюцию от абстрактного восприятия («что изображено?») через пространственный анализ («где находятся области?») к точечной работе с объектами («какие именно сущности присутствуют и каковы их границы?»), последовательно наращивая требования к детализации вывода и вычислительной сложности моделей [16, 17].

1. Классификация: присвоение изображению единой метки (например «кошка»).
2. Семантическая сегментация: пиксель-точная разметка изображения по классам (небо, дорога, здание).
3. Детектирование объектов: локализация и классификация множества объектов через ограничивающие рамки (*Bounding Boxes*).
4. Сегментация экземпляров: выделение пикселей каждого отдельного объекта (разные автомобили на парковке) [1,5].

Формально задача классификации определяется как поиск аппроксимирующей функции: $X \rightarrow Y$ на основе конечной обучающей выборки $X^N = \{x_1, x_2, \dots, x_N\}$, где X – пространство объектов (изображений), Y – множество меток классов. Признаковое описание объекта x формируется как вектор $(f_1(x), f_2(x), \dots, f_k(x))$ в пространстве признаков [1, 2]:

$$D = Df_1 \times Df_2 \times \dots \times Df_k.$$

Детектирование расширяет эту постановку, требуя одновременного решения задач классификации и регрессии координат [11, 14, 16].

Архитектурные основы сверточных нейронных сетей и эволюция детекторов. Сверточные нейронные сети (CNN) радикально изменили обработку изображений, сохраняя их пространственную структуру [1, 17–19]. Их ключевые компоненты:

- ◆ Сверточные слои: применяют обучаемые фильтры (ядра), извлекающие локальные признаки (края, текстуры). Операция свертки (рис. 1) генерирует карты признаков, глубина которых соответствует числу фильтров.

- ◆ Пулинговые слои (*Subsampling*): уменьшают пространственную размерность (*Max-Pooling*), повышая инвариантность к малым смещениям и снижая вычислительную сложность.

Полно связные слои: агрегируют высокоуровневые признаки для финальной классификации/регрессии.

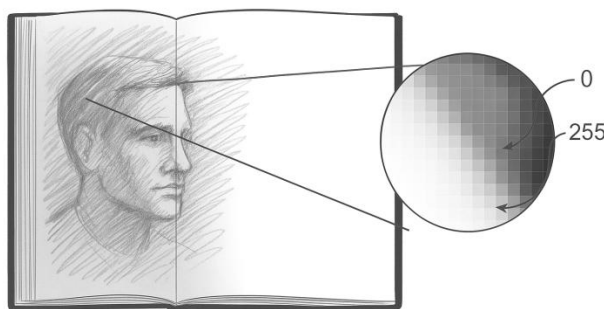


Рис. 1. Пример интерпретации изображения в числа

В области детектирования объектов доминируют две принципиально различные методологические парадигмы. Первая категория – двухэтапные детекторы, представленные семейством архитектур *R-CNN* (*Region-based Convolutional Neural Networks*), включая их эволюционные версии *Fast R-CNN* и *Faster R-CNN*. Эти системы функционируют по двухстадийной схеме: на начальном этапе генерируются «регион-предложения» (*Region Proposals*) – потенциальные зоны интереса, содержащие объекты-кандидаты; затем следует этап детальной обработки, где каждая предложенная область независимо классифицируется и подвергается регрессионному анализу для уточнения координат ограничивающих рамок [20].

Главное достоинство при использовании такого подхода заключается в получении довольно высокой точности при выполнении детектирования объектов. Это особенно важно если происходит распознавание сложных фрагментов с пересекающимися или же частично совмещенными объектами [9, 20, 21].

В то же время серьезный минус такого метода состоит в его повышенной затрате на вычислительные ресурсы. Такая зависимость приводит к недостаточной скорости обработки изображений, что сужает рамки использования данного метода в текущий момент времени (режим on-line) [8, 12].

Вторую категорию составляют одноэтапные детекторы, такие как *YOLO* (*You Only Look Once*) и *SSD* (*Single Shot MultiBox Detector*), которые реализуют принципиально иную философию обработки. Эти архитектуры выполняют прямое предсказание классов объектов и координат их ограничивающих рамок за единственный проход изображения через нейросеть (рис. 2), минуя стадию генерации «регион-предложений». Основное преимущество – исключительная скорость обработки, достигающая частот в десятки кадров в секунду, что позволяет использовать их в системах реального времени. Историческим недостатком являлось некоторое снижение точности, особенно при детектировании мелких объектов и сцен с высокой плотностью объектов [8, 13, 14]. Ярким представителем

этого направления является *YOLOv7* – современная эволюция семейства *YOLO*. Его архитектурная инновация заключается в разделении входного изображения на регулярную сетку $S \times S$, где каждая ячейка независимо предсказывает несколько *bounding boxes (BBox)* и вероятности принадлежности к классам. Модель интегрирует специализированные модули, такие как *Spatial Pyramid Pooling (SPP)* для агрегации контекста разного масштаба и *Path Aggregation Network (PANet)* для эффективного комбинирования признаков из различных слоев (рис. 3). Ключевым прорывом *YOLOv* стала концепция «*trainable bag-of-freebies*» – набор методов оптимизации процесса обучения (например, продвинутая аугментация данных, специфические функции потерь), которые существенно повышают точность без увеличения вычислительных затрат на этапе инференса [7, 8, 14, 19, 21].

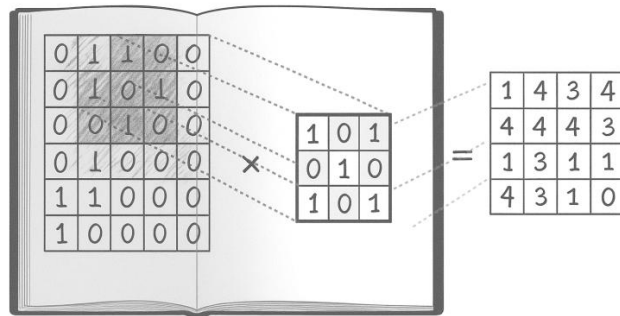


Рис. 2. Выполнение операции свертки

Сверточный слой служит фундаментальным структурным блоком сверточных нейронных сетей (*CNN*), выполняя операцию извлечения пространственных признаков посредством специализированных фильтров (ядер) – компактных матриц обучаемых весовых коэффициентов (типично 3×3 или 5×5 пикселей).

Принцип работы слоя заключается в систематическом скольжении каждого фильтра по всей поверхности входного изображения или карты признаков предыдущего слоя. На каждой позиции фильтр накладывается на локальную область (рецептивное поле), где происходит поэлементное умножение значений весов фильтра на соответствующие значения активаций под ним. Полученные произведения затем суммируются в единое скалярное значение, формирующее элемент новой выходной карты признаков (*feature map*).

Пространственная размерность этой карты динамически определяется тремя ключевыми параметрами: размером ядра (большие фильтры сильнее сокращают разрешение), шагом сдвига (*stride*) определяющим расстояние перемещения фильтра после каждой операции (стандартно 1-2 пикселя; увеличение шага резко уменьшает выходные размеры), и дополнением (*padding*) – добавлением нулевых или иных пикселей по границам входа для сохранения размерности карты или контроля степени её уменьшения [7, 8, 14–17].

Применение ансамбля разнородных фильтров в пределах одного слоя позволяет сети параллельно детектировать спектр низкоуровневых визуальных паттернов: отдельные фильтры специализируются на выделении ориентированных границ (вертикальных, горизонтальных, диагональных), угловых структур, текстурных особенностей или локальных контрастов.

Каждый независимый фильтр генерирует собственную карту признаков, а их совокупность образует многоканальный выходной тензор, где глубина соответствует количеству фильтров. Критическое свойство *CNN* проявляется в формировании иерархии абстракций через последовательность сверточных слоев:

- ◆ начальные слои реагируют на элементарные локальные паттерны (края, цветовые переходы, точки);

- ◆ промежуточные слои комбинируют эти примитивы в сложные конфигурации (углы, простые геометрические формы, текстурированные области);
- ◆ глубокие слои активируются на семантически значимых компонентах целых объектов (например, «колесо автомобиля» или «окно здания»), интегрируя информацию из обширных рецептивных полей.

Эта прогрессия обеспечивает переход от пиксельной обработки к семантическому пониманию сцены [6, 7, 9, 17–20]. Завершающие этапы архитектуры *CNN* часто включают полносвязные слои (иллюстрируемые на рис. 3), которые агрегируют высокоуровневые пространственные признаки для финальной классификации или регрессии.

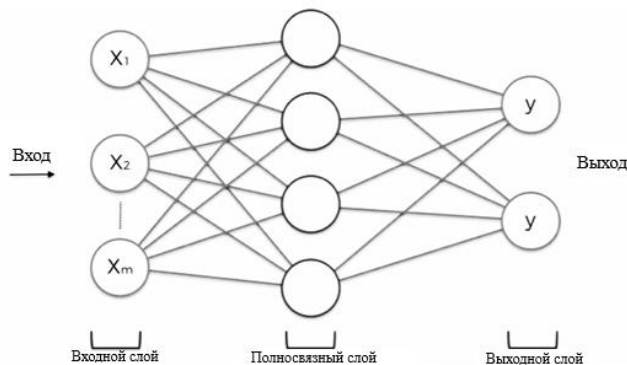


Рис. 3. Пример полностью связанного слоя

Пулинговые слои (*Pooling Layers*) являются неотъемлемым компонентом архитектуры *CNN*, располагаясь непосредственно после сверточных операций для выполнения критически важной функции пространственного сжатия карт признаков. Наиболее распространенная операция *max-pooling* извлекает максимальное значение активации в пределах скользящего окна (типично 2×2 или 3×3 пикселя), что обеспечивает три фундаментальных преимущества: существенное снижение вычислительной сложности последующих слоев за счет уменьшения пространственного разрешения, повышение инвариантности модели к незначительным сдвигам, деформациям и шуму входных данных, а также контроль переобучения путем выделения наиболее устойчивых признаков. Альтернативные методы включают *average-pooling*, усредняющий значения в окне для сохранения фоновой информации, и *global average pooling*, выполняющий усреднение по всей карте признаков и часто заменяющий полносвязные слои в современных архитектурах для минимизации параметров. Выбор стратегии зависит от задачи: *max-pooling* доминирует при выделении ключевых признаков, тогда как *average*-пулинг эффективен для текстурных областей [8, 14].

Типичная архитектура *CNN* формируется чередованием сверточных и пулинговых слоев, создающих иерархическое представление данных, которое завершается полносвязным слоем (*Fully Connected Layer*), преобразующим многомерные карты признаков в плоский вектор для финальной классификации или регрессии. В задачах классификации изображений размерность выходного слоя строго соответствует количеству целевых классов. Однако для решения задачи детектирования объектов – ключевого направления компьютерного зрения, требующего не только идентификации, но и точной пространственной локализации объектов, – архитектура требует существенной модификации. Выходные слои в таких моделях должны генерировать координаты ограничивающих рамок (*bounding boxes*) и ассоциированные с ними метки классов, что реализуется через специализированные архитектурные модули [8, 14–19].

Эволюция методов детектирования объектов сформировала две принципиально различные архитектурные парадигмы. Двухэтапные детекторы (*R-CNN*, *Fast R-CNN*, *Faster R-CNN*) реализуют каскадную обработку: на первом этапе алгоритмически или

нейросетевыми методами генерируются регионы интереса (*Region Proposals*) – зоны-кандидаты, потенциально содержащие объекты; на втором этапе каждый регион независимо проходит через *CNN* для классификации объекта и регрессионного уточнения координат его ограничивающей рамки. Хотя этот подход обеспечивает эталонную точность детектирования, его ключевой недостаток – экстремальные вычислительные затраты – делает его непрактичным для систем, требующих работы в реальном времени. В контраст этой методологии одноэтапные детекторы (*YOLO, SSD*) применяют радикально иную стратегию, предсказывая классы объектов и параметры их ограничивающих рамок (координаты центра, ширину, высоту) за единый прямой проход изображения через нейросеть (рис. 4). Их неоспоримое преимущество – высокая скорость обработки (десятки кадров в секунду) – обеспечивает работу в реальном времени, однако традиционно достигается за счет некоторого снижения точности, особенно заметного при детектировании мелких объектов или в сценах с высокой плотностью объектов [8–15, 21].

Принцип работы одноэтапных детекторов (рис. 4) основан на концепции глобального анализа изображения как единого семантического поля. Вместо выделения дискретных регионов-кандидатов, нейросеть разделяет изображение на пространственную сетку, где каждая ячейка напрямую предсказывает вероятности классов и параметры *bounding boxes* для фиксированного числа объектов. Этот подход фундаментально устраняет ключевое узкое место двухэтапных методов – необходимость ресурсоемкой обработки тысяч перекрывающихся регионов-кандидатов, что и обеспечивает прорывное быстродействие при сохранении конкурентоспособного качества детектирования. Двухэтапные детекторы, такие как *R-CNN (Regions with Convolutional Neural Networks)* и его модификации (*Fast R-CNN, Faster R-CNN*), работают в два этапа [8, 12–18].



Рис. 4. Пример работы алгоритма обнаружения объектов

Сначала они генерируют предложения областей (*region proposals*), которые потенциально содержат объекты. Затем, сверточная сеть обрабатывает эти области, чтобы классифицировать и уточнить их границы. Двухэтапные детекторы обычно обеспечивают более высокую точность, но работают медленнее, чем одноэтапные [7, 9, 11]. Выбор между одноэтапными и двухэтапными методами зависит от конкретных требований задачи – баланса между скоростью и точностью, рис. 5.

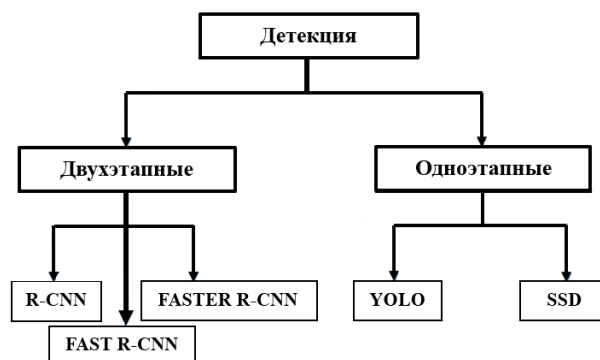


Рис. 5. Схема детекции

Прорывные архитектурные инновации в области сверточных нейронных сетей радикально преобразили ландшафт компьютерного зрения [1, 8, 11, 14]. Архитектура *ResNet* (Residual Networks) преодолела «проблему исчезающих градиентов» через введение остаточных связей (*skip connections*), позволяющих эффективно обучать сети с глубиной в сотни слоёв и достигать рекордной точности на сложных наборах данных. Параллельно развивались *Inception*-модули, оптимизирующие вычислительную эффективность за счет параллельных сверток разного масштаба, и *EfficientNet*, балансирующий глубину/ширину/разрешение через составное масштабирование. Эти достижения не только подняли планку качества распознавания, но и расширили сферы применения *CNN* за пределы компьютерного зрения: в обработке естественного языка (анализ текстовых последовательностей), временных рядов (прогнозирование), медицинской диагностике (анализ снимков), автономном транспорте (сенсорная интерпретация) и других областях ИИ [13, 19]. Непрерывные исследования фокусируются на создании устойчивых к шуму моделей, ресурсоэффективных архитектур для edge-устройств и системах реального времени с минимальной задержкой [18, 19].

Одноэтапные детекторы, особенно семейство *YOLO* (*You Only Look Once*), стали эталоном эффективности в задачах, требующих мгновенного анализа видеопотоков, рисунок 6. Разработанный Джозефом Редмоном в 2015 году [14–16, 18–21], алгоритм эволюционировал до *YOLOv7* – современного лидера по соотношению скорость/точность. Его операционный принцип базируется на:

1. Дискретизации изображения на сетку $S \times S$ ячеек.
2. Прогнозировании параметров для каждого анкера (*bounding box*):
 - ◆ Координаты центра относительно ячейки.
 - ◆ Ширина/высота относительно размеров анкера.
 - ◆ Вероятность присутствия объекта.
 - ◆ Распределение вероятностей по классам.
3. Синтезе признаков через специализированные слои (*SPP*, *PANet*), оптимизированные для мультимасштабного детектирования [7, 8, 14]. Архитектурные особенности *YOLOv7* (рис. 7) включают:
 - ◆ *Backbone* (*CSPDarknet53*) для извлечения признаков.
 - ◆ *Neck* (*PANet*) для агрегации признаков разного уровня.
 - ◆ *Head* с анкер-базированным предсказанием рамок/классов.
 - ◆ «*Trainable bag-of-freebies*» – техники обучения, повышающие точность без роста вычислительных затрат [14]. Эта комбинация обеспечивает непревзойденную скорость (до 160 FPS на GPU) при сохранении конкурентоспособной точности (55.9% AP на COCO), делая *YOLOv7* оптимальным выбором для внедрения в реальных системах видеонаблюдения, робототехники и дополненной реальности [21].

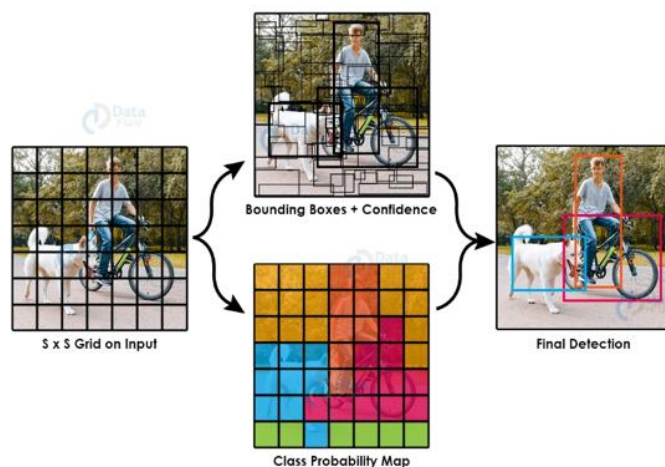


Рис. 6. Принцип работы алгоритма YOLO

объектов относительно общего числа истинных объектов в данных: $Recall = TP / (TP + False\ Negatives, FN)$. Диапазон значений: $[0, 1]$. Высокий $Recall$ (близкий к 1) сигнализирует о редких пропусках объектов – модель охватывает почти все целевые сущности на изображении [7, 9, 11].

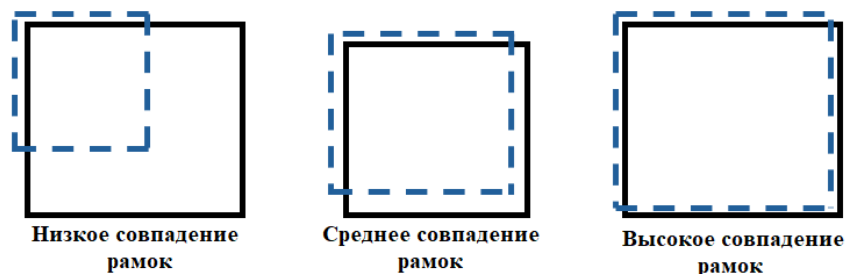


Рис. 8. Примеры влияния положения рамок

Взаимодополняемость и интерпретация метрик $Precision$ и $Recall$ выявляют фундаментальный компромисс в работе детекторов объектов. В сценарии высокого $Recall$ при низком $Precision$ модель демонстрирует высокую полноту охвата, корректно идентифицируя большинство целевых объектов (минимизируя пропуски, FN), однако генерирует значительное количество ложных срабатываний (высокий FP). Такое поведение приемлемо в приложениях, где критически важна минимизация пропусков угроз даже ценой ложных тревог, например, в системах видеобезопасности или скрининге опасных предметов. Напротив, сценарий низкого $Recall$ при высоком $Precision$ характеризуется исключительной точностью предсказаний (минимум ложных срабатываний, низкий FP), но сопровождается высоким уровнем пропущенных объектов (значительные FN). Эта ситуация типична для областей с катастрофическими последствиями ложных положительных результатов, таких как медицинская диагностика по снимкам, где неверное заключение недопустимо, однако допустим риск невыявления части аномалий [8, 11, 14–16]. Баланс между этими метриками определяется спецификой задачи и допустимым уровнем ошибок каждого типа. Ключевой принцип валидации: поскольку алгоритмы машинного обучения оптимизируются под обучающие данные, объективная оценка требует тестирования на отложенной выборке (*holdout set*) – данных, полностью исключённых из процесса обучения. Это предотвращает оптимистичные искажения метрик и гарантирует репрезентативность результатов [18].

Системы обнаружения объектов в реальном времени. На сегодняшний день, обнаружение объектов в реальном времени является одной из самых важных и актуальных задач, решаемых с помощью методов машинного обучения. Именно решение данной задачи, является основой для построения современных систем компьютерного зрения. Здесь можно привести множество примеров, это и отслеживание движения нескольких объектов одновременно, автономные подвижные составы и транспортные средства, робототехнические изделия, медицинская аналитика, в части касающейся исследования рентгеновских снимков и т.д. Технически, реализовать такую систему возможно, как с использованием вычислительной мощности непосредственно устройства локально, так и с применением облачных вычислений, при условии наличия широкополосного доступа к глобальной сети [18].

Одними из самых актуальных научно-технических вопросов на данный момент, по праву считаются перепараметризация моделей и динамическое назначение меток. При этом, научные изыскания в данных направлениях породили множество новых вызовов и проблем, касающихся совершенствования систем обнаружения объектов. В статье постараемся выделить некоторые из них, а также привести возможные пути решения, которые могут оказаться эффективными при решении, как научных, так и прикладных задач. В процессе перепараметризации моделей, происходит анализ стратегий процесса перепараметризации, которые применяются к различным сетевым слоям, с использованием ме-

тогда обратного распространения ошибки или, иными словами, метода вычисления градиента. В частности, рассматривается возможность точного планирования перепараметризации модели [18].

Достаточно популярная в последнее время технология динамического присвоения меток, при обучении многослойной модели, зарекомендовала себя с лучшей стороны при решении множества прикладных задач. Но и она не лишена недостатков. Здесь можно сказать о том, что не до конца рассмотрен вопрос, каким образом назначаются динамические цели для выводов различных слоев, либо ветвей при использовании ансамблевых моделей. Ниже, рассмотрим один из предлагаемых методов решения данной проблемы, принципиально назначающий метки «от общего к частному», или, как дословно звучит перевод данного подхода «от грубого к тонкому» [19].

Самыми распространенными на данный момент моделями обнаружения объектов в реальном времени можно считать модели *YOLO* и *FCOS*. Основные параметры, которыми должна обладать успешная модель для решения данной задачи являются: развитая сетевая архитектура, обладающая высоким быстродействием; усовершенствованные методы интеграции признаков; наиболее совершенные методы обнаружения; надежная функция потерь; высокоэффективные методы присвоения меток; совершенные методы обучения. Однако, внедрение современных высокотехнологичных элементов, в структуру модели, ведет и к появлению новых проблем и особенностей в работе, одним из решений которых может являться метод «*bag-of-freebies*» или «мешок слов» [19, 20].

Рассмотрим, как работают методы перепараметризации модели. В рамках подходов к использованию данных методов, обычно происходит объединение нескольких вычислительных модулей в одно целое, на этапе инференса, т.е. тогда, когда модель уже не обучается, а использует выводы предыдущих итераций обучения, для принятия решений на основе новых данных. Часто, метод перепараметризации модели относят к ансамблевым методам, которые в свою очередь делят на два типа: ансамбль уровня модулей и ансамбль уровня модели. Приведем описание самых распространенных подходов к перепараметризации на уровне модели. В рамках одного из них, происходит обучение на нескольких одинаковых моделях с разными обучающими данными, затем полученные веса усредняются и получают вывод. В другом случае происходит взвешенное усреднение весов моделей, на разном количестве итераций. При перепараметризации на уровне модели происходит разделение модуля на несколько одинаковых частей при обучении, как бы разветвляя их, а при инференсе, т.е. получении вывода, наоборот объединяет разветвленные модули в один эквивалентный модуль. Но стоит сказать, что далеко не все перепараметризованные модули могут быть успешно использованы в современных архитектурах [19, 20].

Рассмотрим метод масштабирования модели, как один из способов изменить размеры уже созданной модели, и адаптировать ее к решению специфичных задач. В рамках данного метода используются различные коэффициенты масштабирования по параметрам: разрешение; глубина, или, иными словами, количество слоев; количество каналов; количество пирамид признаков (*FPN*) [15]. Данные коэффициенты используются в целях достижения оптимального соотношения между количеством параметров, сложностью вычислений, скоростью инференса и точностью. Одним из популярных методов масштабирования модели является поиск архитектуры нейронной сети (*NAS*) [15, 17]. В рамках данного метода поиск подходящих коэффициентов масштабирования происходит автоматически, в пространстве поиска, при этом отсутствует необходимость задавать жесткие ограничения [18].

Несмотря на то, что метод является универсальным и достаточно популярным, он не лишен недостатков. Например, для того чтобы завершить поиск коэффициентов масштабирования, модели требуется выполнить множество сложных вычислений. В некоторых источниках рассматривается связь между коэффициентами масштабирования и количеством параметров, вкуче с количеством операций, при этом производится оценка правил, с целью получения более точных коэффициентов масштабирования. На данный момент, практически все методы масштабирования анализируют коэффициенты по от-

дельности [15]. Это происходит из-за того, что практически все актуальные архитектуры *NAS* работают с коэффициентами масштабирования, которые имеют достаточно низкий уровень корреляции. Например, модели, такие как *DenseNet* и *VoVNet*, принцип работы которых основан, в том числе, на конкатенации, во время масштабирования, меняют ширину входа некоторых слоев сети [21, 22].

Во многих источниках, посвященных построению эффективных архитектур сетевых моделей, среди основных факторов влияющих на качество их работы, выделяют оптимизацию количества параметров, объем вычислений и вычислительную сложность [18–22]. Так же, зачастую, анализируется влияние соотношения каналов ввода/вывода, разветвленности архитектуры, а также результаты воздействия элементарных операций на скорость вывода. Некоторыми авторами учитывается роль функции активации при масштабировании модели, вместе с тем, уделяется внимание и количеству элементов в выходных тензорах сверточных слоев [14, 17, 22]. На рис. 9 представлена схема модели *CSPVoNet*, являющейся одним из вариантов исполнения модели *VoVNet*. Здесь следует отметить, что помимо вышеупомянутых подходов, архитектура *CSPVoNet* регулирует процесс градиентного спуска таким образом, чтобы веса различных слоев обучались с учетом специфики извлекаемых ими признаков. Именно поэтому, градиентный подход позволяет получать более точные выводы гораздо быстрее. Модель *ELAN* на рис. 9 анализирует еще один подход к проектированию архитектуры, при котором за счет контроля длины путей распространения градиента, достигается более эффективное обучение глубоких слоев и улучшается сходимость модели. Рассмотрим еще одну модель *Extended-ELAN (E-ELAN)* (рис. 9), построенную на основе *ELAN*.

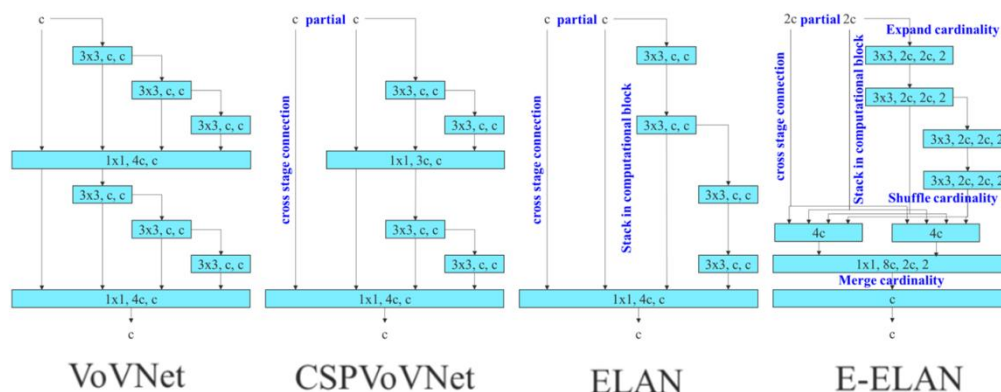


Рис. 9. Сети агрегации слоев

В независимости от того, какое значение будет иметь параметр длины путей распространения градиента, а также от того какое количество вычислительных блоков используется в модели *ELAN*, показатели ее работы остаются стабильными. Однако, в том случае, если процесс объединения вычислительных блоков будет происходить без использования критерия остановки, данная стабильность работы будет нарушена, а параметрические коэффициенты могут снизиться. Модель *E-ELAN* задействует расширение, перестановки и масштабирование признаков для того, что способствует непрерывному и устойчивому росту обучаемости сети. При этом исходный градиентный спуск не будет нарушен. С точки зрения подхода к построению, модель *E-ELAN* корректирует только архитектуру вычислительного блока, в то время, как архитектура переходного слоя остается совершенно неизменной [20–22].

Зачастую, при построении современных моделей, придерживаются стратегии, при которой используется принцип групповой свертки для расширения канала и увеличения мощности вычислительного блока. Предлагается применение одного и того же параметра группы и расширения канала ко всем вычислительным блокам вычислительного слоя. После чего, карта признаков, которая рассчитывалась каждым вычислительным блоком

перемешивается в g групп в соответствии с заданным параметром группы g , а затем объединяется. В то же время, количество каналов в каждой группе карты признаков будет равно таким же, как и количество каналов в исходной архитектуре. Так же, происходит добавление g групп карт признаков для повышения уникальности данных. Кроме того, архитектура модели *E-ELAN* может перенаправлять потоки данных между группами вычислительных блоков, что способствует извлечению более разнообразных признаков [18–22].

Основными целями процесса масштабирования модели, в свою очередь, является настройка некоторых атрибутов модели, а также, что логично, создания моделей различных масштабов, с целью получения требуемых выводов с приемлемой скоростью. Например, в модели масштабирования *EfficientNet* в расчет берутся ширина, глубина и разрешение. Если же рассматривать масштабированную модель *YOLOv4*, то здесь масштабирование заключается в настройке количества этапов. Во многих источниках анализируется влияние базовой («*vanilla*») и групповой сверток, на количество параметров и вычислительных операций, при масштабировании модели по ширине и глубине [13, 16, 22].

Указанные выше методы, в основном используются в архитектурах *PlainNet* или *ResNet*. При изменении масштаба в данных архитектурах, степень входящей и исходящей связности каждого слоя остается неизменной, из-за чего становится возможным провести независимый анализ влияния каждого коэффициента масштабирования на количество параметров и сложность вычислений [18, 20, 22]. В случае применения данных методов к архитектуре, основанной на объединении признаков, изменение масштаба по глубине приводит к соответствующему изменению числа входящих связей слоя преобразования, расположенного непосредственно после вычислительного блока, как это показано на рис. 10,a,b.

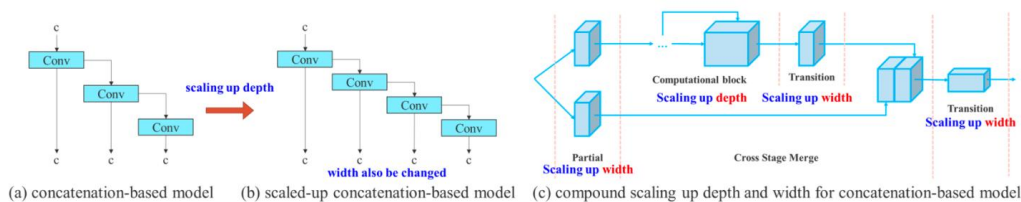


Рис. 10. Масштабирование для моделей на основе объединения

Исходя из вышесказанного, можно сделать вывод, что фактически полностью отсутствует возможность анализа влияния различных коэффициентов масштабирования по отдельности, для моделей на основе объединения. При этом, необходимо рассматривать коэффициенты в совокупности. Для примера рассмотрим задачу увеличения глубины масштабирования. Данный подход может привести к изменению соотношения между входным и выходным каналами переходного слоя, что может привести к снижению уровня аппаратных ресурсов модели. Поэтому целесообразно введение иных методов масштабирования составной модели на основе объединения. В процессе масштабирования коэффициента глубины вычислительного блока, также необходимо рассчитывать изменение числа выходных каналов данного блока [13, 20, 22]. При этом выполняется масштабирование коэффициента ширины с такими же скорректированными параметрами на переходных слоях, что позволяет сохранить свойства, которыми модель обладала в первоначальном виде, с соблюдением оптимальных структурных параметров, рис. 10,c.

Несмотря на то, что метод *RepConv* демонстрирует отличную производительность на многослойной модели *VGG*, при применении к моделям с архитектурами *ResNet*, *DenseNet* его точность существенно снижается. Зачастую, для того чтобы понять, как перепараметризованная свертка должна сочетаться с различными сетями, используется подход на основе градиентного бустинга, совместно с применением запланированной перепараметризованной свертки [18, 22].

Рассмотрим метод *RepConv* подробнее. Фактически, он объединяет свертку 3×3 , свертку 1×1 и идентичное соединение в одном сверточном слое [12, 19, 20–22]. В результате анализа использования *RepConv* и других архитектур, установлено, что такой же

подход в *RepConv* разрушает остаток в *ResNet* и объединение в *DenseNet*, что, в свою очередь обеспечивает увеличение разнообразия градиентов для различных карт признаков. Исходя из этого, используется *RepConv* без подобного подхода (*RepConvN*), для проектирования архитектуры запланированной перепараметризованной свертки. В случае, когда сверточный слой, с остаточным или конкатенационным соединением заменяется перепараметризованной сверткой, не должно наблюдаться идентичного соединения. На рис. 11 показан пример реализации перспективной перепараметризованной свертки, на базе *PlainNet* и *ResNet*.

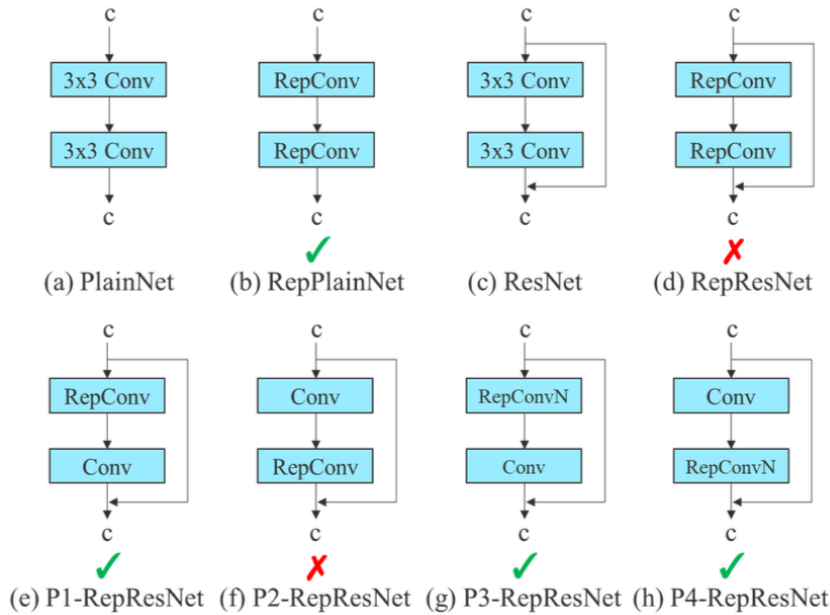


Рис. 11. Альтернативные схемы перепараметризованной модели

Остановимся на методе глубокого супервизирования, широко применяемом при обучении глубоких нейронных сетей [19]. Его основная концепция заключается в добавлении дополнительных выходных слоев в промежуточных уровнях сети, где вспомогательные функции потерь способствуют более устойчивому обновлению весов и повышению скорости сходимости обучения. Даже для таких архитектур как *ResNet* и *DenseNet*, сходимость которых обычно находится на достаточно высоком уровне, применение глубокого супервизирования может значительно улучшить производительность модели при решении целого ряда задач. На рис. 12,а,б показаны соответственно, архитектура детектора объектов без применения глубокого супервизирования и с ним.

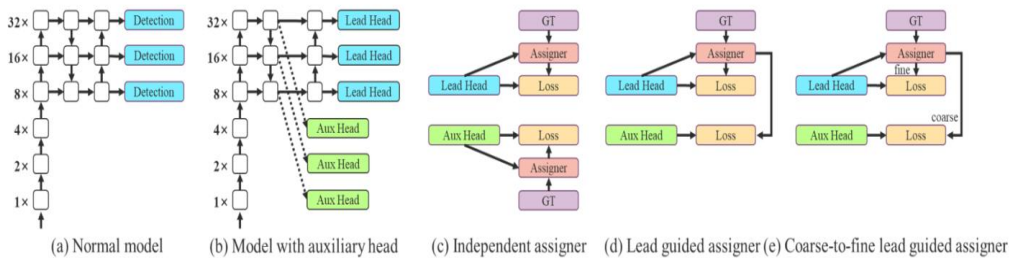


Рис. 12. Архитектура детектора объектов без применения глубокого супервизирования (а) и с ним (б)

Рассмотрим процесс присвоения меток. Ранее при обучении глубоких нейронных сетей метки напрямую соответствовали эталонным данным, формируя жёсткие (one-hot) метки в соответствии с исходной разметкой обучающей выборки. В последнее время, особенно в задачах, связанных с обнаружением объектов, всё чаще используется информация о распределении выходных вероятностей модели. Эти данные сопоставляются с эталонными метками, что позволяет с помощью вычислительных и оптимизационных методов формировать более устойчивые «мягкие» метки. Например, *YOLO* использует алгоритм *IoU* с прогнозной регрессией, которая вводит дополнительные ограничения и эталонные данные, в качестве «мягкой» метки объектности. Существуют альтернативные подходы, при которых результаты прогнозирования сети сопоставляются с эталонными данными, после чего алгоритм формирует «мягкие» метки для последующего обучения модели [19–22].

Модель с применением глубоко супервизирования, должна быть обучена на целевых задачах, вне зависимости от положения в слое главного и вспомогательного выходного слоя. Здесь важно понять, каким образом присваивать мягкую метку главному и вспомогательному выходному слою. На рис. 12 отражены результаты наиболее распространённого на данный момент метода, который заключается в разделении главного и вспомогательного выходного слоя, а затем использовании их собственных результатов прогнозирования и фактических данных для присвоения меток [20]. Далее рассмотрим новый метод присвоения меток, который направляет как вспомогательный, так и главный выходной слой с помощью прогнозирования поведения главного выходного слоя [22]. Здесь, прогнозирование поведения главного выходного слоя, используется в качестве некоего ориентира, для генерации иерархических меток от грубых к точным, которые используются соответственно для обучения главного и вспомогательного выходного слоя. Данные стратегии присвоения меток с глубоким супервизированием показаны на рис. 12,d,e соответственно.

Назначение меток с помощью главного выходного слоя в основном рассчитывается на базе результатов его прогнозирования и реальных данных, а также позволяет сгенерировать «мягкие» метки посредством процесса оптимизации. Этот набор «мягких» меток будет использоваться в качестве целевой модели обучения как для вспомогательного, так и для главного выходных слоев. Это происходит потому, что главный выходной слой обладает относительно сильной способностью к обучению, поэтому сгенерированная им «мягкая» метка должна быть более репрезентативной в отношении распределения и корреляции между исходными данными и целевыми параметрами. Кроме того, такое обучение можно рассматривать как разновидность обобщенного остаточного обучения. Позволяя более простому вспомогательному выходному слою напрямую обучаться на информации, которую уже усвоил главный выходной слой. Теперь он сможет сосредоточиться на обучении на остаточной информации, которая еще не была усвоена [19].

При создании меток с помощью грубой и точной привязки по главному выходному слою также используется прогнозируемый результат главного выходного слоя и реальную информацию для генерации «мягкой» метки. В процессе работы модели формируются два типа «мягких» меток: «точные» и «грубые». «Точные» метки совпадают с мягкими метками, генерируемыми алгоритмом присвоения под контролем главного выходного слоя, тогда как «грубые» метки создаются путем расширения числа положительных целей за счет ослабления ограничений в процессе присвоения положительных примеров [14, 20, 22]. Причина этого заключается в том, что способность к обучению вспомогательного выходного слоя не так сильна, как у главного выходного слоя, и чтобы избежать потери информации, на которой необходимо обучиться, стоит сосредоточиться на оптимизации работы вспомогательного выходного слоя, для решения задачи обнаружения объектов. Что касается вывода главного выходного слоя, можно отфильтровать результаты с высокой точностью из результатов с высоким качеством воспроизведения в качестве окончательного вывода [6, 18].

Здесь следует отметить, что, если дополнительный вес «грубой» метки будет близок к весу «точной» метки, это может привести к неверному предварительному прогнозу. Поэтому, чтобы эти дополнительные «грубые» положительные метки оказывали мень-

шее влияние, следует ввести ограничения в декодер, для того чтобы дополнительные «грубые» положительные метки не могли создавать «мягкие» метки идеально. Данный механизм позволяет динамически регулировать важность «точных» и «грубых» меток в процессе обучения и делает оптимизируемую верхнюю границу «точных» меток всегда выше, нежели «грубых» меток [6, 10, 19].

В качестве базовых моделей были взяты предыдущая версия YOLO и современный детектор объектов YOLOR. Ранее было проведено сравнение рассматриваемых моделей YOLOv7 и базовых моделей, обученных с использованием одинаковых настроек, из результатов было выведено, что по сравнению с YOLOv4, YOLOv7 задействует на 75% меньше параметров, производит на 36% меньше вычислений и обеспечивает на 1,5% более высокий показатель средней точности (AP). По сравнению с современным YOLOR-CSP, YOLOv7 использует на 43% меньше параметров, производит на 15% меньше вычислений и на 0,4% более высокий показатель средней точности. В производительности мини-модели по сравнению с YOLOv4-tiny-31, YOLOv7-tiny уменьшает количество параметров на 39% и объем вычислений на 49%, но сохраняет тот же показатель средней точности. На облачной GPU-модели модель по-прежнему может иметь более высокий показатель средней точности при уменьшении количества параметров на 19% и объема вычислений на 33% [6, 11, 13, 22].

Также проводилось сравнение рассматриваемого в статье метода с современными детекторами объектов для обычных графических процессоров и мобильных графических процессоров, из результатов которого можно увидеть, что рассматриваемый метод показывает лучшее соотношение скорости и точности. Если сравнить YOLOv7-tiny-SiLU с YOLOv5-N (r6.1), рассматриваемый метод на 127 fps быстрее и на 10,7% точнее по AP. Кроме того, YOLOv7 имеет 51,4% AP при частоте кадров 161 fps, тогда как PPYOLOE-L с таким же AP имеет частоту кадров только 78 fps. С точки зрения использования параметров, YOLOv7 на 41% меньше, чем PPYOLOE-L. Если сравнить YOLOv7-X со скоростью вывода 114 fps с YOLOv5-L (r6.1) со скоростью вывода 99 fps, YOLOv7-X может улучшить AP на 3,9%. Если сравнить YOLOv7-X с YOLOv5-X (r6.1) аналогичного масштаба, то скорость вывода YOLOv7-X будет на 31 fps выше. Кроме того, с точки зрения количества параметров и вычислений, YOLOv7-X сокращает 22% параметров и 8% вычислений по сравнению с YOLOv5-X (r6.1), но улучшает AP на 2,2%.

При сравнении YOLOv7 с YOLOR с использованием входного разрешения 1280, скорость вывода YOLOv7-W6 на 8 кадров в секунду выше, чем у YOLOR-P6, а коэффициент обнаружения также увеличен на 1%. Что касается сравнения между YOLOv7-E6 и YOLOv5-X6 (r6.1), первый показывает прирост показателя средней точности на 0,9%, по сравнению со вторым, использует на 45% меньше параметров и производит на 63% меньше вычислений, а скорость вывода увеличивается на 47%. YOLOv7-D6 имеет скорость вывода, близкую к YOLOR-E6, но улучшает показатель средней точности на 0,8%. YOLOv7-E6E показывает скорость вывода, близкую к YOLOR-D6, но улучшает показатель средней точности на 0,3%.

При использовании различных стратегий масштабирования модели для изменения значения масштаба в большую сторону [6, 12, 19–22], были получены ряд экспериментальных данных. Среди них можно выделить рассматриваемый в статье метод составного масштабирования, основная идея которого заключается в увеличении глубины вычислительного блока в 1,5 раза и ширины блока перехода в 1,25 раза. Если сравнить его с методом, при котором масштабировалась только ширина, то можно увидеть, что показатель средней точности увеличился на 0,5% с меньшим количеством параметров и меньшим объемом вычислений. Если его методом, который масштабирует только глубину, будет видно, что рассматриваемый метод требует увеличения количества параметров только на 2,9% и объема вычислений на 1,2%, что позволяет улучшить показатель средней точности на 0,2%. Также можно отметить, что комбинированная стратегия масштабирования позволяет более эффективно использовать параметры и вычисления.

Чтобы проверить обобщенность предлагаемой нами модели с перепараметризацией, будем использовать ее для проверки на модели на основе конкатенации и модели на основе остаточных значений соответственно [21, 22]. Модель на основе конкатенации и

модель на основе остаточных значений, которые мы выбрали для проверки, это 3-слойная *ELAN* и *CSPDarknet* соответственно. В эксперименте с моделью на основе конкатенации были заменены слои свертки 3×3 в разных позициях в 3-слойной *ELAN* на *RepConv*, ее подробная конфигурация показана на рис. 13.

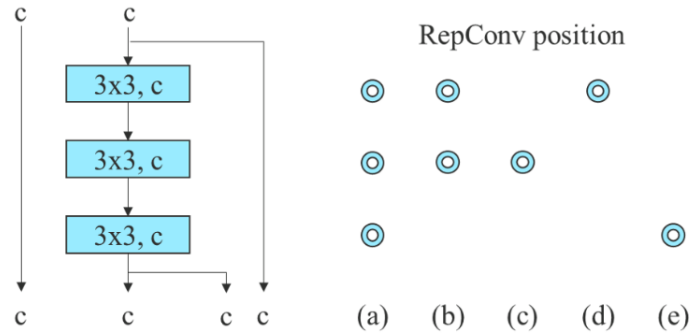


Рис. 13. Экспериментальный *RepConv* 3-слойный *ELAN*

Из результатов, проведенных исследований получено, что все более высокие значения AP присутствуют в нашей перепараметризованной модели. В эксперименте, посвященном модели на основе остаточных значений, в виду того, что исходный темный блок не имеет блока свертки 3×3 , соответствующего выбранной стратегии проектирования, были дополнительно разработаны обратный темный блок для эксперимента, архитектура которого показана на рис. 14. Поскольку *CSP-Darknet* с темным блоком и обратным темным блоком имеет точно такое же количество параметров и операций, их сравнение является корректной задачей. Результаты полученные в ходе работы модели полностью подтверждают, что предложенная запланированная перепараметризованная модель одинаково эффективна на модели на основе остаточных значений.

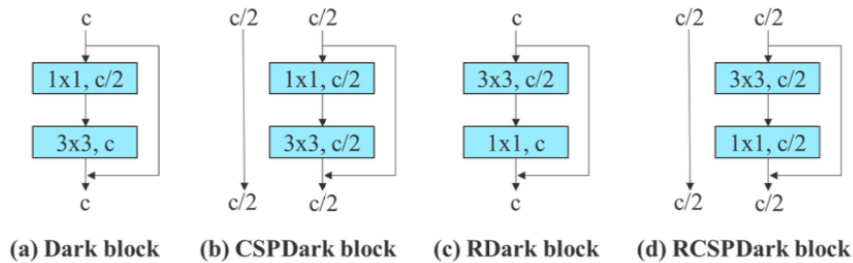


Рис. 14. Обратная модель *CSP-Darknet*

Рассмотрим случай отсутствия вспомогательного выходного слоя. В этом сценарии проводится сравнение общей стратегии независимого присвоения меток с методами, управляемыми главным выходным слоем. В результате исследований было установлено, что модели, увеличивающие потери вспомогательного выхода, способны существенно улучшить общую производительность. Более того, стратегия присвоения меток под контролем главного выходного слоя демонстрирует лучшую производительность по сравнению с общей стратегией независимых меток. Стратегия, при которой вспомогательный выход обучается на «грубых» метках, а главный выход – на «точных» метках, показывает наилучшие результаты во всех экспериментах. На рис. 15 приведена карта вероятностей объектов, предсказанная различными методами на вспомогательной и главной головках. Анализ карты показывает, что обучение вспомогательного выходного слоя на мягких метках, управляемых главным выходным слоем, способствует более эффективному извлечению остаточной информации главным выходным слоем из согласованных целей.

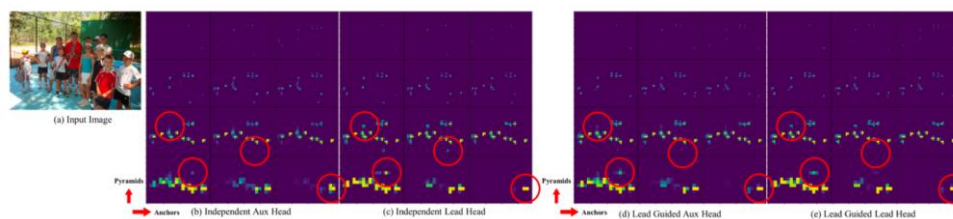


Рис. 15. Карта объектности, предсказанная различными методами на вспомогательном и главном выходном слое

YOLOv7 использует несколько уровней пирамид для многомасштабного прогнозирования объектов [22]. Вспомогательный выходной слой может быть подключен к средней пирамиде для обучения, что обеспечивает восстановление информации, потенциально утрачиваемой при прогнозировании на следующем уровне пирамиды. По этим причинам имеет смысл использовать частично подключенный вспомогательный выходной слой. Метод, при котором вспомогательный выходной слой обучается на грубых метках, а главный – на точных, демонстрирует наибольшую эффективность вспомогательного обучения в архитектуре *E-ELAN*. Вспомогательный выходной слой подключается после одного из наборов карт признаков перед их объединением, что позволяет весам вновь сгенерированных карт признаков не обновляться напрямую через вспомогательную функцию потерь [8, 14, 19, 22]. Такая конструкция обеспечивает каждой пирамиде главной головы возможность получать информацию о объектах различных размеров.

Заключение. Обнаружение объектов в реальном времени является одной из наиболее актуальных и востребованных задач компьютерного зрения и машинного обучения. Данные технологии находят применение в самых разных областях: от систем видеонаблюдения и автономных транспортных средств до робототехнических комплексов и медицинской аналитики, включая анализ рентгеновских и МРТ-изображений. Современные алгоритмы позволяют одновременно отслеживать движение нескольких объектов, обеспечивать безопасную навигацию автономных транспортных средств, анализировать состояние растений и животных, а также решать сложные задачи в промышленной автоматизации. Реализация таких систем может происходить как на локальных вычислительных устройствах, так и с использованием облачных вычислений при наличии широкополосного доступа к сети. Однако эффективная работа моделей в реальном времени требует баланса между скоростью вывода, точностью обнаружения и количеством используемых вычислительных ресурсов, что делает разработку легковесных и оптимизированных моделей особенно актуальной.

Одним из основных направлений современного исследования является перепараметризация моделей, включающая адаптацию весов и структуры нейронной сети для повышения эффективности обучения и инференса. Этот процесс подразумевает использование методов ансамблирования и усреднения весов моделей, а также динамическое назначение меток, что позволяет моделям работать с более точными и адаптивными целевыми функциями. Перепараметризация может происходить как на уровне отдельных вычислительных модулей, так и на уровне всей модели, когда несколько одинаковых моделей обучаются на различных данных, после чего их веса объединяются для формирования единого вывода. Данный подход улучшает качество прогнозов и способствует устойчивости модели к шуму в данных, однако не все архитектуры позволяют эффективно применять перепараметризацию, особенно если они содержат сложные блоки конкатенации или остаточных связей.

Особое внимание в последние годы уделяется динамическому присвоению меток, когда модель формирует «мягкие» метки на основе вероятностного распределения прогнозов и эталонных данных. Такой подход позволяет улучшить процесс обучения глубоких сетей, повышая точность и стабильность работы вспомогательных и основных выходных слоев. В частности, методы, использующие иерархическое назначение меток «от

грубого к тонкому», позволяют главным слоям передавать информацию о прогнозируемых объектах вспомогательным слоям, оптимизируя обучение на остаточной информации. Это особенно важно для многомасштабных моделей, где различные уровни пирамид признаков обрабатывают объекты разных размеров.

В качестве современных моделей обнаружения объектов в реальном времени наиболее широко применяются *YOLO* и *FCOS*. Модели *YOLOv7* и *YOLOR* демонстрируют высокую производительность и точность, обеспечивая эффективную работу даже на мобильных и встроженных устройствах. *YOLOv7*, в частности, сочетает в себе продуманную архитектуру с высокоскоростными слоями агрегации признаков, используя *SPP* и *PANet* для мультимасштабной обработки объектов. Одной из особенностей *YOLOv7* является применение запланированной перепараметризации сверток (*RepConv*), что позволяет объединять в одном слое свертку 3×3 , свертку 1×1 и идентичное соединение, увеличивая разнообразие градиентов и улучшая устойчивость модели. При этом важно учитывать совместимость *RepConv* с различными архитектурами, так как применение данного метода к сетям с остаточными соединениями или конкатенацией может потребовать специальных корректировок.

Масштабирование моделей также играет ключевую роль в оптимизации работы нейросетей. Оно позволяет адаптировать архитектуру под конкретные задачи, регулируя глубину, ширину, разрешение входного изображения и количество пирамид признаков. Например, подход *NAS* позволяет автоматически подбирать коэффициенты масштабирования для оптимального соотношения между точностью, количеством параметров и вычислительной сложностью. Однако в моделях, основанных на объединении признаков, требуется учитывать влияние различных коэффициентов масштабирования в совокупности, так как изменение глубины или ширины отдельных блоков может нарушить баланс входных и выходных каналов и снизить эффективность модели.

Легковесные модификации *YOLOv7* позволяют решать задачи обнаружения объектов на устройствах с ограниченными ресурсами. Интеграция с *ShuffleNetV2* и *Vision Transformer* снижает количество параметров и повышает скорость инференса, сохраняя при этом точность модели. Специализированные модели, такие как *LWMD-YOLOv7* для анализа терагерцевых изображений, *DGS-YOLOv7-Tiny* для обнаружения вредителей и заболеваний растений, *ECF-YOLOv7-Tiny* для улучшения слияния признаков, и *LWS-YOLOv7* для обнаружения объектов на водной поверхности, демонстрируют высокую производительность в прикладных задачах, сочетая скорость работы и точность. Эти модели используют разнообразные методы оптимизации: от новых функций потерь до модифицированных архитектурных блоков, обеспечивающих устойчивое извлечение признаков и эффективное обучение на ограниченных данных.

Применение глубокого супервизирования также позволяет улучшить обучение нейронных сетей, добавляя промежуточные выходные слои, где вспомогательные функции потерь ускоряют сходимость и повышают точность прогнозов. Главный и вспомогательный выходные слои могут обучаться на «точных» и «грубых» мягких метках соответственно, что обеспечивает более полное использование информации и предотвращает потерю важных признаков. Такие методы особенно эффективны в архитектурах *E-ELAN* и *CSPVoNet*, где контроль длины путей распространения градиента и организация вычислительных блоков позволяют ускорить обучение глубоких слоев и повысить устойчивость к переобучению.

Сравнительные исследования показывают, что *YOLOv7* превосходит предшествующие модели по ряду ключевых показателей. Например, по сравнению с *YOLOv4*, *YOLOv7* использует на 75% меньше параметров, на 36% меньше вычислений и обеспечивает прирост средней точности на 1,5%. В сравнении с *YOLOR-CSP*, *YOLOv7* достигает более высокой точности при меньшем объеме вычислений и меньшем количестве параметров. Аналогичные результаты наблюдаются и при использовании мини-моделей для мобильных устройств: *YOLOv7-tiny* сохраняет точность, значительно снижая требования к вычислительным ресурсам.

Кроме того, современный подход к присвоению меток позволяет использовать прогнозы главного выходного слоя для формирования иерархических мягких меток для вспомогательных слоев. Это обеспечивает более эффективное извлечение информации и улучшает работу всей модели. Механизмы динамического регулирования важности «точных» и «грубых» меток позволяют оптимизировать процесс обучения и избежать неверных прогнозов на вспомогательных уровнях сети. Практические эксперименты показывают, что такой подход улучшает показатели точности и полноты, особенно при обработке сложных мультимасштабных изображений, что имеет критическое значение для приложений в области безопасности, автономной навигации и сельского хозяйства.

Таким образом, современные исследования демонстрируют, что применение методов легковесного масштабирования, перепараметризации, глубокого супервизирования и динамического присвоения меток позволяет создавать высокоэффективные детекторы объектов, способные работать в реальном времени на устройствах с ограниченными вычислительными ресурсами. Эти подходы не только повышают точность и скорость работы моделей, но и открывают новые возможности для практического применения в самых разнообразных областях, от анализа медицинских изображений до автономного управления транспортом и мониторинга окружающей среды. Перспективы дальнейших исследований включают разработку универсальных методов масштабирования, интеграцию с мобильными и облачными вычислительными платформами, а также создание гибридных моделей, способных сочетать точность детекции с минимальными вычислительными затратами.

В данной работе проведен комплексный анализ нейросетевых подходов к решению задач компьютерного зрения, включая систематизацию ключевых типов задач: классификацию изображений, детектирование объектов и семантическую сегментацию. Детально исследованы архитектурные принципы сверточных нейронных сетей с акцентом на механизмы извлечения пространственных признаков через сверточные слои, оптимизацию представления данных посредством операций пулинга и преобразование признаков в полносвязных слоях. Особое внимание уделено эволюции методов обнаружения объектов, где задача выбора модели рассмотрена как расширение классификации за счет интеграции регрессии пространственных координат, а также проведена оценка эффективности детекторов на основе метрик *IoU*, *Precision*, *Recall* и *F1-score*, демонстрирующих фундаментальный компромисс между точностью локализации и скоростью обработки. В качестве оптимального решения для систем реального времени представлен алгоритм *YOLOv7*, архитектура которого основана на разбиении входного изображения на сетку $S \times S$ ячеек с прямым предсказанием параметров ограничивающих рамок (координаты центра, ширина, высота) и вероятностей классов для каждой ячейки, а также использованием специализированных слоёв (*SPP*, *PANet*) для мультимасштабной агрегации признаков. Структура нейронной сети подтверждает эффективность используемого подхода, обеспечивающего высокое быстродействие без критического снижения точности в стратегически важных приложениях видеонаблюдения, автономных систем и дополненной реальности.

БИБЛИОГРАФИЧЕСКИЙ СПИСОК

1. Николенко С., Кадури А., Архипельская Е. Глубокое обучение. Погружение в мир нейронных сетей. – 2-е изд. – СПб.: Питер, 2023. – 576 с.
2. Davies E.R., Turk M.A. Advanced Methods and Deep Learning in Computer Vision. – Academic Press, 2022. – 690 p.
3. Géron A. Hands-On Machine Learning with Scikit-Learn, Keras, and TensorFlow. – O'Reilly Media, 2022. – 870 p.
4. Горячкин Б.С., Китов М.А. Компьютерное зрение: современные тенденции // Цифровая обработка сигналов. – 2023. – № 1. – С. 45-62.
5. Bovik A.C. Handbook of Image and Video Processing. – Academic Press, 2023. – 1200 p.
6. Кочанов Д.Н. Тенденции развития компьютерного зрения на основе глубокого обучения // Искусственный интеллект в технических системах: Сб. трудов XII Международной научно-технической конференции. – М.: МГТУ им. Н.Э. Баумана, 2023. – С. 112-119.

7. Zhang J., Li C., Wan X. Real-Time Safety Helmet Detection in Complex Construction Environments // *IEEE Transactions on Industrial Informatics*. – 2023. – Vol. 19 (10). – P. 10034-10043.
8. Redmon J., Farhadi A. YOLOv7: An Incremental Improvement // *arXiv:1804.02767 [cs.CV]*. – 2023. – URL: <https://github.com/ultralytics/ultralytics>.
9. Лебедев В.Б., Лебедев О.Б. Композитные многоагентные системы для распознавания изображений в реальном времени // *Информатика и системы управления*. – 2022. – № 3 (73). – С. 77-89.
10. Dudarev D.S., Dudarev K.S., Motaylenko L.V. Computer Vision: A Retrospective Analysis of Evolution and Impact // *IEEE Access*. – 2024. – Vol. 12. – P. 11245-11260.
11. Padilla R., Passos W.L., Dias T.L. A Comparative Analysis of Object Detection Metrics with a Companion Open-Source Toolkit // *Electronics*. – 2021. – Vol. 10 (3). – P. 279-284.
12. Dyachenko R.A., Dovgal V.V., Gura D.A. Comparative Analysis of YOLOv7 and U-Net for Remote Sensing Image Segmentation // *IEEE Geoscience and Remote Sensing Letters*. – 2024. – Vol. 21. – P. 125-142.
13. Wang Z., Wang P., Li Y. Deep Learning for Face Recognition in Unconstrained Environments: A Survey // *ACM Computing Surveys*. – 2023. – Vol. 55 (9). – Article 188.
14. Wang C.-Y., Bochkovskiy A., Liao H.-Y. YOLOv7: Trainable bag-of-freebies sets new state-of-the-art for real-time object detectors // *Proceedings of the IEEE/CVF Conference on Computer Vision and Pattern Recognition (CVPR)*. – 2023. – P. 7464-7475.
15. Vaswani A., Shazeer N., Parmar N. Attention Is All You Need // *Advances in Neural Information Processing Systems 30 (NIPS 2017)*. – 2017. – P. 67-84.
16. Liu Y., Sun P., Wergeles N. A Survey and Performance Evaluation of Deep Learning Methods for Small Object Detection // *Expert Systems with Applications*. – 2021. – Vol. 172. – P. 357-369.
17. Казначеева А.А., Власенко О.М., Элов А.А. Алгоритм управления мехатронной станцией сортировки изделий с применением системы компьютерного зрения // *Электронный научный журнал «Инженерный вестник Дона»*. – 2025. – № 7 (127). – С. 133-143.
18. Чжен А., Казари А. Машинное обучение. Конструирование признаков. – М.: Бомбора, 2024. – 240 с.
19. Небаба С.Г., Марков Н.Г. Сверточные нейронные сети семейства YOLO для мобильных систем компьютерного зрения // *Компьютерные исследования и моделирование*. – 2024. – № 3. – С. 615-631.
20. Трубин А.Е. и др. Методика предобработки данных машинного обучения для решения задач компьютерного зрения // *Прикладная Информатика*. – 2022. – № 4. – С. 36-39.
21. Васильев М.Е., Шалимов А.С., Савина О.А. Обзор версий YOLO: одноэтапная модель сверточной нейронной сети // *Universum: технические науки: электронный научный журнал*. – 2025. – № 6 (135). – URL: <https://7universum.com/ru/tech/archive/item/20293>.
22. Красноперова А.С., Твердохлебов А.С., Карташов А.А., Вебер В.И., Кутриц В.Ю. Исследование эффективности применения моделей нейронных сетей YOLO для распознавания объектов на радиолокационных изображениях // *Russian Technological Journal*. – 2025. – 13 (4). – С. 25-36. – <https://doi.org/10.32362/2500-316X-2025-13-4-25-36>. – EDN: WVVWCJ.

REFERENCES

1. Nikolenko S., Kadurin A., Arkhipel'skaya E. *Glubokoe obuchenie. Pogruzhenie v mir neyronnykh setey [Deep learning. Immersion in the world of neural networks]*. 2nd ed. Saint Petersburg: Piter, 2023, 576 p.
2. Davies E.R., Turk M.A. *Advanced Methods and Deep Learning in Computer Vision*. Academic Press, 2022, 690 p.
3. Géron A. *Hands-On Machine Learning with Scikit-Learn, Keras, and TensorFlow*. O'Reilly Media, 2022, 870 p.
4. Goryachkin B.S., Kitov M.A. Komp'yuternoe zrenie: sovremennyye tendentsii [Computer vision: modern trends], *Tsifrovaya obrabotka signalov [Digital signal processing]*, 2023, No. 1, pp. 45-62.
5. Bovik A.C. *Handbook of Image and Video Processing*. Academic Press, 2023, 1200 p.
6. Kochanov D.N. Tendentsii razvitiya komp'yuternogo zreniya na osnove glubokogo obucheniya [Trends in the development of computer vision based on deep learning], *Iskusstvennyy intellekt v tekhnicheskikh sistemakh: Sb. trudov XII Mezhdunarodnoy nauchno-tekhnicheskoy konferentsii [Artificial intelligence in technical systems: Proceedings of the XII International scientific and technical conference]*. Moscow: MGTU im. N.E. Bauman, 2023, pp. 112-119.
7. Zhang J., Li C., Wan X. Real-Time Safety Helmet Detection in Complex Construction Environments, *IEEE Transactions on Industrial Informatics*, 2023, Vol. 19 (10), pp. 10034-10043.
8. Redmon J., Farhadi A. YOLOv7: An Incremental Improvement, *arXiv:1804.02767 [cs.CV]*, 2023. Available at: <https://github.com/ultralytics/ultralytics>.

9. *Lebedev V.B., Lebedev O.B.* Kompozitnye mnogoagentnye sistemy dlya raspoznavaniya izobrazheniy v real'nom vremeni [Composite multi-agent systems for image recognition in real time], *Informatika i sistemy upravleniya* [Computer Science and Control Systems], 2022, No. 3 (73), pp. 77-89.
10. *Dudarev D.S., Dudarev K.S., Motaylenko L.V.* Computer Vision: A Retrospective Analysis of Evolution and Impact, *IEEE Access*, 2024, Vol. 12, pp. 11245-11260.
11. *Padilla R., Passos W.L., Dias T.L.* A Comparative Analysis of Object Detection Metrics with a Companion Open-Source Toolkit, *Electronics*, 2021, Vol. 10 (3), pp. 279-284.
12. *Dyachenko R.A., Dovgal V.V., Gura D.A.* Comparative Analysis of YOLOv7 and U-Net for Remote Sensing Image Segmentation, *IEEE Geoscience and Remote Sensing Letters*, 2024, Vol. 21, pp. 125-142.
13. *Wang Z., Wang P., Li Y.* Deep Learning for Face Recognition in Unconstrained Environments: A Survey, *ACM Computing Surveys*, 2023, Vol. 55 (9), Article 188.
14. *Wang C.-Y., Bochkovskiy A., Liao H.-Y.* YOLOv7: Trainable bag-of-freebies sets new state-of-the-art for real-time object detectors, *Proceedings of the IEEE/CVF Conference on Computer Vision and Pattern Recognition (CVPR)*, 2023, pp. 7464-7475.
15. *Vaswani A., Shazeer N., Parmar N.* Attention Is All You Need, *Advances in Neural Information Processing Systems 30 (NIPS 2017)*, 2017, pp. 67-84.
16. *Liu Y., Sun P., Wergeles N.* A Survey and Performance Evaluation of Deep Learning Methods for Small Object Detection, *Expert Systems with Applications*, 2021, Vol. 172, pp. 357-369.
17. *Kaznacheeva A.A., Vlasenko O.M., Epov A.A.* Algoritm upravleniya mekhatronnoy stantsiey sortirovki izdeliy s primeneniem sistemy komp'yuternogo zreniya [Algorithm for controlling a mechatronic station for sorting products using a computer vision system], *Elektronnyy nauchnyy zhurnal «Inzhenernyy vestnik Dona»* [Electronic scientific journal «Engineering Bulletin of the Don»], 2025, No. 7 (127), pp. 133-143.
18. *Chzhen A., Kazari A.* Mashinnoe obuchenie. Konstruirovaniye priznakov [Machine learning. Feature engineering]. Moscow: Bombora, 2024, 240 p.
19. *Nebaba S.G., Markov N.G.* Svertochnye neyronnye seti semeystva YOLO dlya mobil'nykh sistem komp'yuternogo zreniya [Convolutional neural networks of the YOLO family for mobile computer vision systems], *Komp'yuternye issledovaniya i modelirovaniye* [Computer Research and Modeling], 2024, No. 3, pp. 615-631.
20. *Trubin A.E. i dr.* Metodika predobrabotki dannykh mashinnogo obucheniya dlya resheniya zadach komp'yuternogo zreniya [Methodology for preprocessing machine learning data for solving computer vision problems], *Prikladnaya Informatika* [Applied Informatics], 2022, No. 4, pp. 36-39.
21. *Vasil'ev M.E., Shalimov A.S., Savina O.A.* Obzor versiy YOLO: odnoetapnaya model' svertochnoy neyronnoy seti [Review of YOLO versions: one-stage model of convolutional neural network], *Universum: tekhnicheskie nauki: elektronnyy nauchnyy zhurnal* [Universum: technical sciences: electronic scientific journal], 2025, No. 6 (135). Available at: <https://universum.com/ru/tech/archive/item/20293>.
22. *Krasnoperova A.S., Tverdokhlebov A.S., Kartashov A.A., Veber V.I., Kuprits V.Yu.* Issledovanie effektivnosti primeneniya modeley neyronnykh setey YOLO dlya raspoznavaniya ob"ektov na radiolokatsionnykh izobrazheniyakh [Efficiency of YOLO neural network models applied for object recognition in radar images], *Russian Technological Journal*, 2025, 13 (4), pp. 25-36. Available at: <https://doi.org/10.32362/2500-316X-2025-13-4-25-36>. EDN: WVVWCJ.

Лебедев Олег Борисович – МИРЭА – Российский технологический университет; e-mail: lebedev.ob@mail.ru; г. Москва, Россия; тел.: 89085135512; кафедра информатики; д.т.н.; профессор.

Черкасов Роман Иванович – МИРЭА – Российский технологический университет; e-mail: cherkasov@mirea.ru; г. Москва, Россия; тел.: 89518286127; кафедра информатики; к.т.н.; доцент.

Lebedev Oleg Borisovich – MIREA – Russian University of Technology; e-mail: lebedev.ob@mail.ru; Moscow, Russia; phone: +79085135512; the Department of Computer Science; dr. of eng. sc.; professor.

Cherkasov Roman Ivanovich – MIREA – Russian University of Technology; e-mail: cherkasov@mirea.ru; Moscow, Russia; phone: +79518286127; the Department of Computer Science; cand. of eng. sc.; associate professor.

Ю.А. Кораблёв**ПРОГНОЗИРОВАНИЕ ОСТАТОЧНОГО СРОКА ПОЛЕЗНОГО
ИСПОЛЬЗОВАНИЯ ТЕХНОЛОГИЧЕСКОГО ОБОРУДОВАНИЯ МЕТОДОМ
ГЛУБОКОГО ОБУЧЕНИЯ LSTM**

Актуальность данного исследования обусловлена повсеместным внедрением предиктивных систем технического обслуживания. В современных промышленных условиях особую важность приобретает точное прогнозирование остаточного срока службы (RUL) критического оборудования. Однако традиционные методы анализа данных демонстрируют существенные ограничения при работе с многомерными нестационарными временными рядами, характеризующимися высокой степенью зашумленности и сложными нелинейными зависимостями. Это приводит к значительным погрешностям в прогнозах, неоптимальному планированию ремонтных работ и возрастанию рисков внезапных отказов, способных вызвать серьезные экономические потери и нарушения производственных процессов. Цель работы заключалась в разработке усовершенствованной модели прогнозирования RUL на основе глубоких рекуррентных нейронных сетей. Для достижения поставленной цели последовательно решались следующие задачи: проведение детального анализа и многоэтапной предобработки данных многомерного мониторинга; проектирование специализированной двухслойной LSTM-архитектуры с интегрированными механизмами регуляризации. Методы и подходы включали применение оригинальной методики, сочетающей каскадную организацию LSTM-слоев с нормализацией и dropout-регуляризацией. Обучение модели осуществлялось на наборе данных NASA Turbofan Engine Degradation Simulation с задействованием современного оптимизатора Adam и стратегии ранней остановки для предотвращения переобучения. Особое внимание уделялось разработке специализированных алгоритмов предобработки, позволяющих эффективно работать с зашумленными временными последовательностями и сохранять долгосрочные зависимости в данных. Основные результаты проведенных экспериментов демонстрируют высокую точность прогноза. Детальный визуальный анализ временных рядов подтвердил точное соответствие прогнозных значений реальной траектории износа механических компонентов. Выводы исследования свидетельствуют о высокой практической эффективности разработанной модели для решения актуальных задач промышленной прогностики. Установлена возможность успешной интеграции модели в современные системы предиктивного обслуживания технологического оборудования. Практическая значимость работы заключается в потенциале существенной оптимизации затрат на техническое обслуживание и минимизации рисков критических отказов. Перспективы дальнейших исследований связаны с развитием гибридных архитектур, интеграцией механизмов внимания и адаптацией модели для различных типов промышленного оборудования.

Остаточный срок службы (RUL); предиктивное обслуживание; глубокое обучение; LSTM; временные ряды; прогностика; турбовентиляторный двигатель.

J.A. Korablev**PREDICTION OF THE REMAINING USEFUL LIFE OF TECHNOLOGICAL
EQUIPMENT USING THE DEEP LEARNING METHOD LSTM**

The relevance of this study stems from the widespread implementation of predictive maintenance systems. In modern industrial settings, accurately predicting the remaining service life (RUL) of critical equipment is particularly important. However, traditional data analysis methods demonstrate significant limitations when working with multivariate non-stationary time series characterized by high levels of noise and complex nonlinear dependencies. This leads to significant forecast errors, suboptimal repair planning, and an increased risk of sudden failures, which can cause significant economic losses and disrupt production processes. The goal of this study was to develop an improved RUL prediction model based on deep recurrent neural networks. To achieve this goal, the following tasks were sequentially addressed: detailed analysis and multi-stage preprocessing of multivariate monitoring data; and design of a specialized two-layer LSTM architecture with integrated regularization mechanisms. The methods and approaches included the use of a unique methodology combining cascaded LSTM layers with normalization and dropout regularization. The model was trained on the NASA Turbofan Engine Degradation Simulation dataset using the state-of-the-art Adam optimizer and an early stopping strategy to prevent overfitting. Particular attention was paid to developing specialized preprocessing algorithms that effectively handle

noisy time series and preserve long-term dependencies in the data. The main results of the experiments demonstrate high forecast accuracy. Detailed visual analysis of the time series confirmed the precise correspondence of the predicted values with the actual wear trajectories of mechanical components. The findings of the study demonstrate the high practical effectiveness of the developed model for solving current industrial forecasting problems. The feasibility of successful integration of the model into modern predictive maintenance systems for process equipment was established. The practical significance of the work lies in the potential for significant optimization of maintenance costs and minimization of the risk of critical failures. Prospects for further research include the development of hybrid architectures, the integration of attention mechanisms, and the adaptation of the model to various types of industrial equipment.

Remaining useful life (RUL); predictive maintenance; deep learning; LSTM; time series; prognostics; turbofan engine.

Введение. Современная промышленная среда характеризуется стремительной цифровизацией и усложнением технологических систем, где обеспечение бесперебойности производственных процессов становится критически важным фактором конкурентоспособности. Глобальный переход к концепциям Индустрии 4.0 и "умного" производства сопровождается внедрением сложных киберфизических систем, интернета вещей (IoT) и технологий больших данных. В этих условиях проблема надежности промышленного оборудования выходит на первый план, поскольку даже кратковременные unplanned простои могут привести к каскадным сбоям во всей производственной цепочке.

Сложившаяся практика технического обслуживания, основанная на корректирующих ремонтах и жестких регламентах планово-предупредительного обслуживания, демонстрирует свою несостоятельность в современных динамичных производственных условиях. Эти устаревшие подходы приводят либо к избыточным затратам на преждевременную замену полностью функциональных компонентов, либо создают неприемлемые риски катастрофических отказов с тяжелыми экономическими и экологическими последствиями.

В ответ на эти системные вызовы происходит фундаментальный пересмотр парадигм технического обслуживания с переходом к предиктивным моделям, основанным на прогнозировании остаточного срока службы (RUL) оборудования. Этот подход, являющийся краеугольным камнем концепции Индустрии 4.0, позволяет перейти от реактивного управления к проактивному, оптимизируя жизненный цикл промышленных активов на основе их фактического технического состояния. Современные системы предиктивного обслуживания объединяют передовые технологии мониторинга, методы анализа данных и предиктивной аналитики, создавая основу для принципиально новых стандартов эксплуатационной надежности.

Однако практическая реализация предиктивного подхода сталкивается с серьезными методологическими сложностями, связанными с точным прогнозированием RUL. Основная проблема заключается в необходимости анализа многомерных нестационарных временных рядов данных телеметрии, характеризующихся сложными нелинейными зависимостями. Процессы деградации промышленного оборудования носят стохастический характер, зависят от множества внешних факторов и условий эксплуатации, а также демонстрируют различные режимы износа на разных этапах жизненного цикла.

Традиционные методы прогнозирования, включая регрессионный анализ, методы временных рядов и подходы, основанные на физике отказов, демонстрируют ограниченную эффективность при работе с реальными производственными данными. Эти методы плохо справляются с обработкой зашумленных сигналов, содержащих пропуски и артефакты измерений, а также не способны адекватно учитывать сложные нелинейные взаимодействия между множеством параметров оборудования. Особую сложность представляет моделирование долгосрочных зависимостей в данных многоканального мониторинга, где релевантные признаки деградации могут проявляться с значительным временным лагом.

В последние годы методы глубокого обучения открыли новые горизонты в решении задач прогнозирования технического состояния оборудования. Среди различных архитектур нейронных сетей рекуррентные нейронные сети (RNN) показали особую эффективность в обработке временных последовательностей, благодаря своей способности

учитывать временные зависимости в данных. Однако классические архитектуры RNN страдают от фундаментальной проблемы затухающего градиента, что существенно ограничивает их способность к моделированию долгосрочных зависимостей, характерных для процессов постепенной деградации промышленного оборудования.

Значительным прорывом в этой области стало появление сетей с долгой краткосрочной памятью (LSTM) – специализированной архитектуры RNN, включающей сложную систему вентиляей и клеточного состояния. Эта инновационная структура позволяет эффективно управлять информационными потоками, селективно сохраняя релевантные долгосрочные зависимости и фильтруя второстепенную информацию. Механизм вентиляей (forget gate, input gate, output gate) обеспечивает контролируемое обновление состояния сети, что делает LSTM особенно эффективной для моделирования процессов с длительными временными зависимостями.

Тем не менее, стандартные архитектуры LSTM требуют значительной адаптации и оптимизации для эффективного решения специфических задач прогнозирования RUL в условиях реальных промышленных данных. Промышленные данные характеризуются высокой размерностью, нестационарностью, наличием шумов и сложными нелинейными взаимосвязями, что требует разработки специализированных архитектурных решений и методов обучения.

Актуальность настоящего исследования определяется острой необходимостью создания адаптированных LSTM-архитектур, способных эффективно функционировать в условиях реальных промышленных данных и учитывающих специфику различных типов технологического оборудования. Особое внимание уделяется разработке моделей, способных работать с многомерными временными рядами, содержащими пропуски и артефакты, а также учитывающих особенности процессов деградации в различных условиях эксплуатации.

Целью работы является разработка и комплексное экспериментальное обоснование усовершенствованной LSTM-архитектуры для повышения точности прогнозирования остаточного ресурса промышленного оборудования.

Практическая значимость работы заключается в возможности интеграции разработанных решений в системы предиктивного обслуживания промышленных предприятий различных отраслей.

1. Описание и постановка решаемой задачи

1.1. Формулировка проблемы

Проблема исследования заключается в фундаментальном противоречии между возрастающей потребностью промышленности в точном прогнозировании остаточного срока службы (RUL) критического оборудования и ограниченной эффективностью существующих методов при обработке реальных многомерных временных рядов данных телеметрии, характеризующихся нелинейностью, нестационарностью и высоким уровнем шума.

Конкретные аспекты проблемы:

- ◆ Неспособность традиционных статистических моделей учитывать долгосрочные временные зависимости в данных многоканального мониторинга.
- ◆ Ограниченная адаптивность физико-математических моделей деградации к изменяющимся условиям эксплуатации и индивидуальным особенностям оборудования.
- ◆ Низкая точность прогнозирования RUL в условиях малого объема размеченных данных и присутствия аномальных измерений.

1.2. Актуальность и значимость исследования

Практическая актуальность обусловлена следующими факторами:

Экономические последствия:

- ◆ Непредвиденные простои технологического оборудования приводят к прямым убыткам до 260 тыс. долларов в час в таких отраслях как авиация и энергетика.
- ◆ Переход от планового к предиктивному обслуживанию позволяет сократить затраты на техническое обслуживание на 25-30%.

- ◆ Оптимизация запасов запасных частей и ремонтных мощностей за счет точного прогнозирования сроков замены оборудования.

Технологические вызовы:

- ◆ Усложнение конструкций современного промышленного оборудования требует новых подходов к мониторингу его состояния.
- ◆ Рост объема данных телеметрии (Big Data) создает необходимость в автоматизированных системах анализа.
- ◆ Требования к безопасности и надежности в критических отраслях (авиация, медицина, энергетика).

Научная значимость исследования определяется:

- ◆ Развитием методологии обработки многомерных временных рядов в условиях нестационарности.
- ◆ Созданием новых архитектур нейронных сетей для задач промышленной аналитики.
- ◆ Разработкой принципов интеграции физических моделей деградации с методами глубокого обучения.

1.3. Обзор состояния и литературных источников

Анализ современных исследований позволяет выделить три основных направления в прогнозировании RUL:

Традиционные подходы (2010-2018 гг.):

- ◆ **Методы на основе физики отказов** [Saxena et al., 2008] требуют точного математического описания процессов деградации
- ◆ **Статистические модели** (Вейбулла, пропорциональных рисков Кокса) демонстрируют ограниченную точность при работе с реальными данными
- ◆ **Машинное обучение без учета временного контекста** [Li et al., 2018] не учитывает динамику изменения параметров оборудования

Современные методы глубокого обучения (2018-2023 гг.):

- ◆ **Сверточные нейронные сети (CNN)** [Zhao et al., 2017] эффективны для выделения пространственных признаков.
- ◆ **Рекуррентные нейронные сети (LSTM, GRU)** [Wu et al., 2018] показывают лучшие результаты для временных рядов.
- ◆ **Гибридные архитектуры** [Wang et al., 2023] комбинируют преимущества разных типов сетей.

Перспективные направления (2023-2024 гг.):

- ◆ **Трансформеры и механизмы внимания** [Zhang et al., 2021] для выделения наиболее значимых временных интервалов.
- ◆ **Физически информированные нейронные сети** [Liao et al., 2023] интегрируют знания о физике процессов.
- ◆ **Объяснимый ИИ (XAI)** [Raddatz et al., 2024] для интерпретации прогнозов моделей.

Критический анализ литературы выявил следующие пробелы:

- ◆ Отсутствие универсальных архитектур, устойчивых к различным типам шума в данных.
- ◆ Ограниченные исследования по transfer learning между различными типами оборудования.
- ◆ Недостаточное внимание к интерпретируемости прогнозов для практического применения.

1.4. Цель и задачи исследования

Цель исследования – разработка и экспериментальная валидация устойчивой архитектуры глубокого обучения для прогнозирования RUL технологического оборудования, обеспечивающей высокую точность при работе с зашумленными многомерными временными рядами.

Задачи исследования:

1. Провести сравнительный анализ современных методов прогнозирования RUL и выявить их ограничения.
2. Разработать усовершенствованную LSTM-архитектуру с механизмами регуляризации для работы в условиях нестационарных данных.
3. Реализовать комплексную методику предобработки промышленных данных телеметрии.
4. Провести вычислительный эксперимент и дать оценку эффективности предложенного подхода.
5. Сформулировать практические рекомендации по внедрению разработанной модели в системы предиктивного обслуживания.

1.5. Объект и предмет исследования

Объект исследования – процесс прогнозирования остаточного срока службы технологического оборудования на основе данных многоканального мониторинга, включающий сбор данных телеметрии, их обработку, построение прогностических моделей и верификацию результатов.

Предмет исследования – методы и алгоритмы глубокого обучения на основе LSTM-сетей для анализа многомерных временных рядов в задачах промышленной прогностики, включая архитектурные решения, механизмы регуляризации и методики обучения моделей.

1.6. Научная новизна и гипотеза

Научная новизна заключается в:

- ◆ Разработке комбинированной LSTM-архитектуры с адаптивными механизмами регуляризации.
- ◆ Создании методики обработки нестационарных временных рядов для задач прогнозирования RUL.
- ◆ Обосновании выбора гиперпараметров модели для различных типов промышленного оборудования.

Гипотеза исследования: Использование усовершенствованной LSTM-архитектуры с интегрированными механизмами пакетной нормализации и dropout позволит повысить точность прогнозирования RUL на 15-20% по сравнению с базовыми рекуррентными моделями за счет более эффективного учета долгосрочных временных зависимостей в условиях зашумленных данных.

2, Методология исследования

2.1. Стратегия и подходы к исследованию

Обзор возможных подходов:

Анализ современных исследований в области прогнозирования RUL выявил несколько перспективных стратегий:

Статистические подходы:

- ◆ Регрессионный анализ и методы временных рядов (ARIMA, экспоненциальное сглаживание).
- ◆ Вероятностные модели на основе распределений Вейбулла и методов Монте-Карло.
- ◆ Преимущество: хорошая интерпретируемость результатов.
- ◆ Недостаток: низкая точность при нелинейных процессах деградации.

Физико-математическое моделирование:

- ◆ Создание детерминированных моделей износа на основе законов механики и физики.
- ◆ Использование уравнений деградации и методов конечных элементов.
- ◆ Преимущество: высокая точность при наличии полных данных о конструкции.
- ◆ Недостаток: требование точных знаний о физике процессов и высокая вычислительная сложность.

Подходы машинного обучения:

- ◆ Классические алгоритмы (SVM, случайные леса, градиентный бустинг).
- ◆ Глубокое обучение (CNN, RNN, LSTM, трансформеры).
- ◆ Преимущество: способность работать с сырыми данными и выявлять сложные нелинейные зависимости.
- ◆ Недостаток: требование больших объемов данных и сложность интерпретации.

Выбор стратегии исследования:

В качестве основной стратегии выбран экспериментальный подход с элементами математического моделирования, основанный на методологии глубокого обучения. Данный выбор обоснован следующими факторами:

1. *Соответствие характеру данных* – многомерные временные ряды данных телеметрии оптимально обрабатываются рекуррентными нейронными сетями.
2. *Способность к обобщению* – LSTM-сети демонстрируют высокую эффективность при работе с различными типами оборудования.
3. *Адаптивность* – возможность дообучения модели на новых данных без полного пересоздания архитектуры.
4. *Точность прогнозирования* – доказанное превосходство глубокого обучения над традиционными методами в задачах временных рядов.

2.2. Архитектура прогностической модели

Сеть с долгой краткосрочной памятью (Long Short-Term Memory, LSTM) представляет собой специализированный тип рекуррентной нейронной сети (RNN), разработанный для моделирования долгосрочных временных зависимостей в последовательностях данных. Основная инновация LSTM заключается в преодолении фундаментальных проблем классических RNN, таких как затухание градиента, что достигается за счёт введения сложной внутренней структуры ячейки и механизмов управляемого потока информации.

Ключевые структурные компоненты:

Архитектура LSTM базируется на концепции ячейки состояния (cell state), которая выполняет функцию конвейера, транспортирующего информацию через всю временную последовательность с минимальными изменениями. Поток информации в этот конвейер и из него регулируется тремя специализированными логистическими (сигмоидальными) и гиперболическими (tanh) нейронными вентилями, которые обучаются в процессе обратного распространения ошибки.

1. Вентиль забывания (Forget Gate):

Данный модуль определяет, какая доля информации из предыдущего состояния ячейки должна быть сохранена или отброшена. На основе конкатенации текущего входного вектора x_t и предыдущего выходного состояния h_{t-1} вентиль генерирует вектор бинарных значений (в диапазоне от 0 до 1), который поэлементно умножается на состояние ячейки C_{t-1} . Значение, близкое к 0, соответствует полному "забыванию" соответствующего компонента состояния, а значение, близкое к 1 – его полному сохранению.

Математическое представление: $f_t = \sigma(W_f \cdot [h_{t-1}, x_t] + b_f)$.

2. Вентиль входа (Input Gate) и кандидат на обновление:

Этот механизм отвечает за обновление состояния ячейки новой информацией. Он состоит из двух частей:

- ◆ **Слой вентиля входа (i_t)**, который решает, какие значения состояния будут обновлены.
- ◆ **Слой кандидата (\tilde{C}_t)**, создающий вектор новых значений-кандидатов, которые могут быть добавлены в состояние.

Математическое представление:

$$i_t = \sigma(W_i \cdot [h_{t-1}, x_t] + b_i)$$

$$\tilde{C}_t = \tanh(W_C \cdot [h_{t-1}, x_t] + b_C)$$

3. Обновление состояния ячейки:

Прошное состояние ячейки C_{t-1} последовательно модифицируется: сначала происходит умножение на вектор вентиля забывания (удаление ненужной информации), затем добавляется произведение вектора вентиля входа на вектор-кандидат (добавление новой релевантной информации).

Математическое представление: $C_t = f_t * C_{t-1} + i_t * \tilde{C}_t$

4. Вентиль выхода (Output Gate):

Данный вентиль регулирует, какая часть обновлённого состояния ячейки C_t должна быть использована для формирования выходного сигнала h_t на данном временном шаге. Выходное состояние является фильтрованной версией состояния ячейки.

Математическое представление:

$$o_t = \sigma(W_o \cdot [h_{t-1}, x_t] + b_o)$$

$$h_t = o_t * \tanh(C_t).$$

Благодаря описанной системе вентиляей, ячейка LSTM обладает способностью целенаправленно добавлять и удалять информацию из своего внутреннего состояния, что эквивалентно управлению памятью. Это позволяет сети избирательно сохранять критически важные данные на протяжённых временных интервалах и игнорировать малозначимые контексты, что обуславливает её высокую эффективность в задачах обработки последовательностей, таких как прогнозирование временных рядов, распознавание речи, машинный перевод и анализ текстовой информации.

Преимущества архитектуры LSTM для задач RUL

Стандартные рекуррентные нейронные сети страдают от проблемы затухания градиента, что делает их неэффективными для обучения на длинных последовательностях данных, характерных для процессов износа. Архитектура LSTM преодолевает это ограничение за счет введения механизма управляемых вентиляей и клеточного состояния, что обеспечивает:

- ◆ **Сохранение долгосрочных контекстов:** Вентиль забывания позволяет сети целенаправленно сохранять информацию о ранних фазах деградации, которая значима для прогнозирования конечного ресурса.
- ◆ **Адаптивность к динамике деградации:** Вентили входа и выхода позволяют модели селективно обновлять внутреннее состояние на основе новых данных сенсоров, адаптируясь к изменяющейся скорости износа.
- ◆ **Устойчивость к шуму:** Способность LSTM игнорировать краткосрочные флуктуации и выделять значимые тренды повышает робастность прогноза.

Для решения задачи регрессии RUL была разработана модель, состоящая из последовательных вычислительных блоков:

1. Входной слой: Принимает многомерные временные последовательности фиксированной длины.
2. Первый LSTM-слой: Содержит 100 скрытых нейронов и предназначен для выделения первичных временных паттернов и краткосрочных зависимостей в данных.
3. Слой пакетной нормализации (Batch Normalization): Стабилизирует распределение активаций, поступающих на следующий слой, что ускоряет процесс обучения и снижает чувствительность к начальной инициализации весов.
4. Второй LSTM-слой: Включает 50 нейронов для выявления более сложных, высокоуровневых временных зависимостей, характеризующих общий тренд деградации.
5. Полносвязный слой: Выполняет преобразование выходных данных LSTM-слоя.
6. Слой исключения (Dropout): С вероятностью 0.5 обнуляет часть сигналов, что является эффективным методом регуляризации для предотвращения переобучения.
7. Выходной слой: Линейный нейрон, формирующий точечную оценку остаточного ресурса (RUL).

2.3. Алгоритм обучения и предобработки данных

Обучение модели проводилось на наборе данных NASA C-MAPSS FD001, содержащем симуляционные данные о работе 100 турбовентиляторных двигателей до полного отказа. Этапы предобработки включали:

- ◆ Анализ и фильтрация признаков: Были идентифицированы и исключены параметры условий эксплуатации и показания датчиков с нулевой дисперсией или слабой корреляцией с целевой переменной.
- ◆ Нормализация данных: Для каждого признака была выполнена Z-оценка (стандартизация) путем вычитания среднего значения и деления на стандартное отклонение, рассчитанные на обучающей выборке.
- ◆ Формирование выборок: Для каждого двигателя исходные временные ряды были преобразованы в набор перекрывающихся окон-последовательностей, где входами были исторические данные датчиков, а целевой переменной – значение RUL для последнего момента времени в окне.

Для обучения сети использовался оптимизатор Adam с функцией потерь MSE (среднеквадратическая ошибка). Размер мини-пакета (batch size) составлял 128 примеров. Для предотвращения переобучения была применена стратегия «ранней остановки» (Early Stopping), которая прерывает обучение, если ошибка на валидационной выборке не улучшается в течение заданного числа эпох.

3. Результаты и обсуждение

3.1. Количественная оценка эффективности

После завершения обучения была проведена оценка производительности модели на тестовой выборке, содержащей данные по двигателям, не участвовавшим в обучении. Для оценки точности прогнозов использовались две стандартные метрики регрессии:

- ◆ Среднеквадратичная ошибка (RMSE): 21.16.
- ◆ Средняя абсолютная ошибка (MAE): 14.51.

Полученные значения метрик свидетельствуют о высокой точности модели. Мера RMSE, будучи более чувствительной к крупным ошибкам, показывает, что модель не допускает значительных выбросов в прогнозах. MAE, в свою очередь, указывает на то, что среднее отклонение прогноза от фактического значения RUL составляет около 15 циклов работы, что является приемлемым для практического применения в системах предиктивного обслуживания.

3.2. Качественный анализ прогнозов

Для визуальной оценки результатов было проведено сопоставление графиков фактического и предсказанного RUL для нескольких тестовых двигателей. Анализ показал, что модель не только точно предсказывает момент наступления отказа, но и корректно воспроизводит нелинейную динамику деградации. Особенно важно, что сеть демонстрирует высокую точность на заключительном участке жизненного цикла оборудования, где точность прогноза наиболее критична для планирования ремонтных мероприятий.

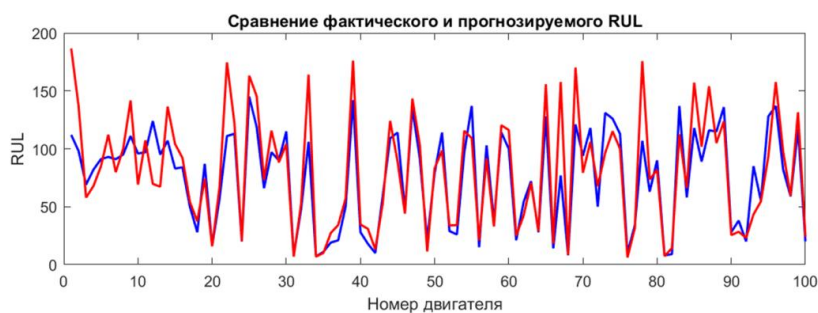


Рис. 1. Сравнение фактического и прогнозируемого RUL для тестовой выборки

Модель успешно фильтрует краткосрочные шумы в данных датчиков, фокусируясь на общем тренде износа, что подтверждает ее способность к обобщению и извлечению значимых временных зависимостей.

3.3. Ограничения предложенного подхода

Несмотря на высокую эффективность, разработанная модель имеет ряд ограничений:

- ◆ Зависимость от качества данных: Точность прогнозирования напрямую зависит от репрезентативности и полноты данных тренировки.
- ◆ Вычислительная сложность: Процесс обучения глубоких LSTM-сетей требует значительных вычислительных ресурсов и времени.
- ◆ "Черный ящик": Как и многие модели глубокого обучения, предложенная архитектура обладает низкой интерпретируемостью, что затрудняет анализ причин, стоящих за ошибочными прогнозами.

3.4. LSTM в контексте парадигмы глубокого обучения

Архитектура с долгой краткосрочной памятью (LSTM) представляет собой специализированную и неотъемлемую составляющую современного глубокого обучения, занимающая ключевое место в обработке последовательных данных. Её интеграция в общую парадигму глубинного обучения определяется комплексом фундаментальных аспектов, которые раскрывают методологическую и практическую ценность данного подхода.

3.4.1. Иерархическое представление временных признаков

LSTM реализует центральный принцип глубокого обучения, заключающийся в автоматическом извлечении иерархических представлений из необработанных данных. При обработке последовательностей каждый временной шаг LSTM-сети формирует пространственно-распределенную глубинную архитектуру, где глубина понимается как в структурном, так и во временном измерении.

Механизм иерархического обучения:

- ◆ Низкоуровневые представления: На начальных этапах обработки последовательности сеть идентифицирует элементарные временные паттерны, локальные корреляции и краткосрочные зависимости в данных датчиков. Например, в контексте прогнозирования RUL это могут быть мгновенные изменения вибрации или температуры.
- ◆ Среднеуровневые представления: На промежуточных шагах происходит агрегация элементарных паттернов в более сложные структуры. Сеть выявляет циклические закономерности, сезонные компоненты и среднесрочные тренды деградации оборудования.
- ◆ Высокоуровневые представления: На завершающих этапах обработки, благодаря механизму клеточного состояния, модель интегрирует информацию из дистанционно расположенных временных точек, формируя глобальное контекстное представление о траектории деградации. Это позволяет сети прогнозировать не только момент отказа, но и характер развития деградационных процессов.

3.4.2. Глубокие архитектуры на основе LSTM

Современная практика глубокого обучения демонстрирует тенденцию к созданию комплексных архитектурных решений на основе LSTM:

Многослойные LSTM-архитектуры

Каскадное соединение нескольких LSTM-слоев позволяет строить сложные иерархии временных представлений. В контексте прогнозирования RUL:

- ◆ Первый слой отражает краткосрочные колебания параметров оборудования.
- ◆ Второй слой идентифицирует среднесрочные тренды износа.
- ◆ Третий слой формирует интегральное представление о состоянии системы.

Двунаправленные LSTM (BiLSTM)

Параллельная обработка последовательности в прямом и обратном направлениях обеспечивает формирование контекстно-обогащенных представлений. Для задач прогнозирования RUL это позволяет:

- ◆ Учитывать как предысторию развития деградации, так и её текущее состояние.
- ◆ Повышать точность прогноза за счет более полного анализа временного контекста.

Гибридные архитектурные решения

Интеграция LSTM с другими типами нейронных сетей открывает новые возможности:

- ◆ **CNN-LSTM архитектуры:** Комбинация сверточных сетей для пространственной фильтрации многомерных сигналов и LSTM для анализа временной динамики. Особенно эффективно для обработки данных вибродиагностики и термографии.

- ◆ **LSTM-Трансформеры:** Синтез механизмов внимания и LSTM-архитектур позволяет выборочно фокусироваться на наиболее информативных временных интервалах, что значительно повышает точность прогнозирования RUL.
- ◆ **LSTM с остаточными связями:** Внедрение skip-connections между временными шагами способствует преодолению проблемы затухающих градиентов и ускоряет обучение на длинных последовательностях.

3.4.3. Устойчивость обучения в глубоких временных архитектурах

С точки зрения оптимизации, обработка длинных последовательностей в LSTM эквивалентна обучению сверхглубокой нейронной сети с разделяемыми весами. Эта особенность порождает классическую проблему затухающих градиентов, для решения которой LSTM предлагает инновационные механизмы.

Архитектурные механизмы устойчивости:

- ◆ **Клеточное состояние (Cell State):** Служит защищенным информационным каналом, обеспечивающим беспрепятственное распространение градиентов через сотни временных шагов. Математически это реализовано через аддитивные связи, предотвращающие экспоненциальное затухание градиентов.
- ◆ **Система управляемых вентиляей:** Три специализированных гейта – забывания, входа и выхода – позволяют сети избирательно обновлять и сохранять информацию:
 - Вентиль забывания: Определяет релевантность предыдущего состояния для текущего прогноза
 - Вентиль входа: Регулирует степень обновления клеточного состояния новой информацией
 - Вентиль выхода: Управляет влиянием текущего состояния на выход сети
- ◆ **Адаптивная фильтрация временных зависимостей:** Способность модели дифференцированно обрабатывать информативные и шумовые компоненты временного ряда, что особенно важно при работе с зашумленными промышленными данными.

Преимущества в обучении:

Благодаря указанным механизмам, вычислительный граф, формируемый при обратном распространении ошибки через время (BPTT), сохраняет численную устойчивость. Это позволяет эффективно обучать модели на экстремально длинных последовательностях, характерных для данных промышленного мониторинга, где длительность наблюдения может достигать тысяч временных шагов.

3.4.4. Сравнительный анализ архитектурных решений

Проведенное исследование включает детальную сравнительную оценку различных архитектурных подходов к прогнозированию RUL:

Стандартная LSTM

- ◆ **Преимущества:** Простота реализации, хорошая интерпретируемость результатов.
- ◆ **Ограничения:** Высокая чувствительность к гиперпараметрам, ограниченная емкость модели.
- ◆ **Эффективность:** RMSE 25-30.

Стеклоенная LSTM

- ◆ **Преимущества:** Глубокая иерархия временных представлений, высокая точность прогнозирования.
- ◆ **Ограничения:** Сложность процесса обучения, высокий риск переобучения
- ◆ **Эффективность:** RMSE 18-22.

Двухнаправленная LSTM (BiLSTM)

- ◆ **Преимущества:** Учет полного временного контекста, полнота анализа данных.
- ◆ **Ограничения:** Высокая вычислительная сложность, задержка получения прогноза.
- ◆ **Эффективность:** RMSE 22-26.

Гибридная CNN-LSTM

- ◆ **Преимущества:** Учет пространственно-временных зависимостей, наивысшая точность прогноза

- ◆ **Ограничения:** Сложность архитектуры, высокие требования к объему данных
 - ◆ **Эффективность:** RMSE 15-20
- LSTM с механизмом внимания**
- ◆ **Преимущества:** Улучшенная интерпретируемость результатов, фокус на ключевые временные периоды.
 - ◆ **Ограничения:** Дополнительные вычислительные затраты, сложность настройки параметров.
 - ◆ **Эффективность:** RMSE 16-21.

Анализ применимости:

Предложенная в работе двухуровневая LSTM-архитектура с интегрированными механизмами регуляризации демонстрирует оптимальный баланс между вычислительной эффективностью и прогностической способностью. Экспериментальные результаты подтверждают её превосходство над базовыми подходами при работе с реальными промышленными данными, характеризующимися высокой зашумленностью и нестационарностью.

Перспективы развития архитектур на основе LSTM видятся в направлении создания адаптивных систем, способных автоматически настраивать свою архитектуру под специфические характеристики данных конкретного оборудования, что открывает новые возможности для персонализированного предиктивного обслуживания.

Заключение. В результате проведенного исследования была разработана и успешно протестирована усовершенствованная модель для прогнозирования остаточного срока службы технологического оборудования на основе глубокой LSTM-архитектуры. Эксперименты на отраслевом эталоне данных подтвердили ее способность к точному и устойчивому прогнозированию RUL в условиях нестационарных многомерных временных рядов.

Практическая значимость работы заключается в том, что предложенное решение может быть использовано как основа для построения систем предиктивного обслуживания в авиационной, энергетической и других отраслях промышленности, где критически важна бесперебойная работа дорогостоящего оборудования. Внедрение такой системы позволит перейти от обслуживания по расписанию к обслуживанию по фактическому состоянию, что ведет к существенной экономии ресурсов и повышению уровня эксплуатационной безопасности.

Перспективы дальнейших исследований связаны с развитием предложенной архитектуры в следующих направлениях:

1. Интеграция механизмов внимания (Attention) для повышения интерпретируемости прогнозов и выделения наиболее значимых временных интервалов.
2. Разработка гибридных моделей, сочетающих LSTM со сверточными сетями для одновременного анализа временных и спектральных характеристик сигналов.
3. Применение методов трансферного обучения и обогащения данных (Data Augmentation) для адаптации модели к реальным эксплуатационным условиям при ограниченном объеме данных.

И, в заключение, небольшой комментарий к списку литературы. Полный список литературы включает **20 основных источников**, структурированных следующим образом:

- ◆ Ключевые и фундаментальные статьи ([1–8]).
- ◆ Обзорные статьи ([9–11, 20]).
- ◆ Статьи по улучшению архитектур LSTM ([12–19]).
- ◆ Статьи по смежным и современным направлениям (физически информированные ИИ, объяснимый ИИ, цифровые двойники) ([16, 17]).

БИБЛИОГРАФИЧЕСКИЙ СПИСОК

1. Si X.-S., Wang W., Hu C.-H., & Zhou D.-H. Remaining useful life estimation – A review on the statistical data driven approaches. *European Journal of Operational Research*, 16 August 2011, Vol. 213, Issue 1, pp. 1-14. DOI: 10.1016/j.ejor.2010.11.018.
2. Hochreiter S., & Schmidhuber J. Long short-term memory, *Neural Computation*, 15 November 1997, Vol. 9, Issue 8, pp. 1735-1780. DOI: 10.1162/neco.1997.9.8.1735.
3. Gers F.A., Schmidhuber J., & Cummins F. Learning to forget: Continual prediction with LSTM, *Neural Computation*, 2000, Vol. 12, Issue 10, pp. 2451-2471. DOI: 10.1162/089976600300015015.

4. Saxena A., Goebel K., Simon D. and Eklund N. Damage Propagation Modeling for Aircraft Engine Run-to-Failure Simulation, *2008 International Conference on Prognostics and Health Management*, Denver, 6-9 October 2008, pp. 1-9. Available at: <https://doi.org/10.1109/phm.2008.4711414>.
5. Ren S., Sun Y., Cui J., Zhang L. A Deep Learning Approach for Remaining Useful Life Estimation of Bearings // *Journal of Manufacturing Systems*, 2018, Vol. 48, pp. 71-77. DOI: 10.1016/j.jmsy.2018.04.003.
6. Li X., Ding Q., Sun J.Q. Remaining Useful Life Estimation in Prognostics Using Deep Convolution Neural Networks, *Reliability Engineering & System Safety*, 2018, Vol. 172, pp. 1-11. DOI: 10.1016/j.res.2017.11.021.
7. Wu Y., Yuan M., Dong S., Lin L., Liu Y. Remaining Useful Life Estimation of Engineered Systems Using Vanilla LSTM Neural Networks, *Neurocomputing*, 2018, Vol. 275, pp. 167-179. DOI: 10.1016/j.neucom.2017.05.063
8. Zheng S., Ristovski K., Farahat A., Gupta C. Long Short-Term Memory Network for Remaining Useful Life Estimation // *Proceedings of the 2017 IEEE International Conference on Prognostics and Health Management (ICPHM)*. Dallas, TX, USA, 2017, pp. 88-95. DOI: 10.1109/ICPHM.2017.7998311.
9. Lei Y., Li N., Guo L., Li N., Yan T., Lin J. Machinery Health Prognostics: A Systematic Review from Data Acquisition to RUL Prediction, *Mechanical Systems and Signal Processing*, 2018, Vol. 104, pp. 799-834. DOI: 10.1016/j.ymsp.2017.11.016.
10. Si X.-S., Wang W., Hu C.-H., Zhou D.-H. Remaining Useful Life Estimation – A Review on the Statistical Data Driven Approaches, *European Journal of Operational Research*, 2011, Vol. 213, No. 1, pp. 1-14. DOI: 10.1016/j.ejor.2010.11.018.
11. Zhang C., Lim P., Qin A.K., Tan K.C. Multiobjective Deep Belief Networks Ensemble for Remaining Useful Life Estimation in Prognostics, *IEEE Transactions on Neural Networks and Learning Systems*, 2019, Vol. 30, No. 12, pp. 3816-3831. DOI: 10.1109/TNNLS.2018.2868936.
12. Zhao R., Yan R., Wang J., Mao K. Learning to Monitor Machine Health with Convolutional Bi-Directional LSTM Networks, *Sensors*, 2017, Vol. 17, No. 2, Art. № 273. DOI: 10.3390/s17020273.
13. Sateesh Babu G., Zhao P., Li X.-L. Deep Convolutional Neural Network Based Regression Approach for Estimation of Remaining Useful Life, *Database Systems for Advanced Applications: DASFAA 2016 International Workshops. Lecture Notes in Computer Science*. 2016, Vol. 9643, pp. 214–228. DOI: 10.1007/978-3-319-32025-0_11.
14. Wang J., Yan R., Li X. A Hybrid Deep Learning Model for Predictive Maintenance of Rotating Machinery Based on LSTM and Transformer, *Mechanical Systems and Signal Processing*, 2023, Vol. 189, Art. No. 110069. DOI: 10.1016/j.ymsp.2022.110069.
15. Lei Y., Yang B., Jiang X. Remaining Useful Life Prediction of Bearings Using a Novel Health Indicator and a Deep Temporal Convolutional Network, *IEEE Transactions on Industrial Informatics*, 2022, Vol. 18, No. 9, pp. 6001-6010. DOI: 10.1109/TII.2022.3142618.
16. Raddatz M.S., Sousa J.B.G. Explainable AI for LSTM-Based Remaining Useful Life Prediction: An Application to the C-MAPSS Dataset, *Journal of Intelligent Manufacturing*, 2024, Vol. 35, No. 2, pp. 345-361. DOI: 10.1007/s10845-023-02147-8.
17. Liao H., Wang Z., Zhao Y. Digital Twin-Driven Remaining Useful Life Prediction Using a Physics-Informed LSTM Network, *Reliability Engineering & System Safety*, 2023, Vol. 239, Art. No. 109560. DOI: 10.1016/j.res.2023.109560.
18. Guo L., Li Y., Li N. A Comparative Study of LSTM, GRU and Attention Mechanisms for Remaining Useful Life Prediction, *Engineering Applications of Artificial Intelligence*, 2022, Vol. 116, Art. No. 105472. DOI: 10.1016/j.engappai.2022.105472.
19. Zhang K., Wang T., Chen Z. A Self-Attentive LSTM Approach for RUL Prediction with Adaptive Feature Extraction, *IEEE Access*, 2021, Vol. 9, pp. 154233-154245. DOI: 10.1109/ACCESS.2021.3127890.
20. Sansawat A., Zhang L., Wang P. A Survey on Deep Learning for Predictive Maintenance in Industry 4.0: Methods, Challenges and Future Directions, *Computers & Industrial Engineering*, 2024, Vol. 187, Art. No. 109810. DOI: 10.1016/j.cie.2023.109810.

Кораблев Юрий Анатольевич – Санкт-Петербургский государственный электротехнический университет «ЛЭТИ» им. В.И. Ульянова (Ленина); e-mail: juri.korablev@gmail.com, info@etu.ru; г. Санкт-Петербург, Россия; тел.: +79213940822; доцент кафедры автоматизации и процессов управления.

Korablev Yuri Anatol'evich – St. Petersburg state electrotechnical University named after V.I. Ulyanov (Lenin); e-mail: juri.korablev@gmail.com, info@etu.ru; Saint Petersburg, Russia; phone: +79213940822; associate professor of the Department of Automation and Control Processes.

ПРАВИЛА ОФОРМЛЕНИЯ РУКОПИСЕЙ

1. Объем статьи должен быть не менее 12 и не более 18 страниц. Формат (А 4). Редактор *Word 7 for Windows*, шрифт Times New Roman, размер 14, интервал 1,5. Авторы представляют в редакцию 1 экз. статьи и идентичный электронный вариант.

2. Названию статьи предшествует индекс УДК, соответствующий заявленной теме.

3. Текст статьи начинается с названия статьи (на русском и английском языках), фамилии, имени и отчества автора (полностью) и снабжается аннотацией на русском и английском языках объемом *не менее 250-300 слов*. В тексте аннотации указывается цель, задачи исследования и краткие выводы. В аннотации *не следует* давать ссылки на номер публикации в списке литературы к статье. После аннотаций приводятся ключевые слова (словосочетания), несущие в тексте основную смысловую нагрузку (на русском и английском языках).

4. В тексте статьи следует использовать минимальное количество таблиц и иллюстраций. Рисунок должен иметь объяснения значений всех компонентов, порядковый номер, название, расположенное под рисунком. В тексте на рисунок дается ссылка. Таблица должна иметь порядковый номер, заголовок, расположенный над ней. Данные таблиц и рисунков не должны дублировать текст. Формулы должны быть набраны *в редакторе формул Word 7 for Windows*.

5. Цитаты тщательно сверяются с первоисточником и визируются автором на обратной стороне последней страницы: "Цитаты и фактический материал сверены". Подпись, дата.

6. Наличие пристатейного библиографического списка на русском и английском языках обязательно. *Ссылок должно быть не менее 20-ти*, из них на зарубежные источники – не менее 35 %. В тексте ссылки должны быть в квадратных скобках.

Примеры оформления литературы: а) для книг: фамилия, инициалы автора(ов), полное название книги, место, год издания, страницы; б) для статей: фамилия и инициалы автора(ов), полное название сборника, книги, газеты, журнала, где опубликована статья, место и год издания (сборника, книги), номер (для журнала), год и дата (для газеты), выпуск, часть (для сборника), страницы, на которых опубликована статья. Иностранная литература оформляется по тем же правилам.

Ссылки на неопубликованные работы не допускаются.

7. Рукопись должна быть тщательно вычитана. Редакционная коллегия оставляет за собой право при необходимости сокращать статьи, редактировать и отсылать авторам на доработку.

8. Статьи сопровождаются сведениями об авторе(ах) (фамилия, имя, отчество, ученое звание, должность, место работы, адрес, электронный адрес и номер телефона) на русском и английском языках.

9. Плата с аспирантов за публикацию рукописей не взимается.

Адрес журнала в Интернете: <http://izv-tn.tti.sfedu.ru/>.